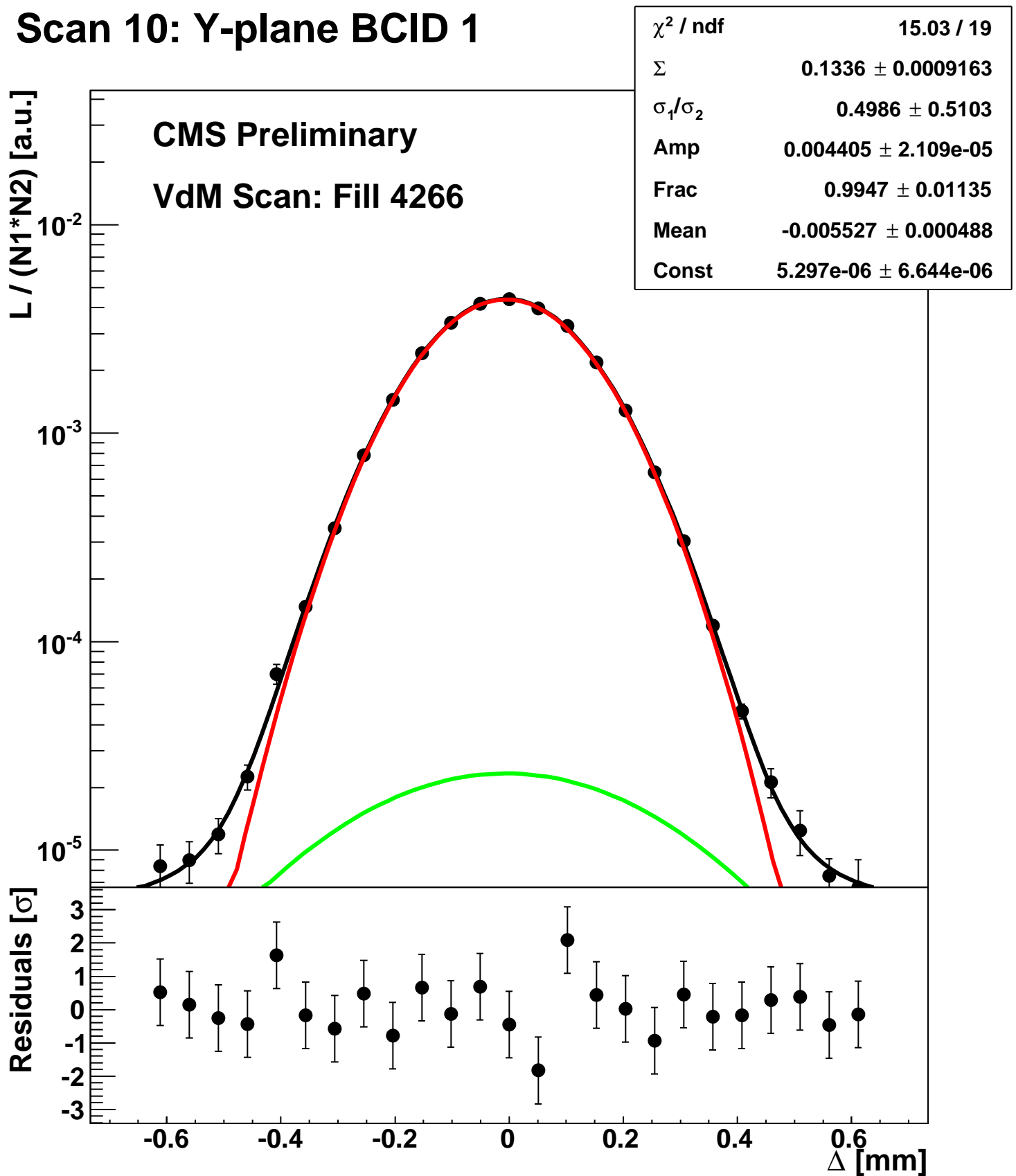
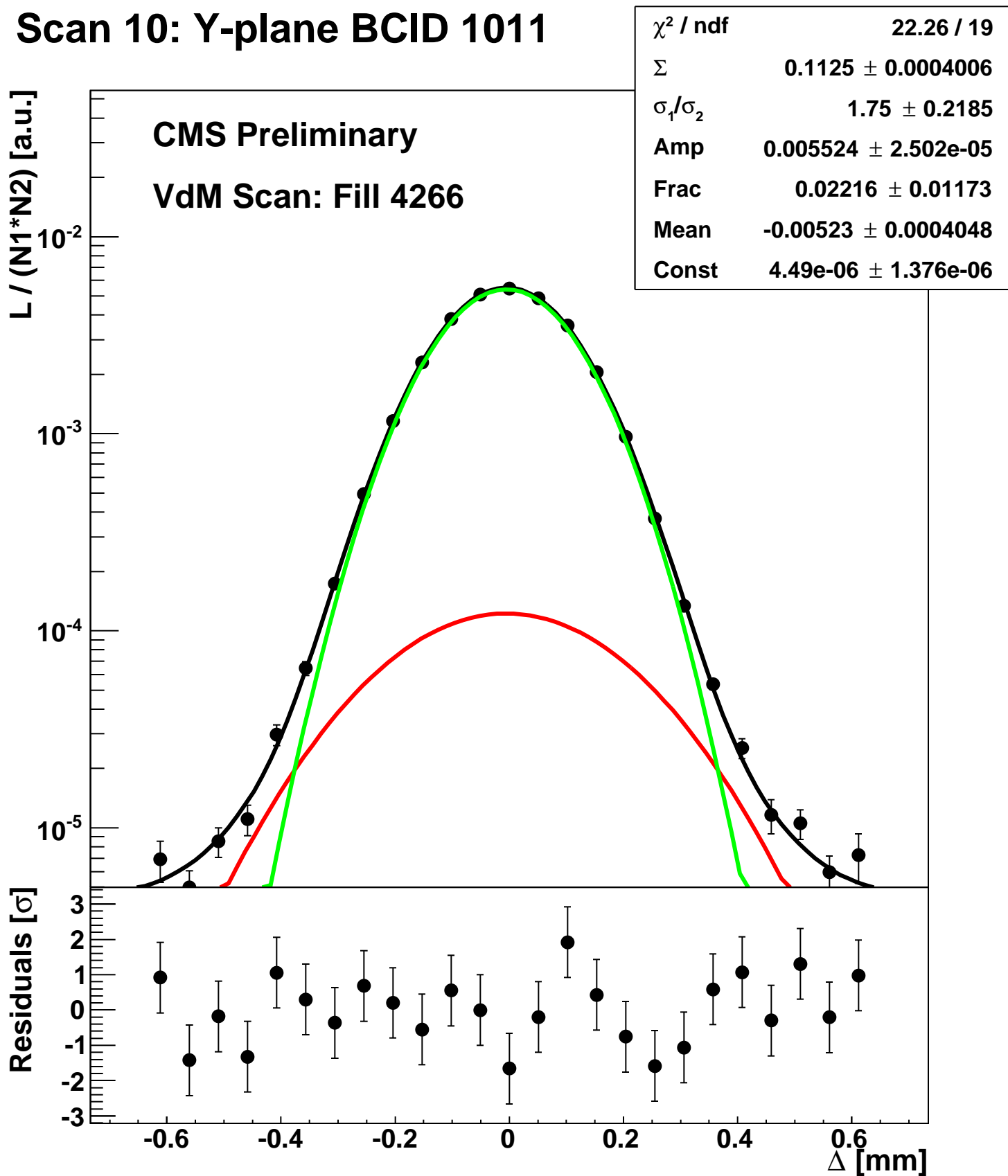


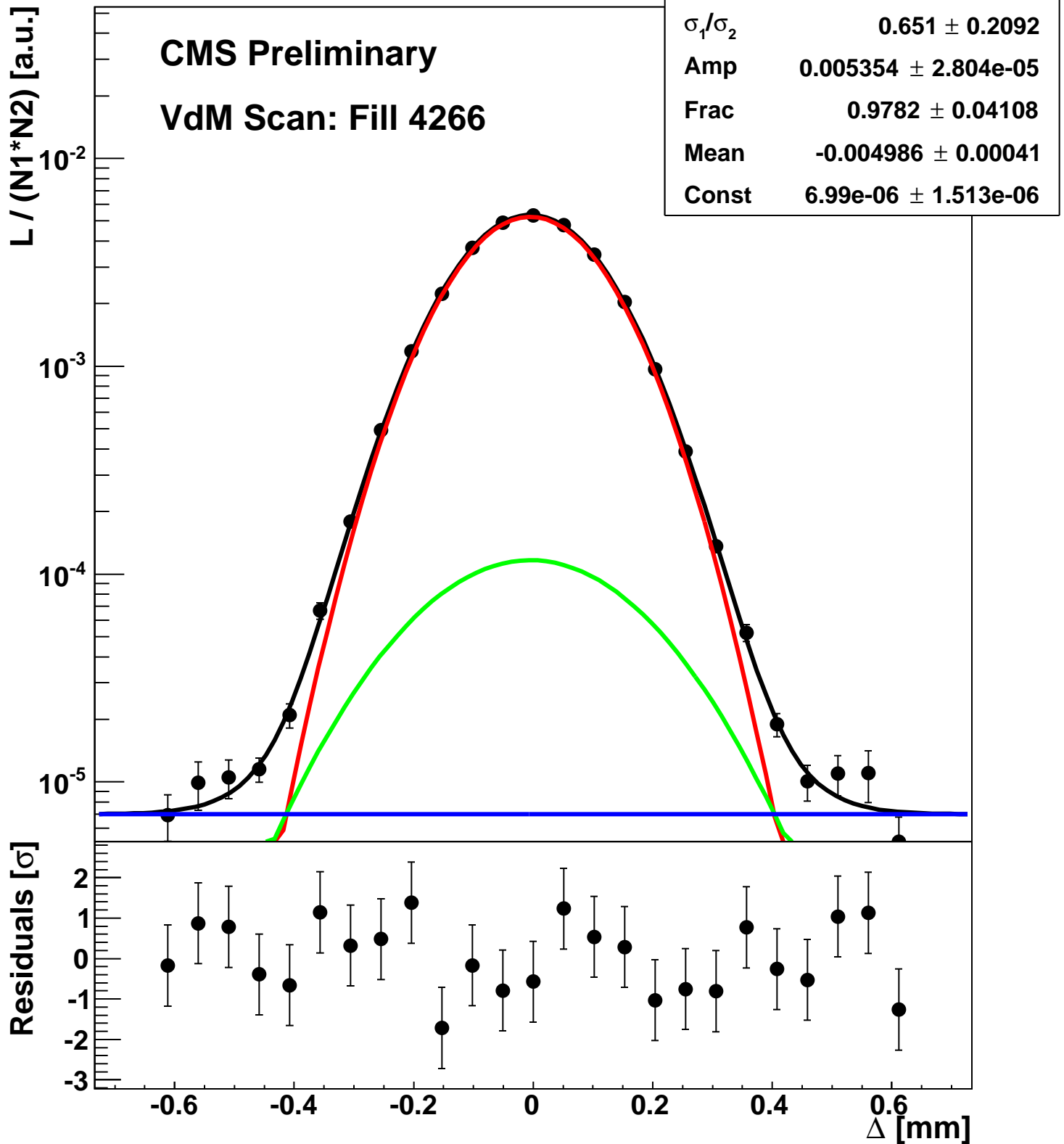
Scan 10: Y-plane BCID 1



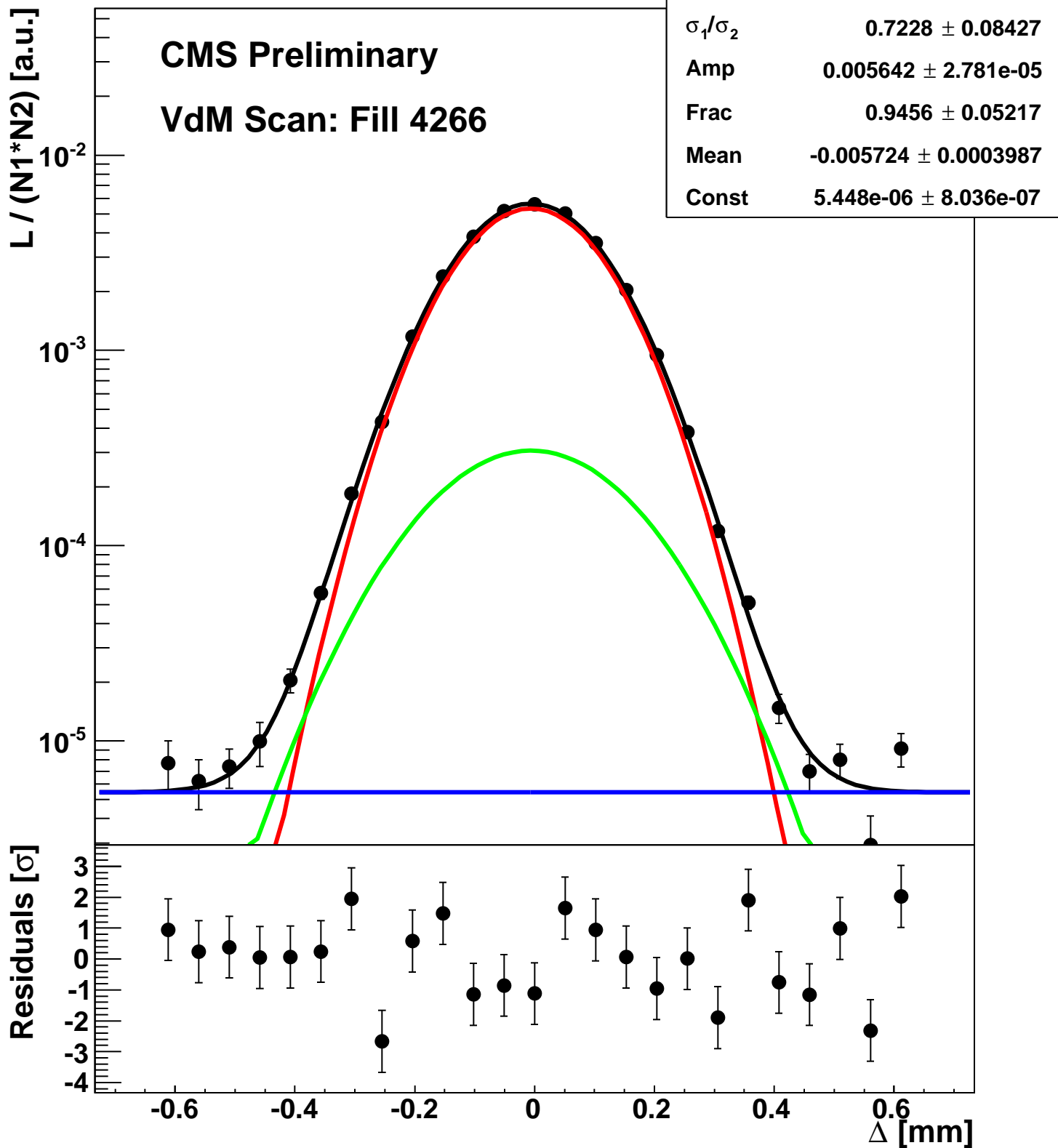
Scan 10: Y-plane BCID 1011



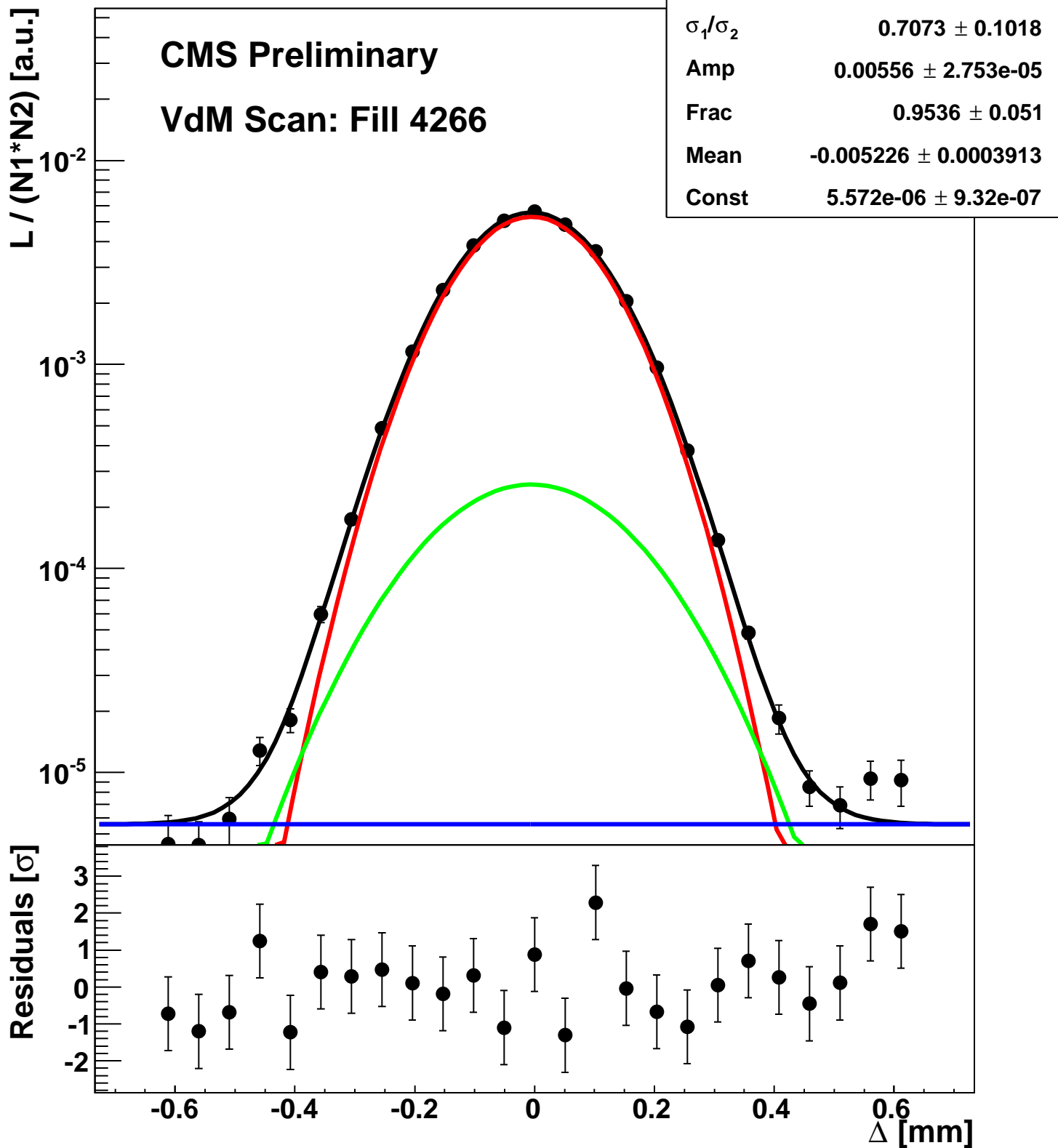
Scan 10: Y-plane BCID 131



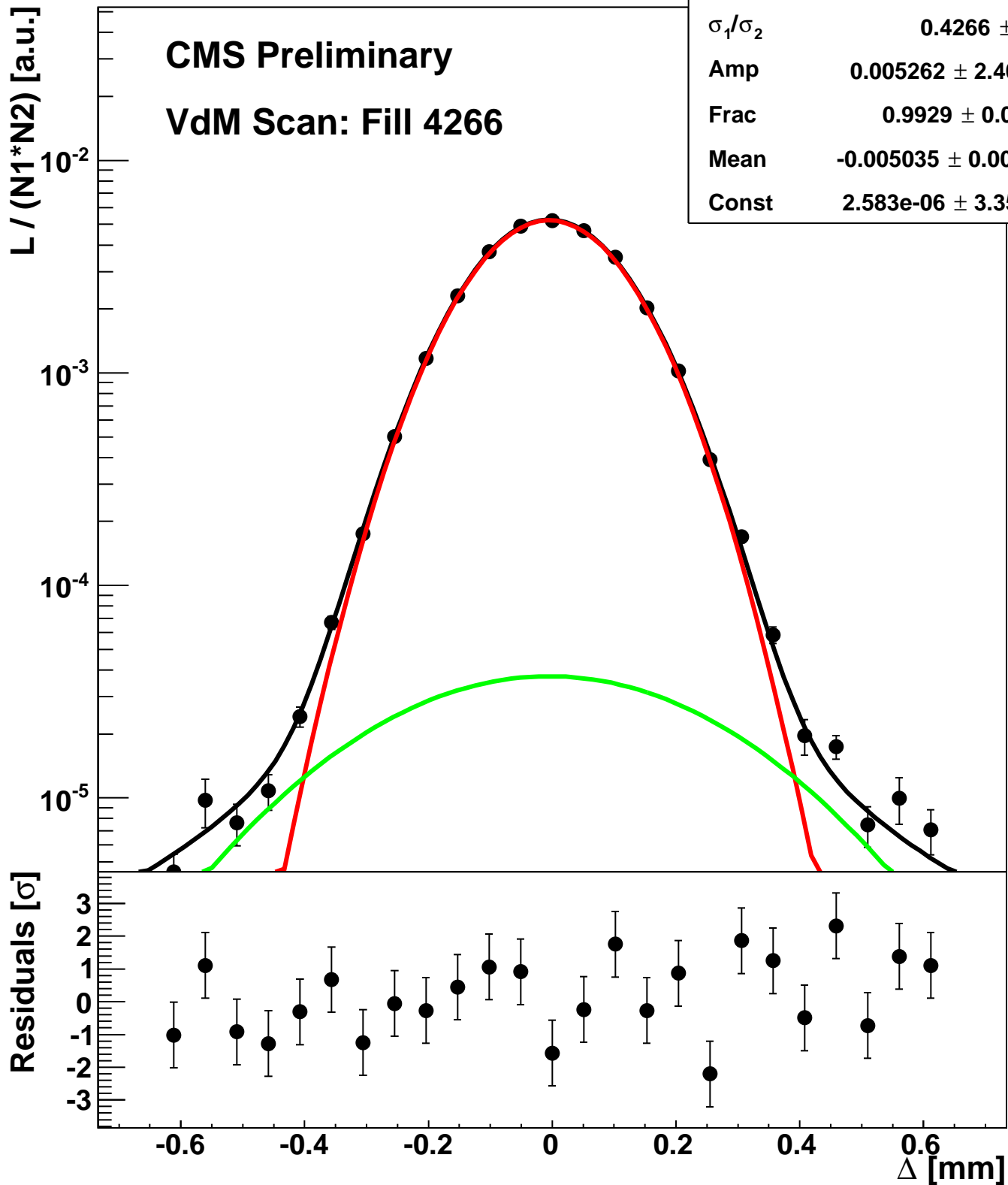
Scan 10: Y-plane BCID 1631



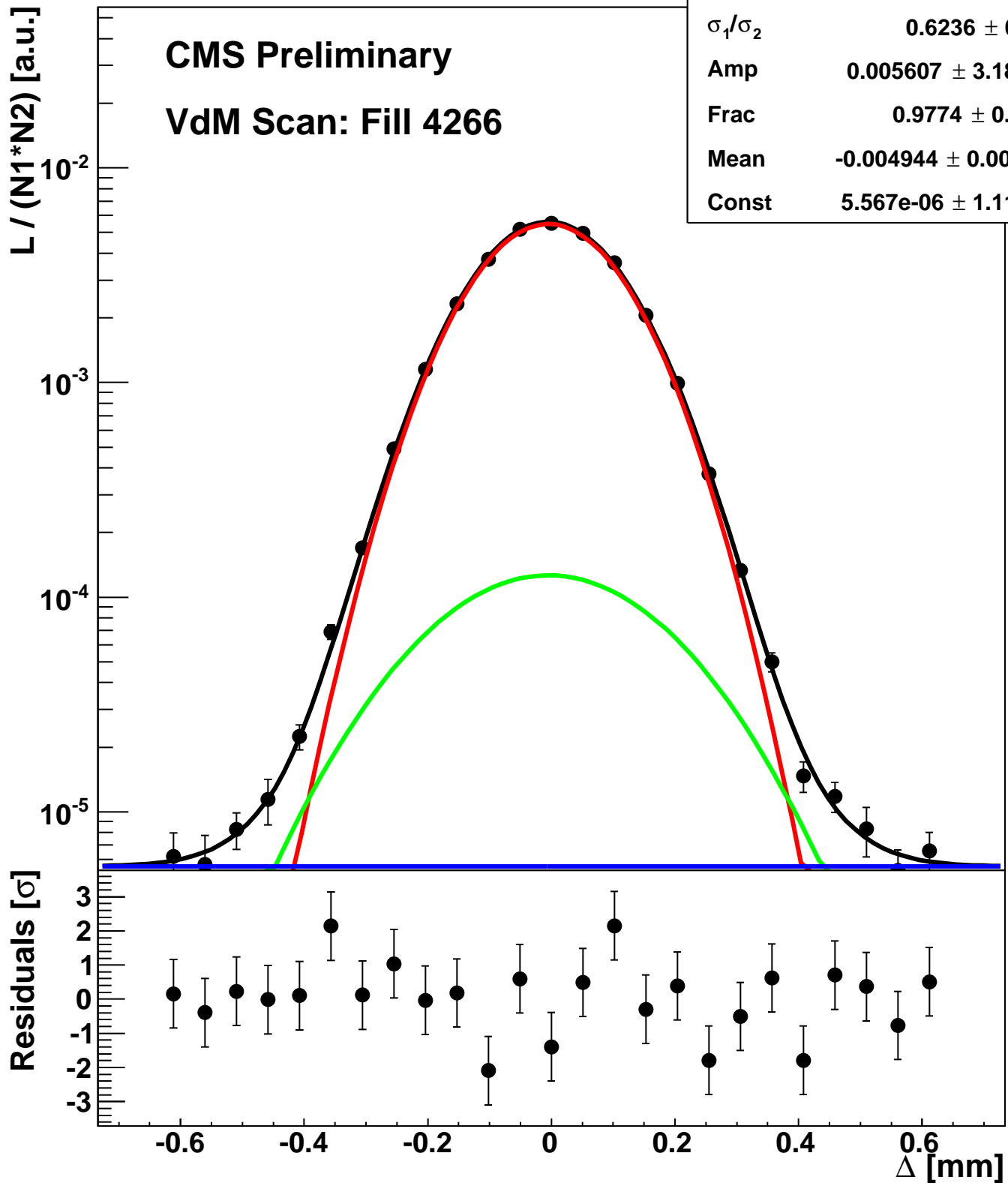
Scan 10: Y-plane BCID 1671



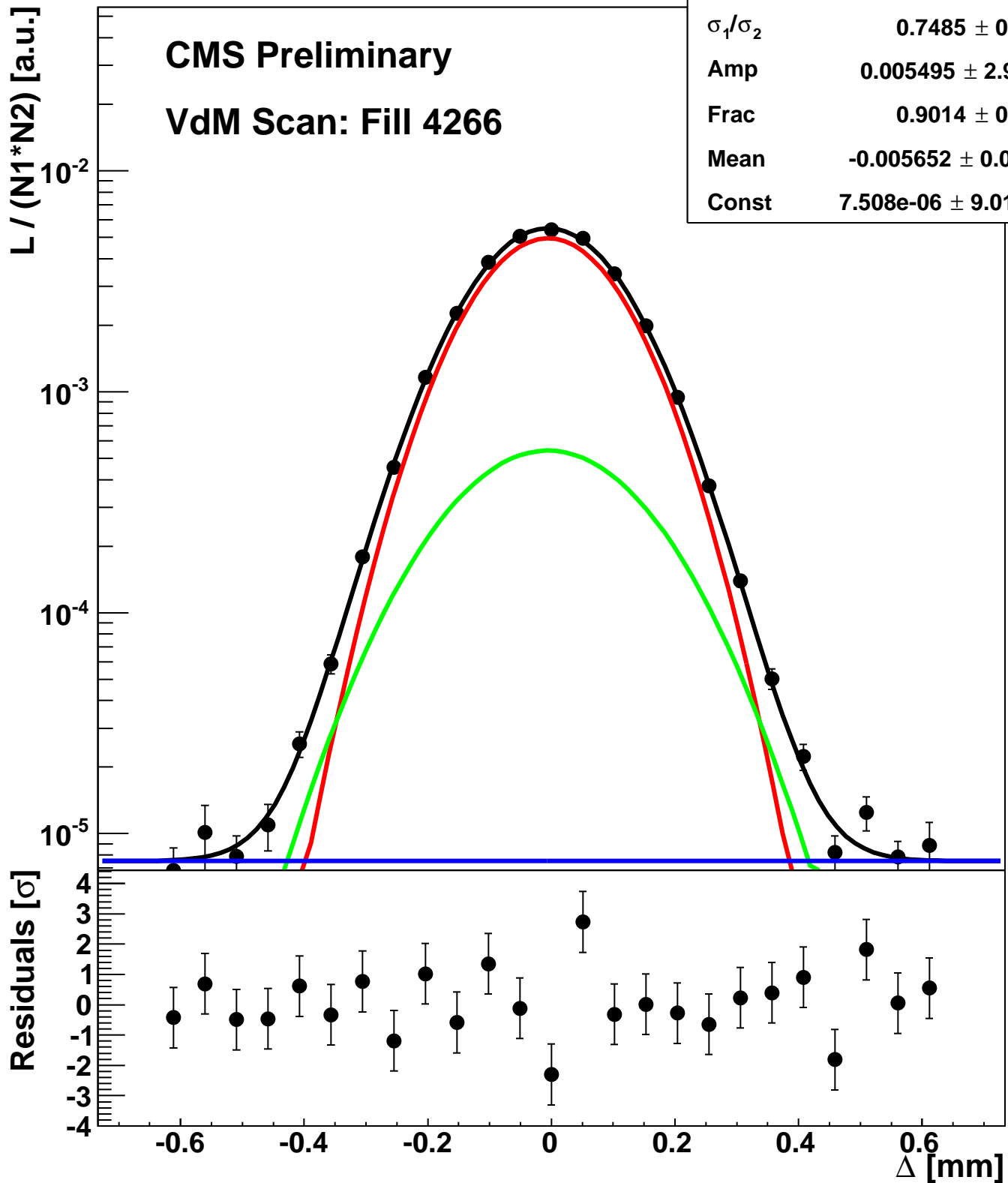
Scan 10: Y-plane BCID 171



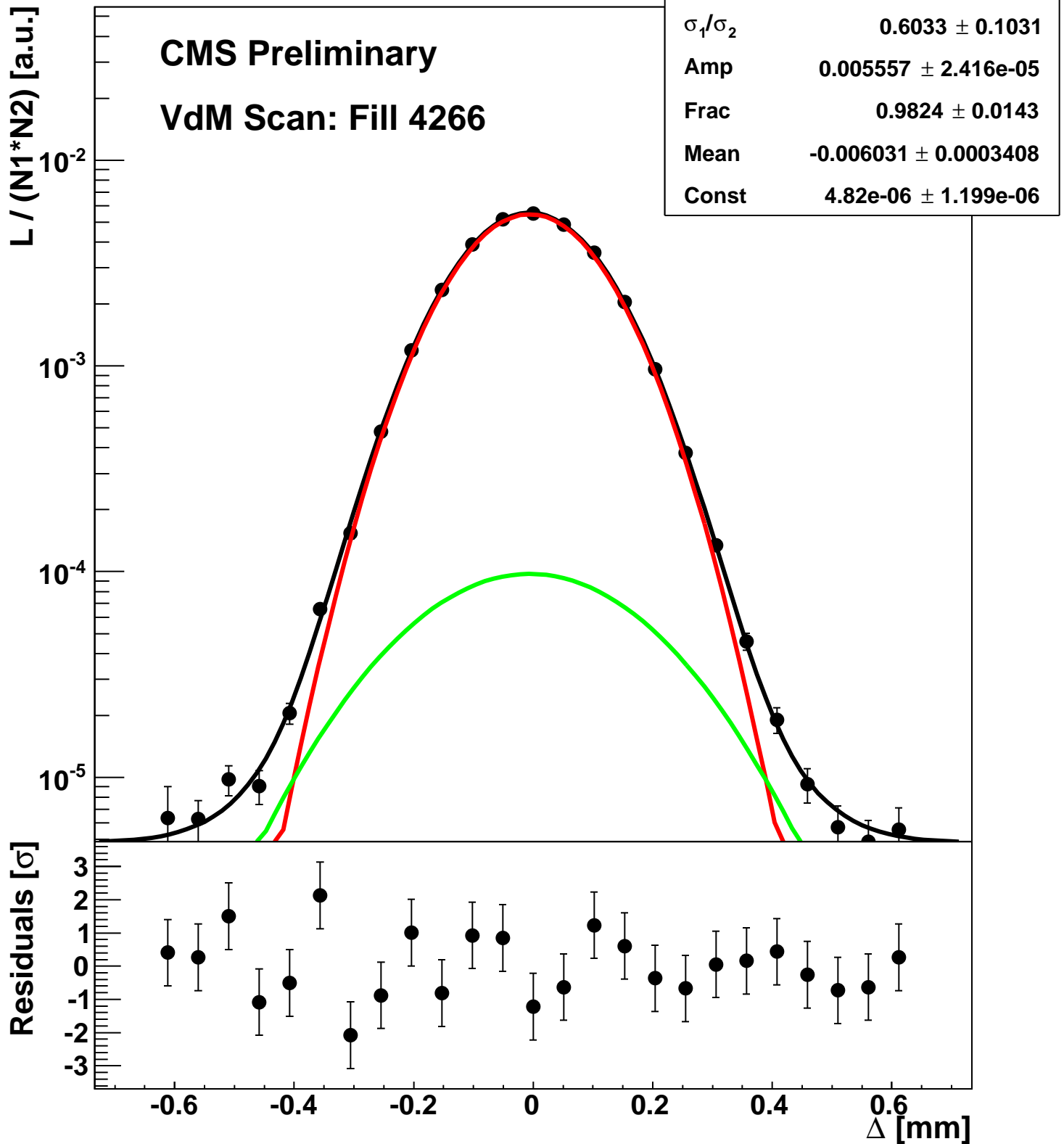
Scan 10: Y-plane BCID 1711



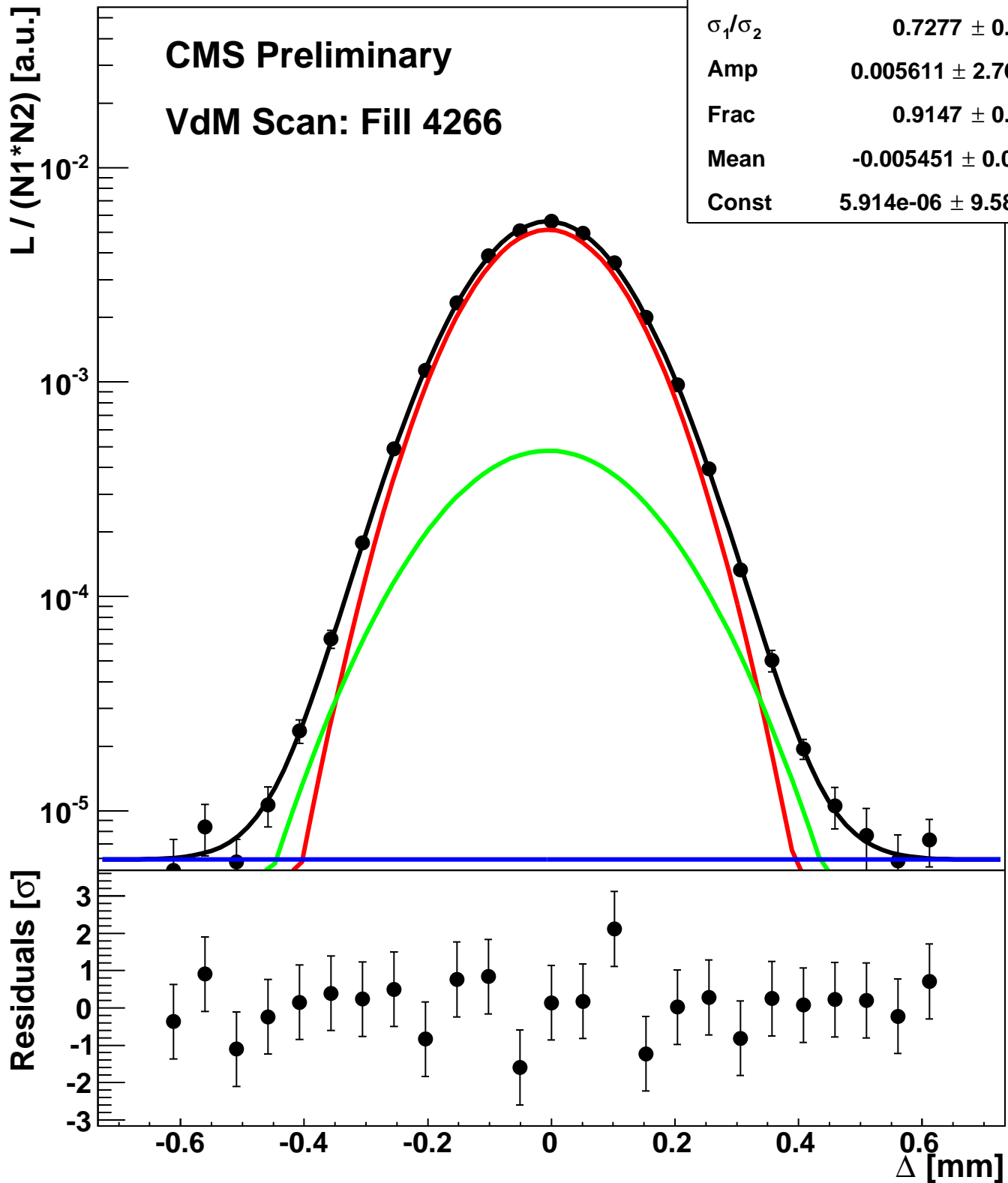
Scan 10: Y-plane BCID 1751



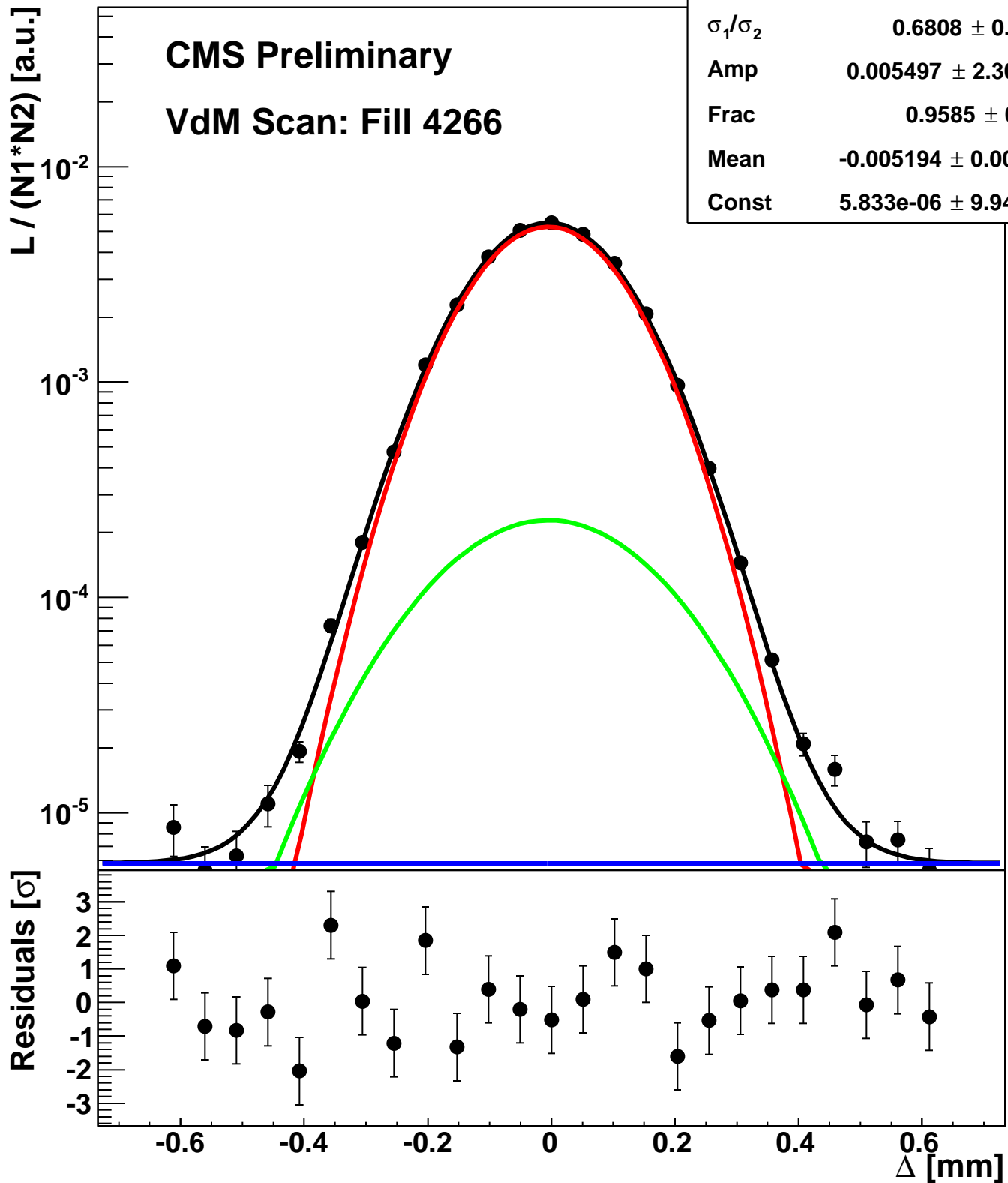
Scan 10: Y-plane BCID 1791



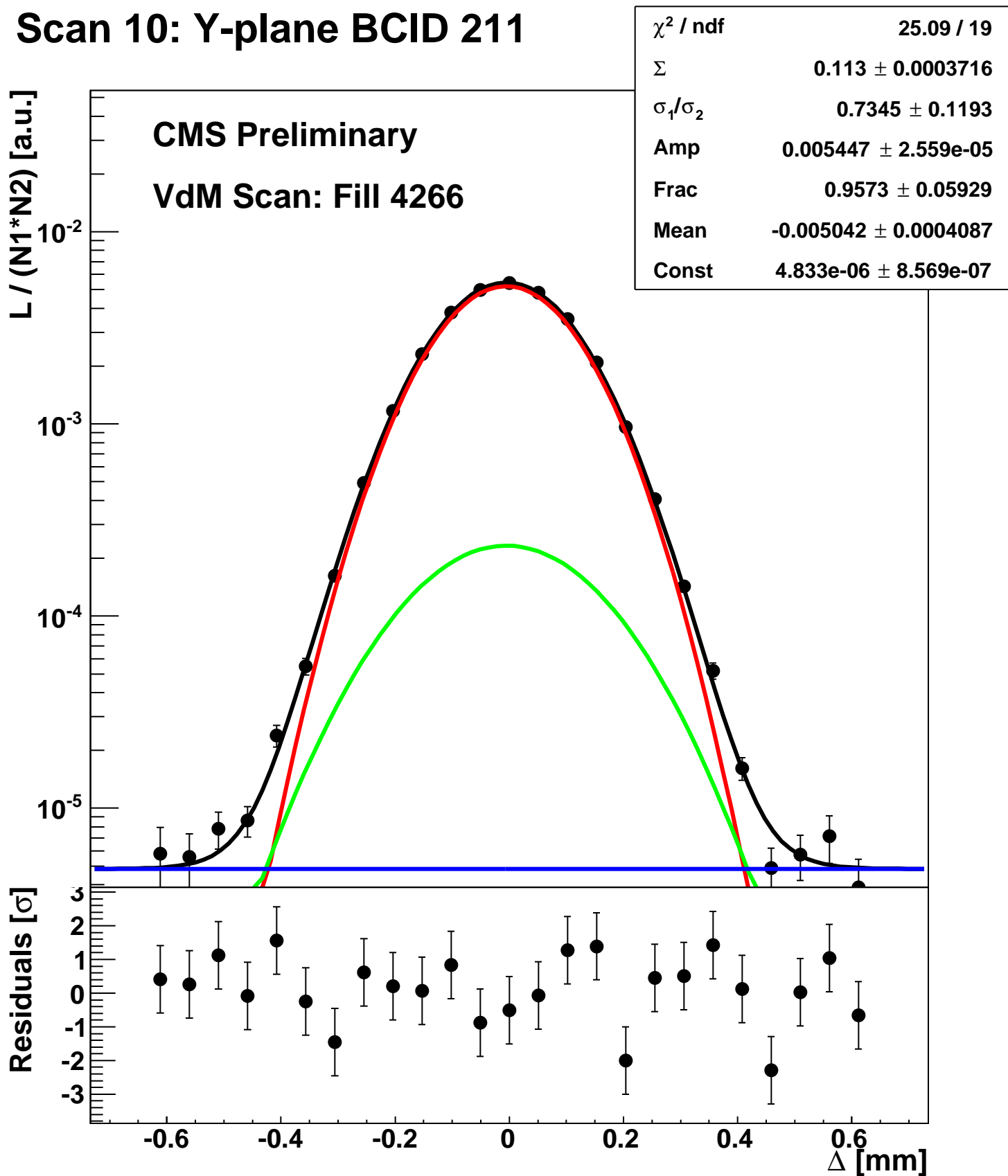
Scan 10: Y-plane BCID 1831



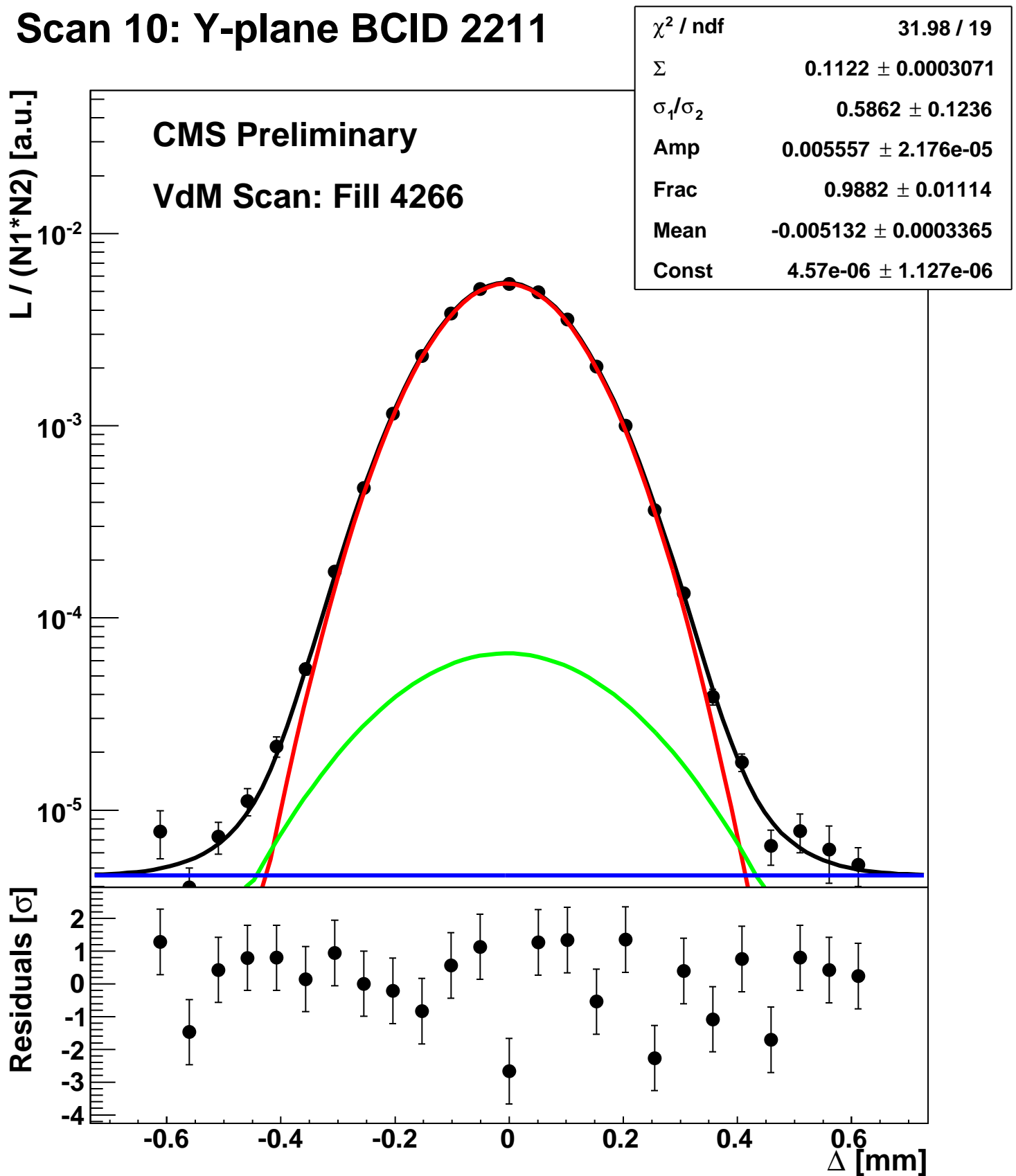
Scan 10: Y-plane BCID 1871



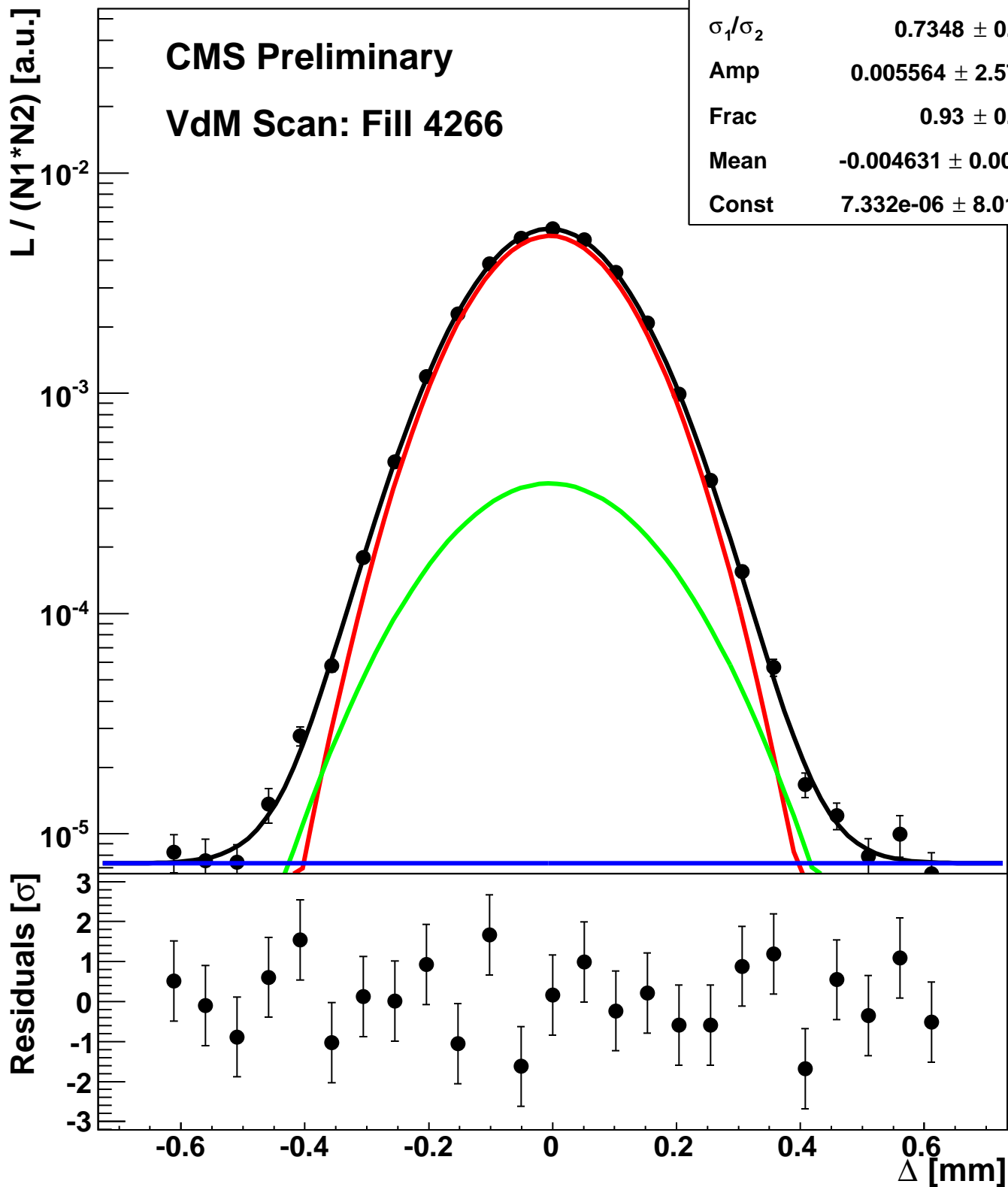
Scan 10: Y-plane BCID 211



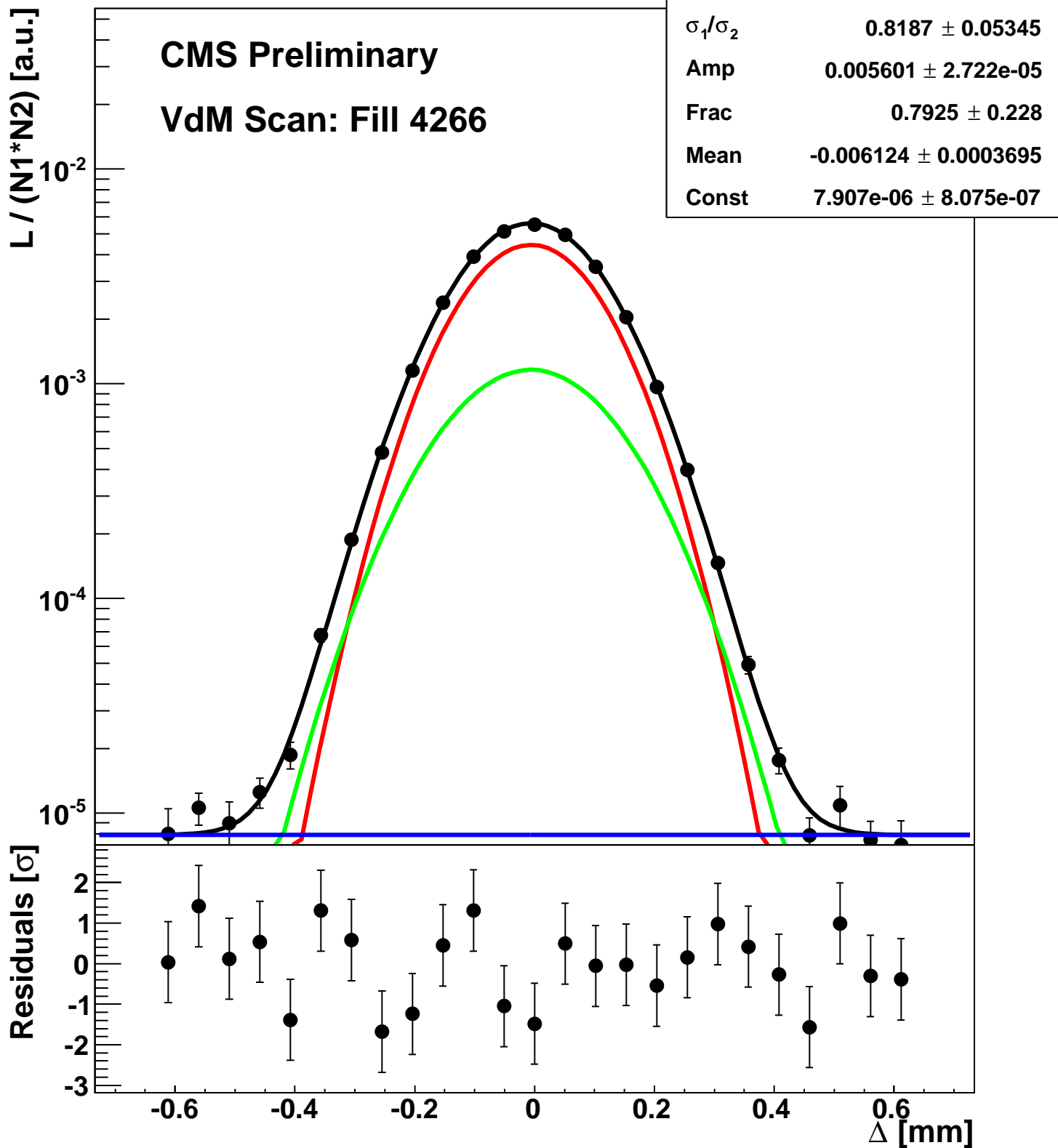
Scan 10: Y-plane BCID 2211



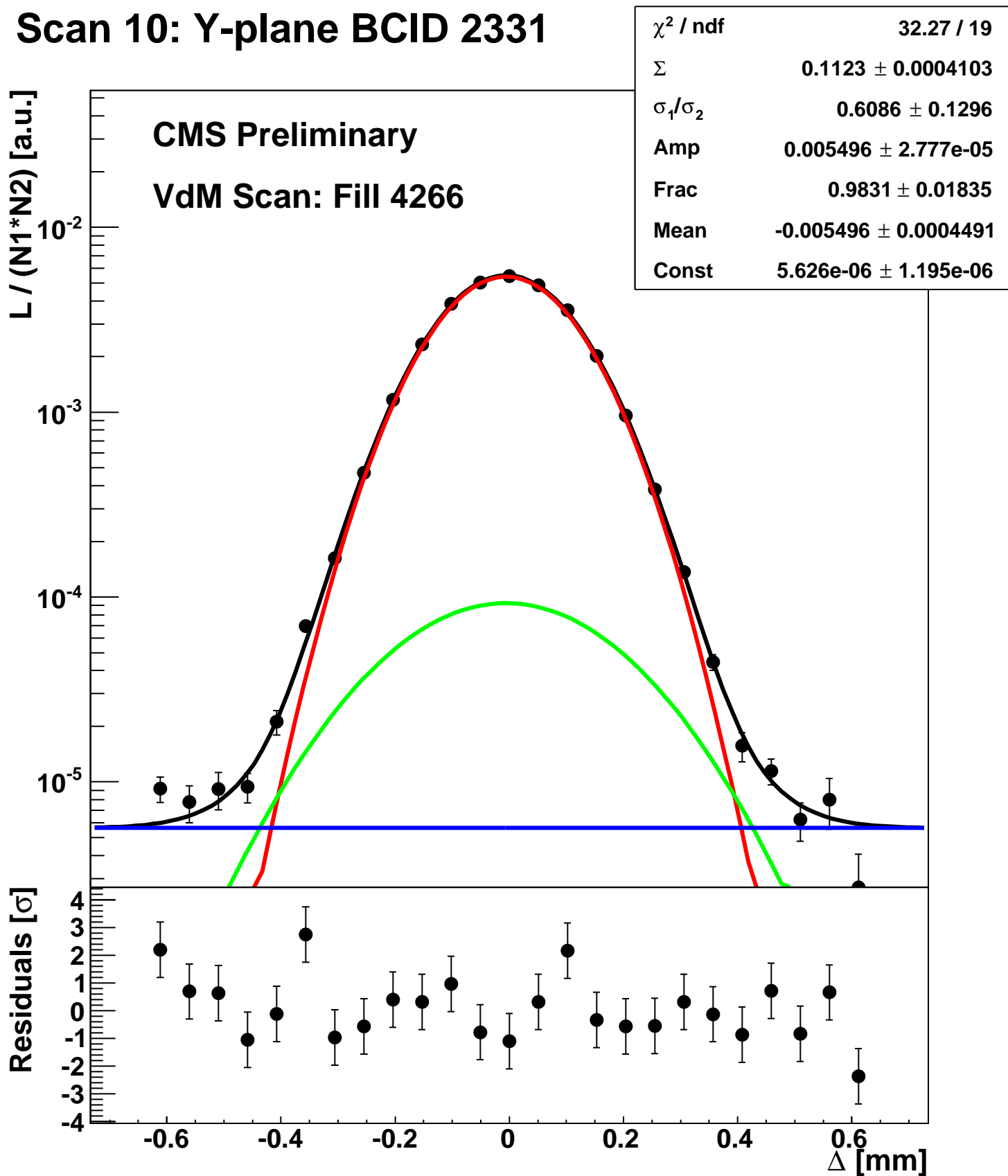
Scan 10: Y-plane BCID 2251



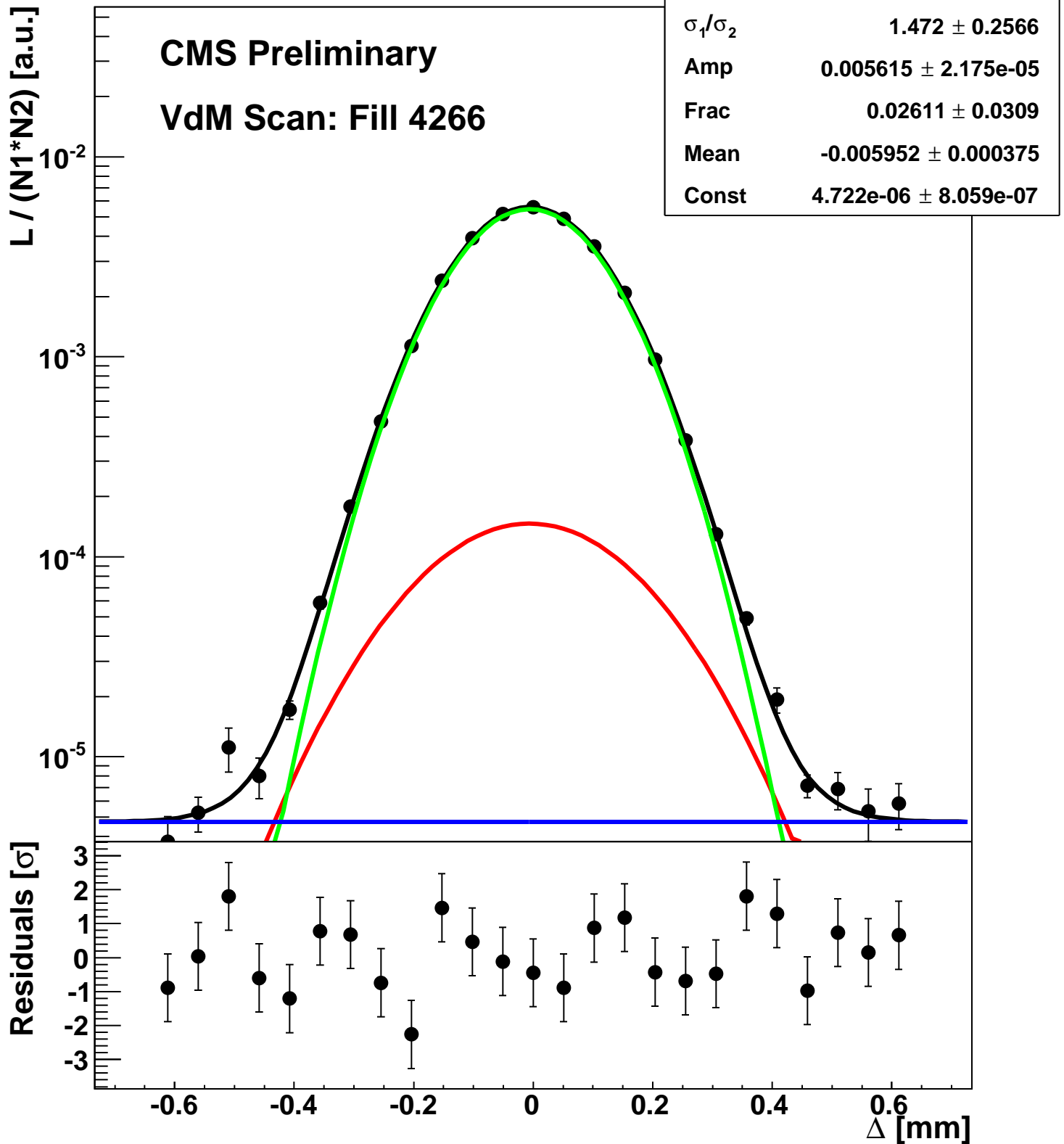
Scan 10: Y-plane BCID 2291



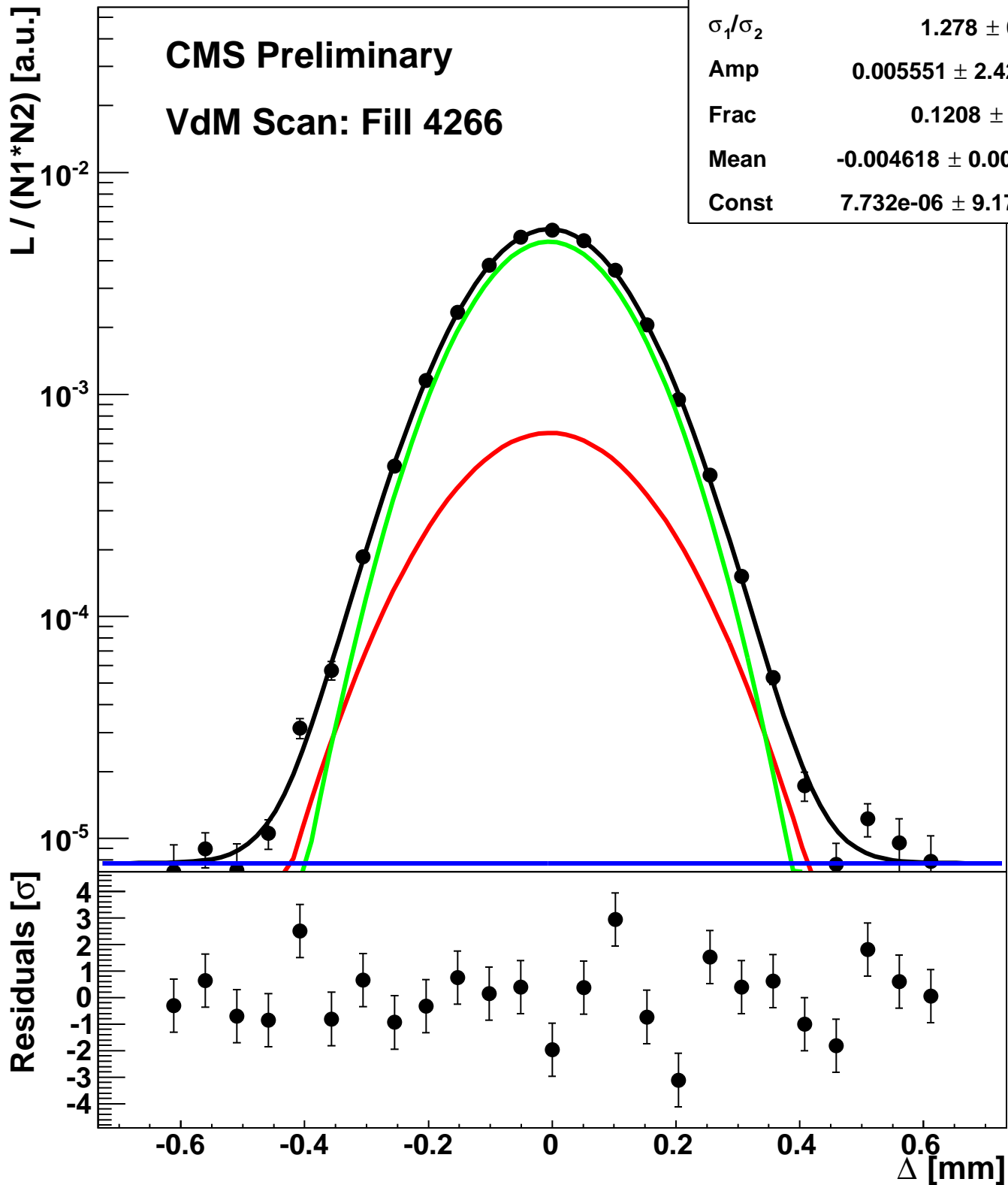
Scan 10: Y-plane BCID 2331



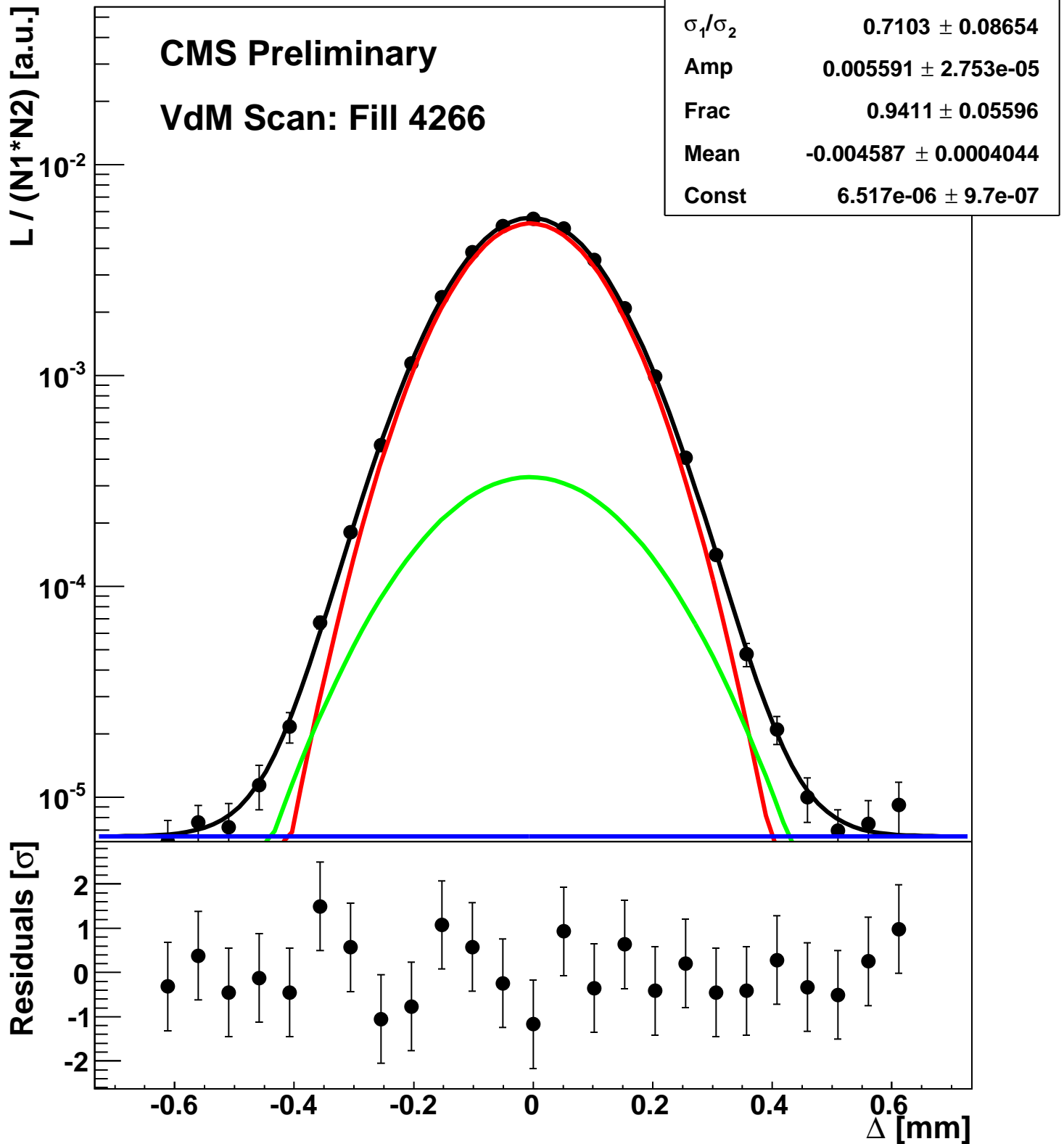
Scan 10: Y-plane BCID 2371



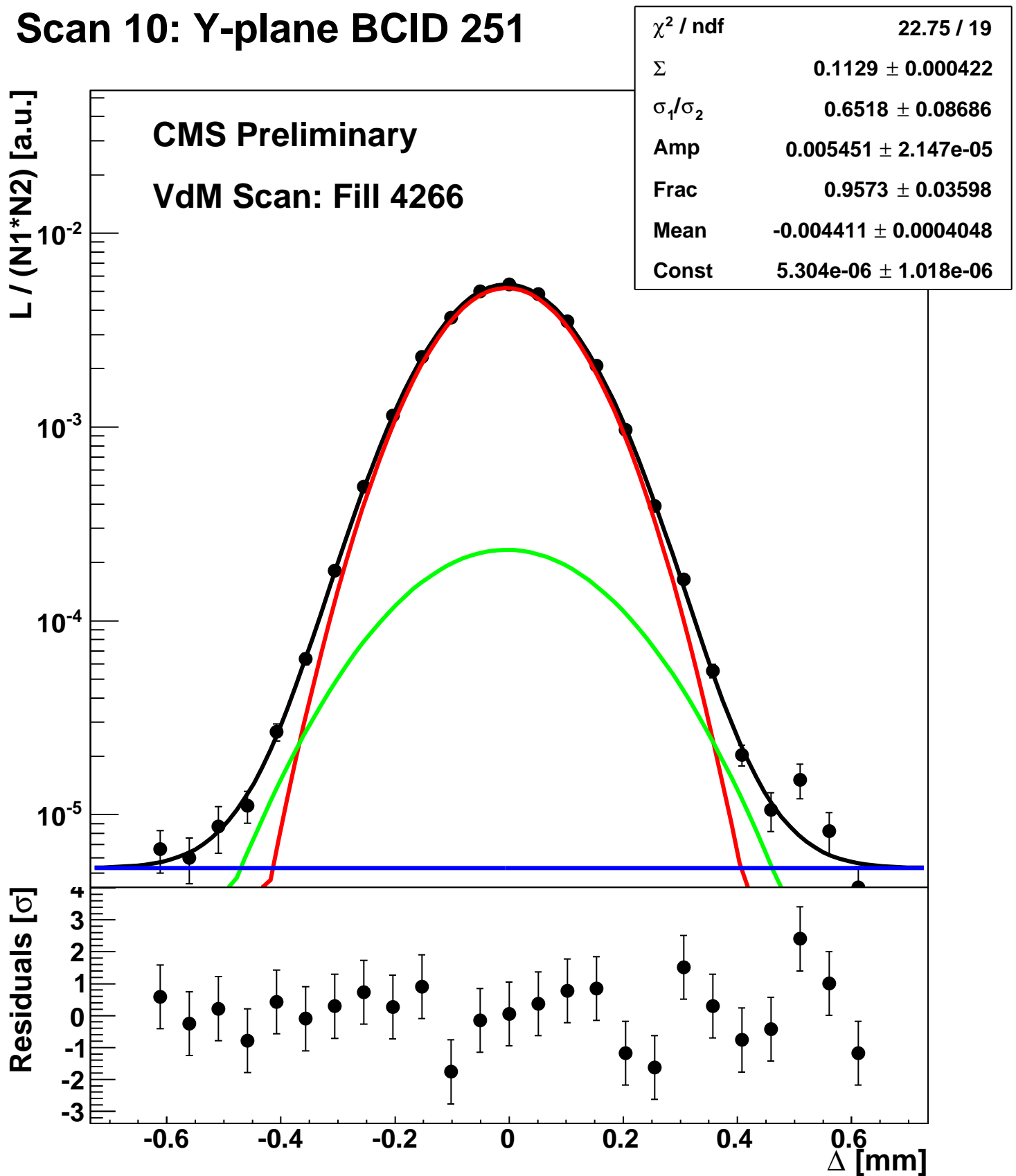
Scan 10: Y-plane BCID 2411



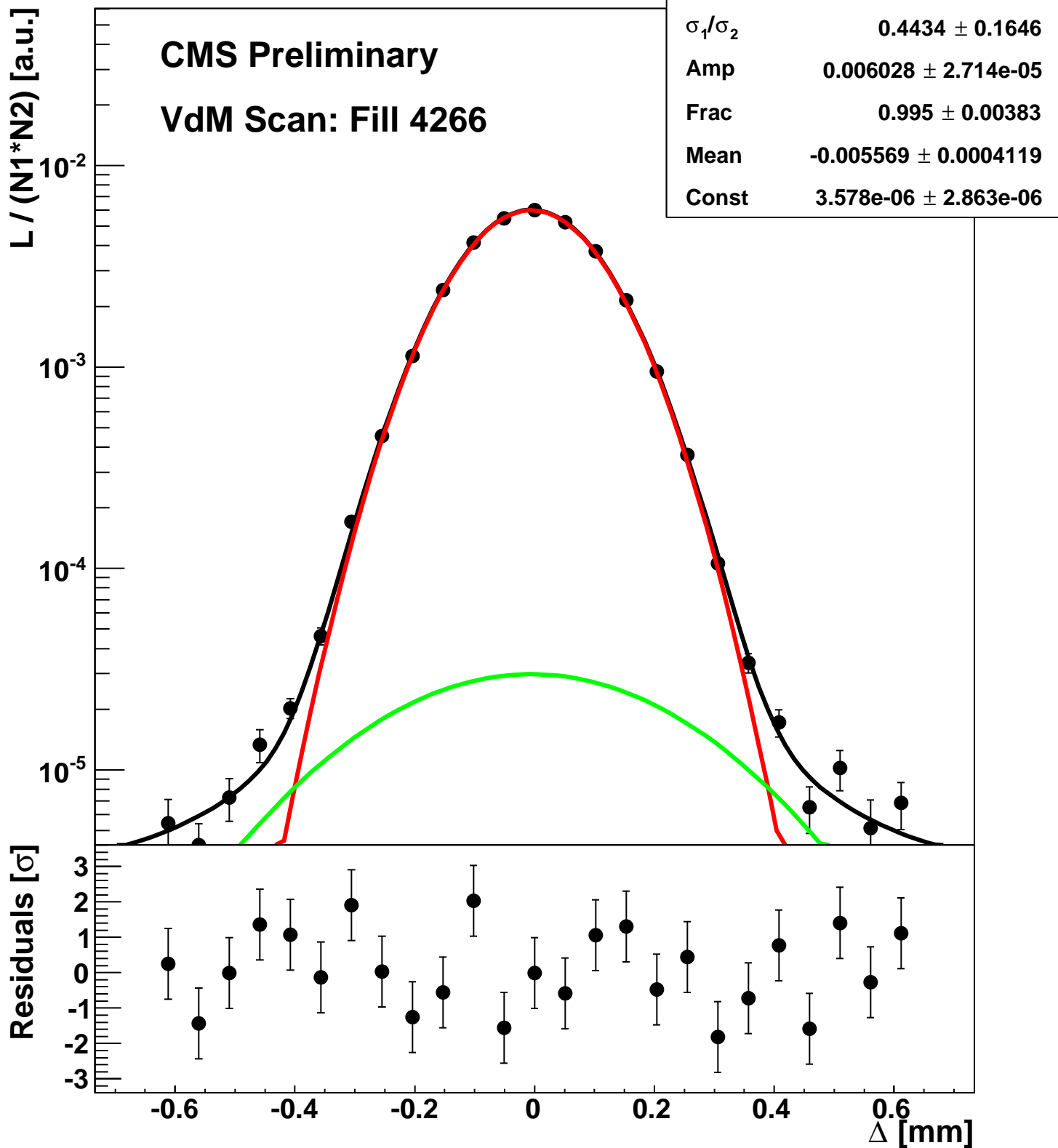
Scan 10: Y-plane BCID 2451



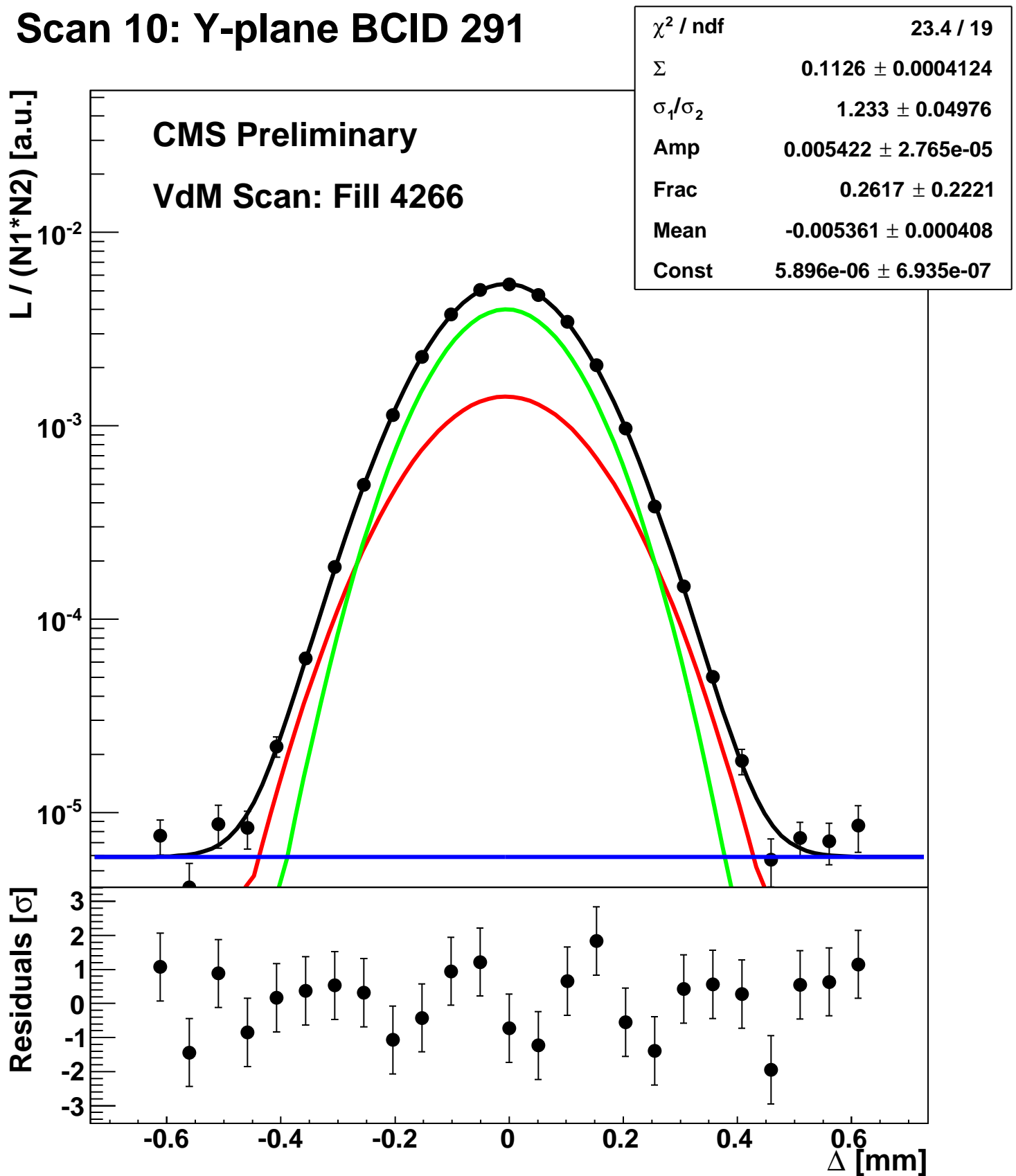
Scan 10: Y-plane BCID 251



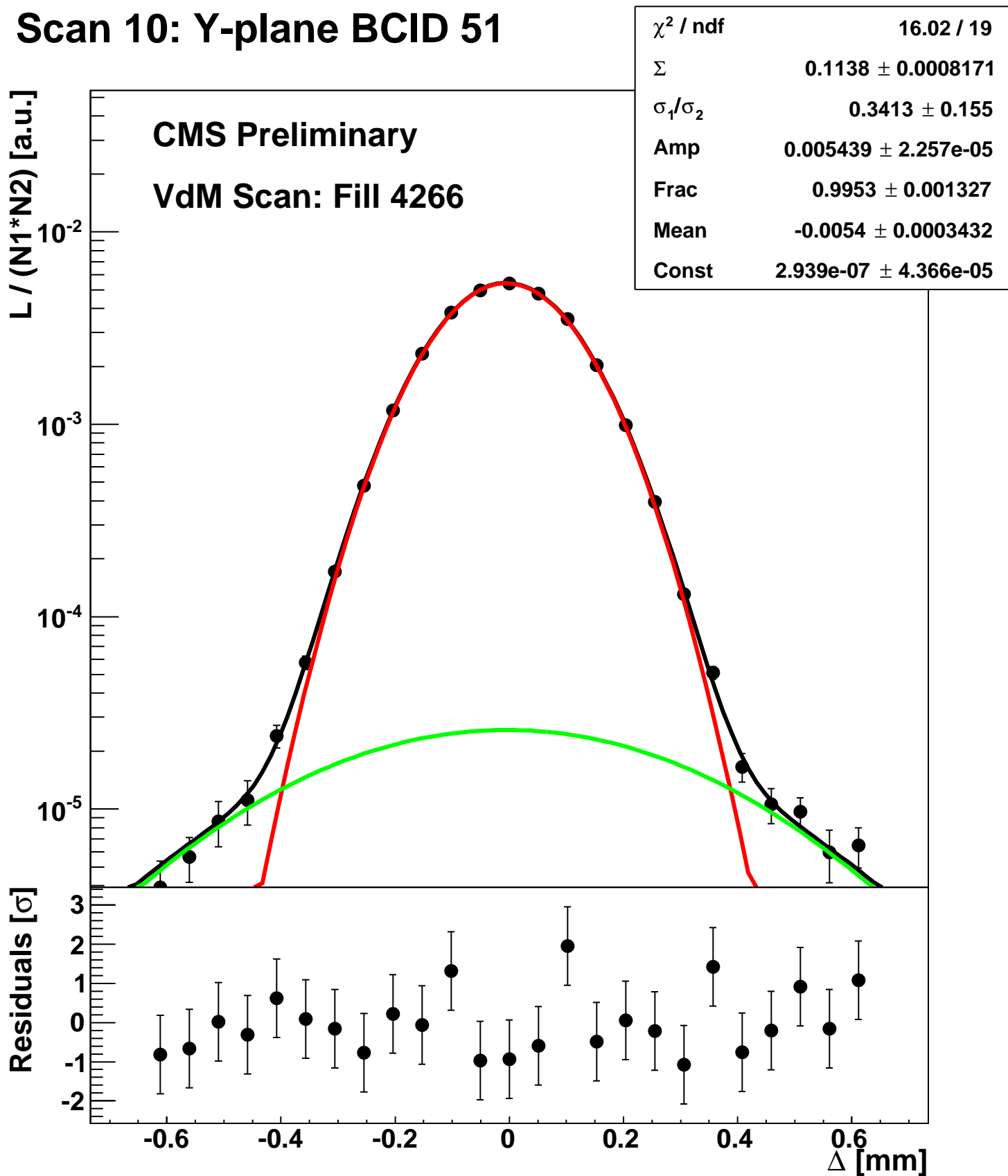
Scan 10: Y-plane BCID 2674



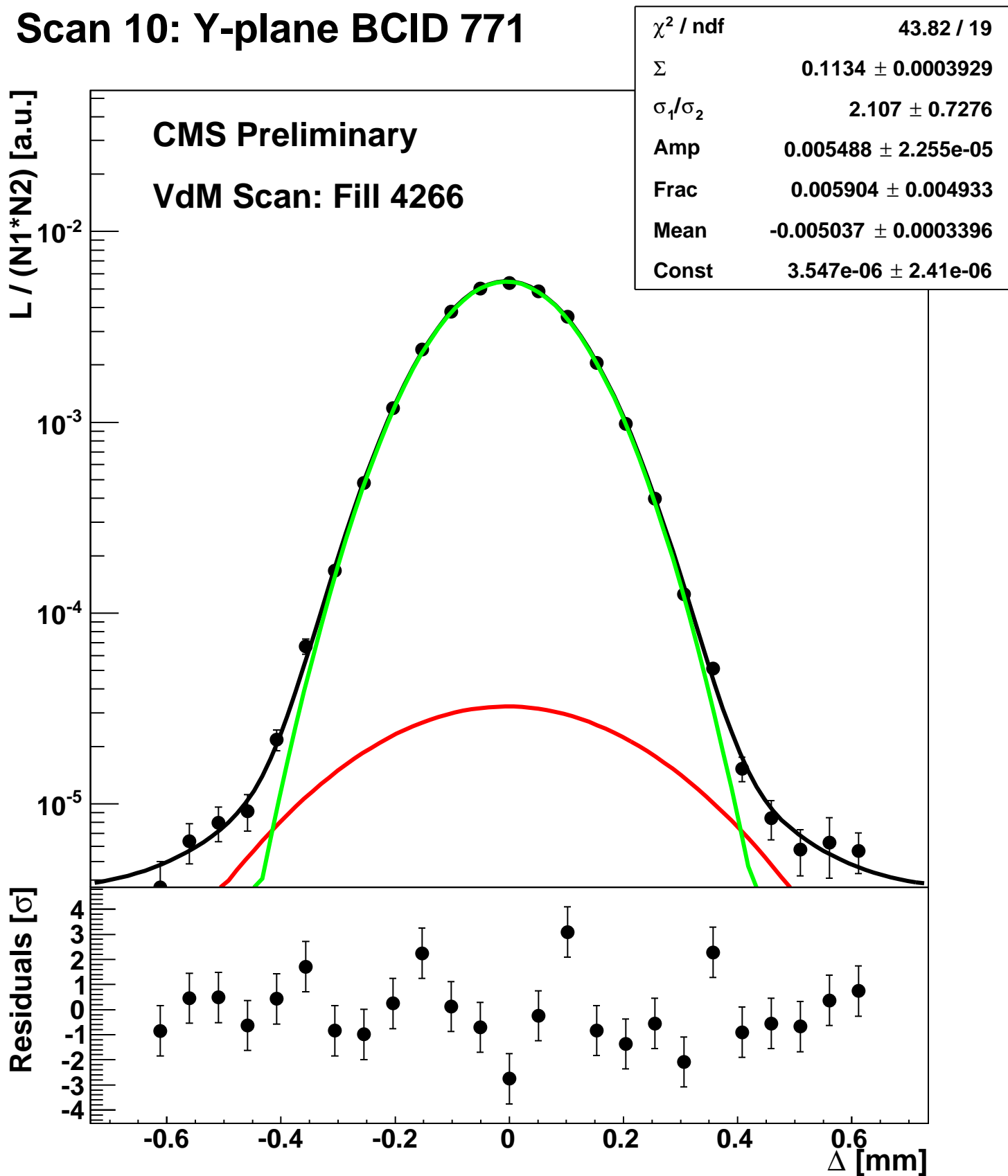
Scan 10: Y-plane BCID 291



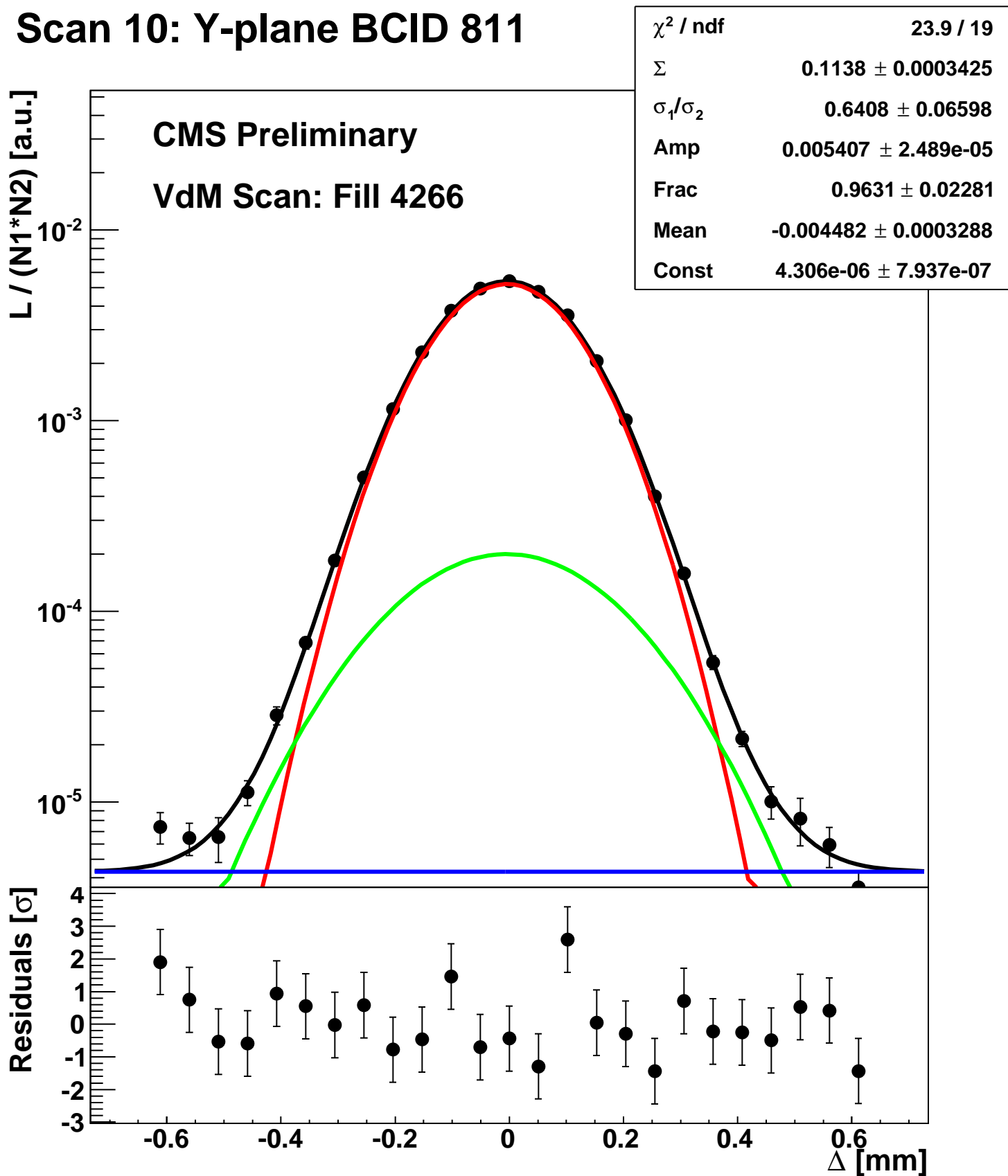
Scan 10: Y-plane BCID 51



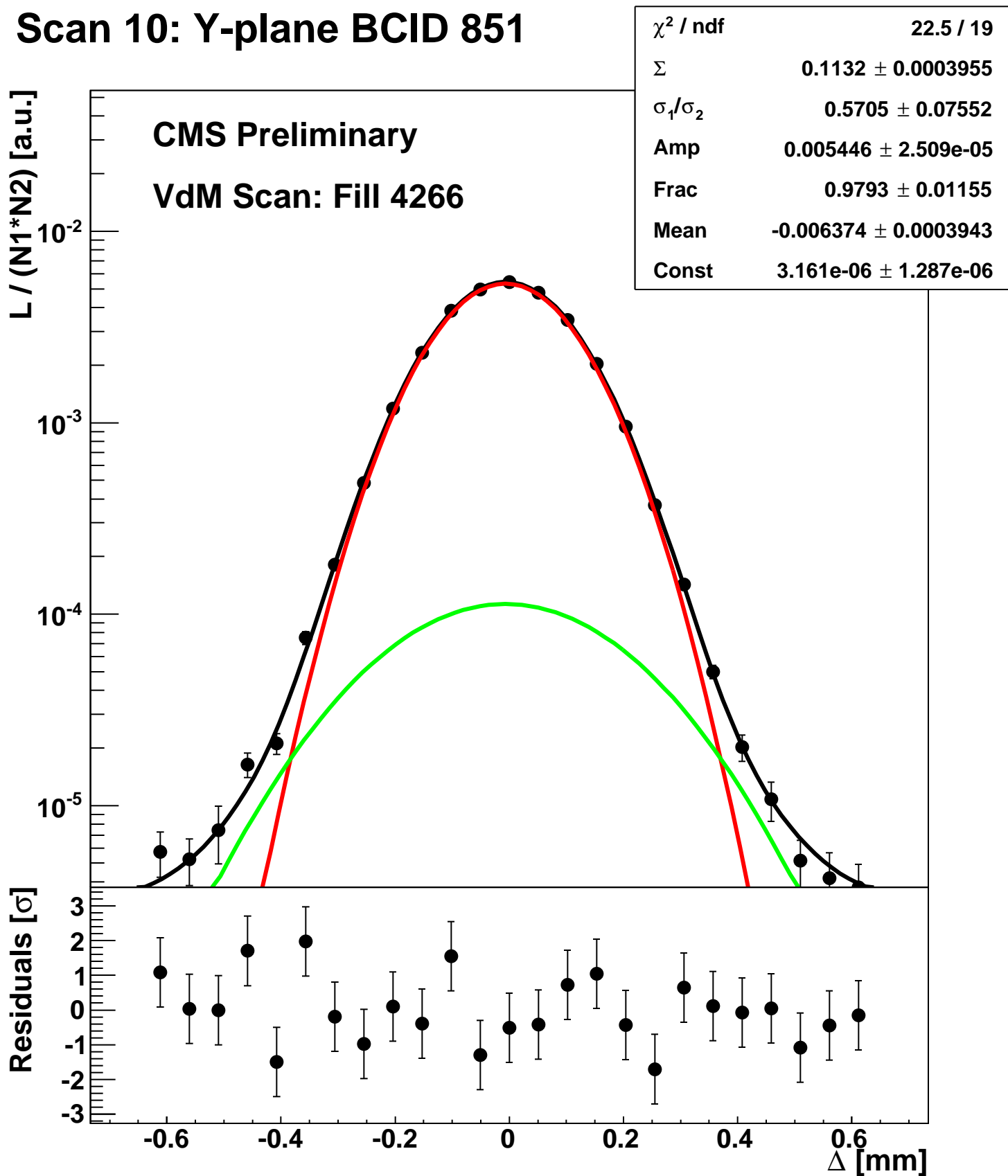
Scan 10: Y-plane BCID 771



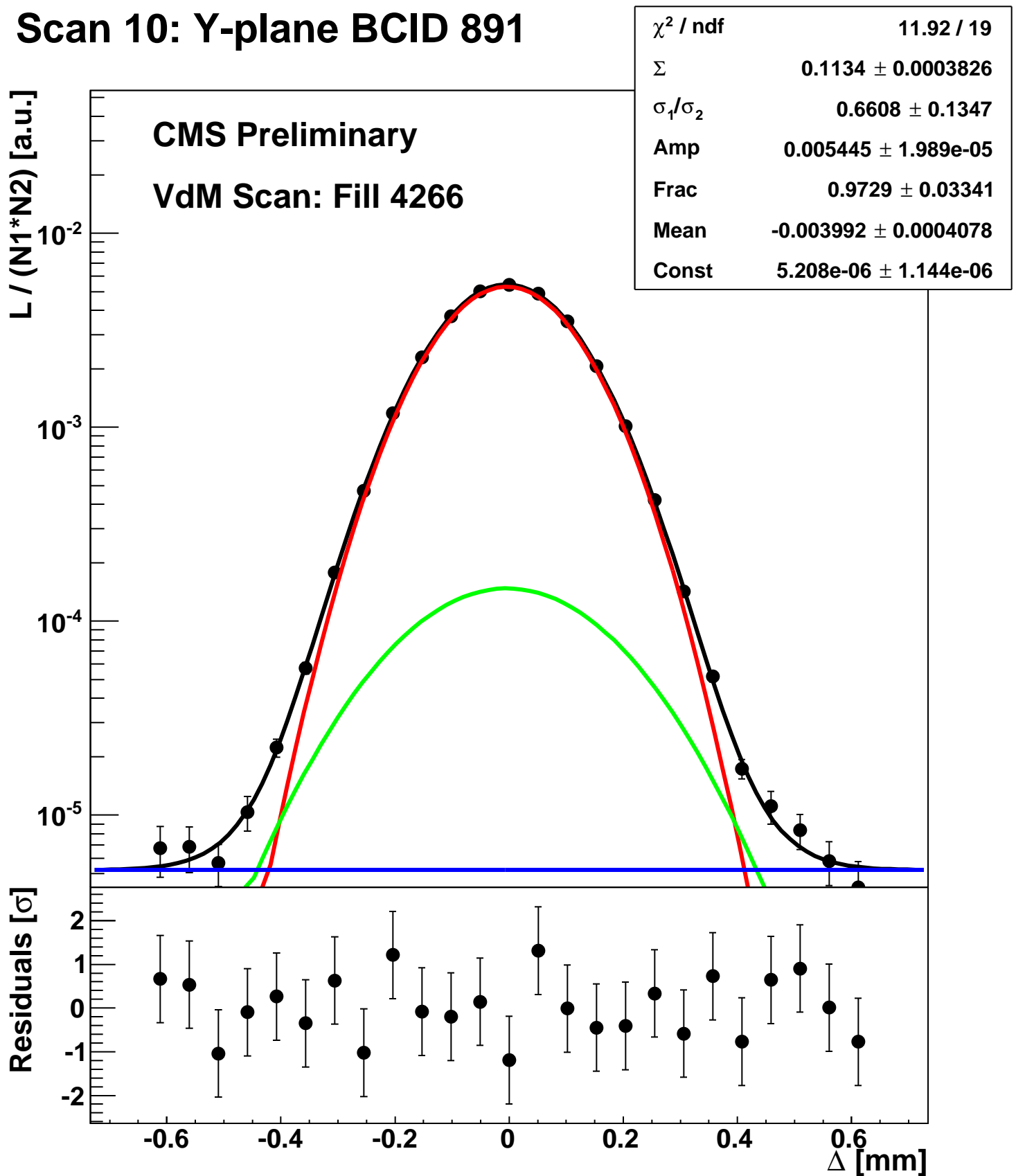
Scan 10: Y-plane BCID 811



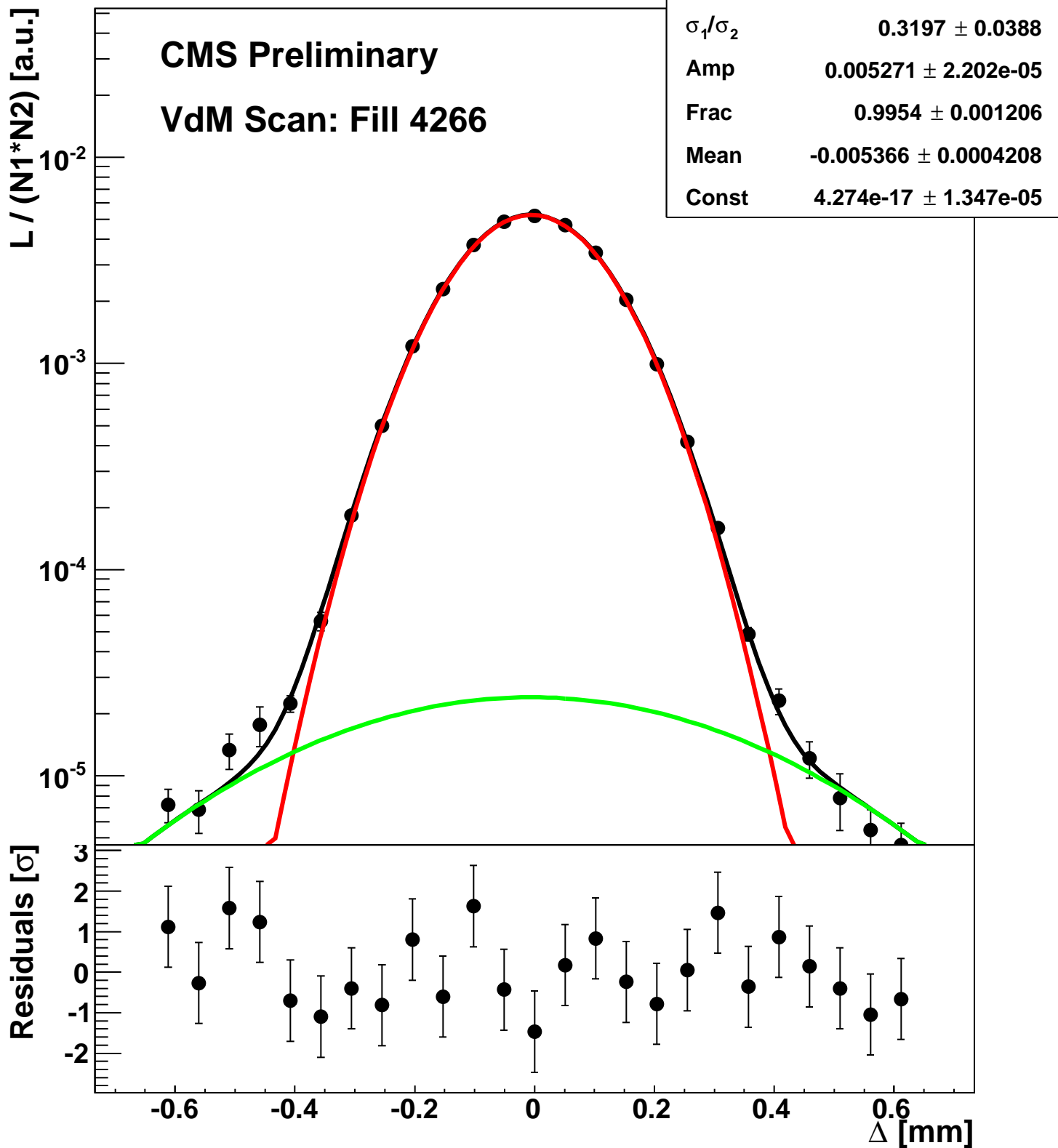
Scan 10: Y-plane BCID 851



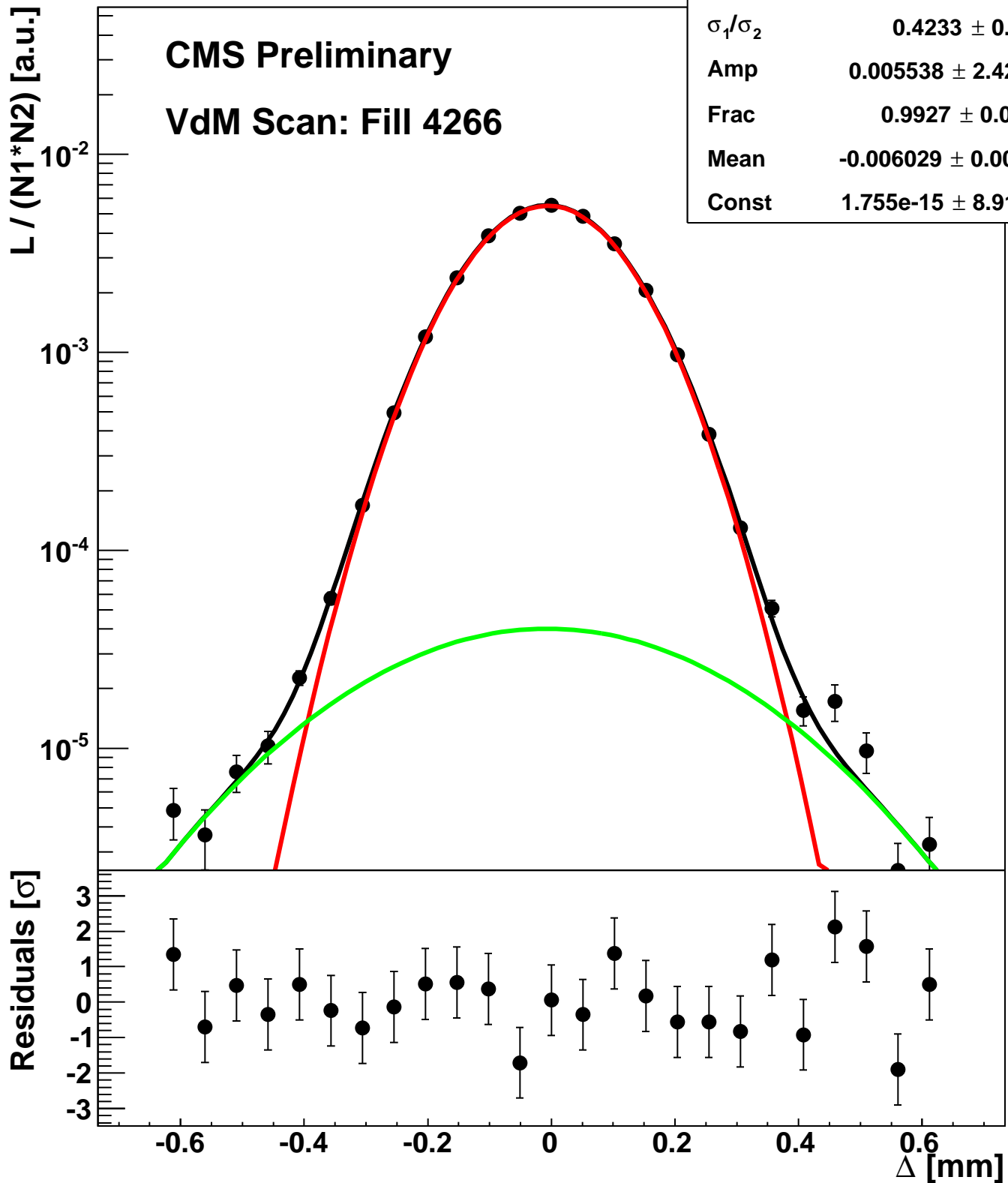
Scan 10: Y-plane BCID 891



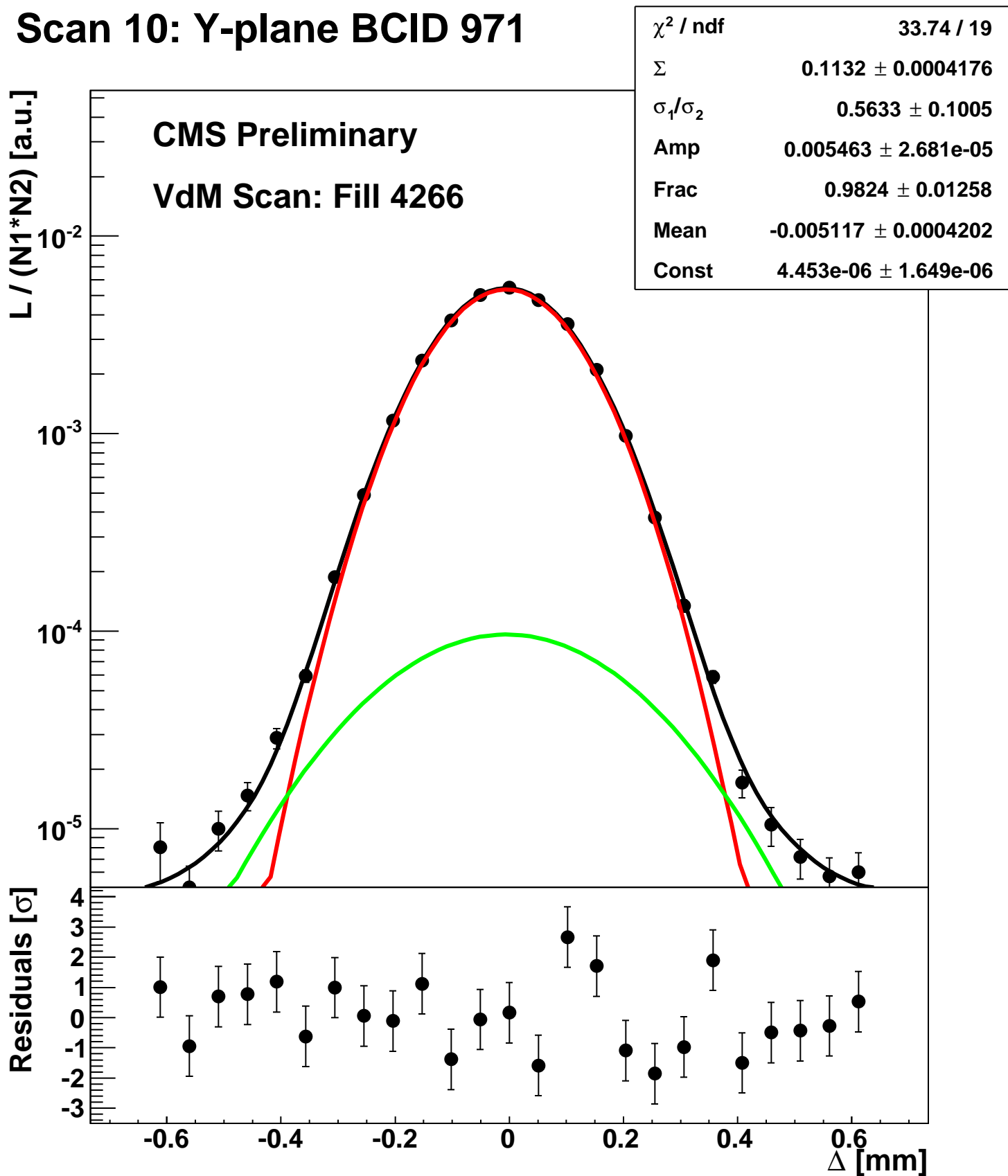
Scan 10: Y-plane BCID 91



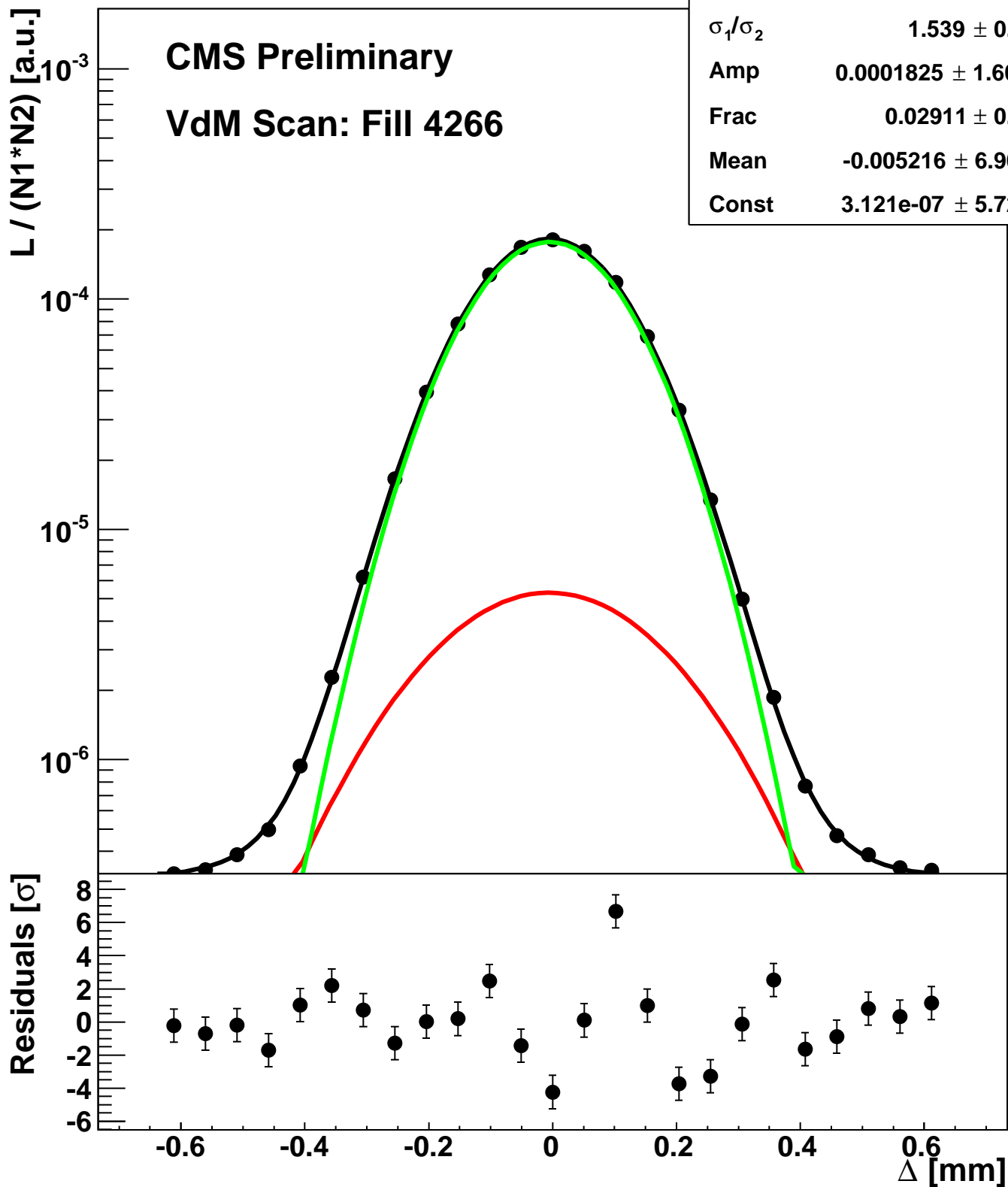
Scan 10: Y-plane BCID 931



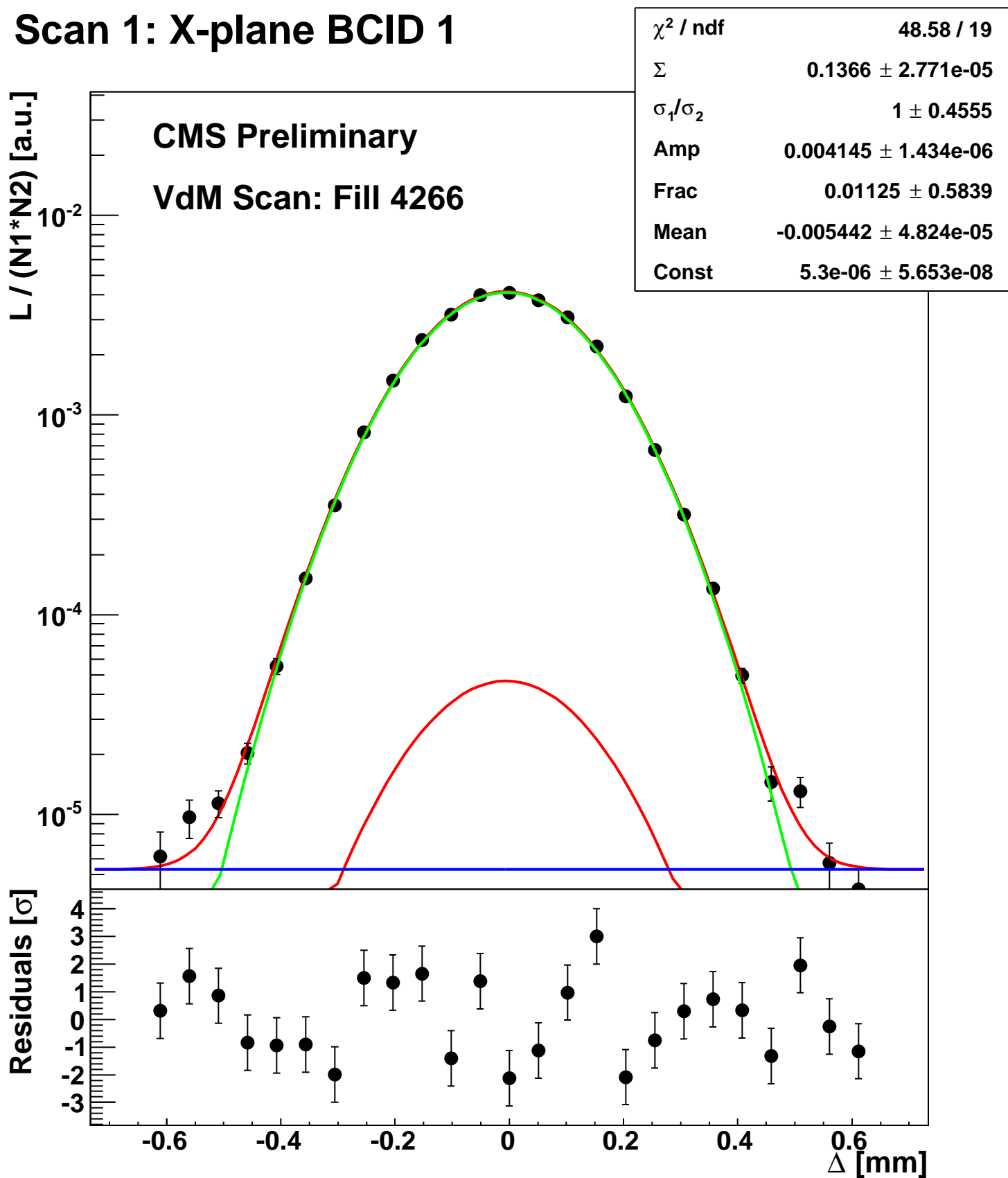
Scan 10: Y-plane BCID 971



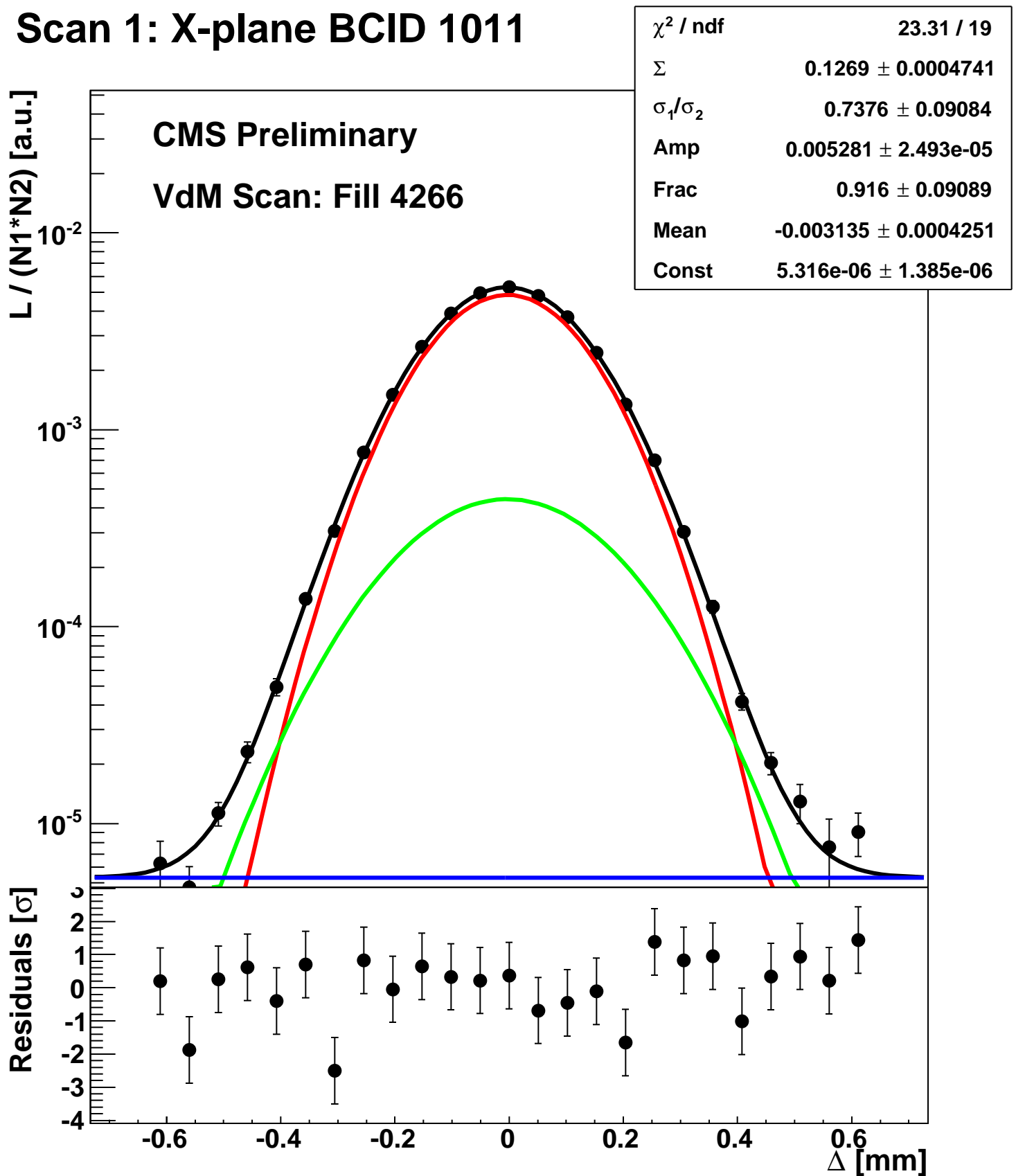
Scan 10: Y-plane BCID sum



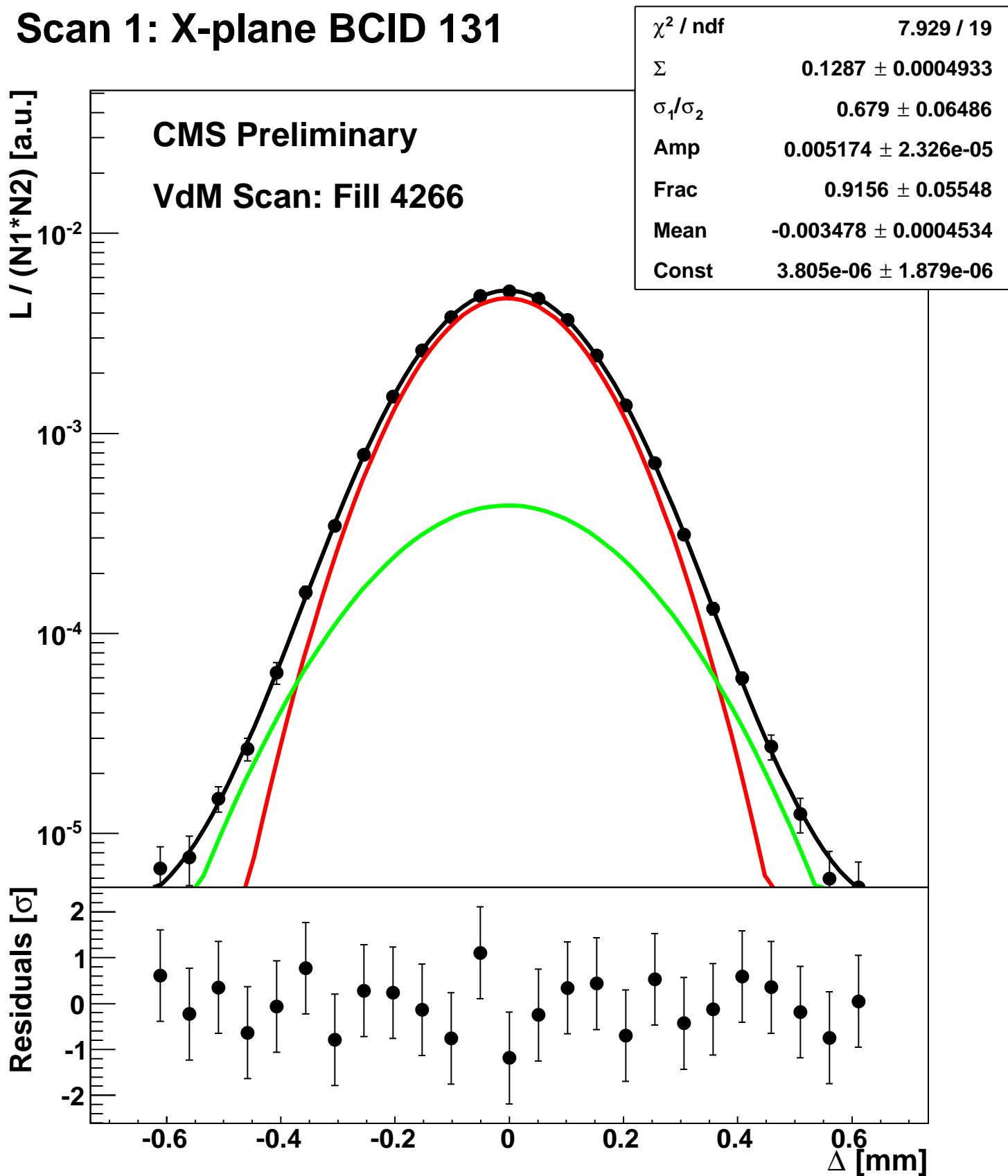
Scan 1: X-plane BCID 1



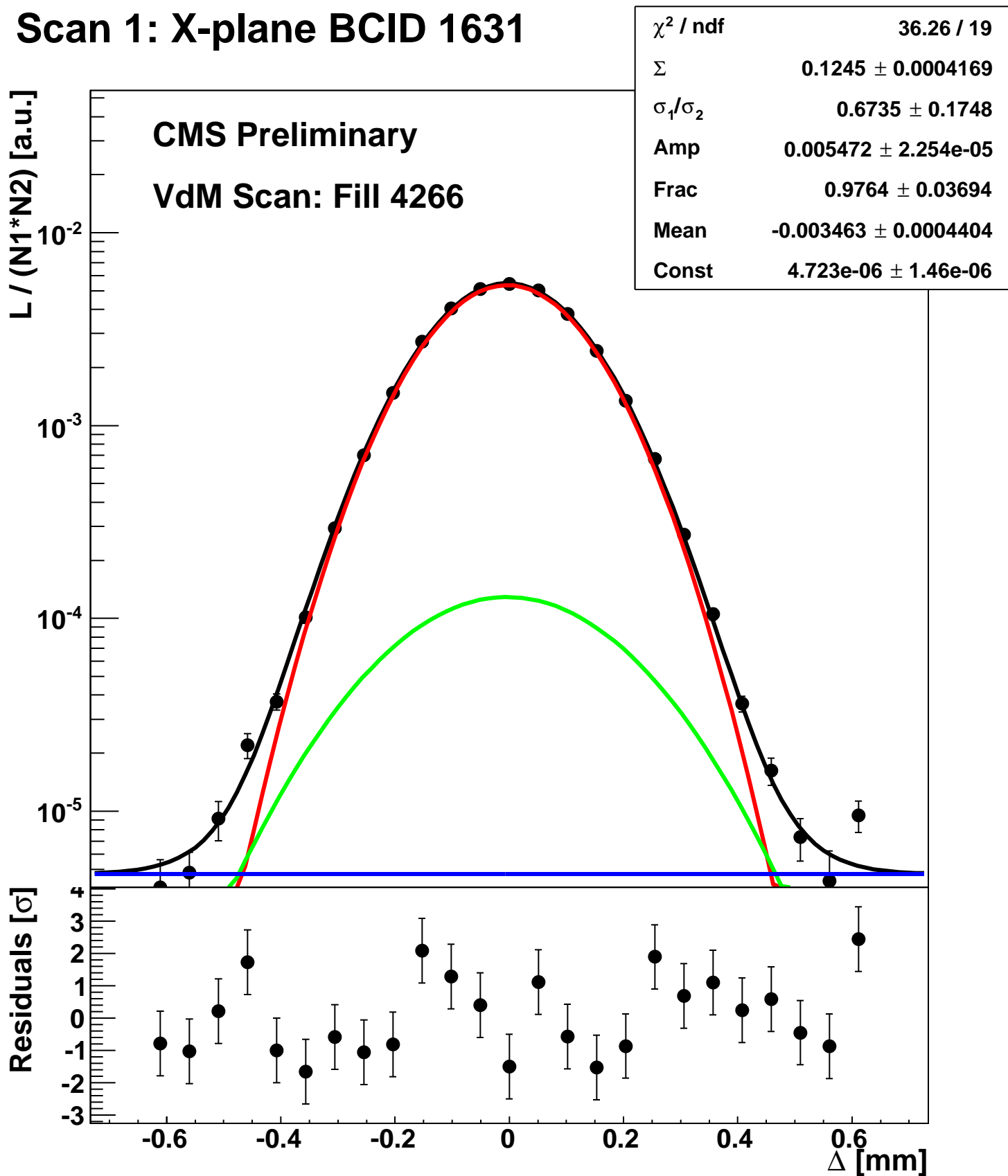
Scan 1: X-plane BCID 1011



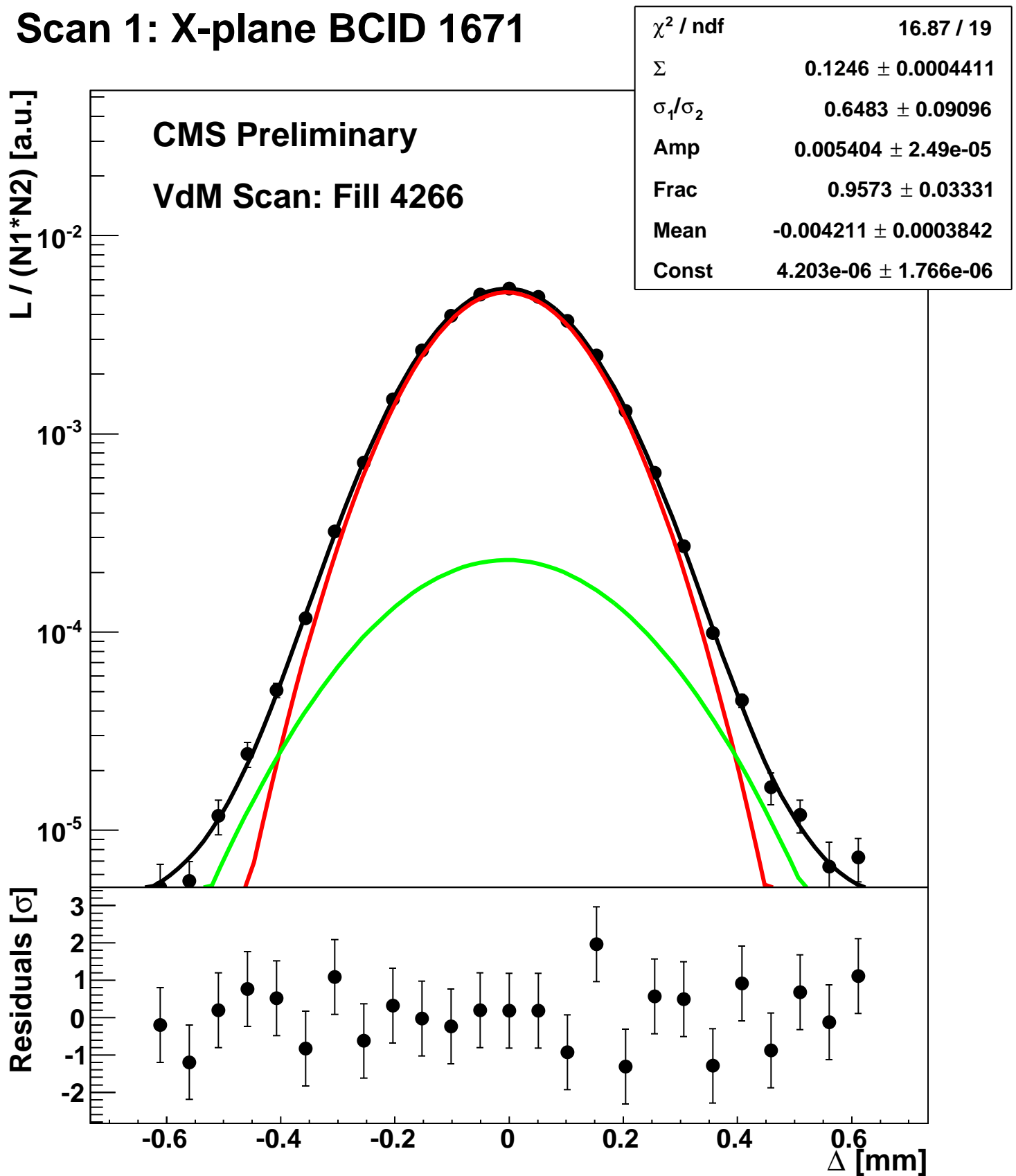
Scan 1: X-plane BCID 131



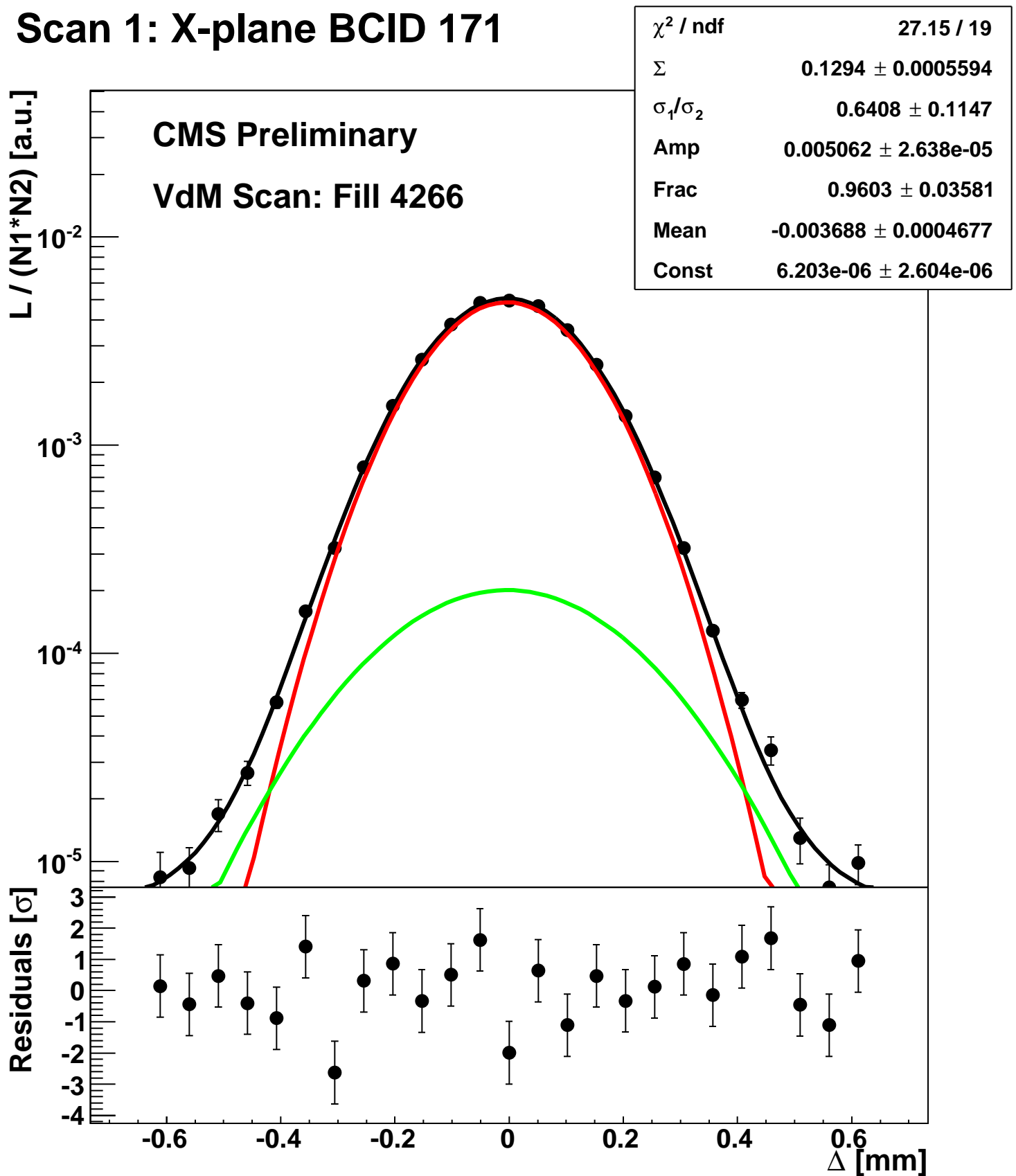
Scan 1: X-plane BCID 1631



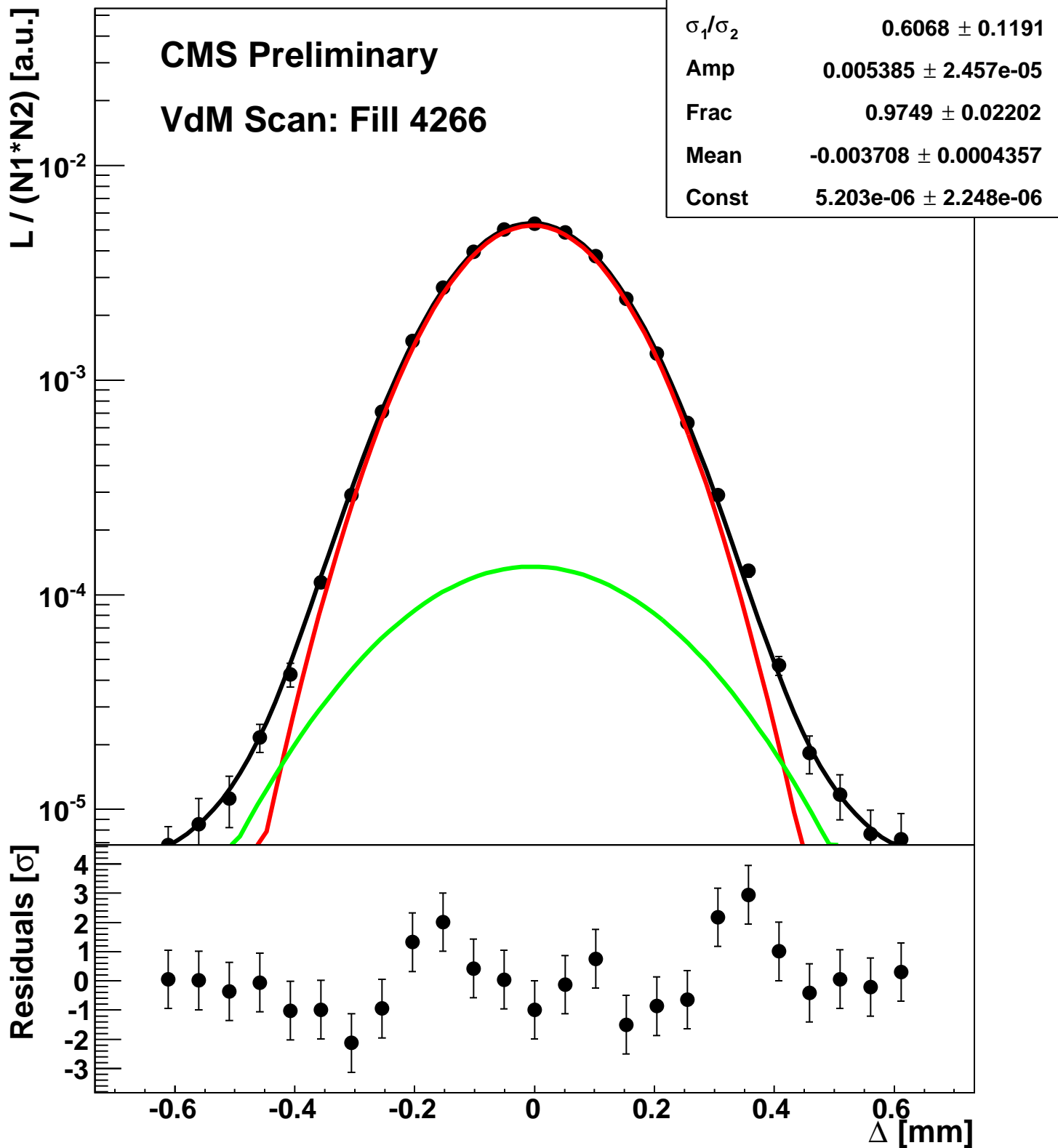
Scan 1: X-plane BCID 1671



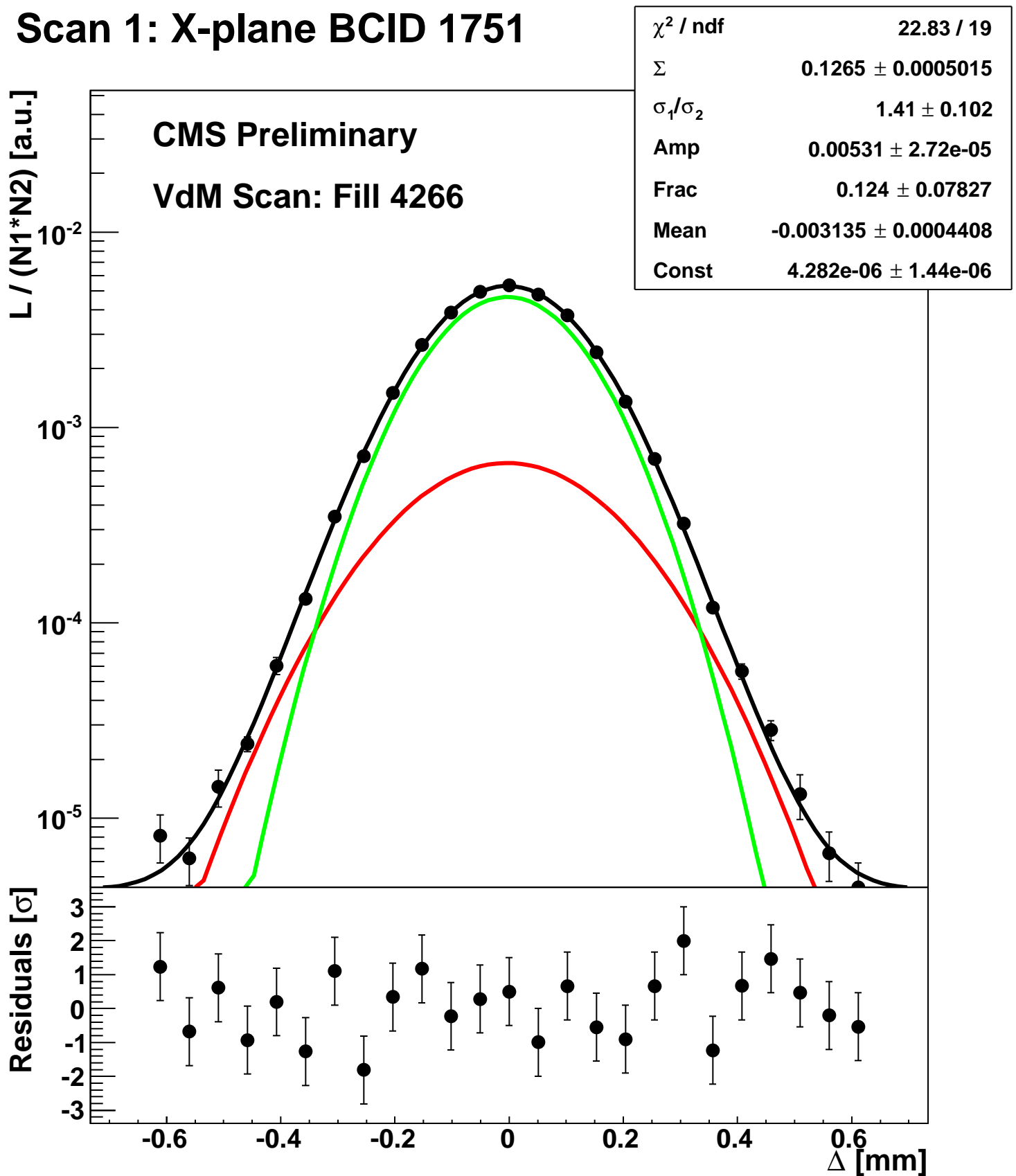
Scan 1: X-plane BCID 171



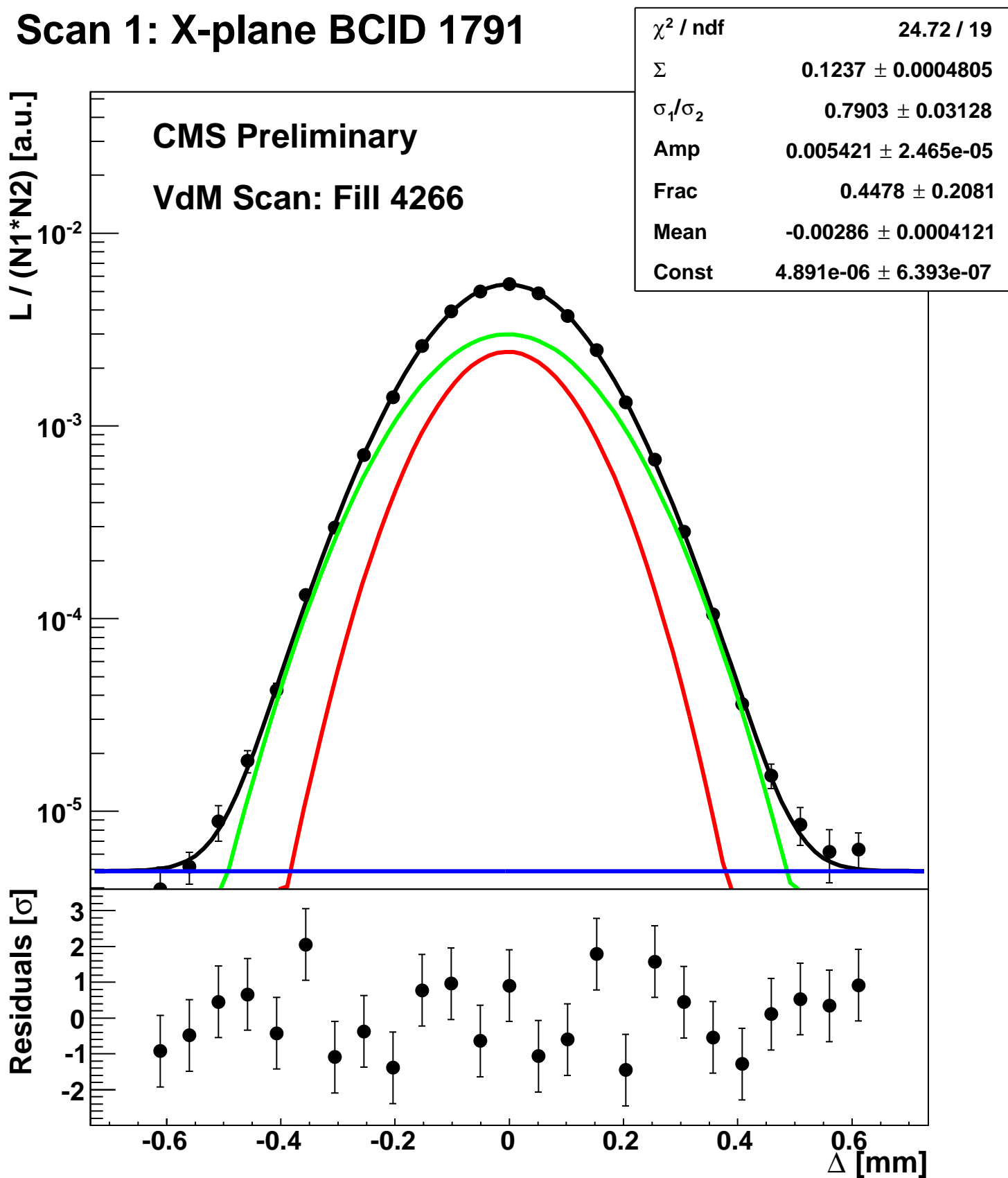
Scan 1: X-plane BCID 1711



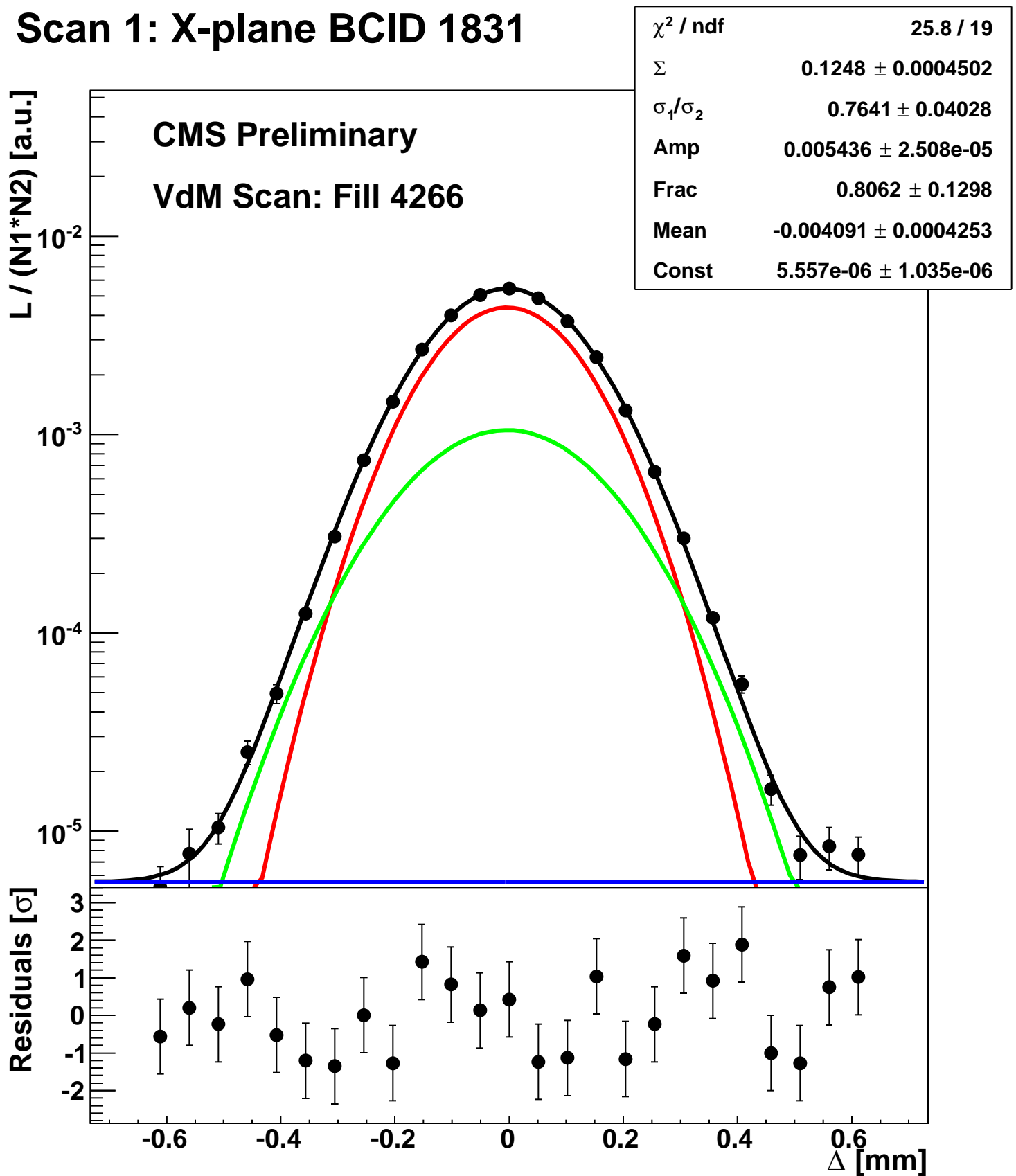
Scan 1: X-plane BCID 1751



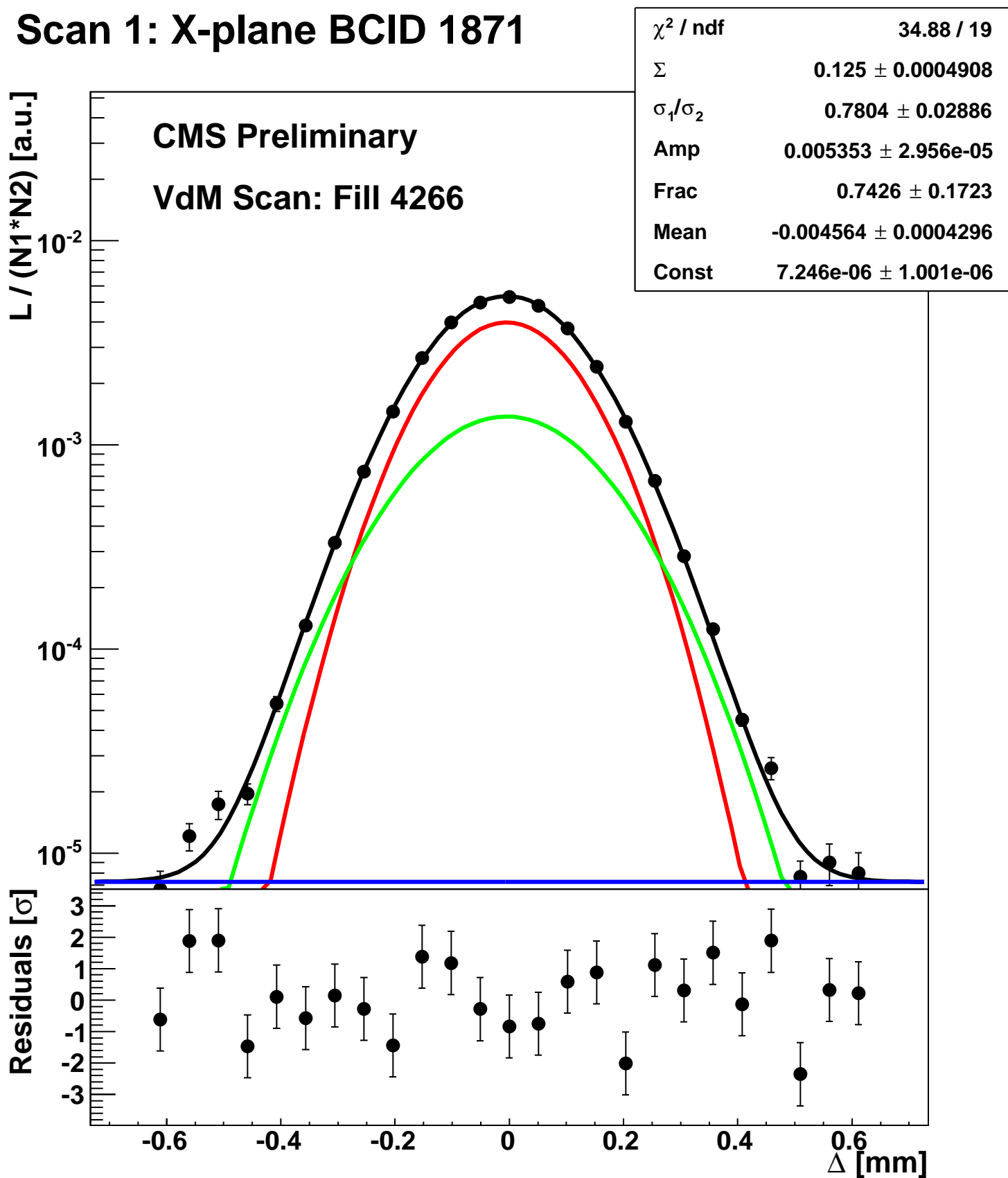
Scan 1: X-plane BCID 1791



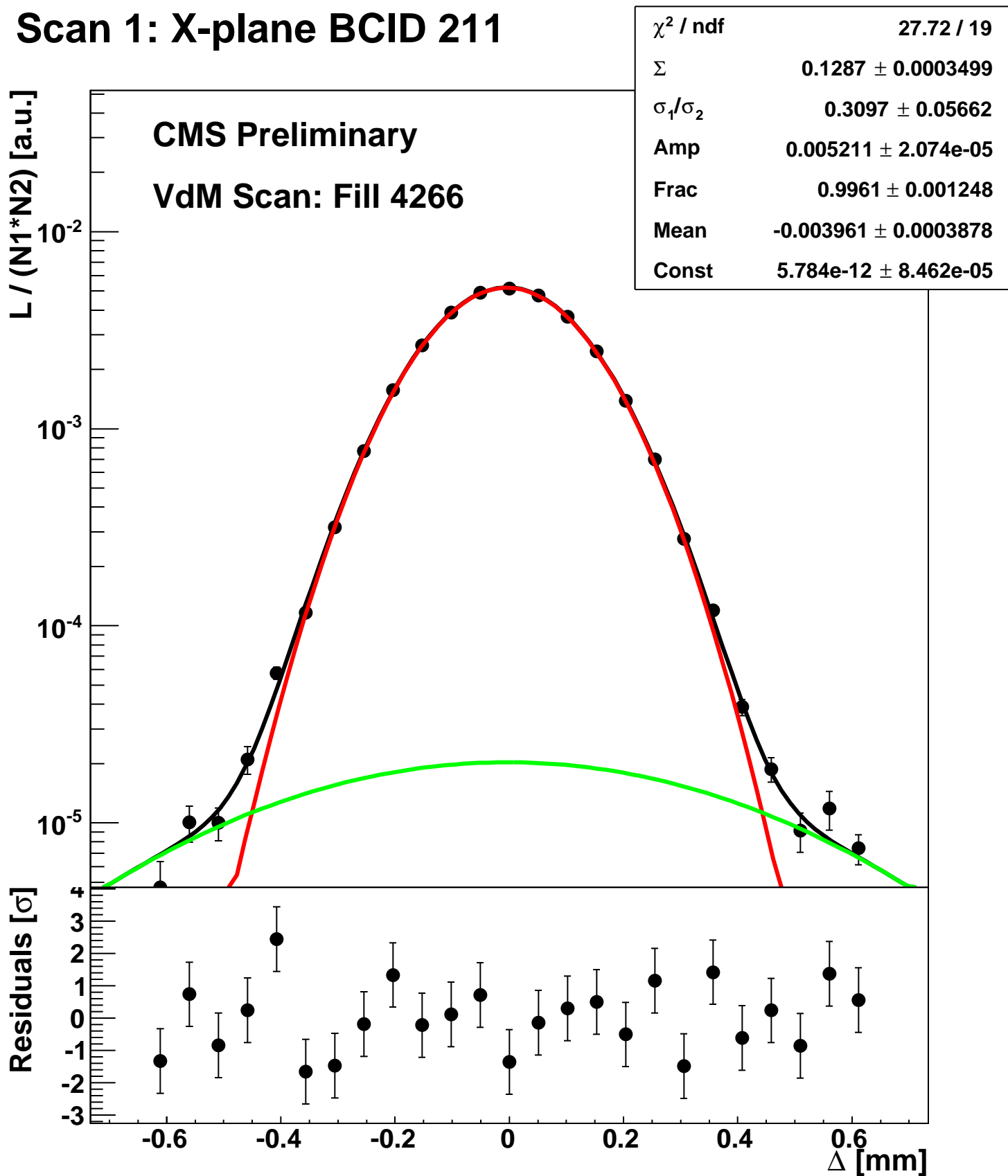
Scan 1: X-plane BCID 1831



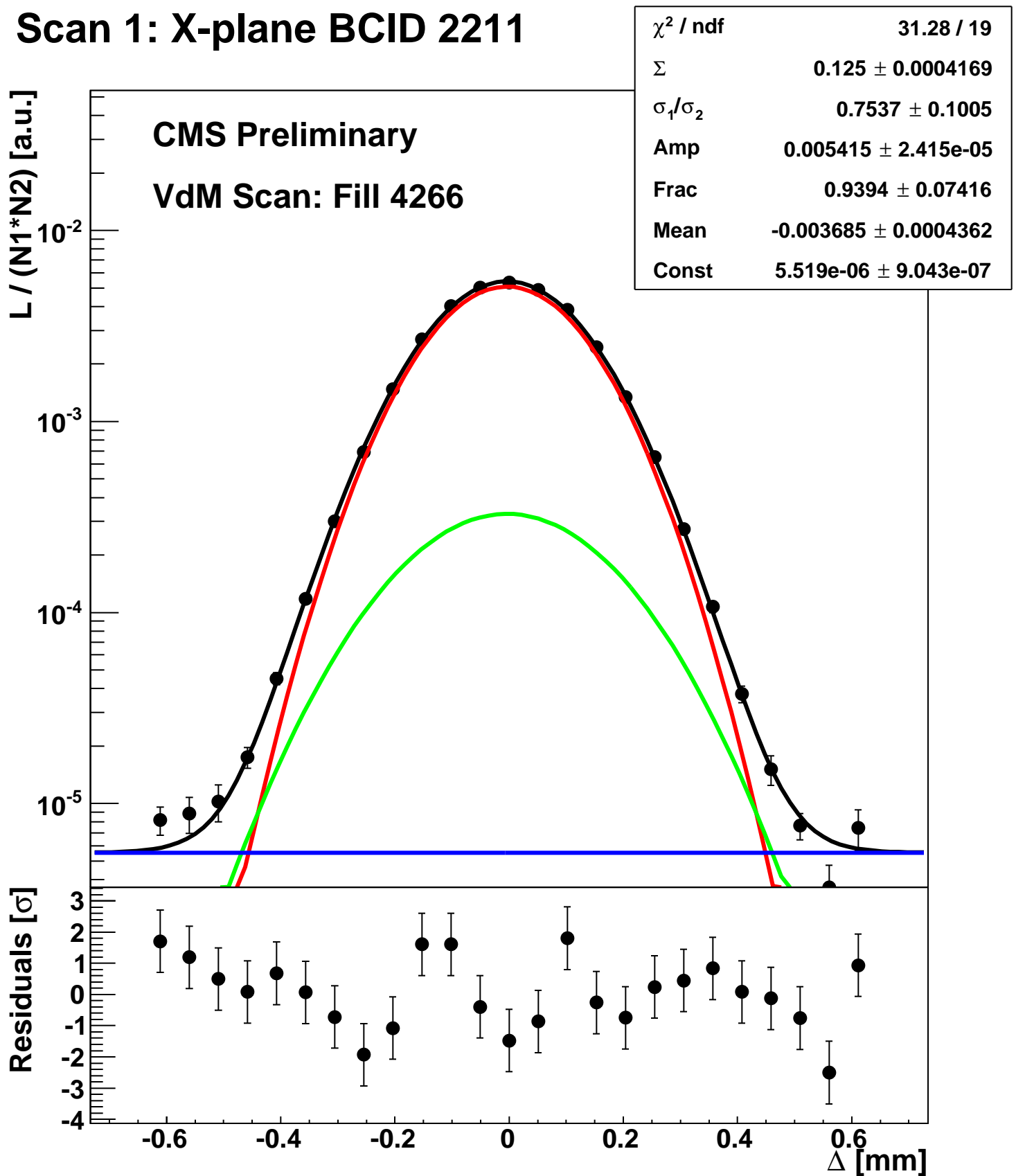
Scan 1: X-plane BCID 1871



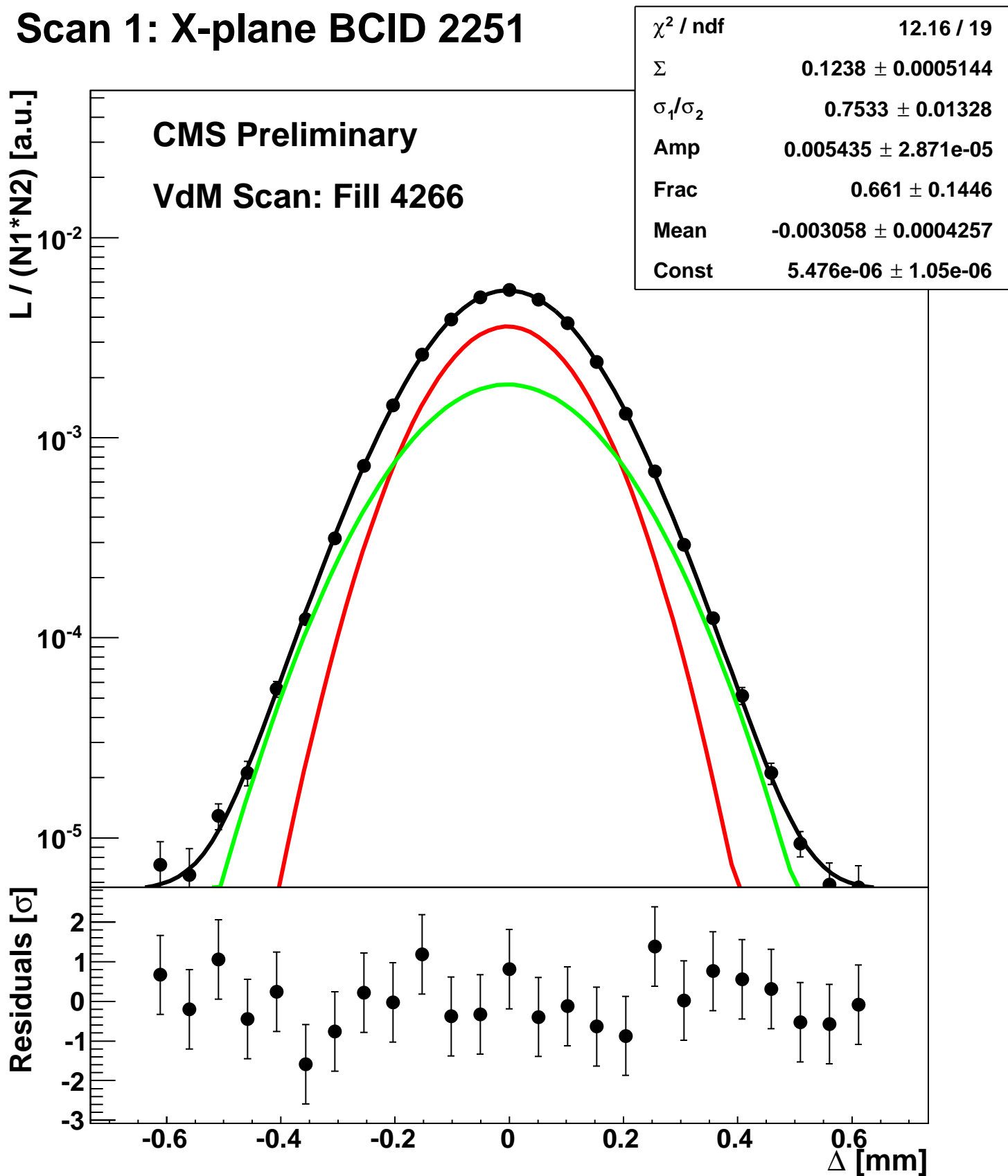
Scan 1: X-plane BCID 211



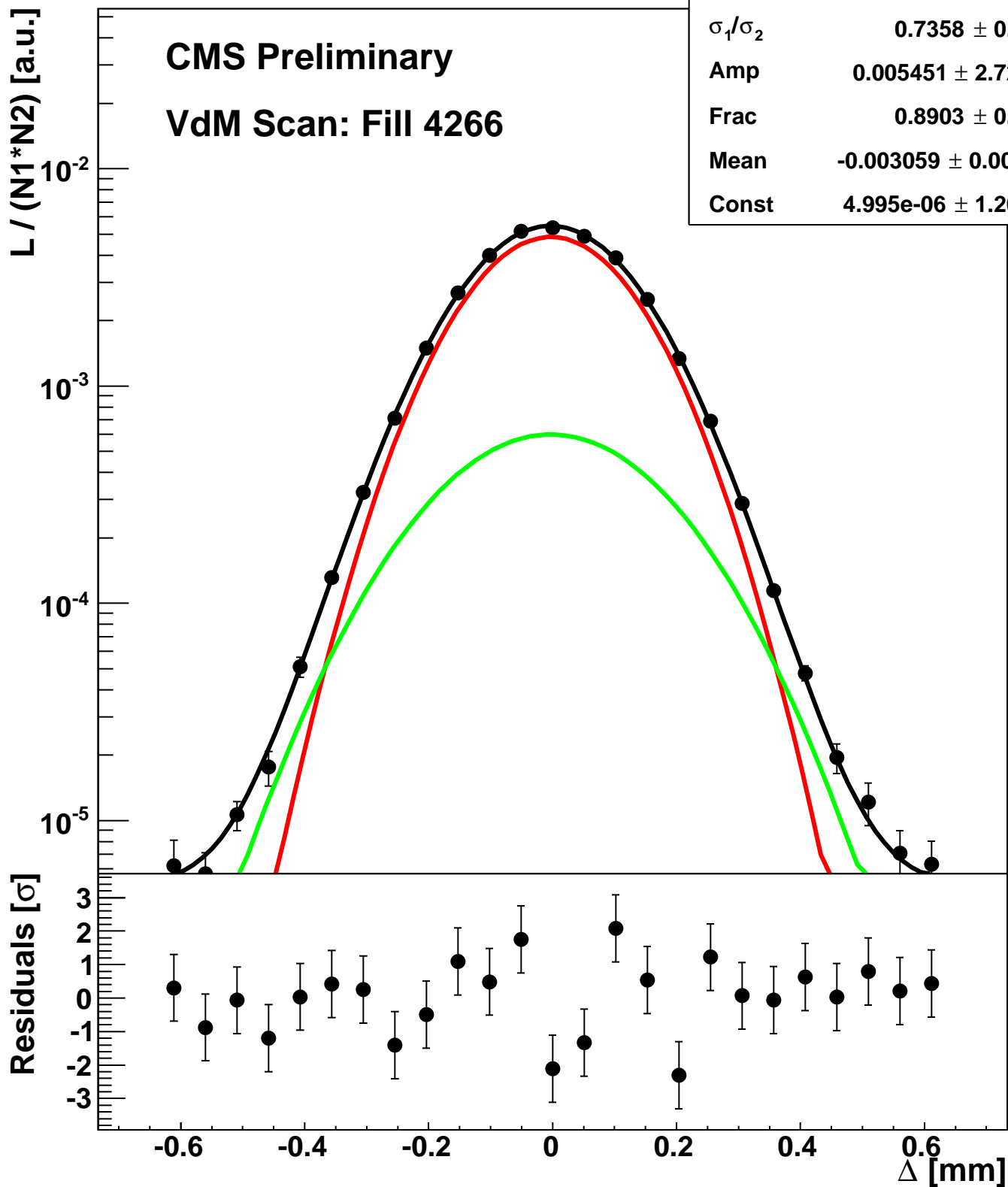
Scan 1: X-plane BCID 2211



Scan 1: X-plane BCID 2251

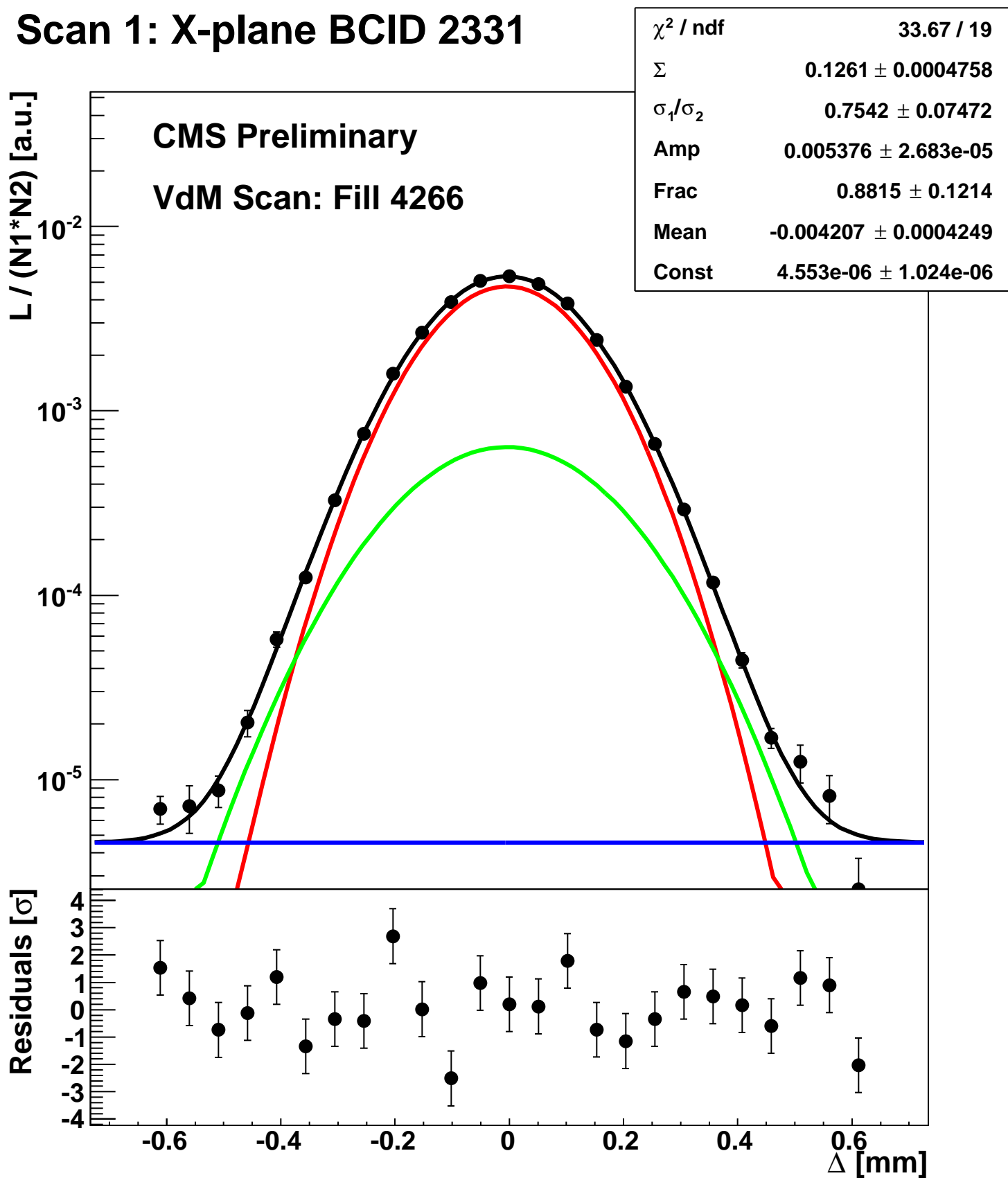


Scan 1: X-plane BCID 2291

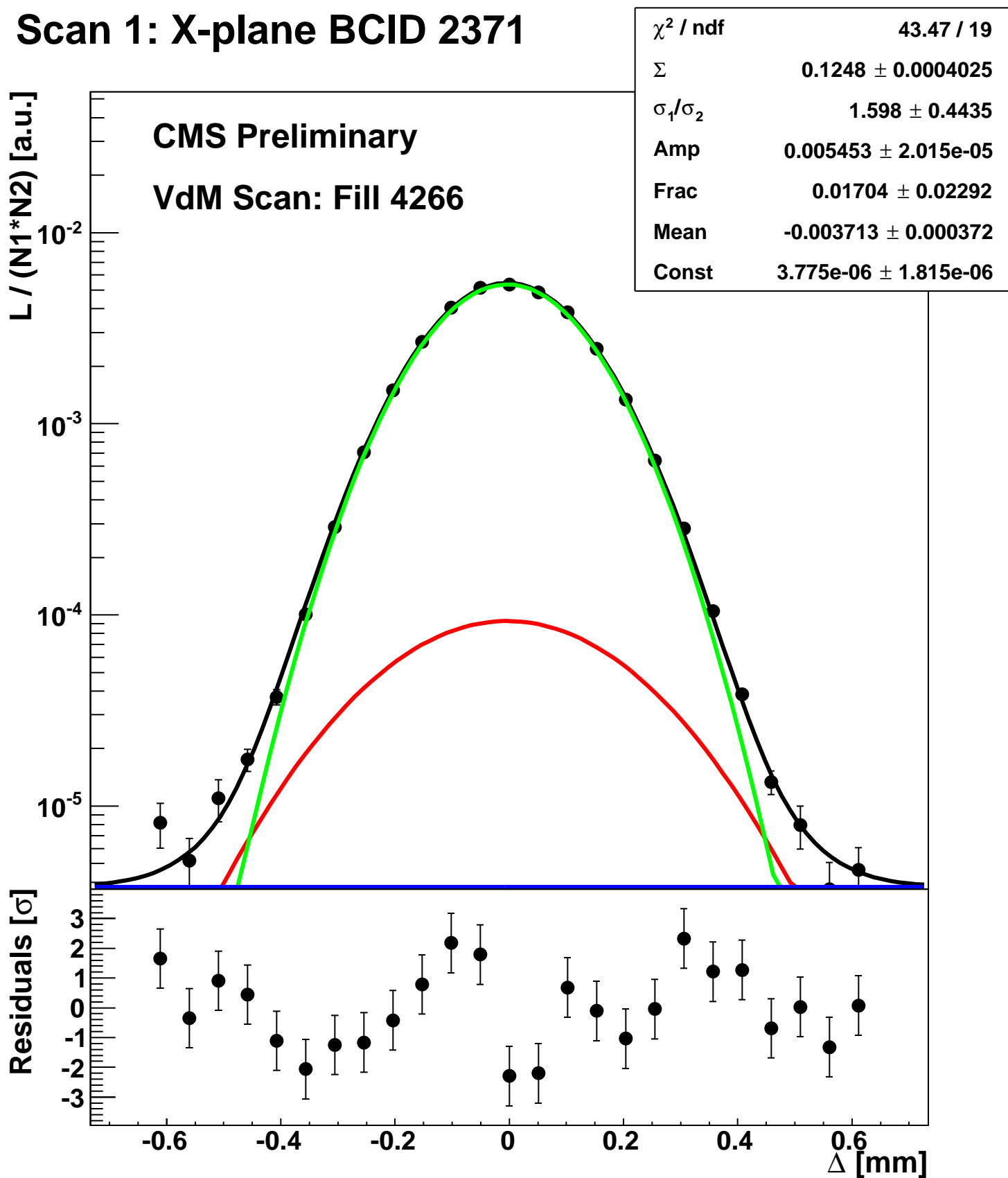


χ^2 / ndf	28.1 / 19
Σ	0.1252 ± 0.0004442
σ_1 / σ_2	0.7358 ± 0.06188
Amp	$0.005451 \pm 2.723\text{e-}05$
Frac	0.8903 ± 0.08464
Mean	-0.003059 ± 0.0004174
Const	$4.995\text{e-}06 \pm 1.205\text{e-}06$

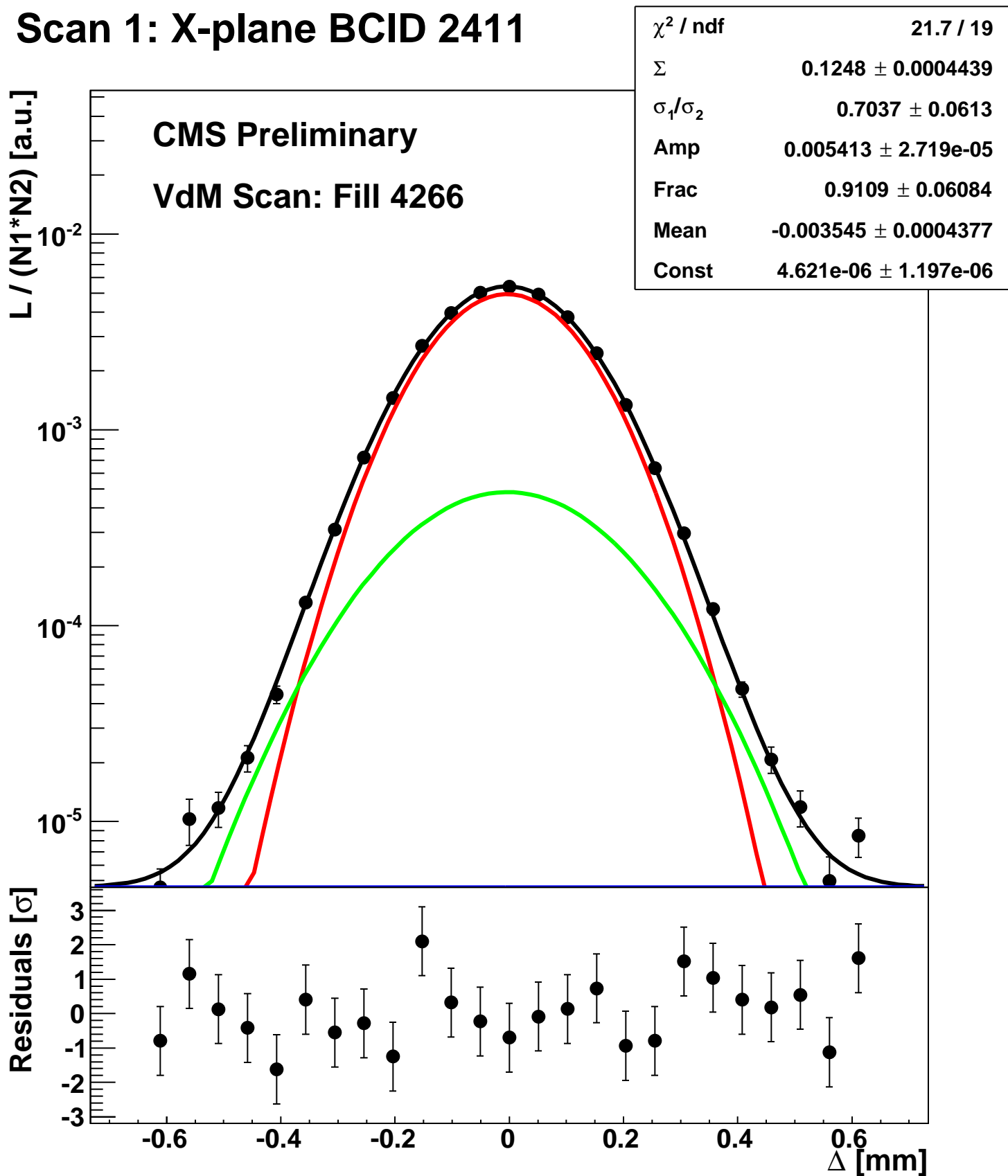
Scan 1: X-plane BCID 2331



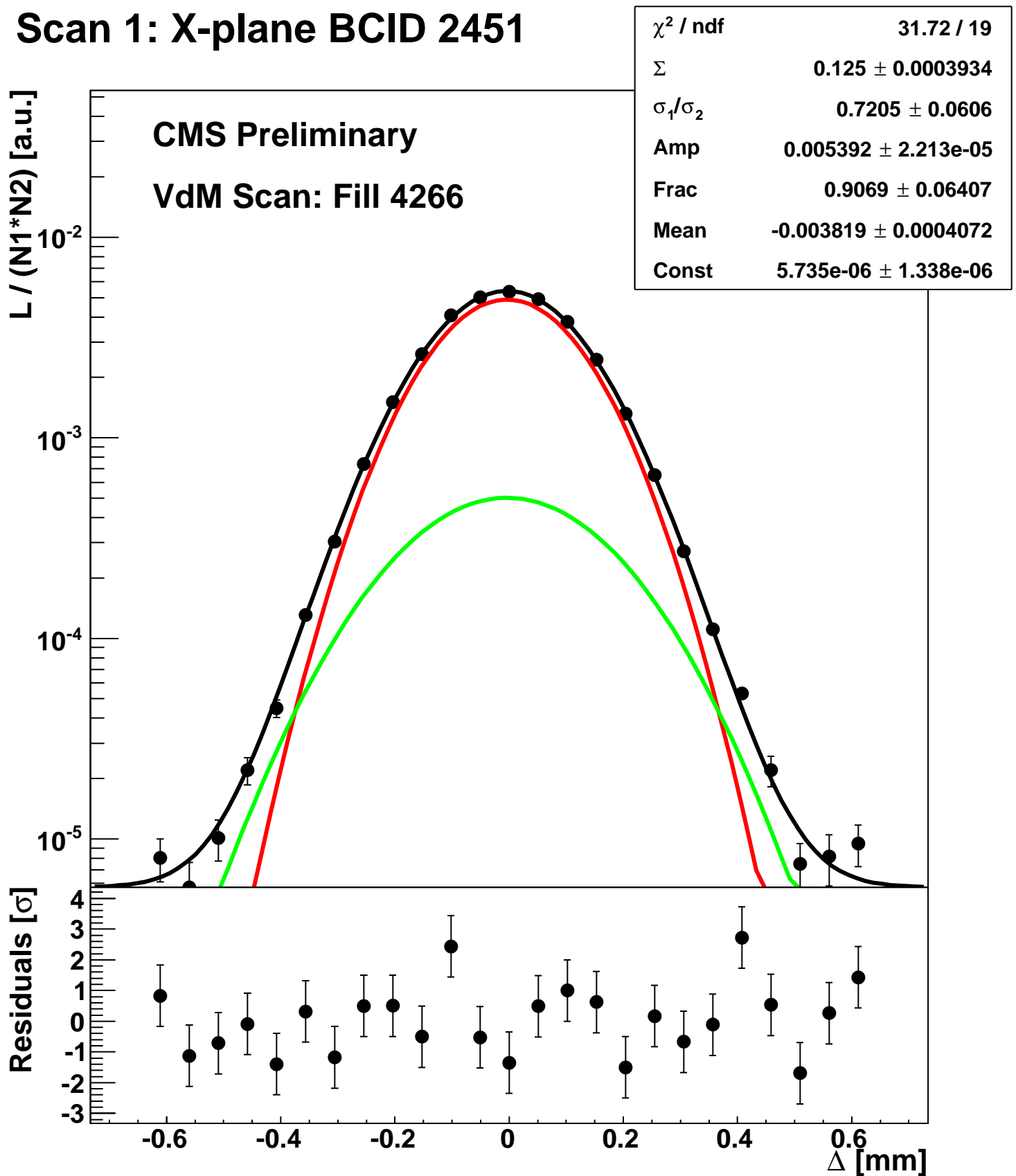
Scan 1: X-plane BCID 2371



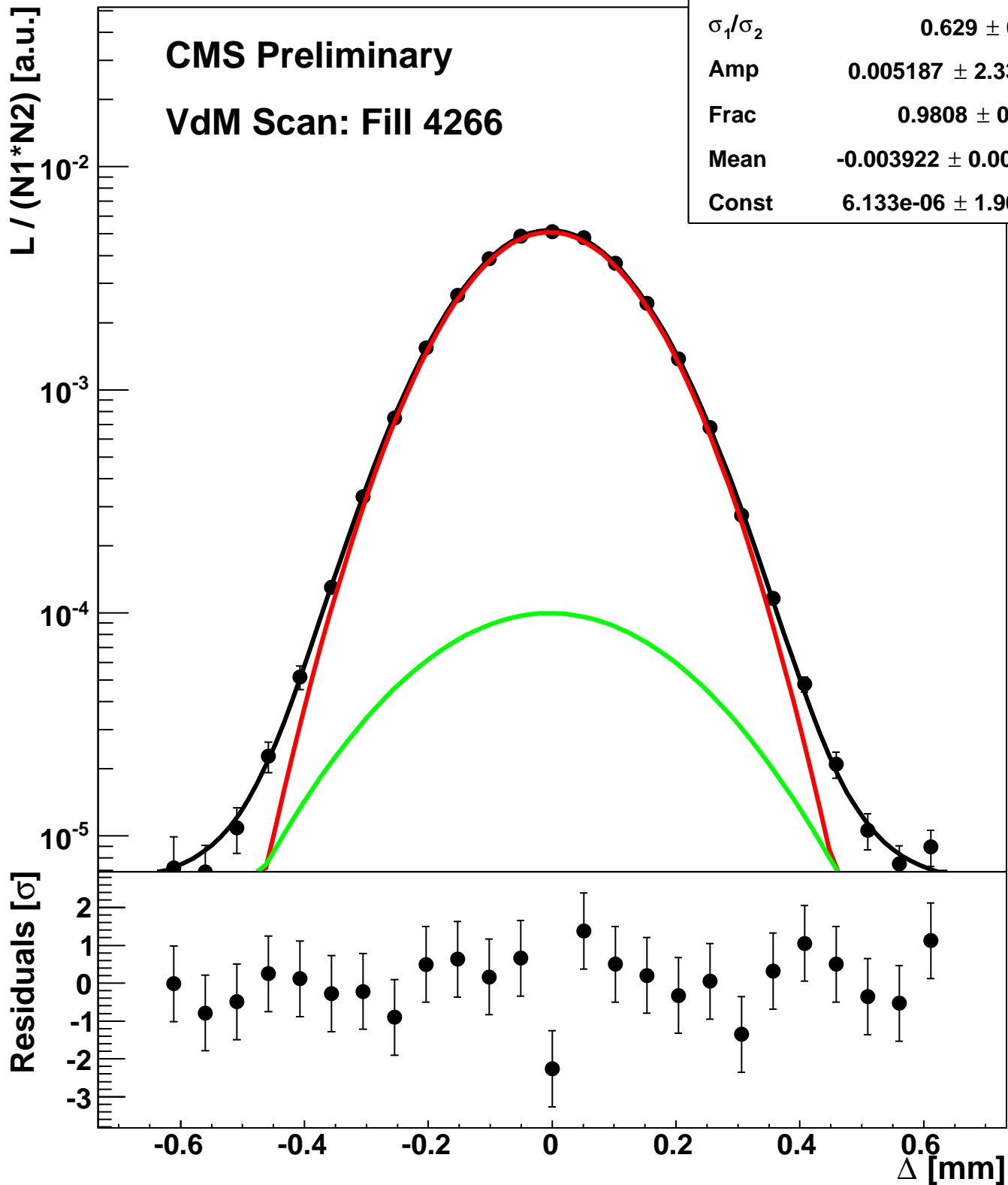
Scan 1: X-plane BCID 2411



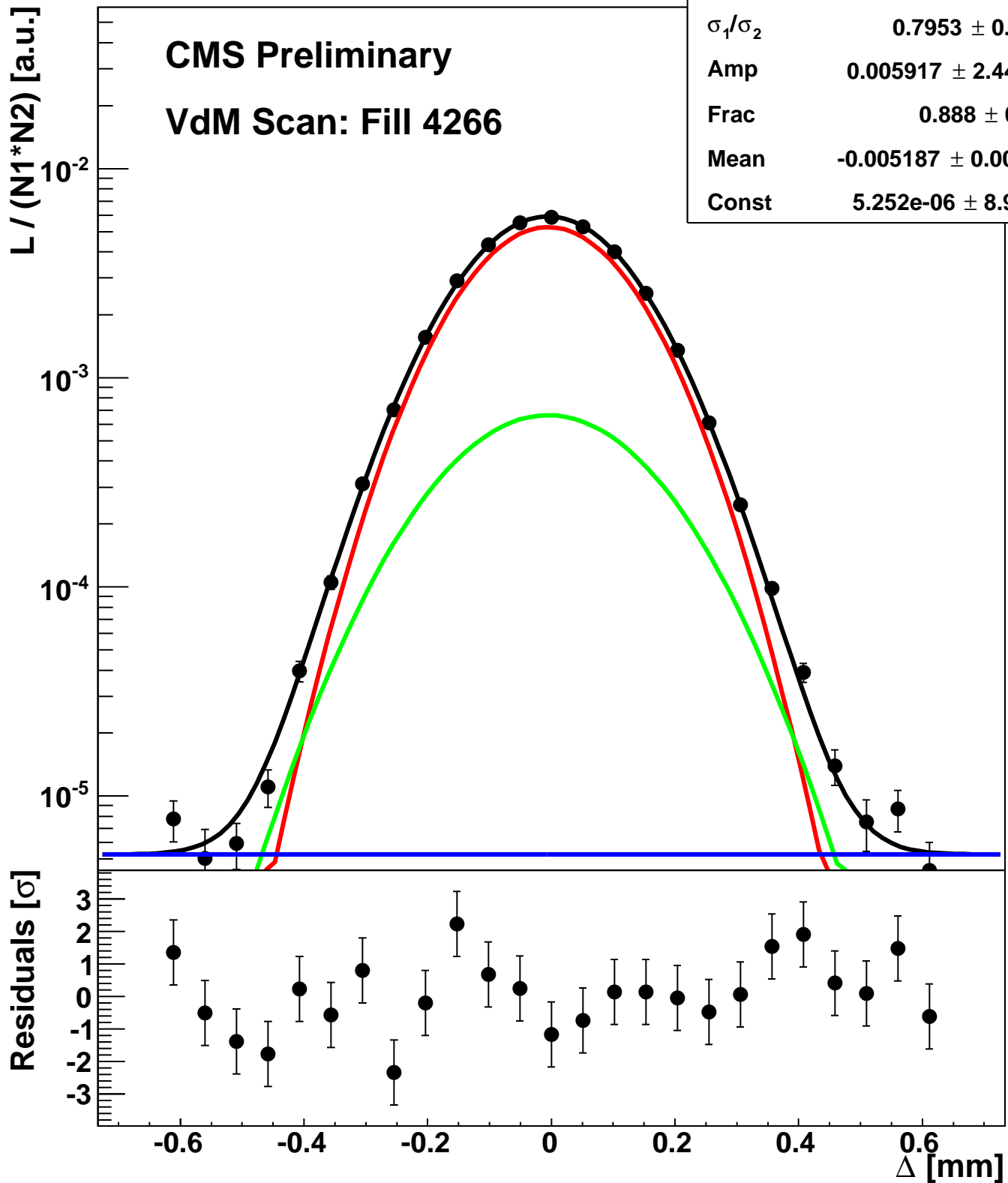
Scan 1: X-plane BCID 2451



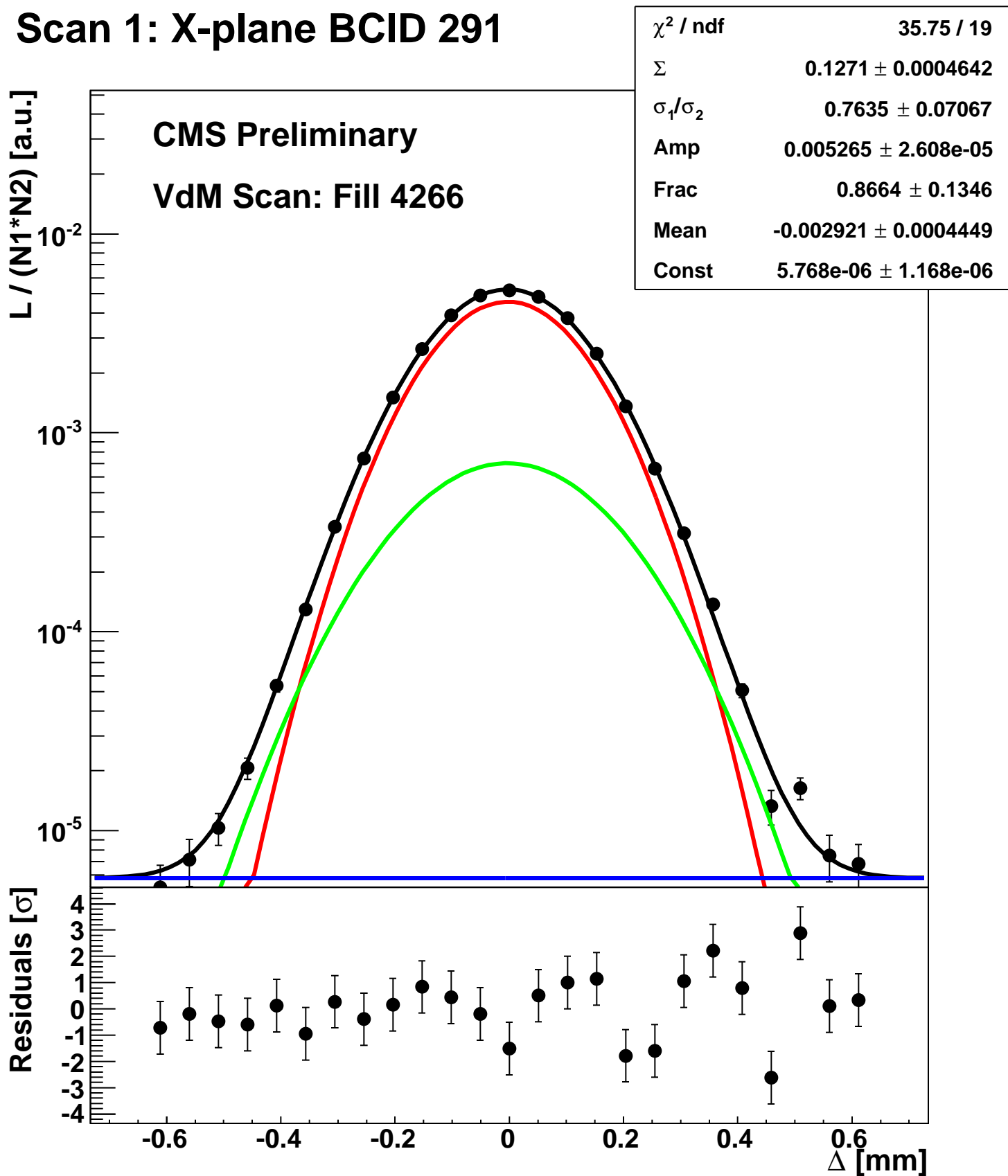
Scan 1: X-plane BCID 251



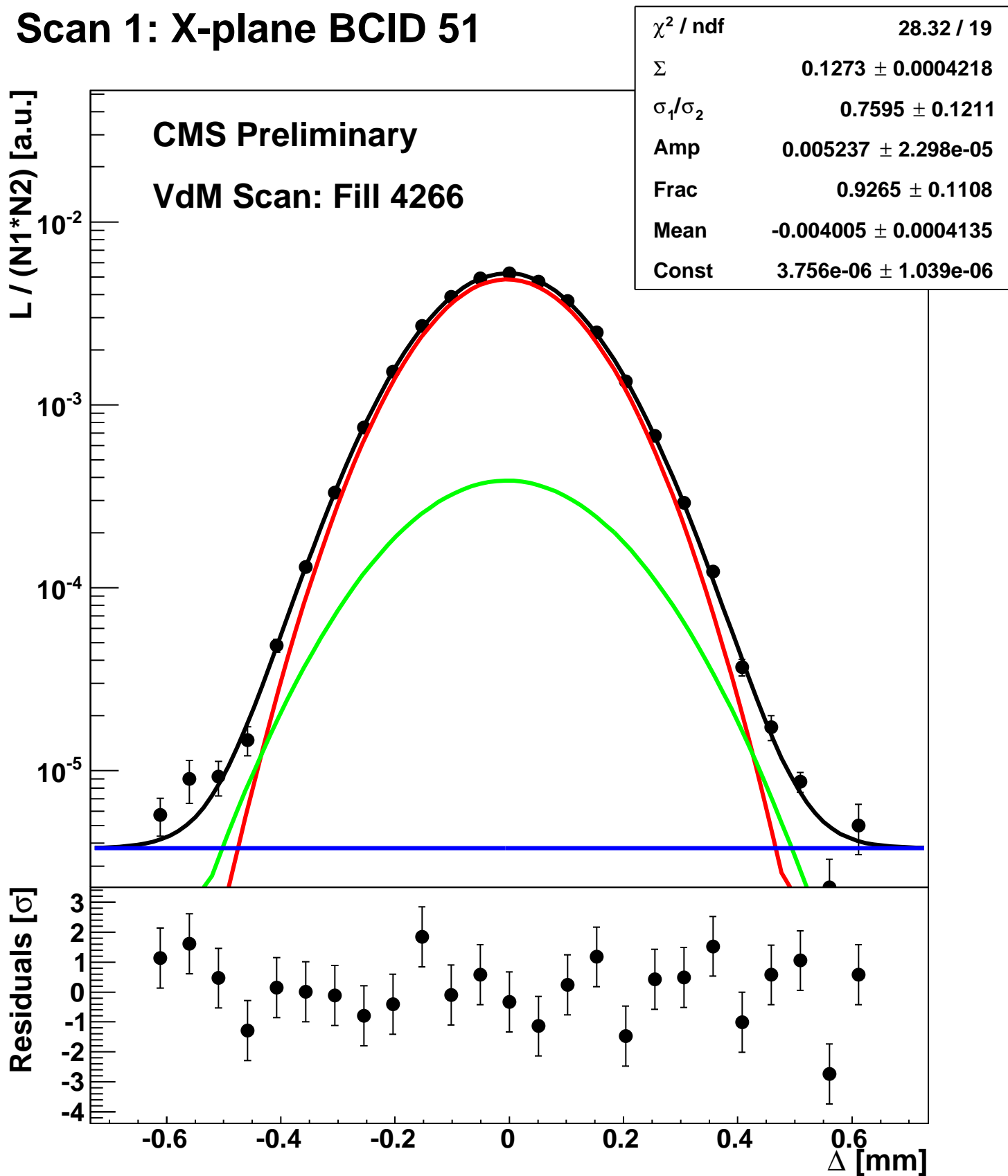
Scan 1: X-plane BCID 2674



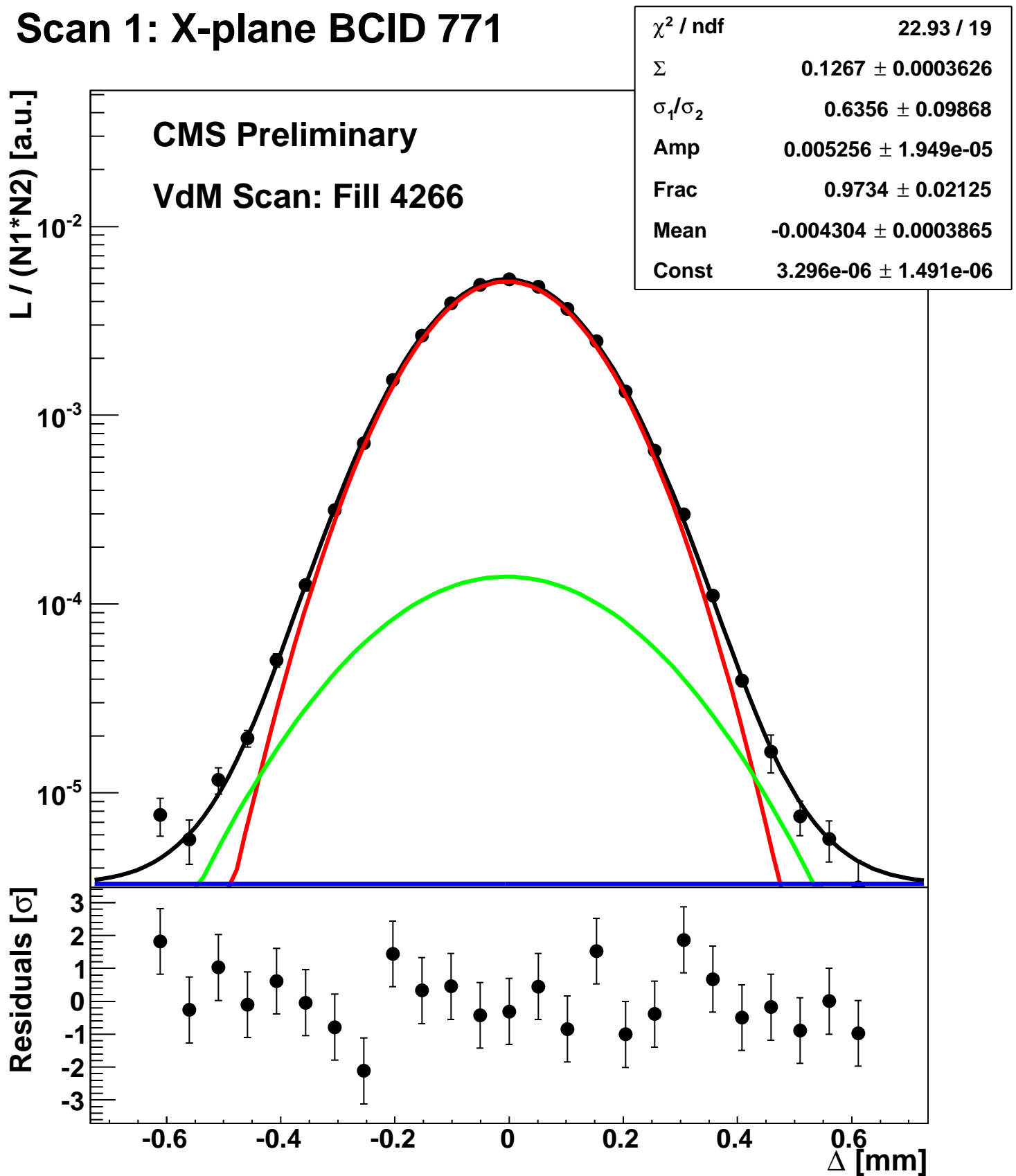
Scan 1: X-plane BCID 291



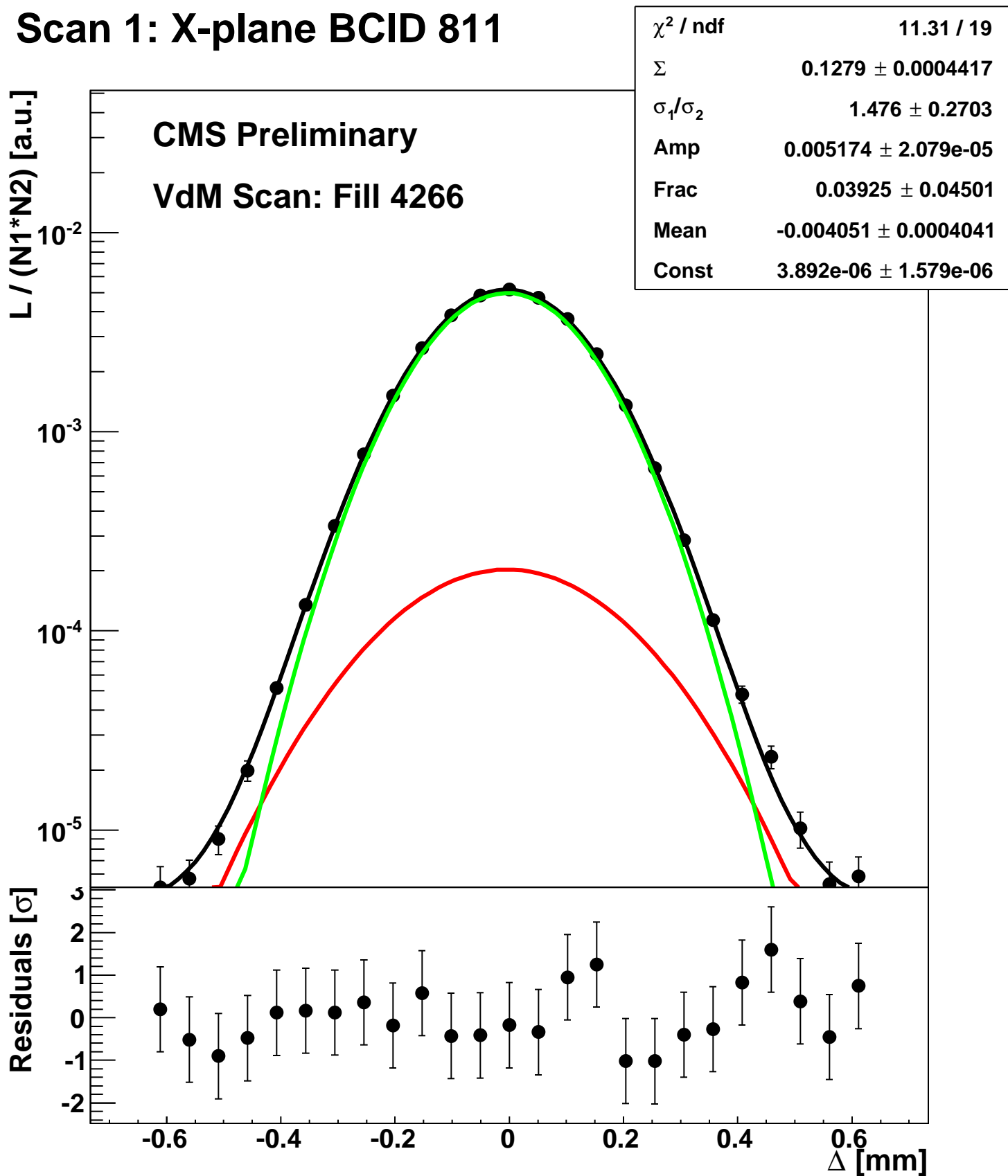
Scan 1: X-plane BCID 51



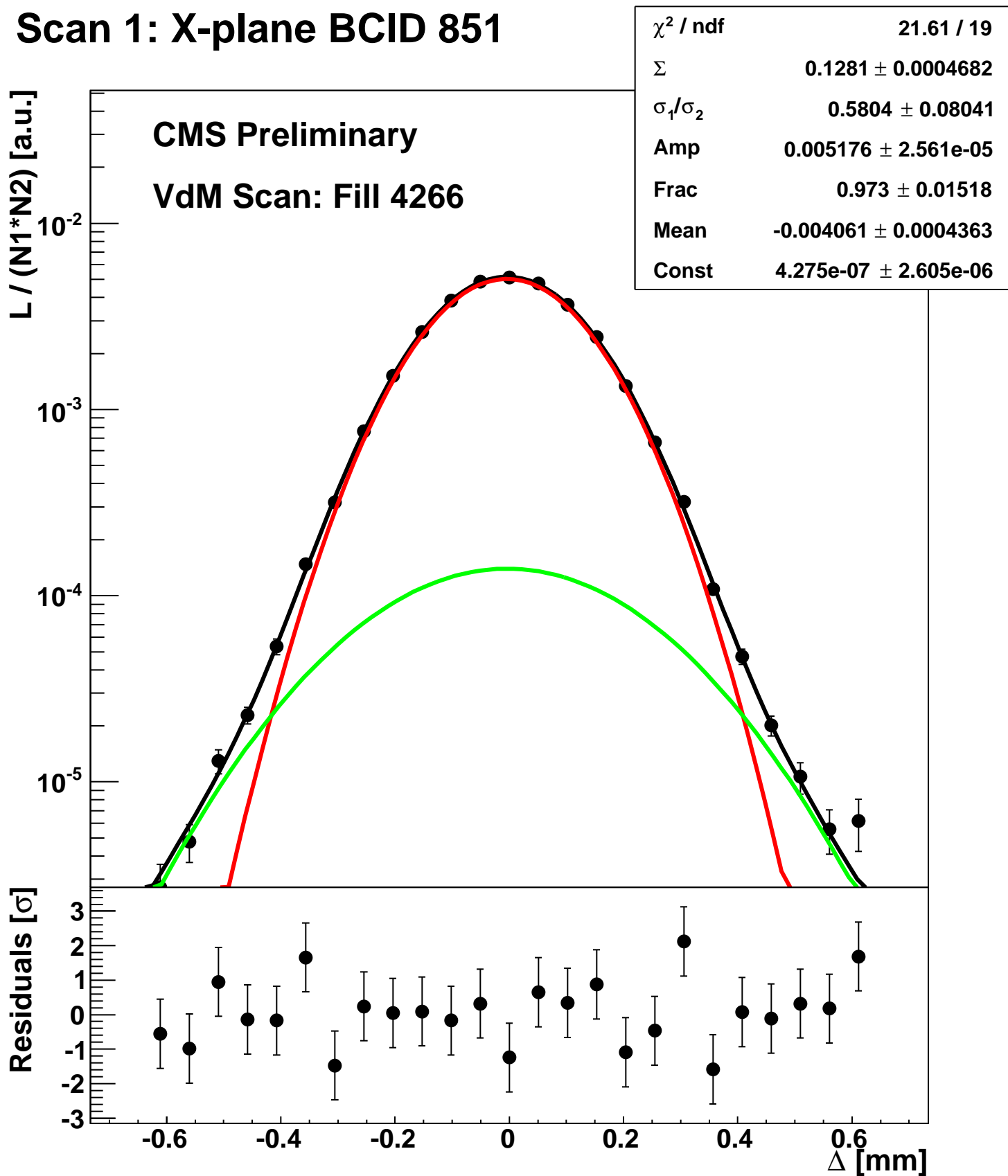
Scan 1: X-plane BCID 771



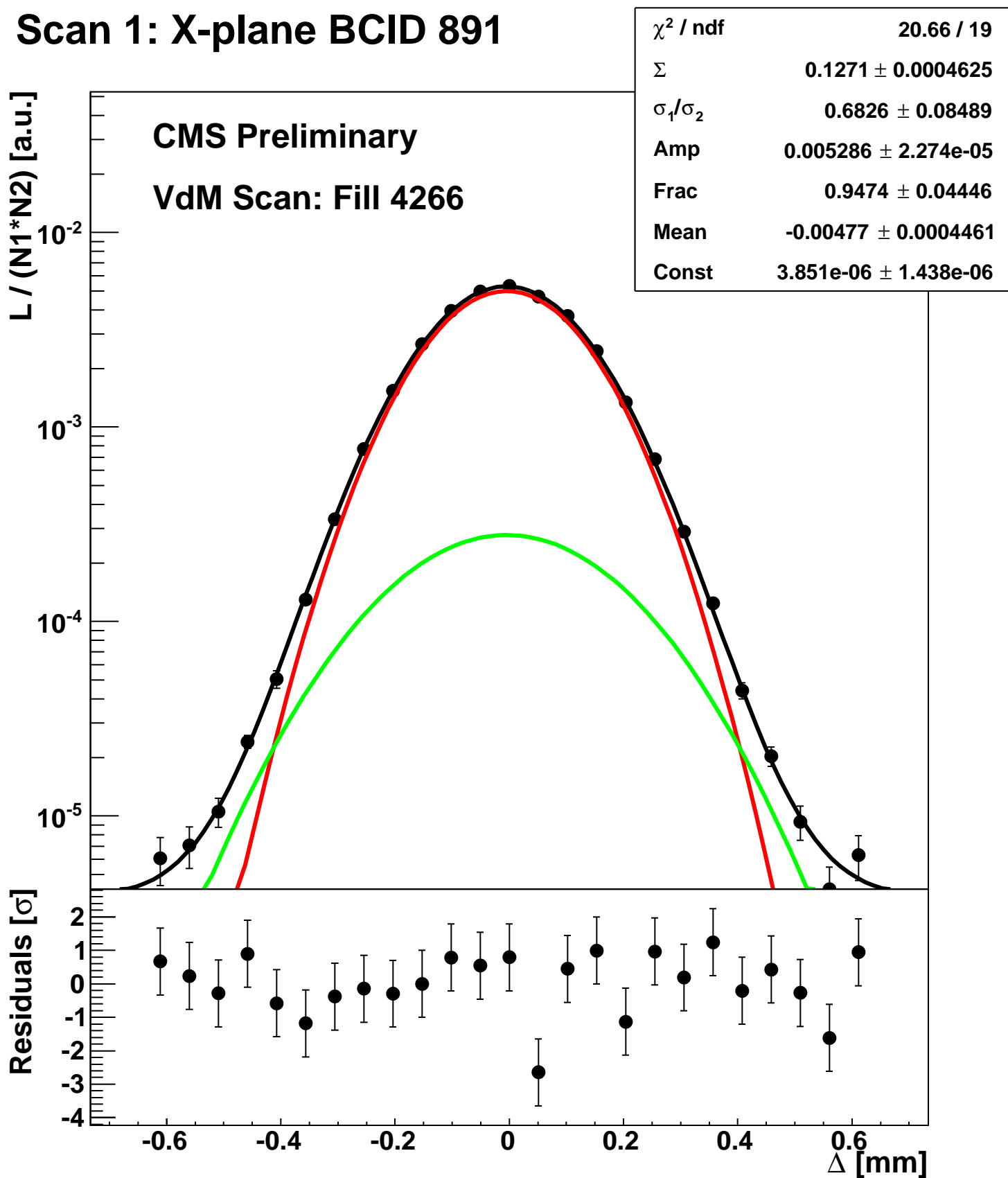
Scan 1: X-plane BCID 811



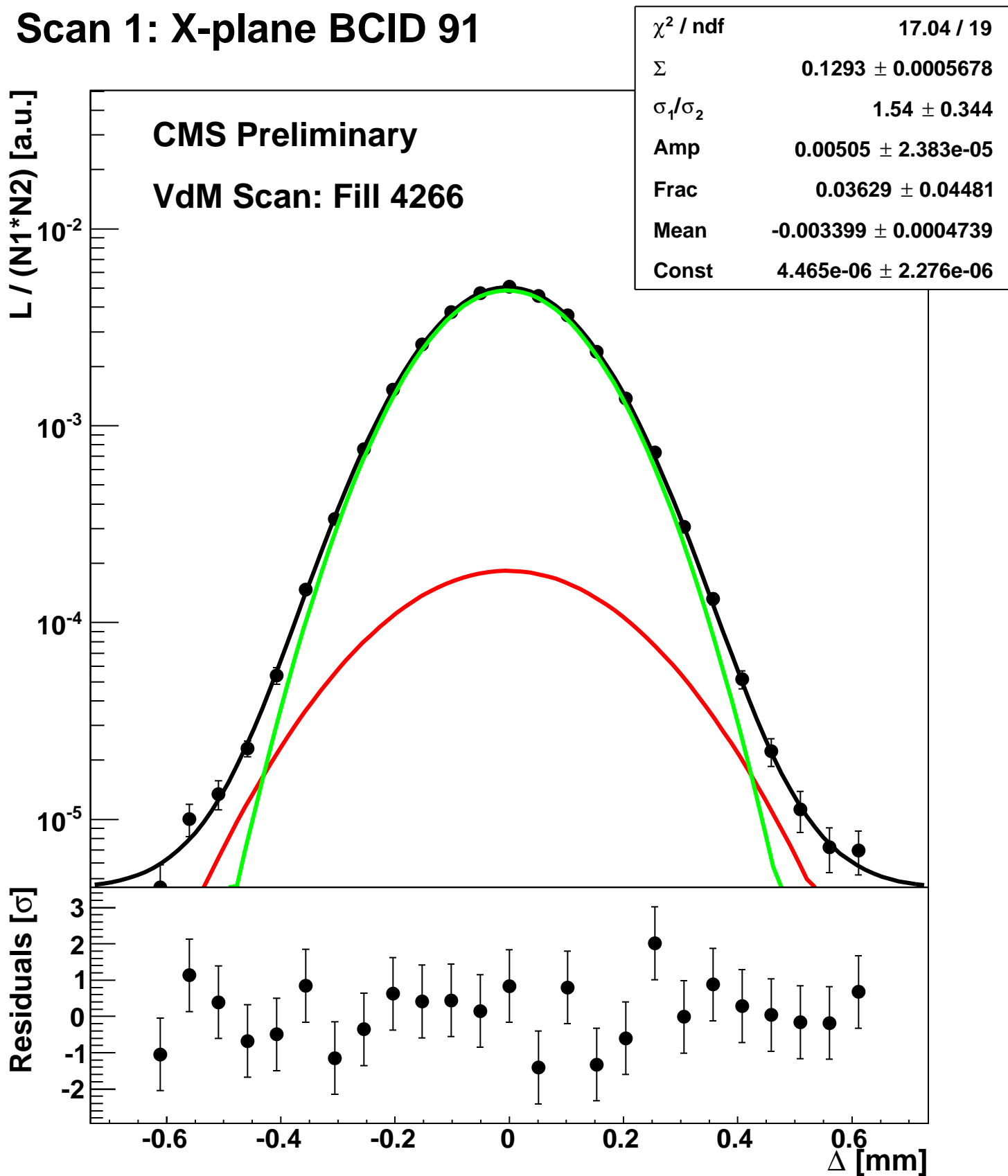
Scan 1: X-plane BCID 851



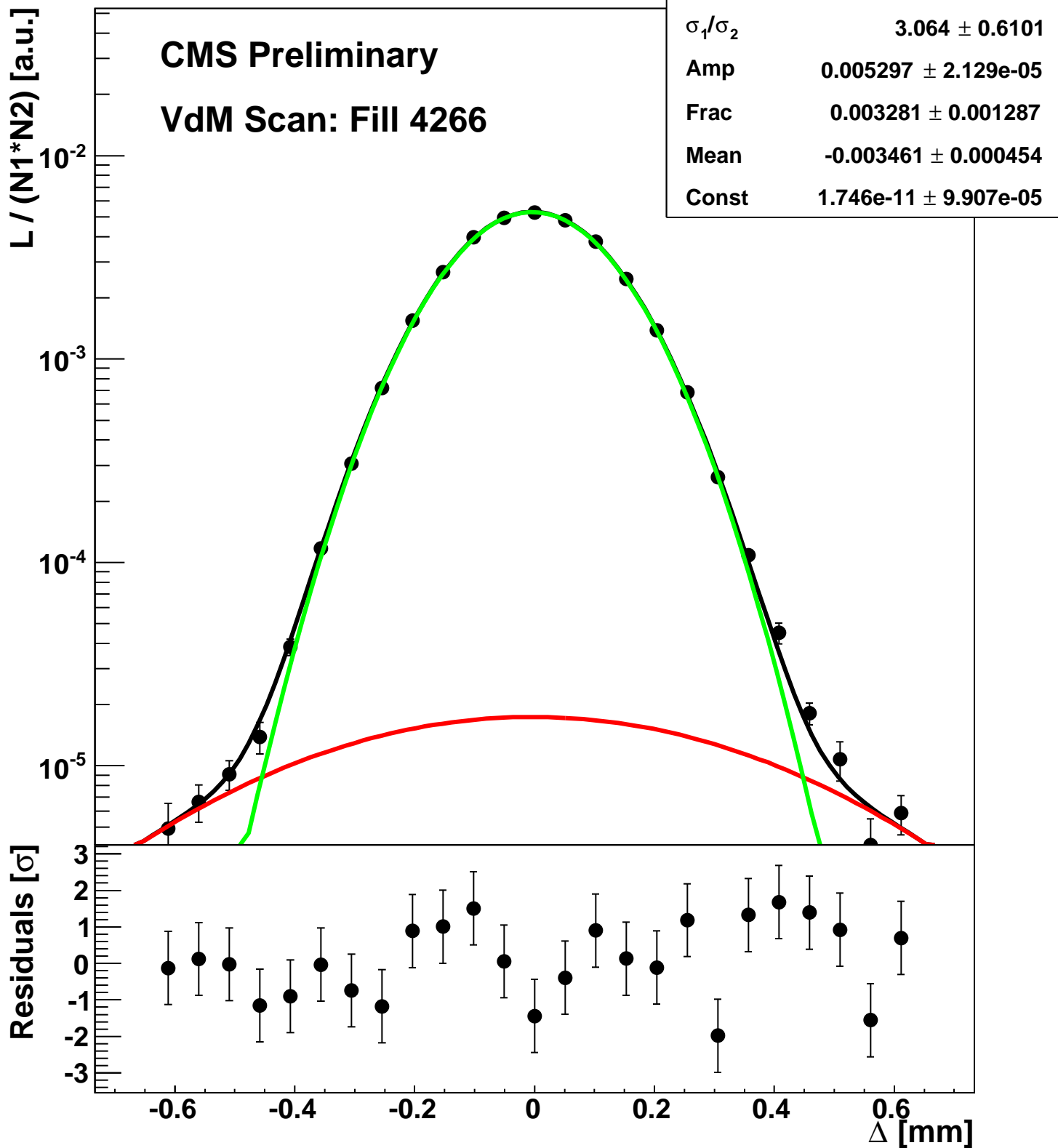
Scan 1: X-plane BCID 891



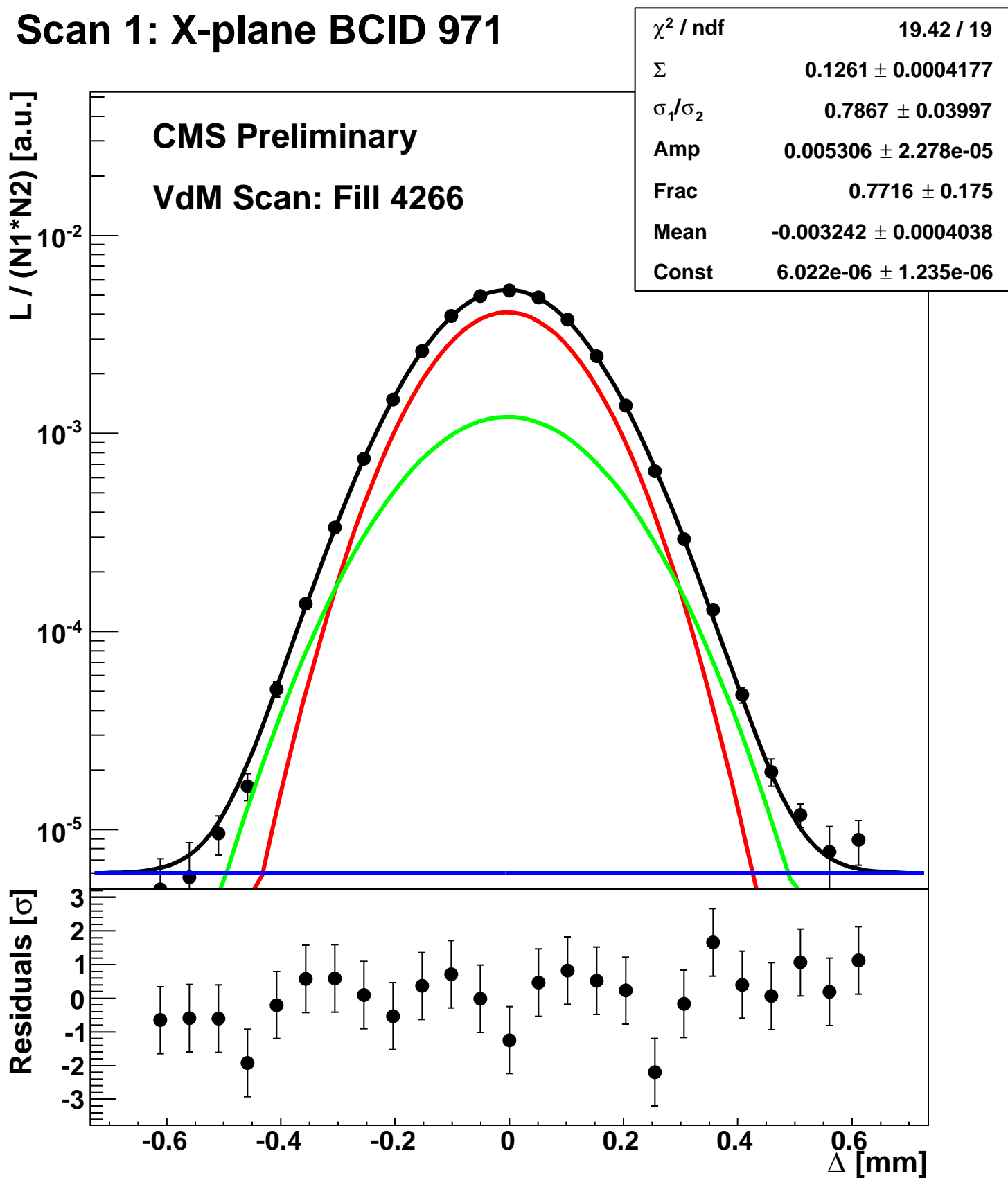
Scan 1: X-plane BCID 91



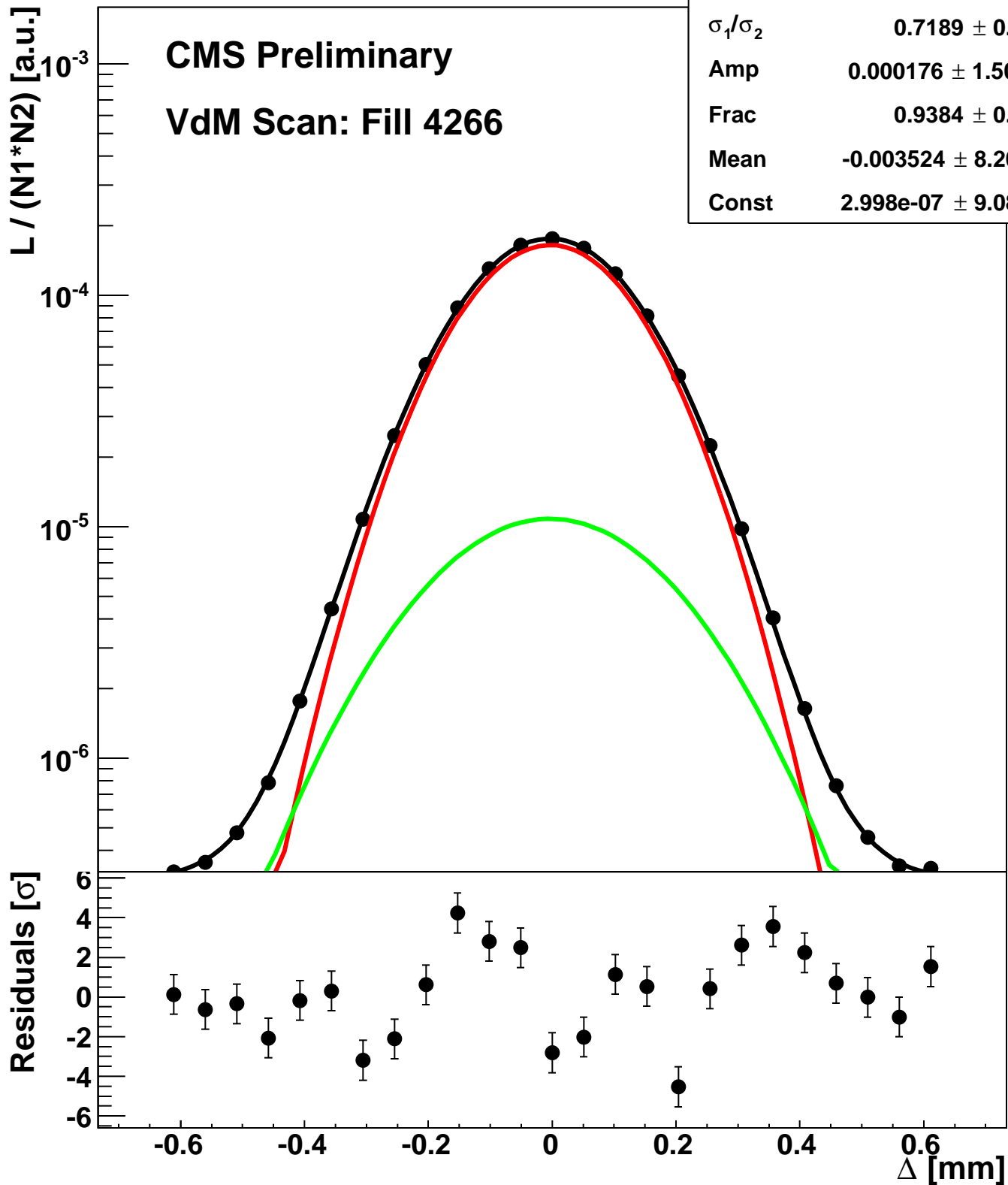
Scan 1: X-plane BCID 931



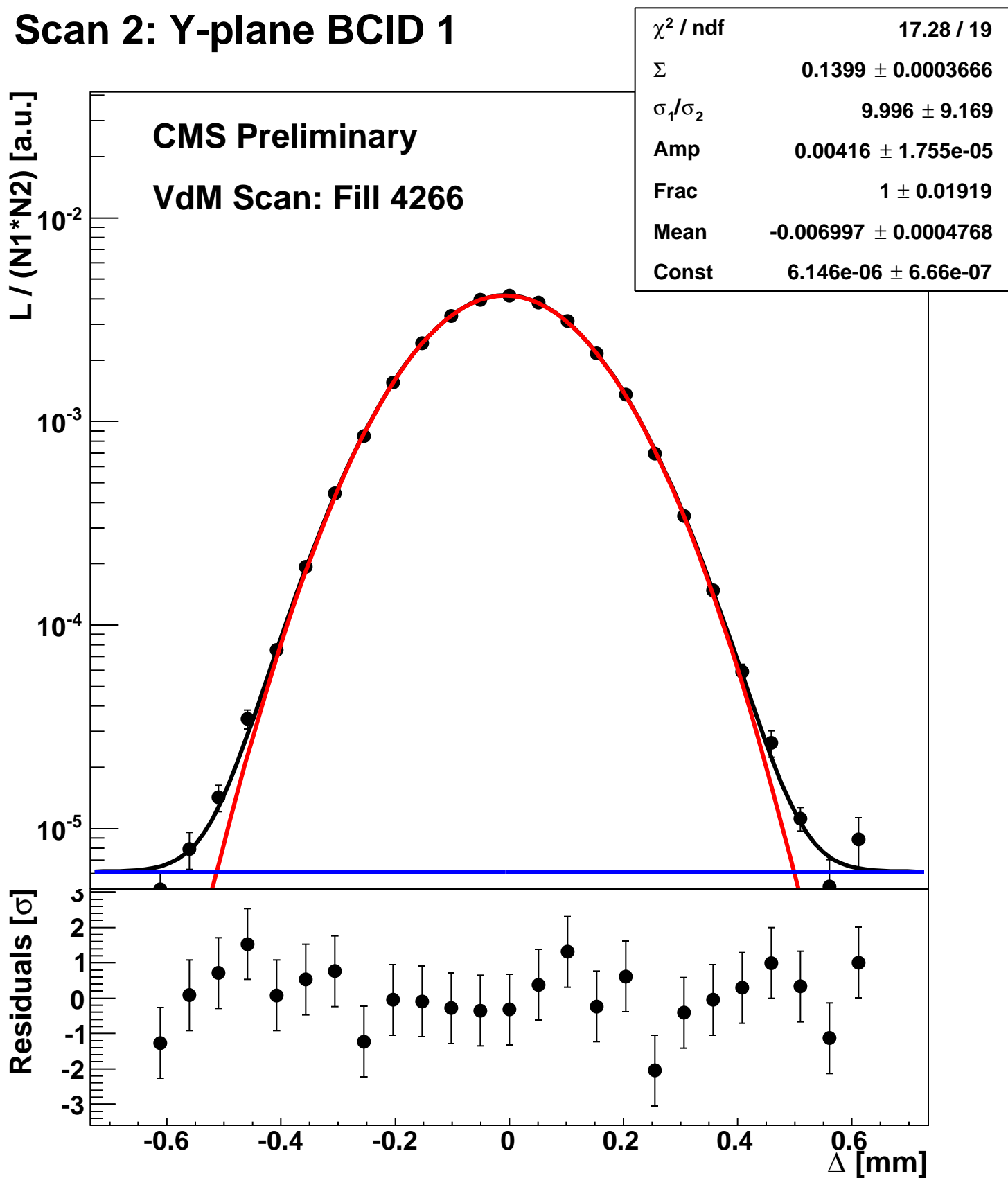
Scan 1: X-plane BCID 971



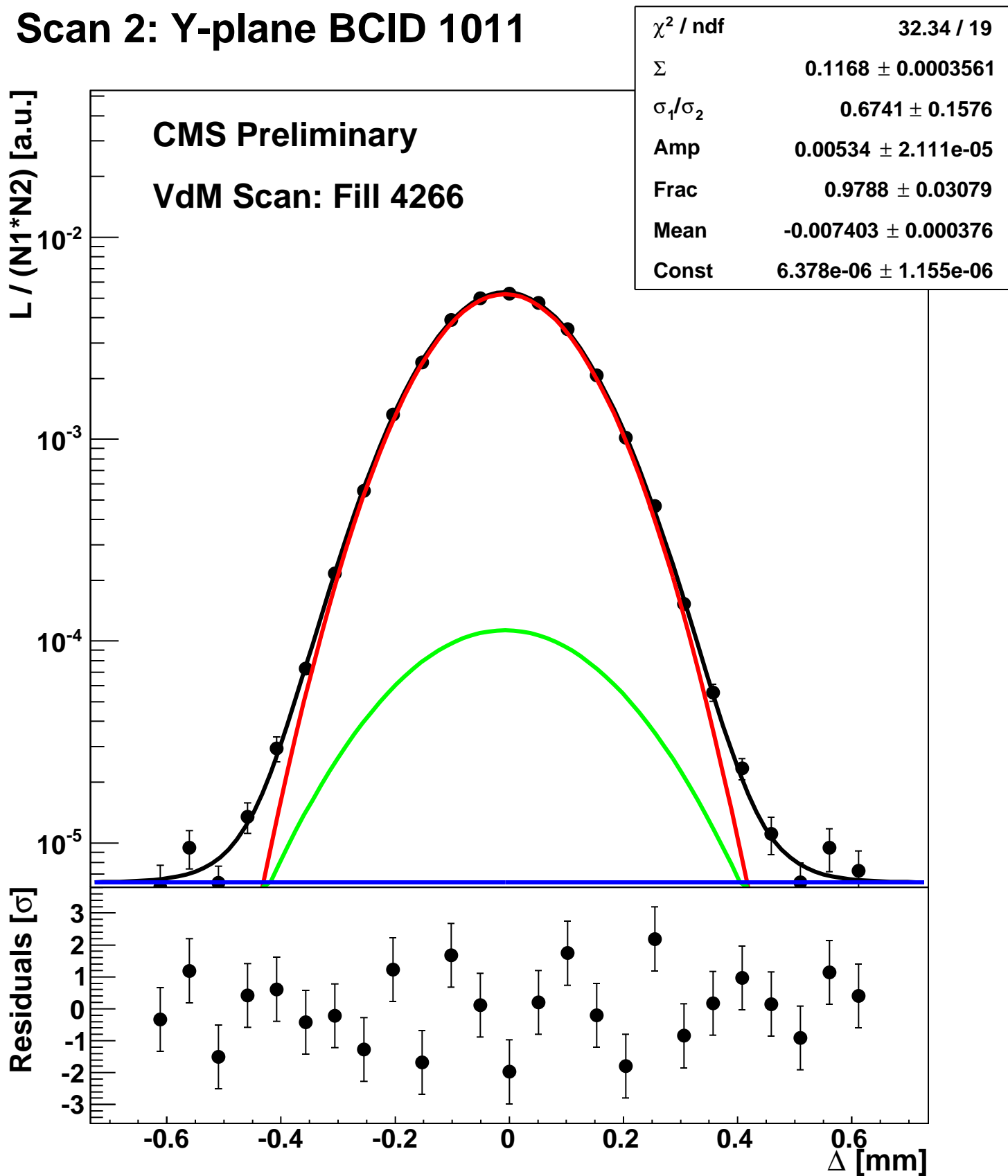
Scan 1: X-plane BCID sum



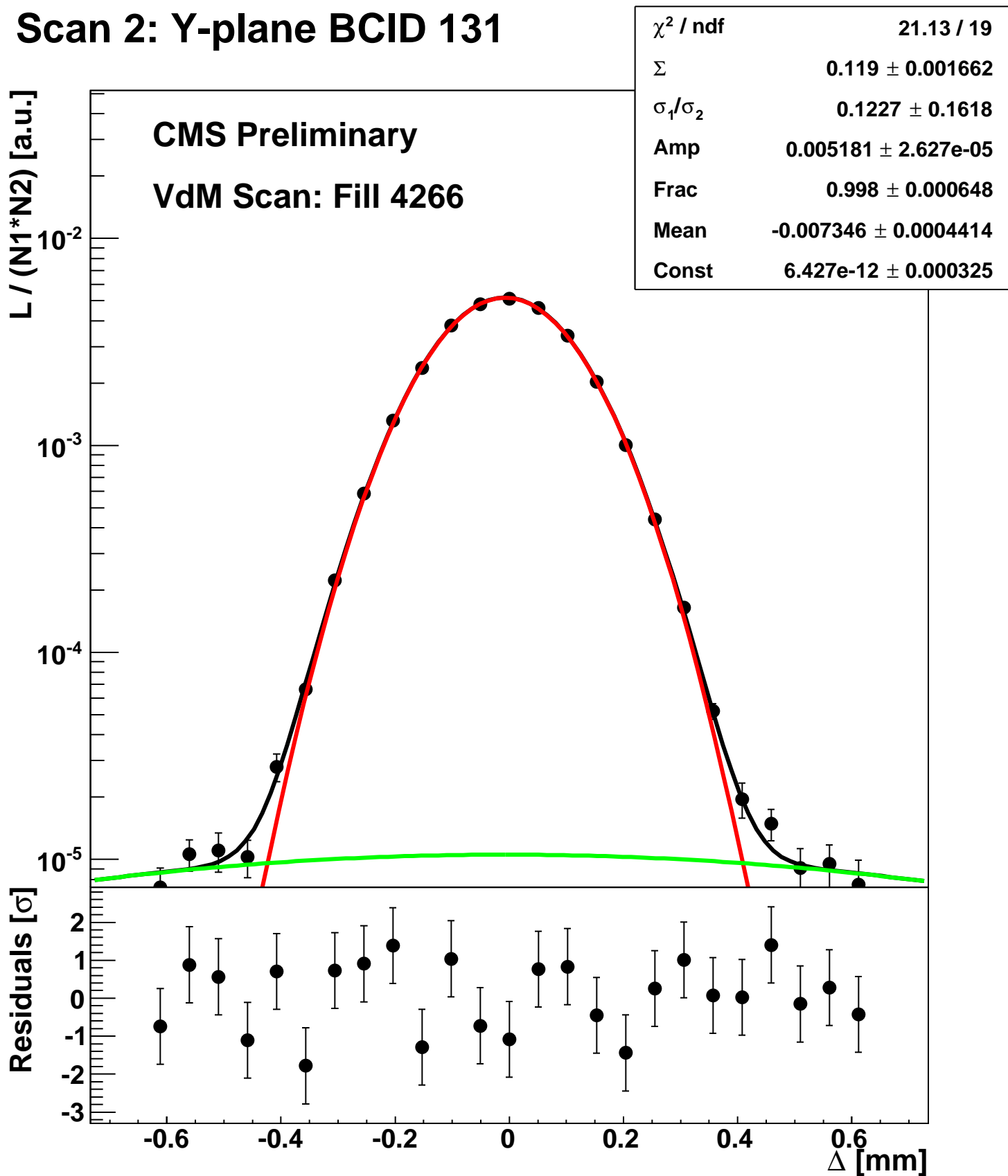
Scan 2: Y-plane BCID 1



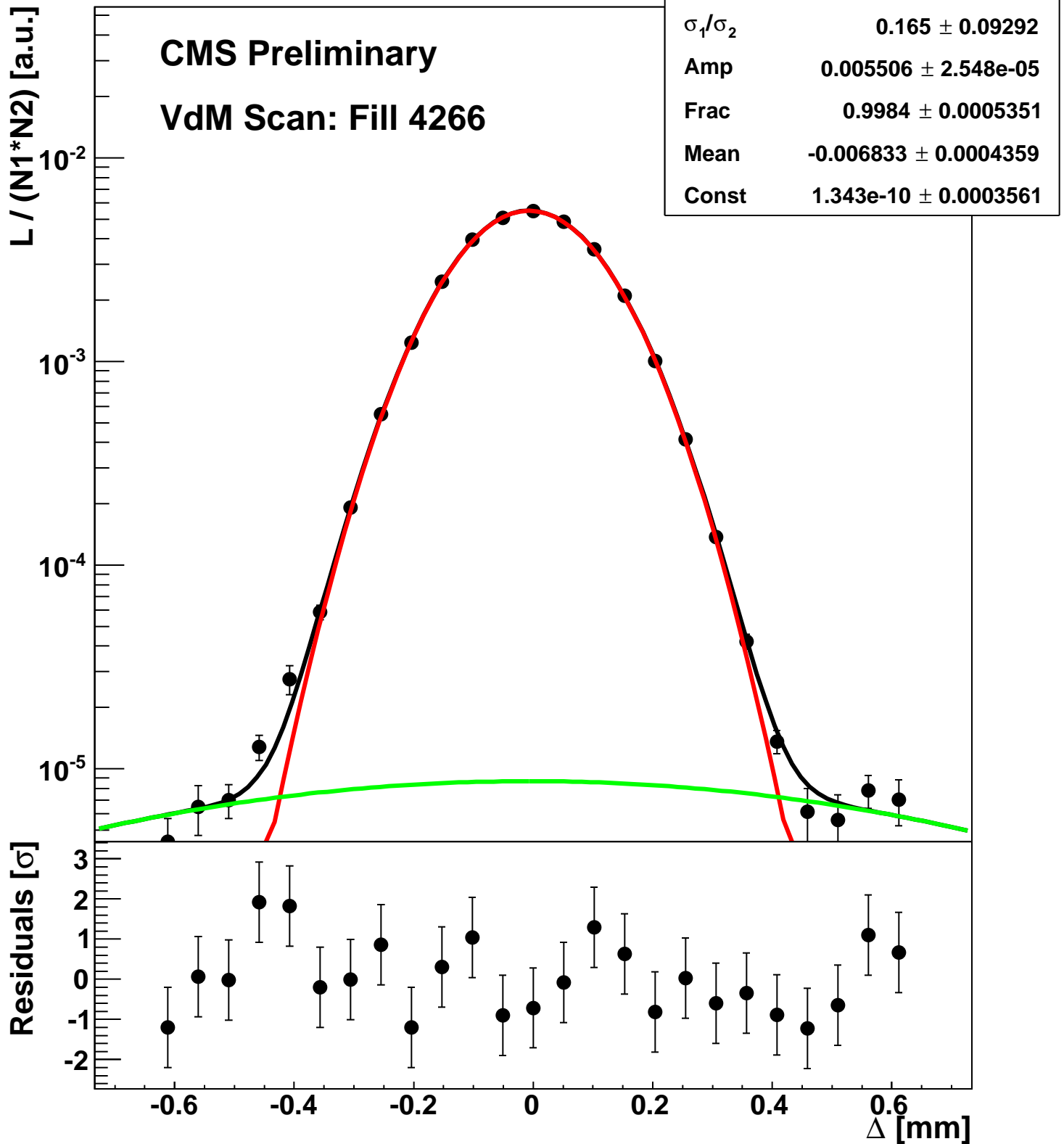
Scan 2: Y-plane BCID 1011



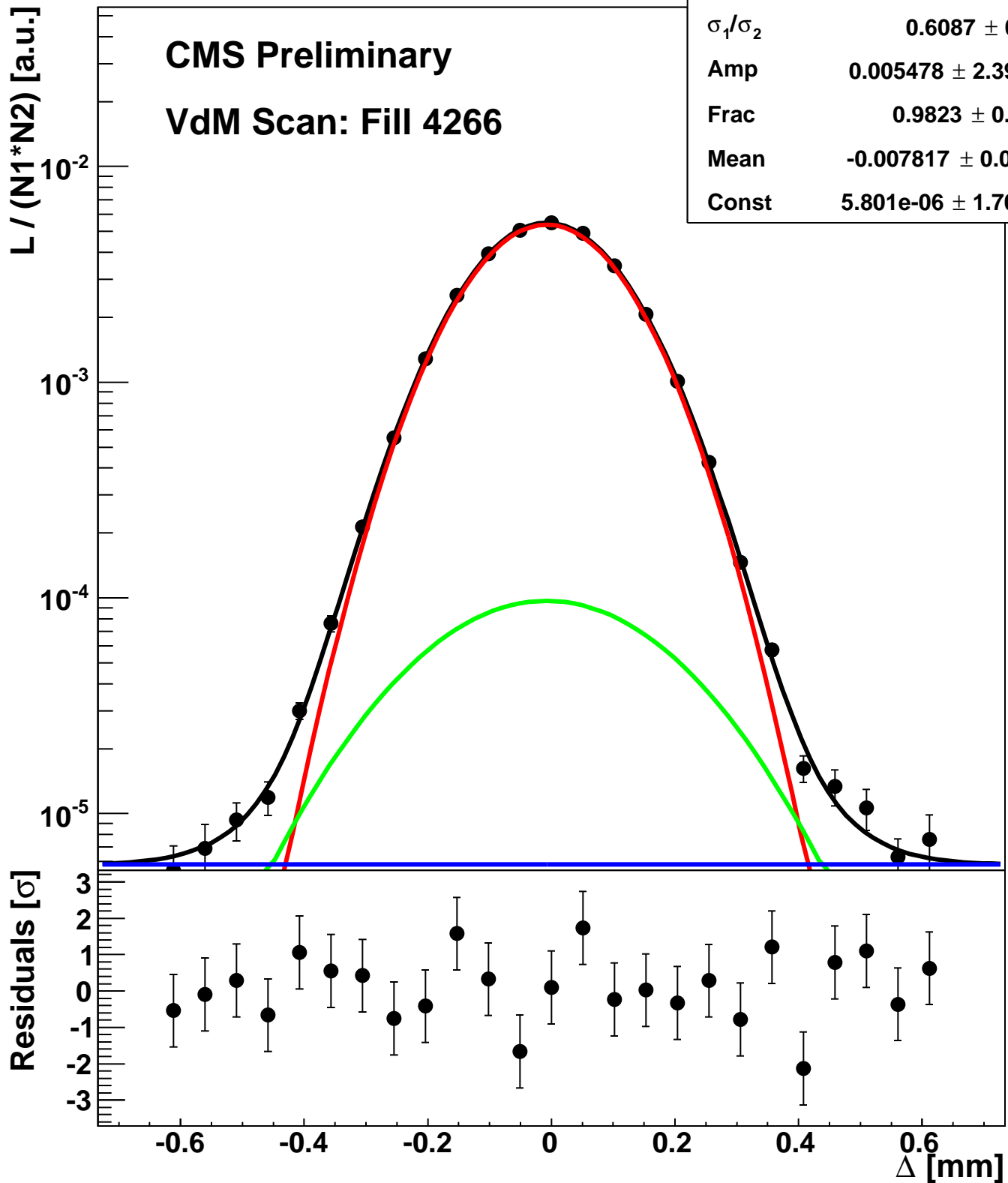
Scan 2: Y-plane BCID 131



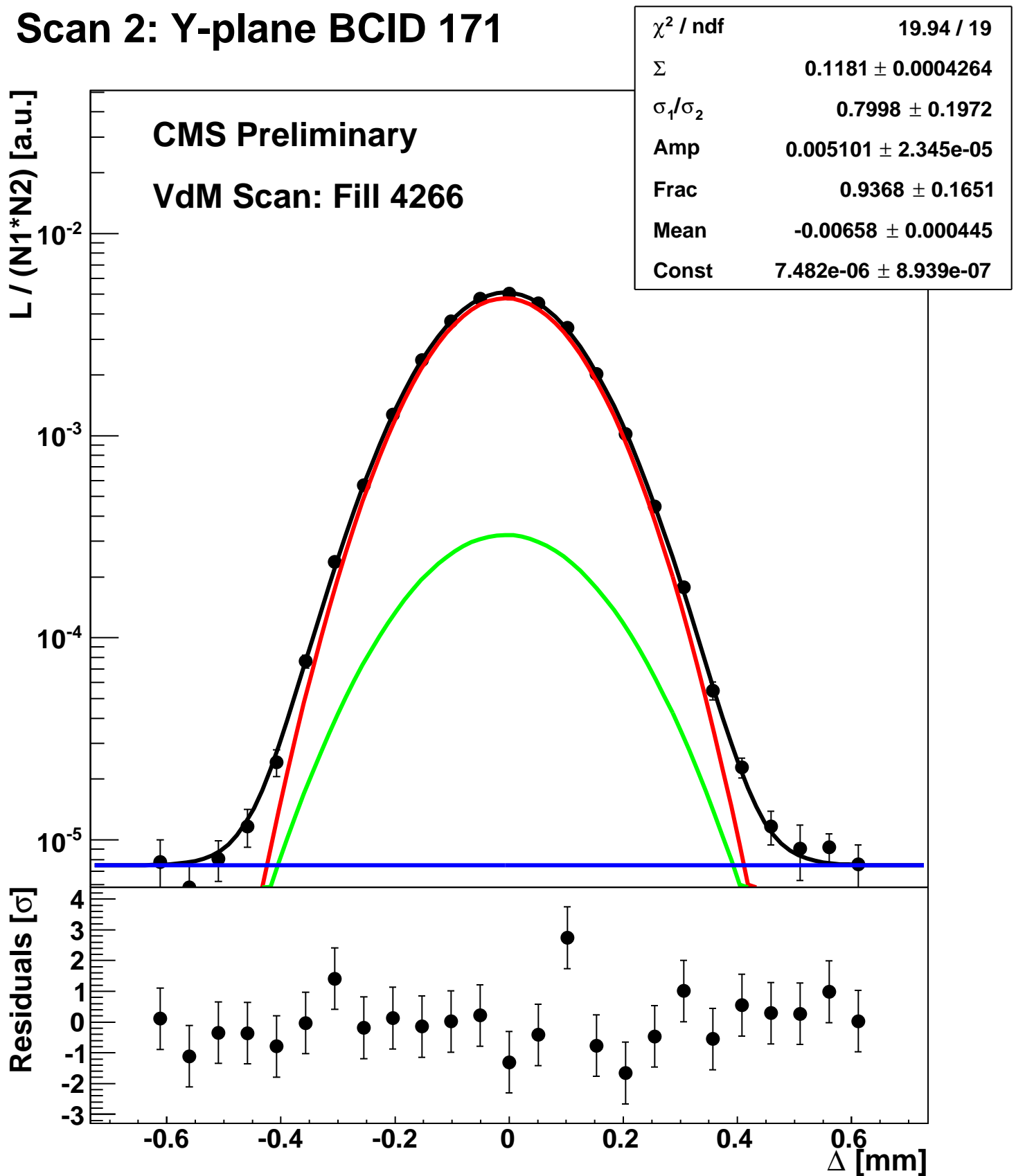
Scan 2: Y-plane BCID 1631



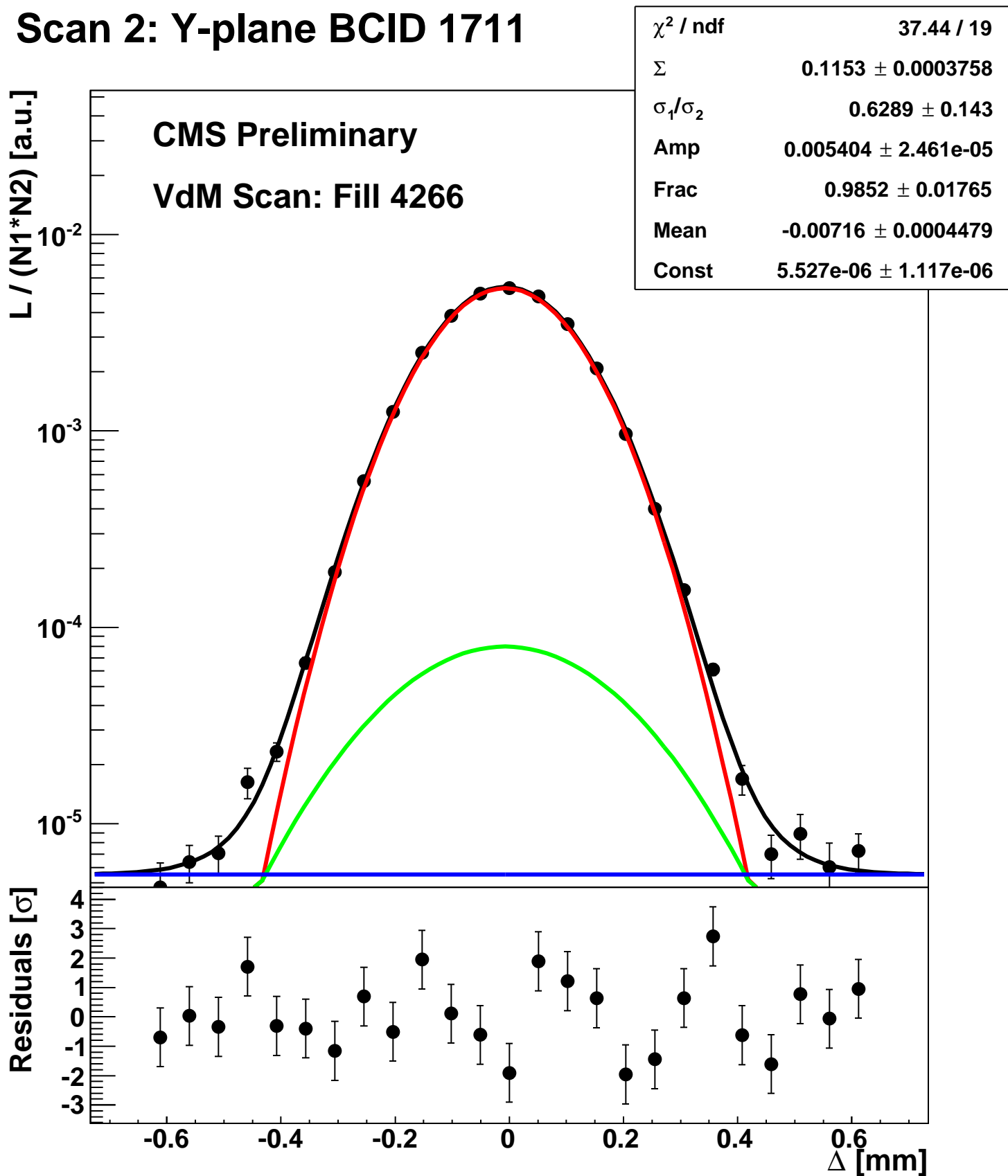
Scan 2: Y-plane BCID 1671



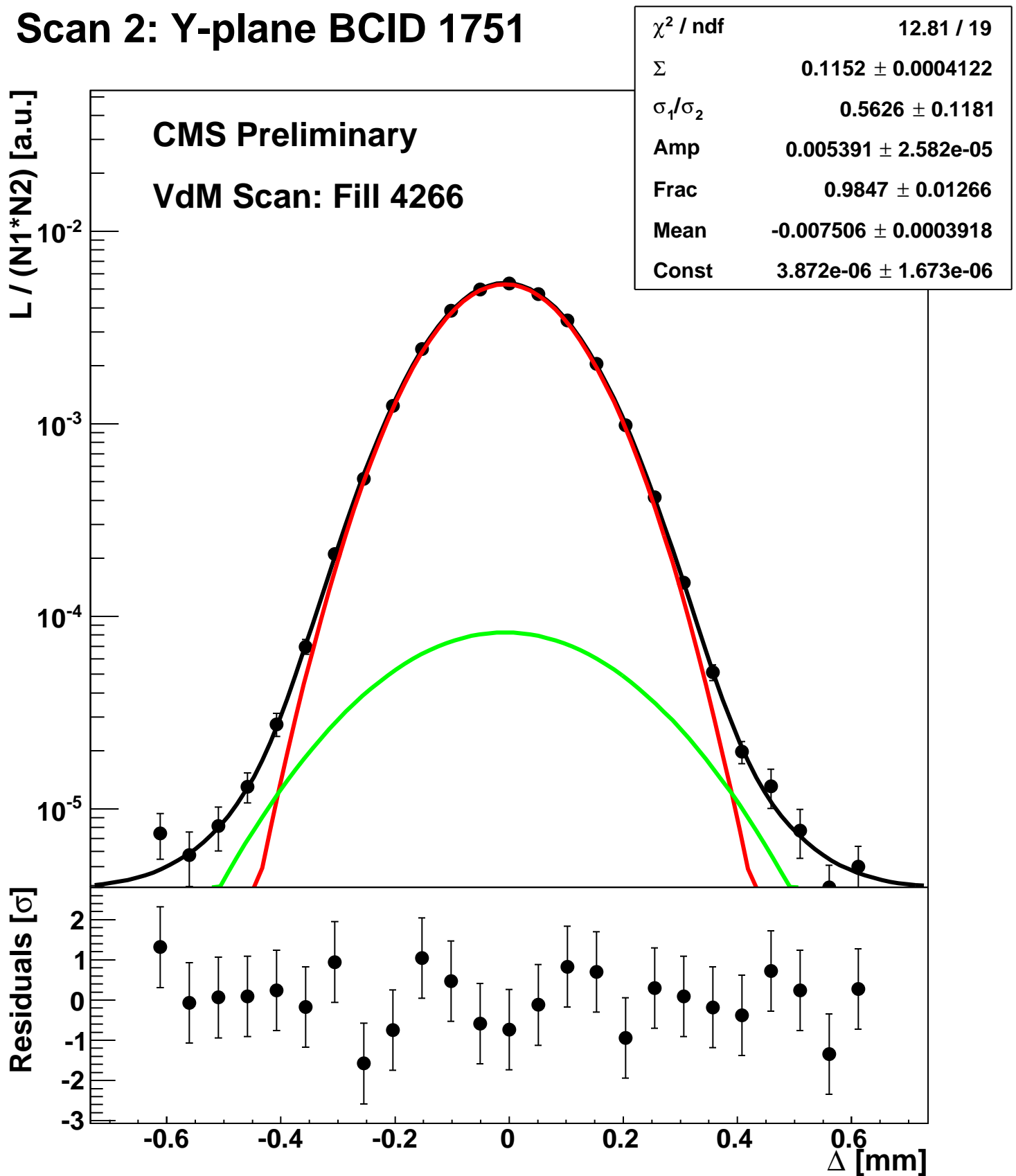
Scan 2: Y-plane BCID 171



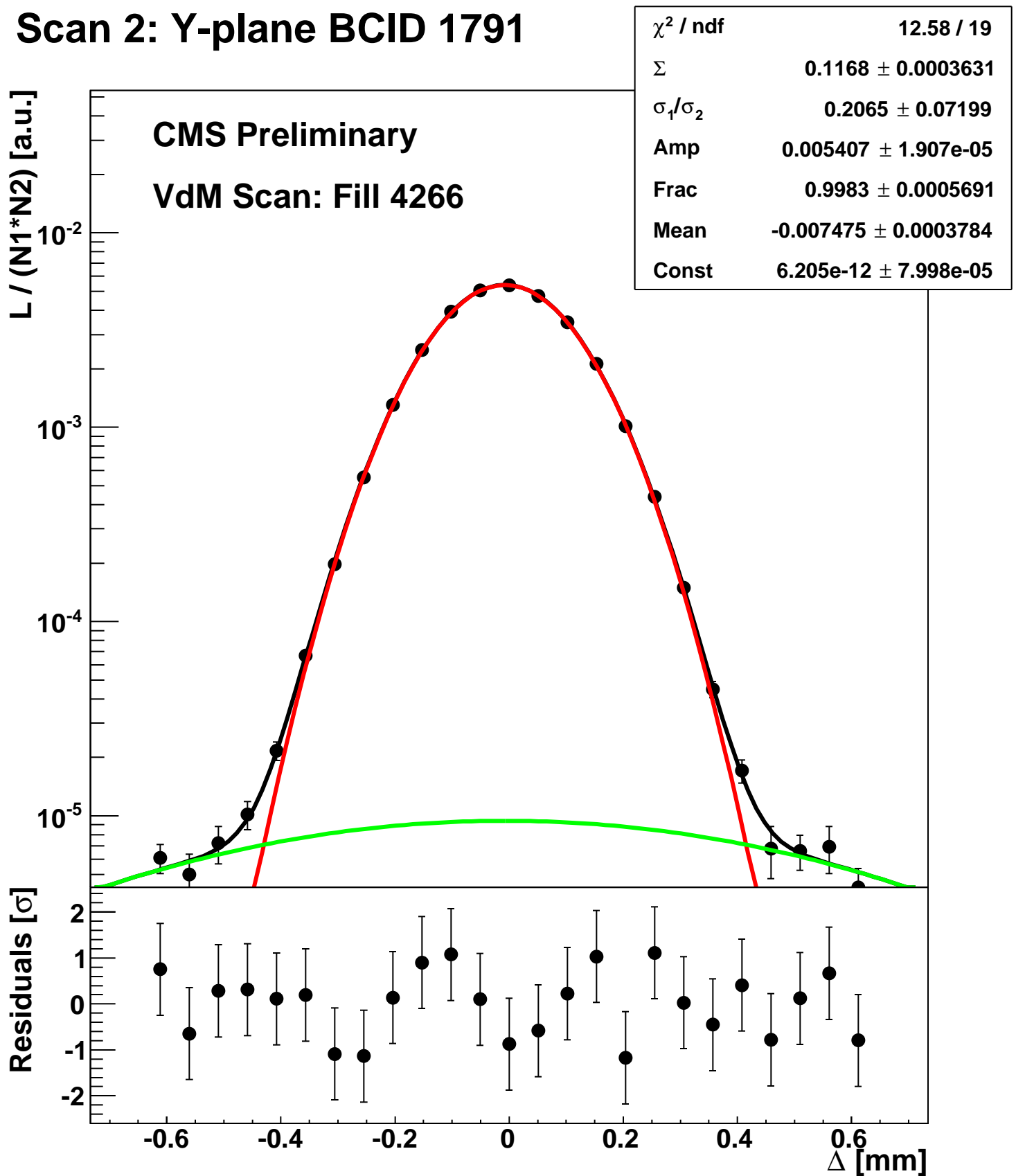
Scan 2: Y-plane BCID 1711



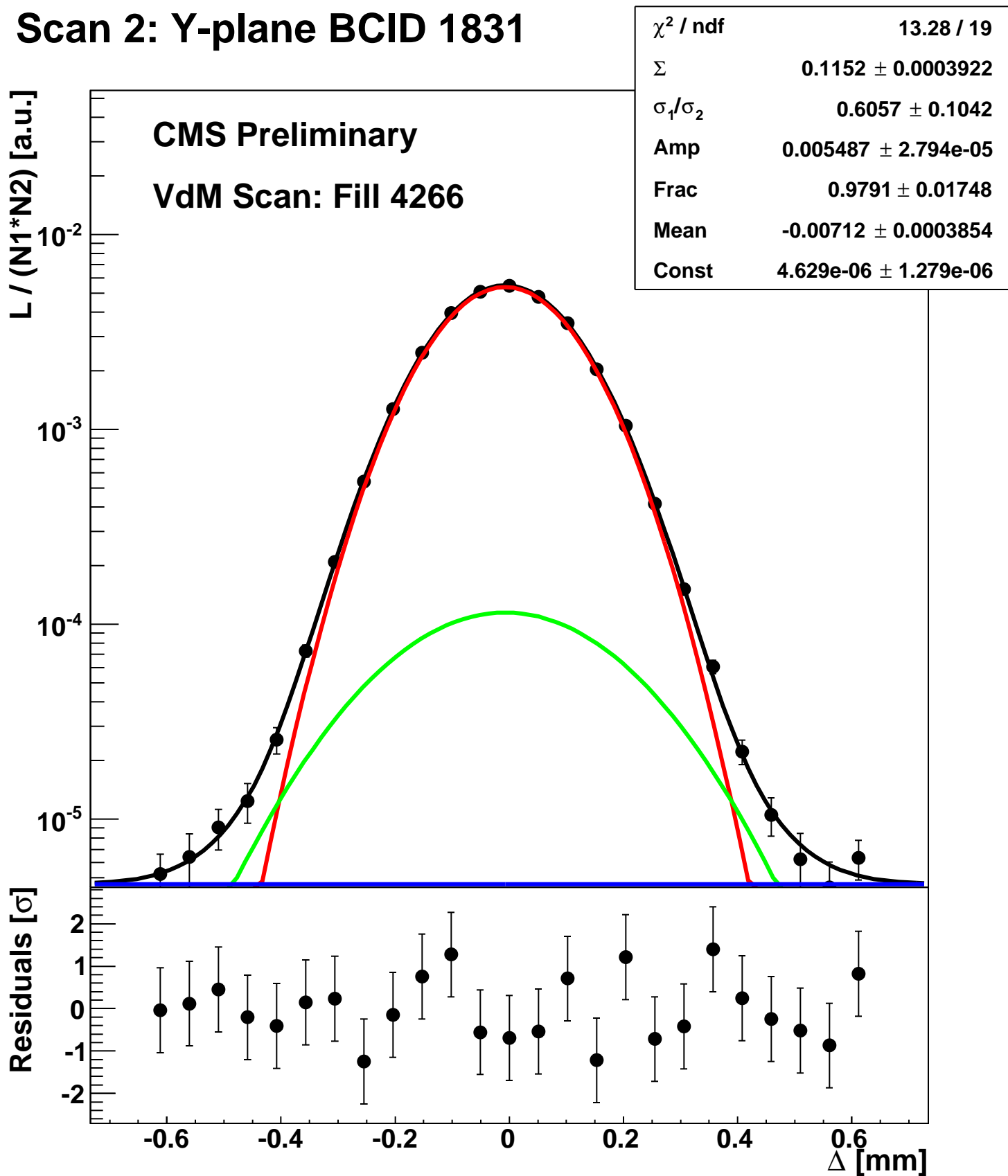
Scan 2: Y-plane BCID 1751



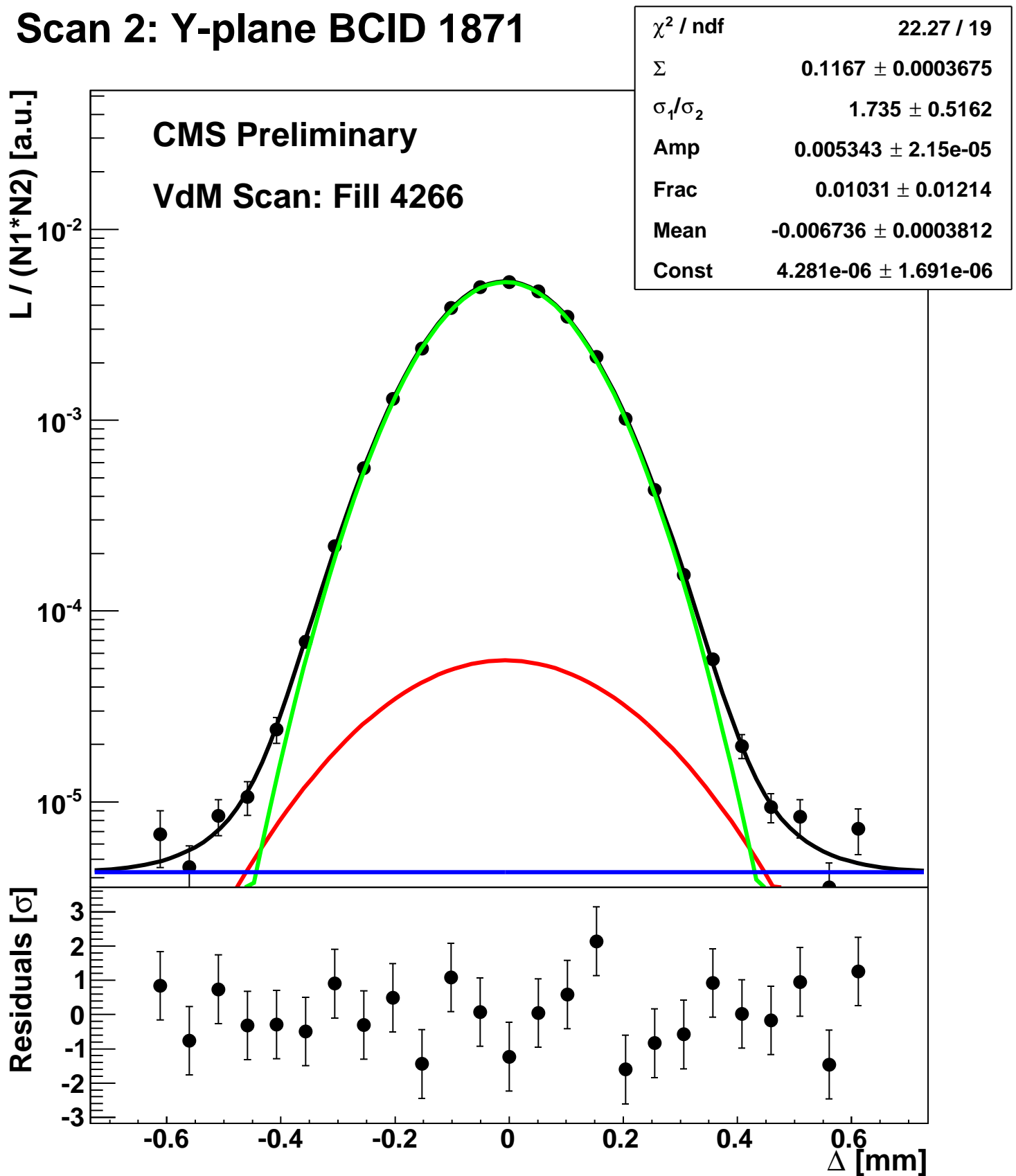
Scan 2: Y-plane BCID 1791



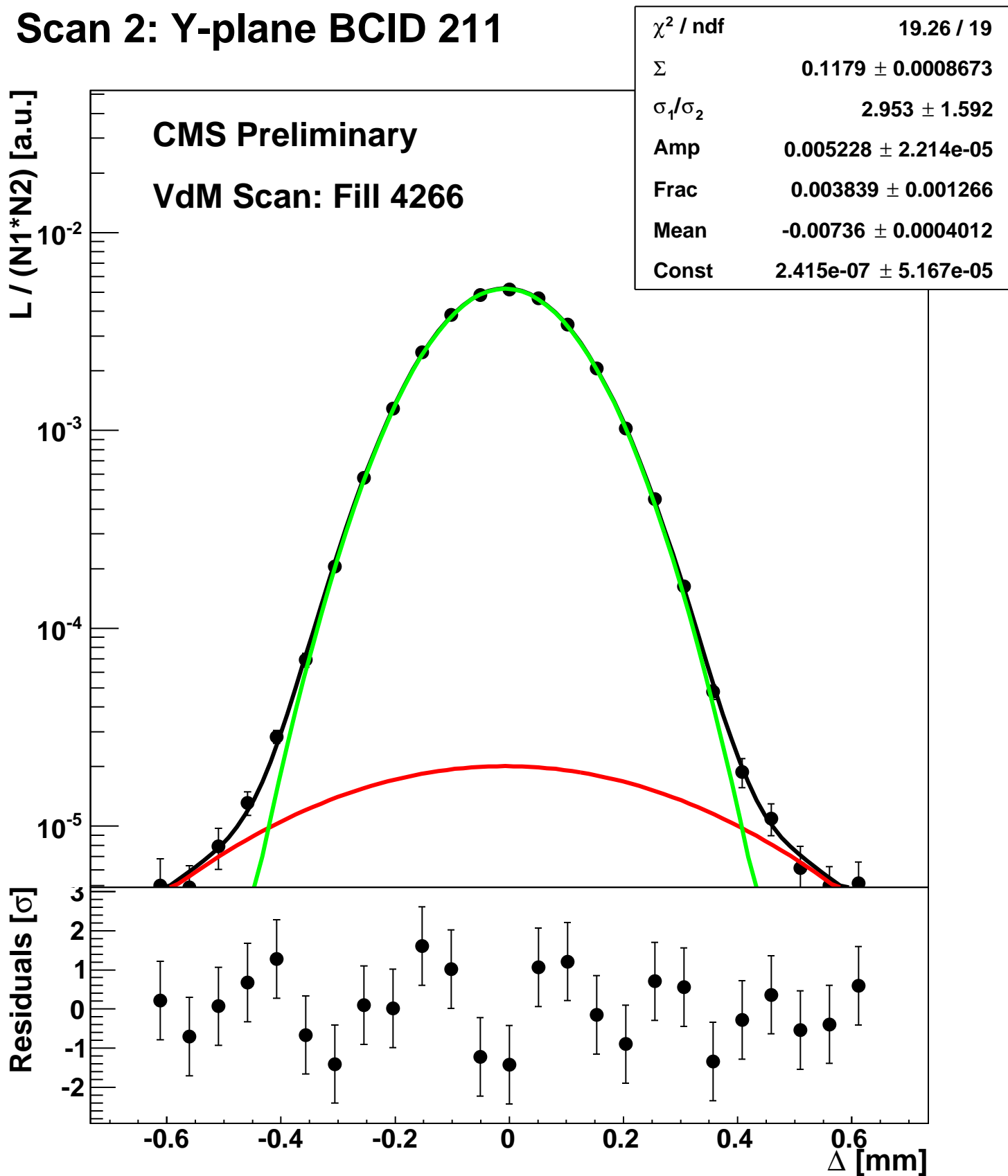
Scan 2: Y-plane BCID 1831



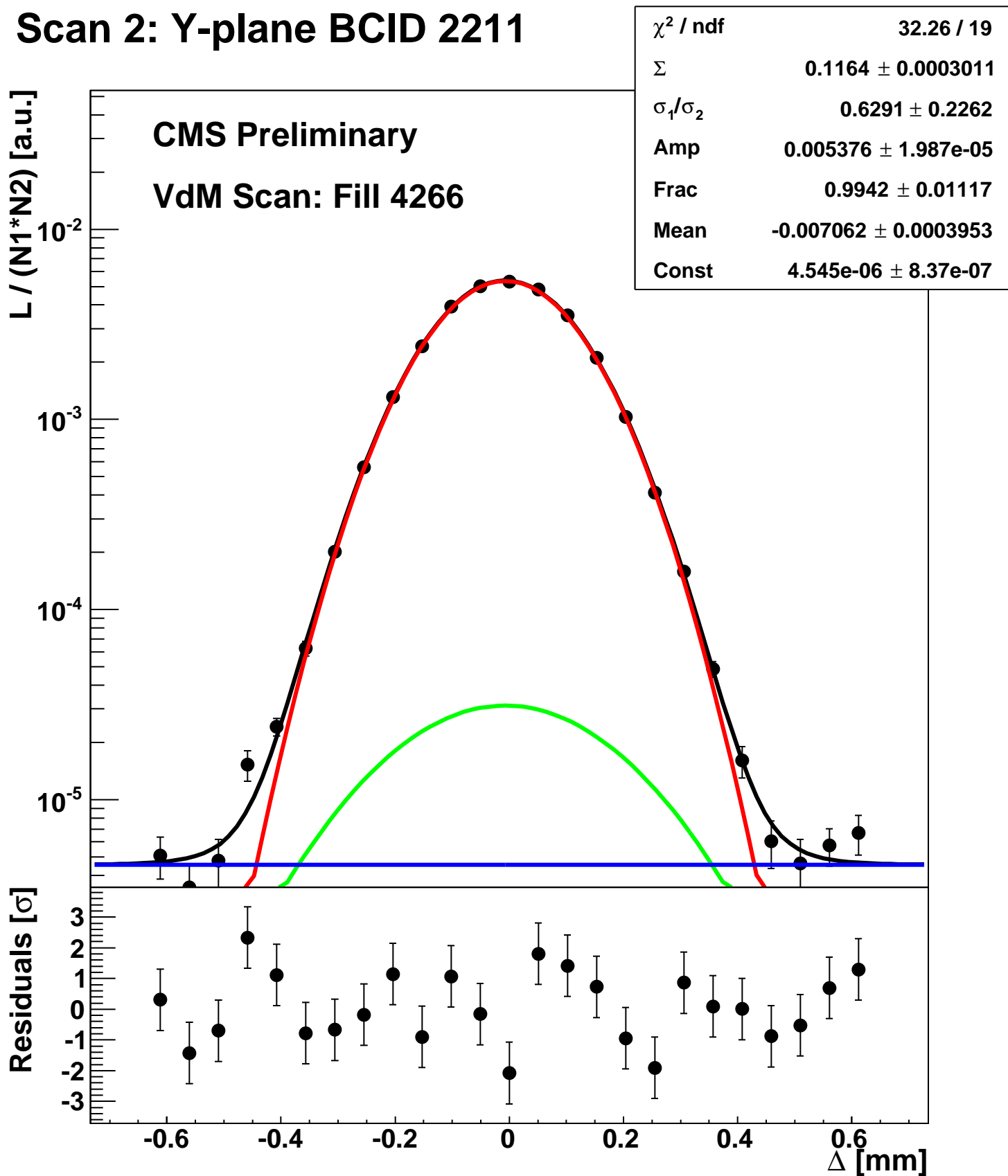
Scan 2: Y-plane BCID 1871



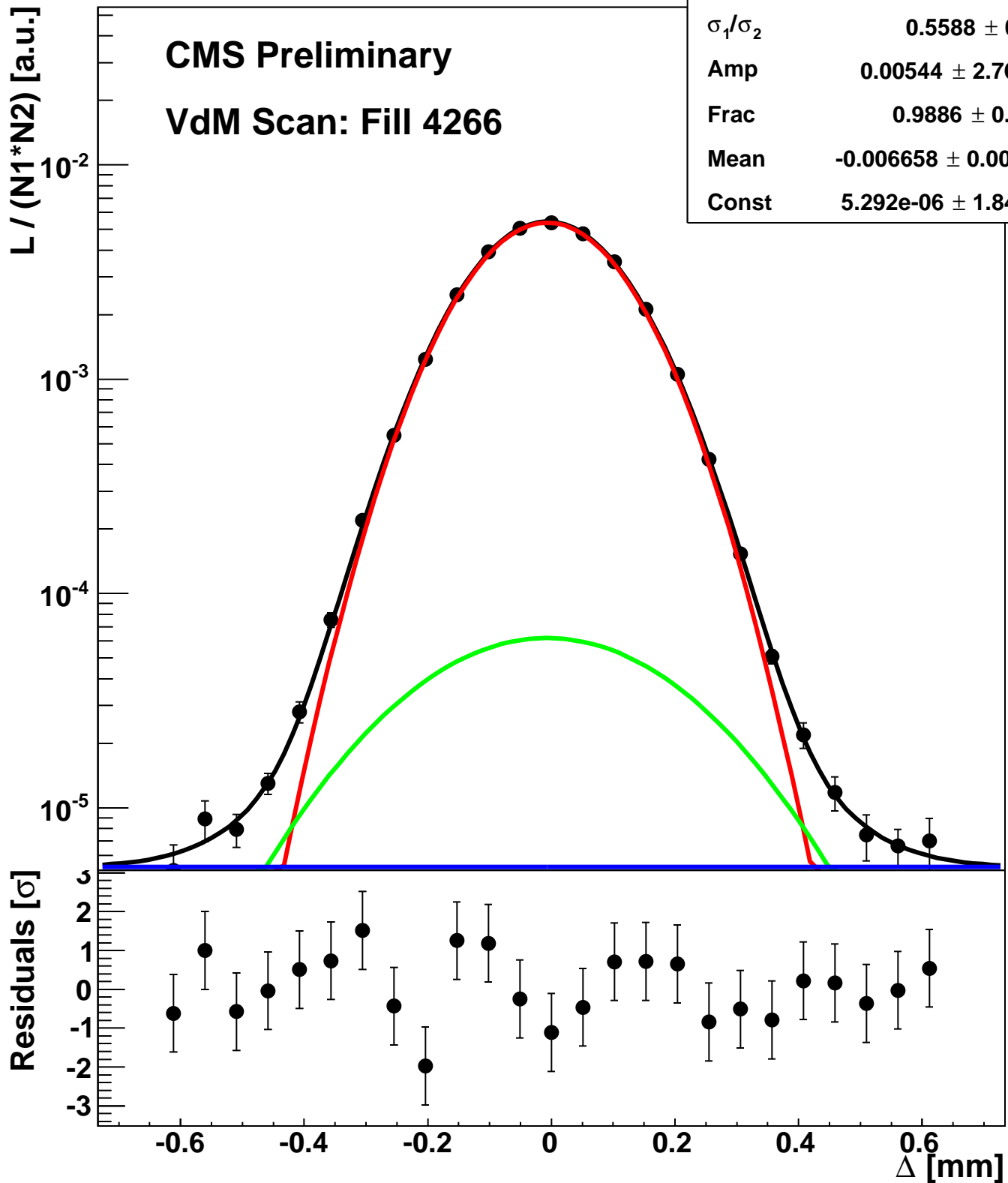
Scan 2: Y-plane BCID 211



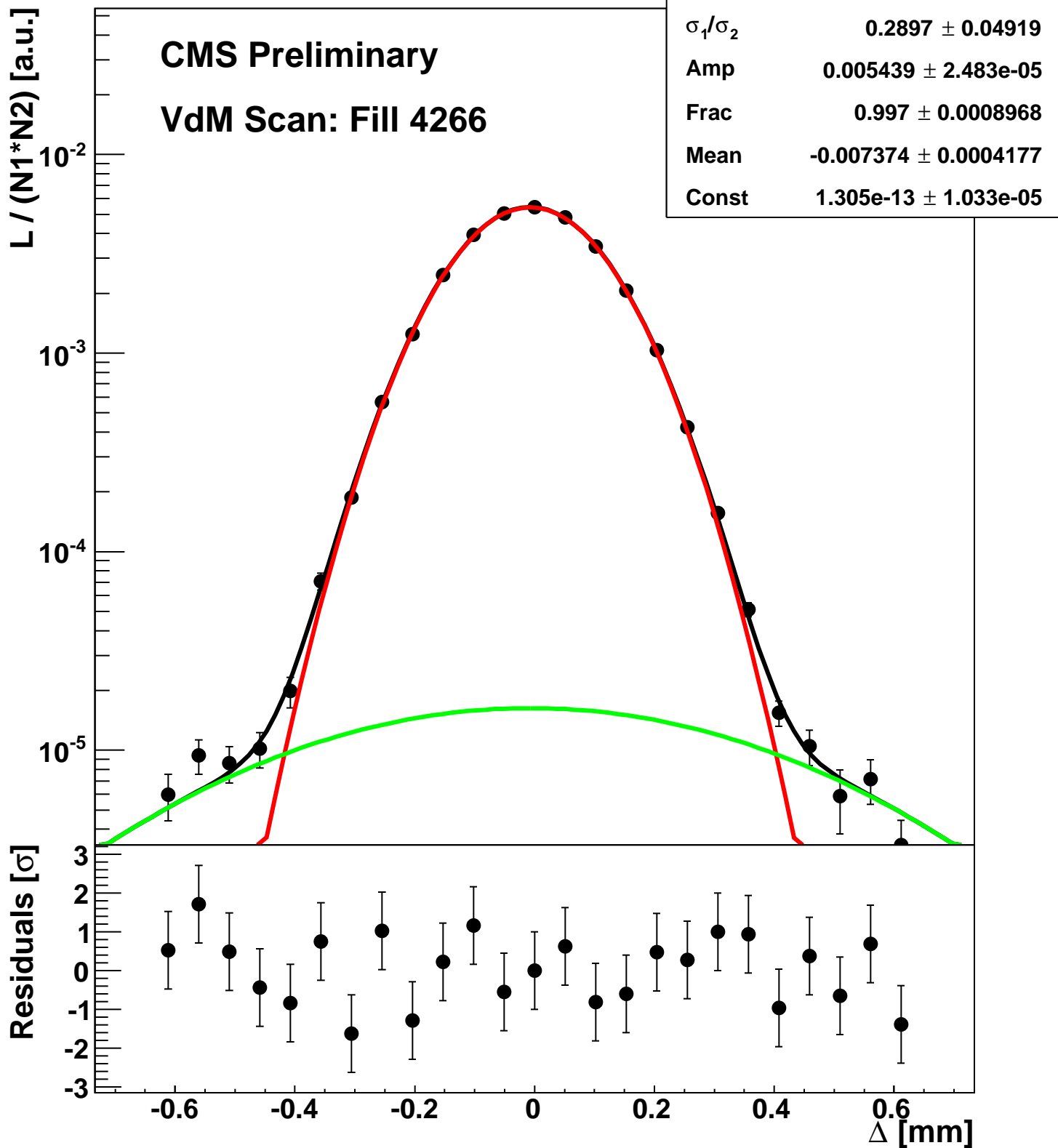
Scan 2: Y-plane BCID 2211



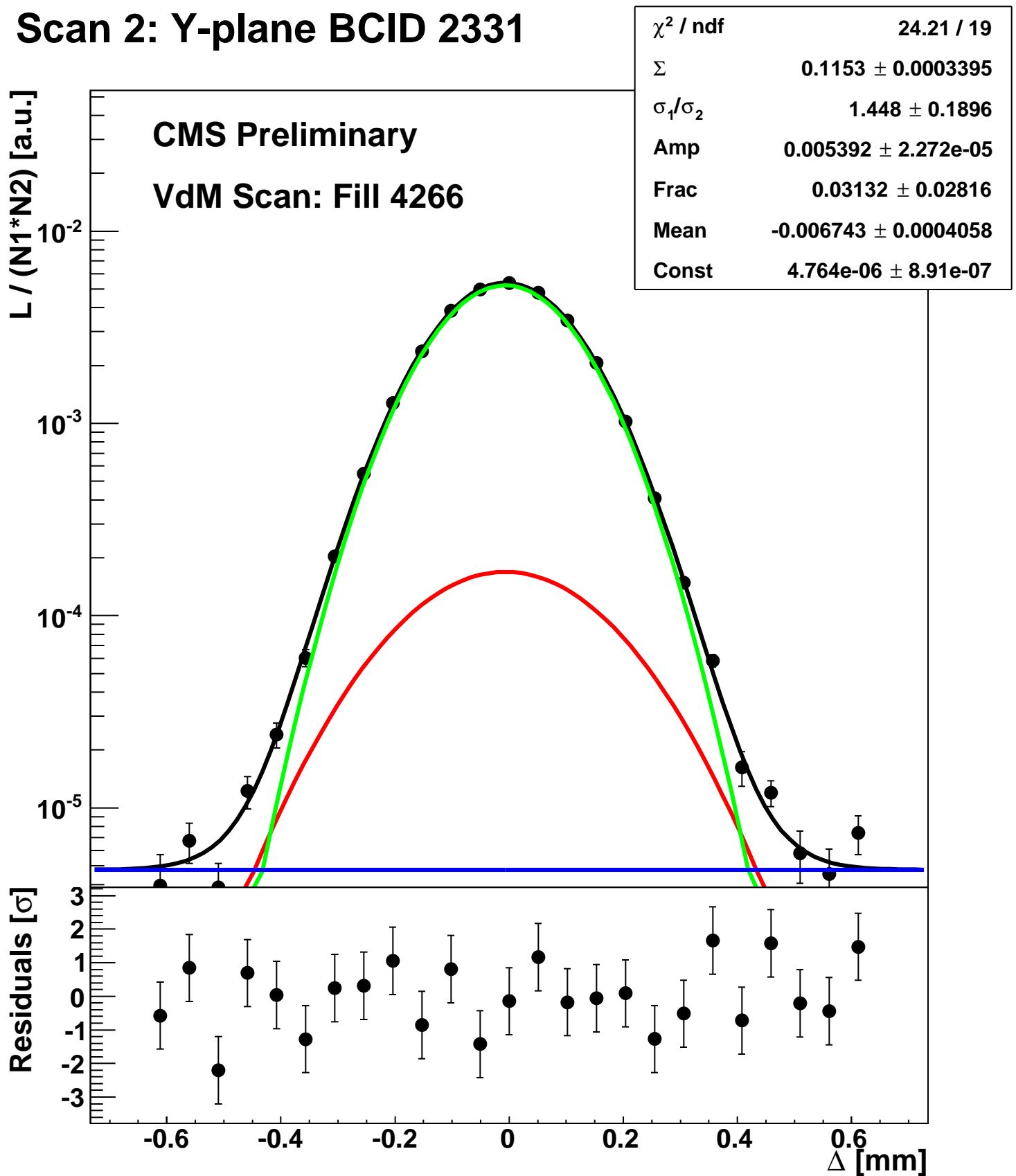
Scan 2: Y-plane BCID 2251



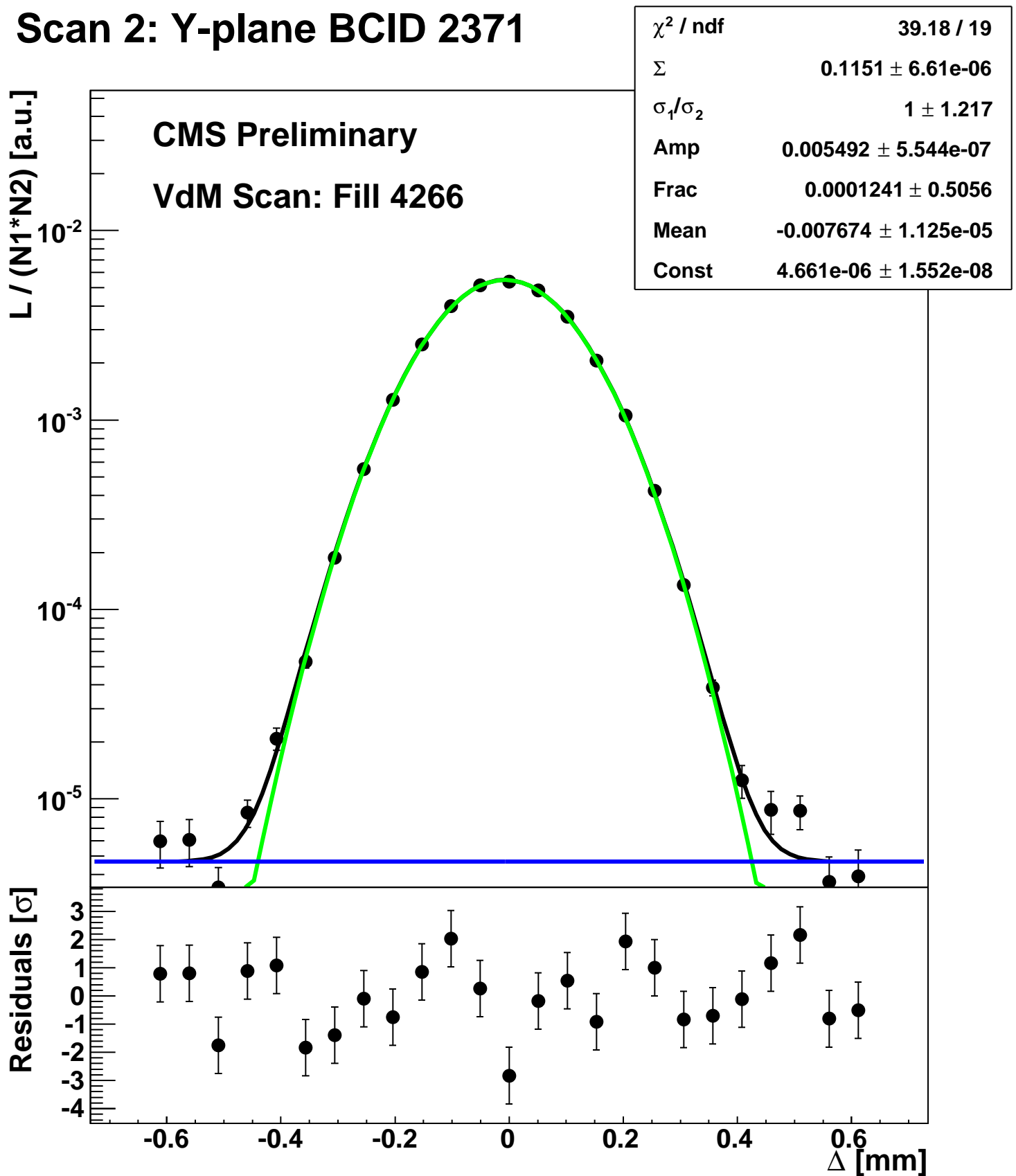
Scan 2: Y-plane BCID 2291



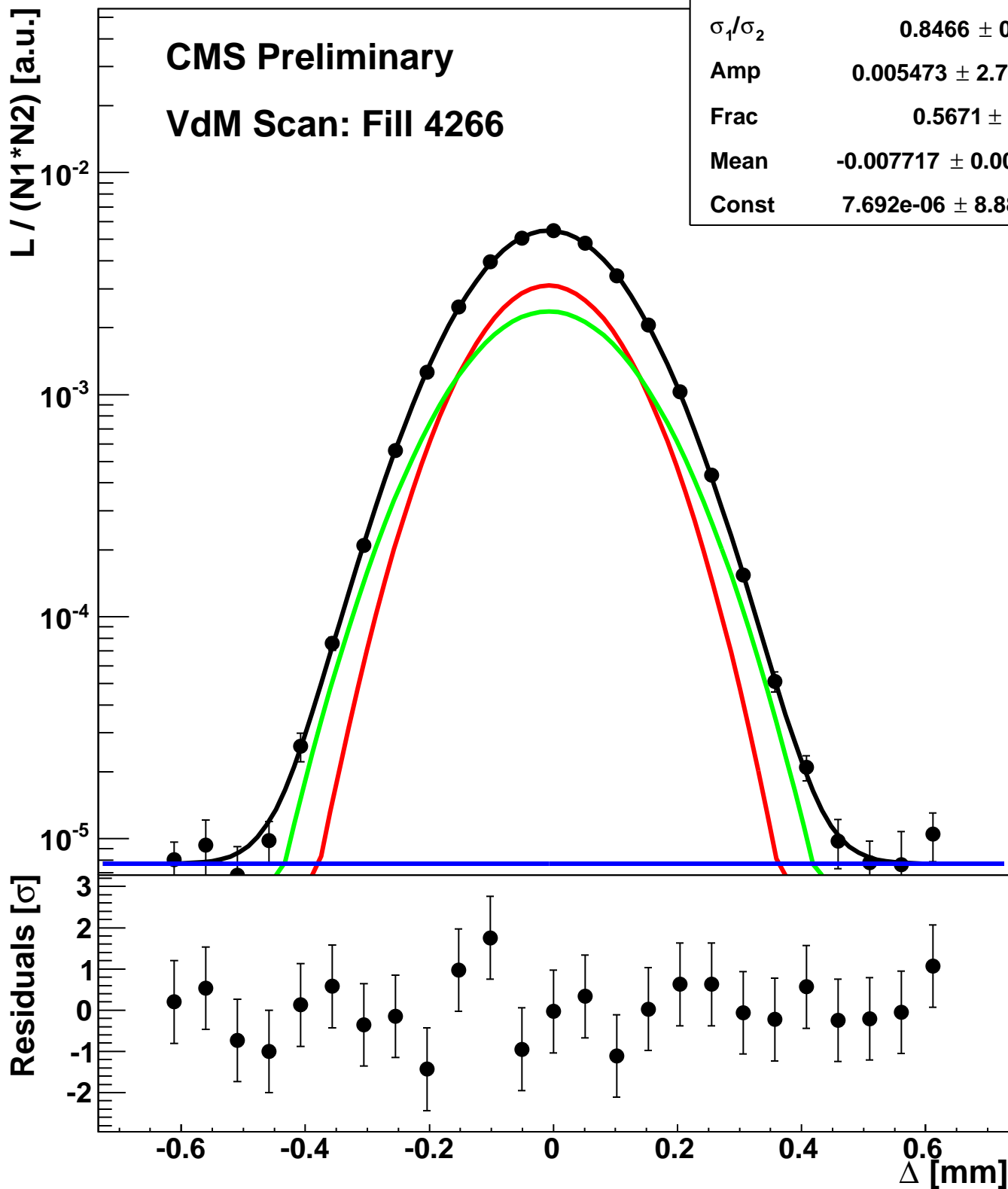
Scan 2: Y-plane BCID 2331



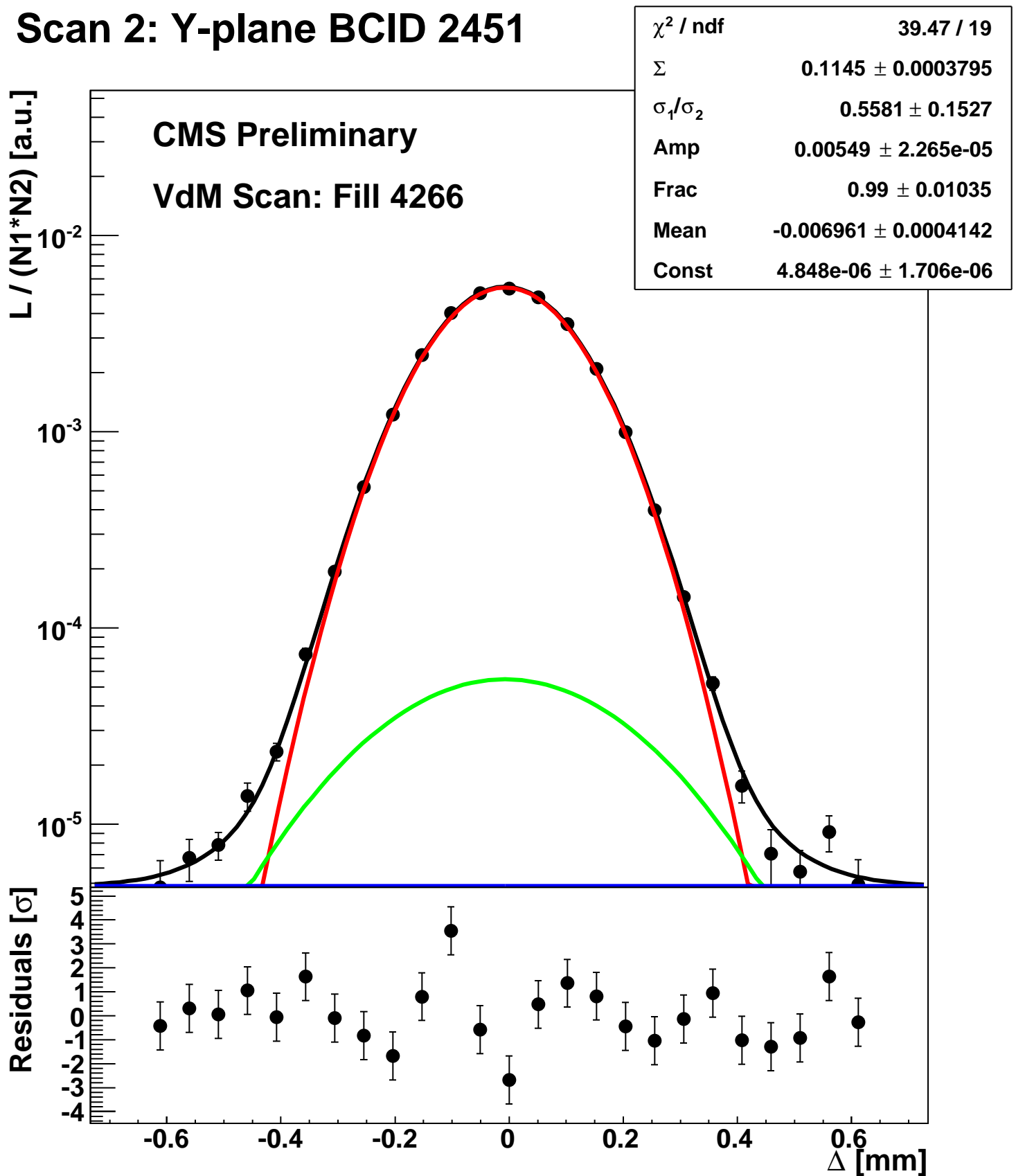
Scan 2: Y-plane BCID 2371



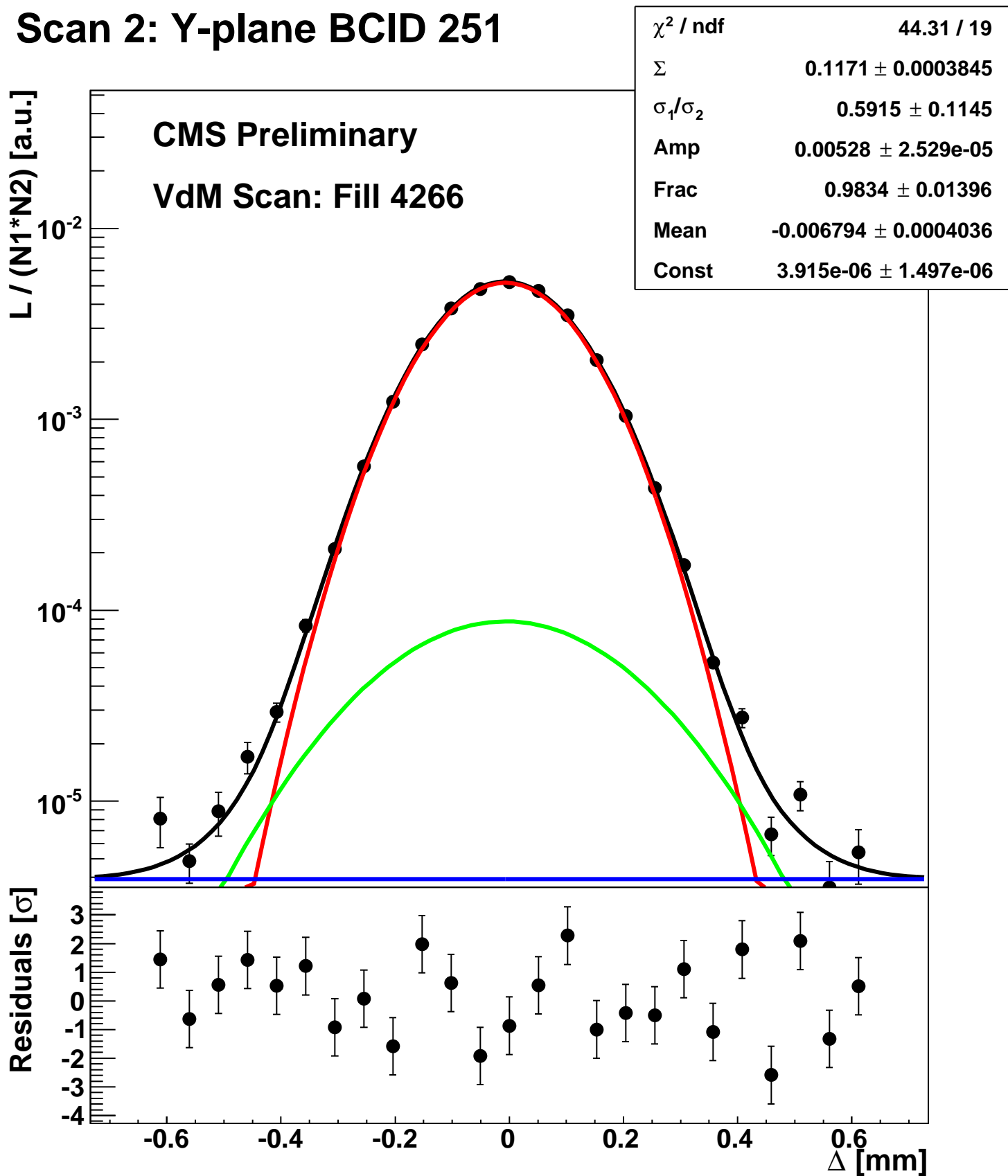
Scan 2: Y-plane BCID 2411



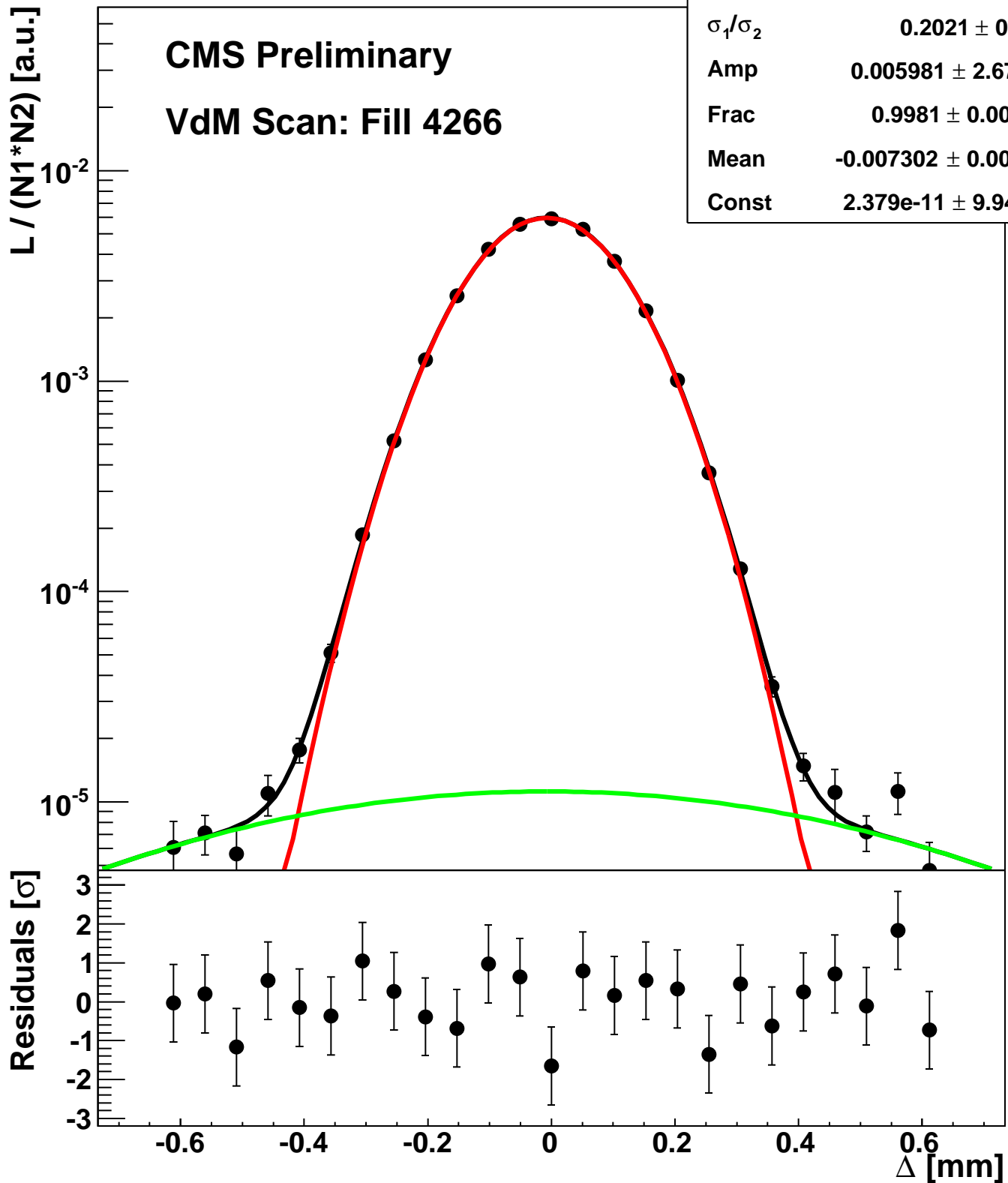
Scan 2: Y-plane BCID 2451



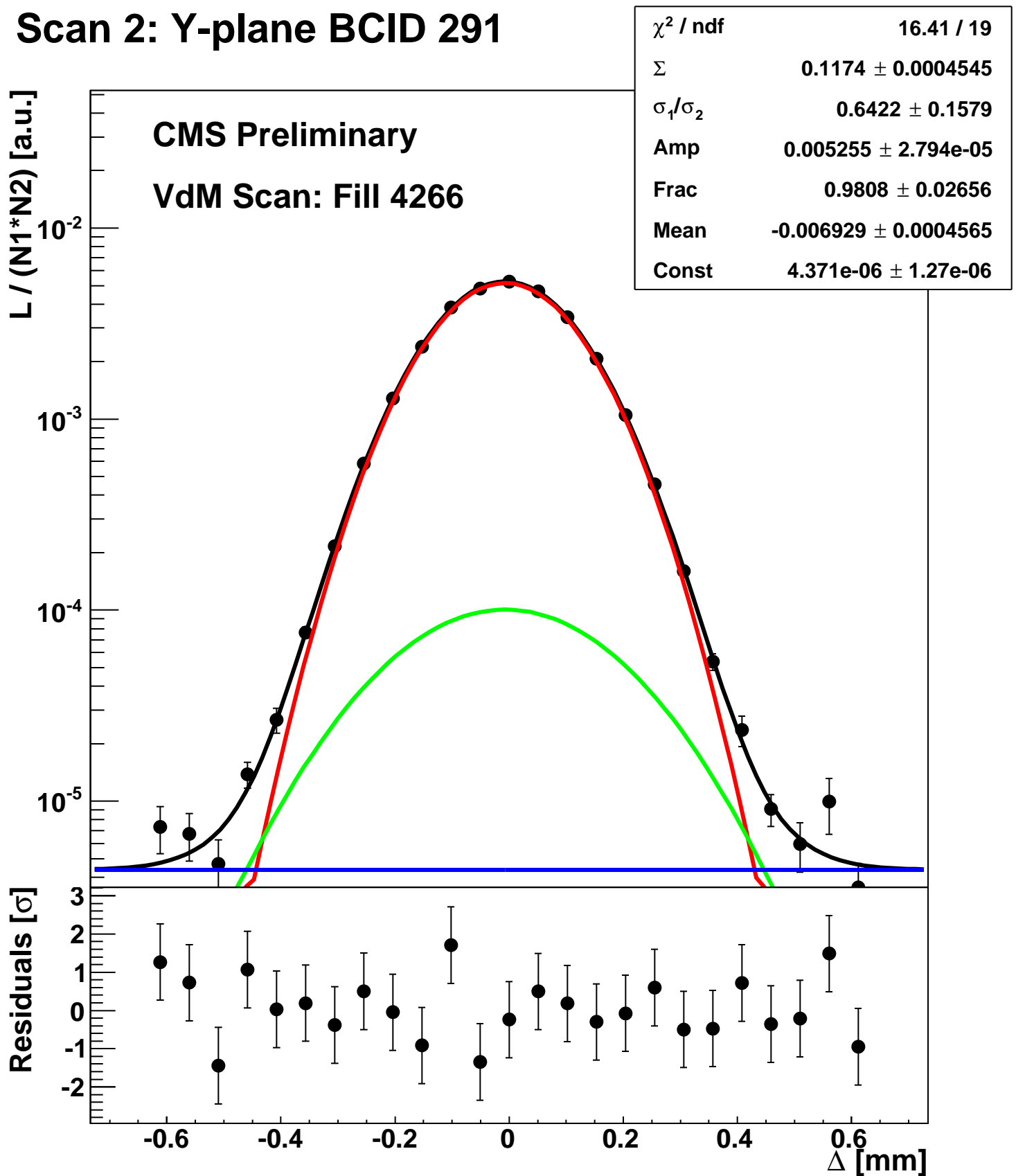
Scan 2: Y-plane BCID 251



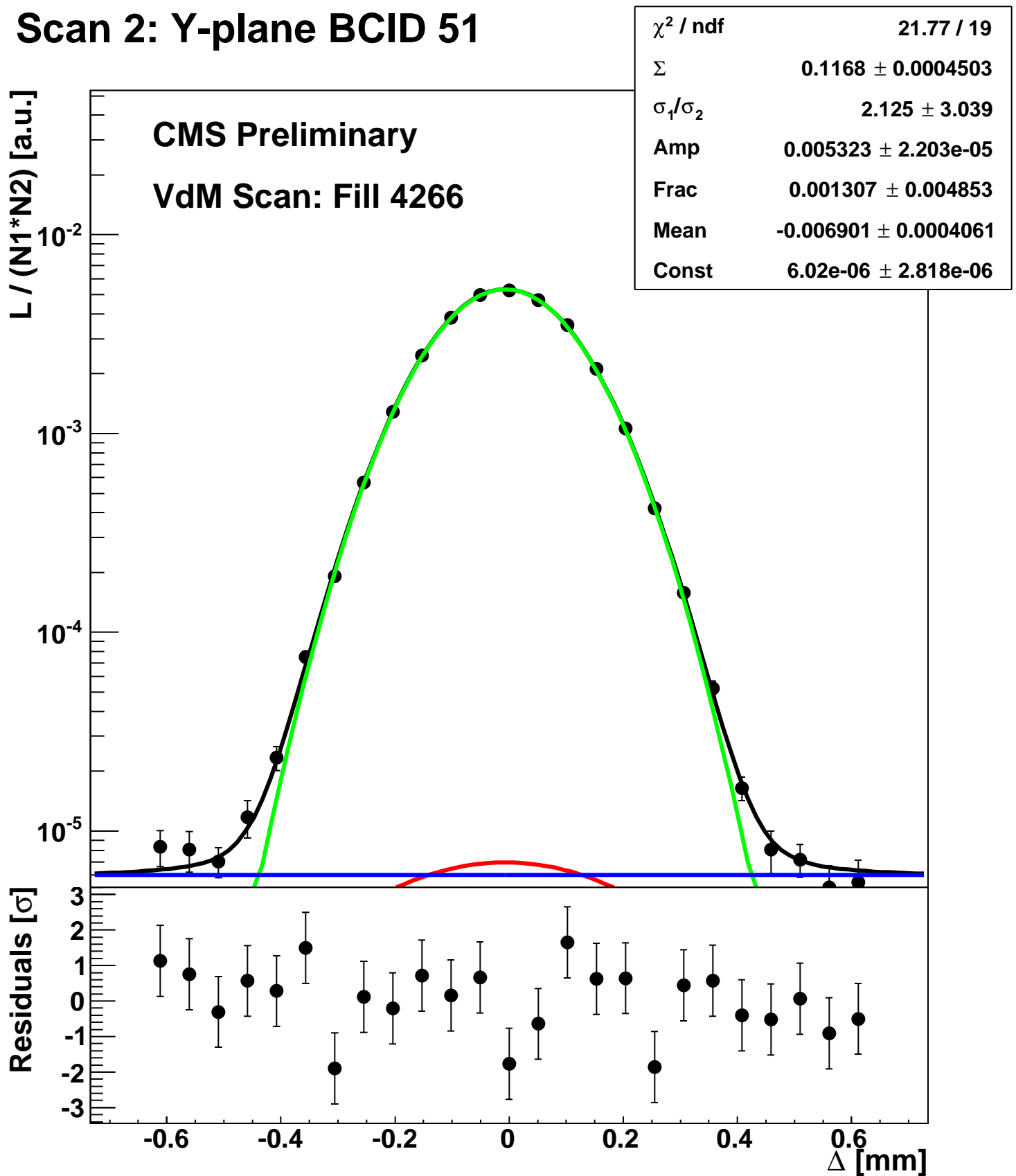
Scan 2: Y-plane BCID 2674



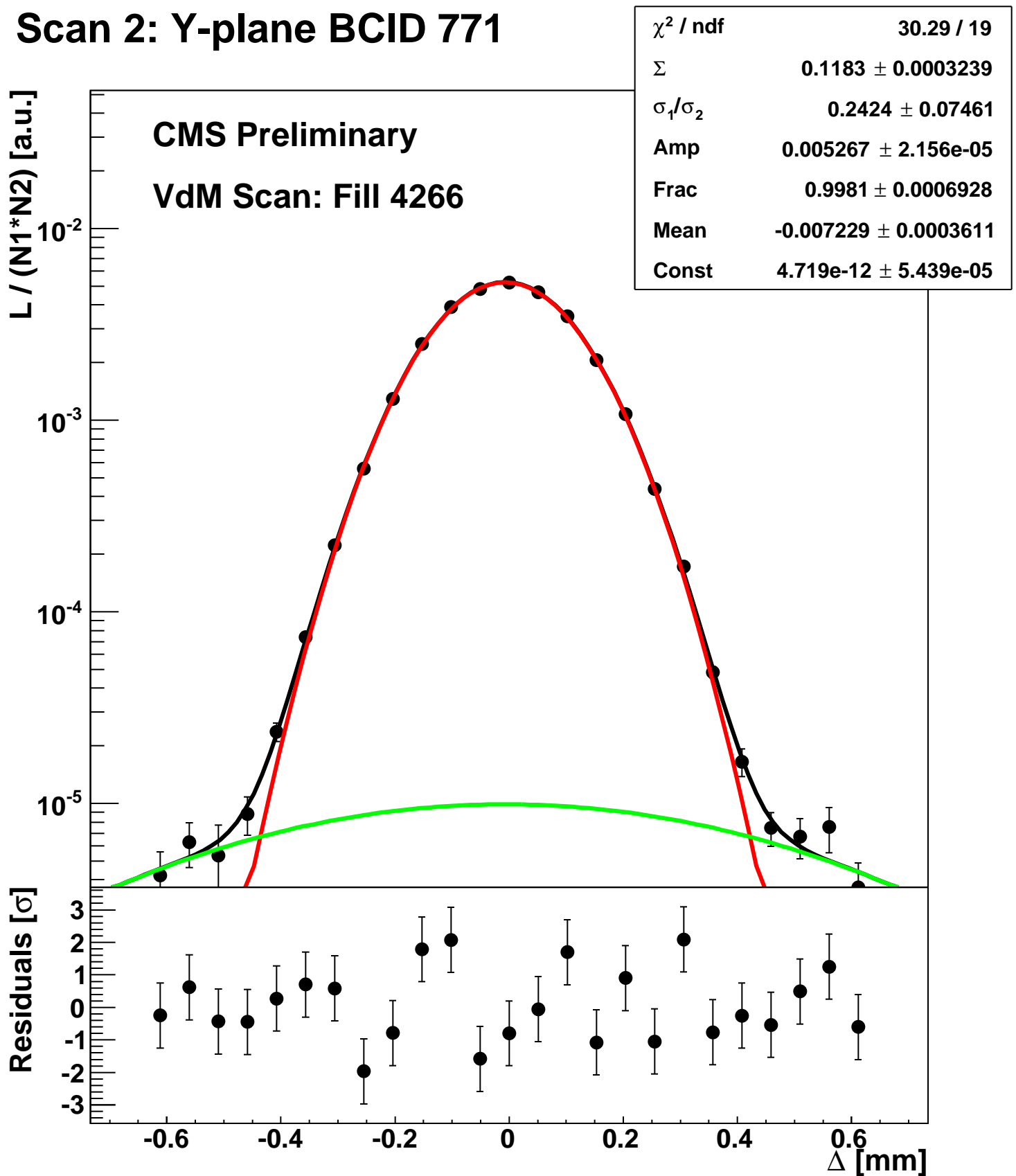
Scan 2: Y-plane BCID 291



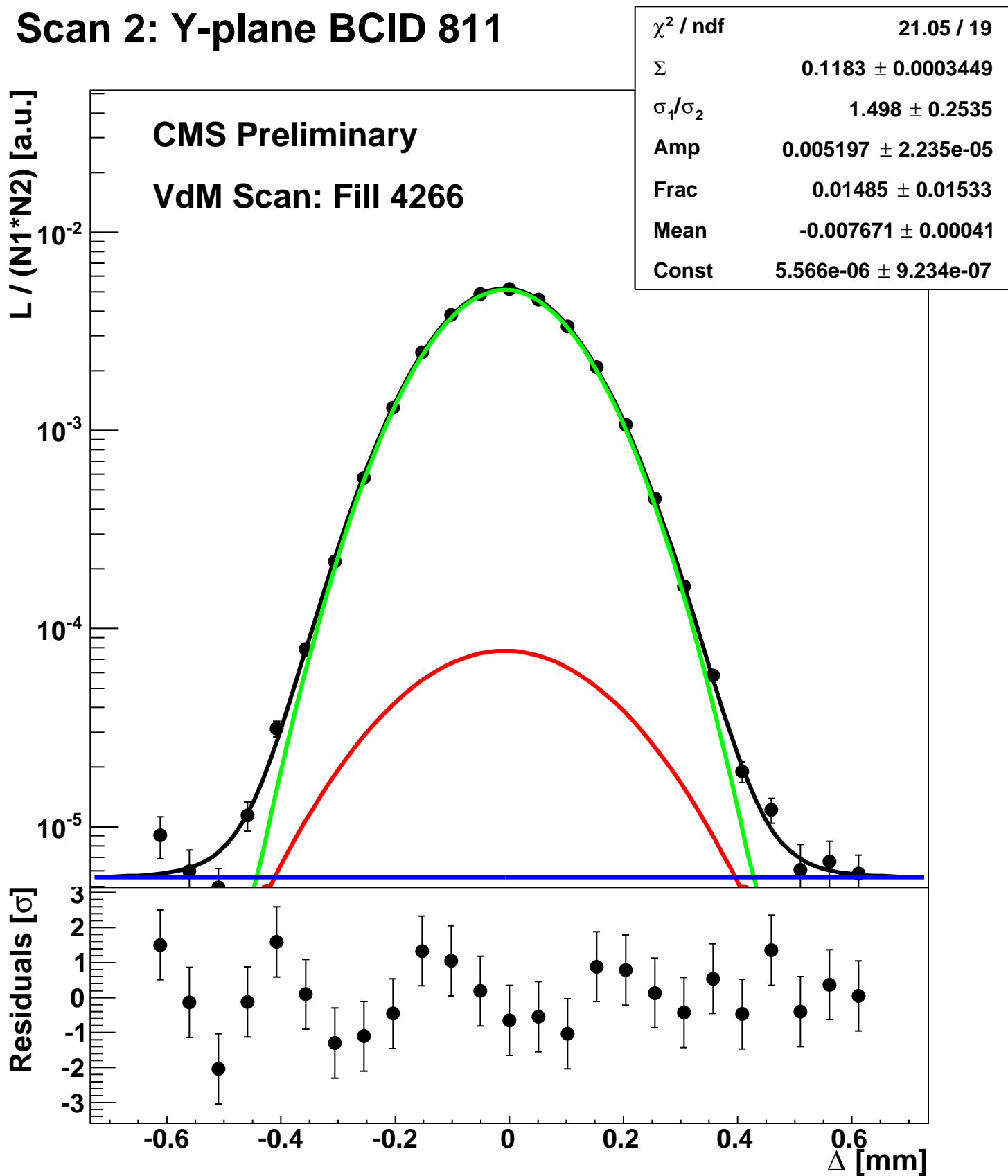
Scan 2: Y-plane BCID 51



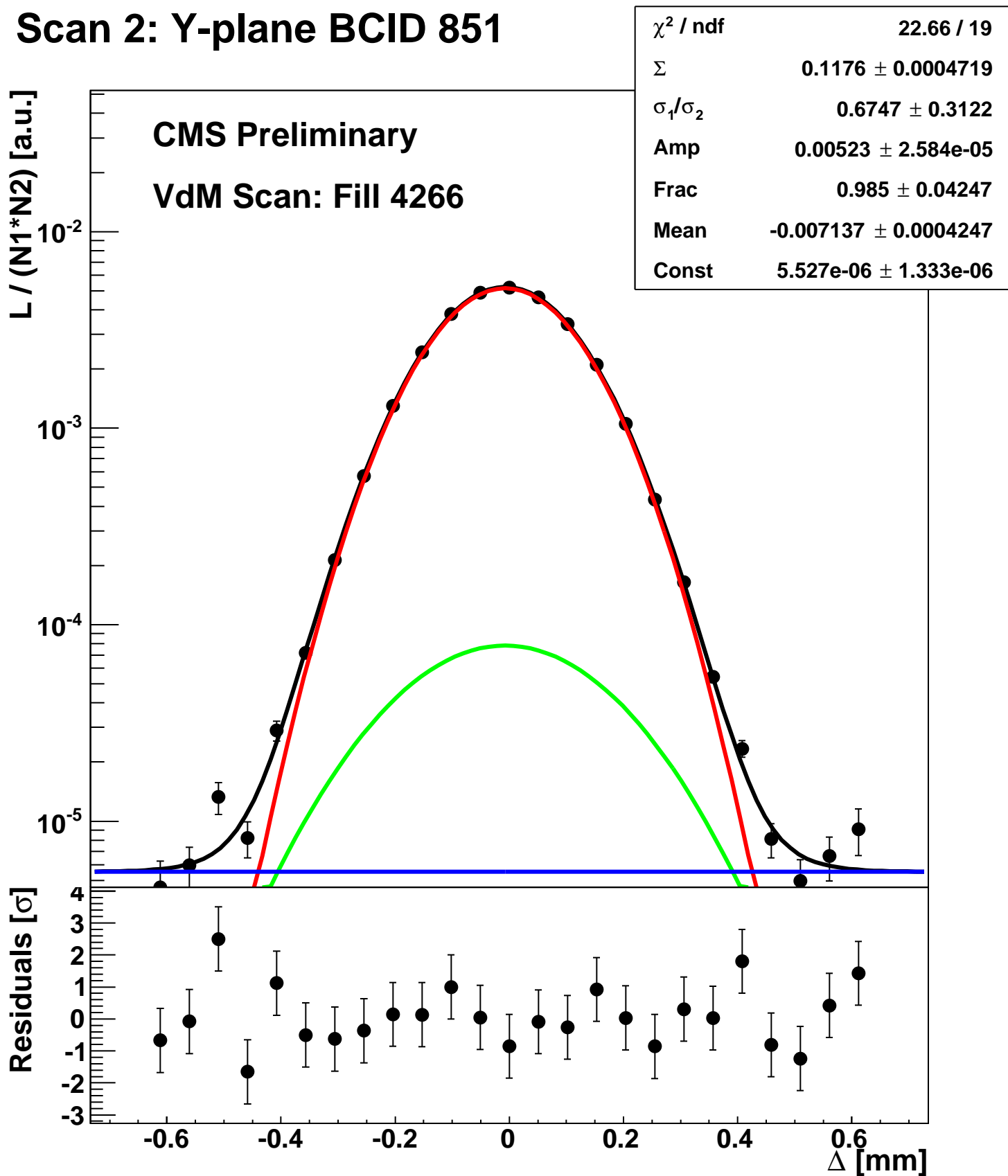
Scan 2: Y-plane BCID 771



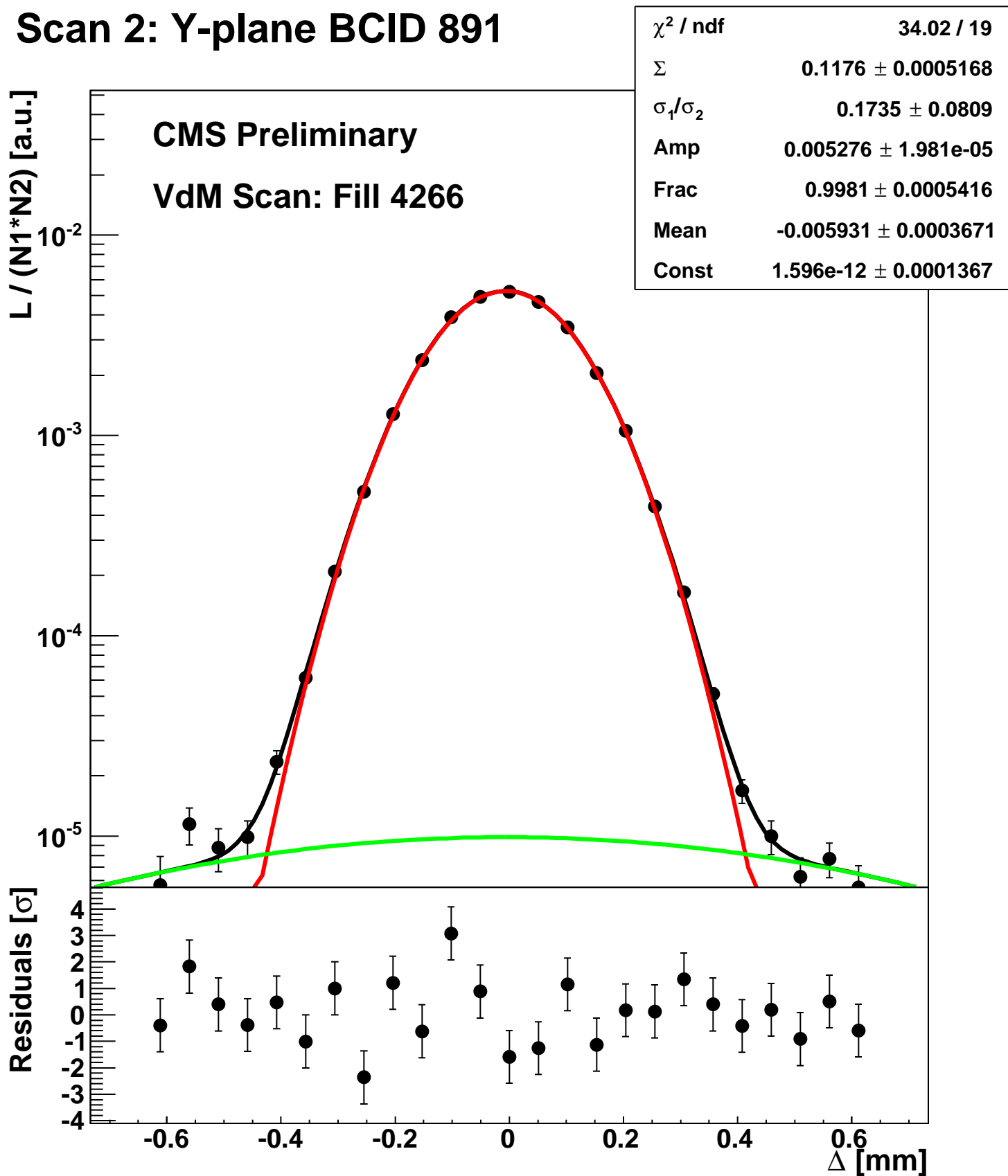
Scan 2: Y-plane BCID 811



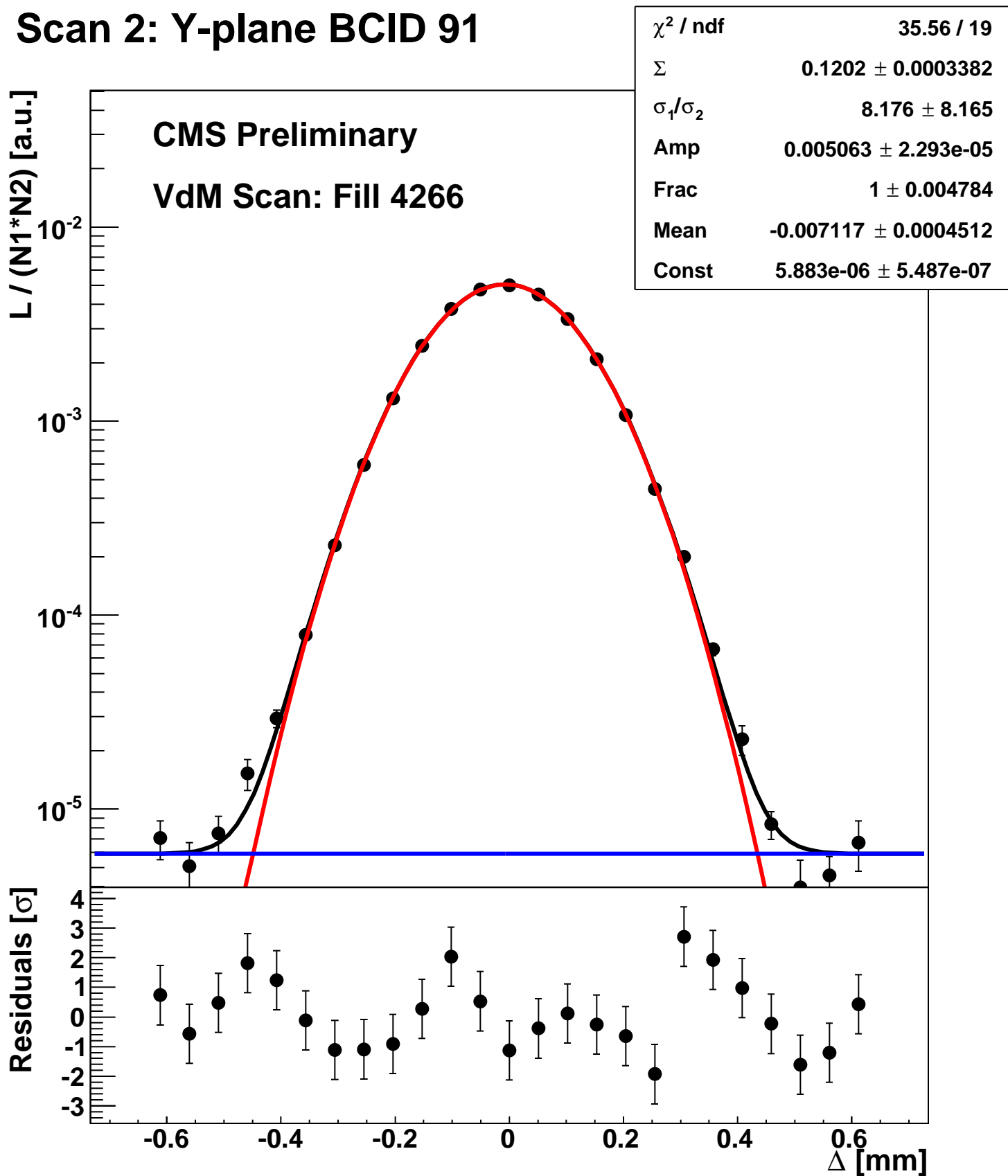
Scan 2: Y-plane BCID 851



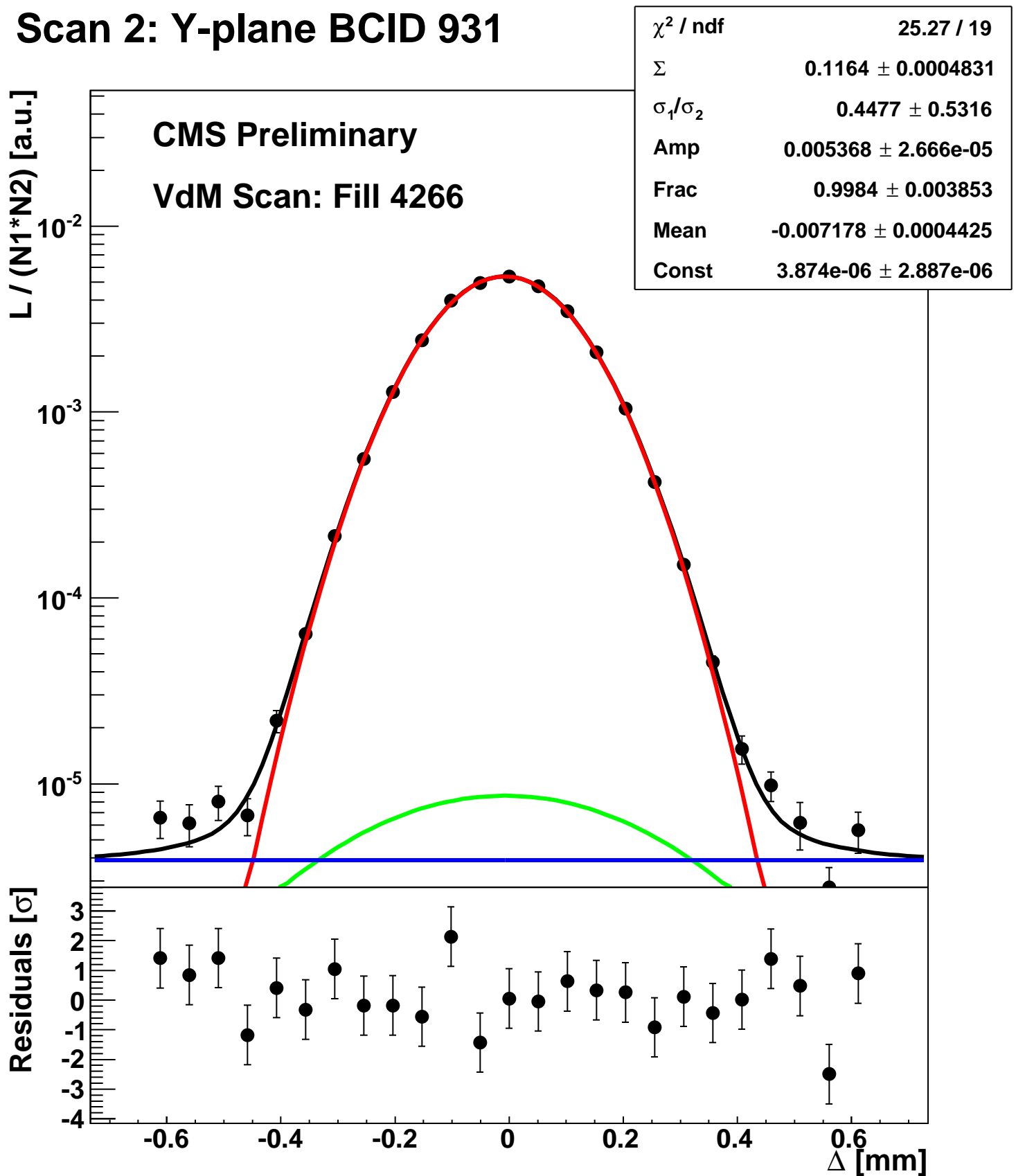
Scan 2: Y-plane BCID 891



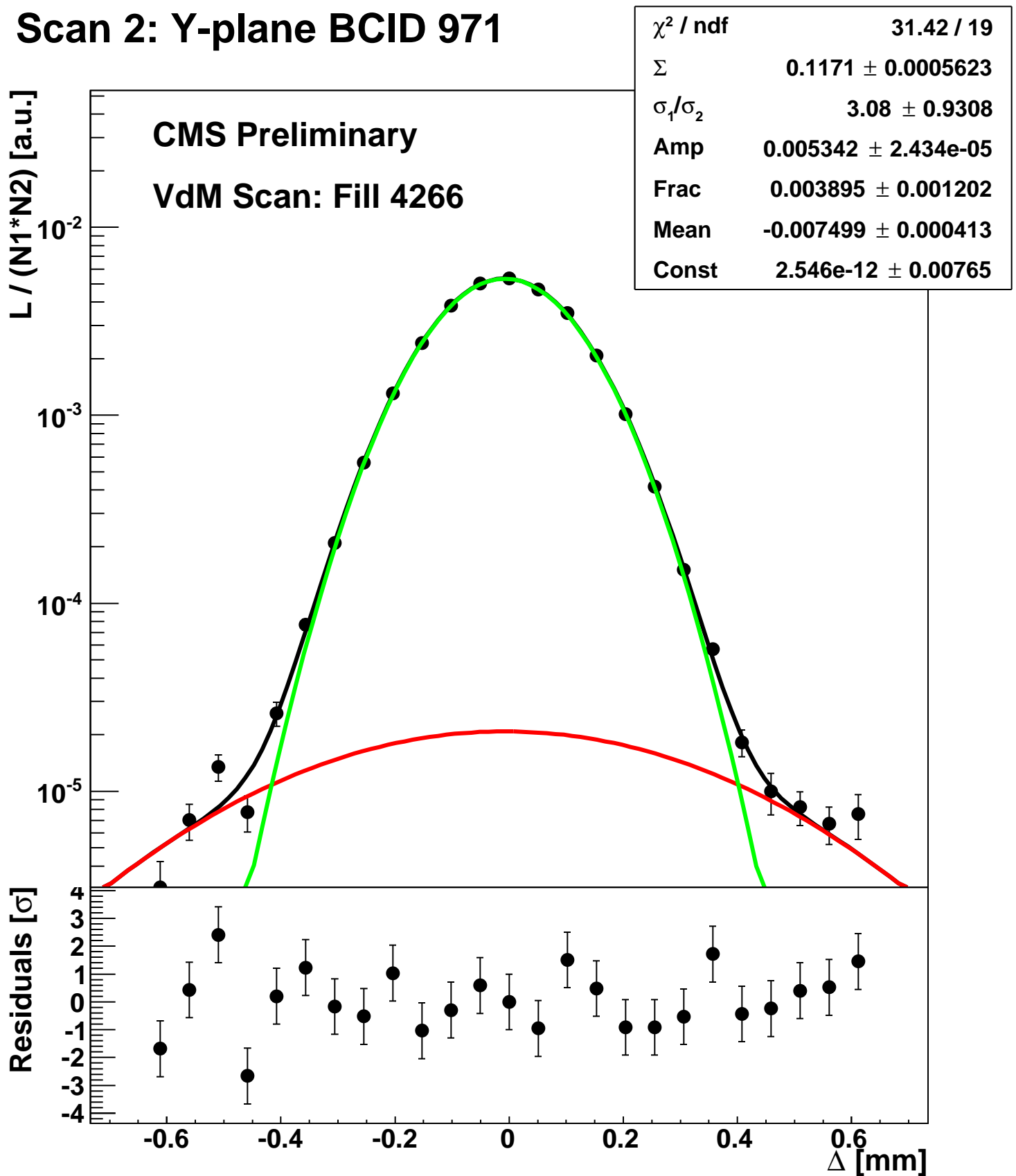
Scan 2: Y-plane BCID 91



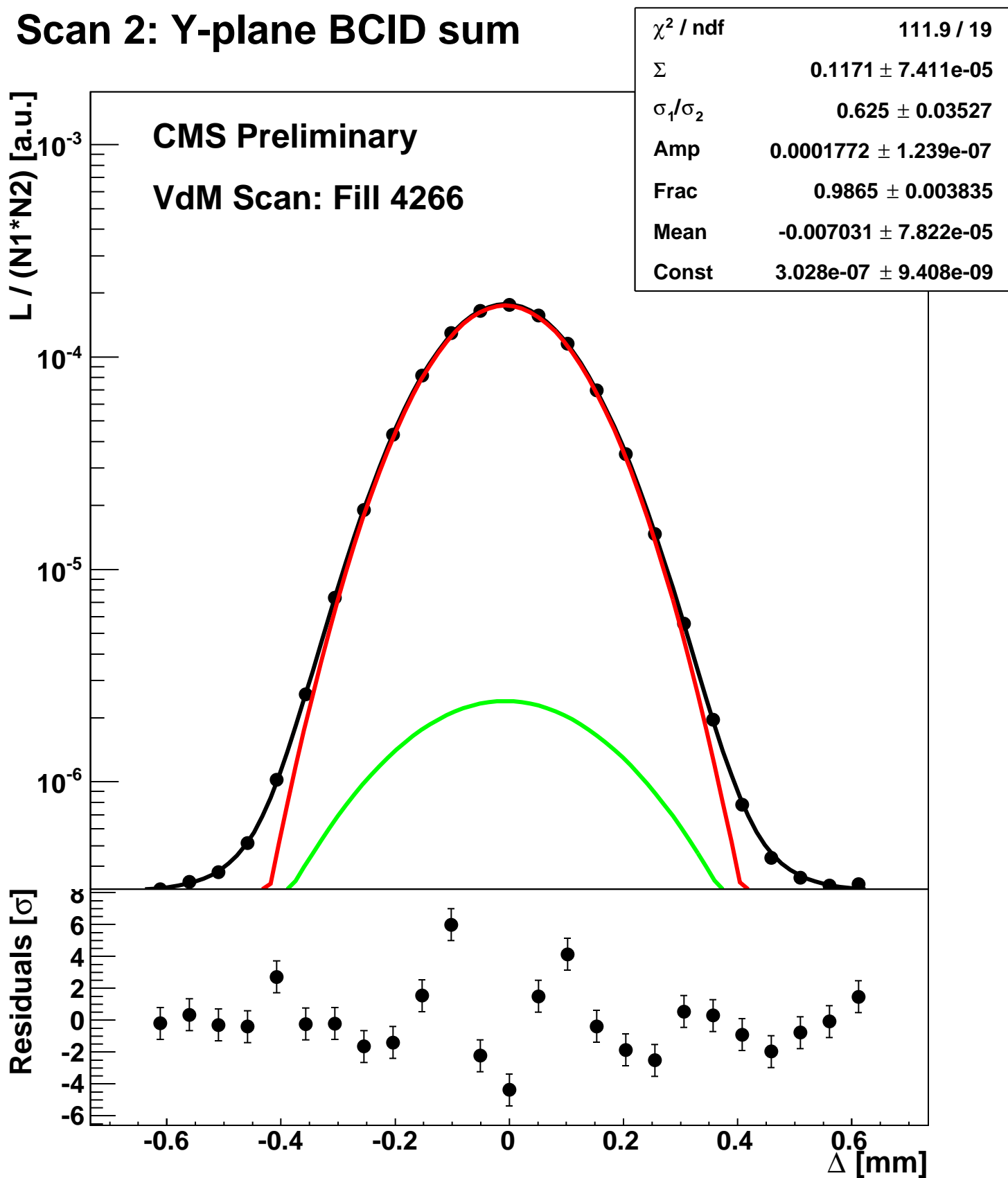
Scan 2: Y-plane BCID 931



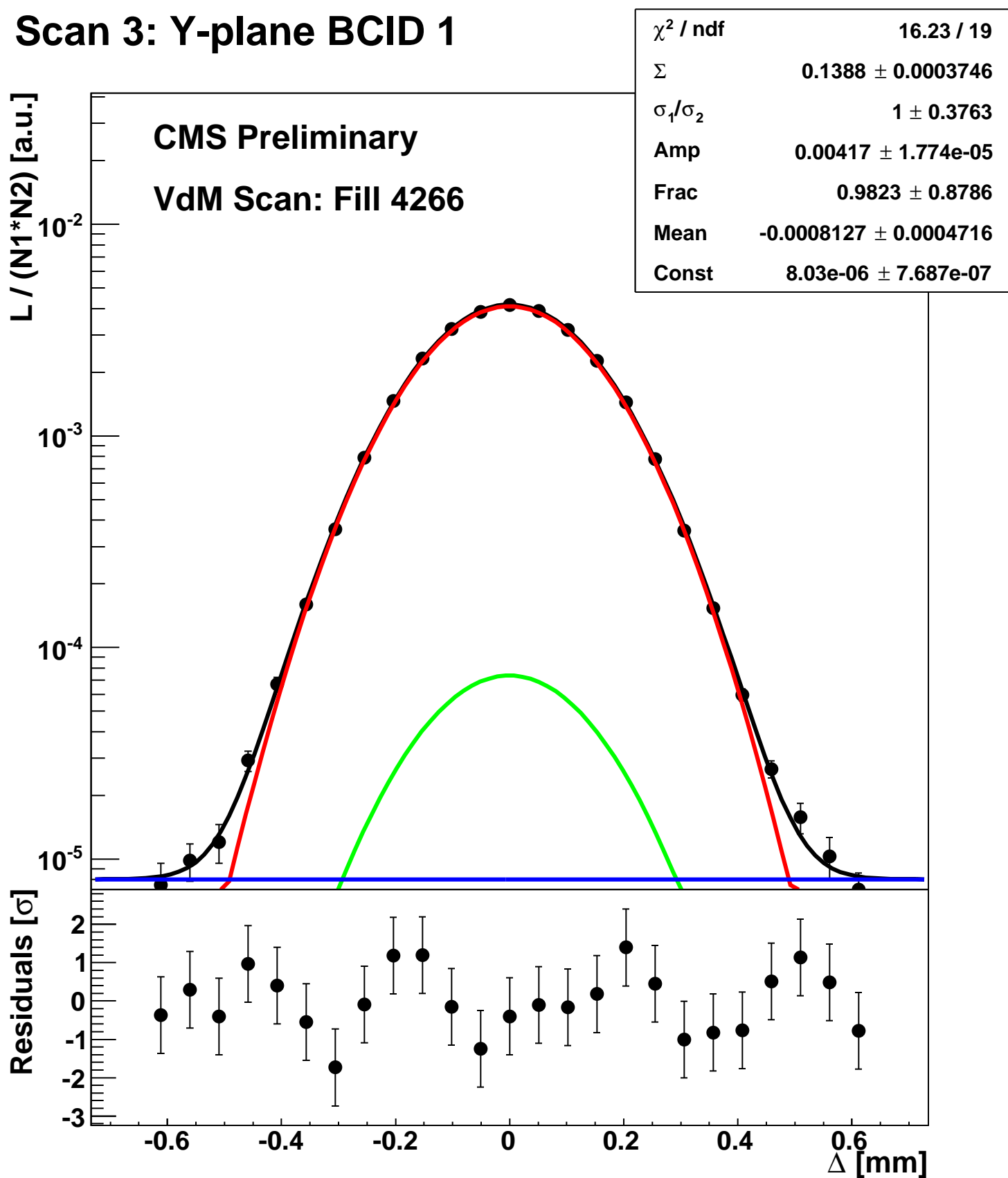
Scan 2: Y-plane BCID 971



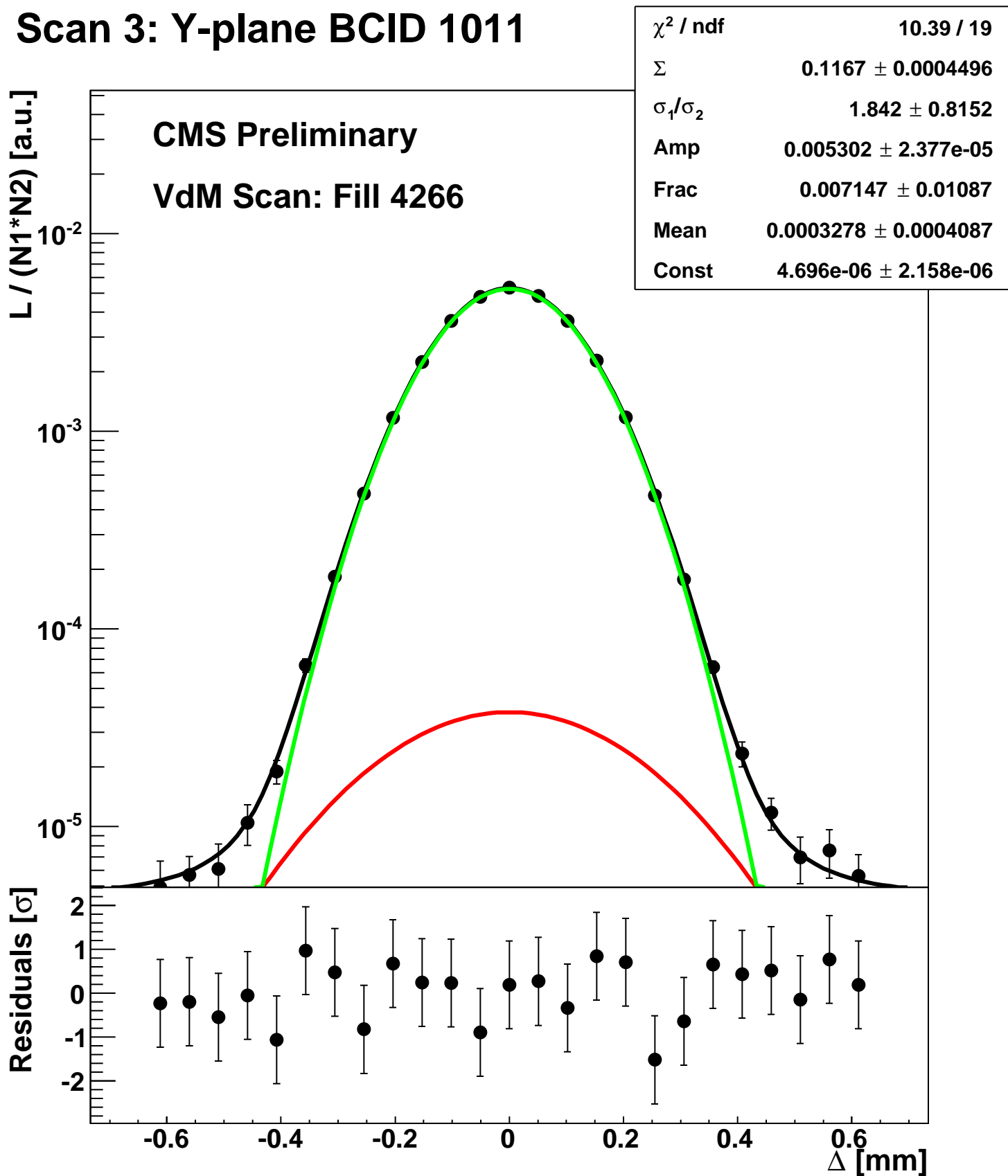
Scan 2: Y-plane BCID sum



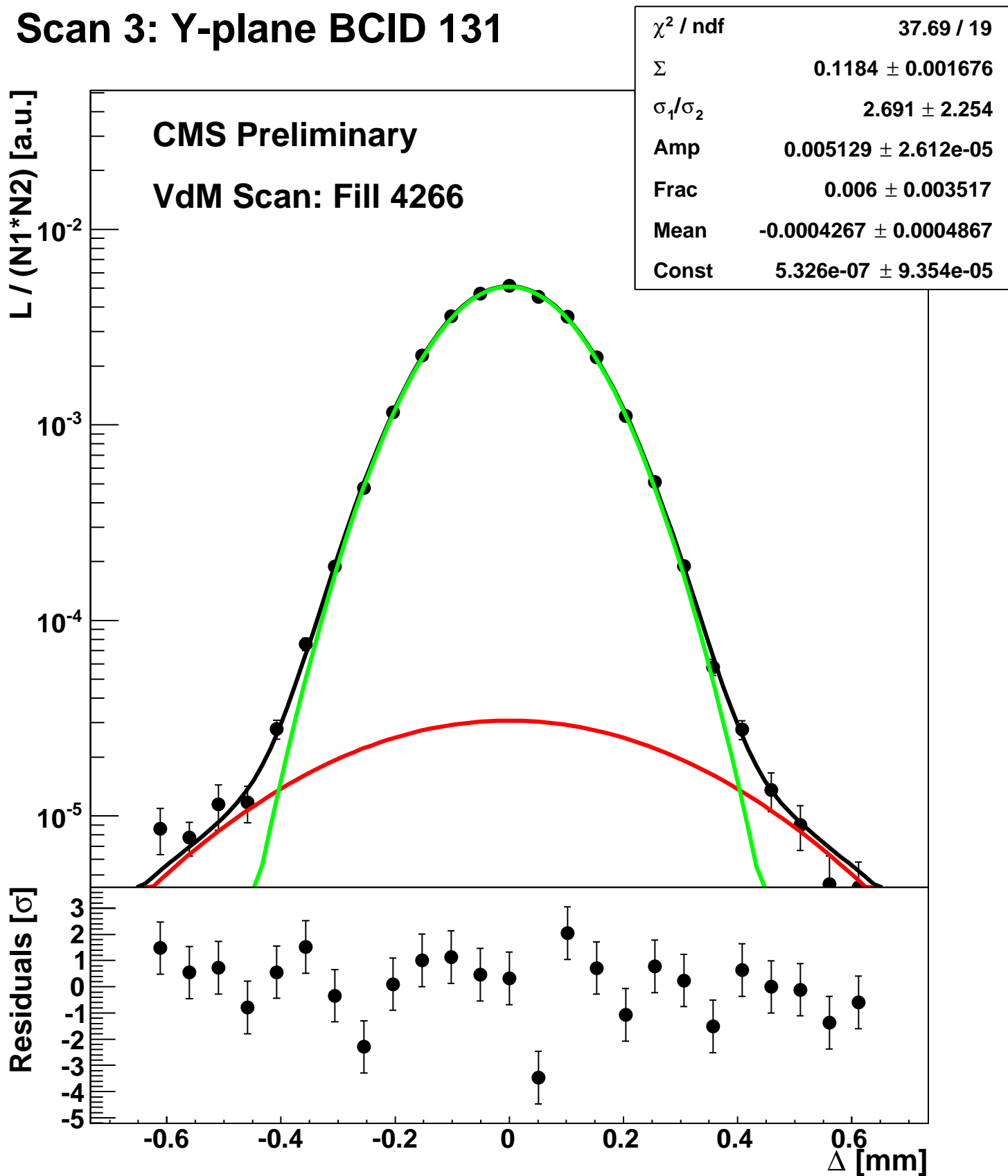
Scan 3: Y-plane BCID 1



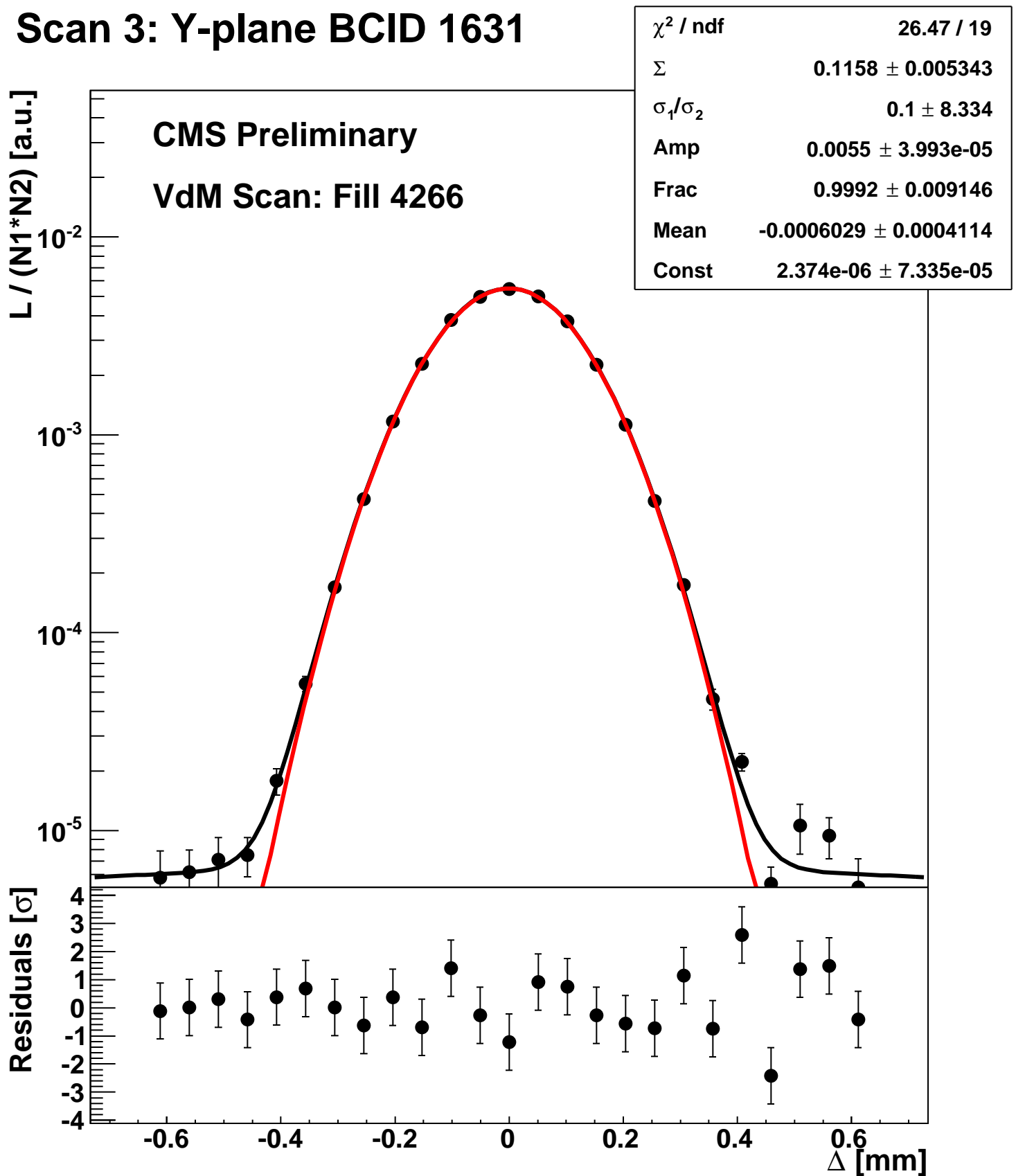
Scan 3: Y-plane BCID 1011



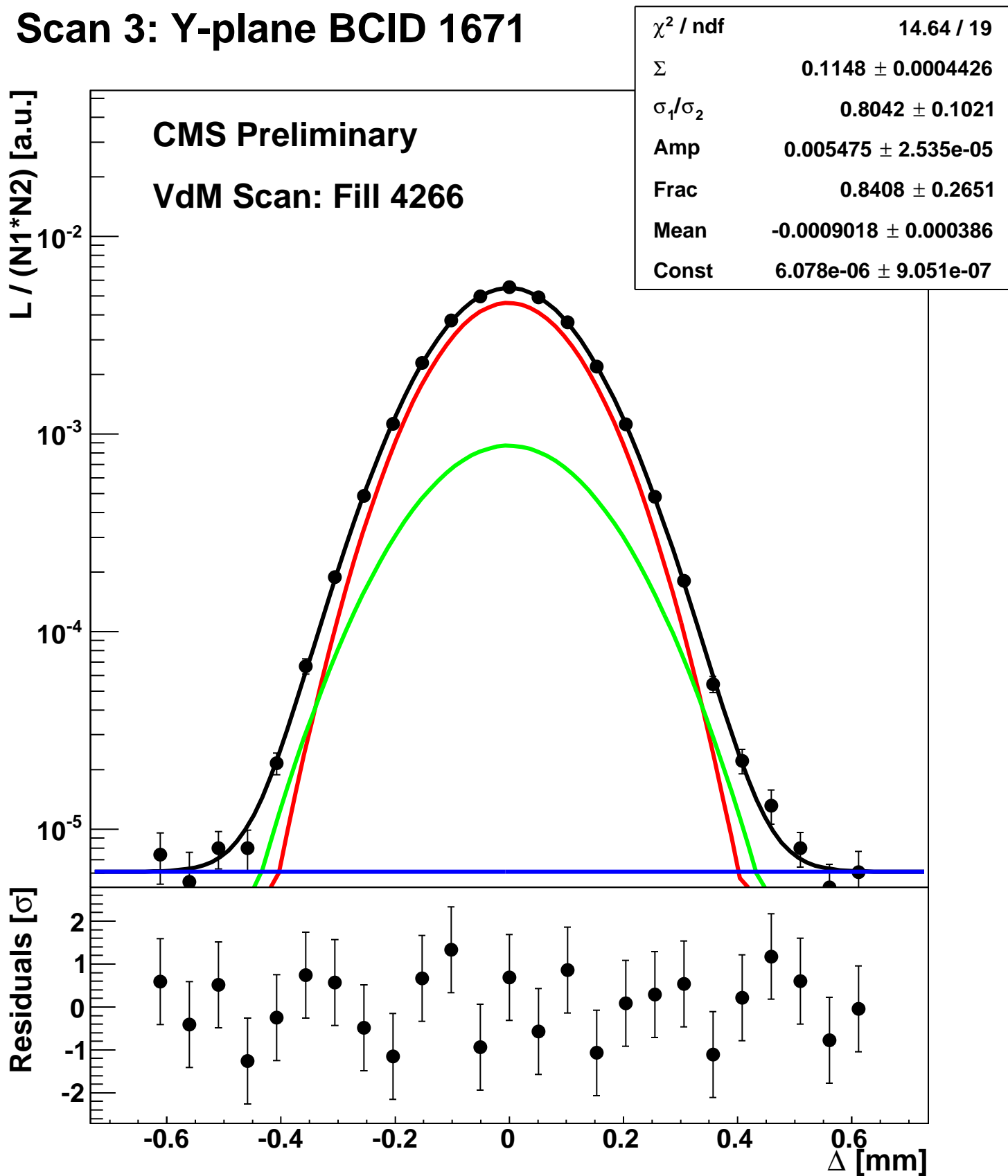
Scan 3: Y-plane BCID 131



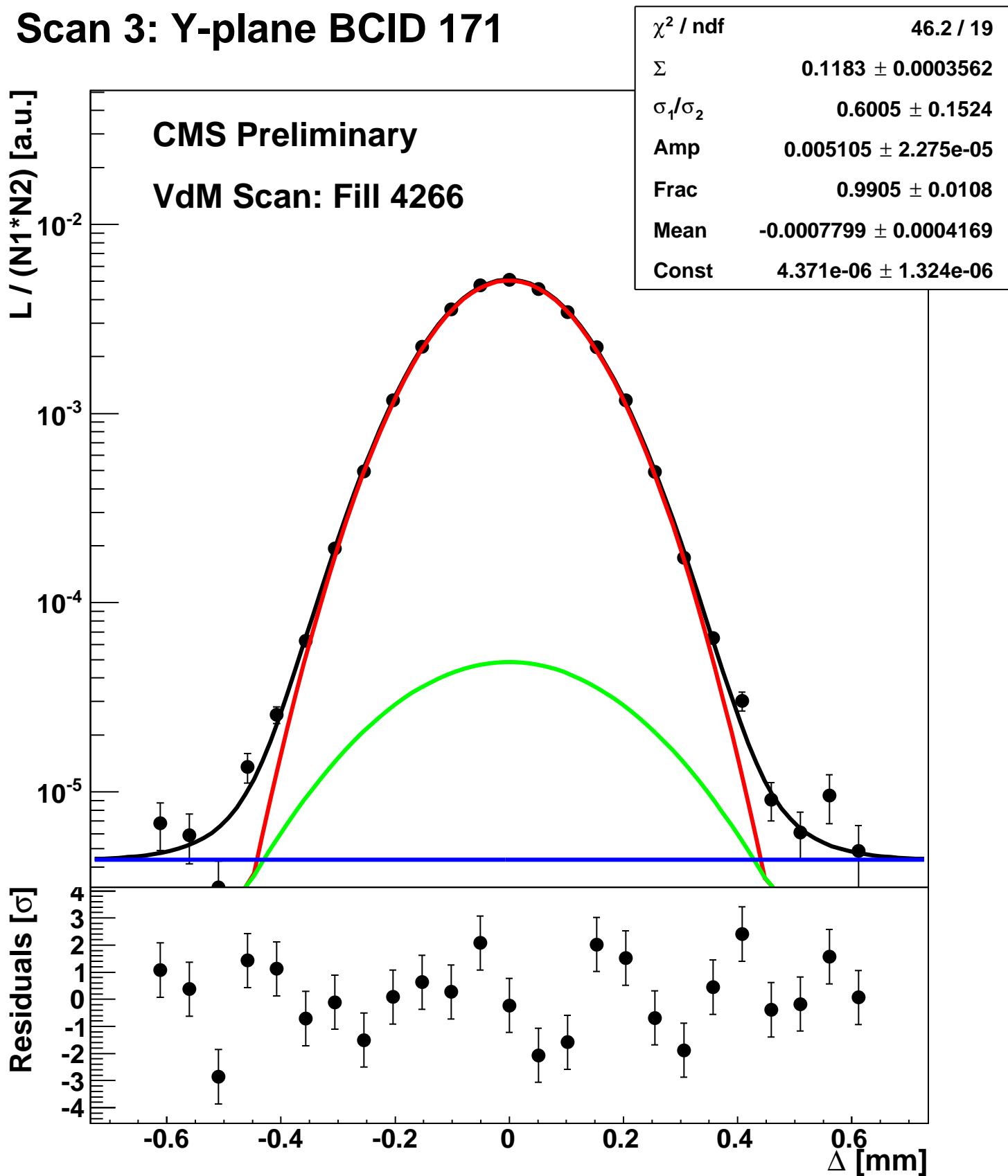
Scan 3: Y-plane BCID 1631



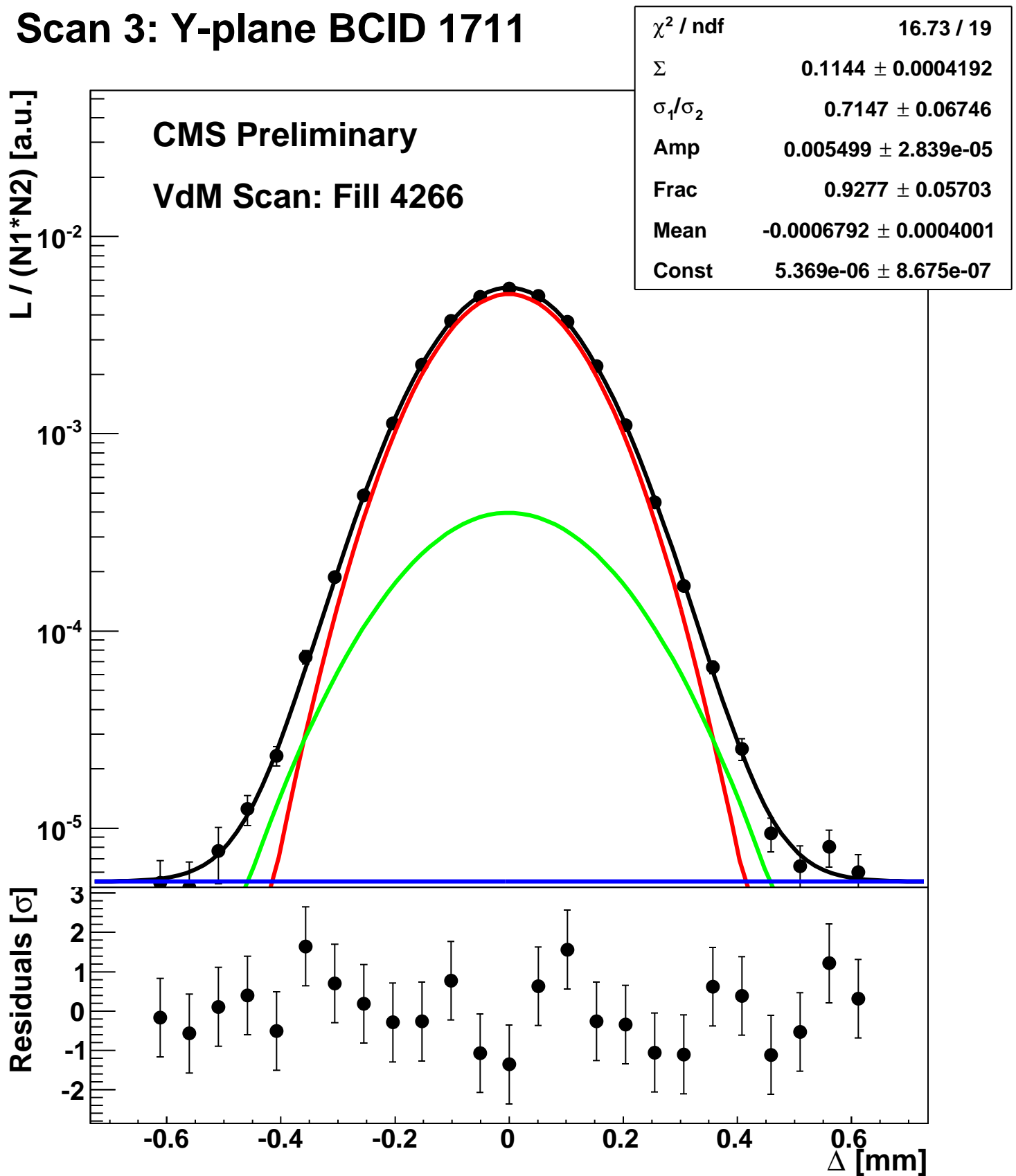
Scan 3: Y-plane BCID 1671



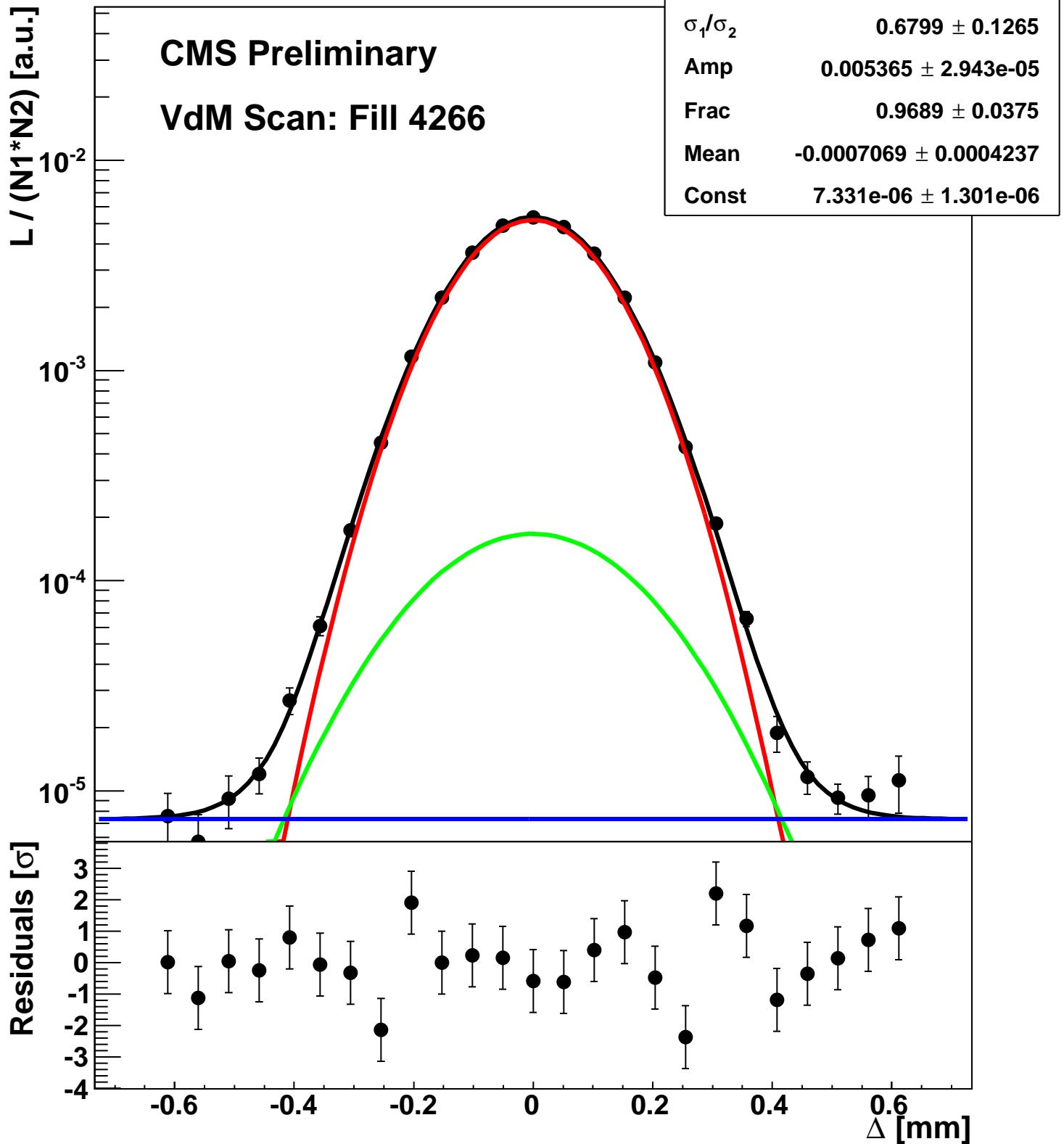
Scan 3: Y-plane BCID 171



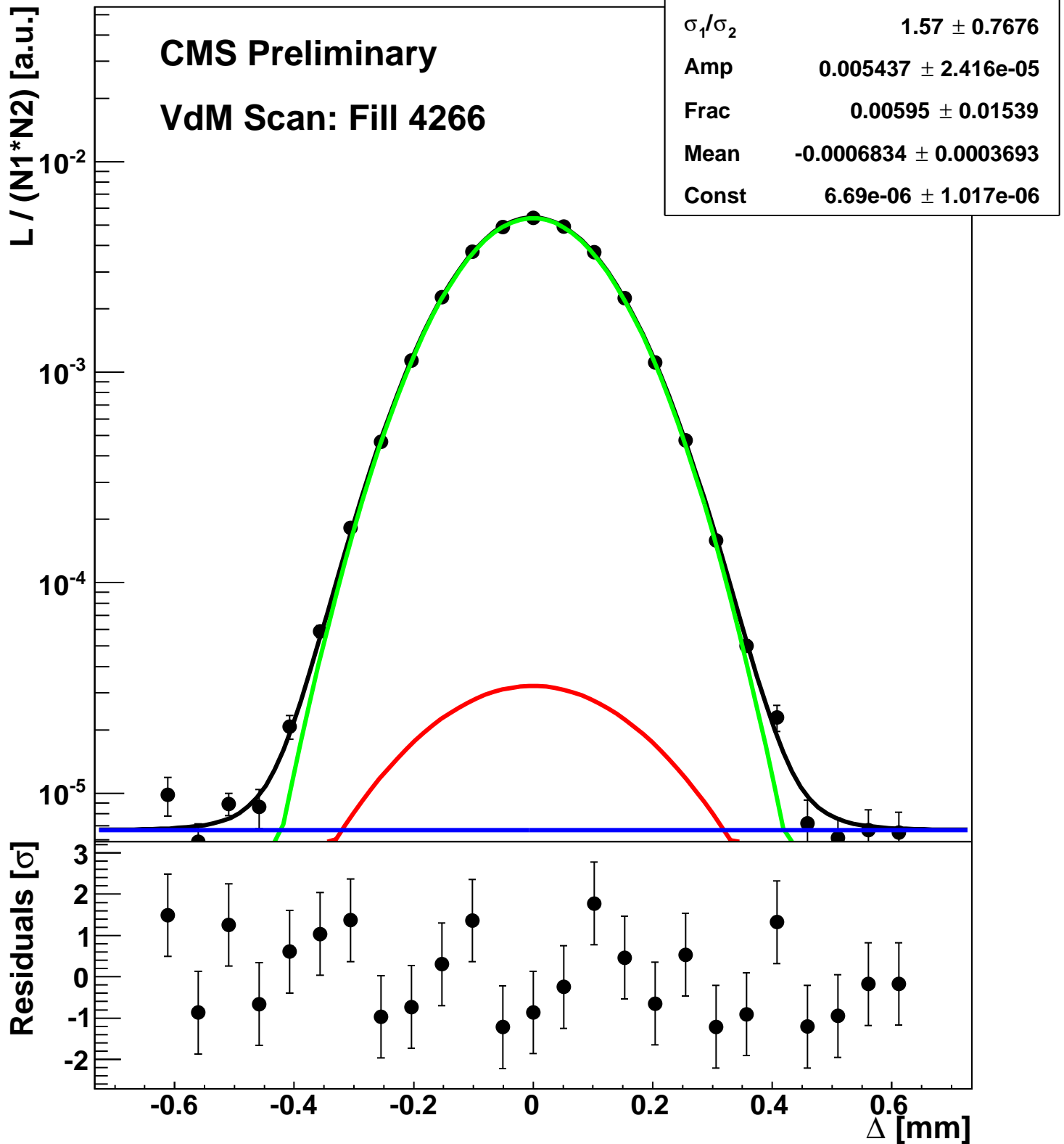
Scan 3: Y-plane BCID 1711



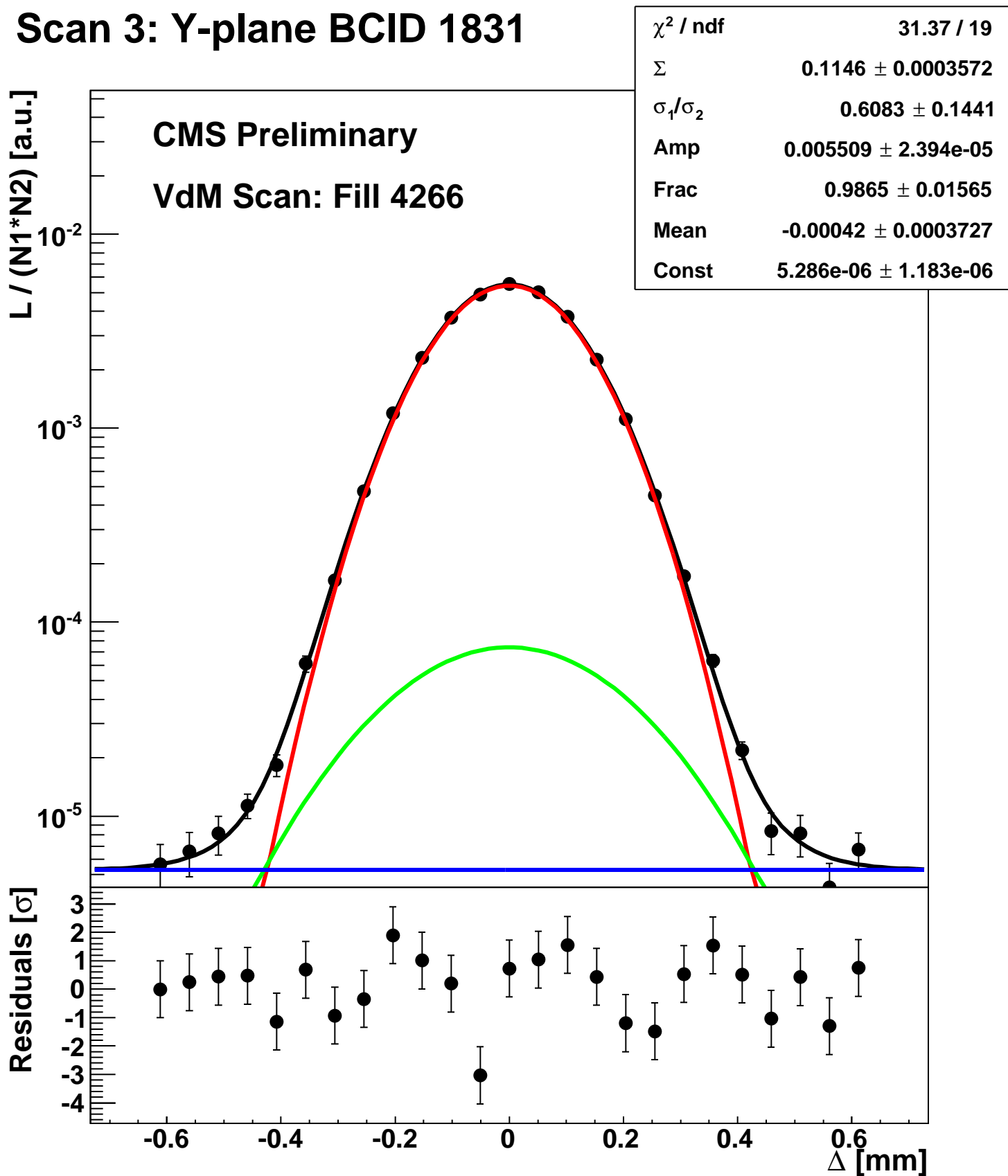
Scan 3: Y-plane BCID 1751



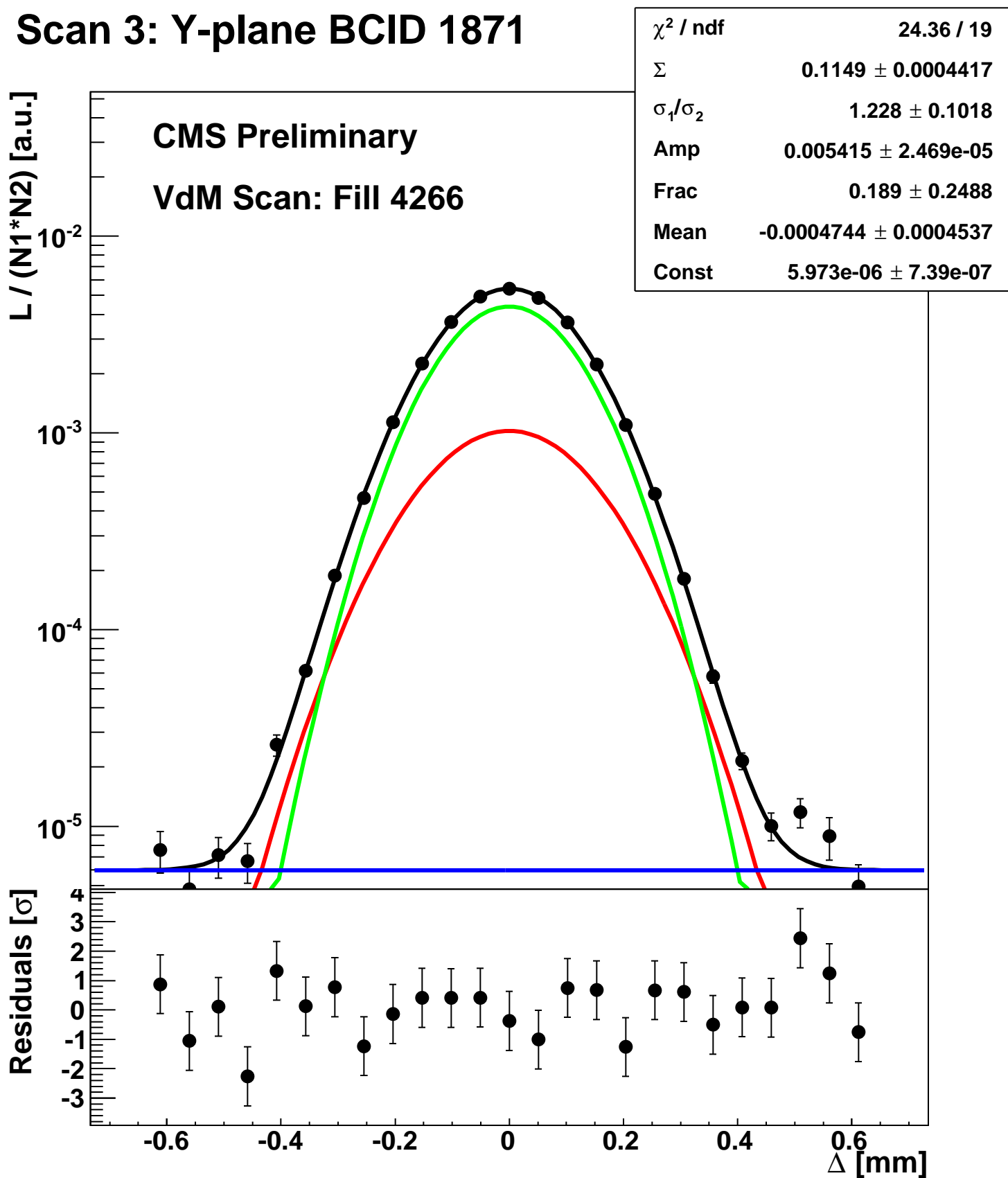
Scan 3: Y-plane BCID 1791



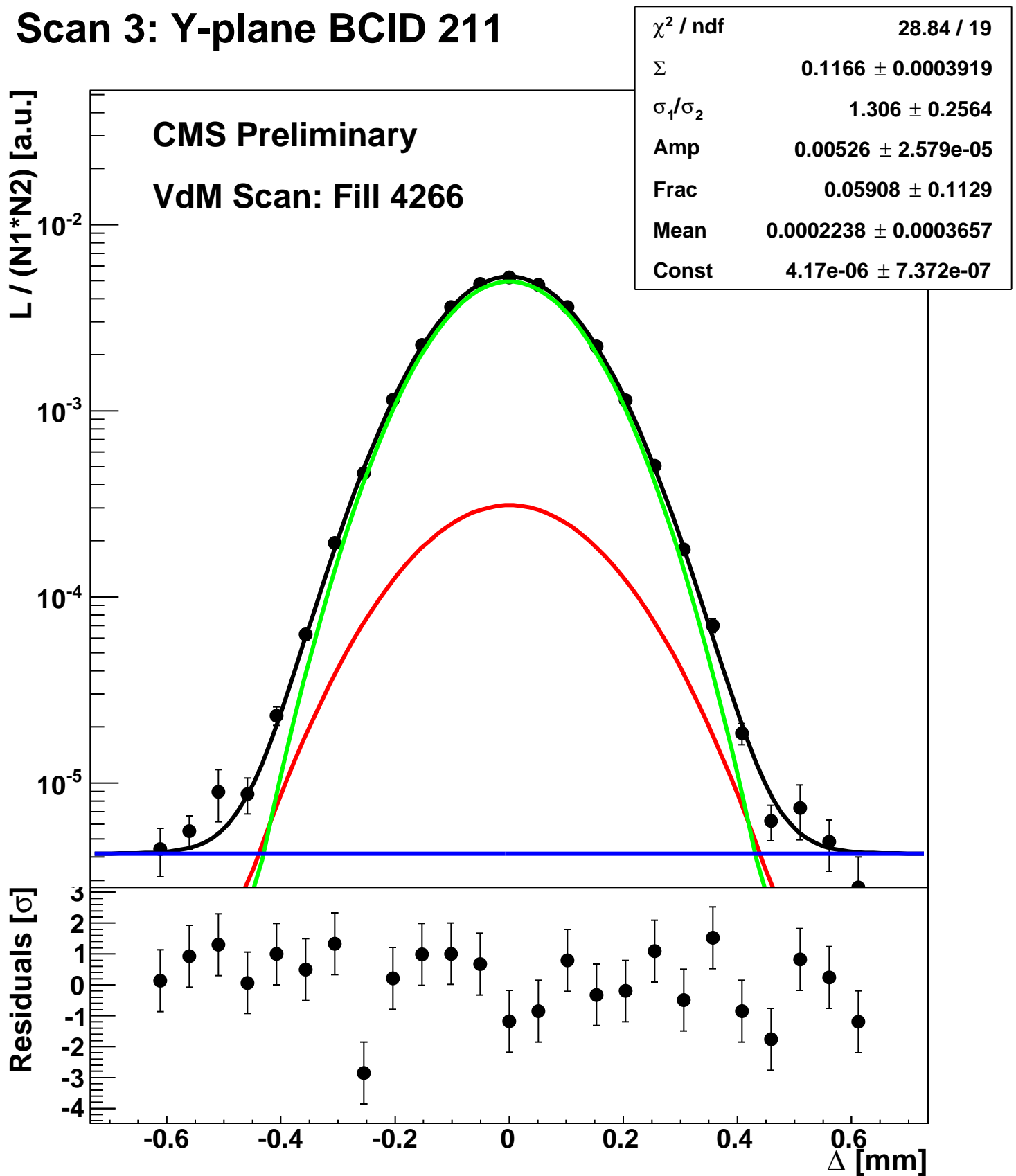
Scan 3: Y-plane BCID 1831



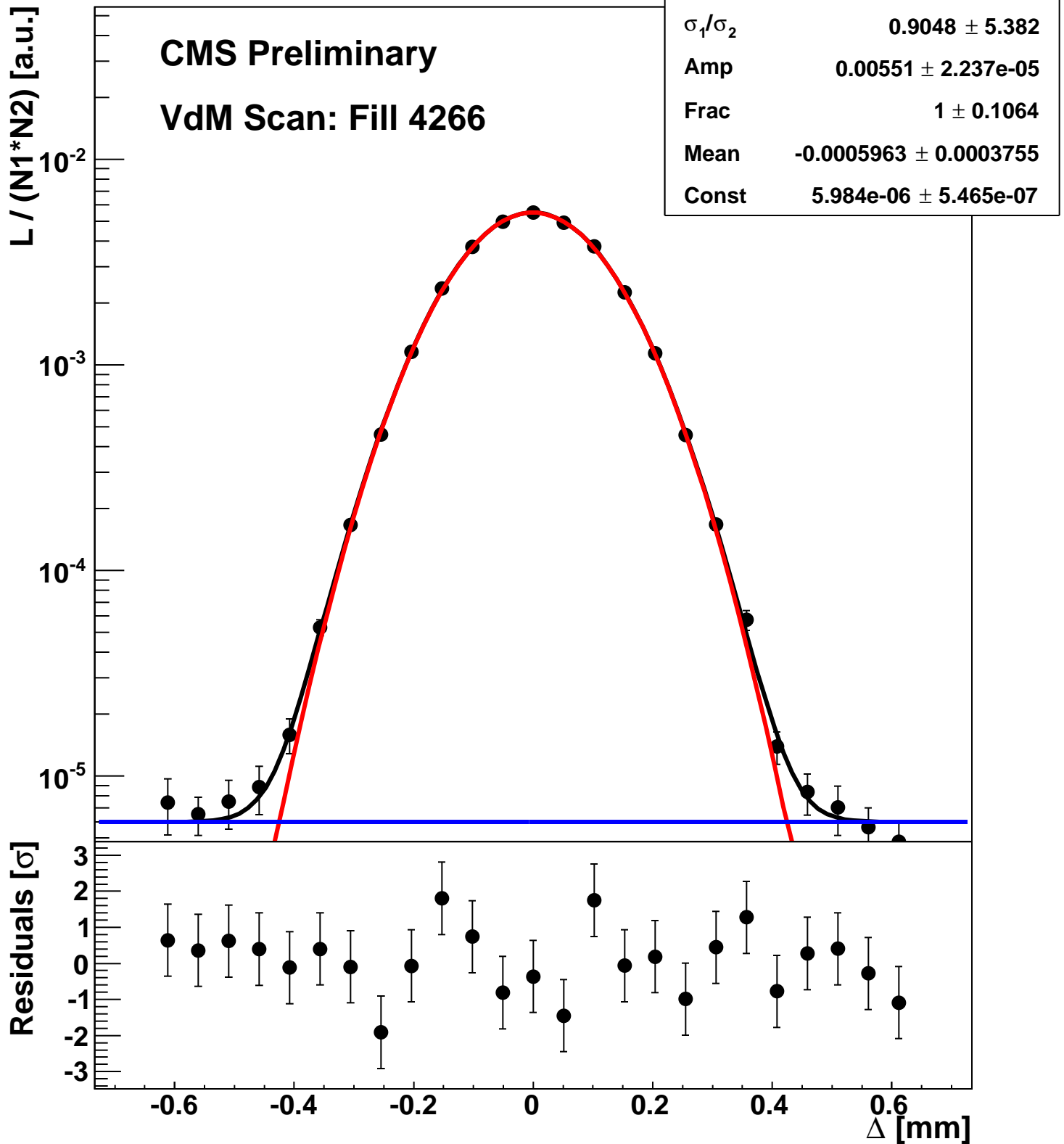
Scan 3: Y-plane BCID 1871



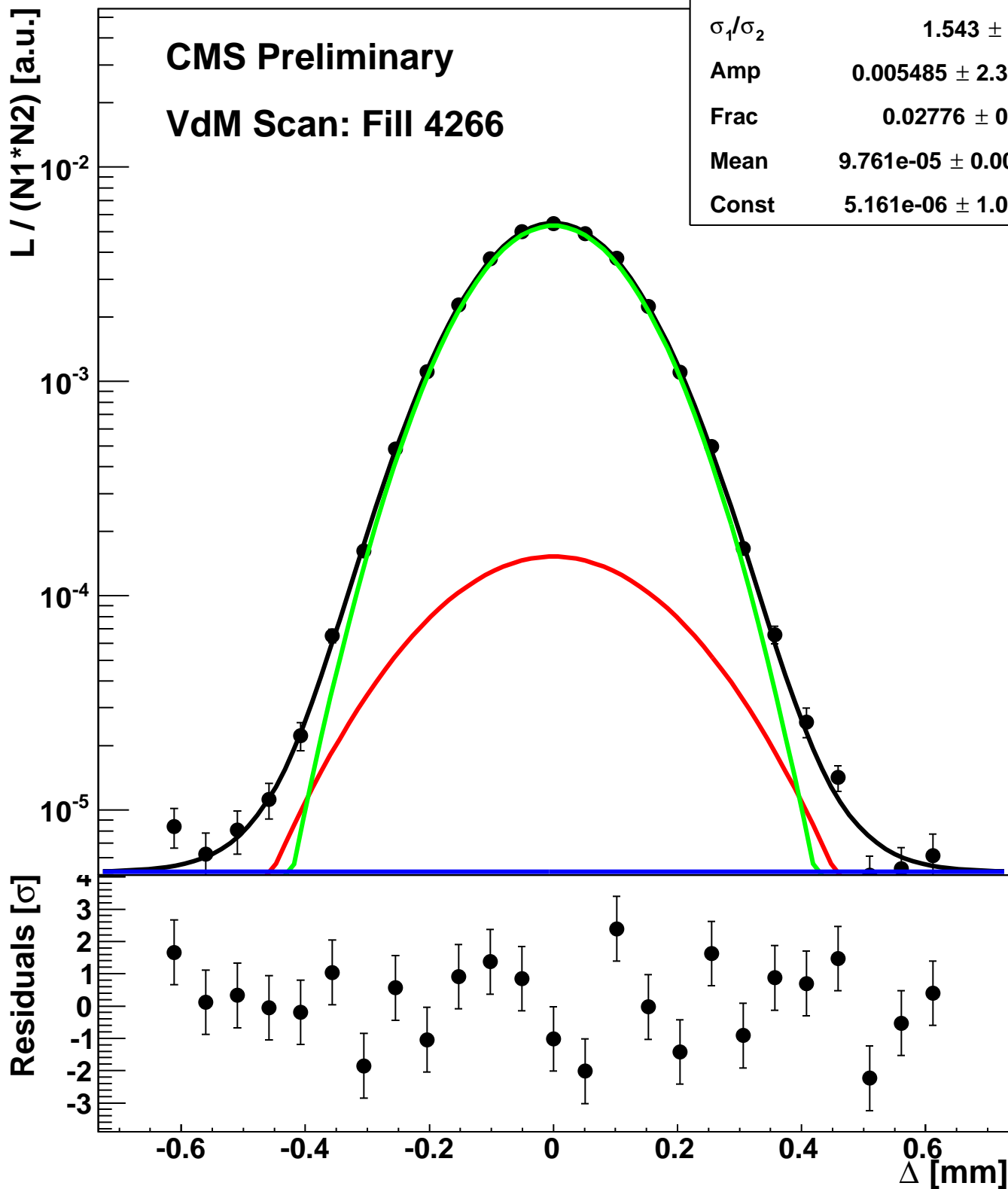
Scan 3: Y-plane BCID 211



Scan 3: Y-plane BCID 2211

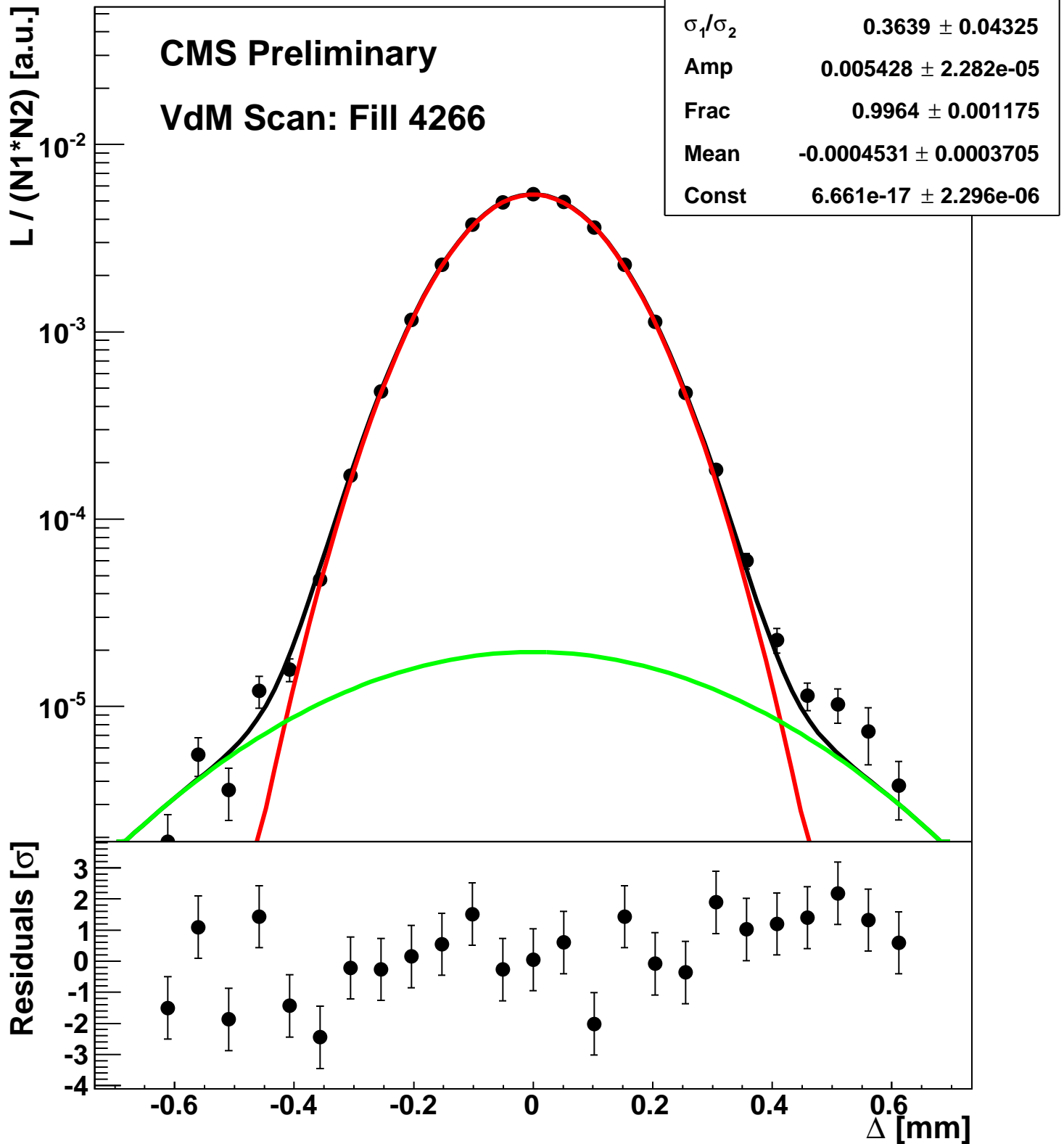


Scan 3: Y-plane BCID 2251

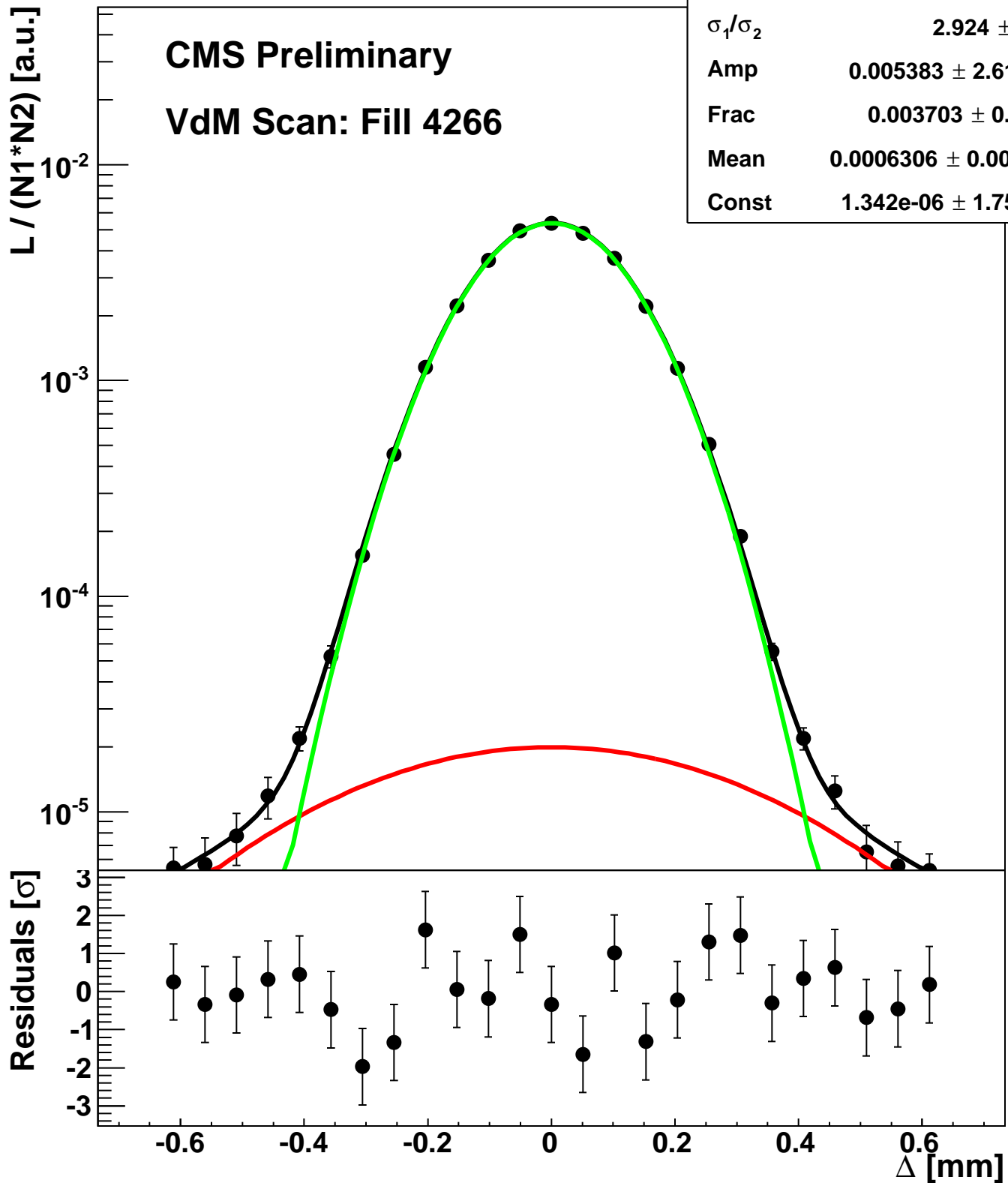


χ^2 / ndf	37.44 / 19
Σ	0.1146 ± 0.0003512
σ_1 / σ_2	1.543 ± 0.2065
Amp	$0.005485 \pm 2.398\text{e-}05$
Frac	0.02776 ± 0.02187
Mean	$9.761\text{e-}05 \pm 0.0003887$
Const	$5.161\text{e-}06 \pm 1.022\text{e-}06$

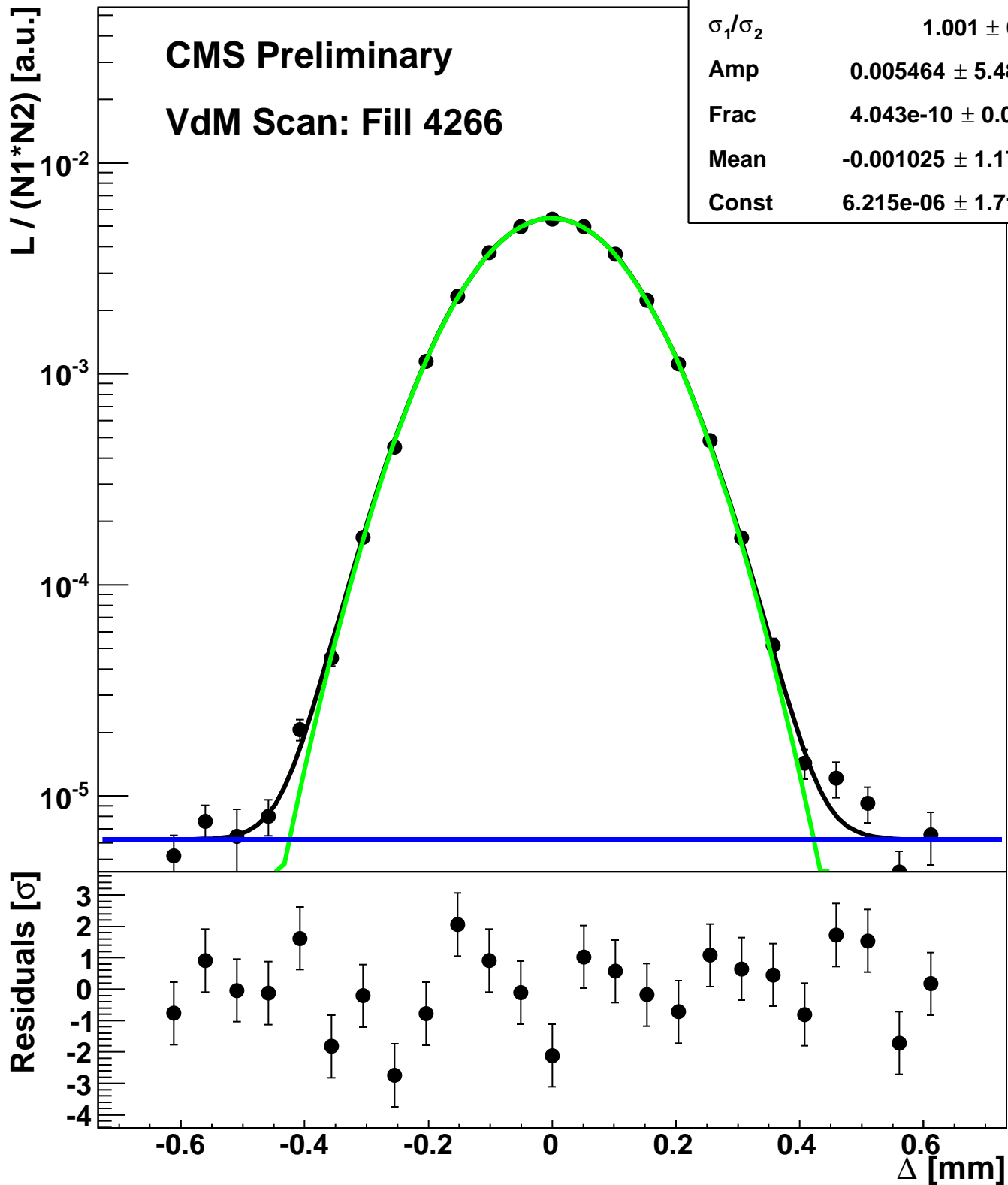
Scan 3: Y-plane BCID 2291



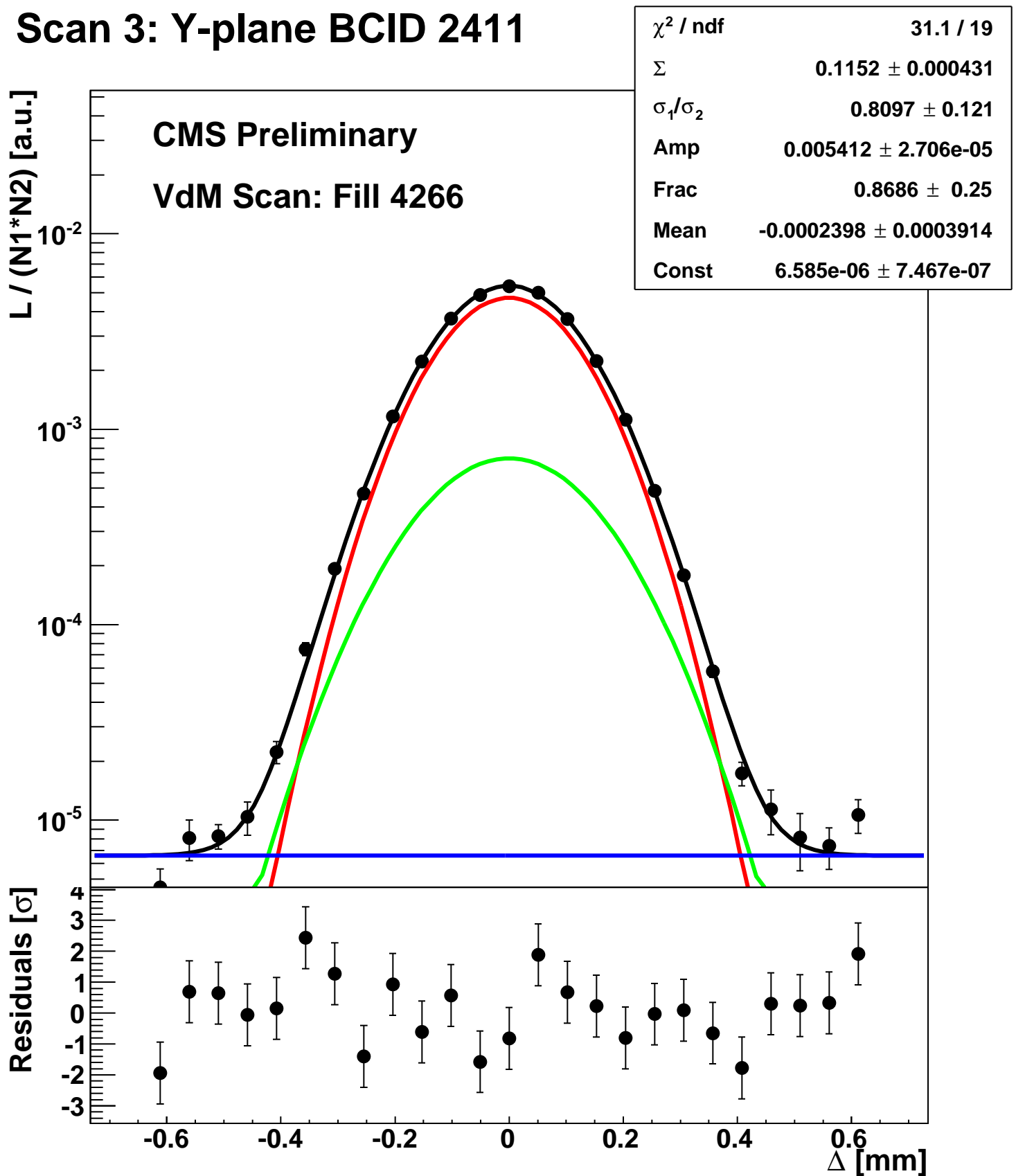
Scan 3: Y-plane BCID 2331



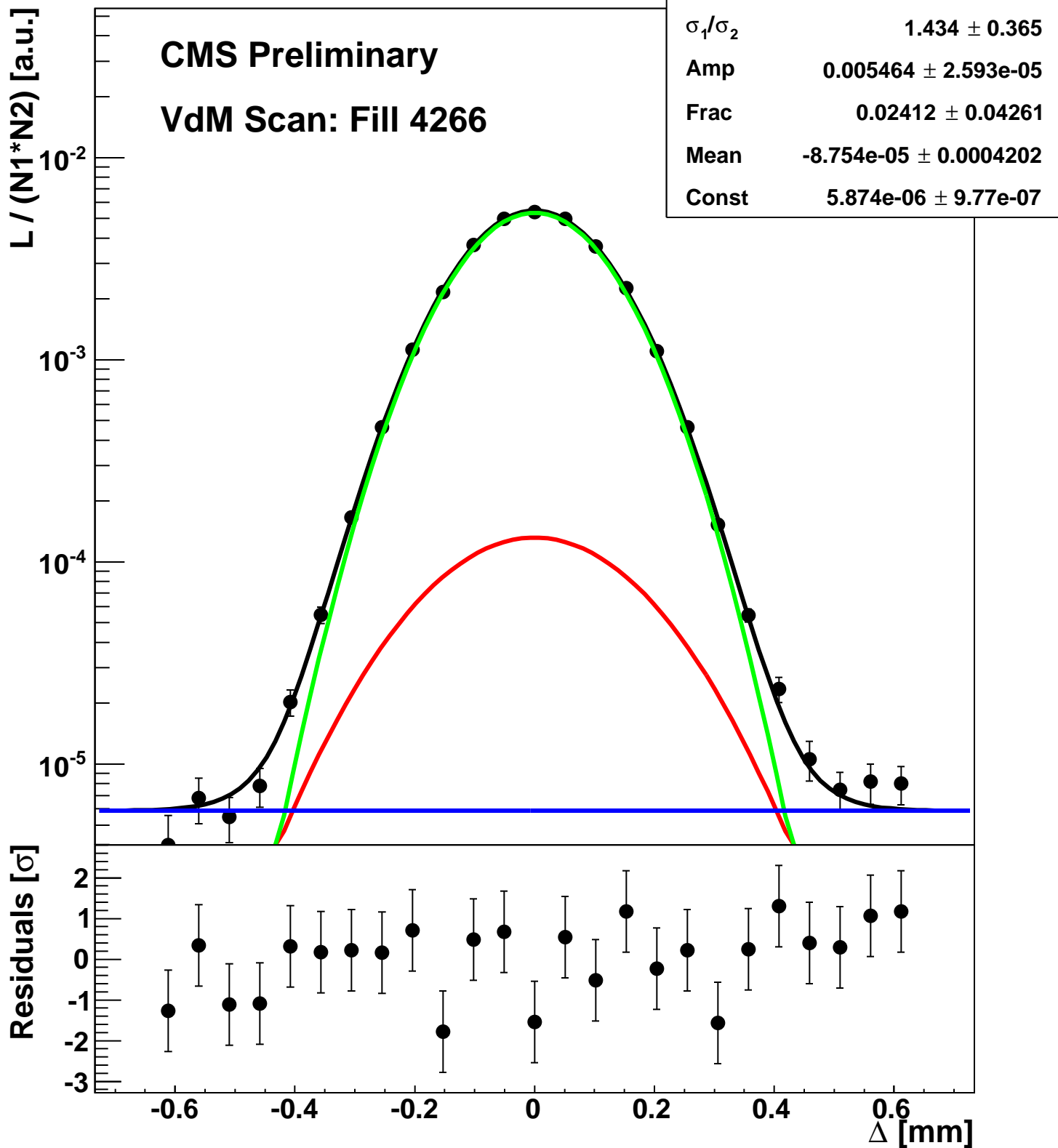
Scan 3: Y-plane BCID 2371



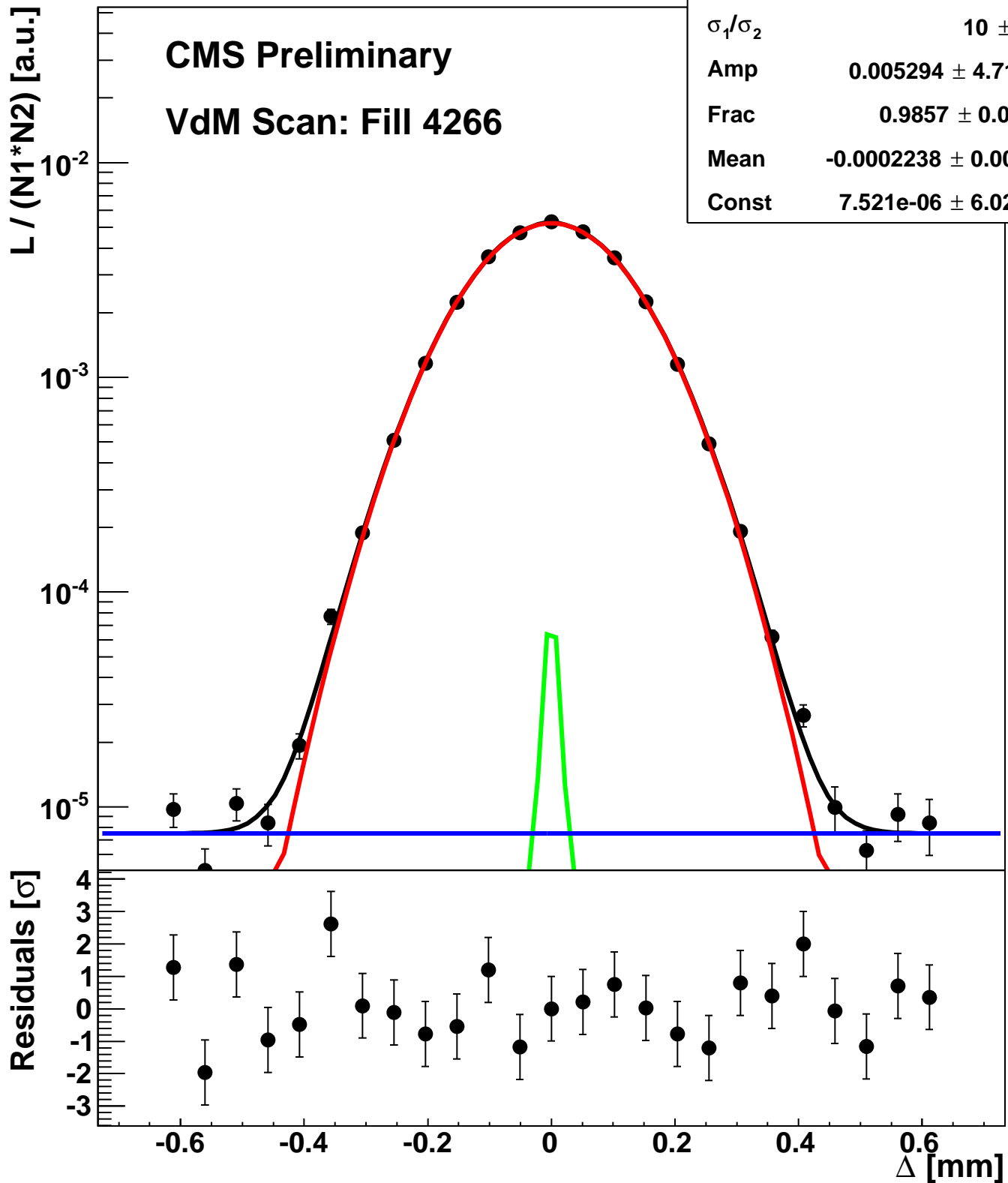
Scan 3: Y-plane BCID 2411



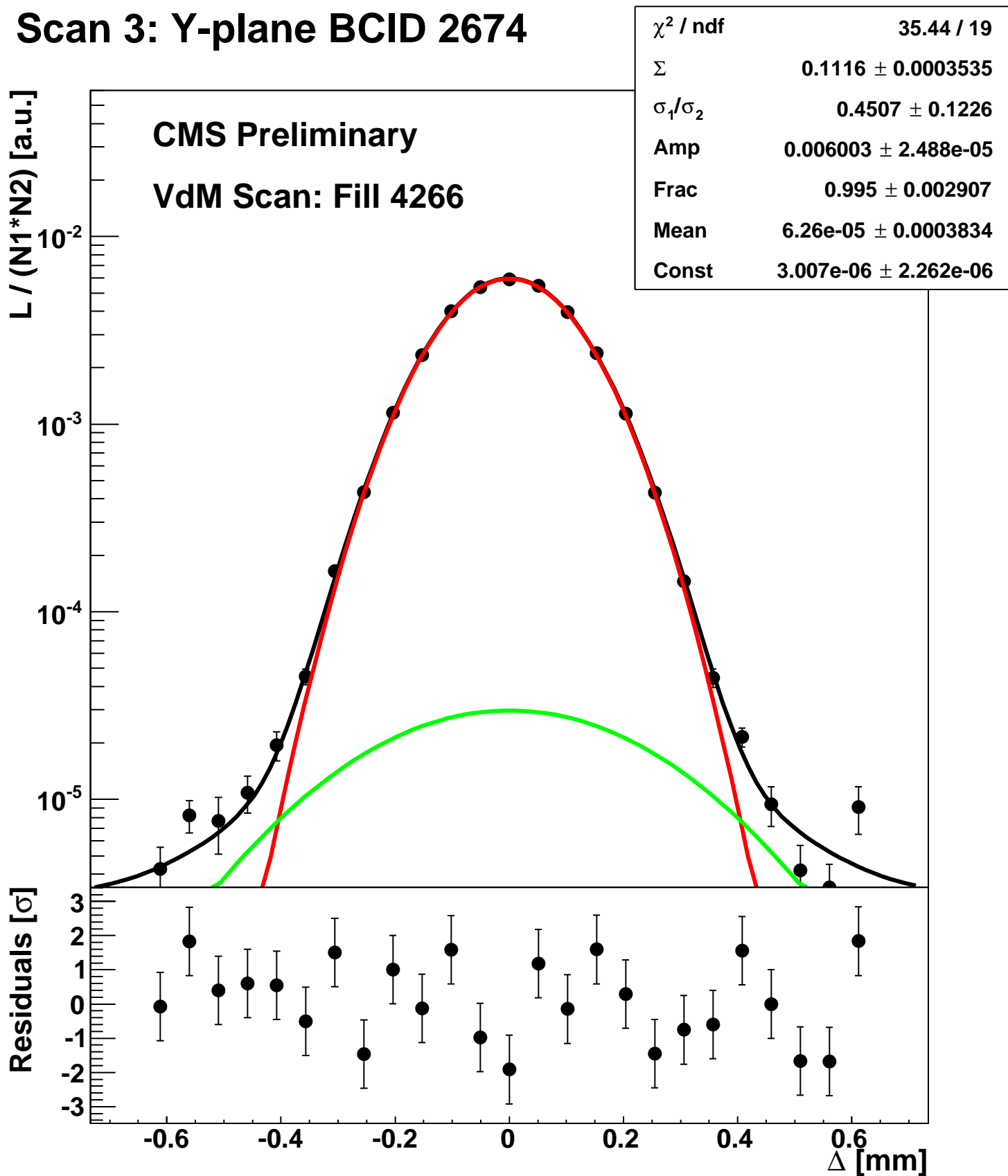
Scan 3: Y-plane BCID 2451



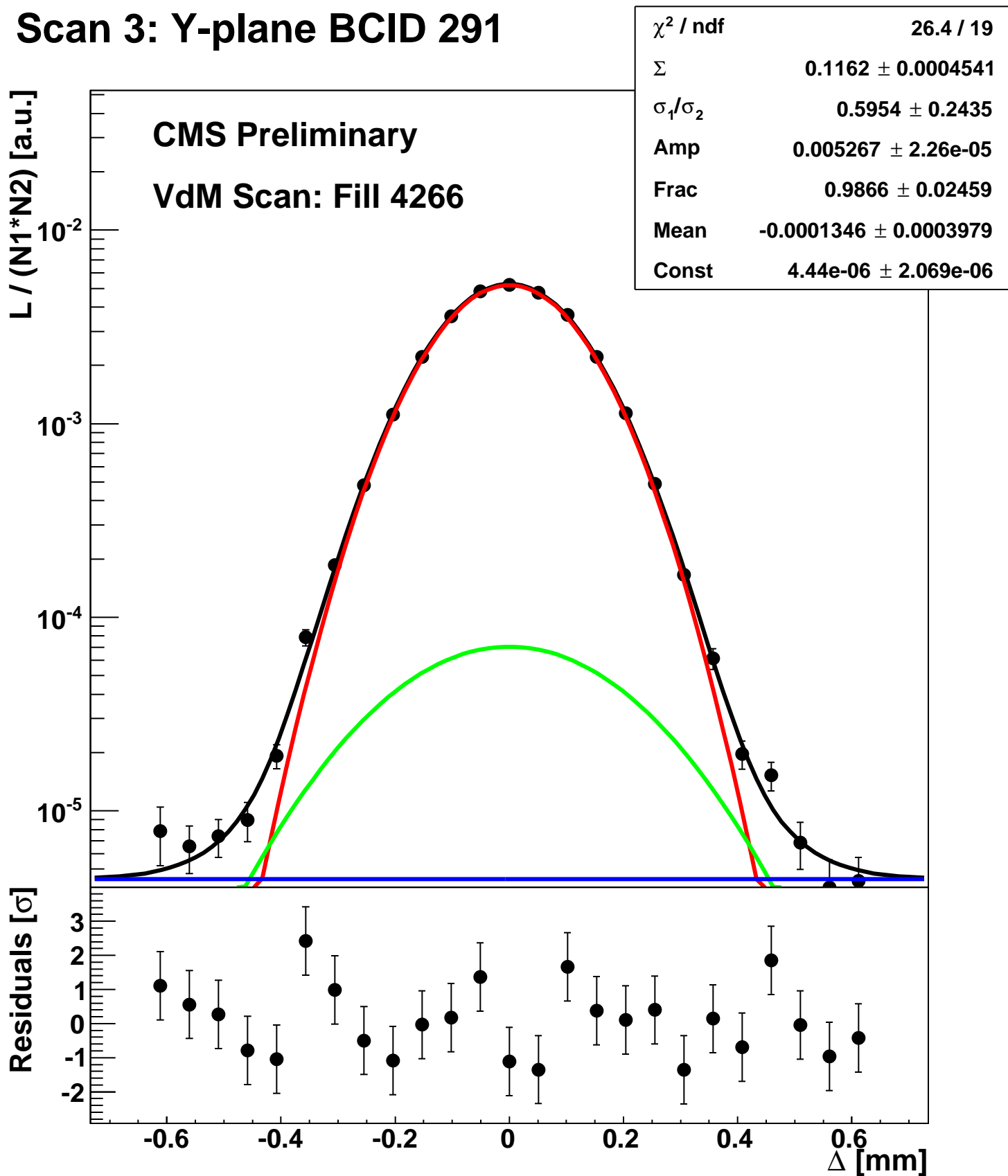
Scan 3: Y-plane BCID 251



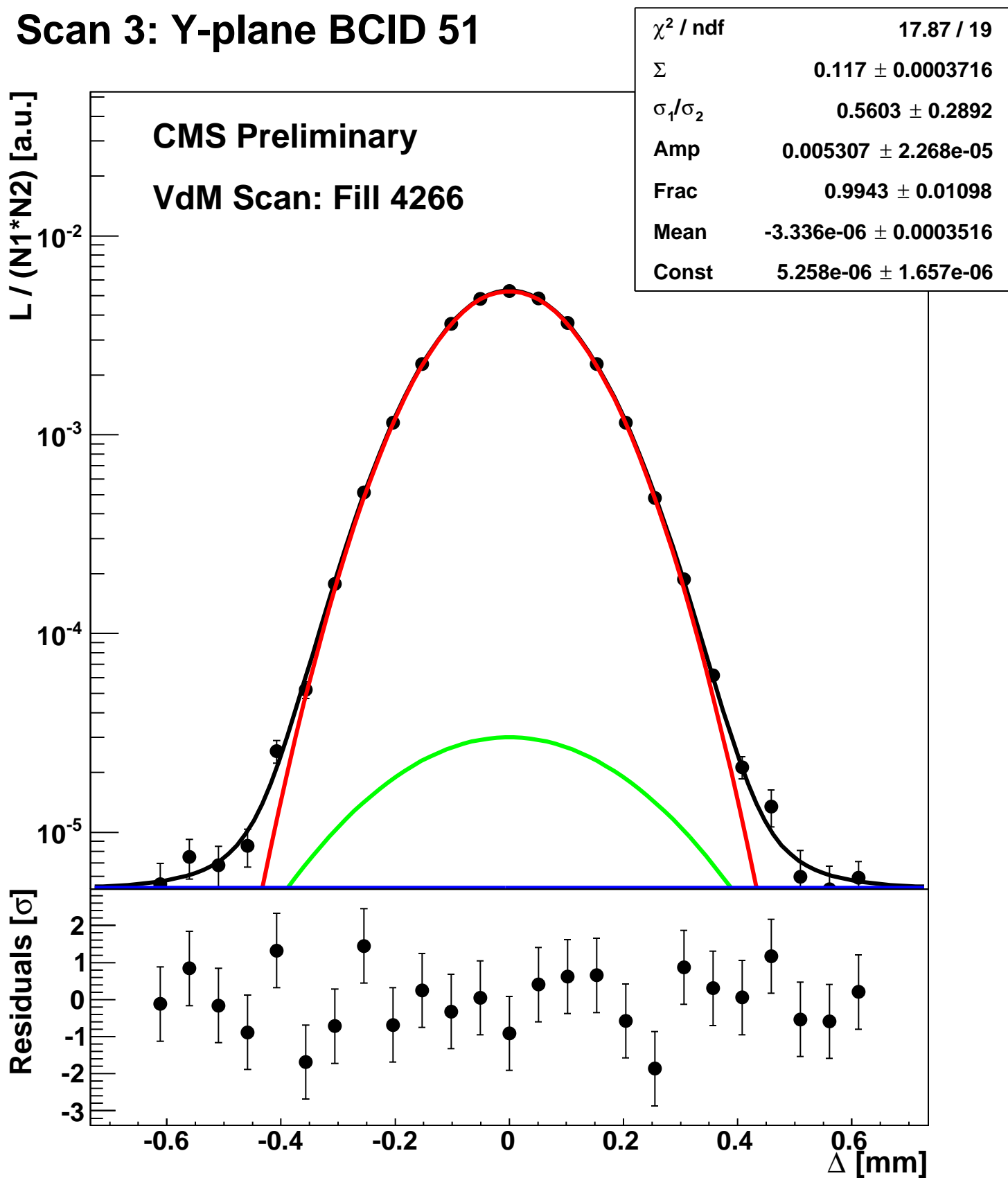
Scan 3: Y-plane BCID 2674



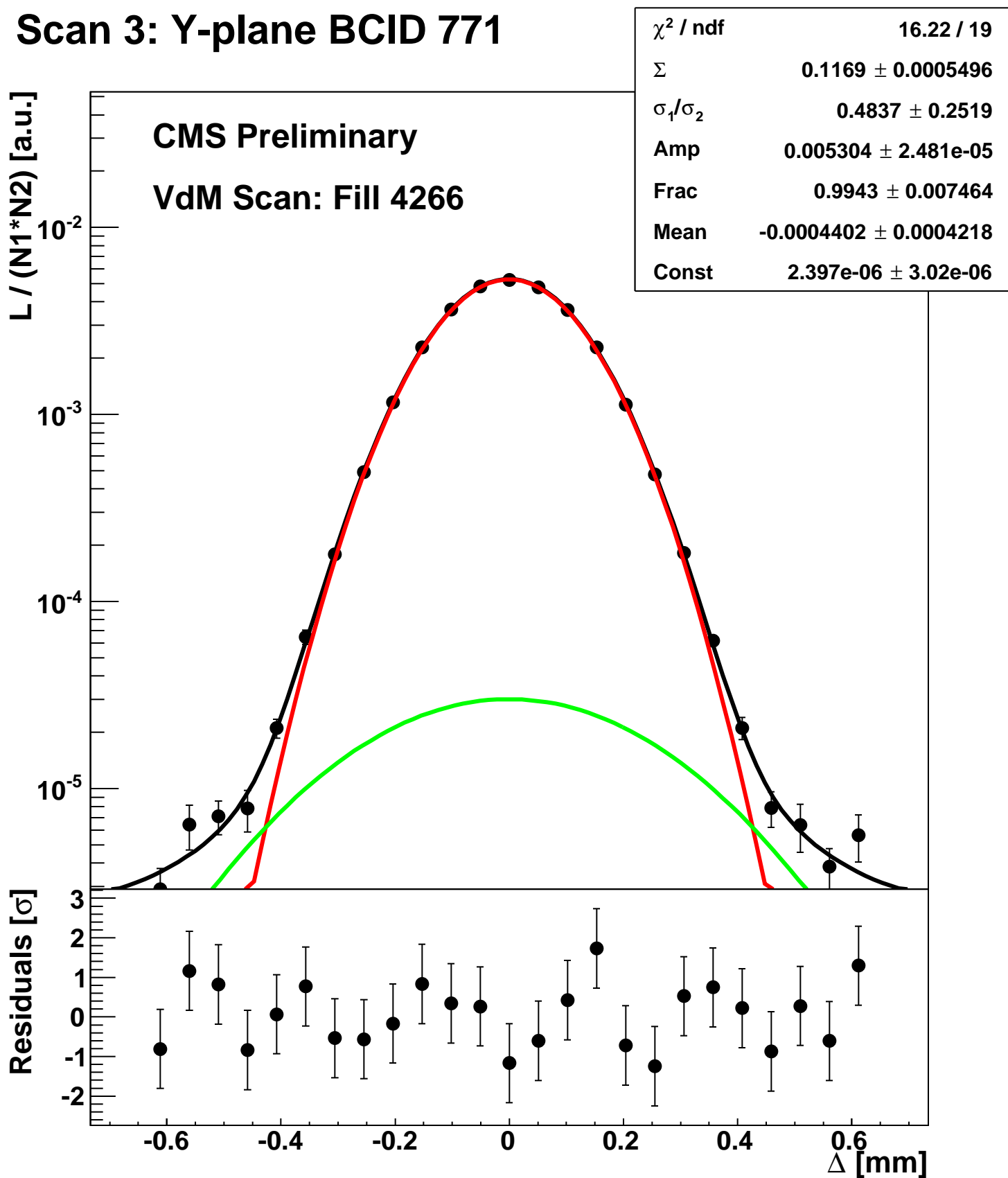
Scan 3: Y-plane BCID 291



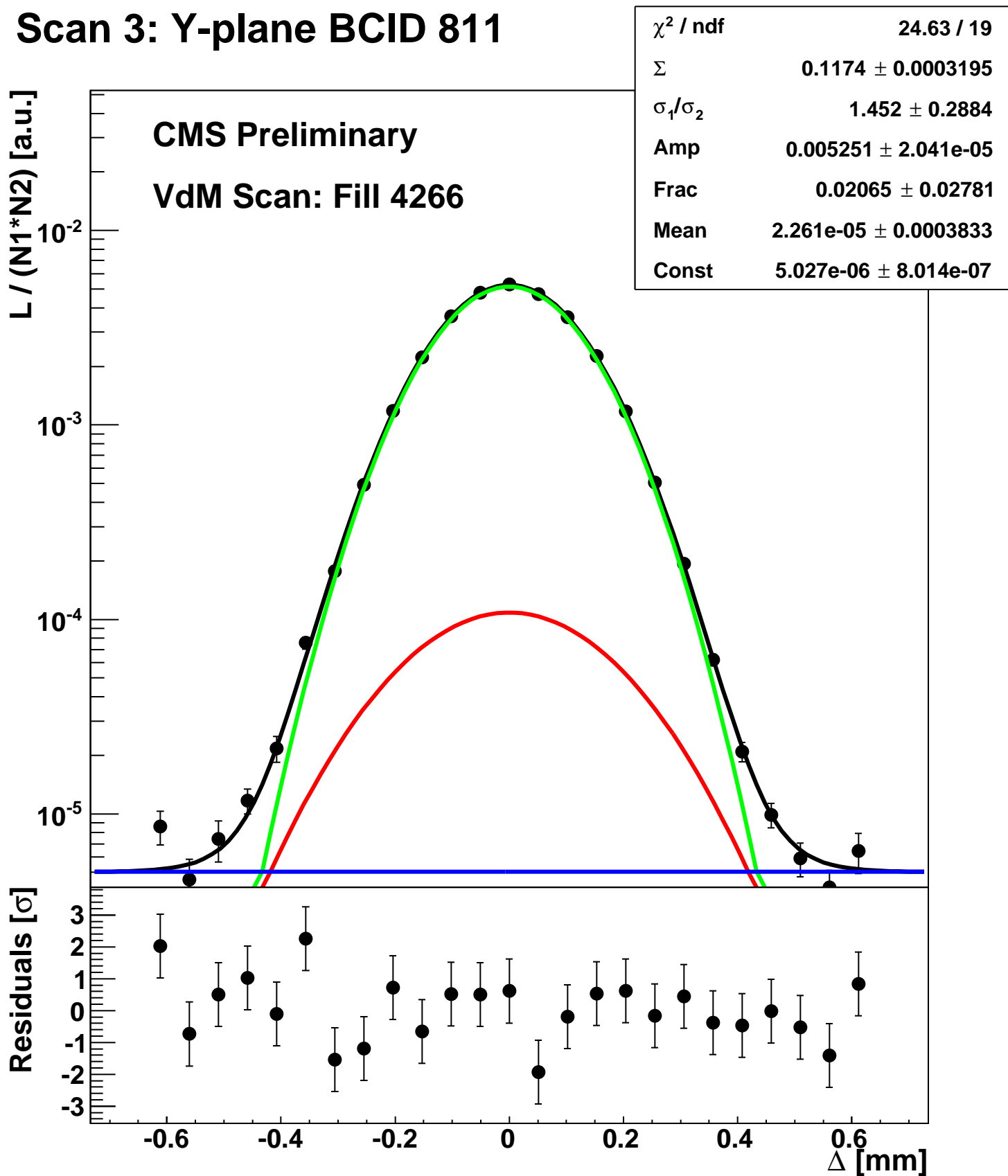
Scan 3: Y-plane BCID 51



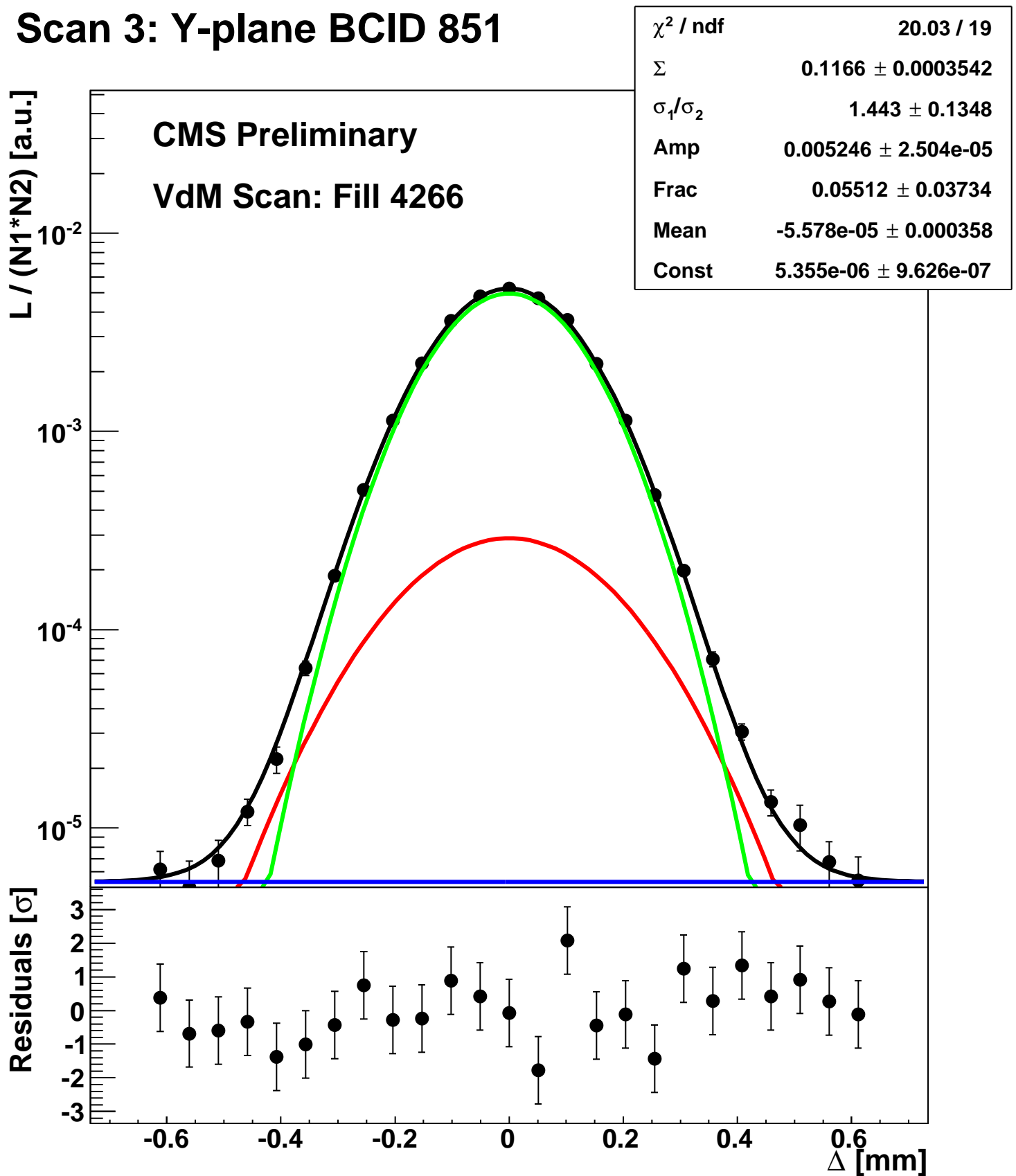
Scan 3: Y-plane BCID 771



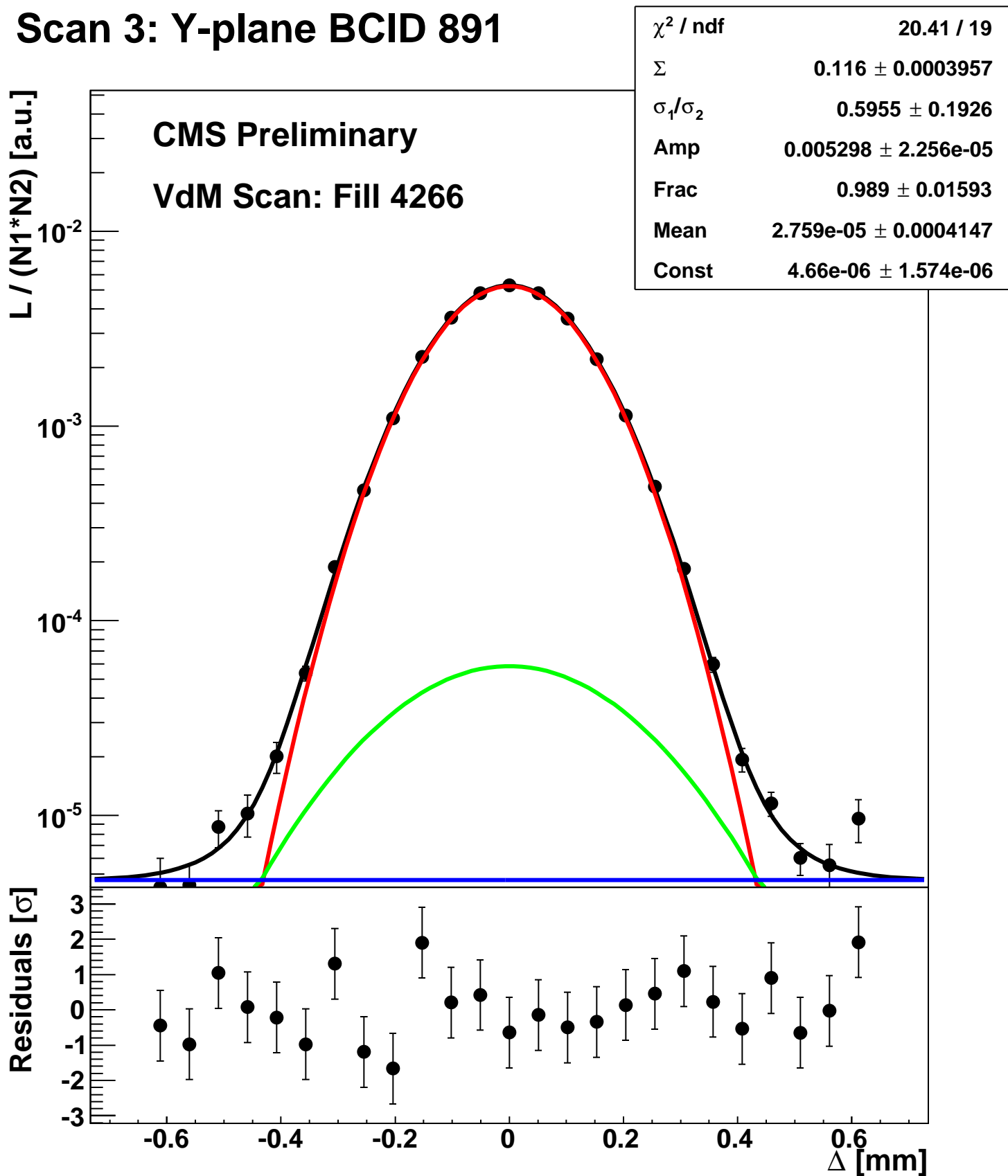
Scan 3: Y-plane BCID 811



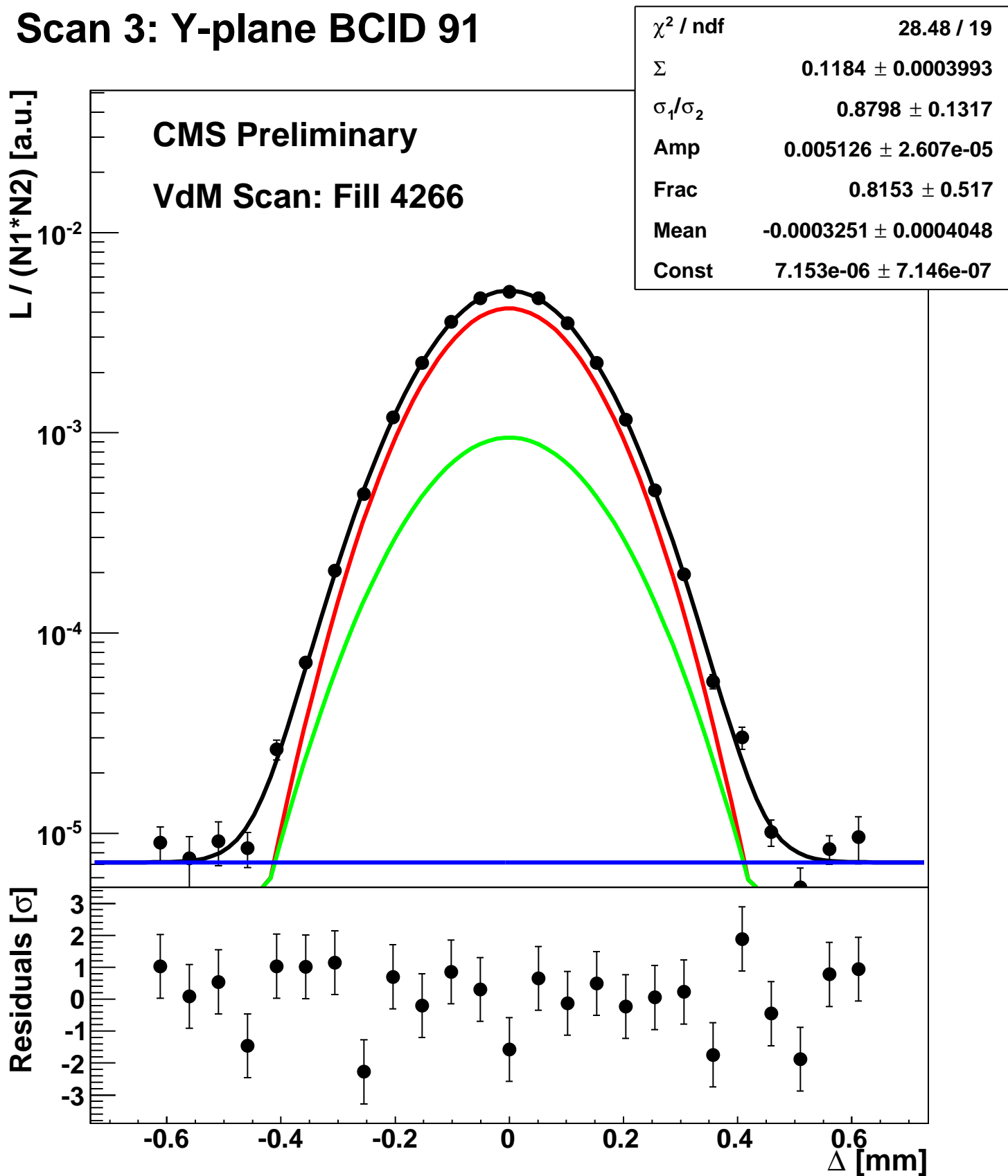
Scan 3: Y-plane BCID 851



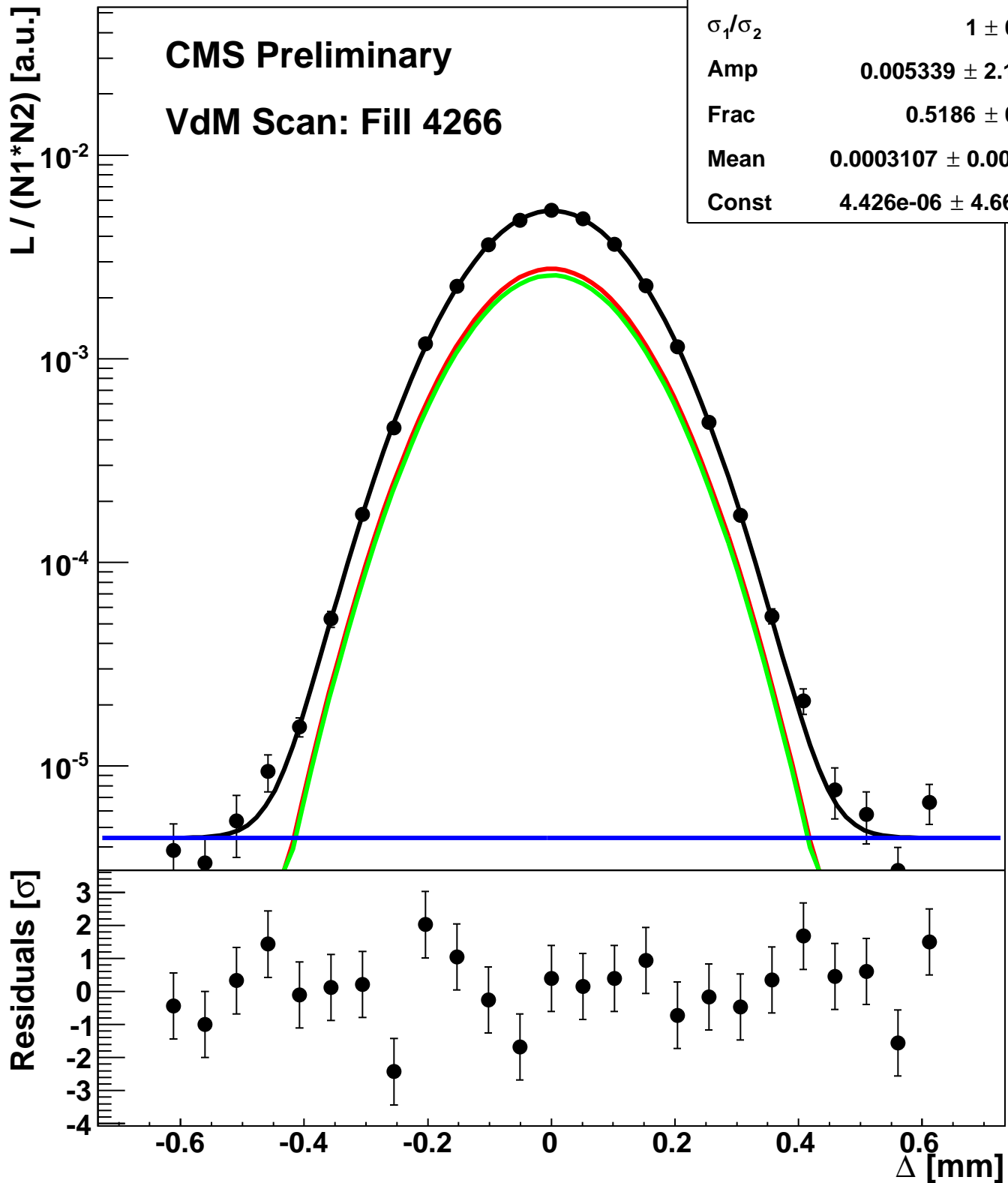
Scan 3: Y-plane BCID 891



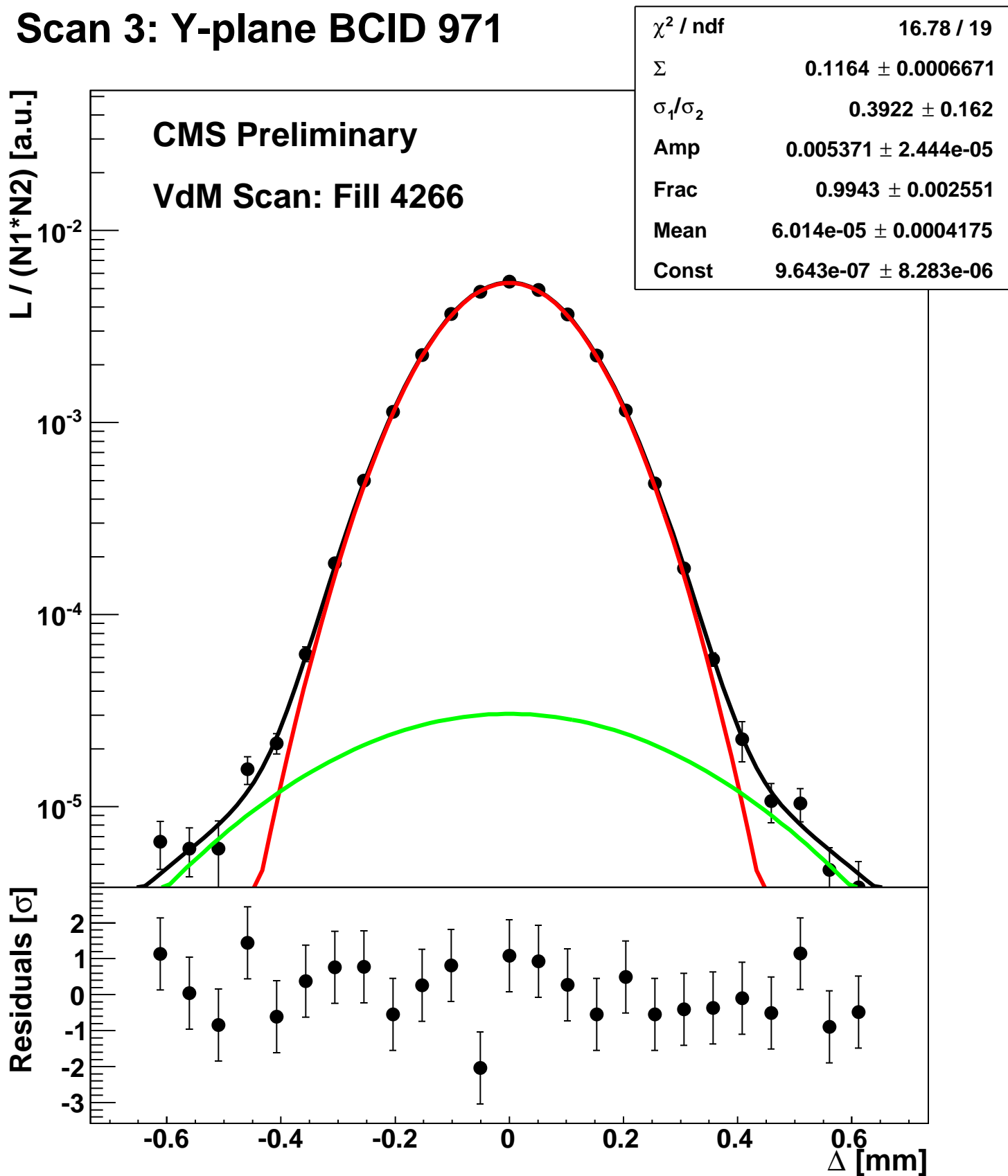
Scan 3: Y-plane BCID 91



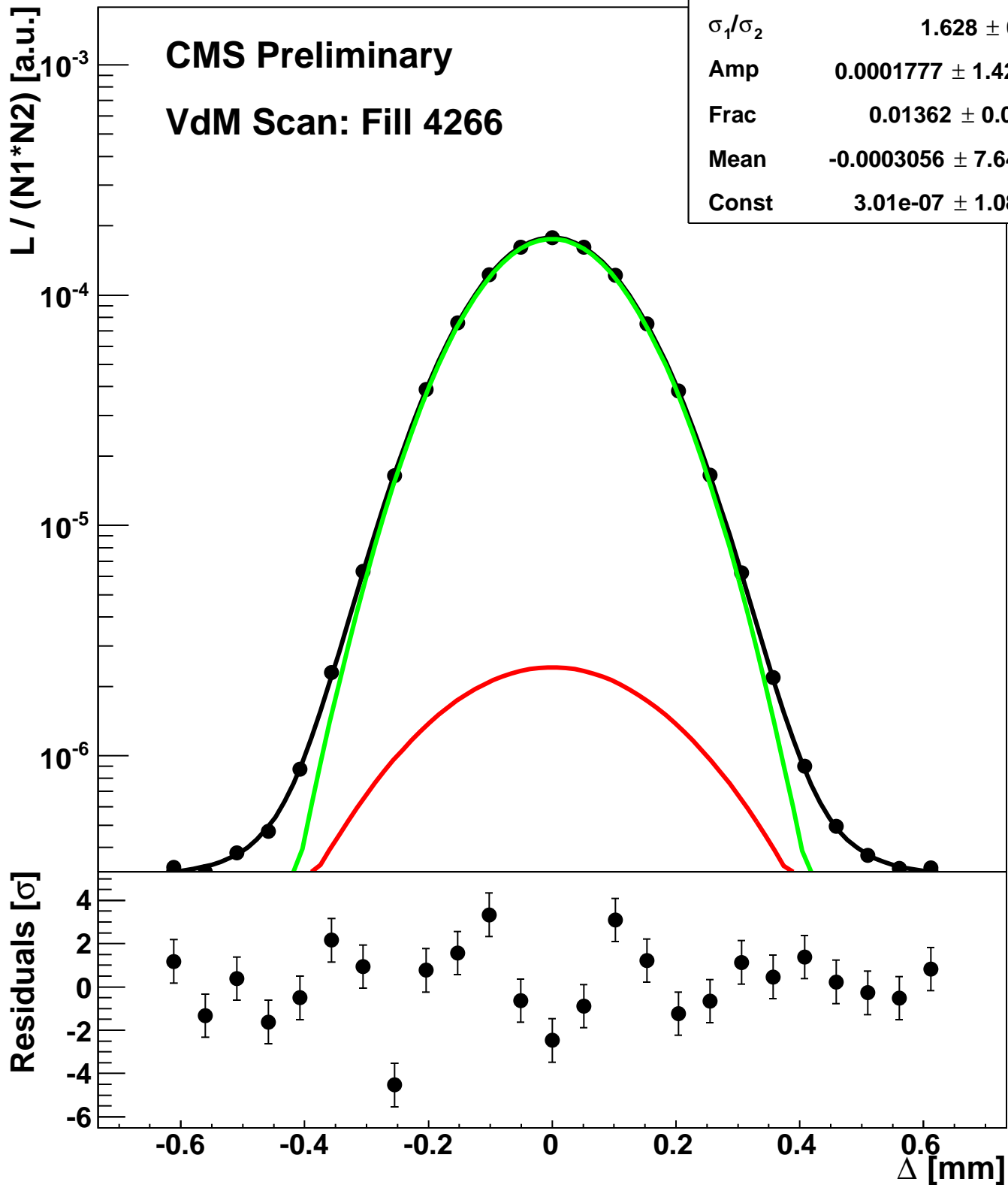
Scan 3: Y-plane BCID 931



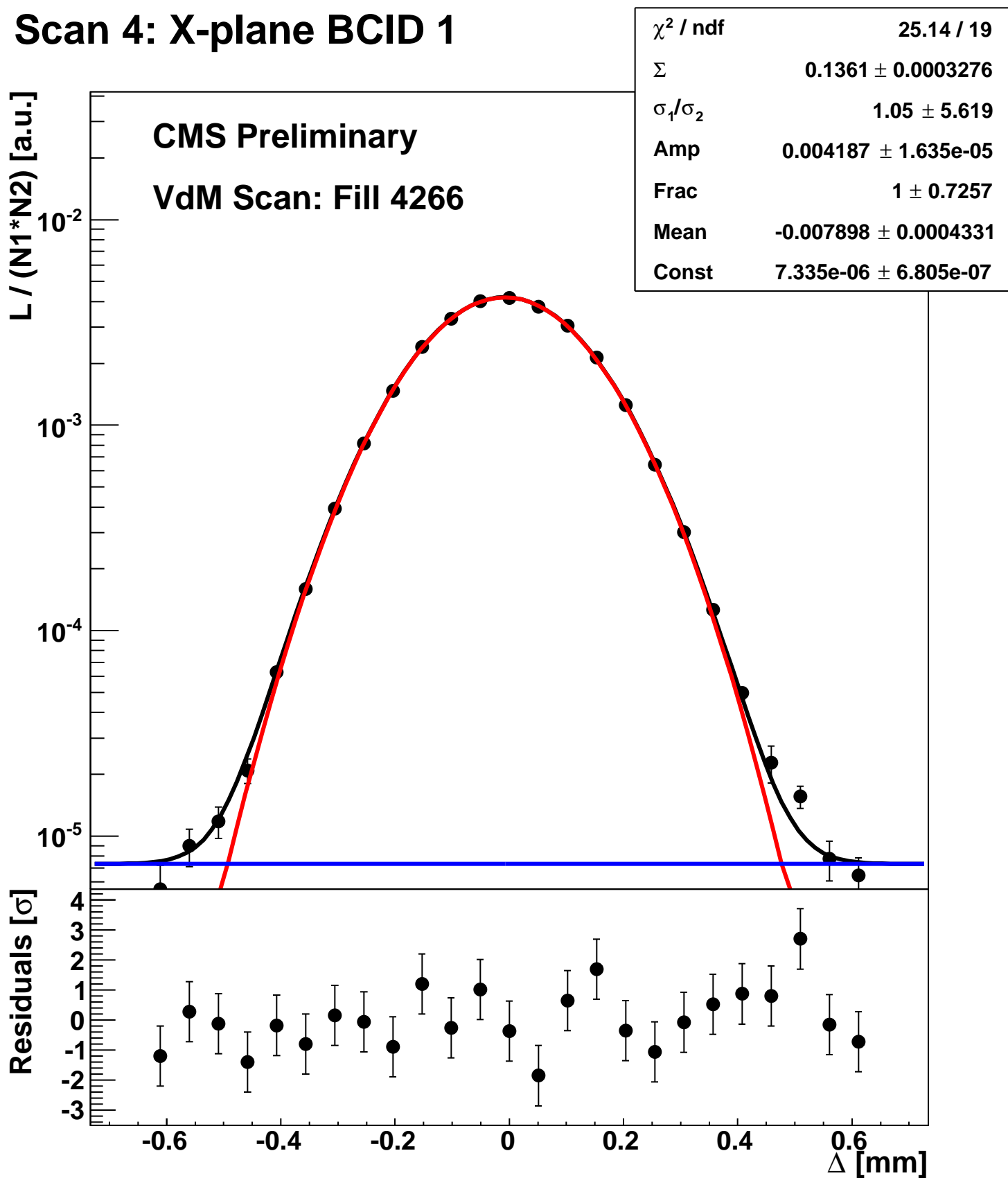
Scan 3: Y-plane BCID 971



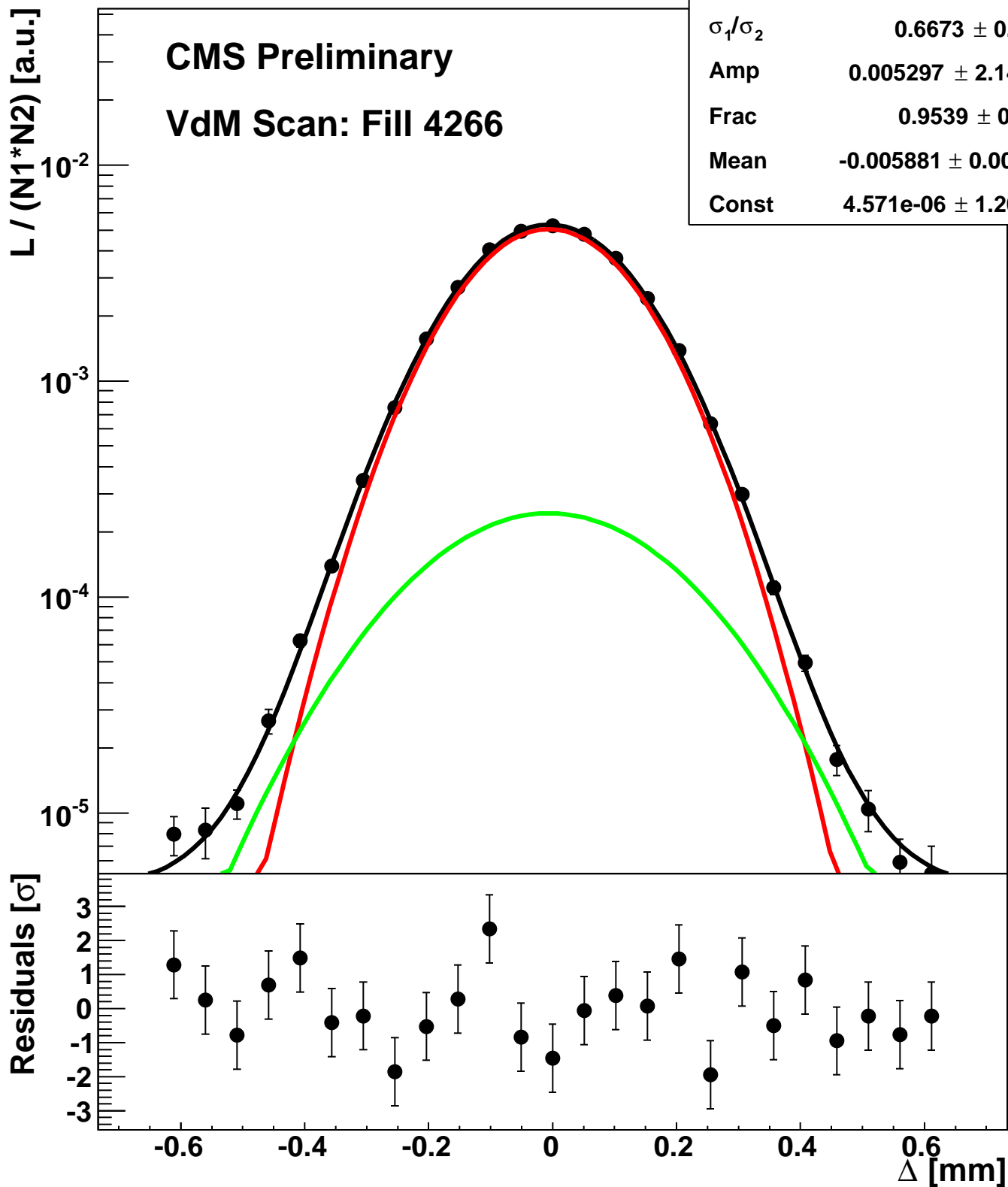
Scan 3: Y-plane BCID sum



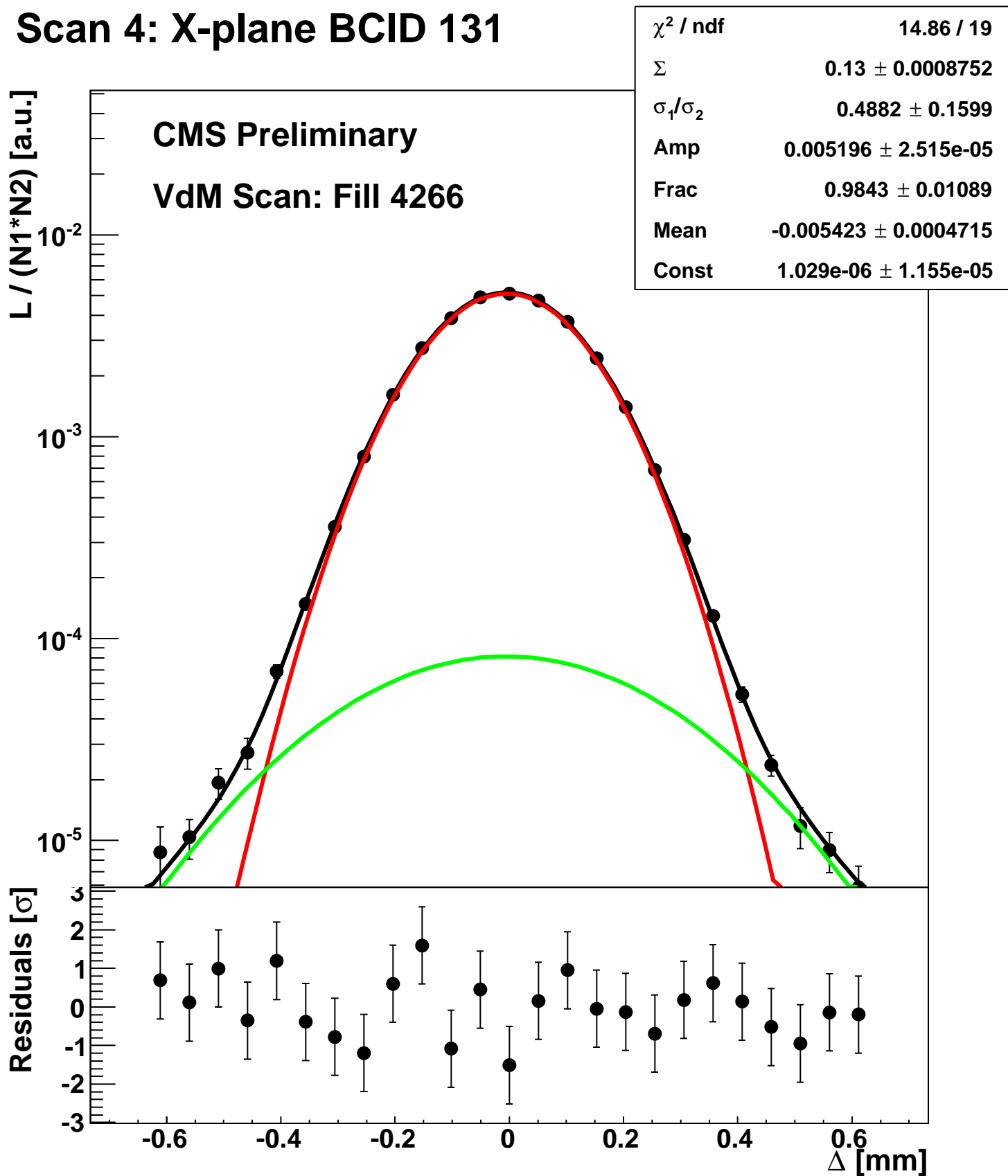
Scan 4: X-plane BCID 1



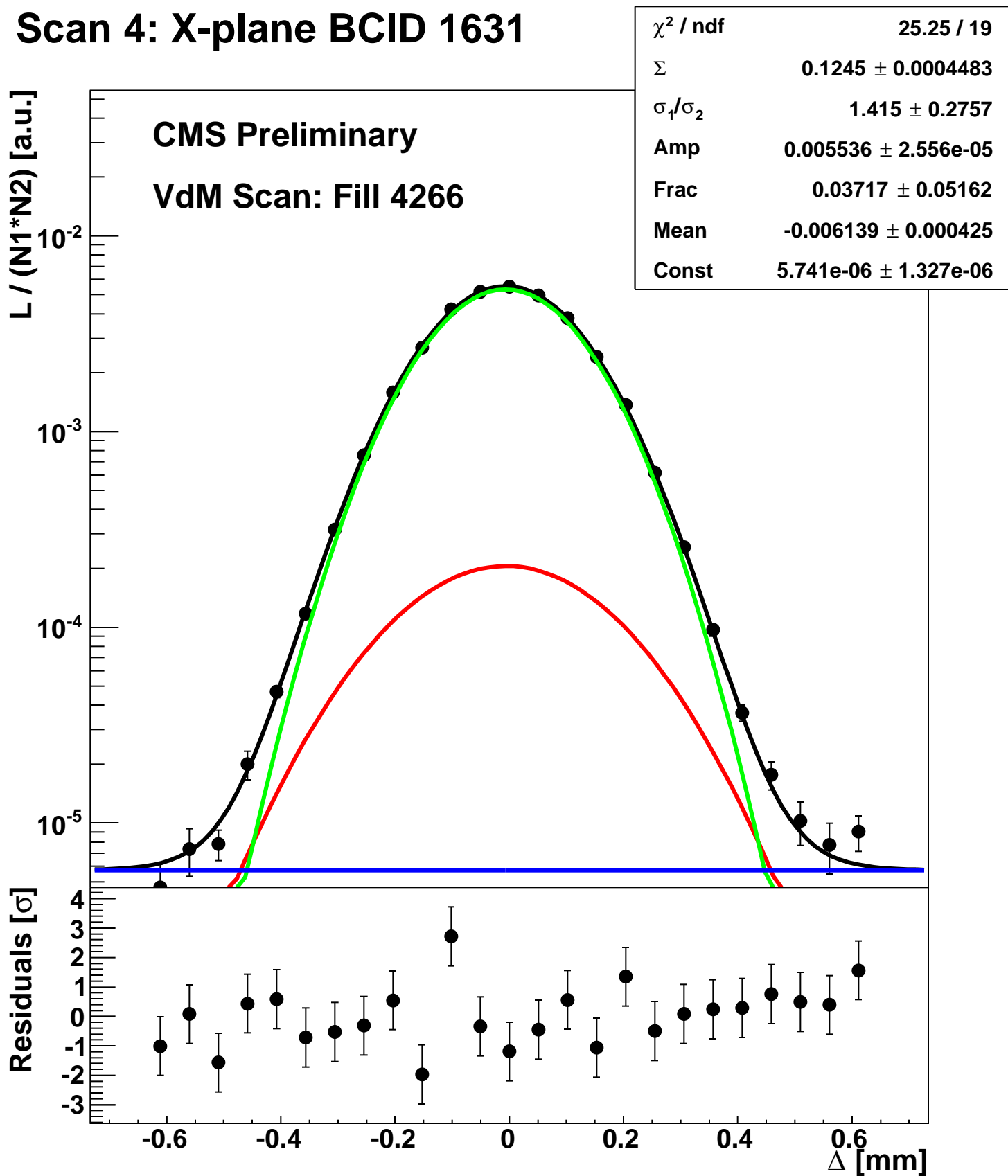
Scan 4: X-plane BCID 1011



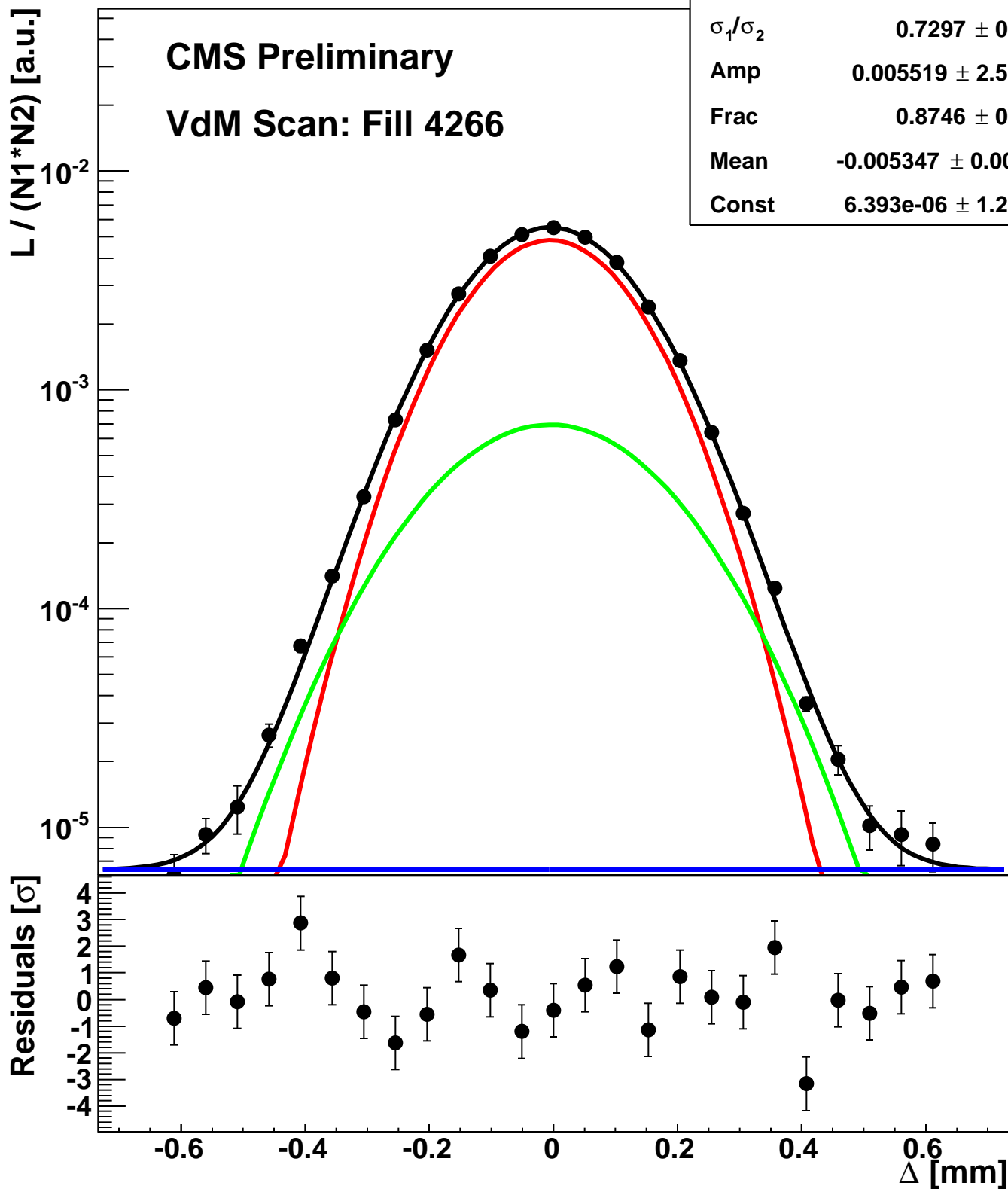
Scan 4: X-plane BCID 131



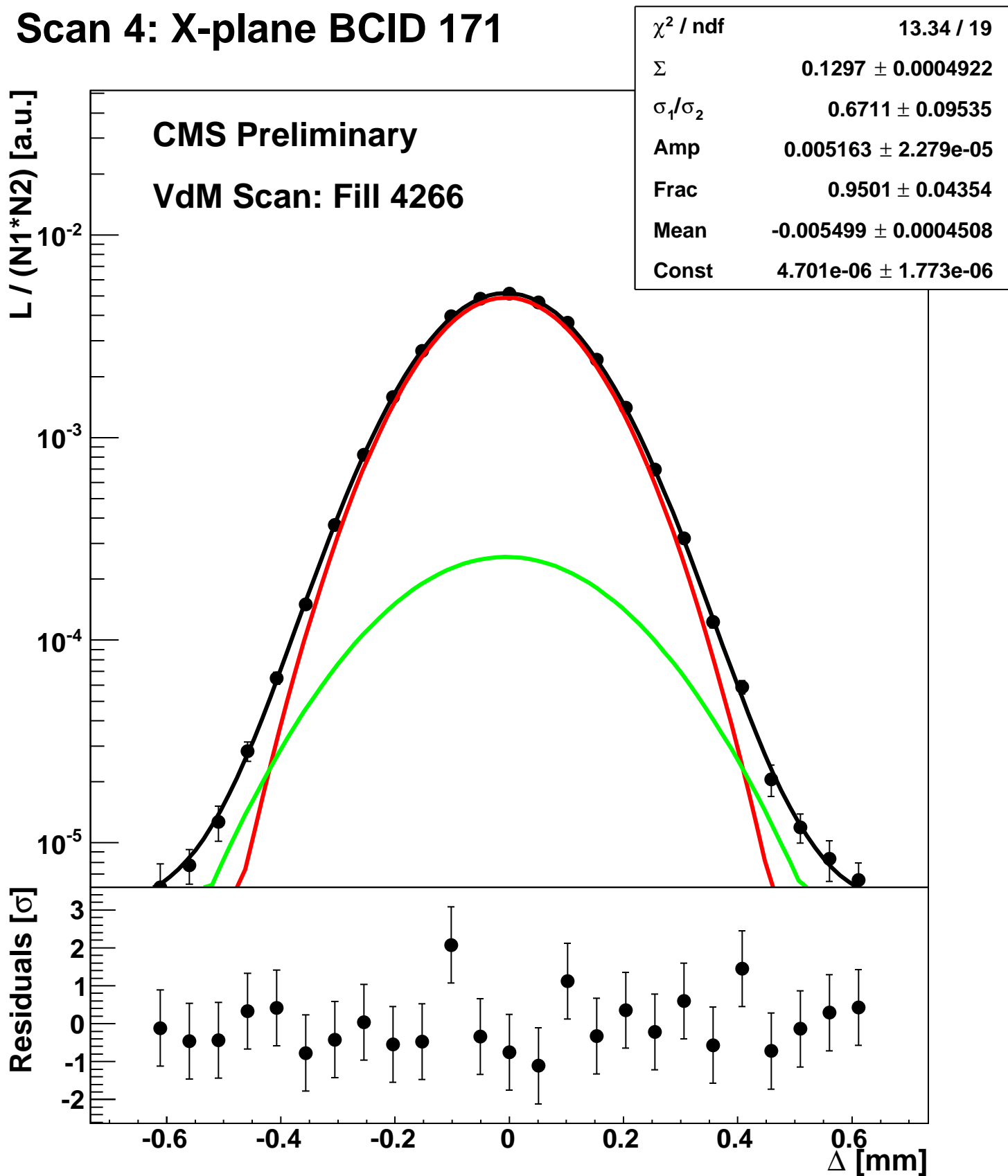
Scan 4: X-plane BCID 1631



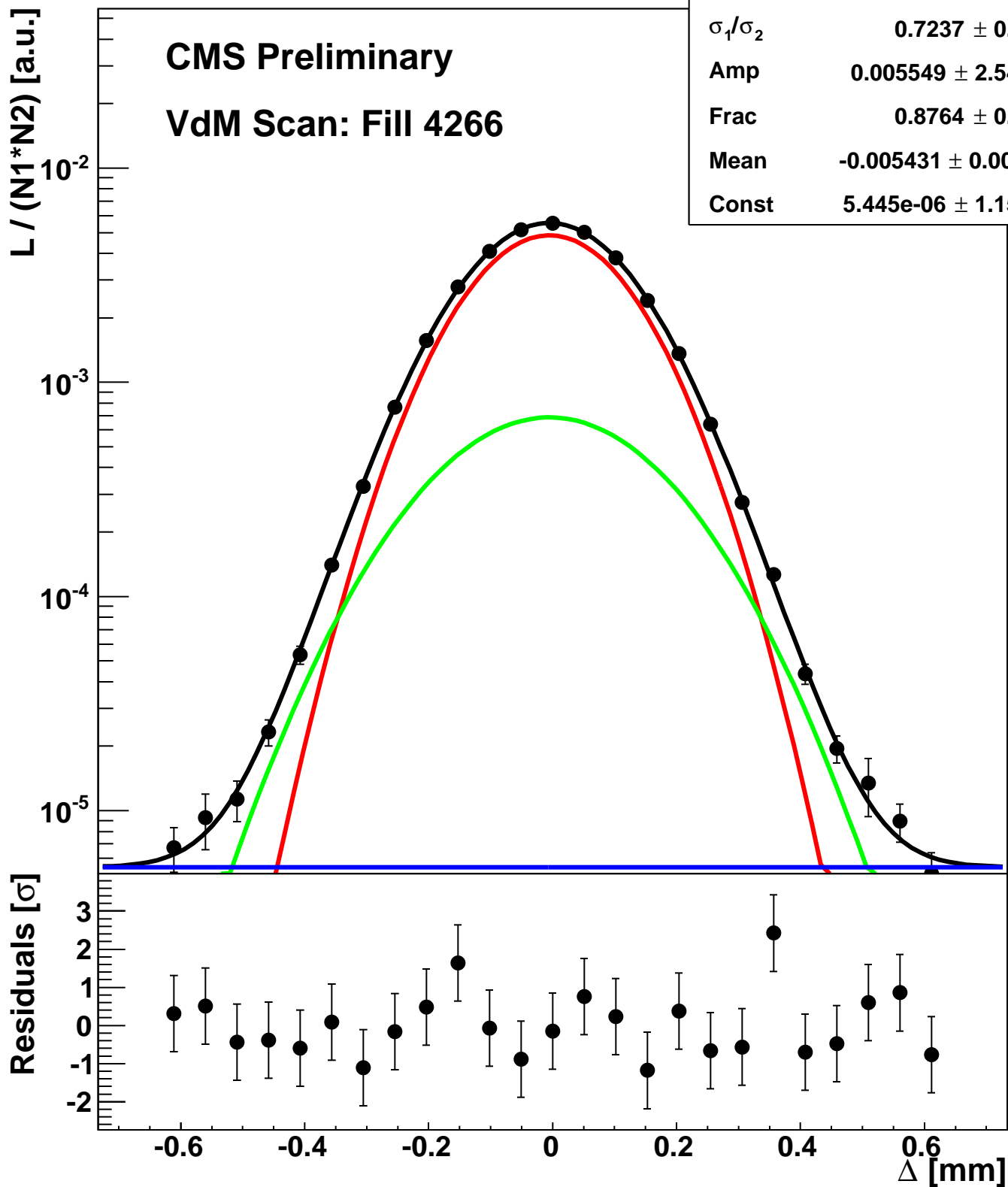
Scan 4: X-plane BCID 1671



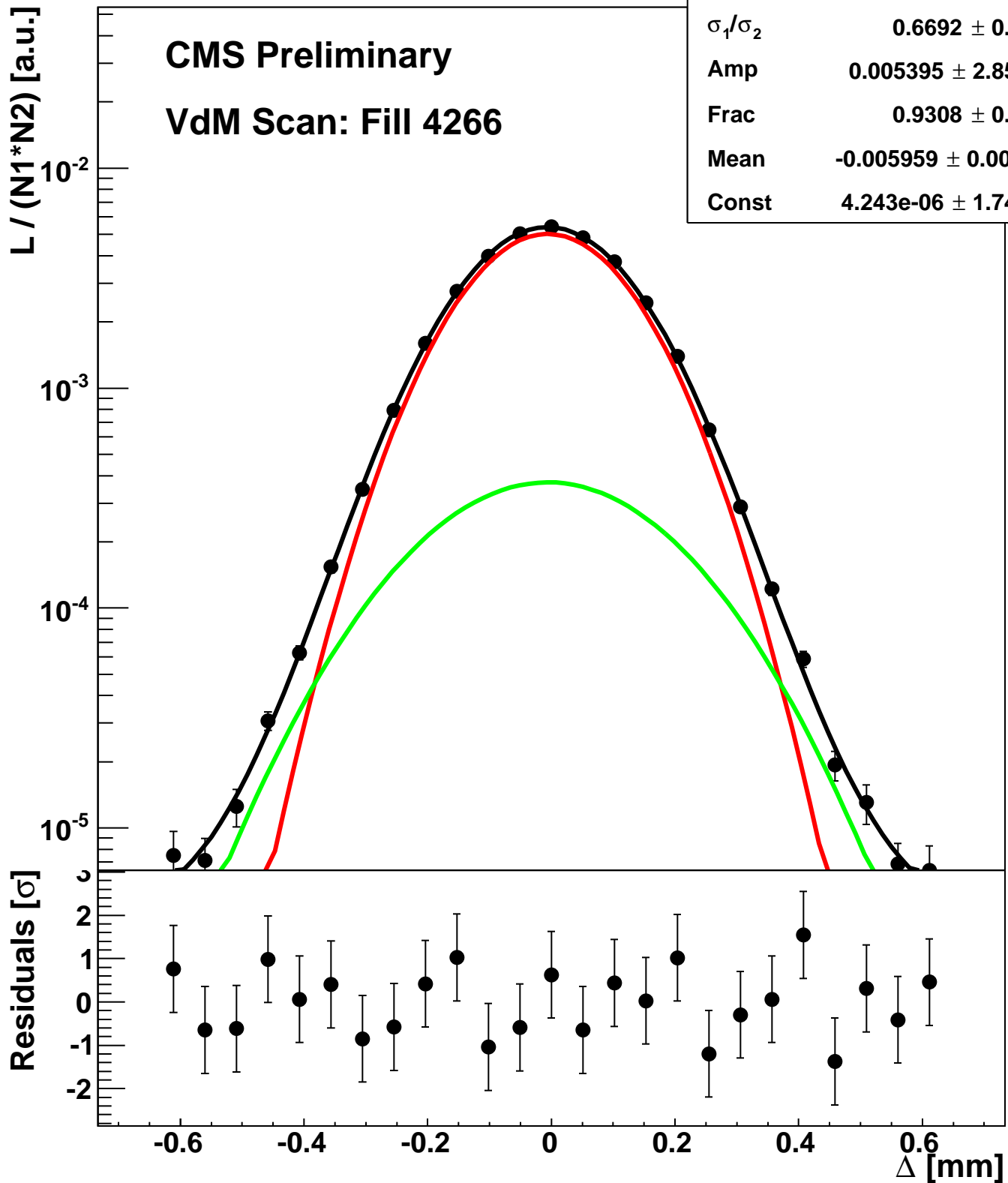
Scan 4: X-plane BCID 171



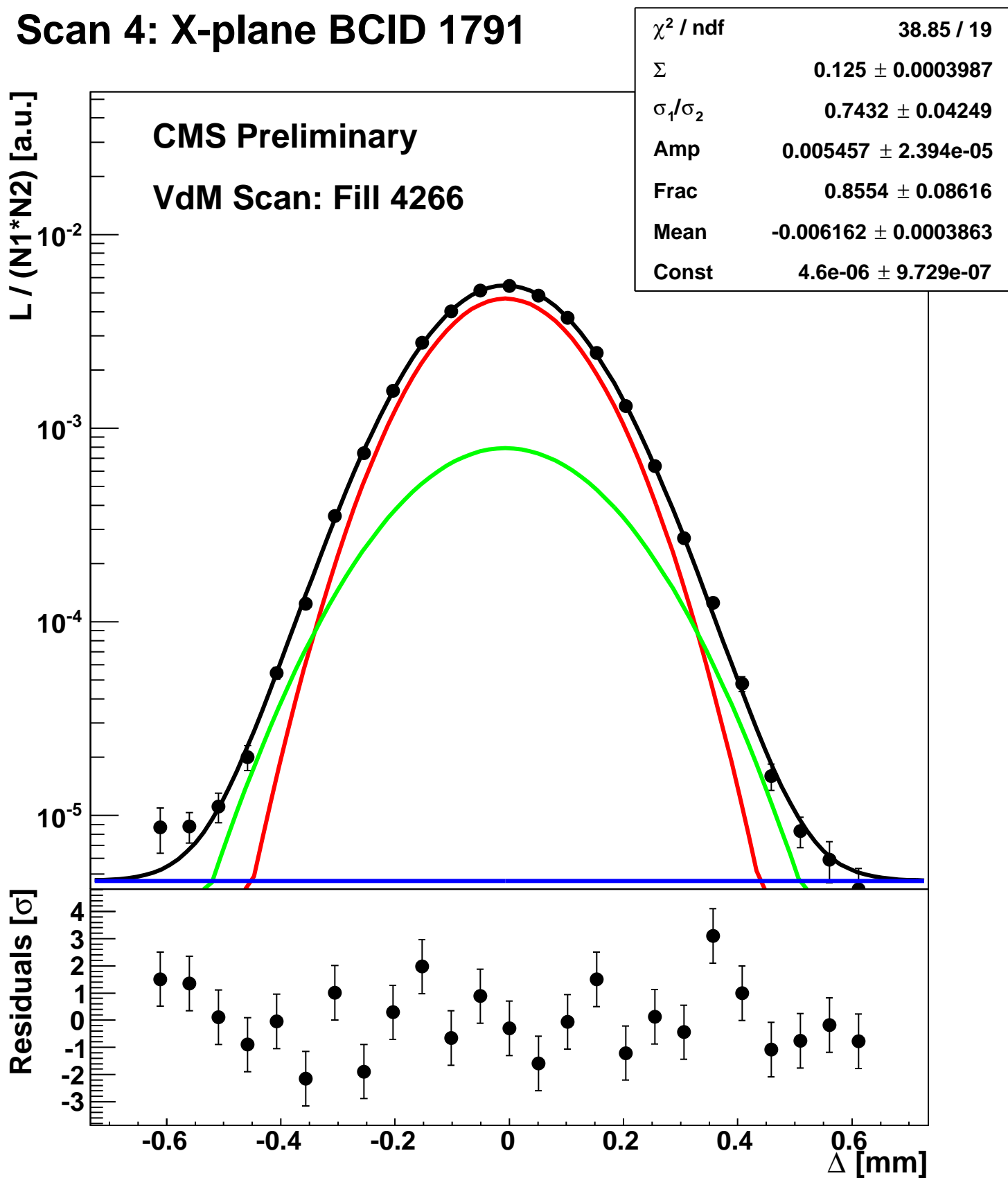
Scan 4: X-plane BCID 1711



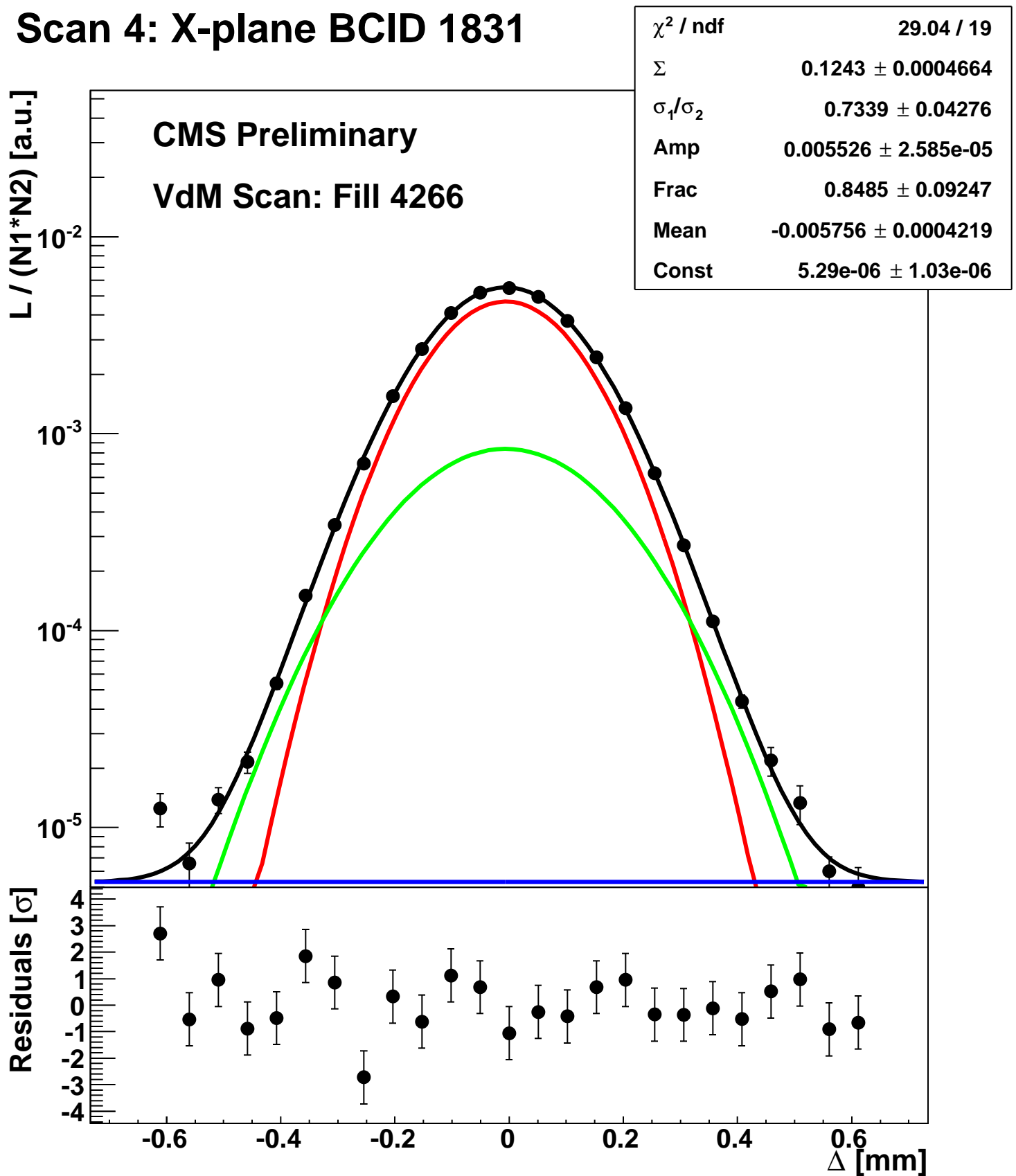
Scan 4: X-plane BCID 1751



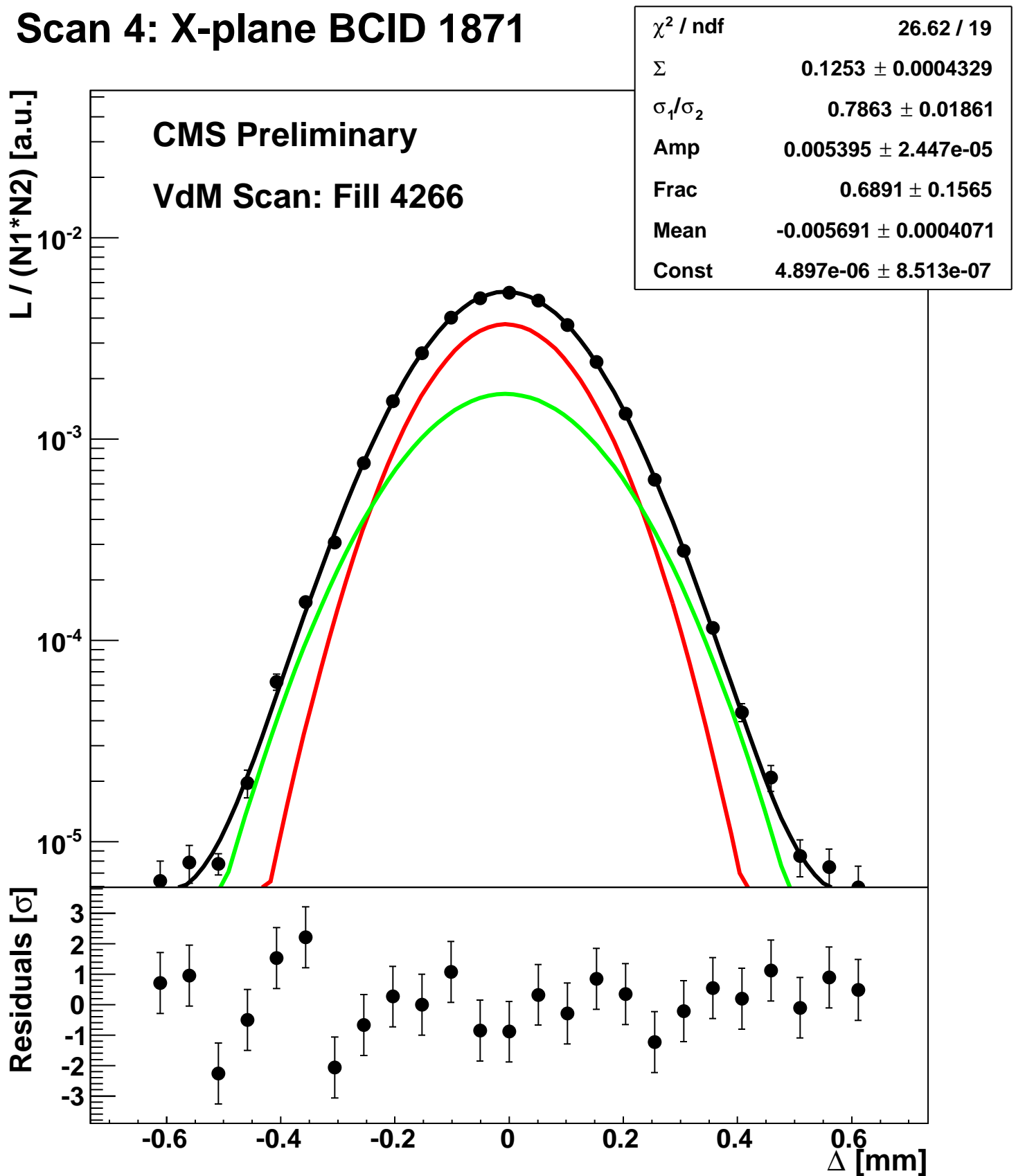
Scan 4: X-plane BCID 1791



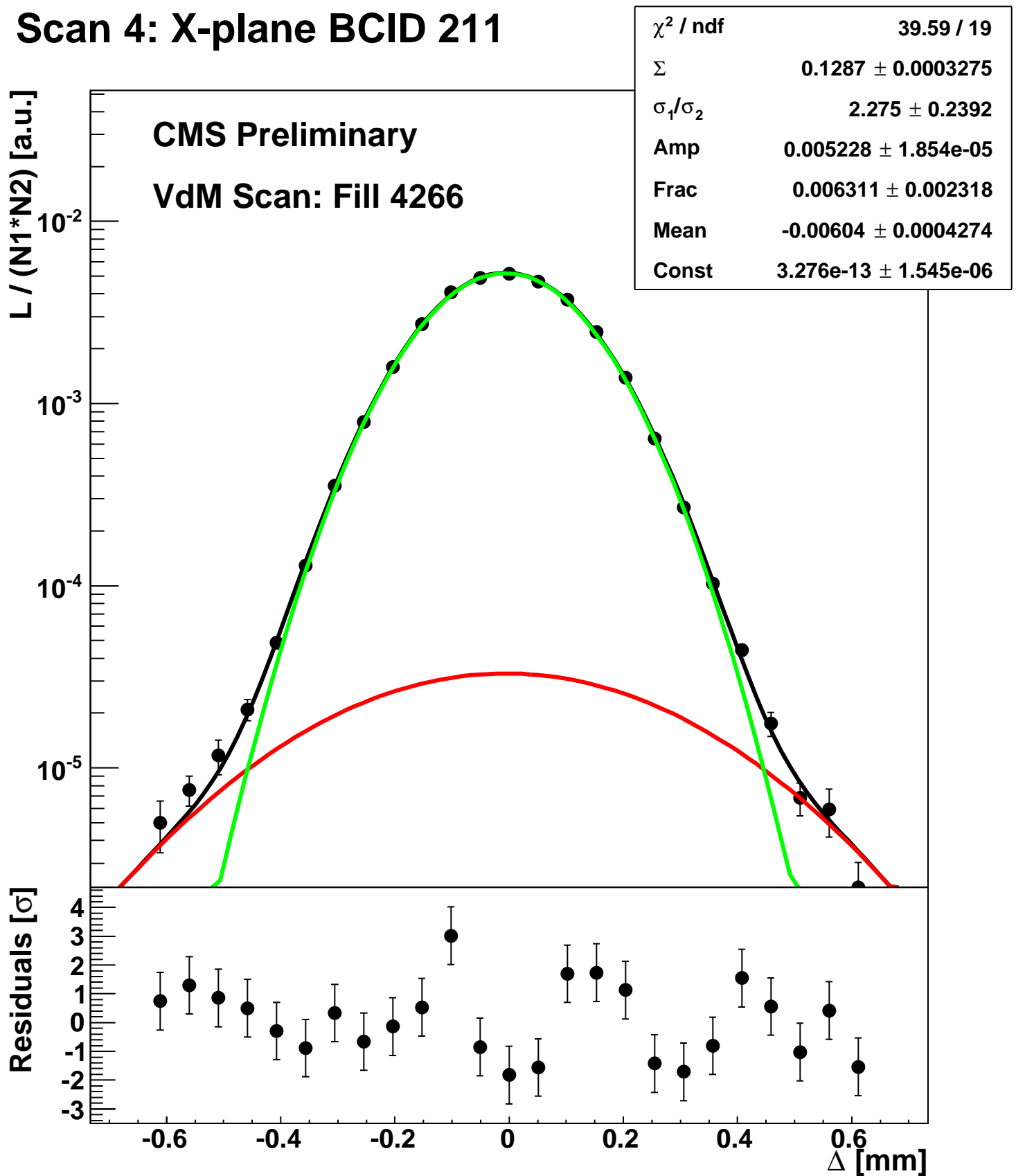
Scan 4: X-plane BCID 1831



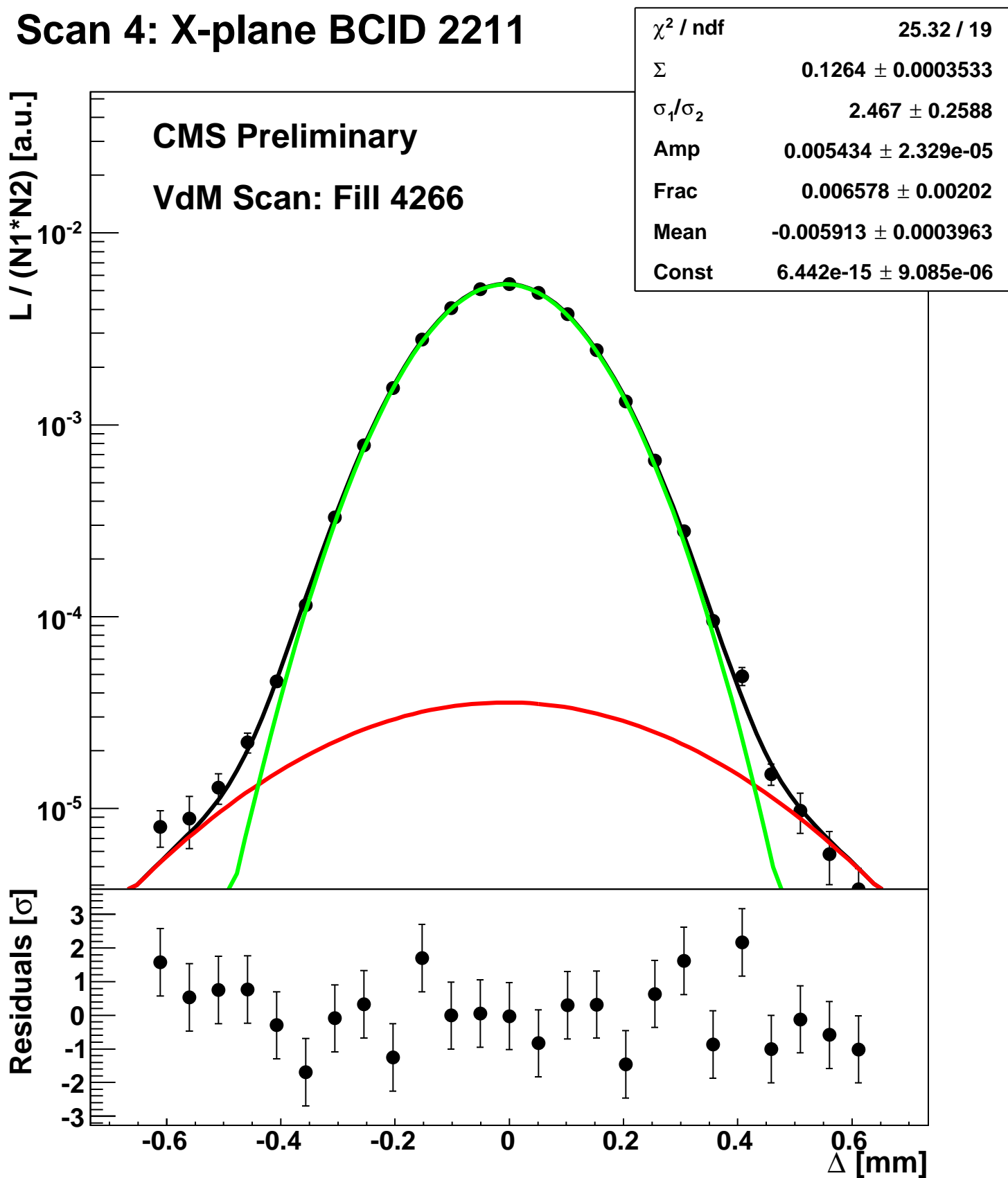
Scan 4: X-plane BCID 1871



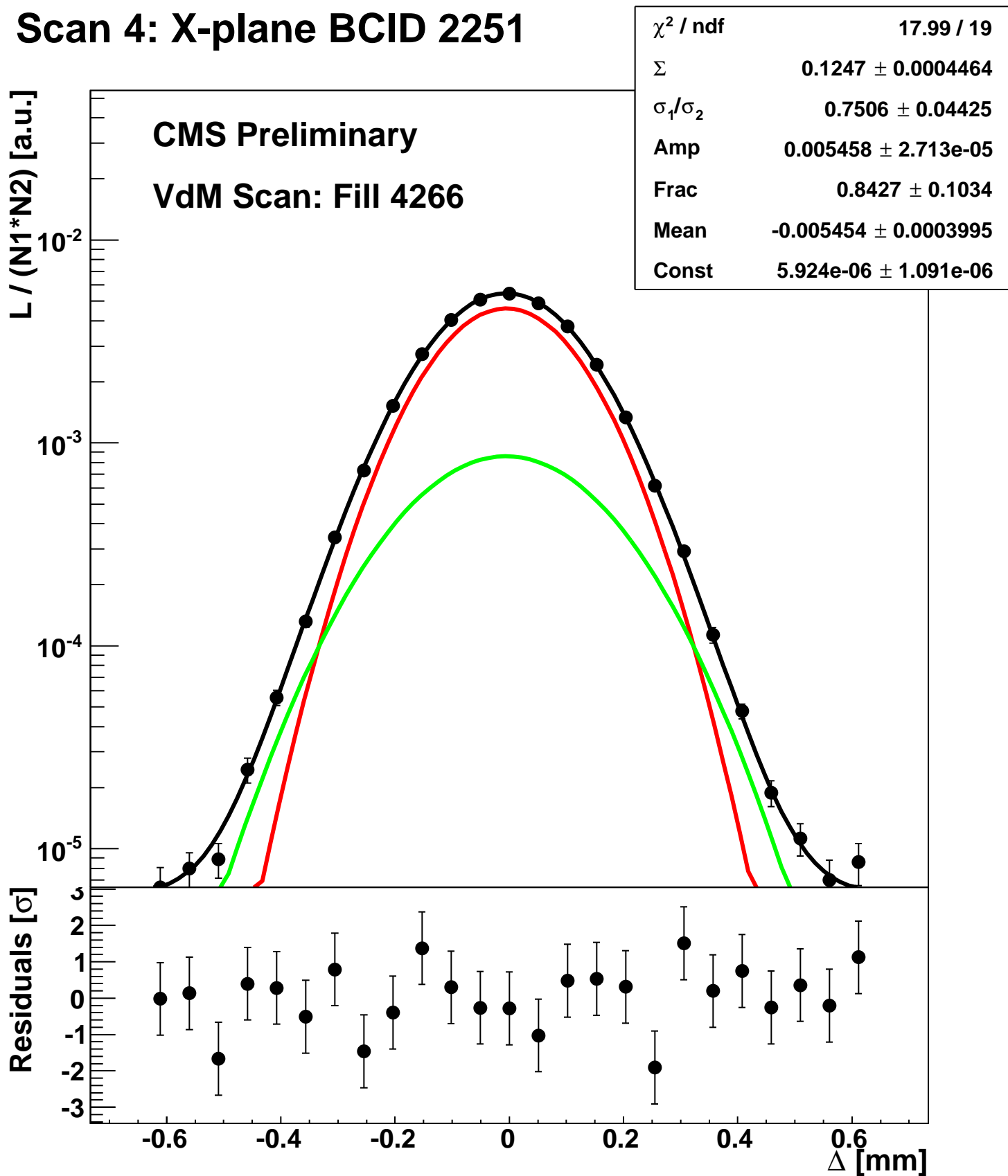
Scan 4: X-plane BCID 211



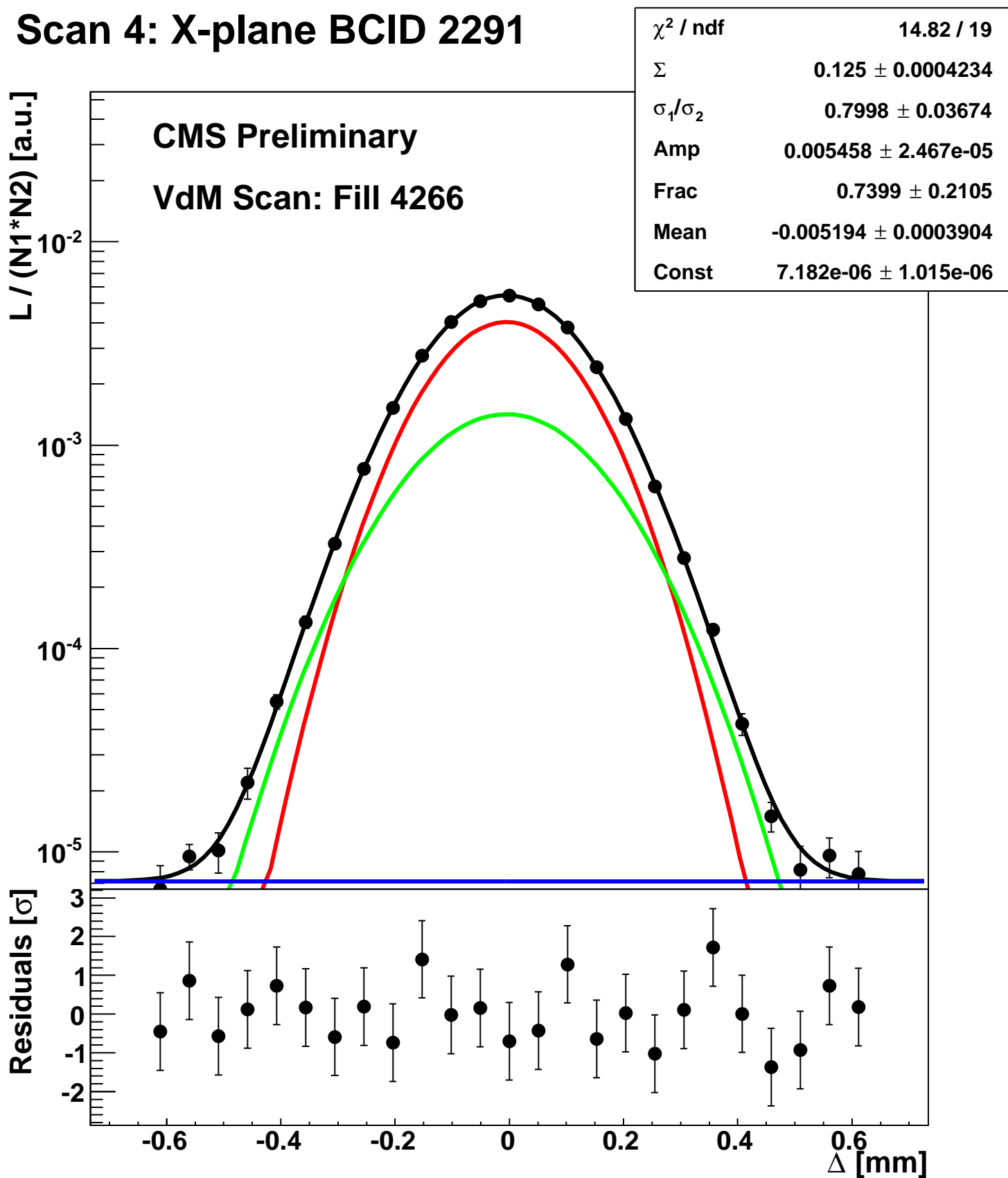
Scan 4: X-plane BCID 2211



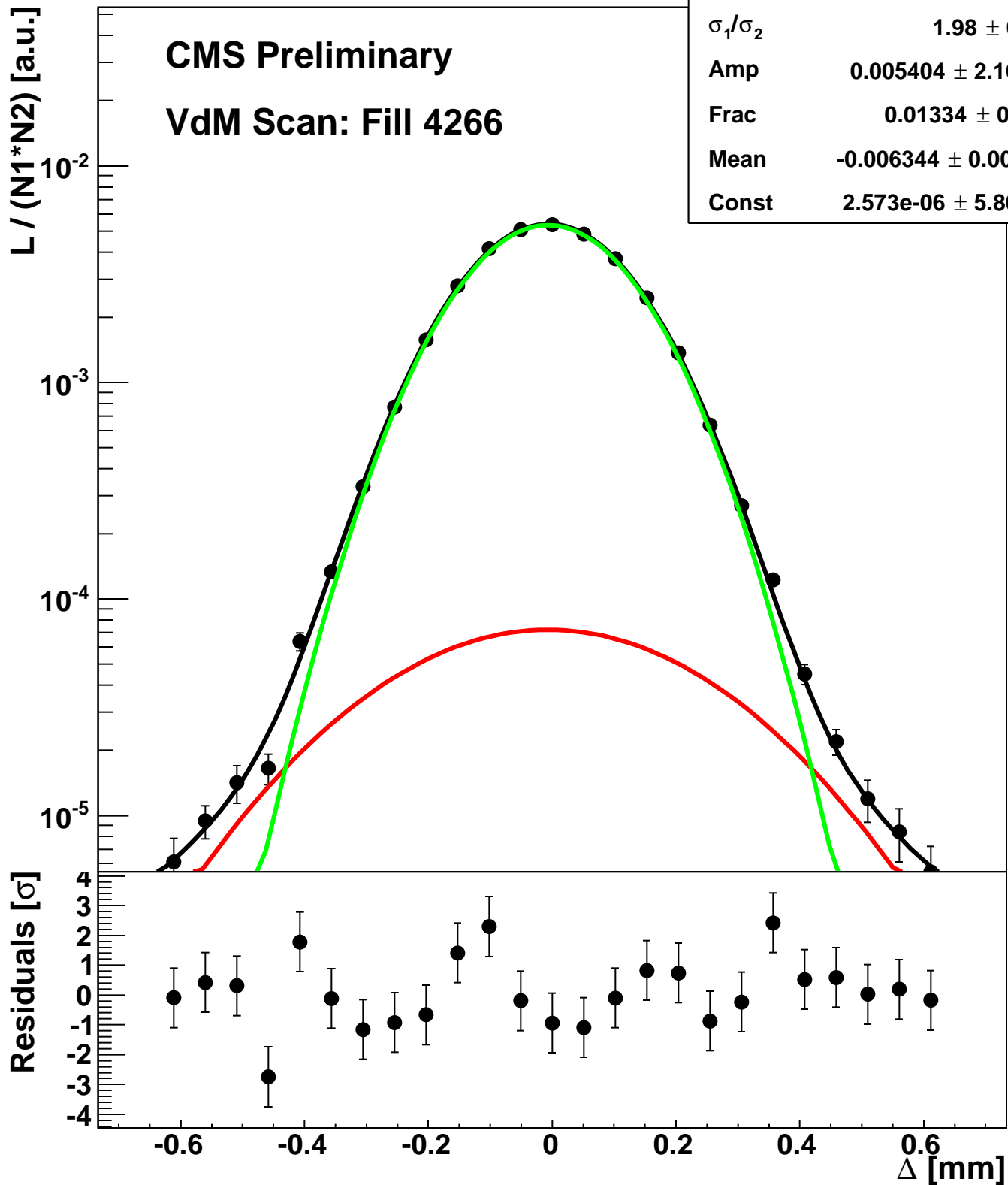
Scan 4: X-plane BCID 2251



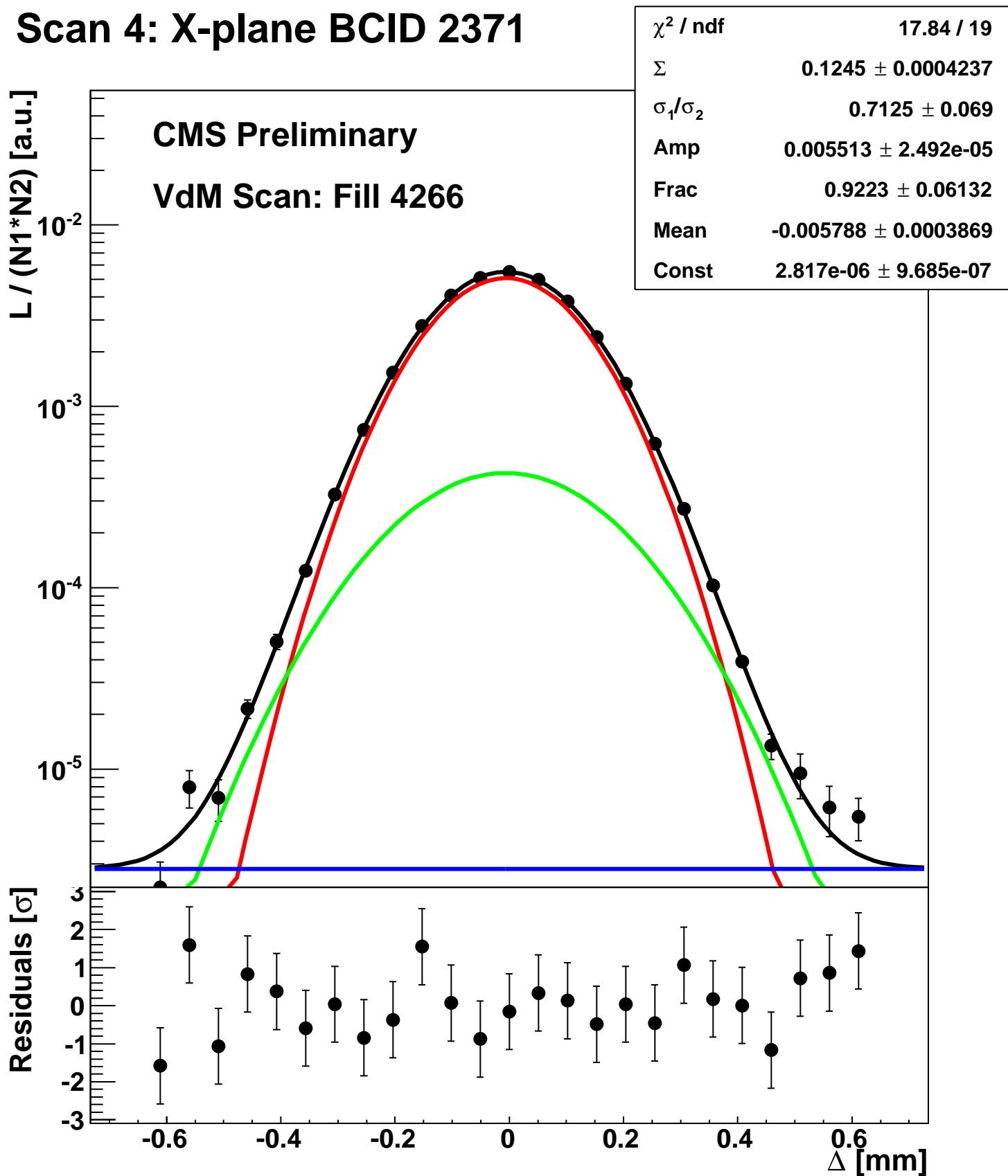
Scan 4: X-plane BCID 2291



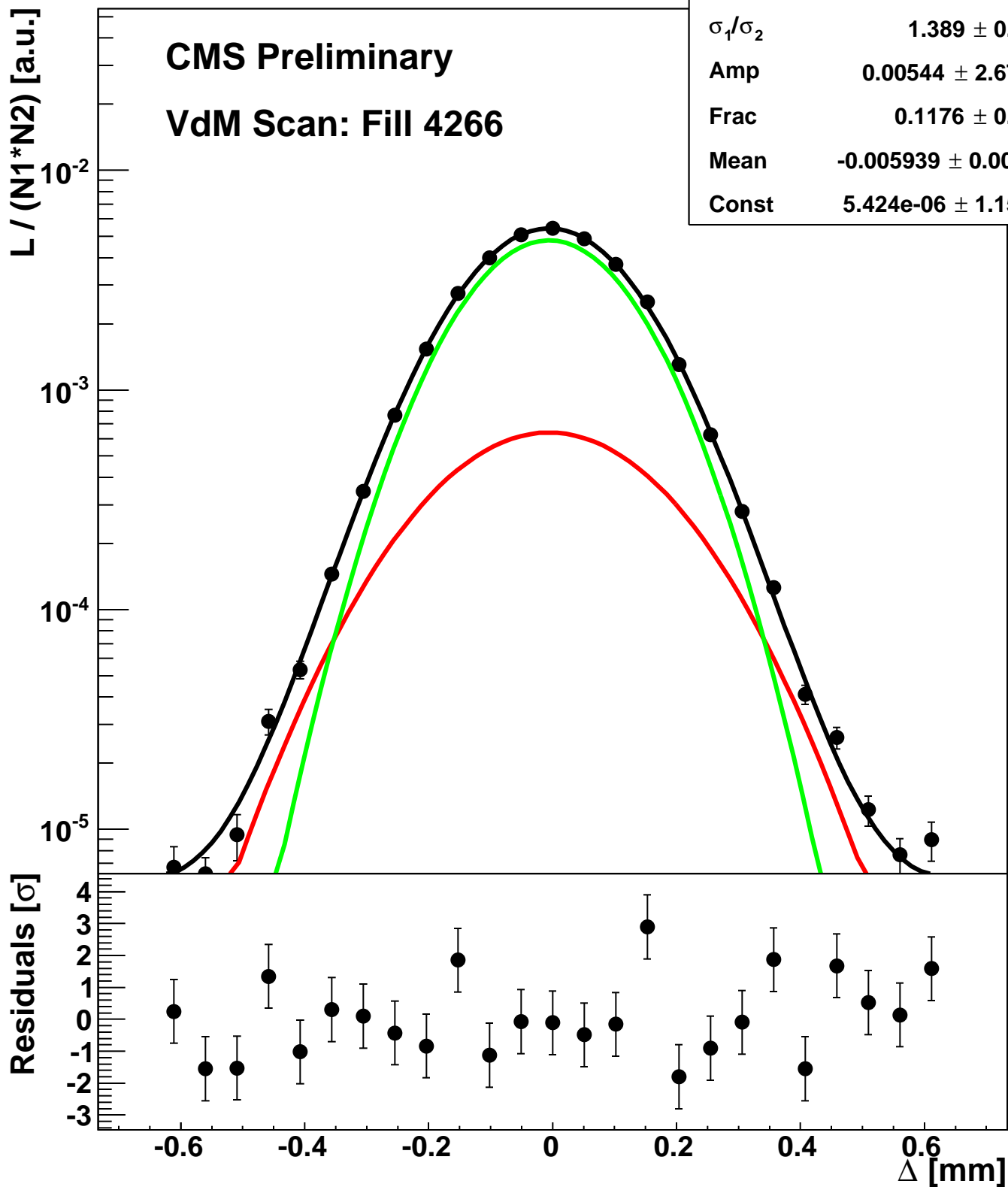
Scan 4: X-plane BCID 2331



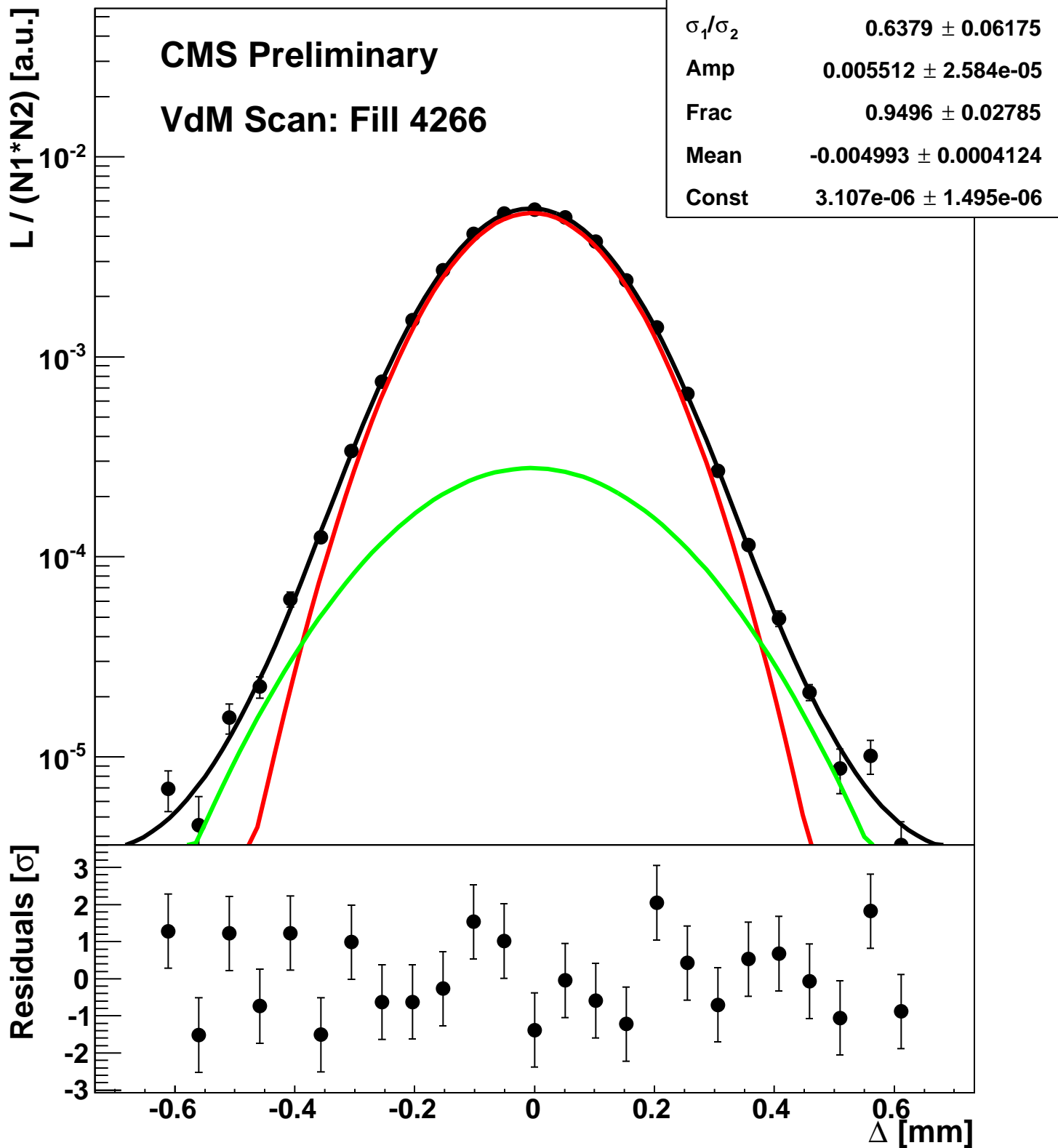
Scan 4: X-plane BCID 2371



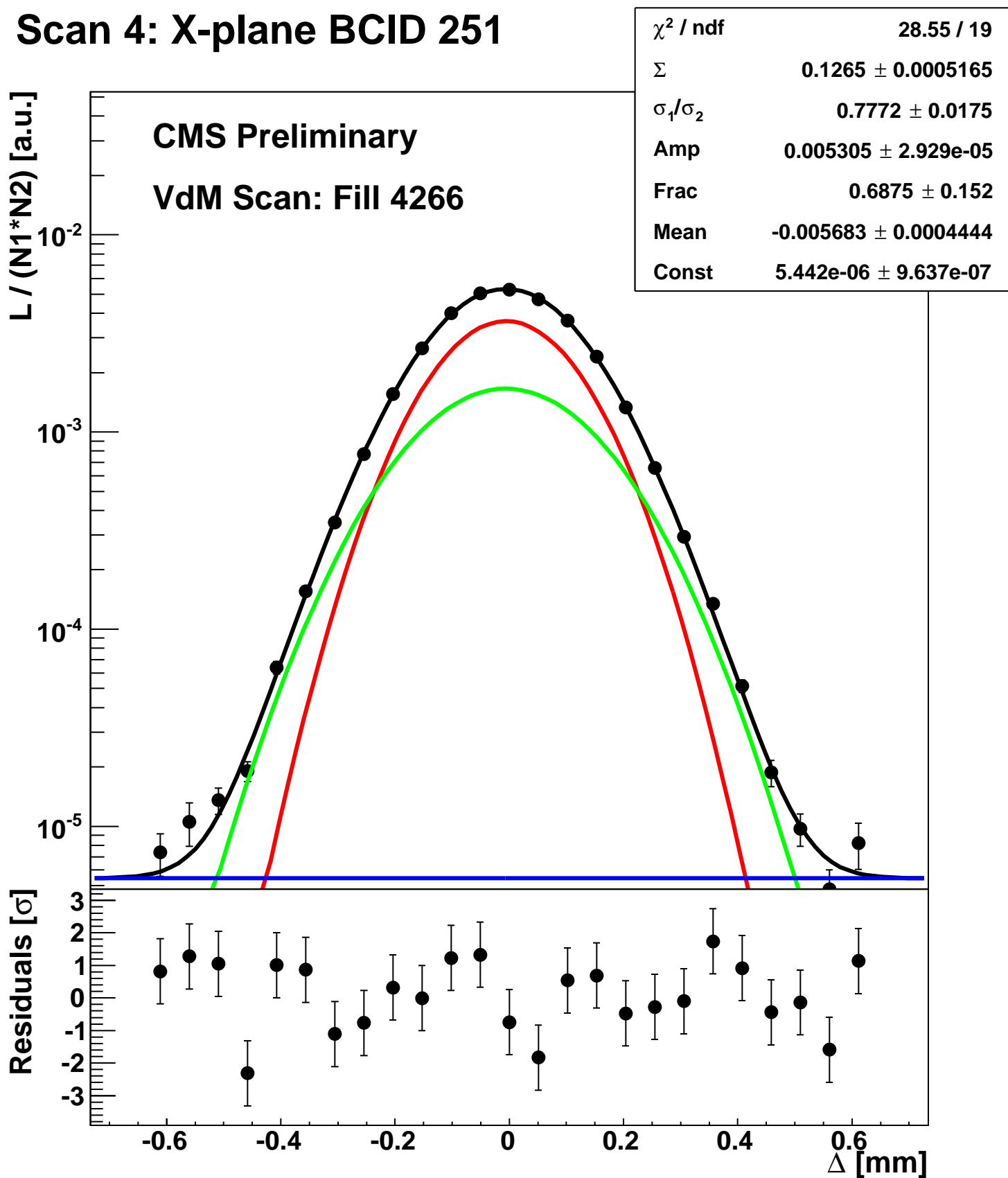
Scan 4: X-plane BCID 2411



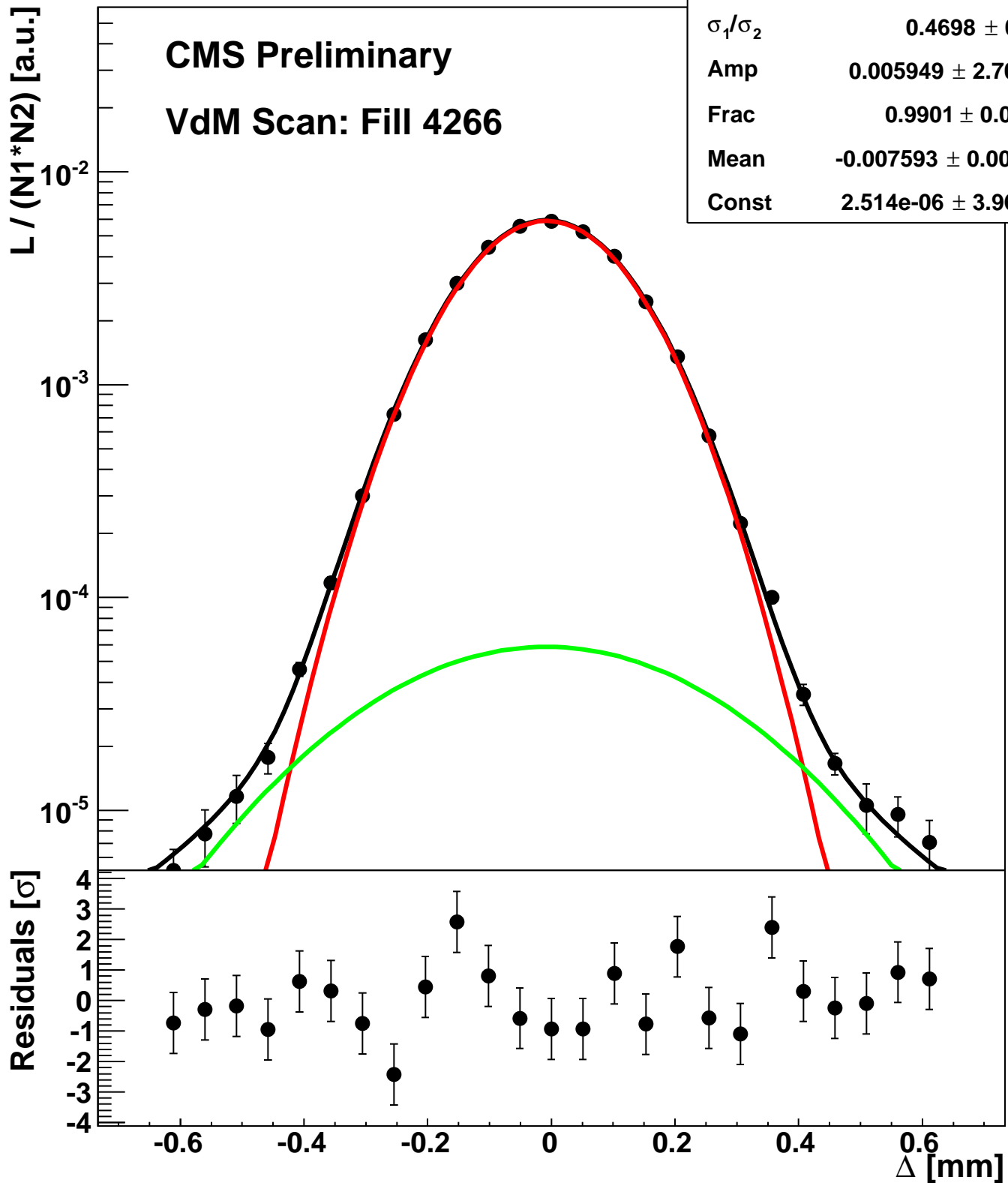
Scan 4: X-plane BCID 2451



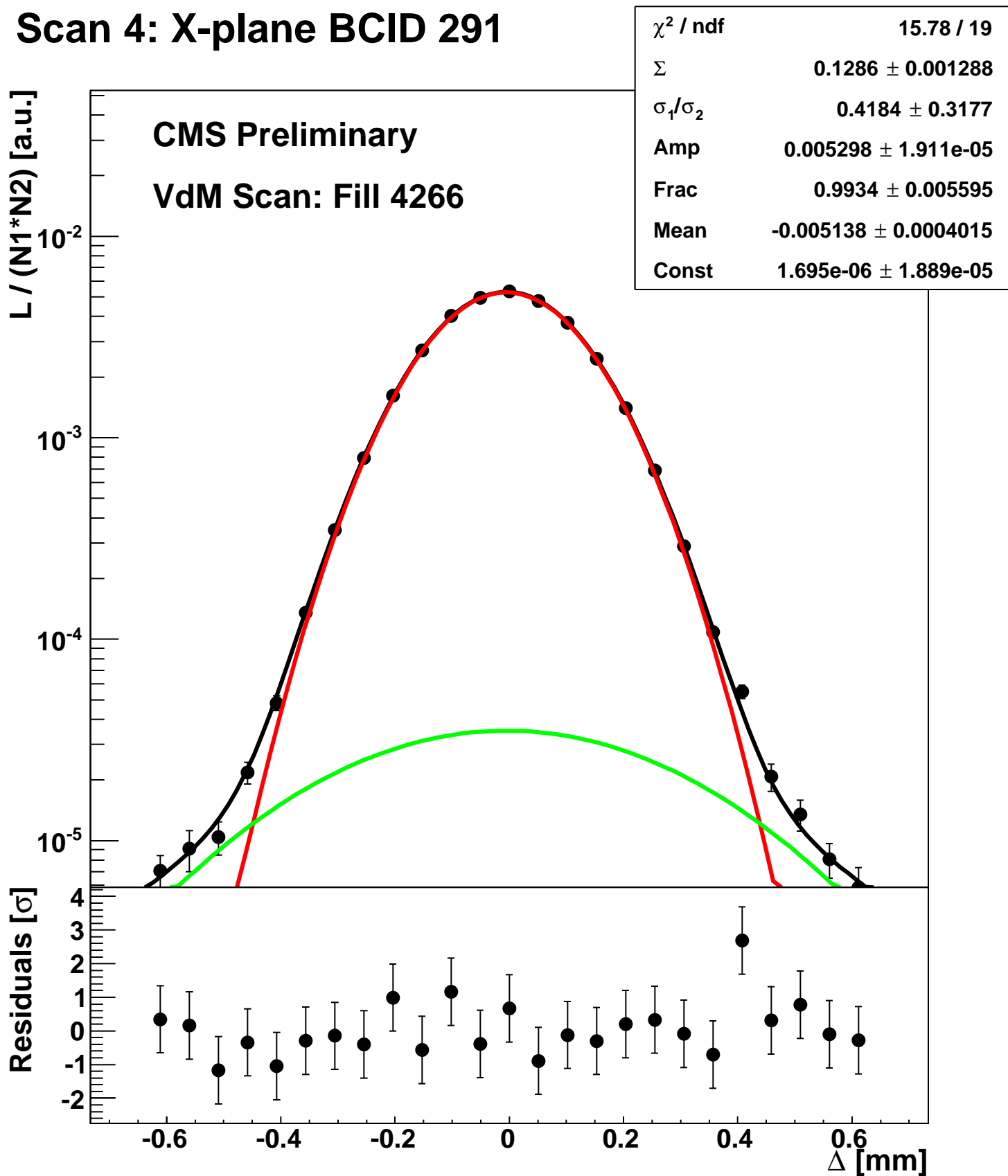
Scan 4: X-plane BCID 251



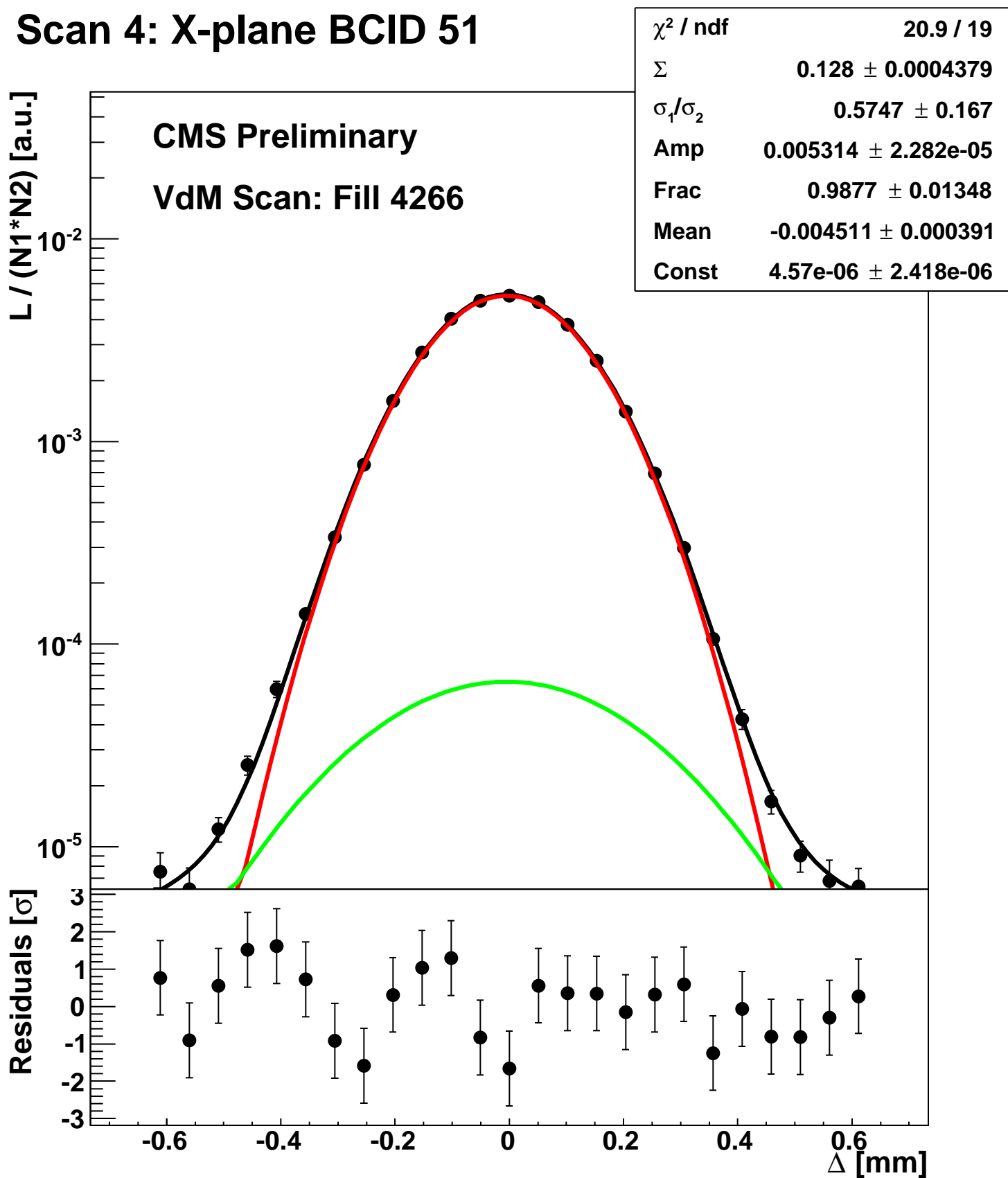
Scan 4: X-plane BCID 2674



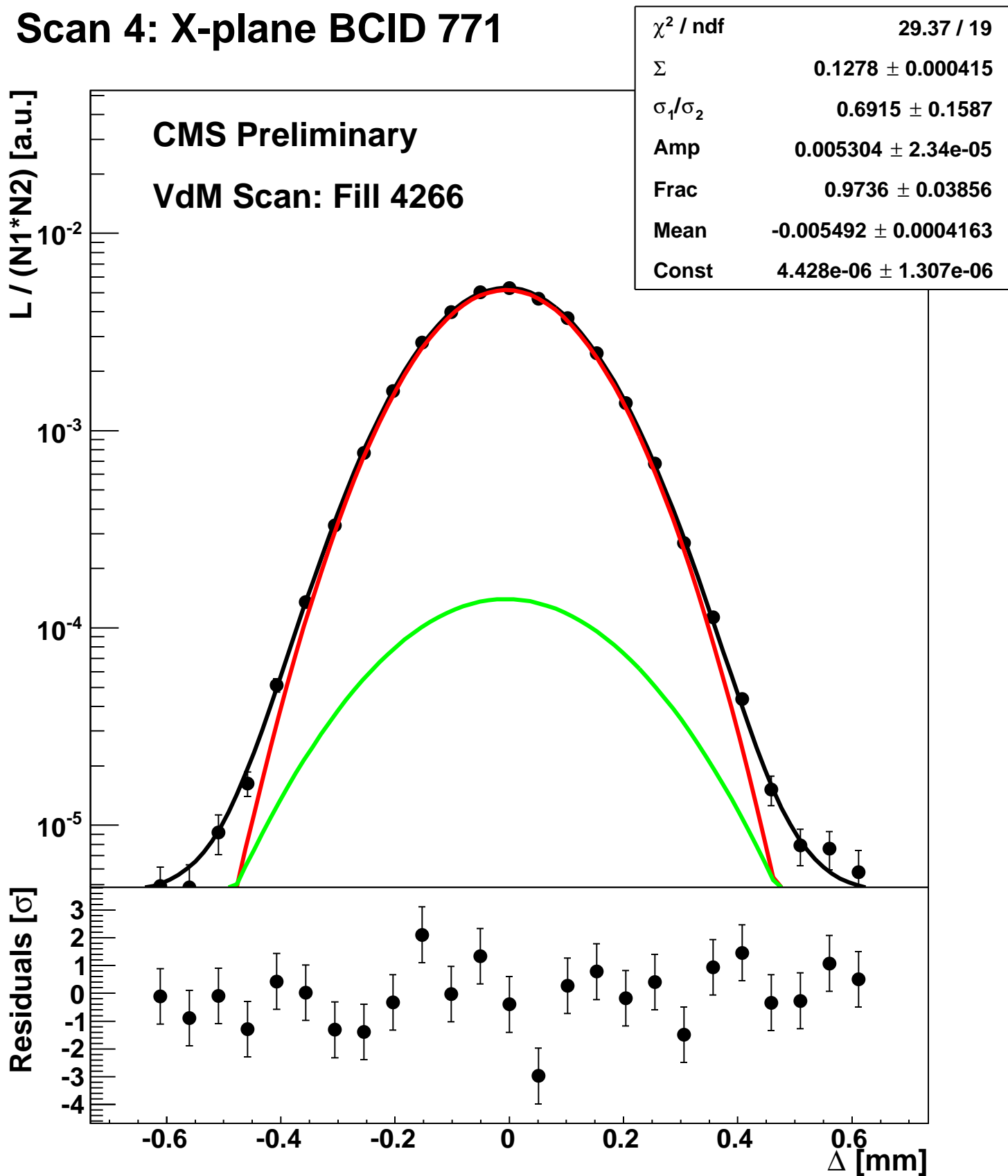
Scan 4: X-plane BCID 291



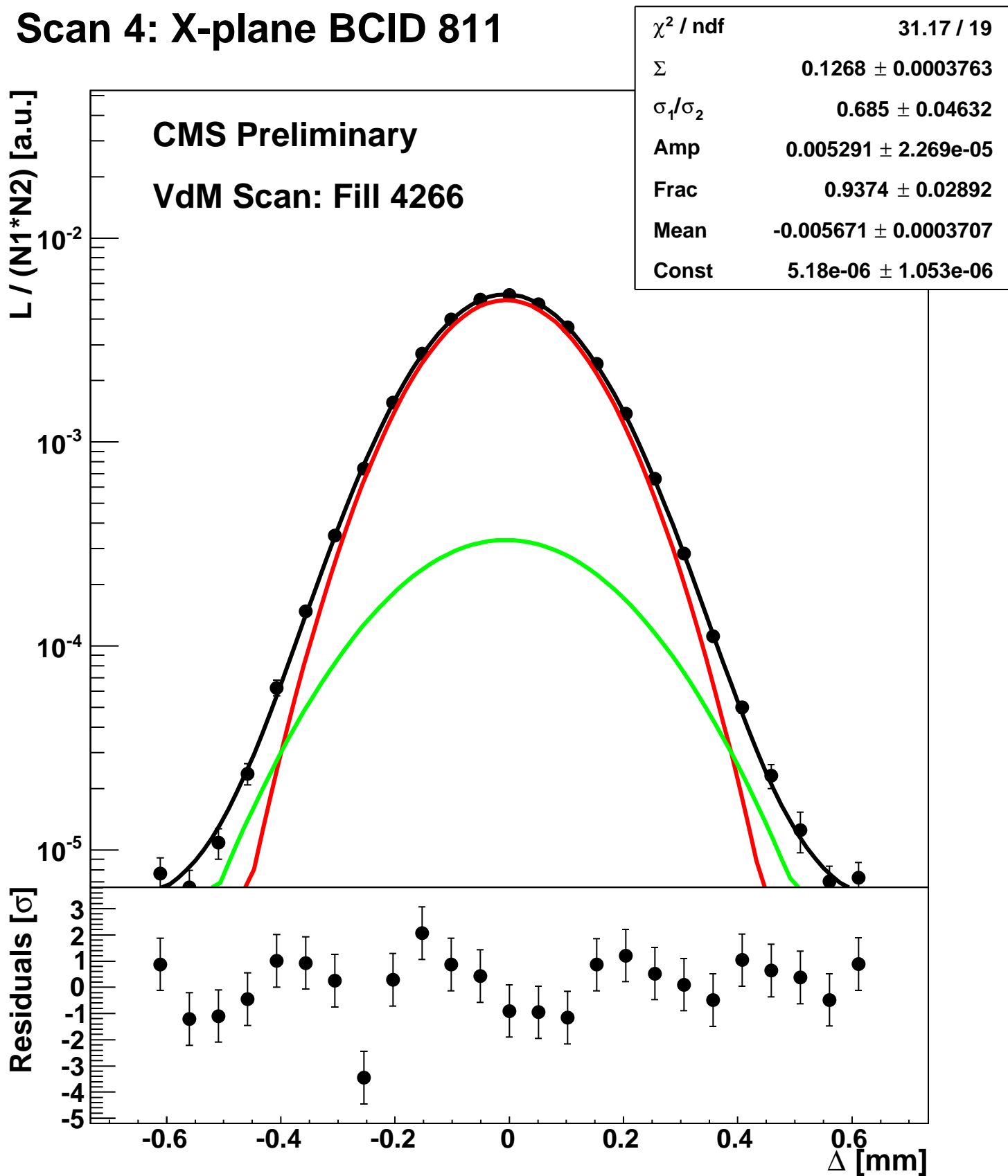
Scan 4: X-plane BCID 51



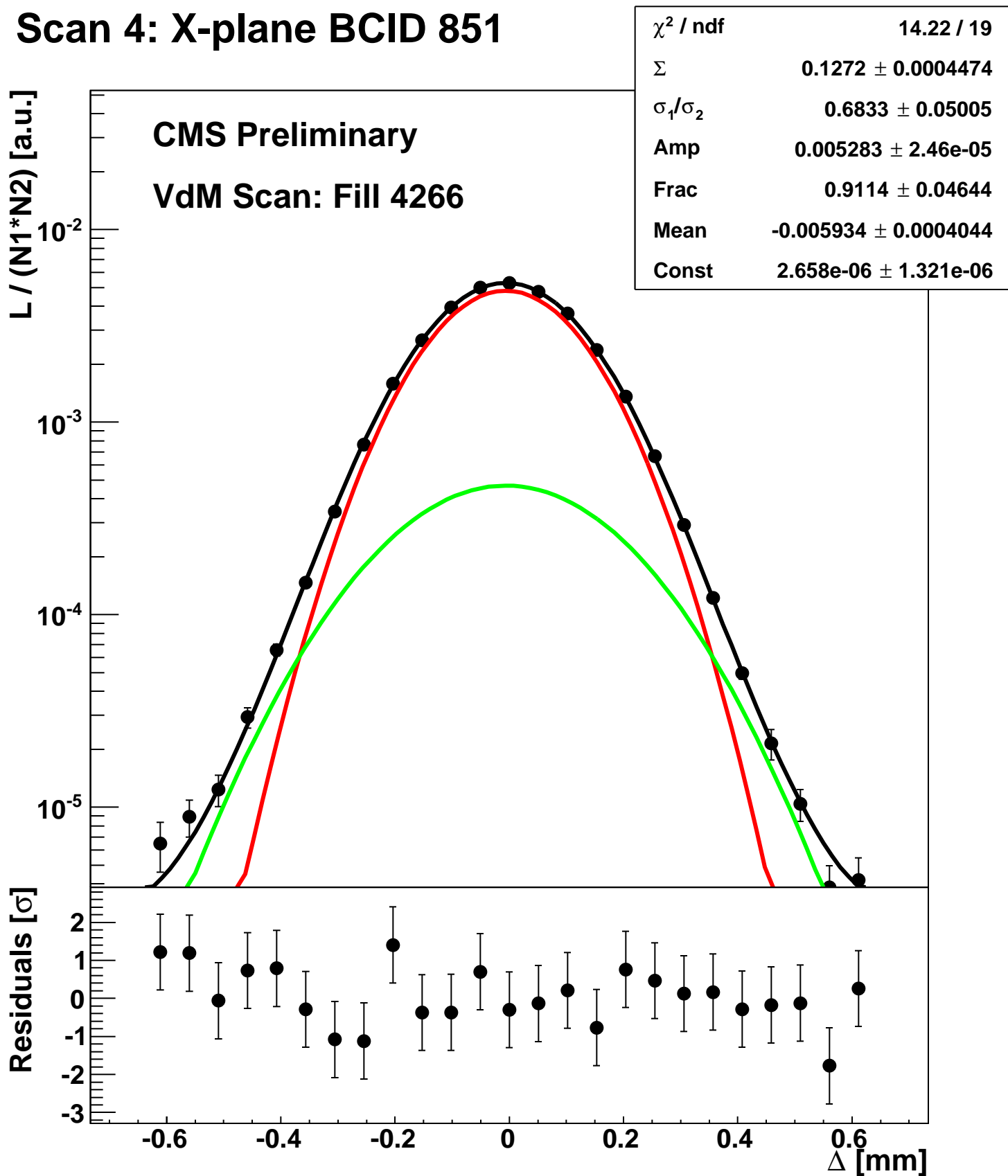
Scan 4: X-plane BCID 771



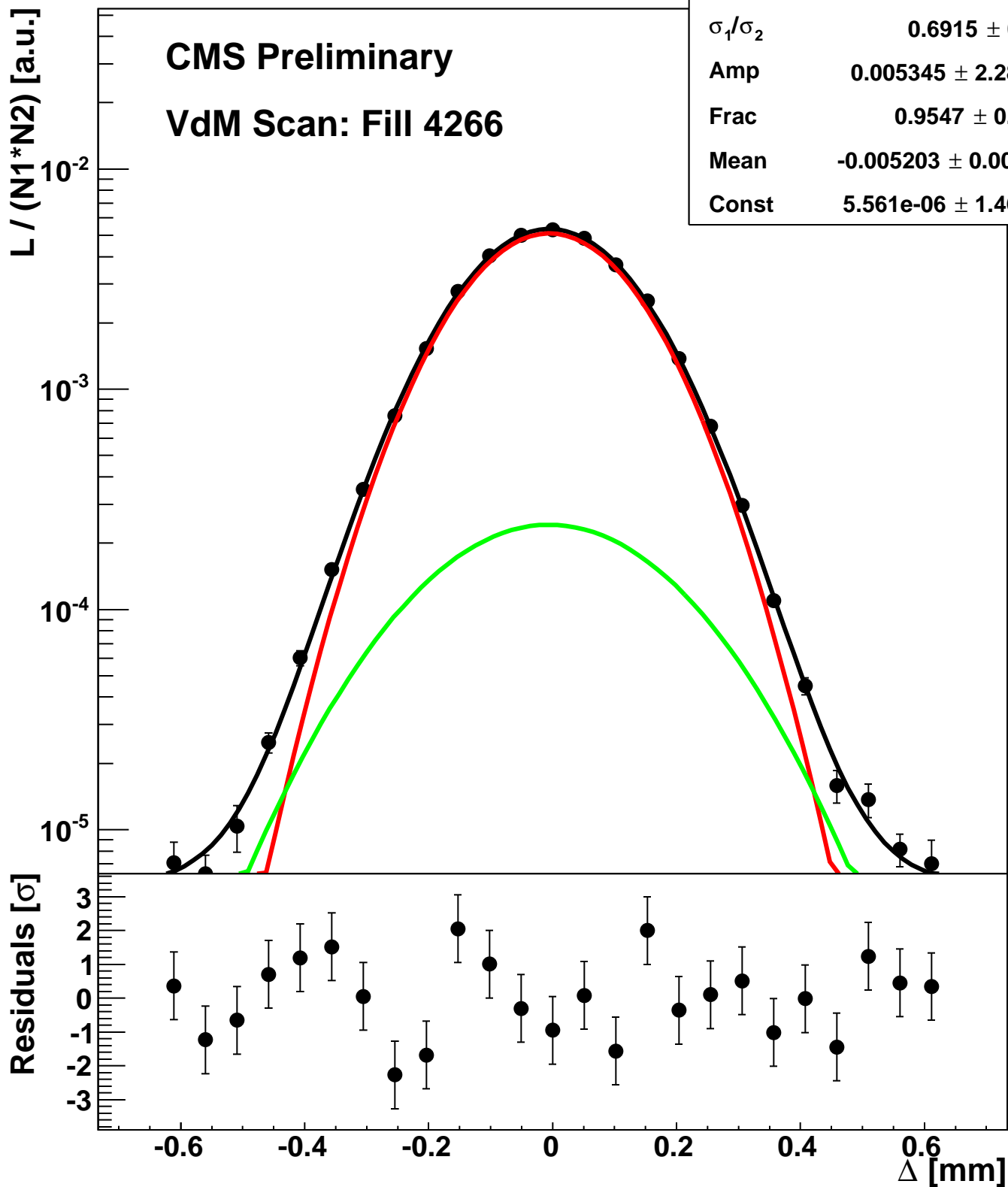
Scan 4: X-plane BCID 811



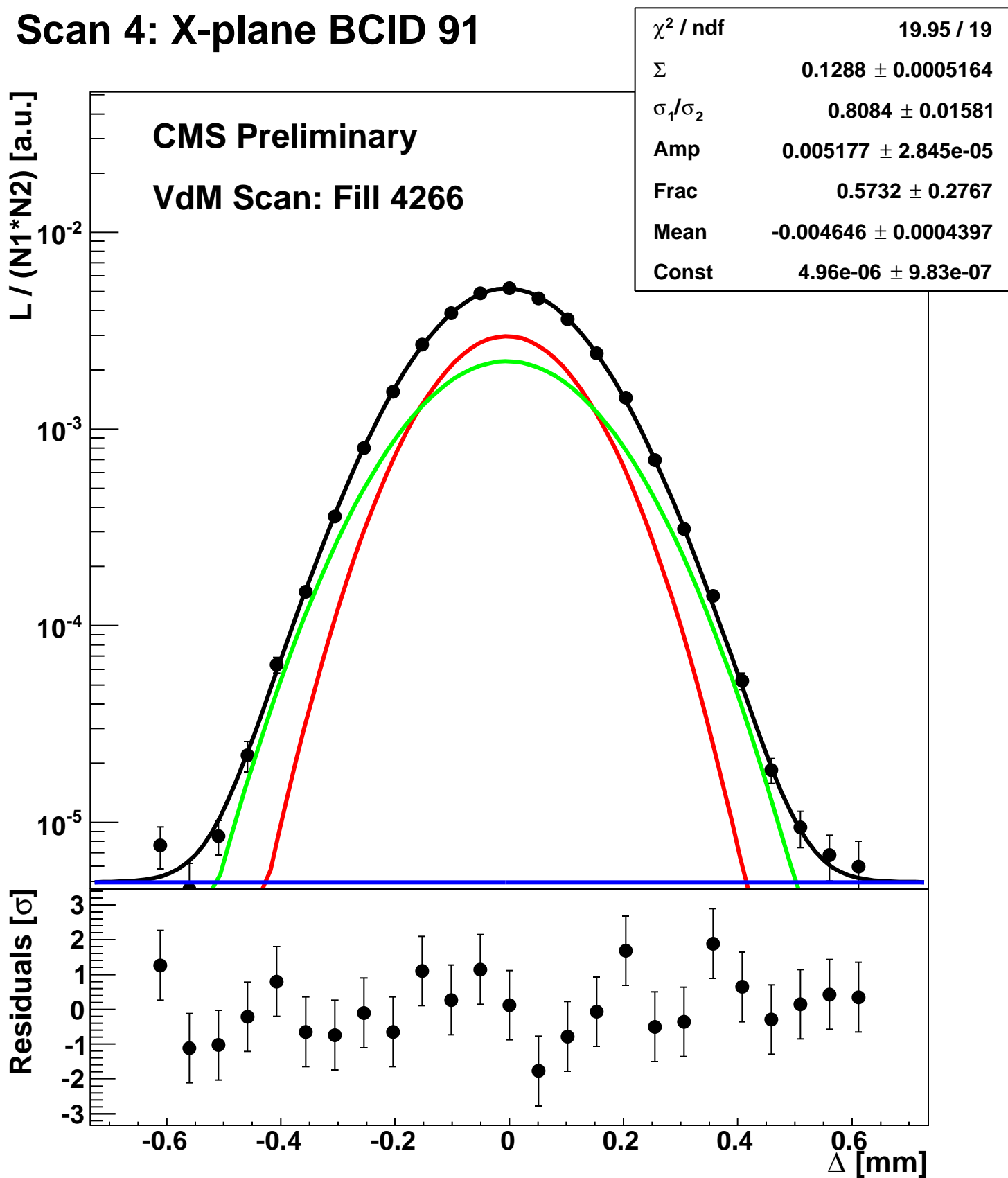
Scan 4: X-plane BCID 851



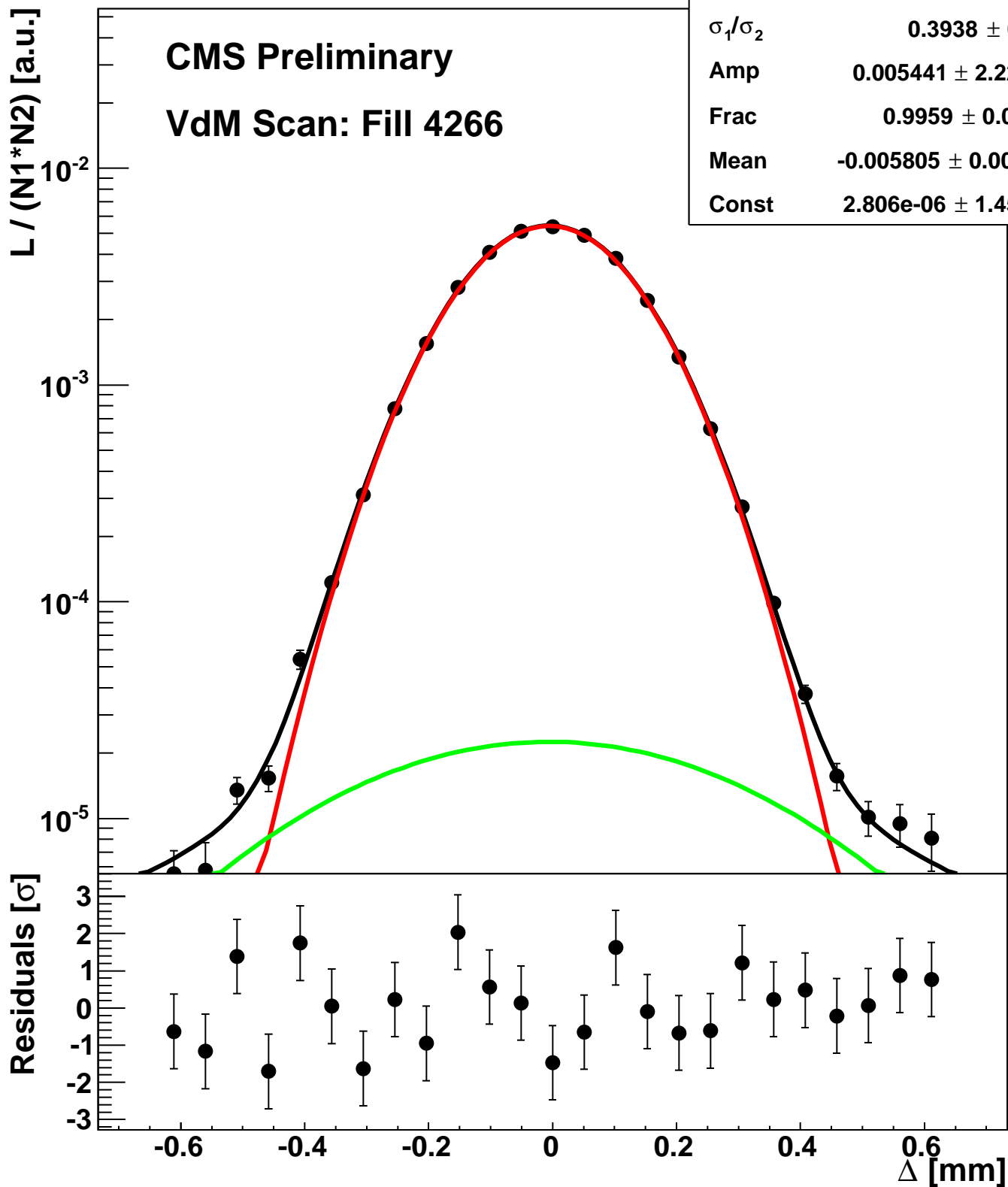
Scan 4: X-plane BCID 891



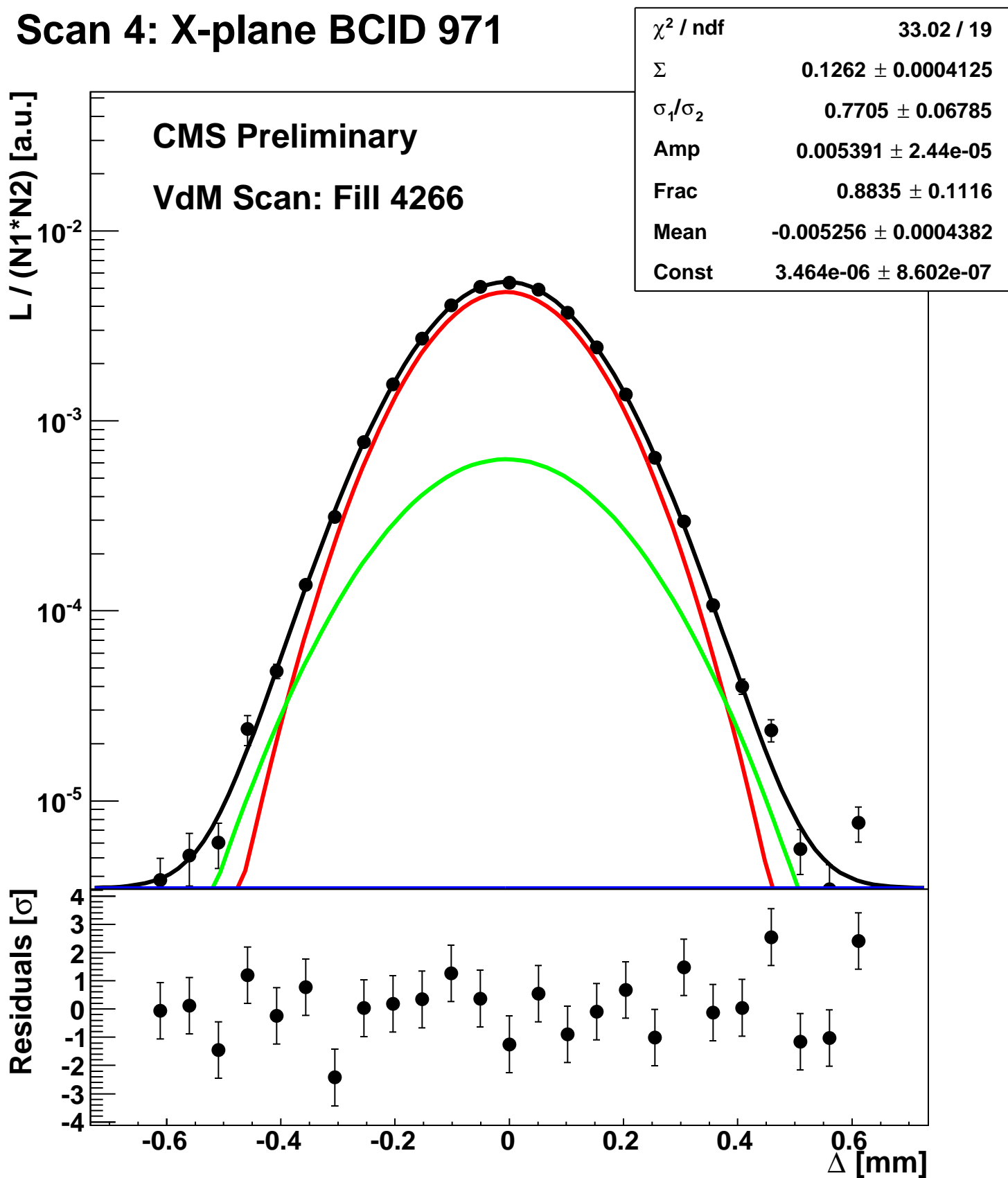
Scan 4: X-plane BCID 91



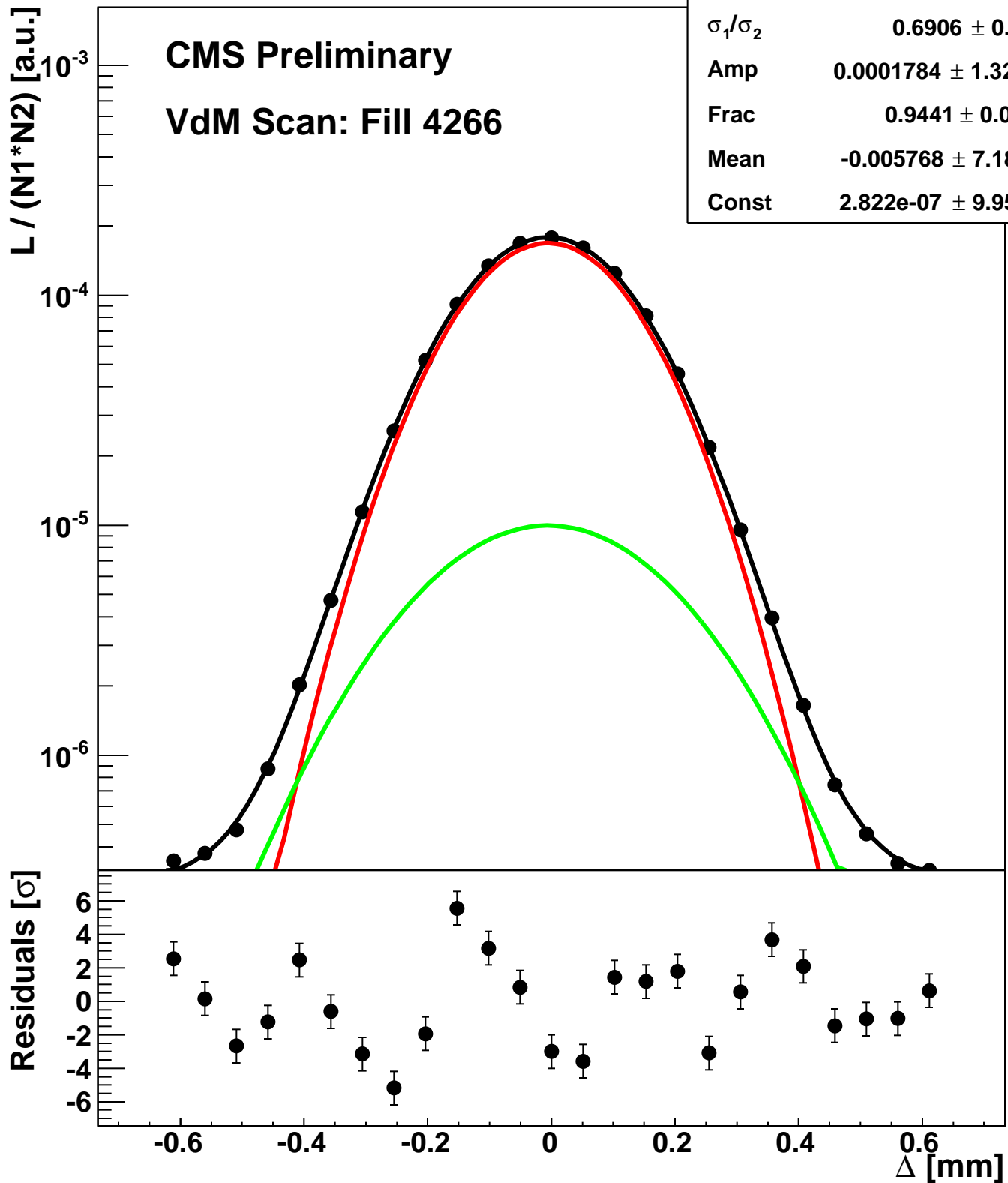
Scan 4: X-plane BCID 931



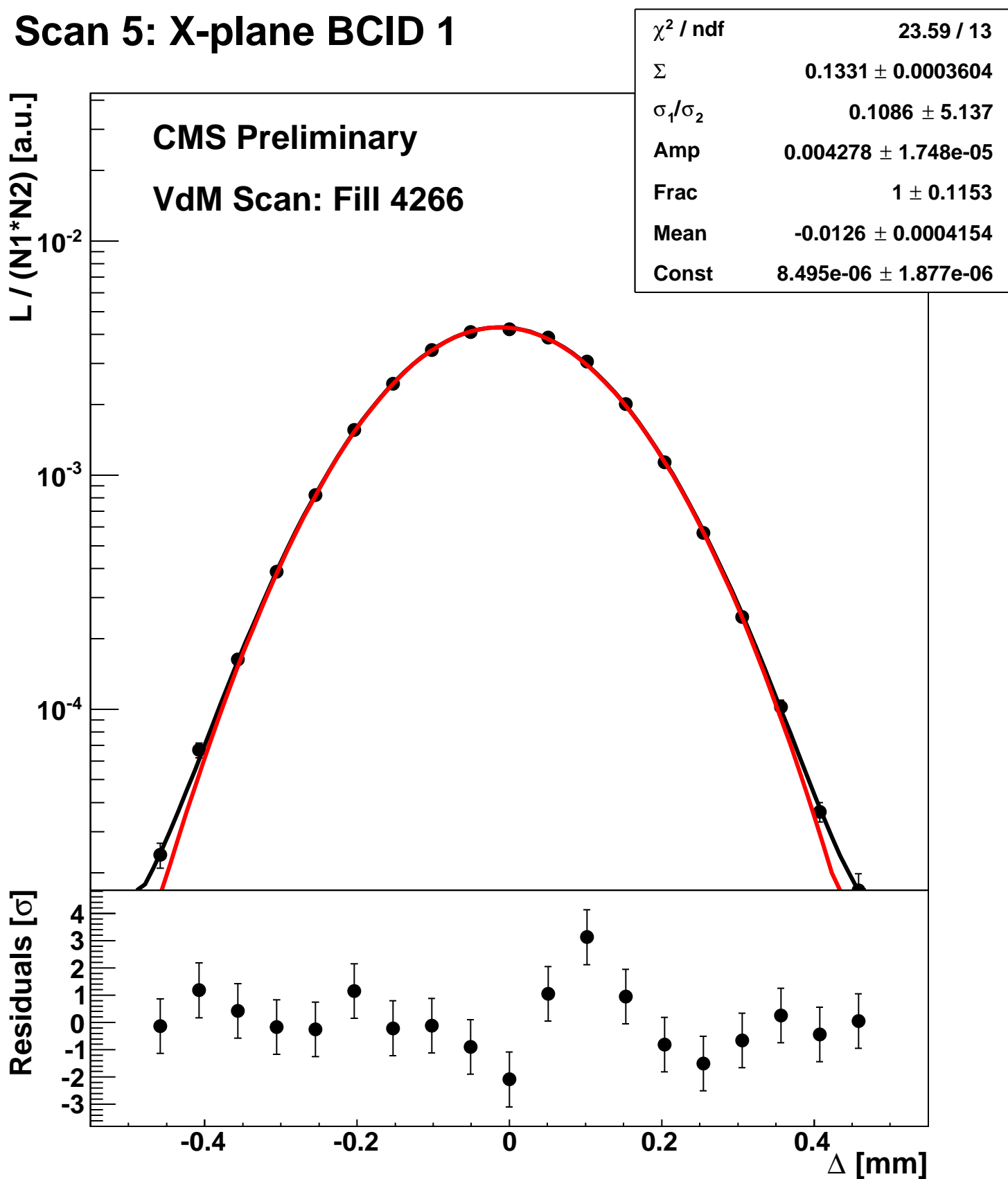
Scan 4: X-plane BCID 971



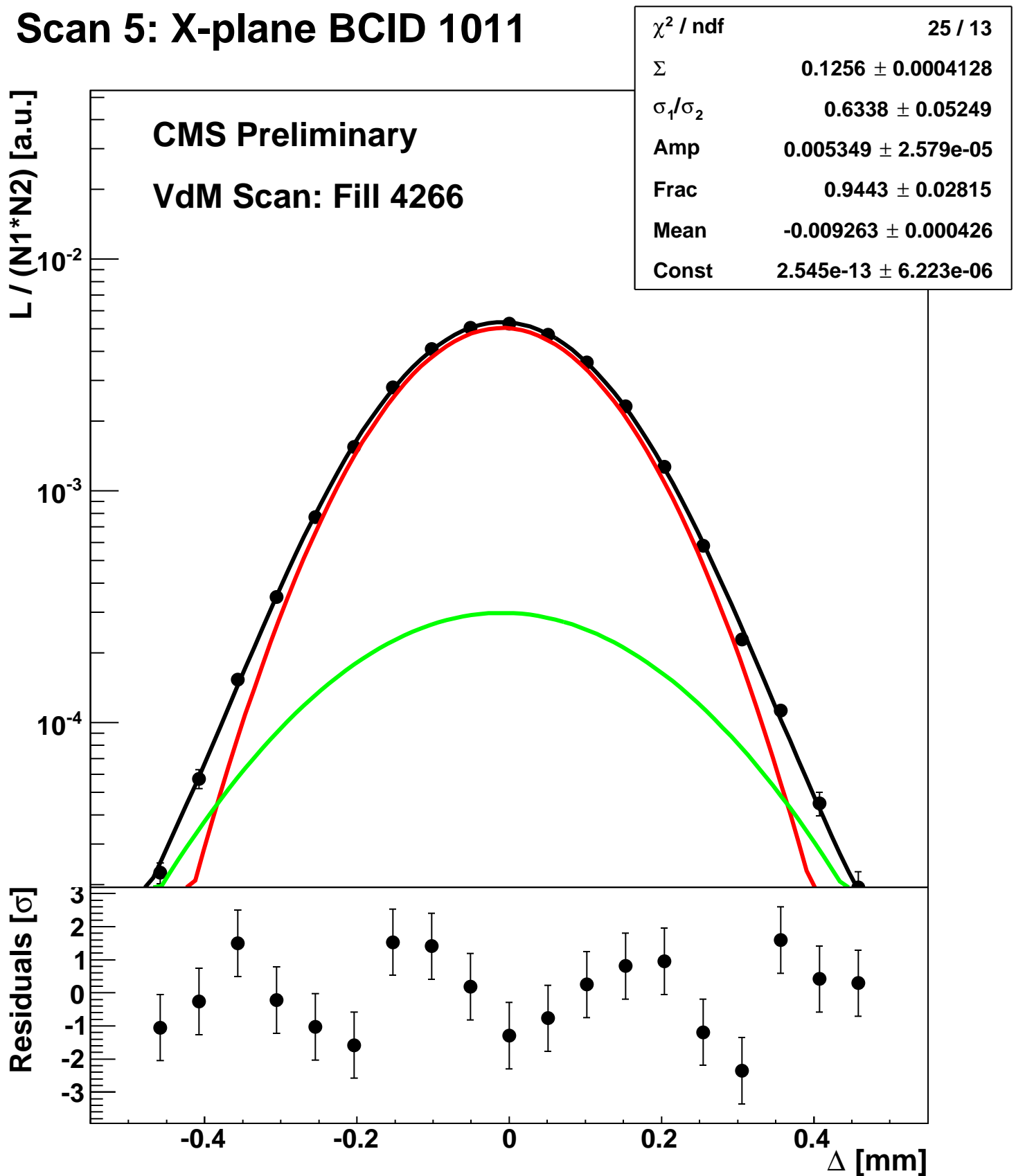
Scan 4: X-plane BCID sum



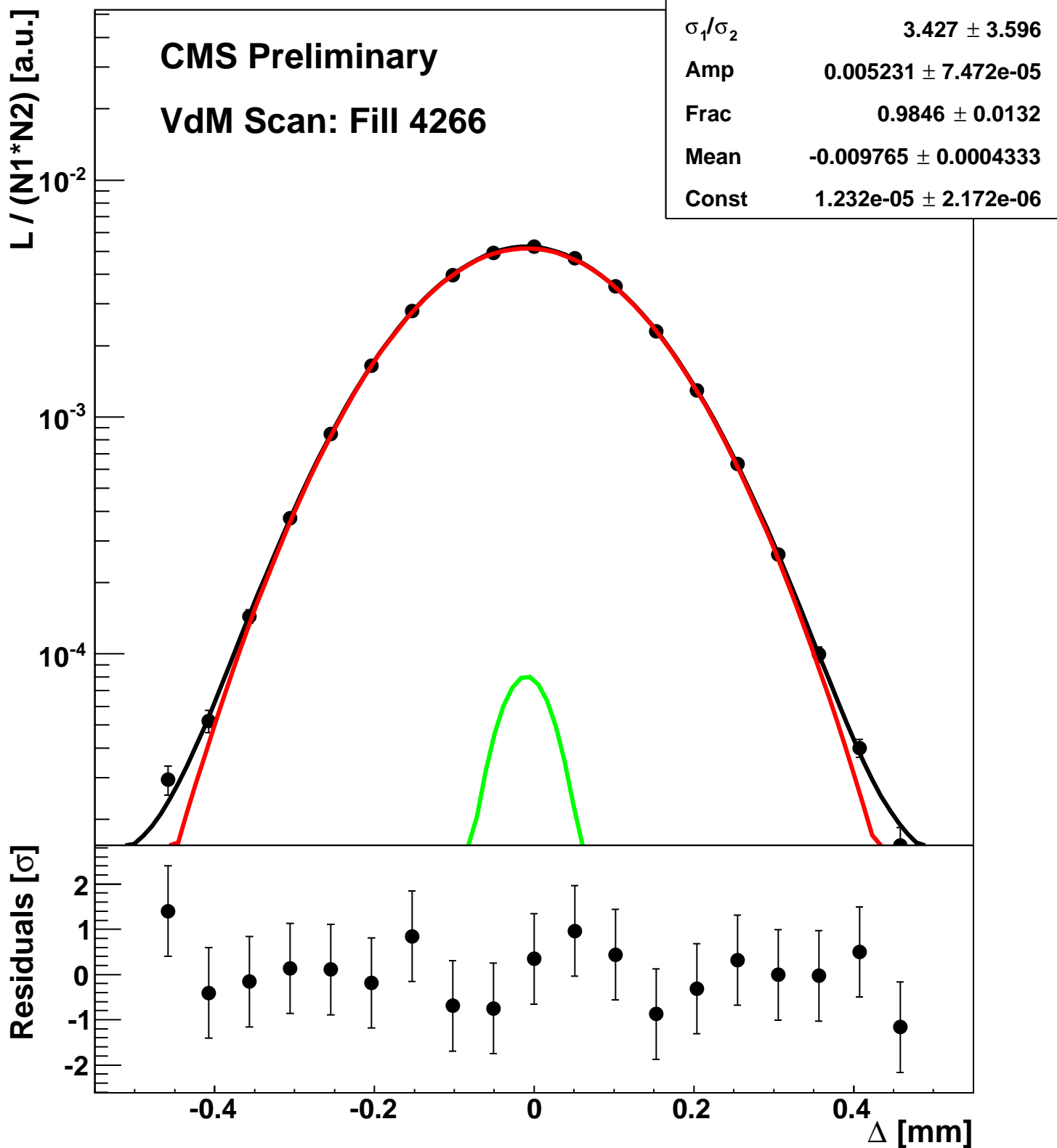
Scan 5: X-plane BCID 1



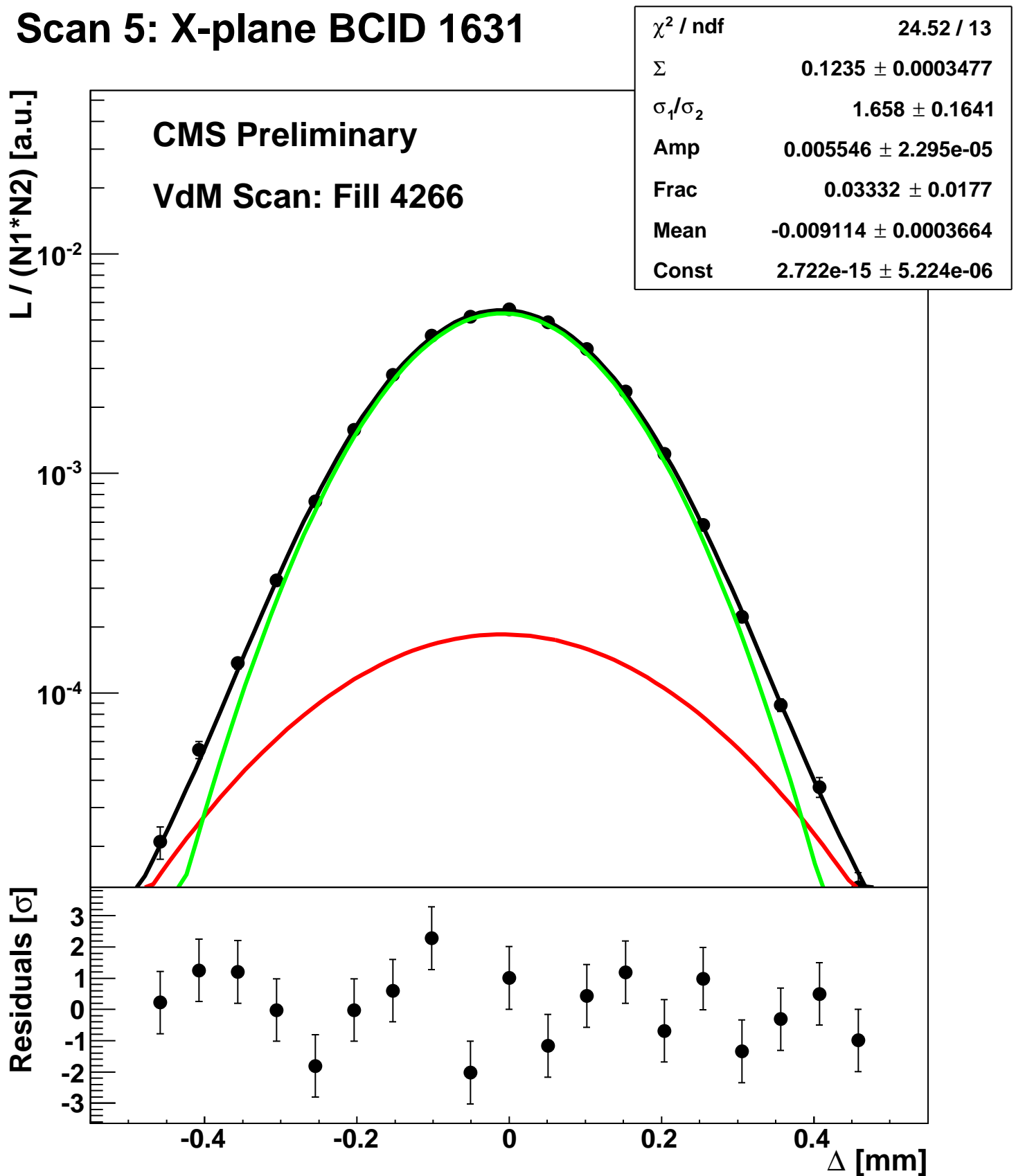
Scan 5: X-plane BCID 1011



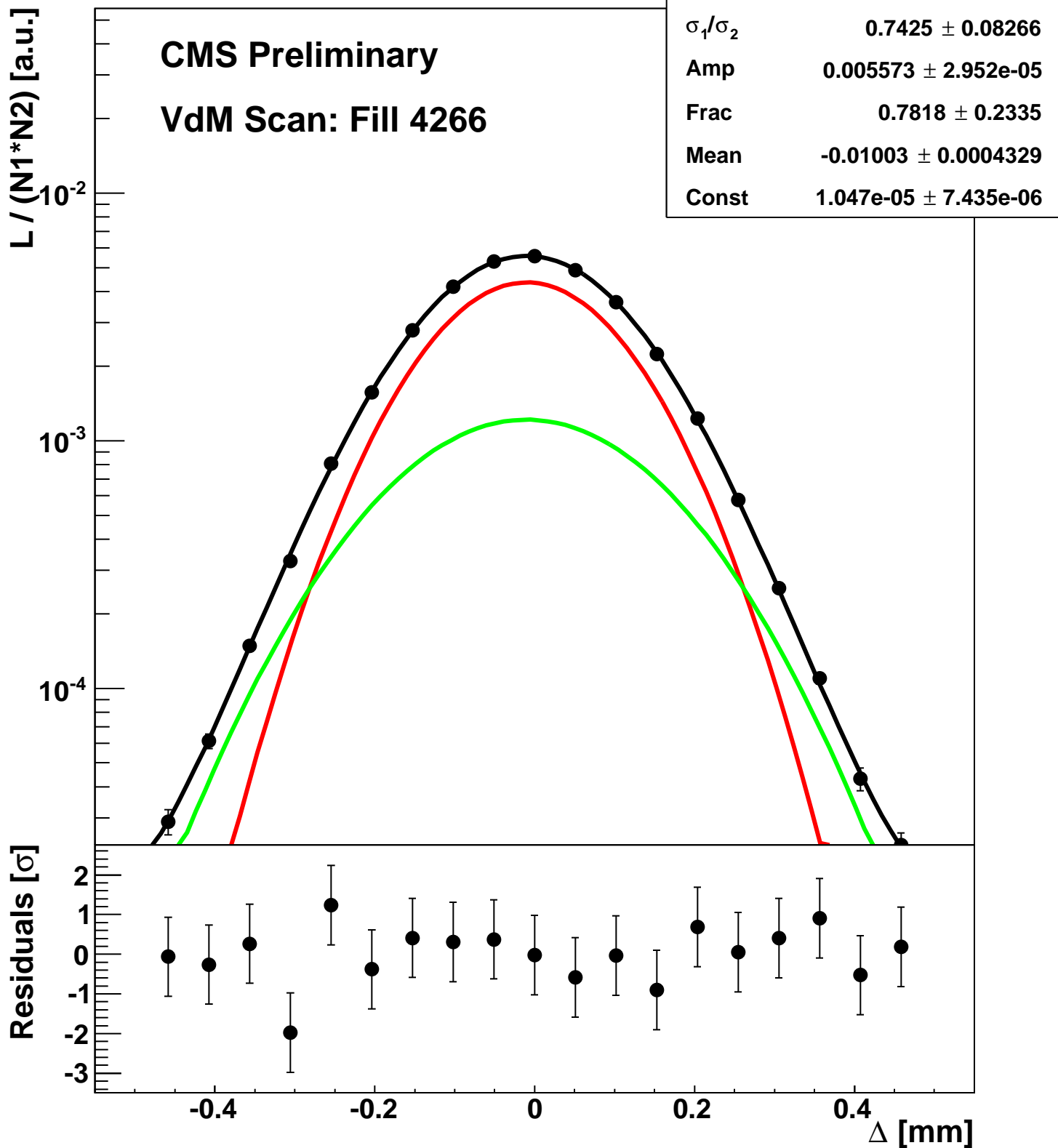
Scan 5: X-plane BCID 131



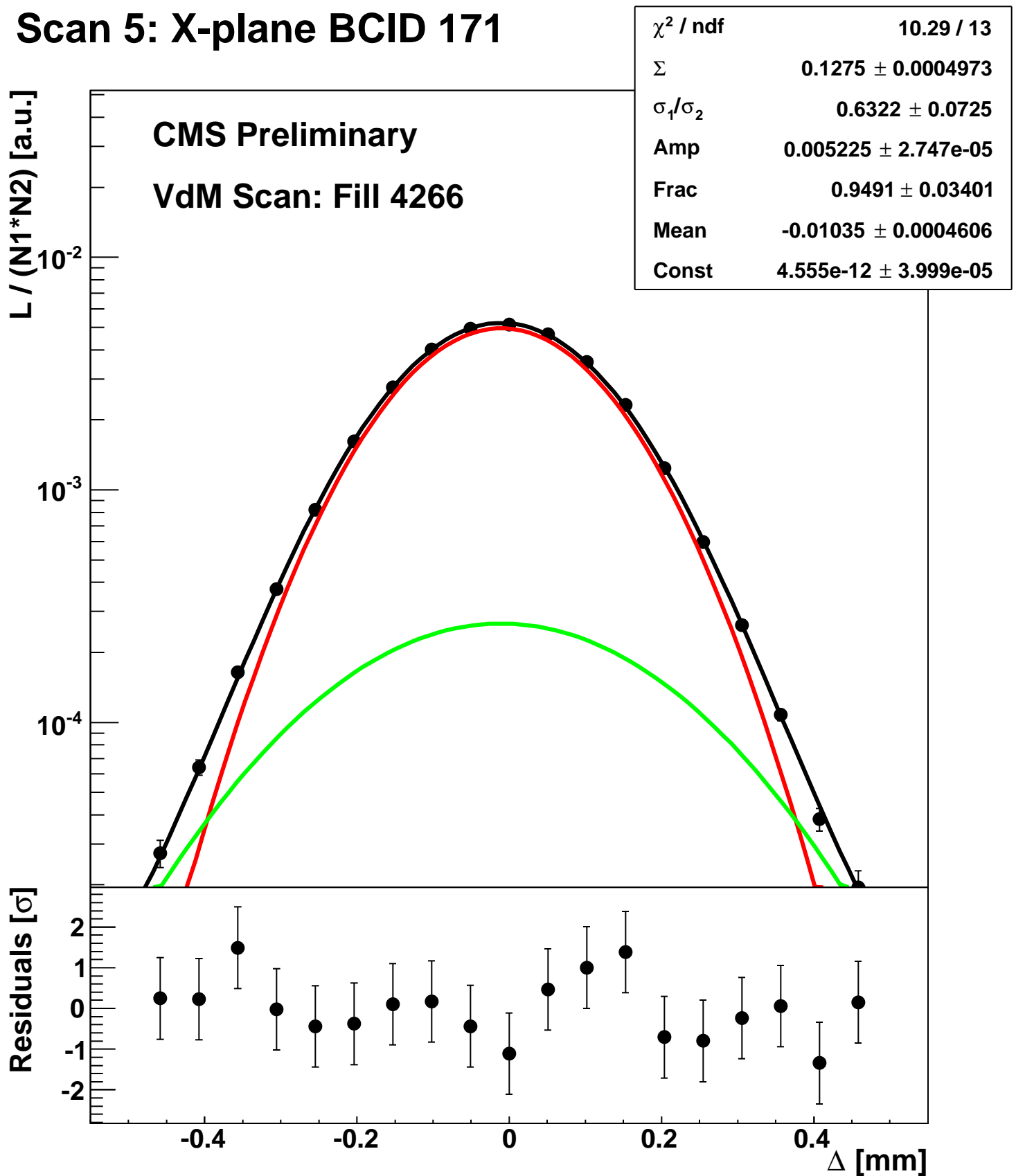
Scan 5: X-plane BCID 1631



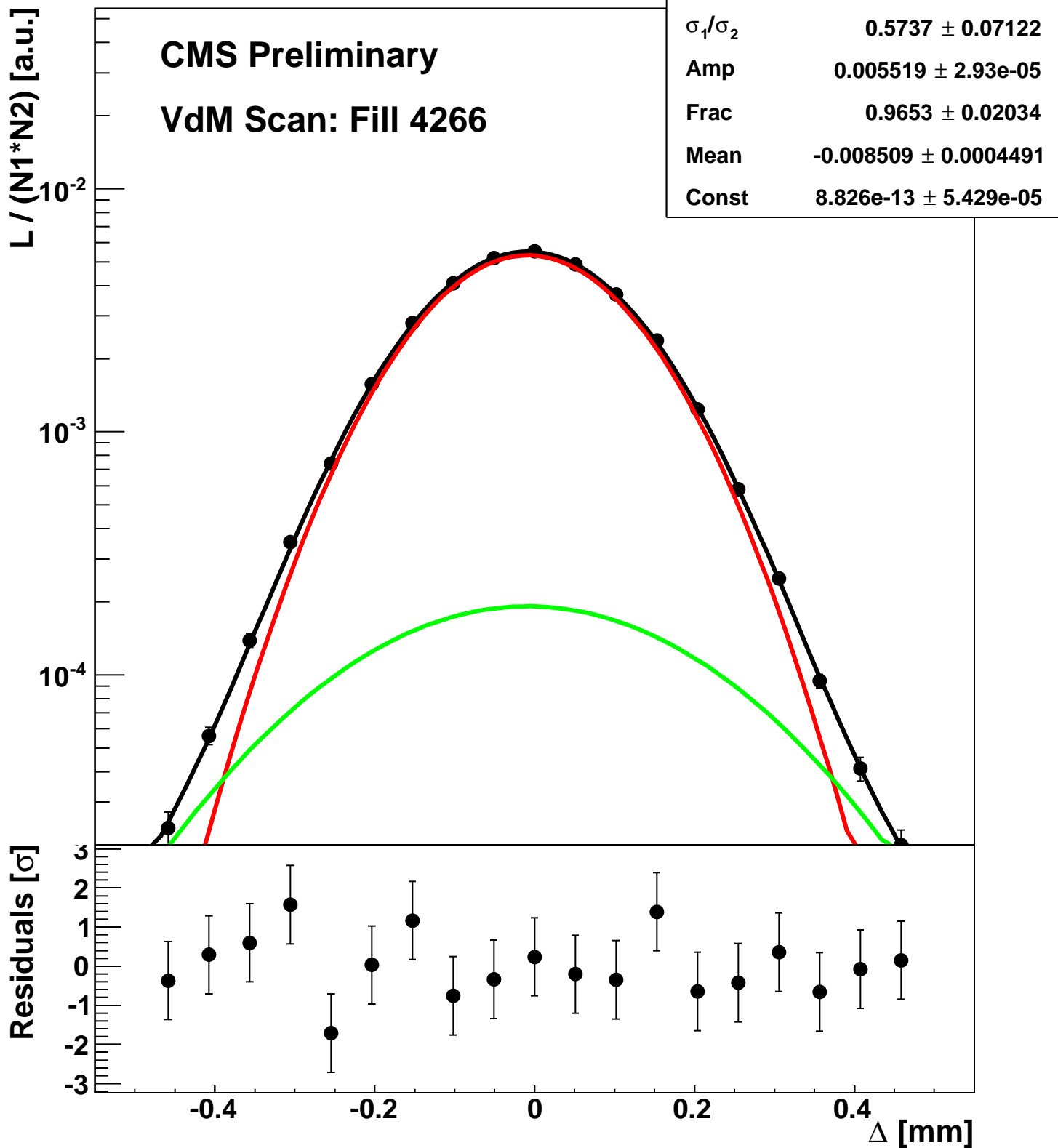
Scan 5: X-plane BCID 1671



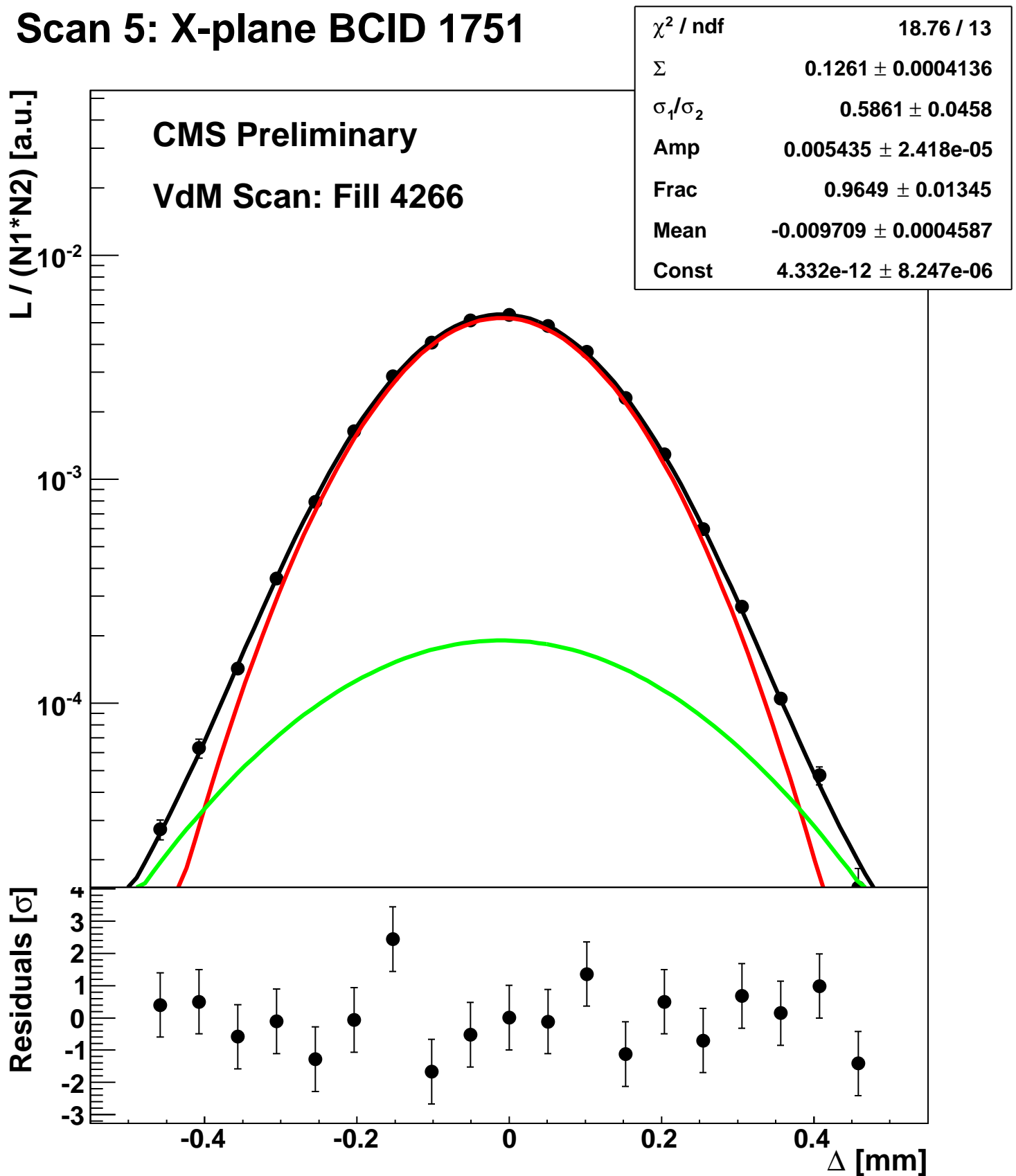
Scan 5: X-plane BCID 171



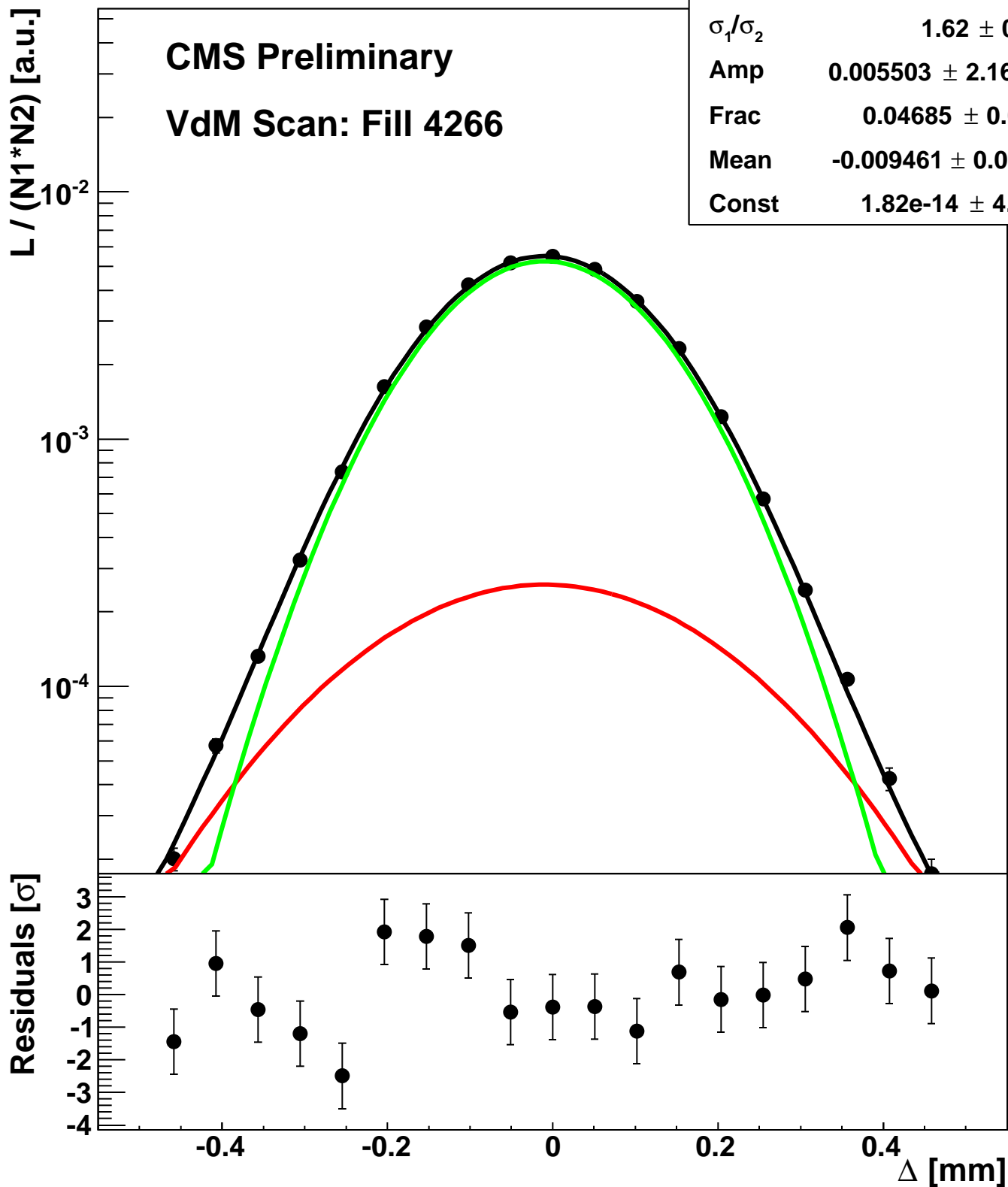
Scan 5: X-plane BCID 1711



Scan 5: X-plane BCID 1751

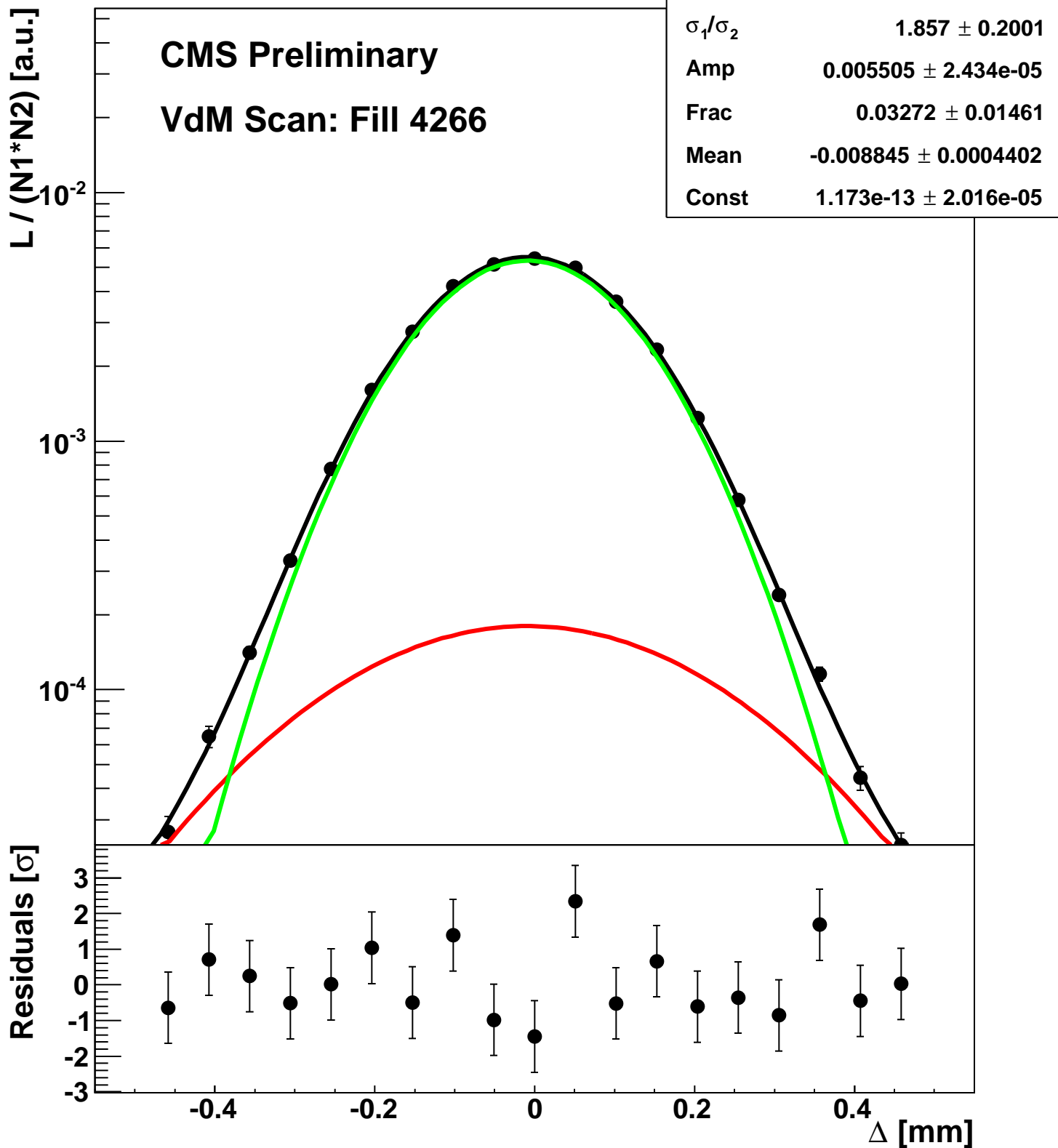


Scan 5: X-plane BCID 1791

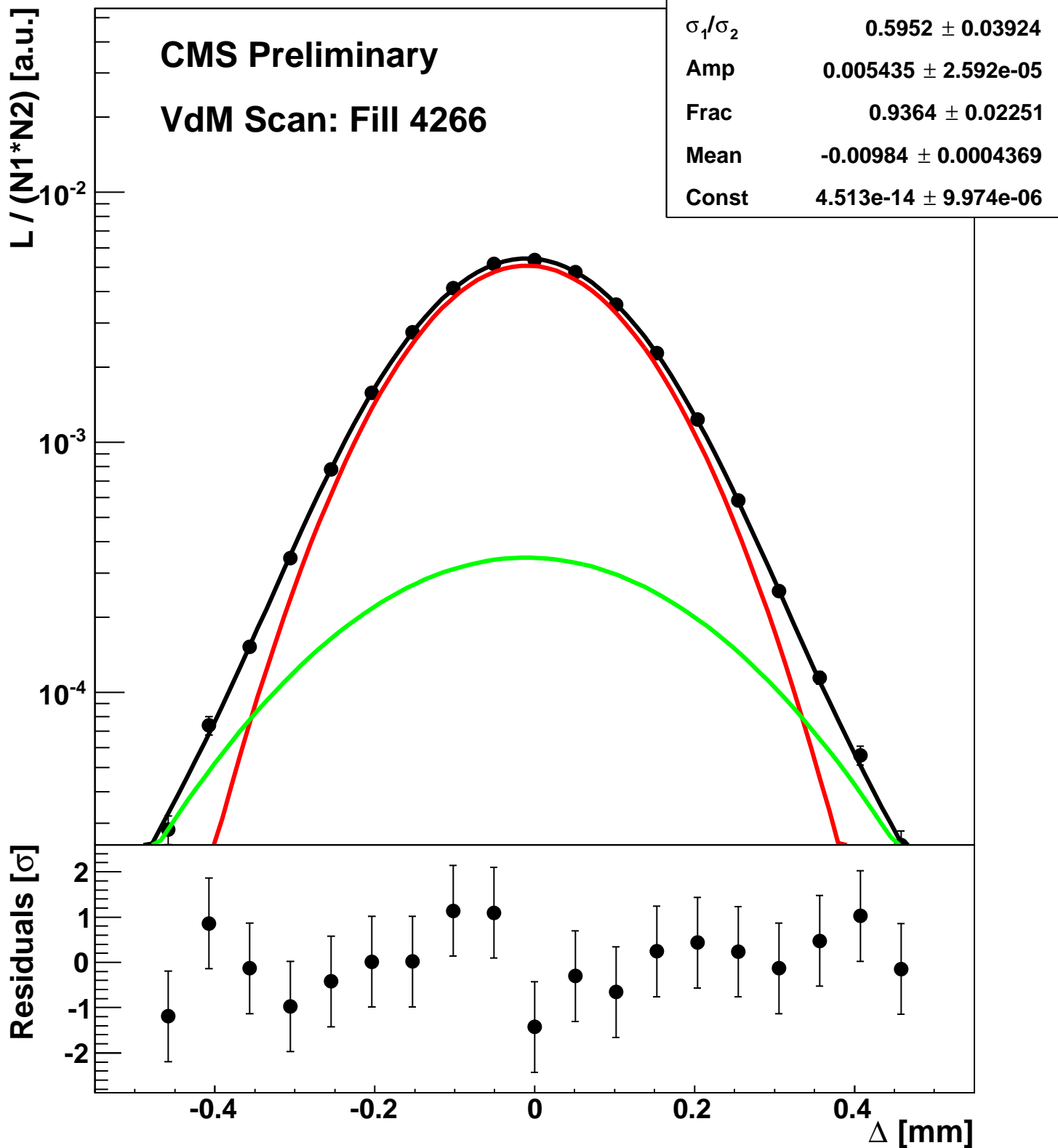


χ^2 / ndf	27.33 / 13
Σ	0.1238 ± 0.0003794
σ_1 / σ_2	1.62 ± 0.1252
Amp	$0.005503 \pm 2.164\text{e-}05$
Frac	0.04685 ± 0.02098
Mean	-0.009461 ± 0.000415
Const	$1.82\text{e-}14 \pm 4.4\text{e-}06$

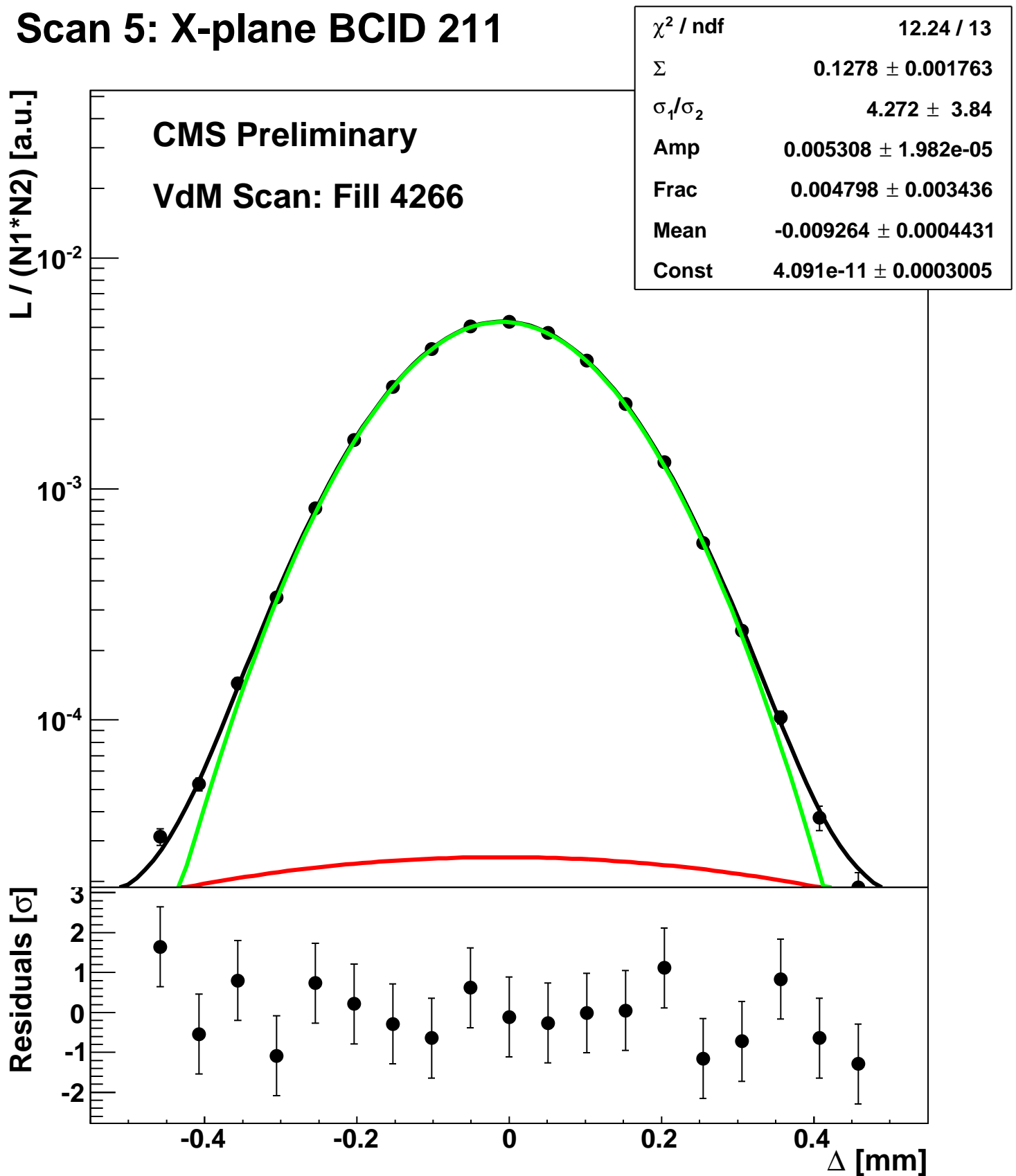
Scan 5: X-plane BCID 1831



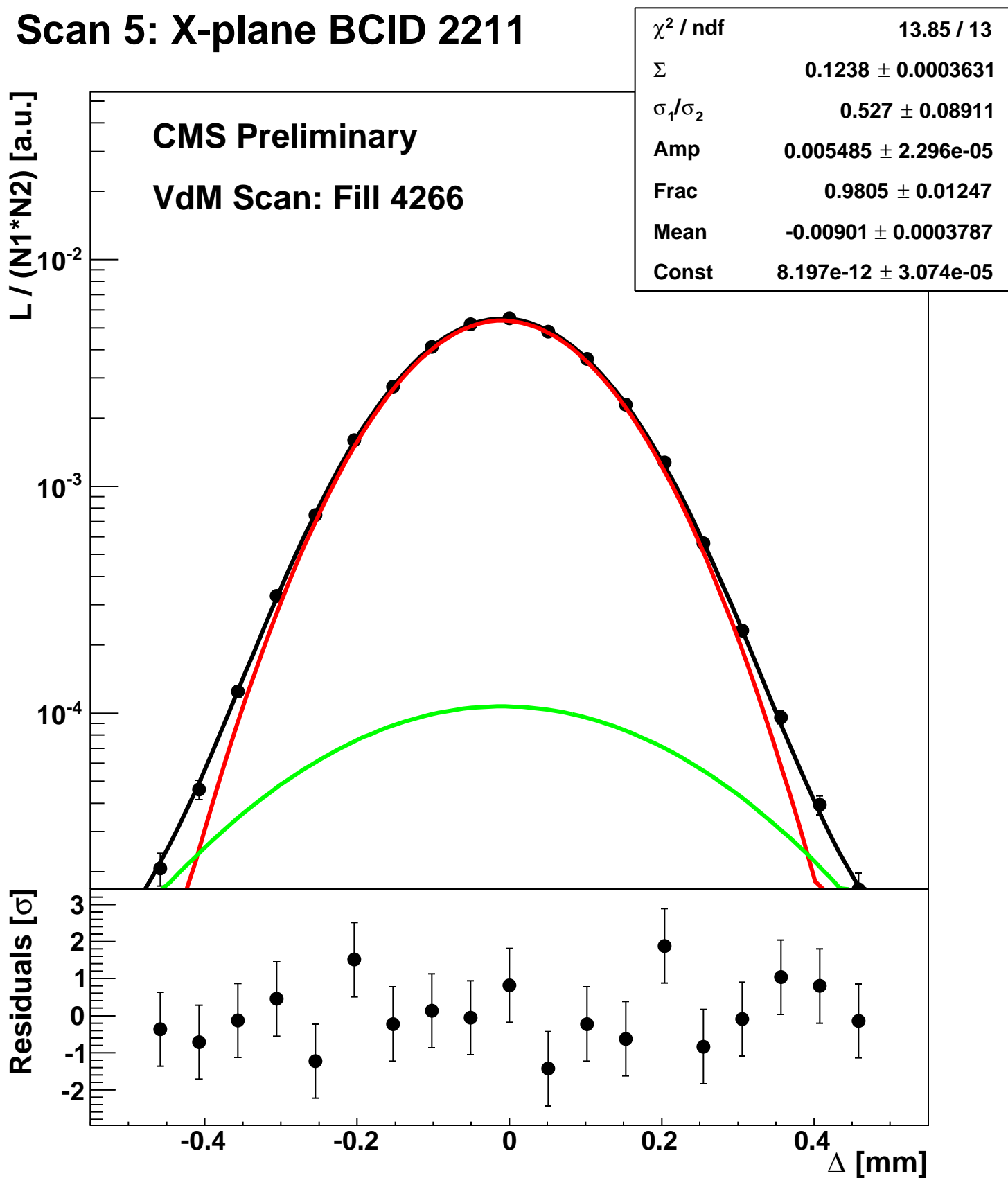
Scan 5: X-plane BCID 1871



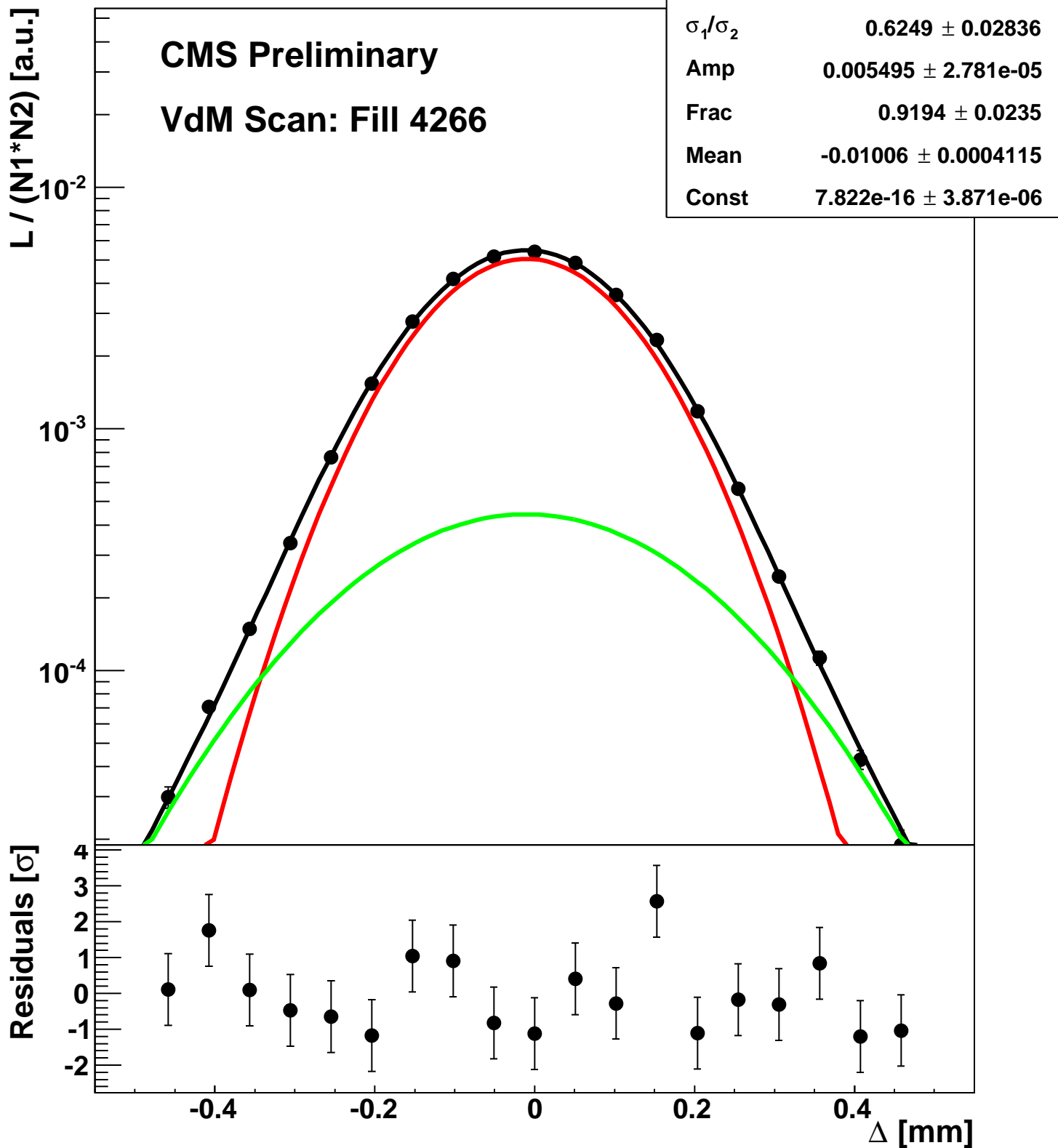
Scan 5: X-plane BCID 211



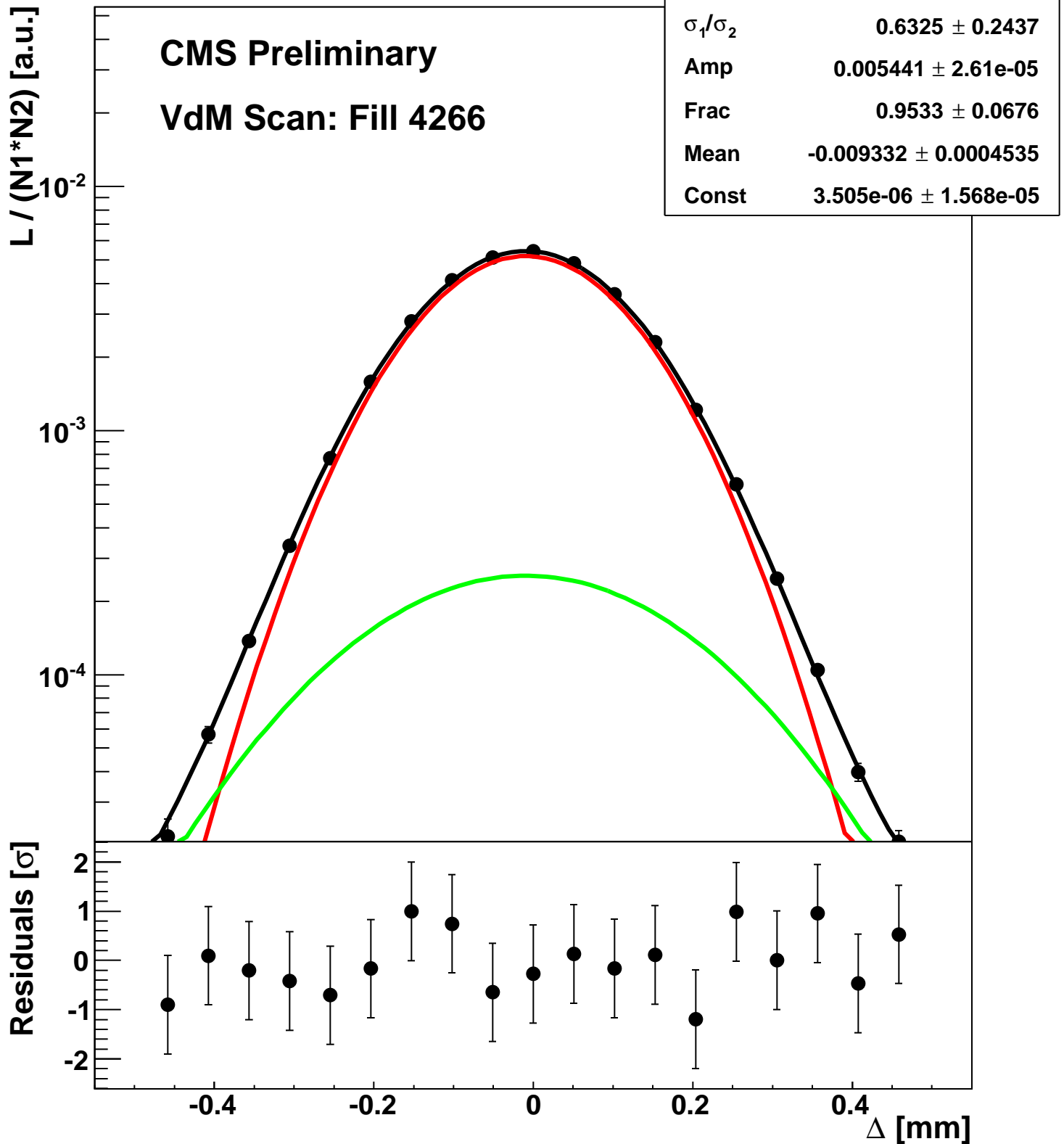
Scan 5: X-plane BCID 2211



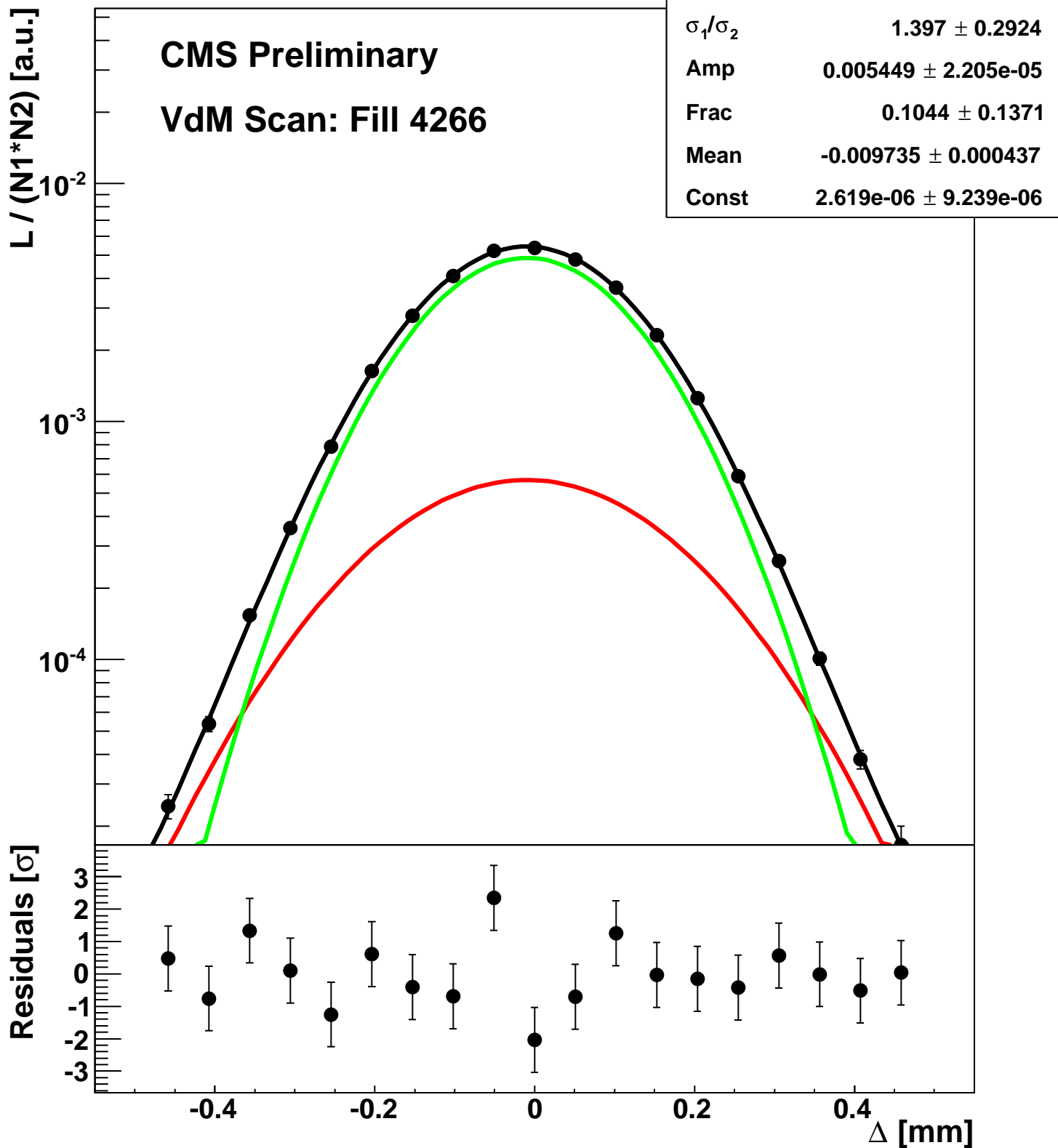
Scan 5: X-plane BCID 2251



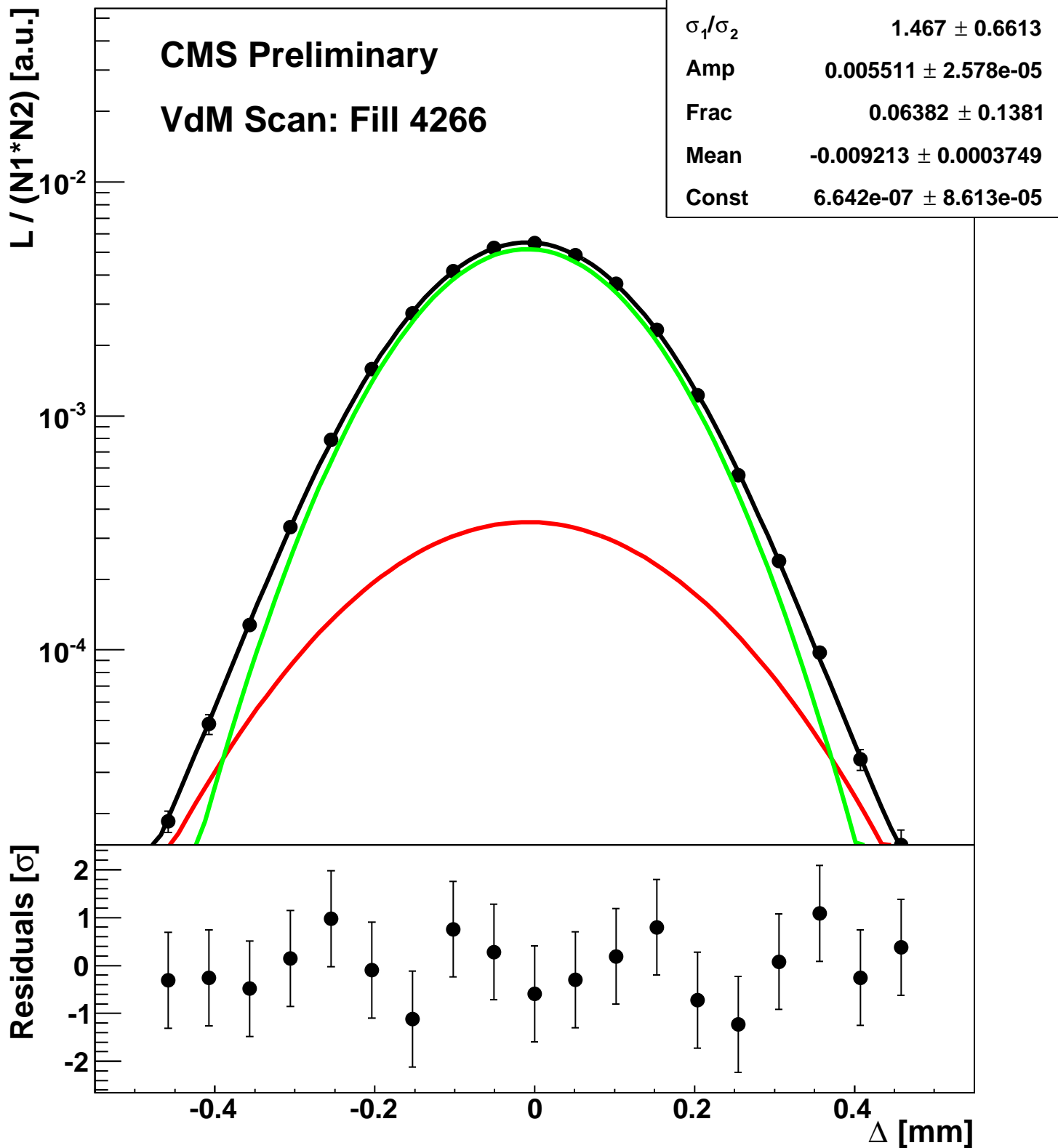
Scan 5: X-plane BCID 2291



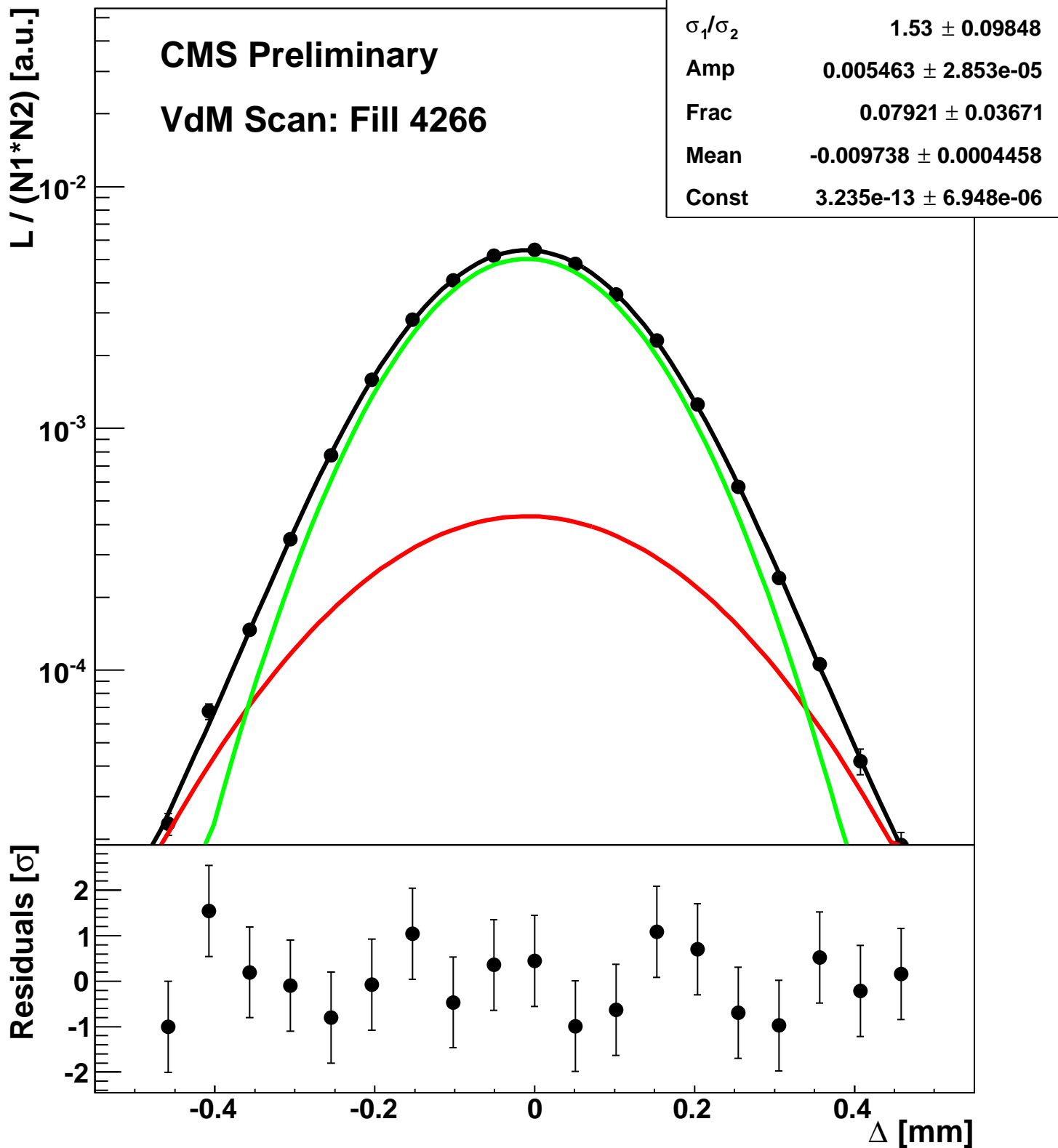
Scan 5: X-plane BCID 2331



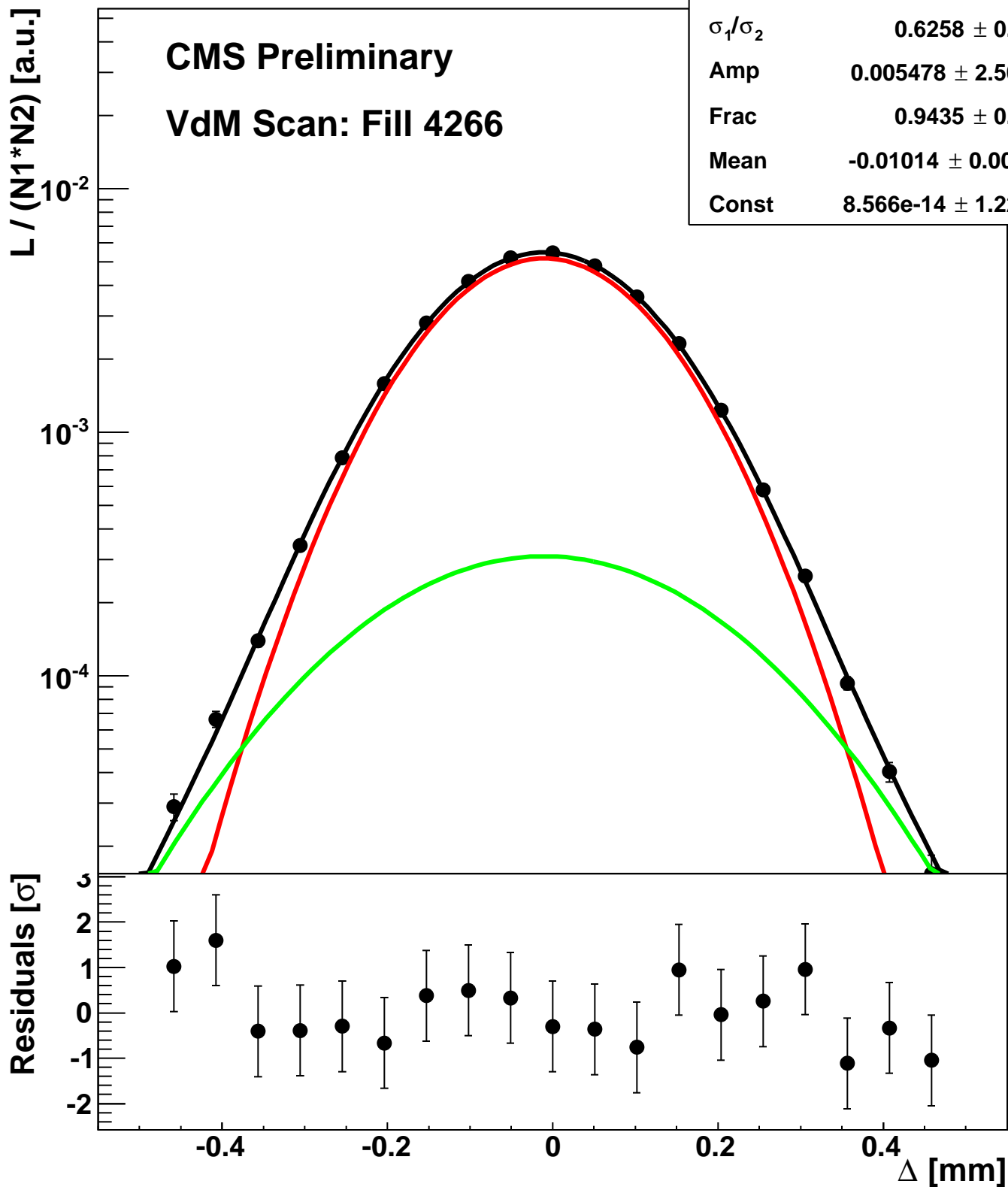
Scan 5: X-plane BCID 2371



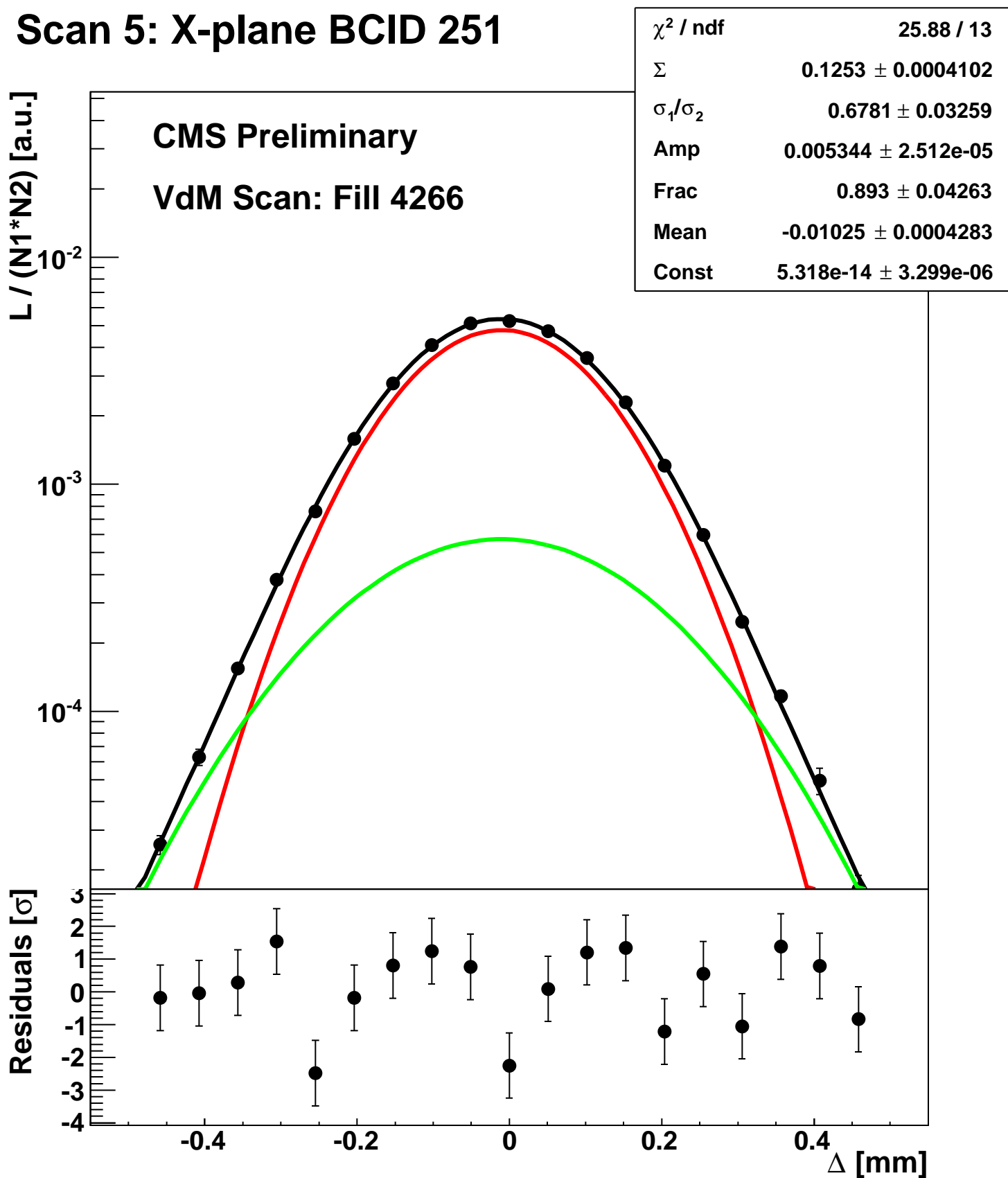
Scan 5: X-plane BCID 2411



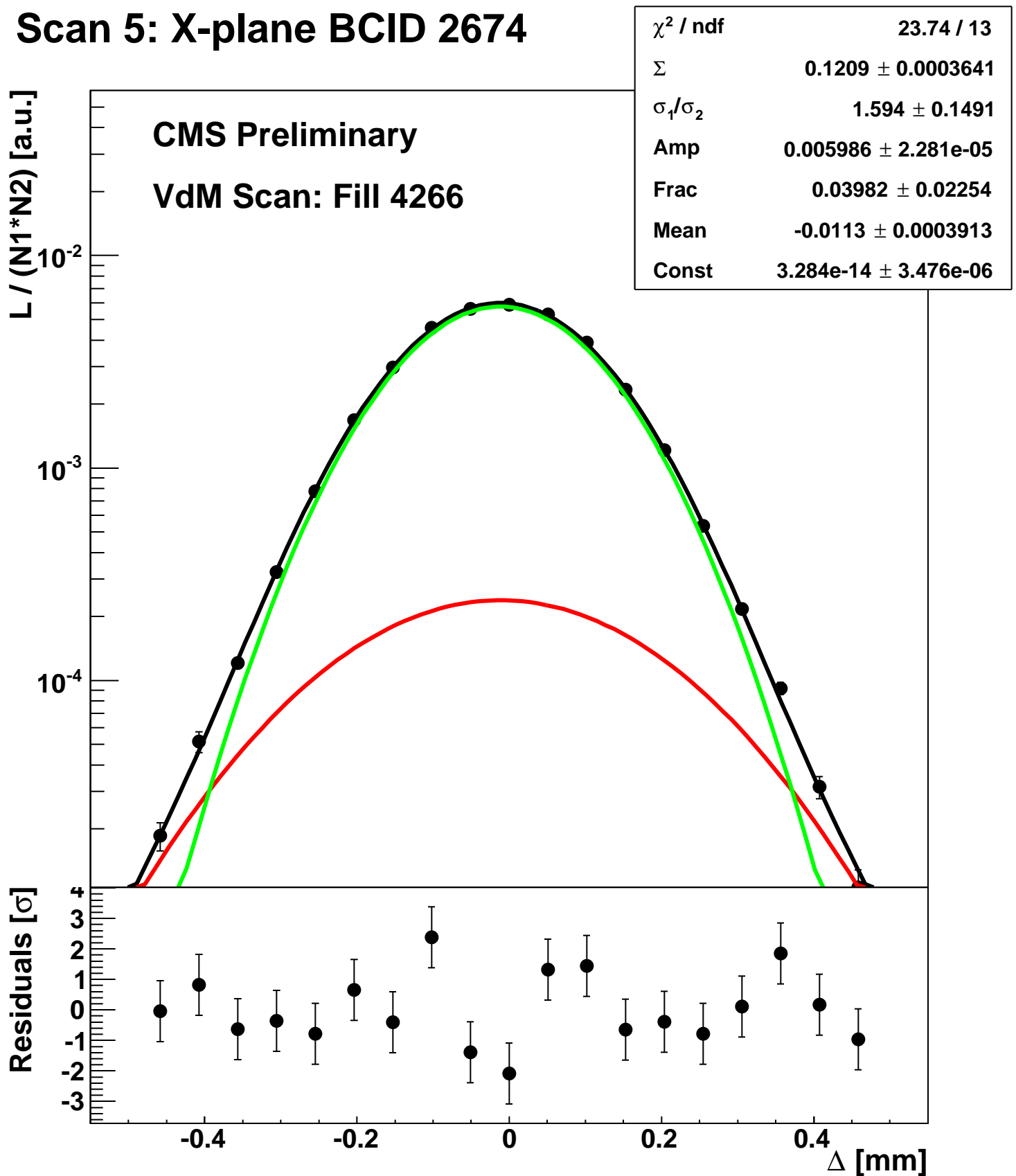
Scan 5: X-plane BCID 2451



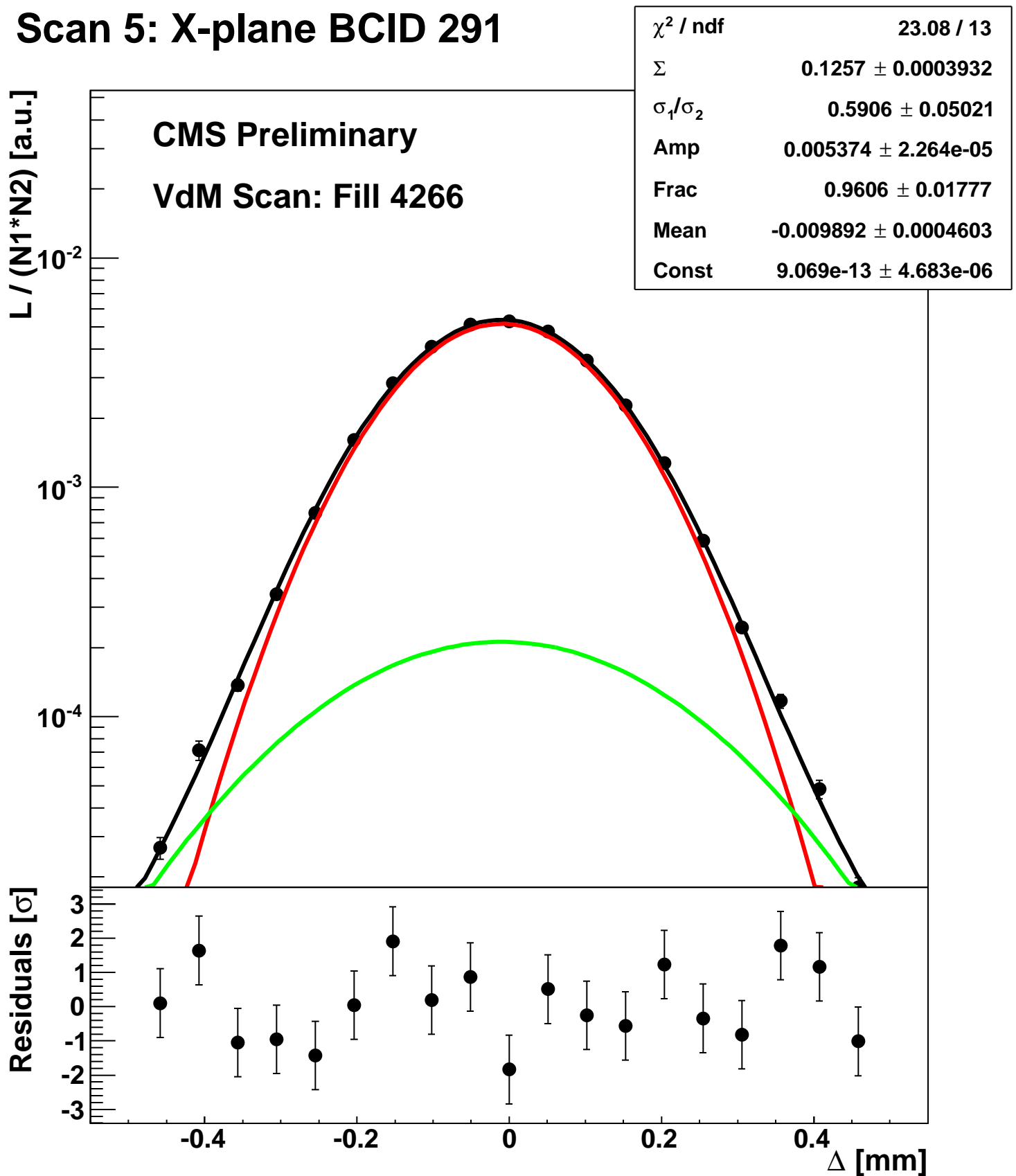
Scan 5: X-plane BCID 251



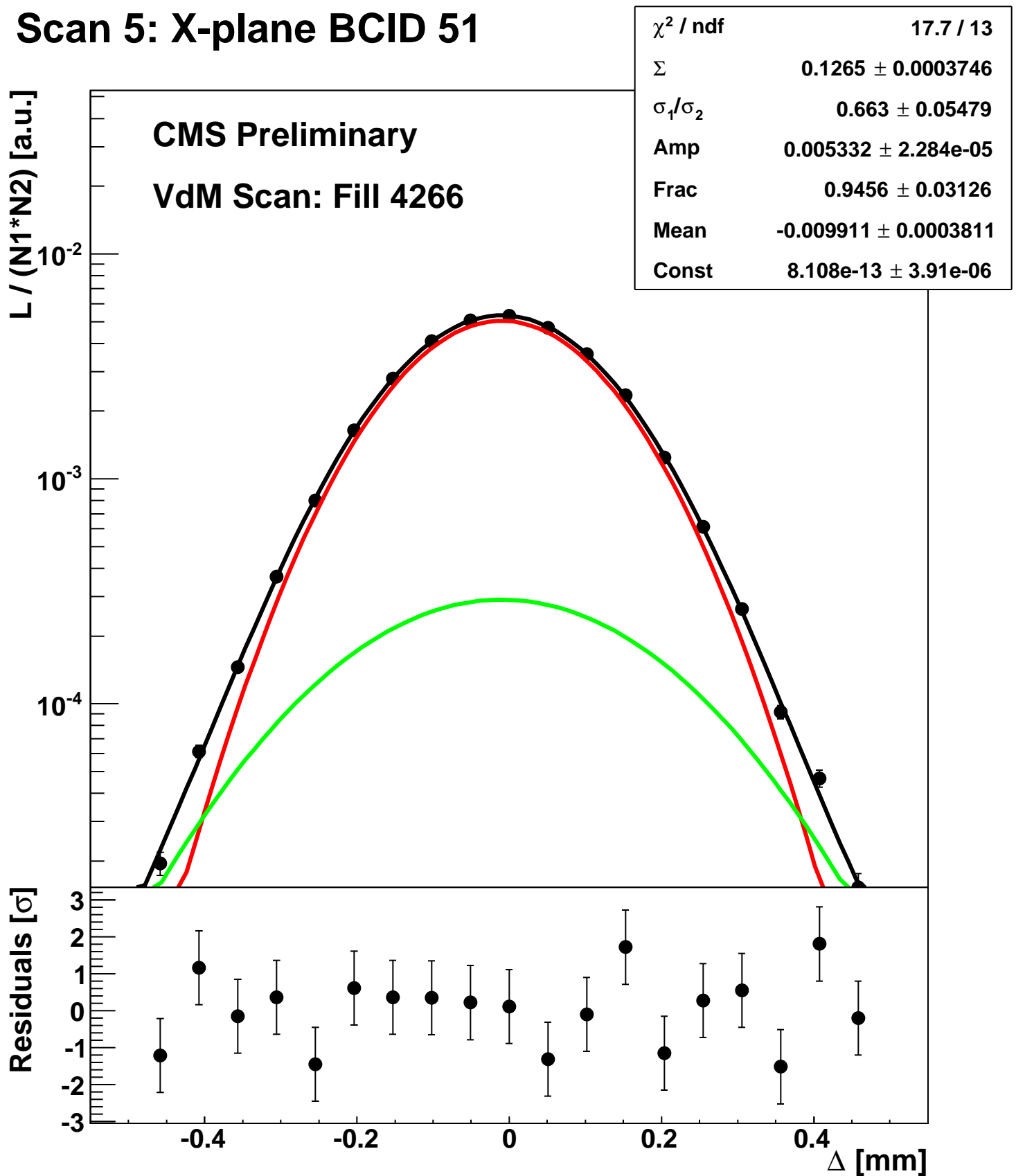
Scan 5: X-plane BCID 2674



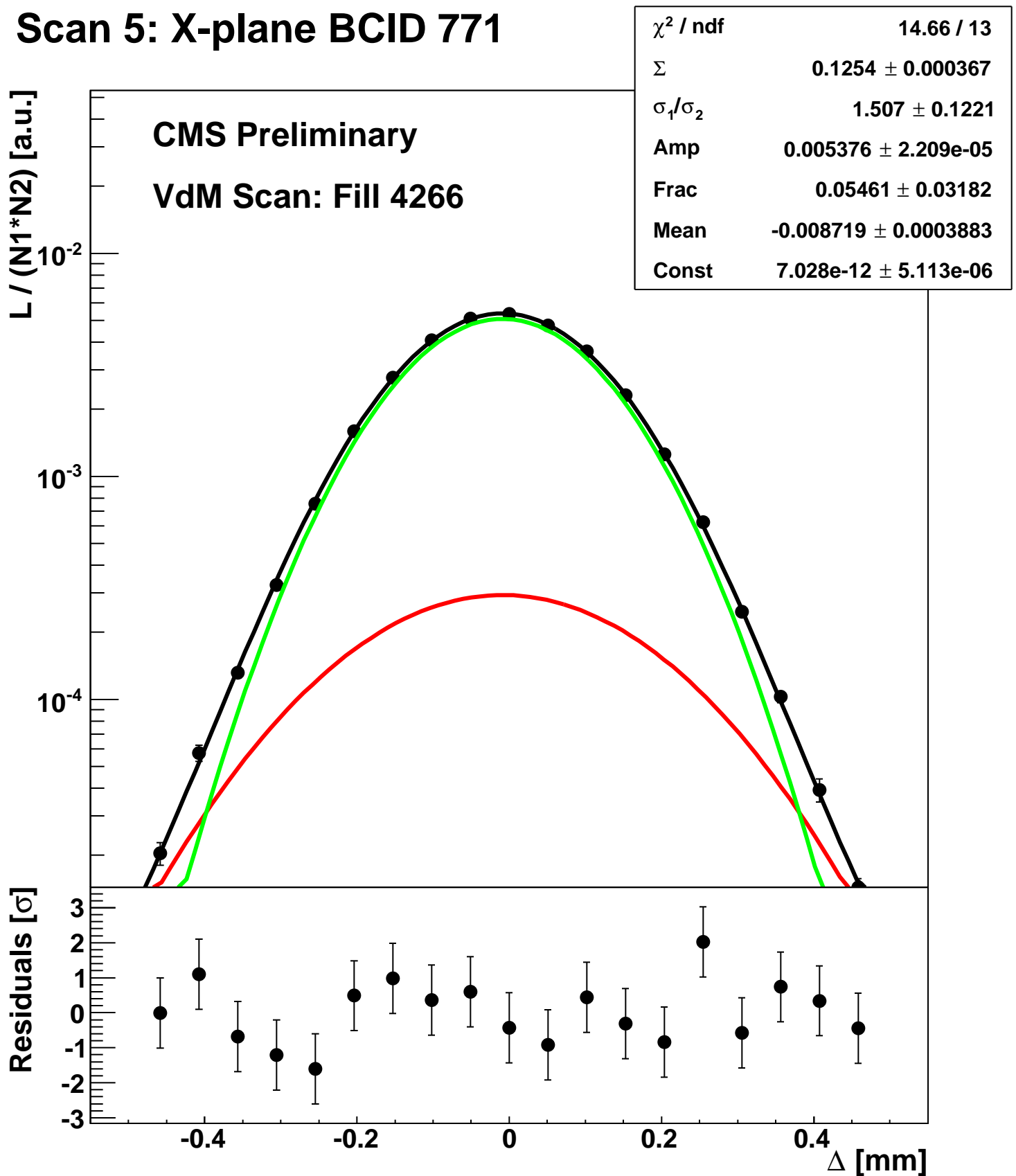
Scan 5: X-plane BCID 291



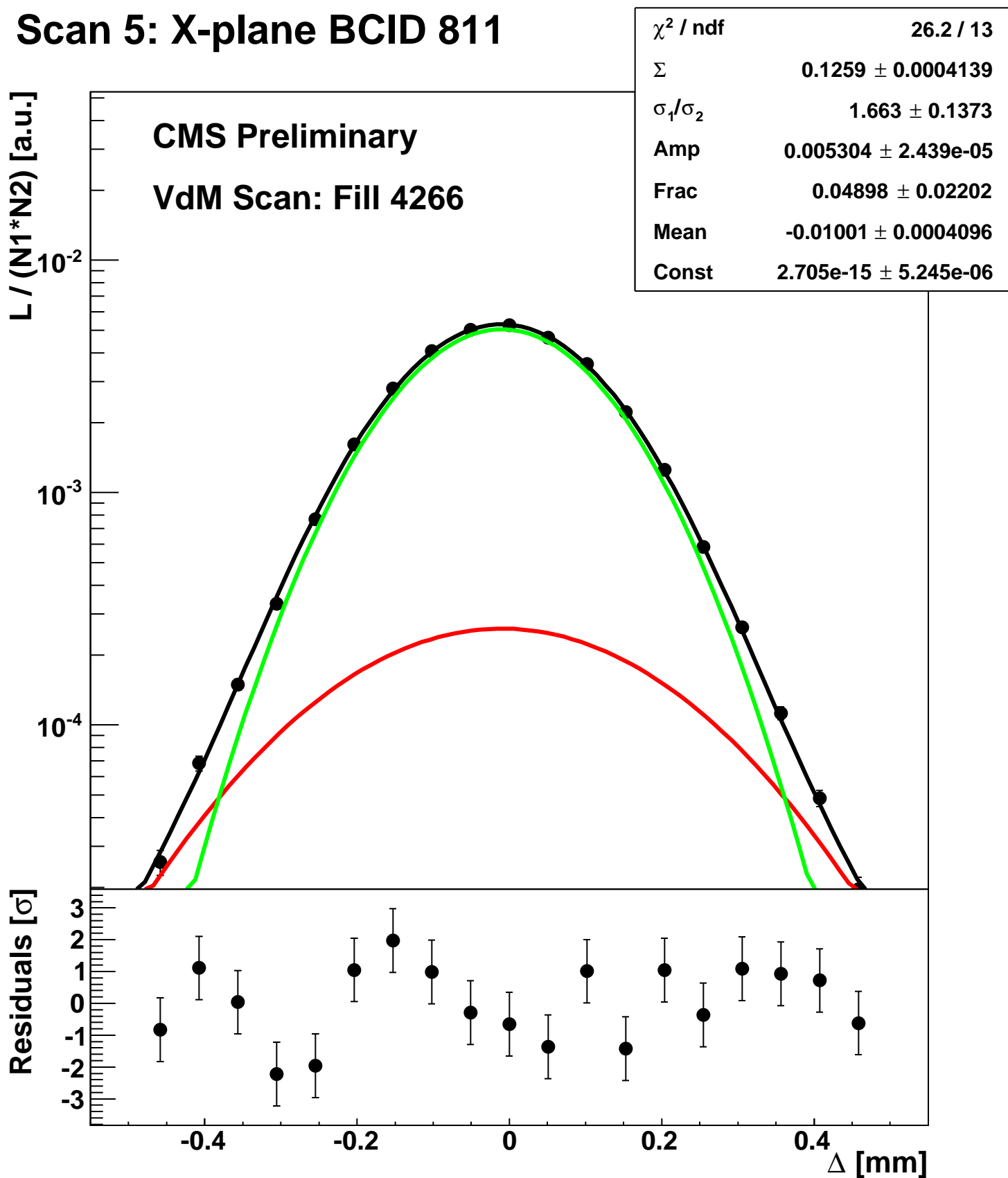
Scan 5: X-plane BCID 51



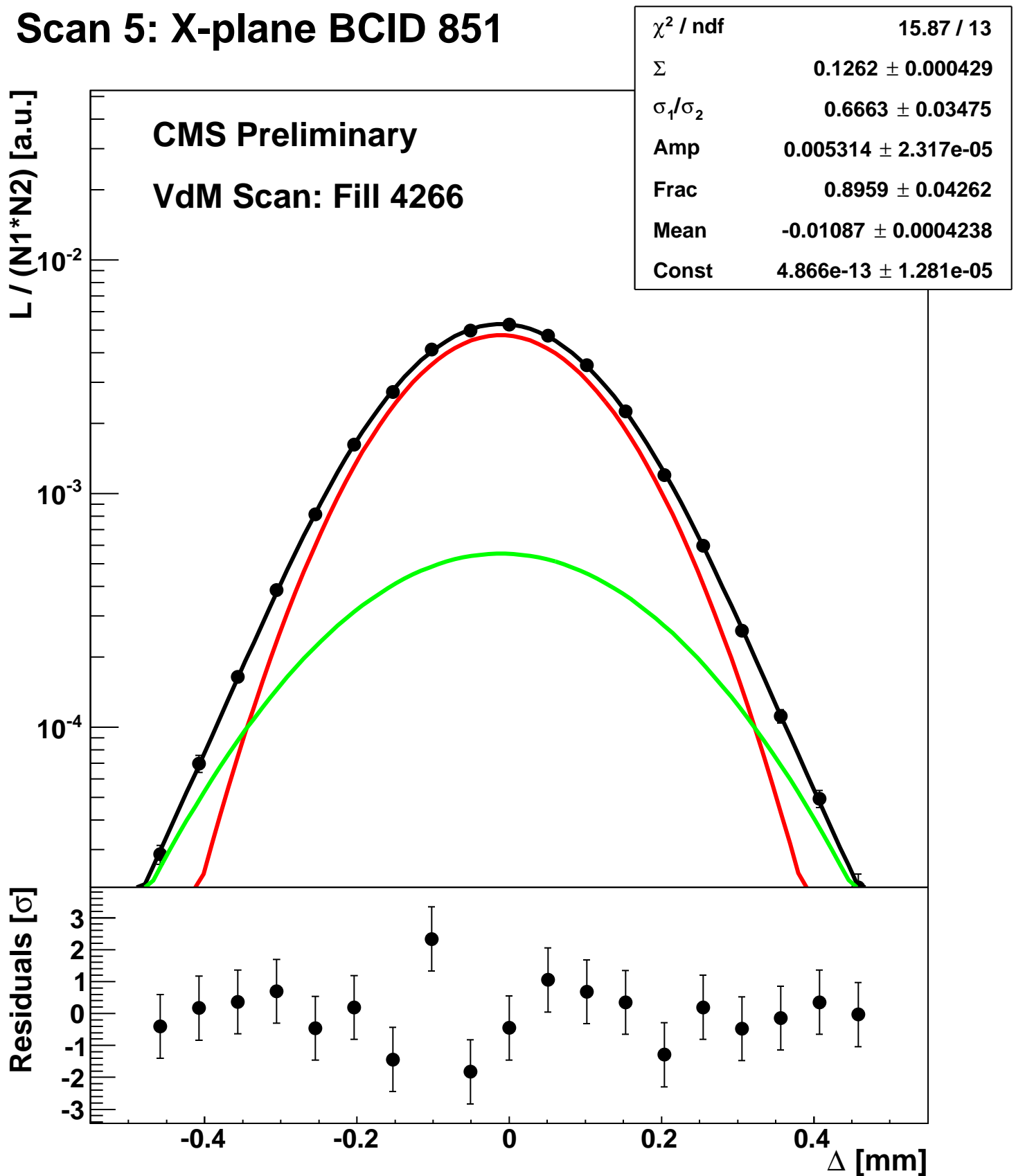
Scan 5: X-plane BCID 771



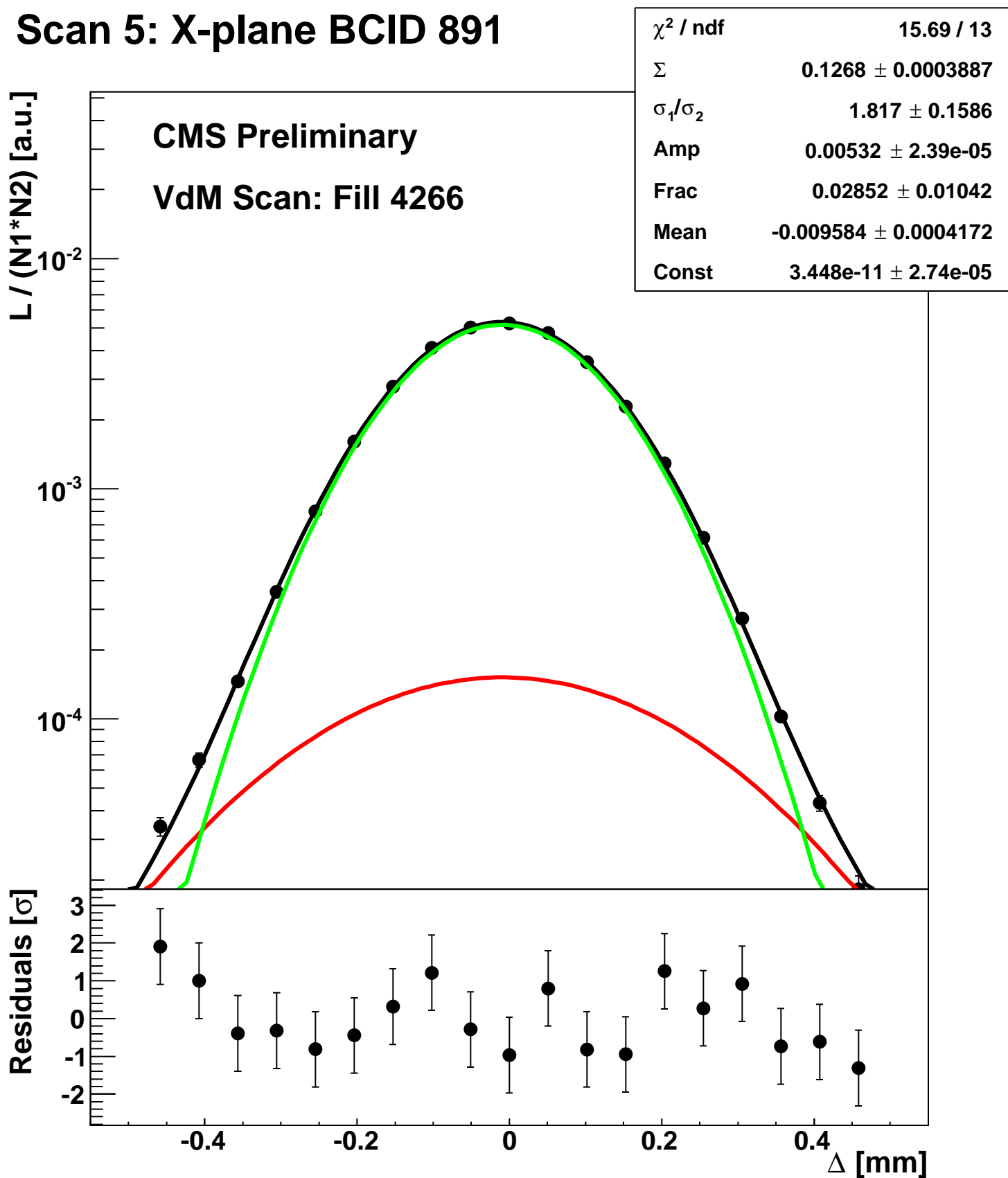
Scan 5: X-plane BCID 811



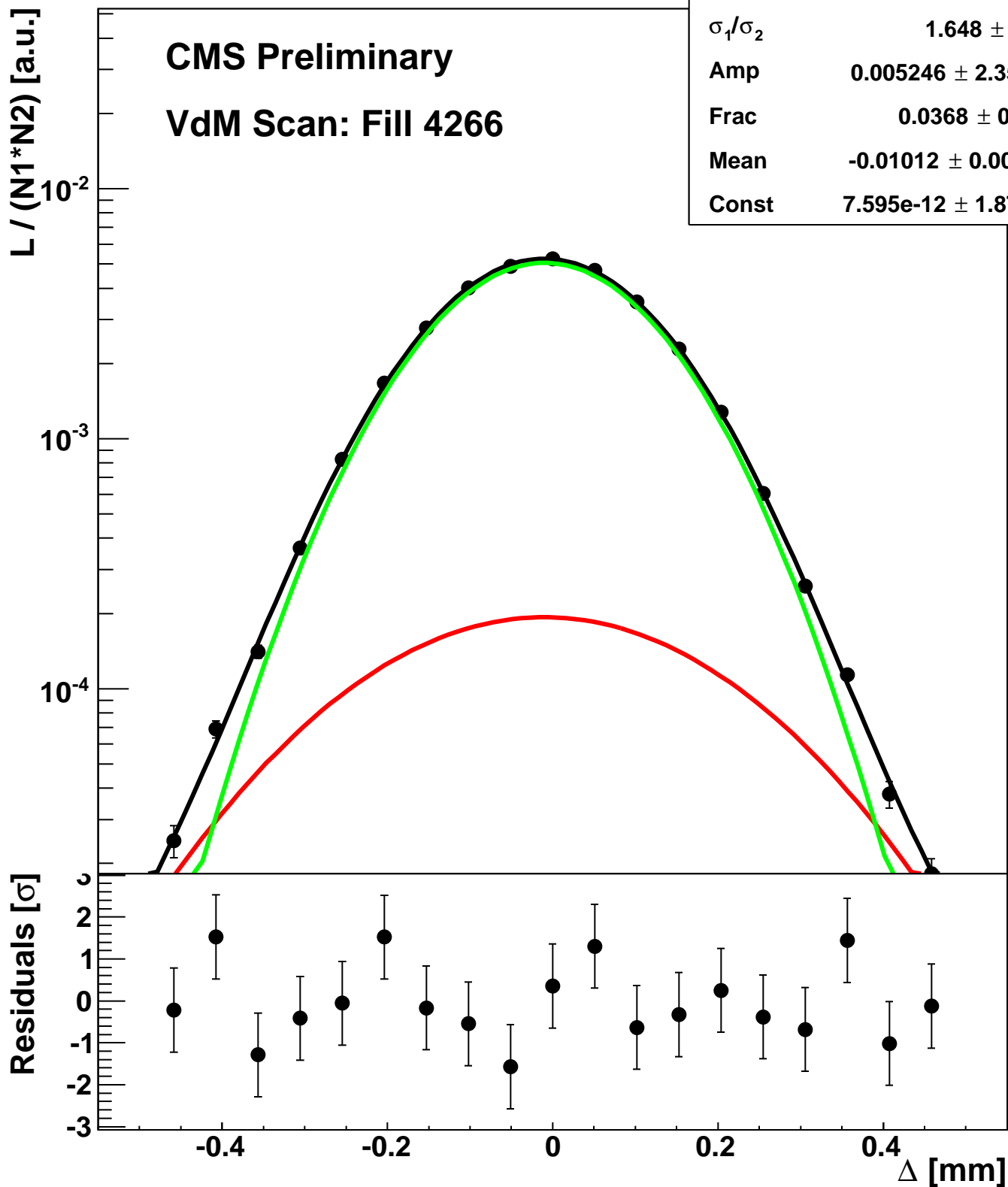
Scan 5: X-plane BCID 851



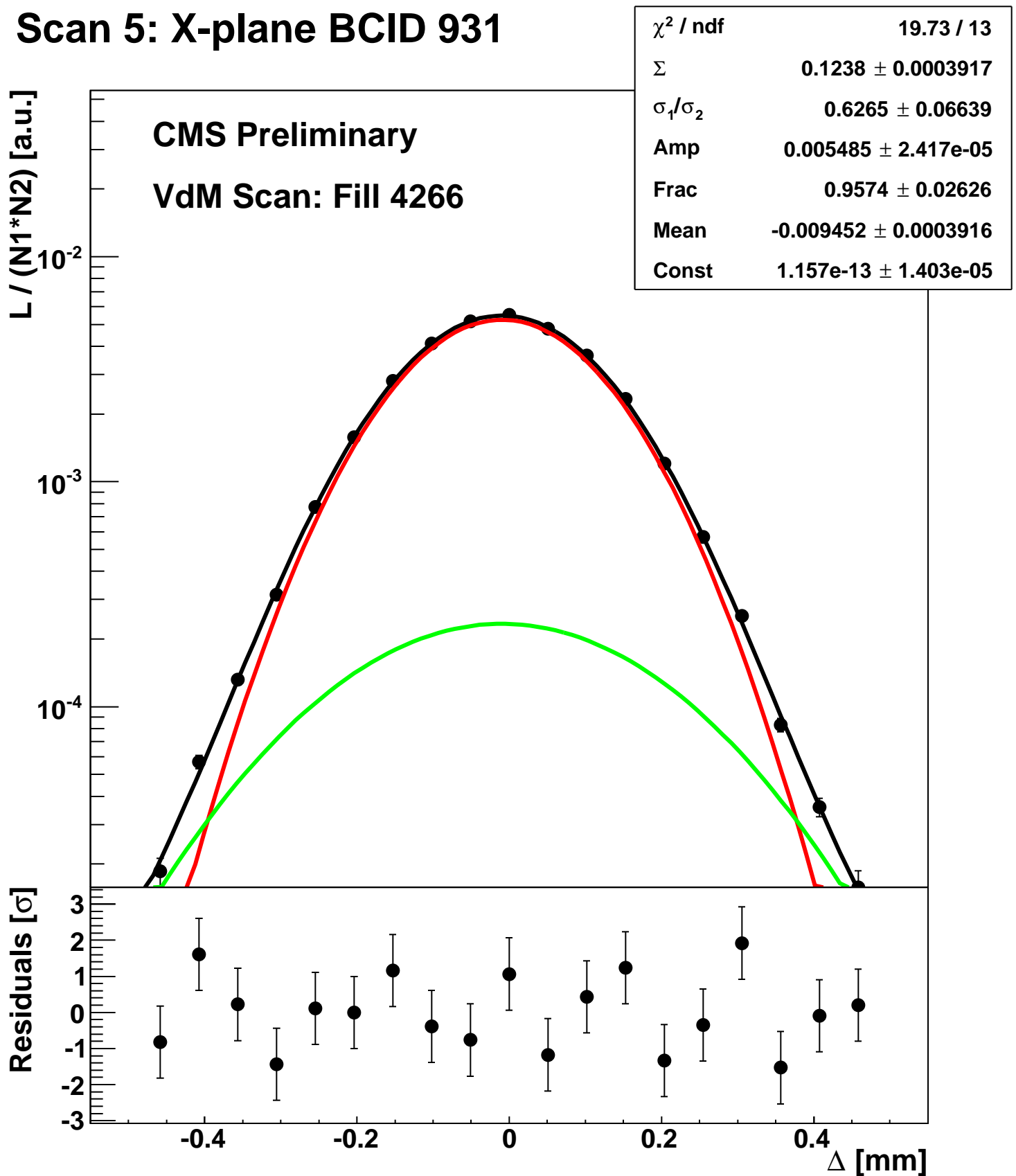
Scan 5: X-plane BCID 891



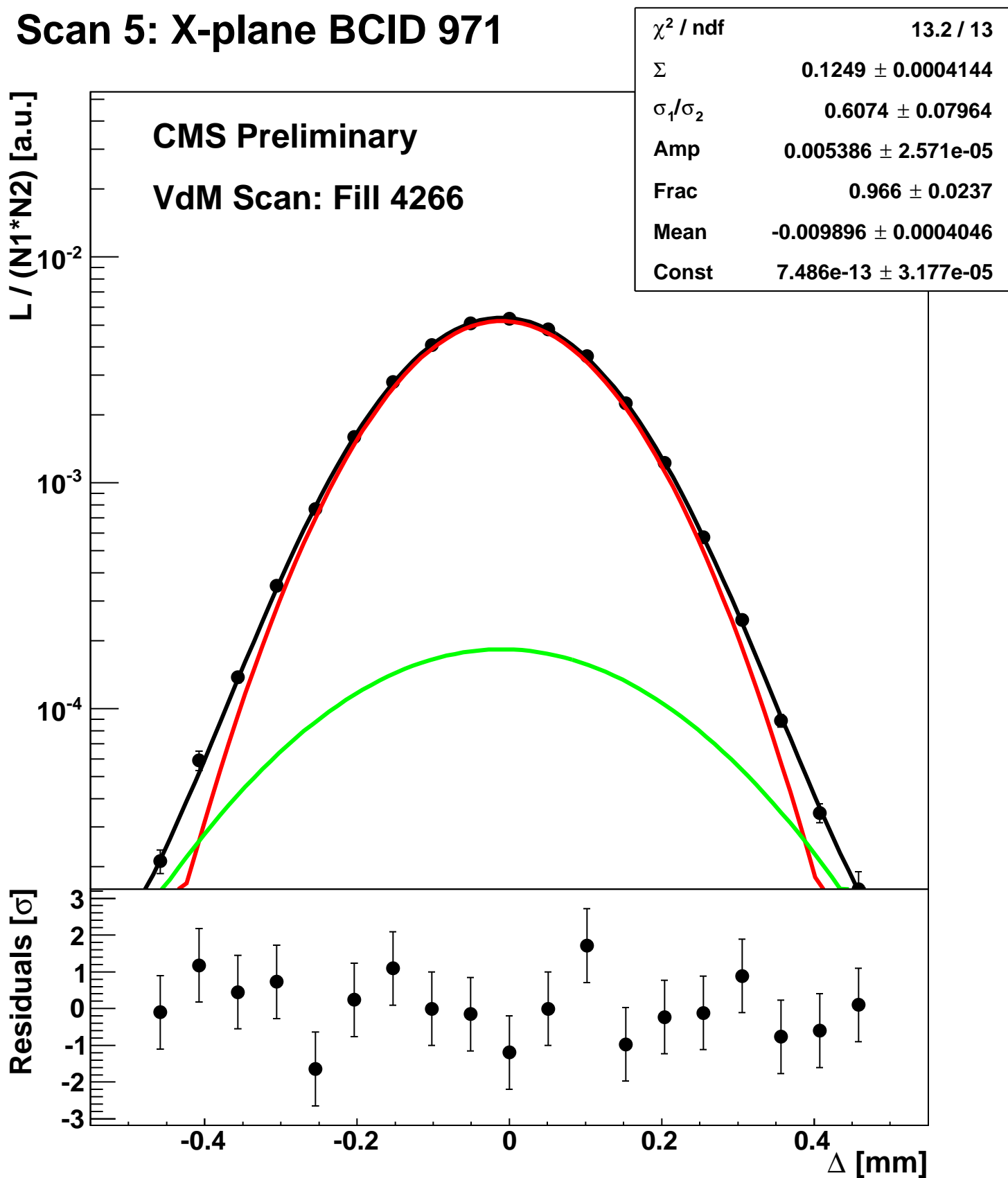
Scan 5: X-plane BCID 91



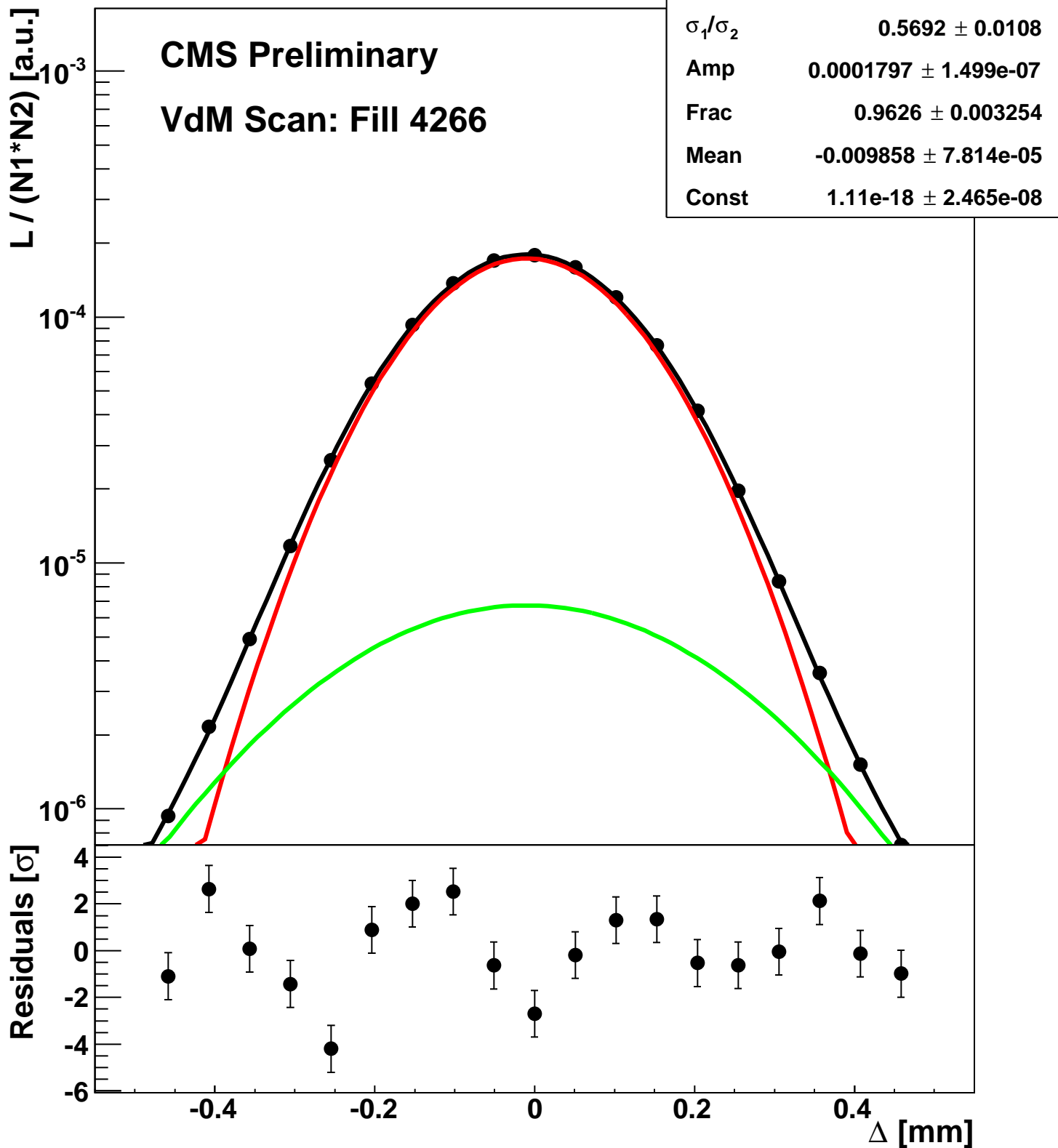
Scan 5: X-plane BCID 931



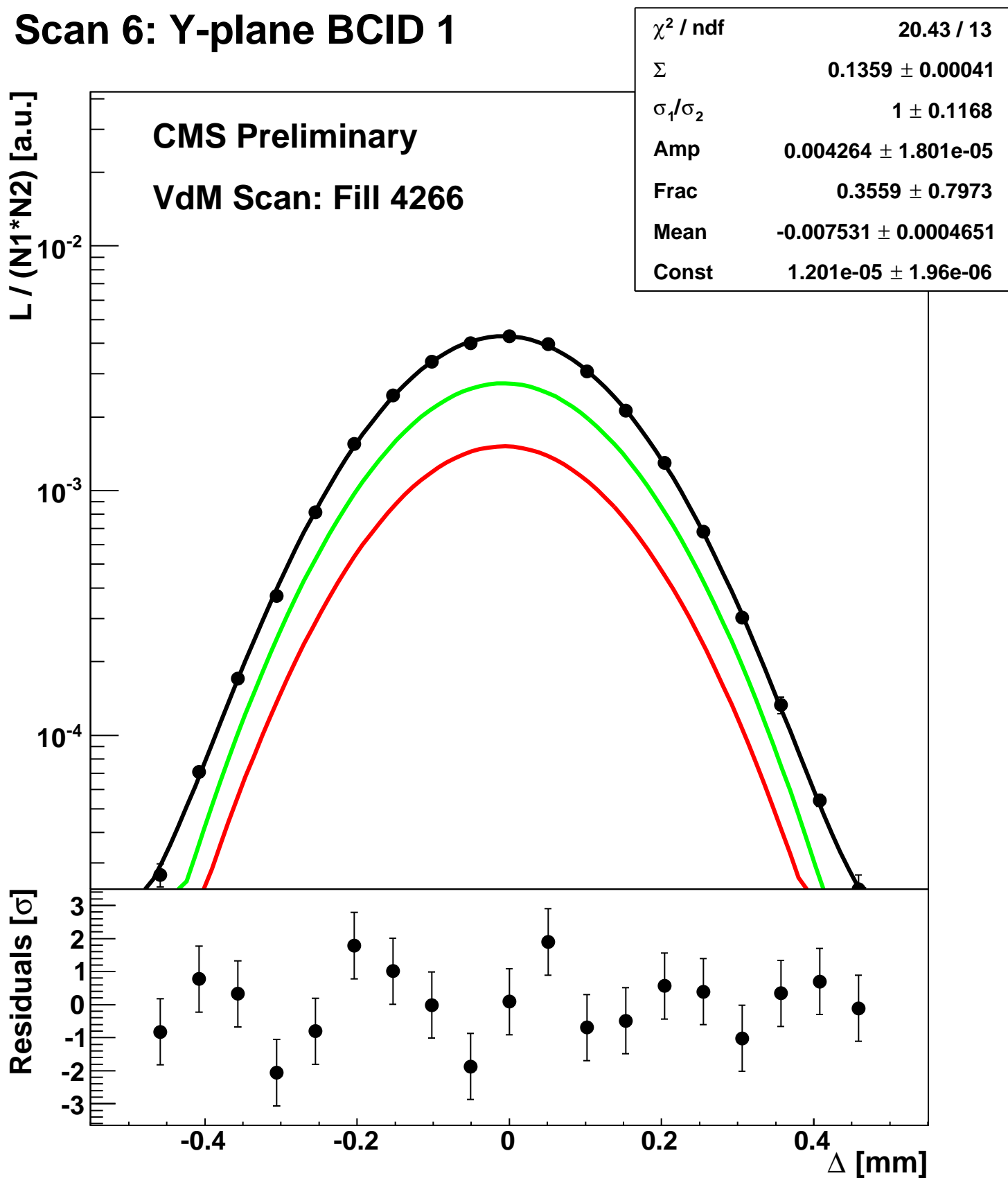
Scan 5: X-plane BCID 971



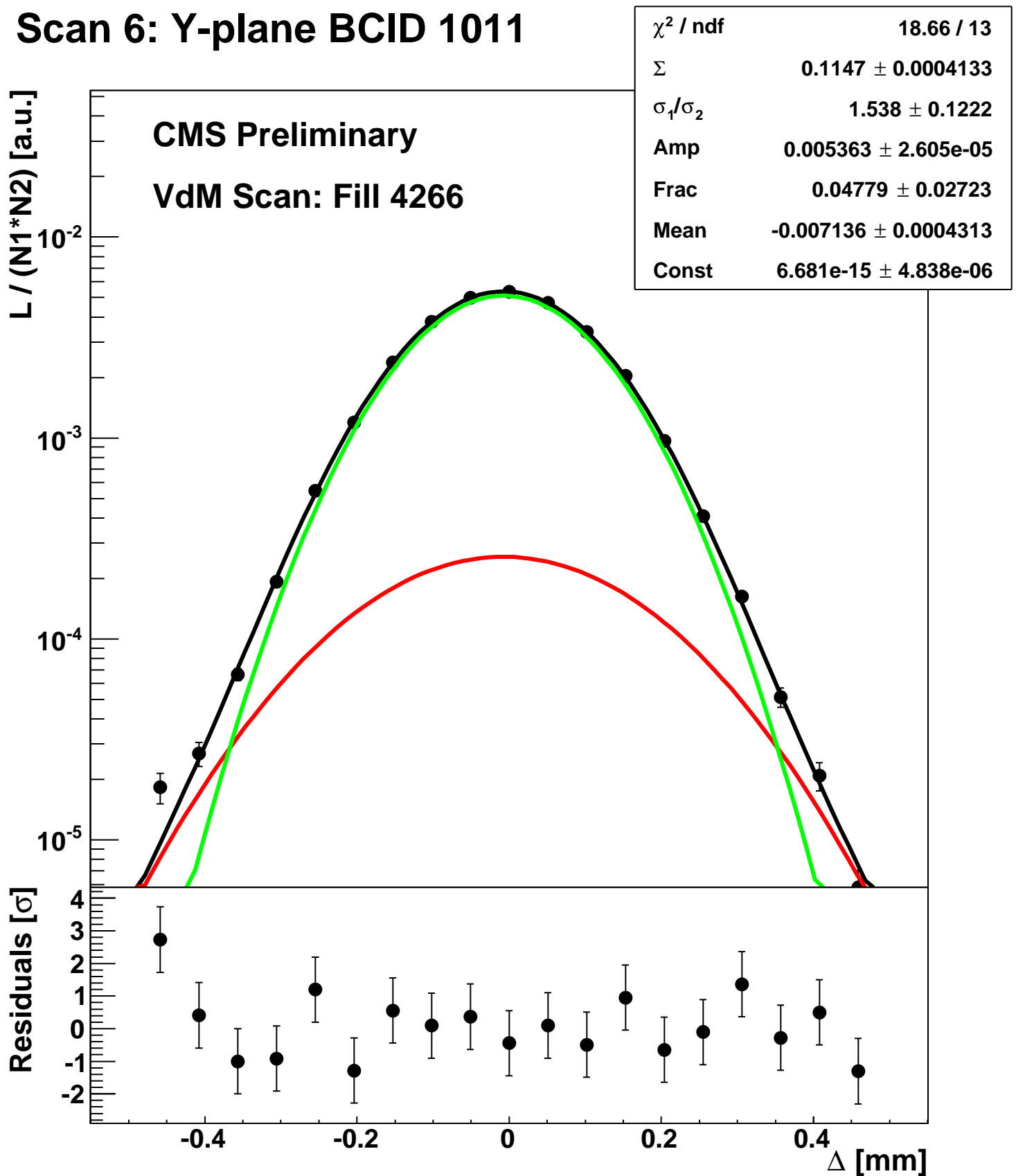
Scan 5: X-plane BCID sum



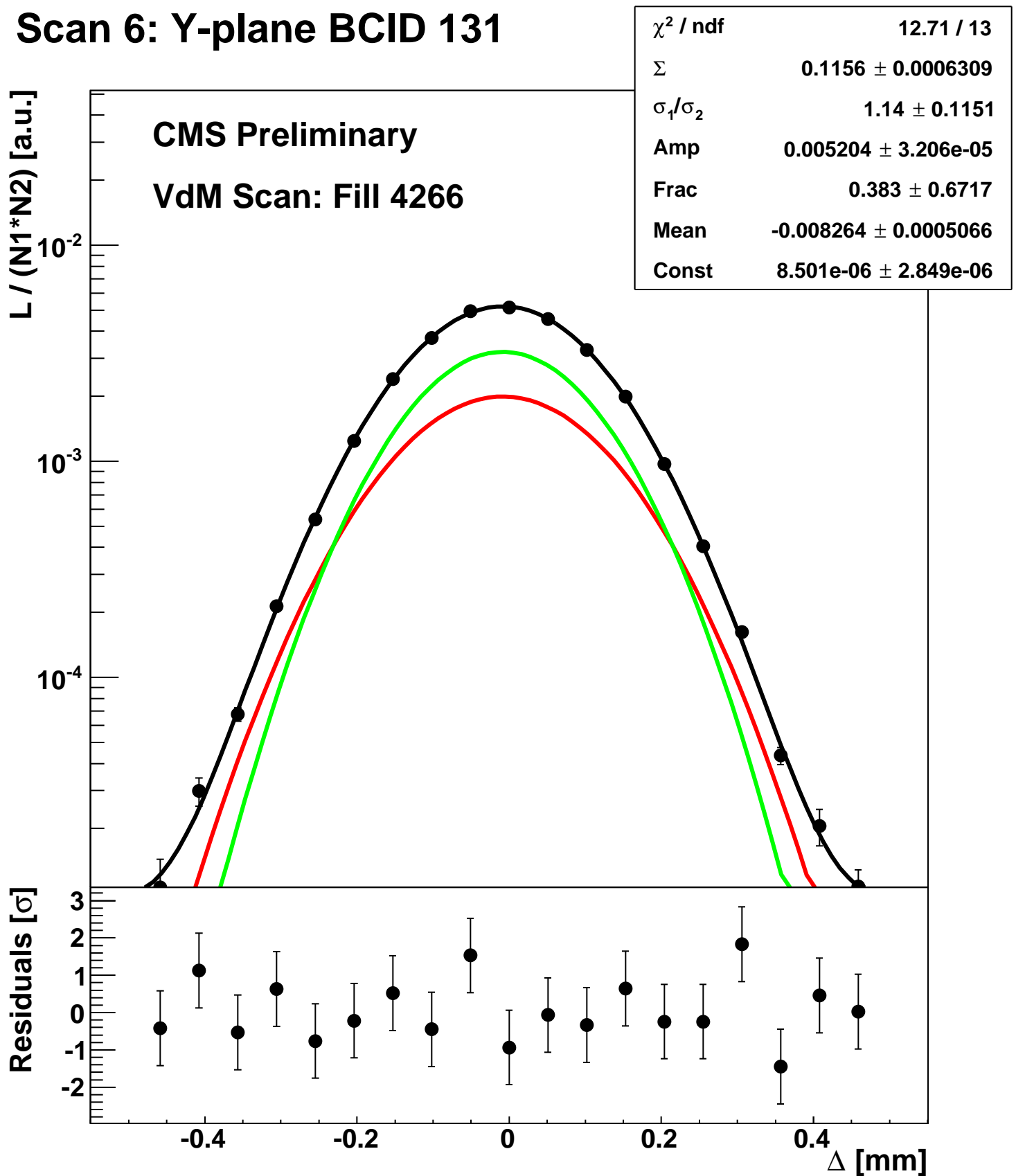
Scan 6: Y-plane BCID 1



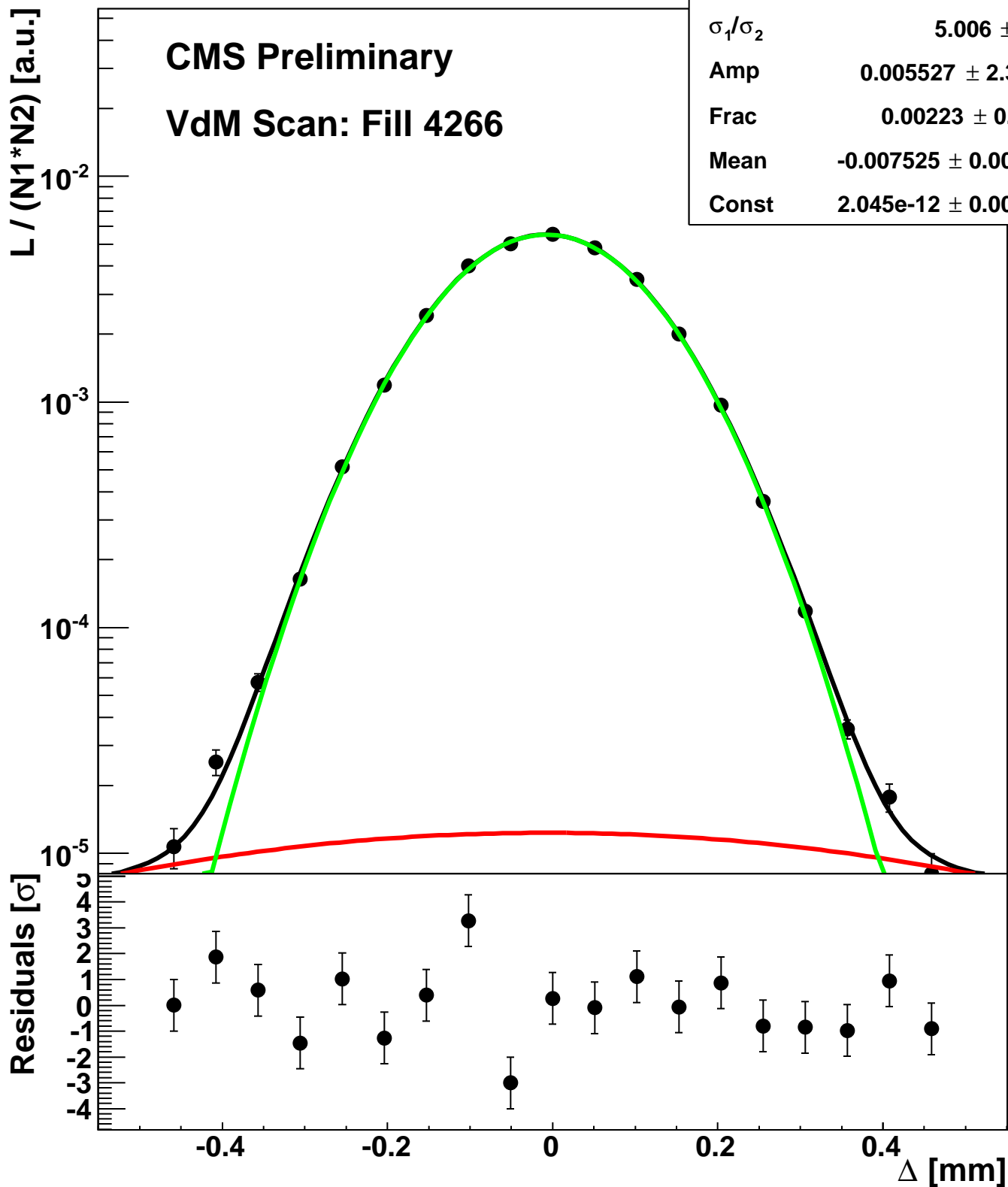
Scan 6: Y-plane BCID 1011



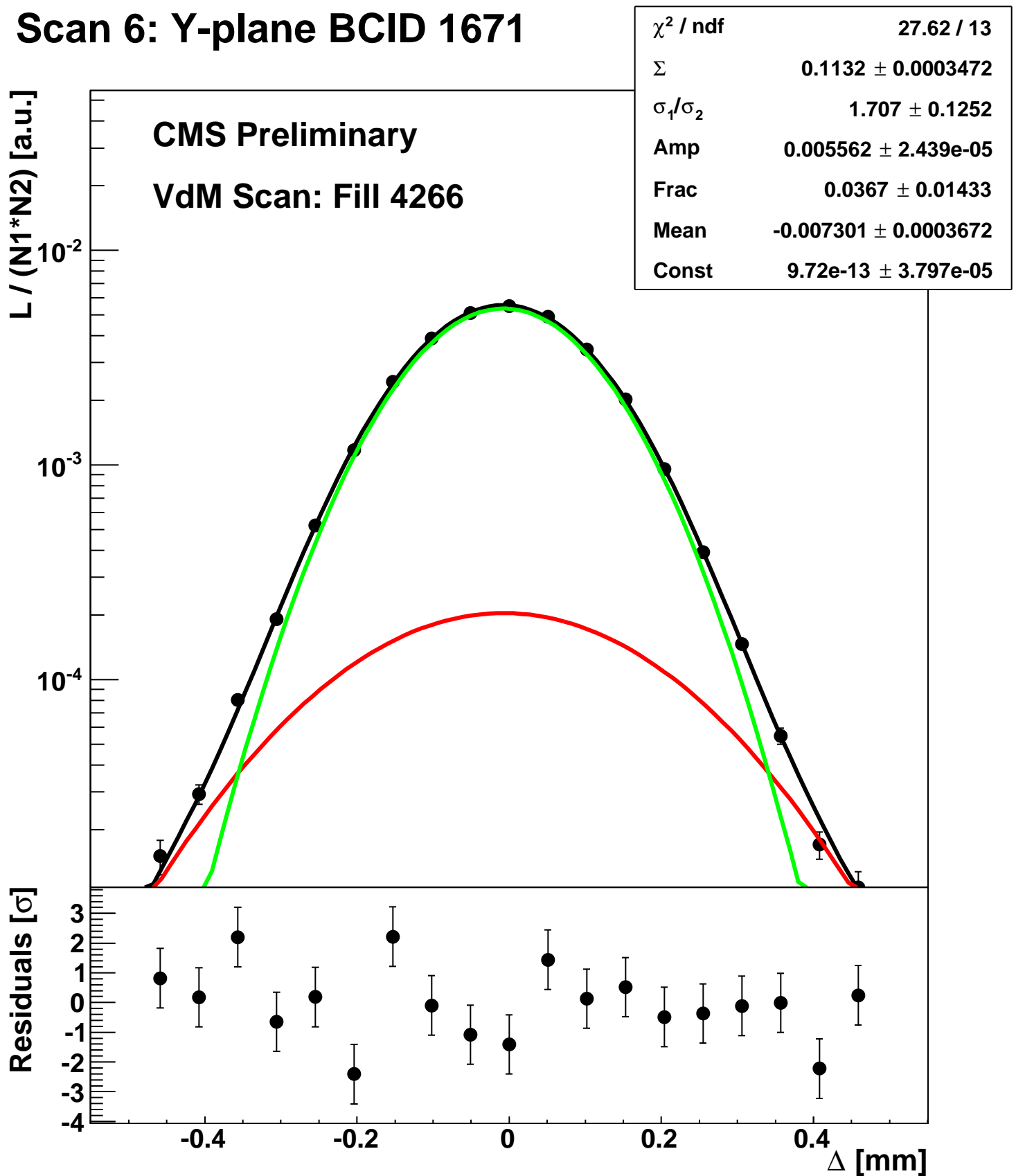
Scan 6: Y-plane BCID 131



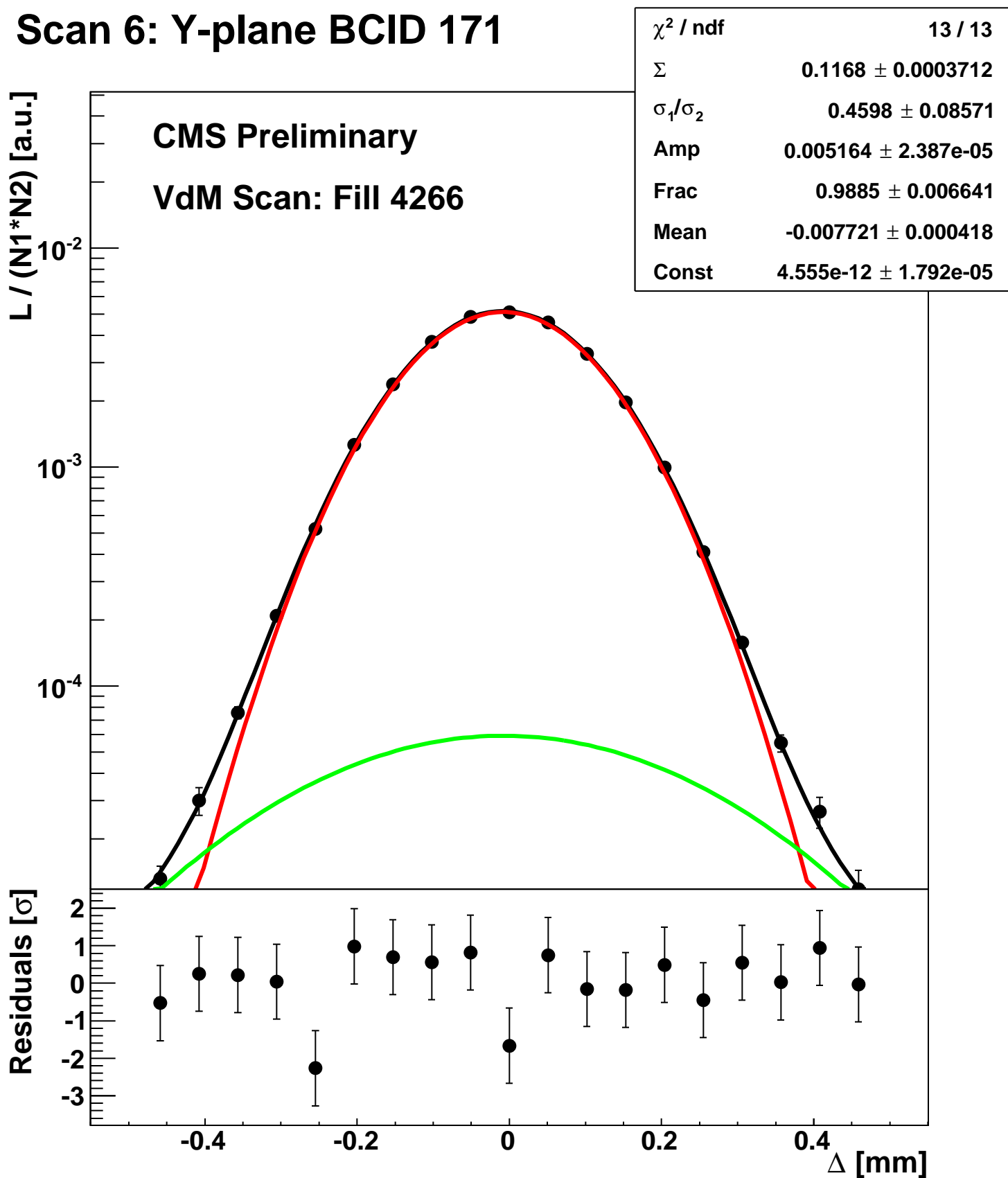
Scan 6: Y-plane BCID 1631



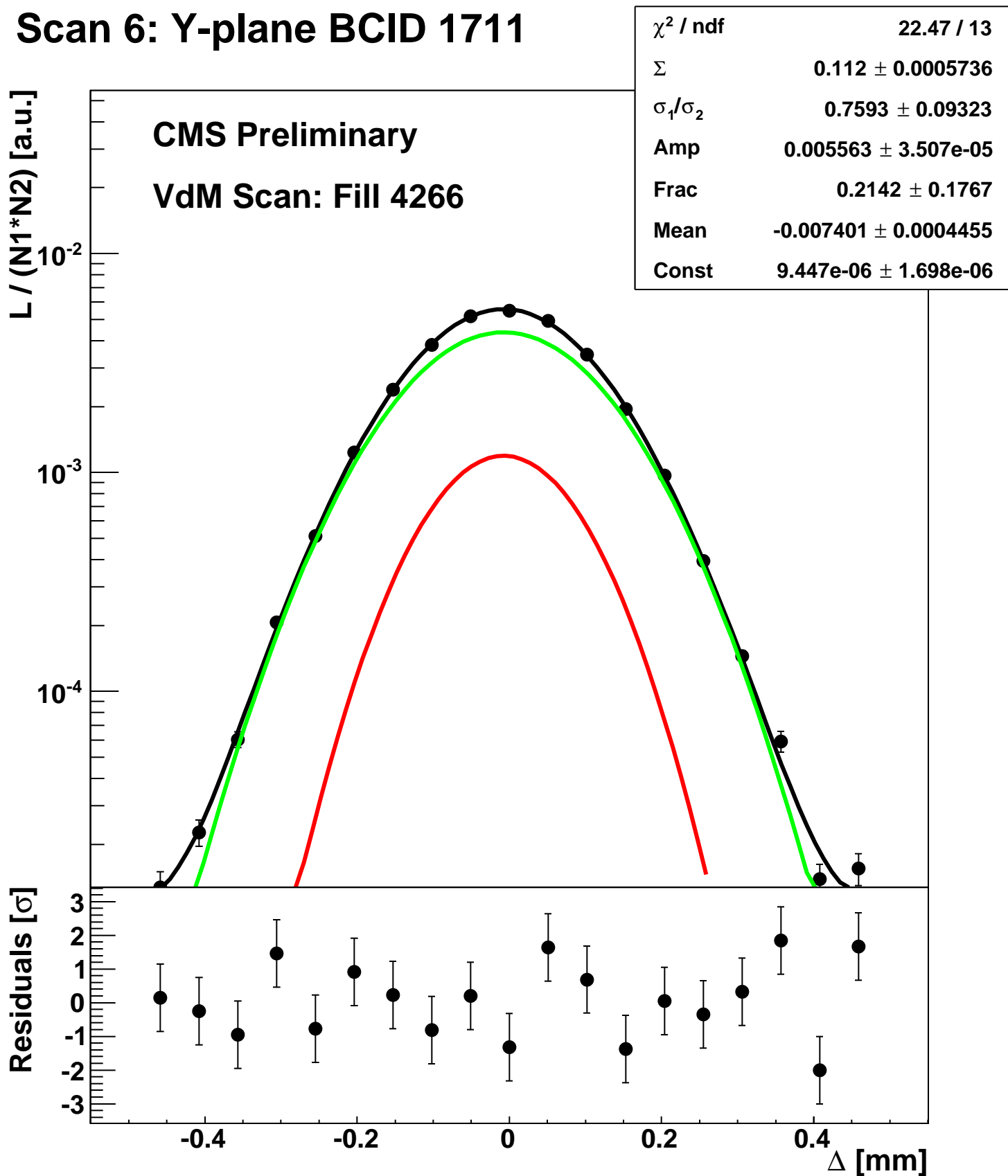
Scan 6: Y-plane BCID 1671



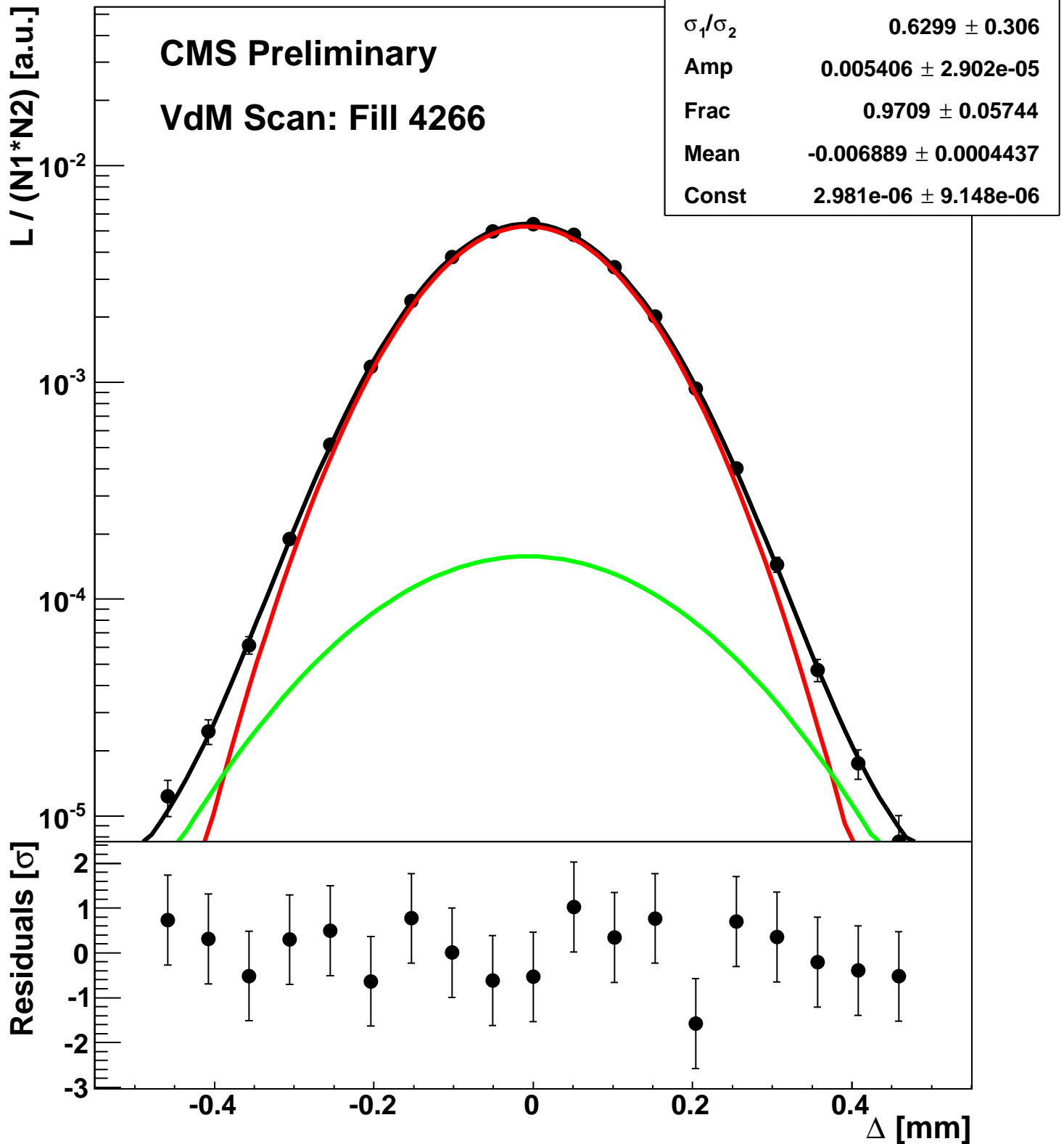
Scan 6: Y-plane BCID 171



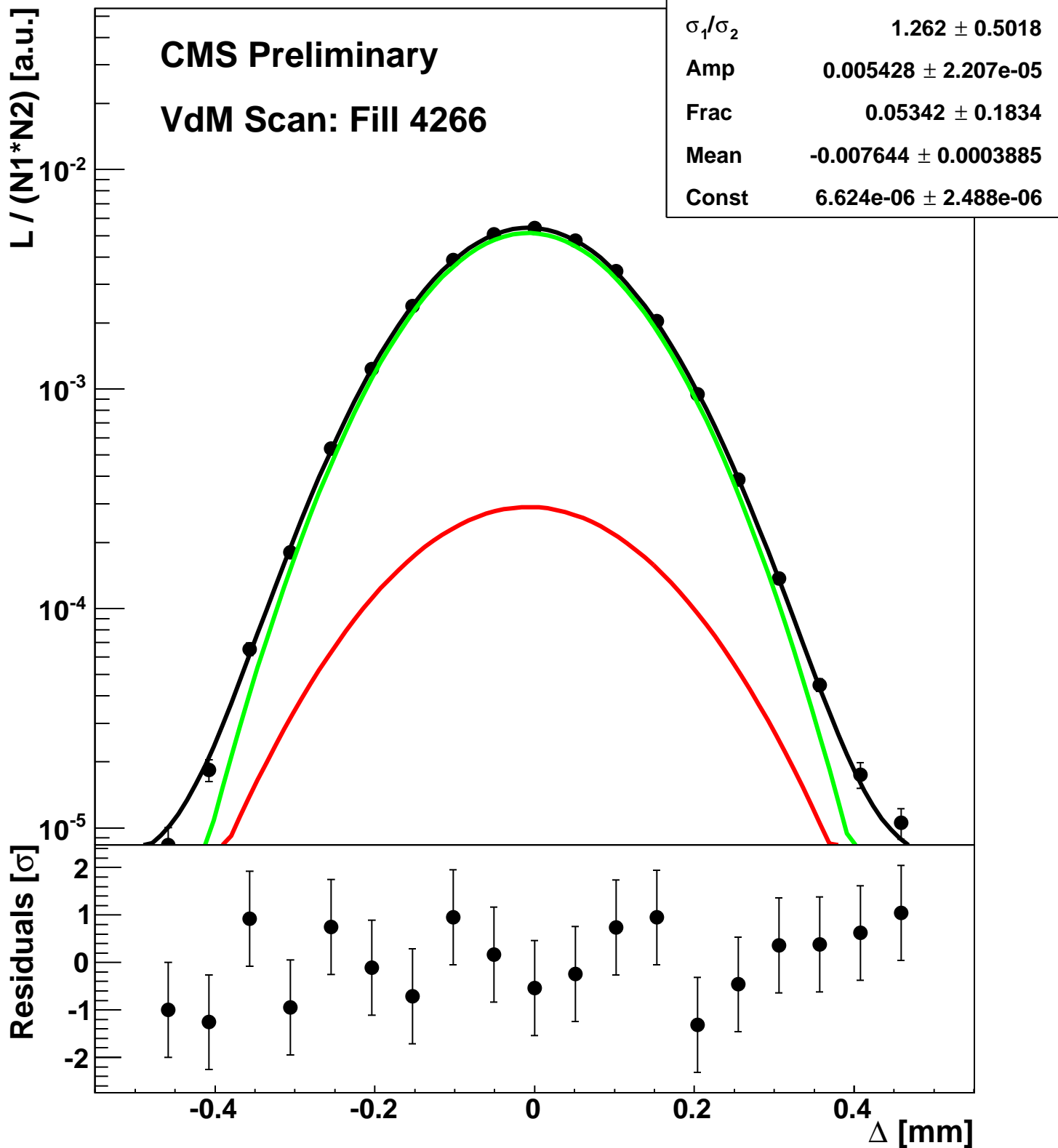
Scan 6: Y-plane BCID 1711



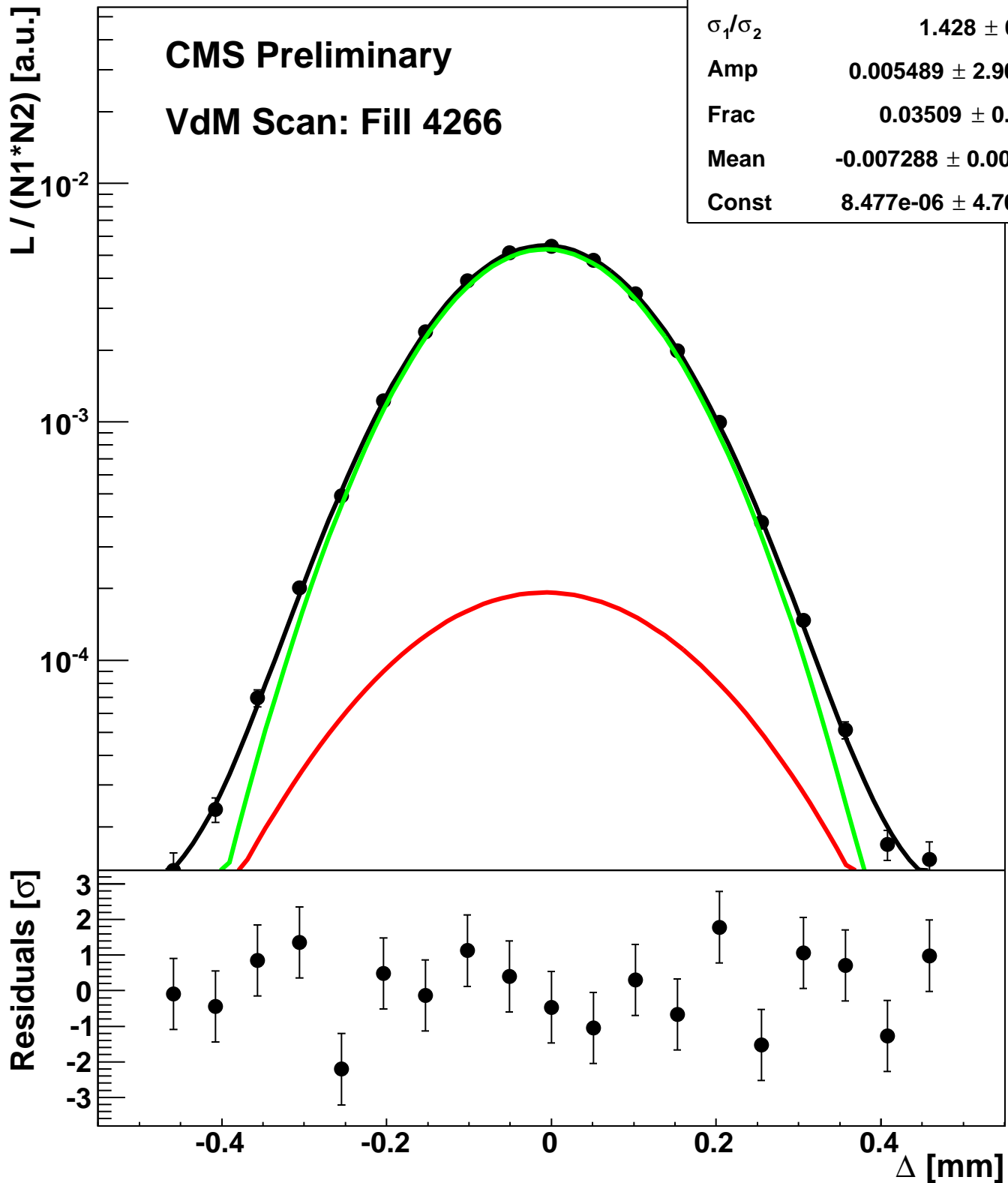
Scan 6: Y-plane BCID 1751



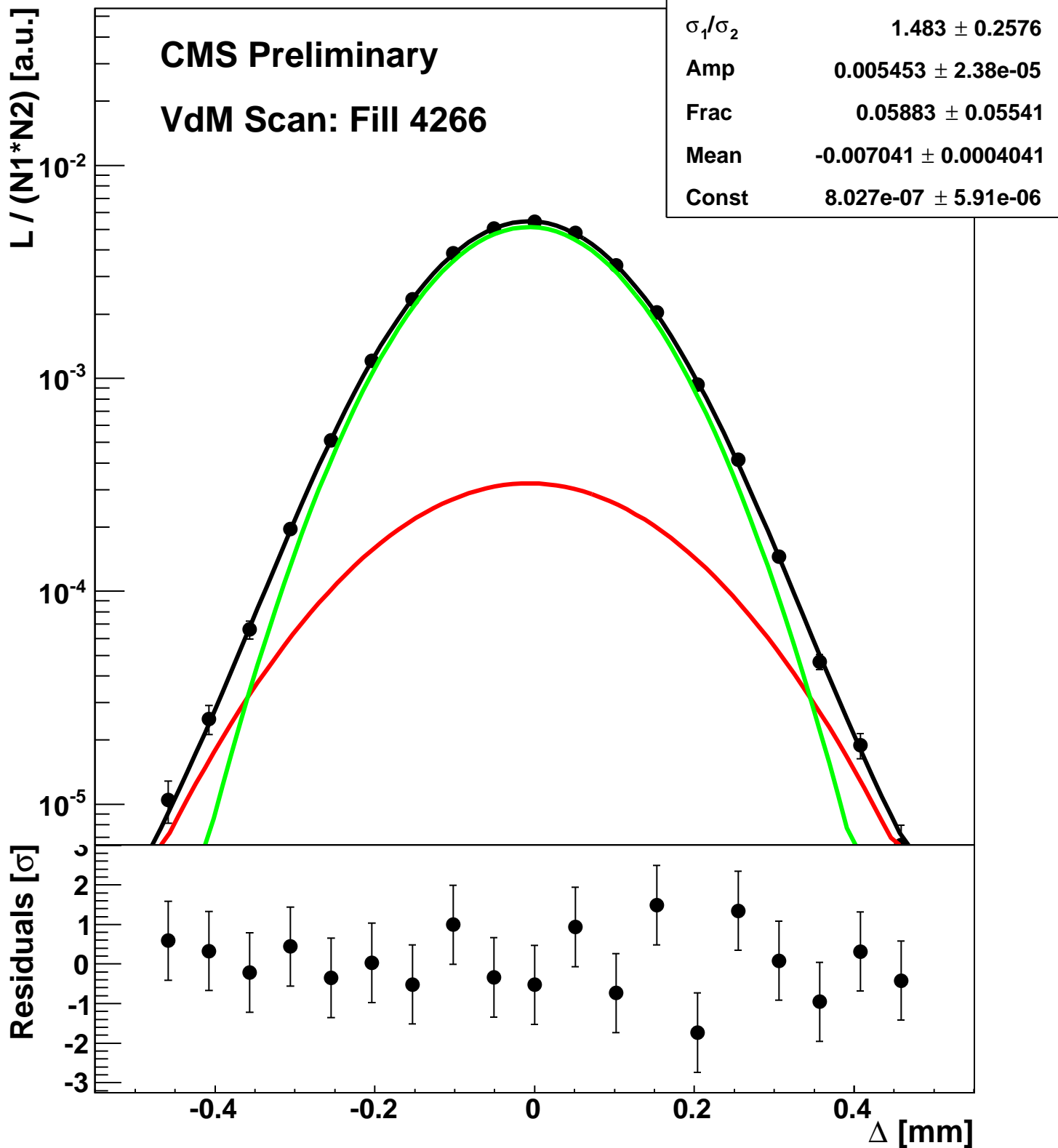
Scan 6: Y-plane BCID 1791



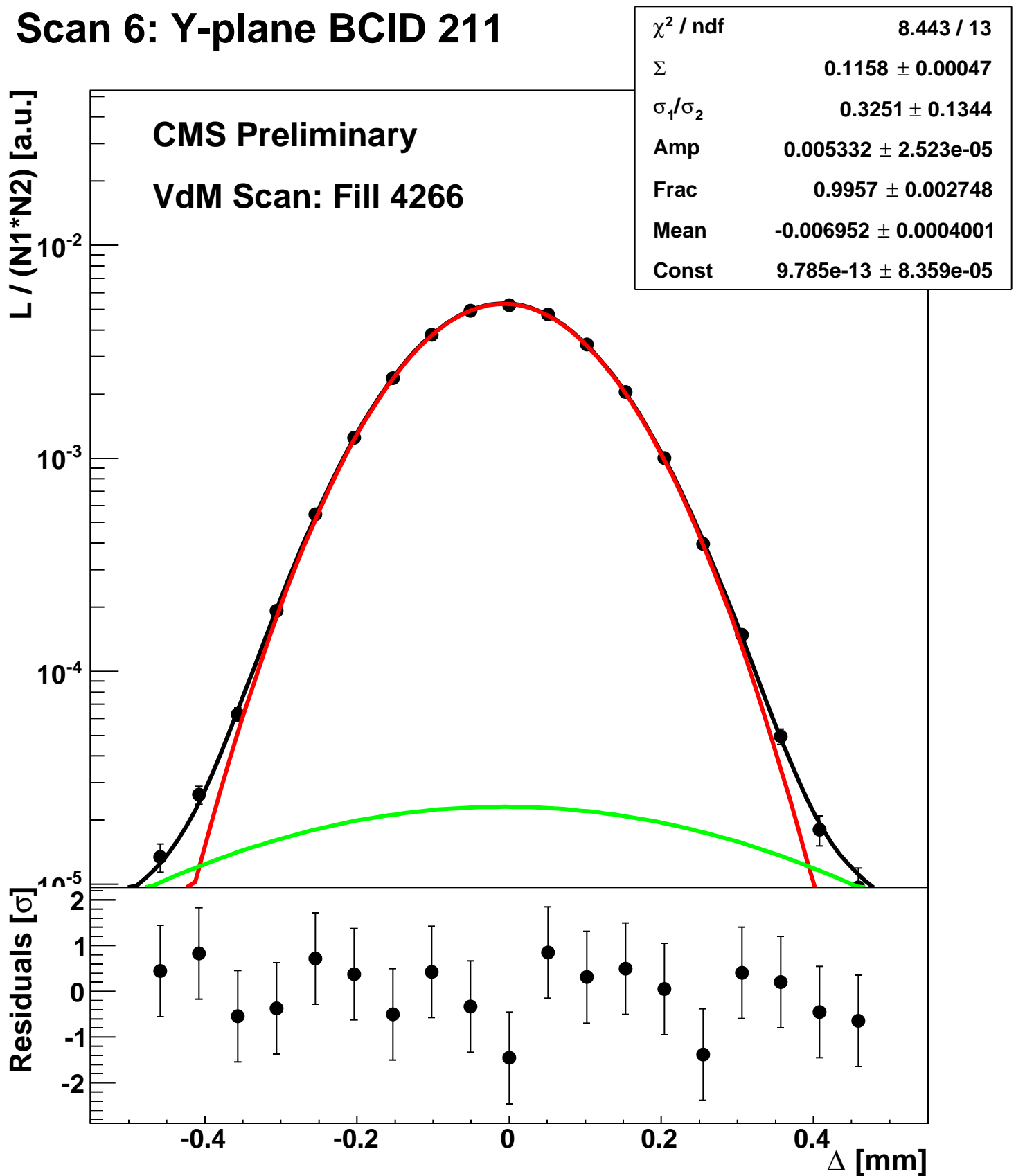
Scan 6: Y-plane BCID 1831



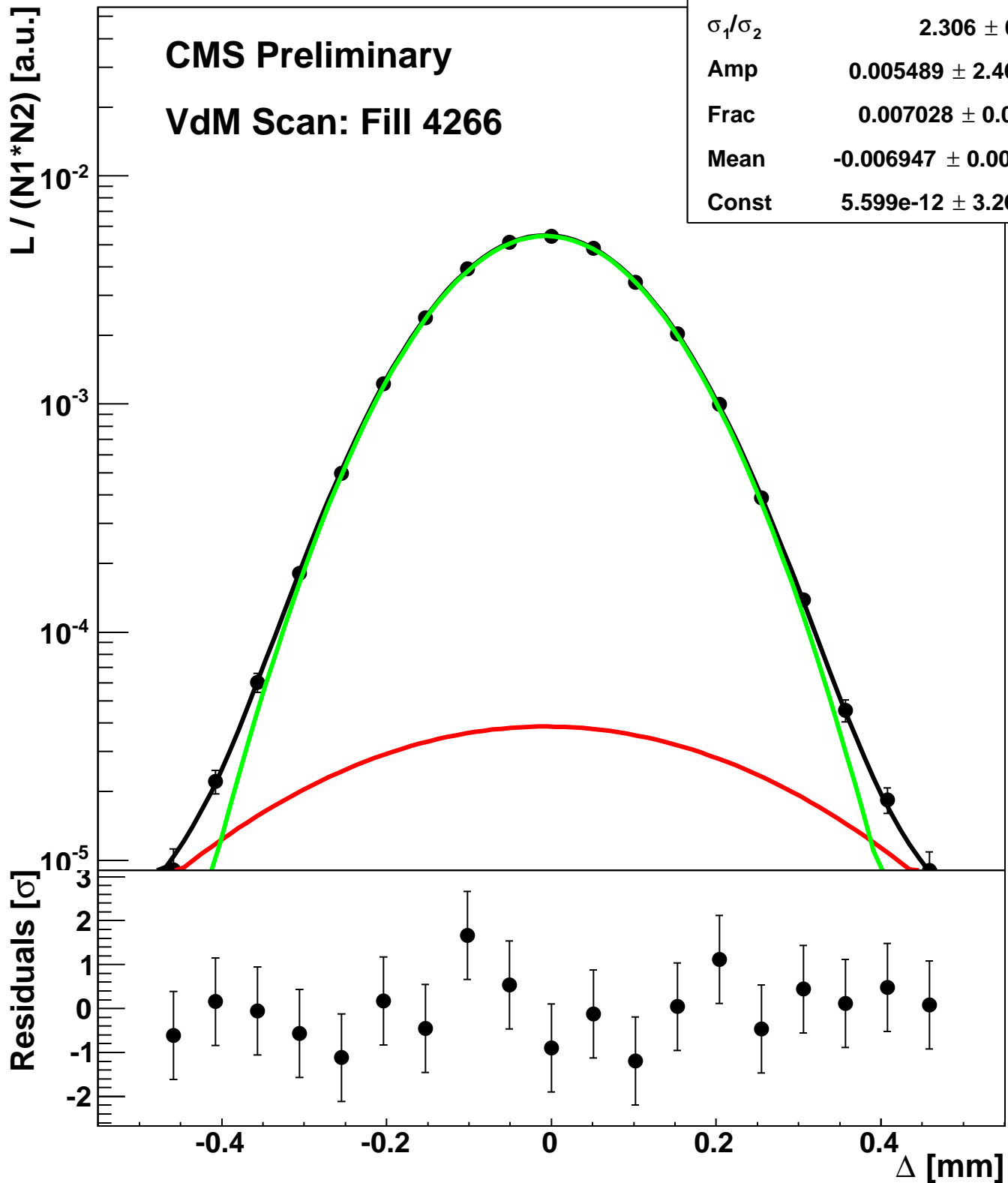
Scan 6: Y-plane BCID 1871



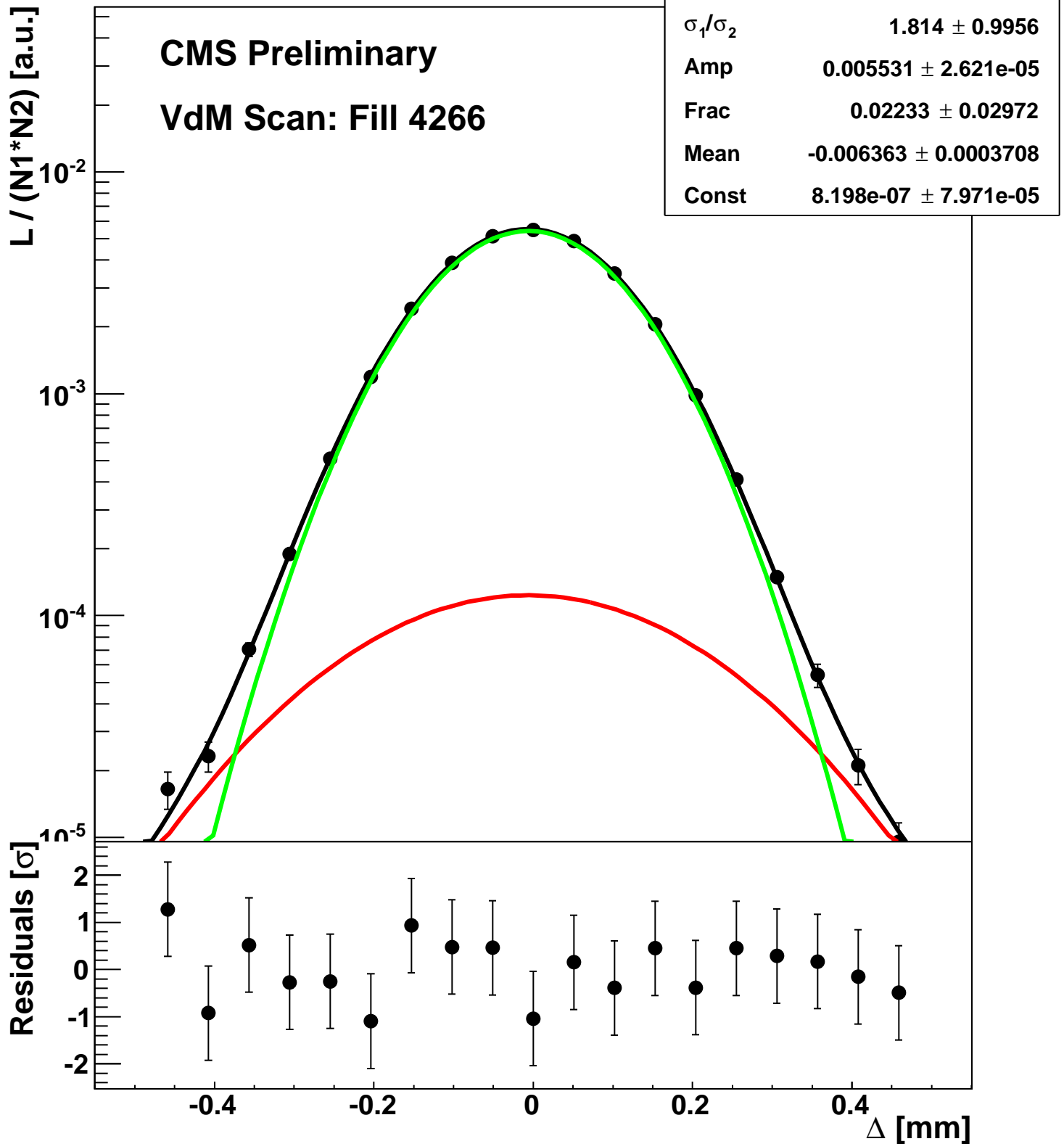
Scan 6: Y-plane BCID 211



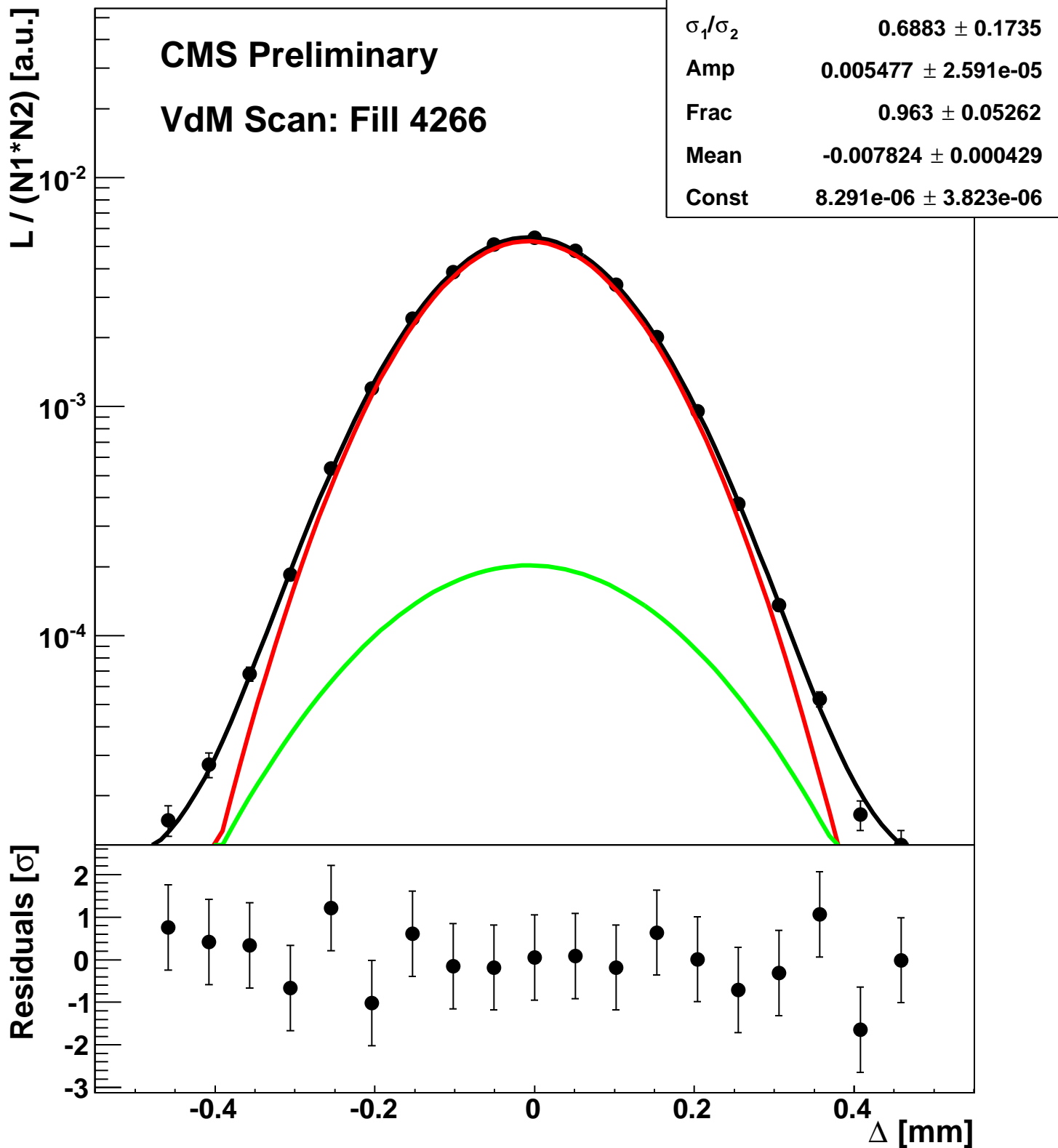
Scan 6: Y-plane BCID 2211



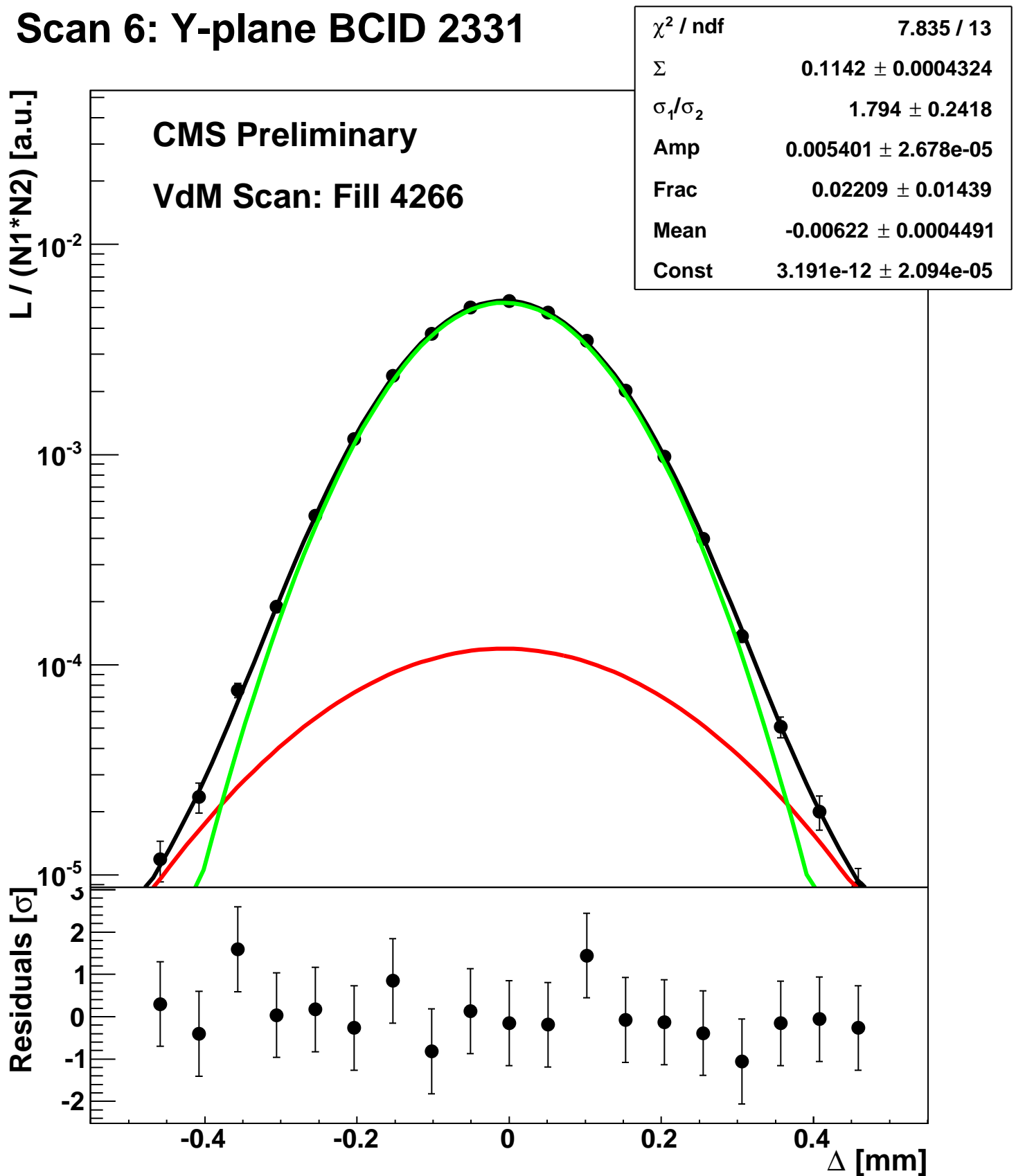
Scan 6: Y-plane BCID 2251



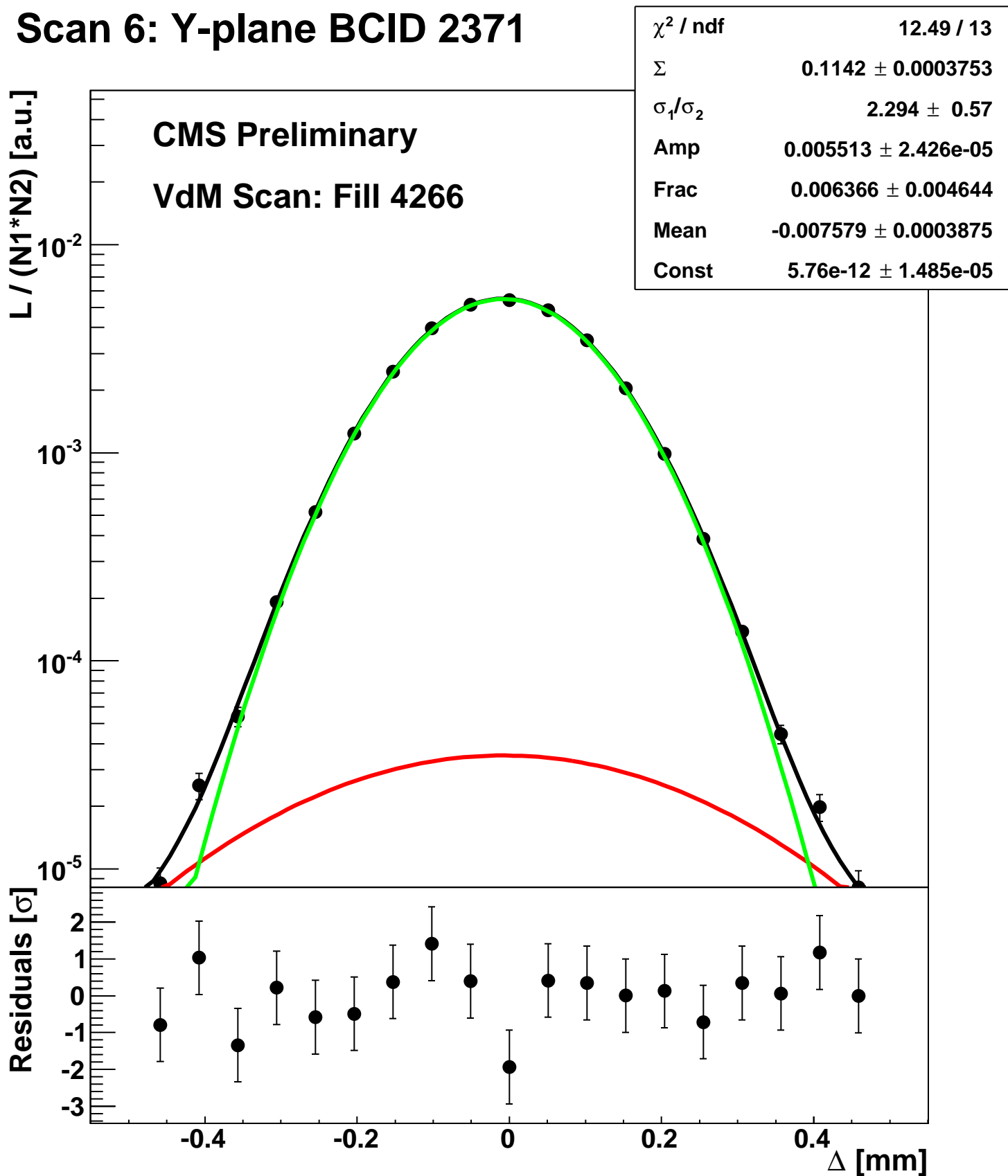
Scan 6: Y-plane BCID 2291



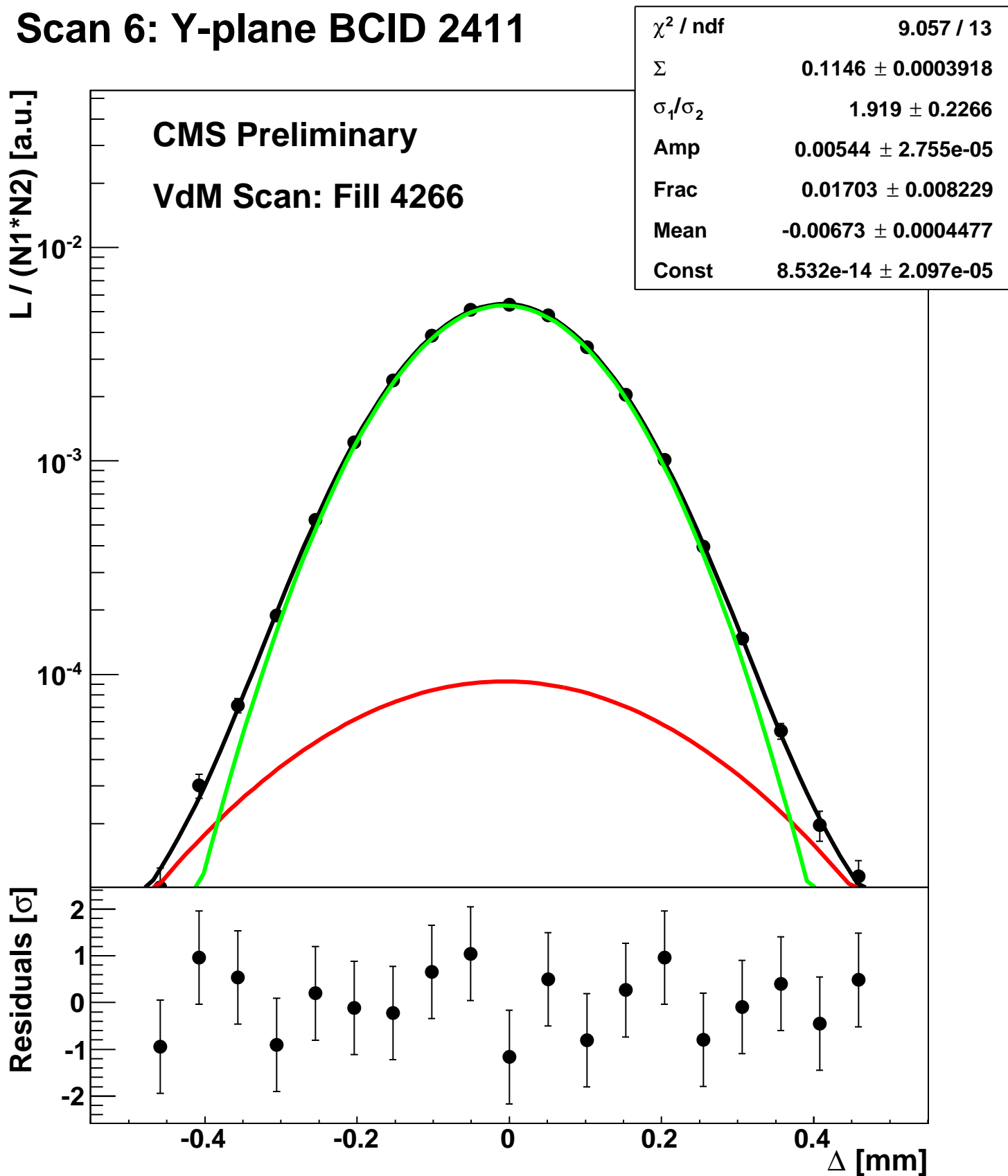
Scan 6: Y-plane BCID 2331



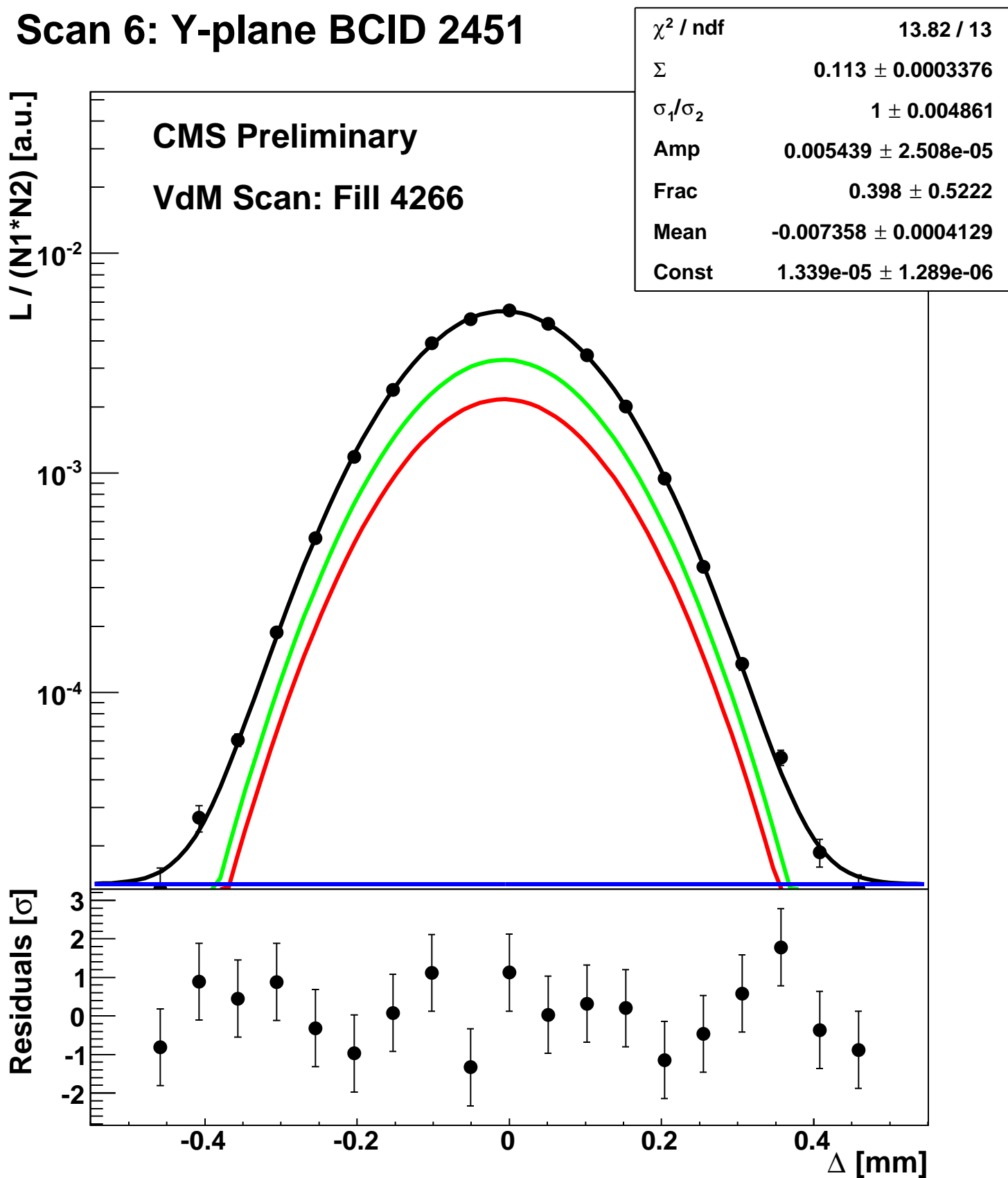
Scan 6: Y-plane BCID 2371



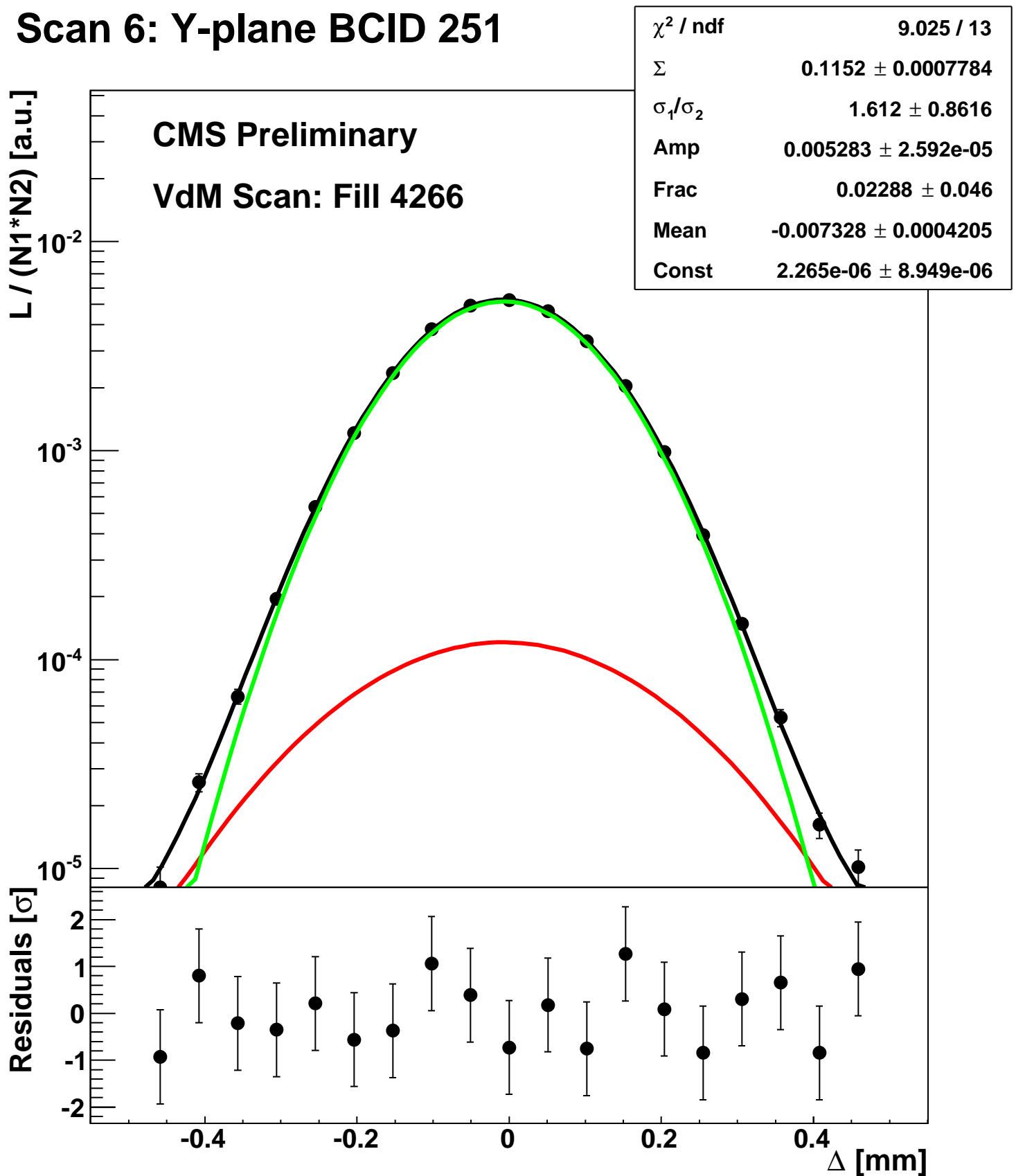
Scan 6: Y-plane BCID 2411



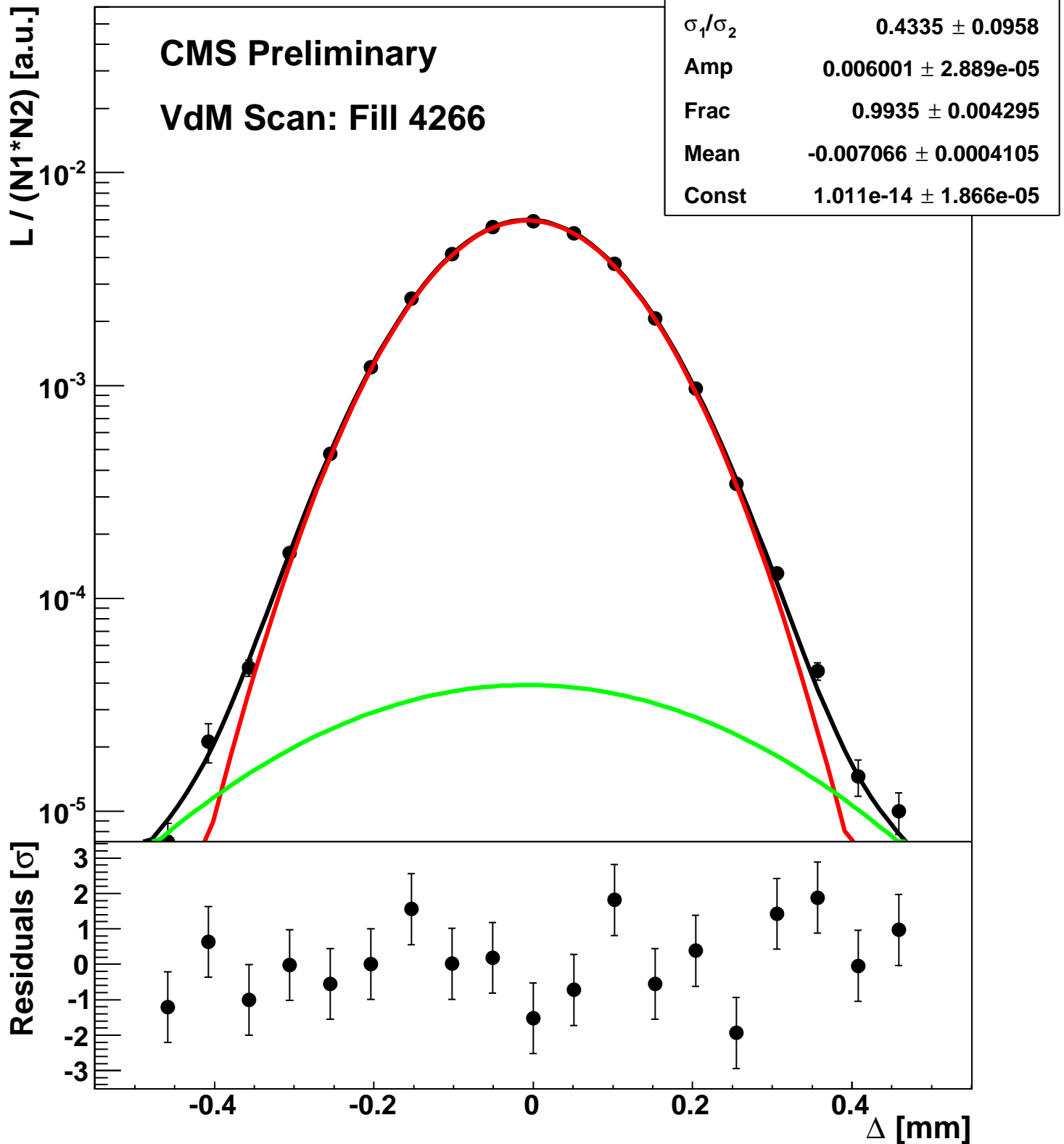
Scan 6: Y-plane BCID 2451



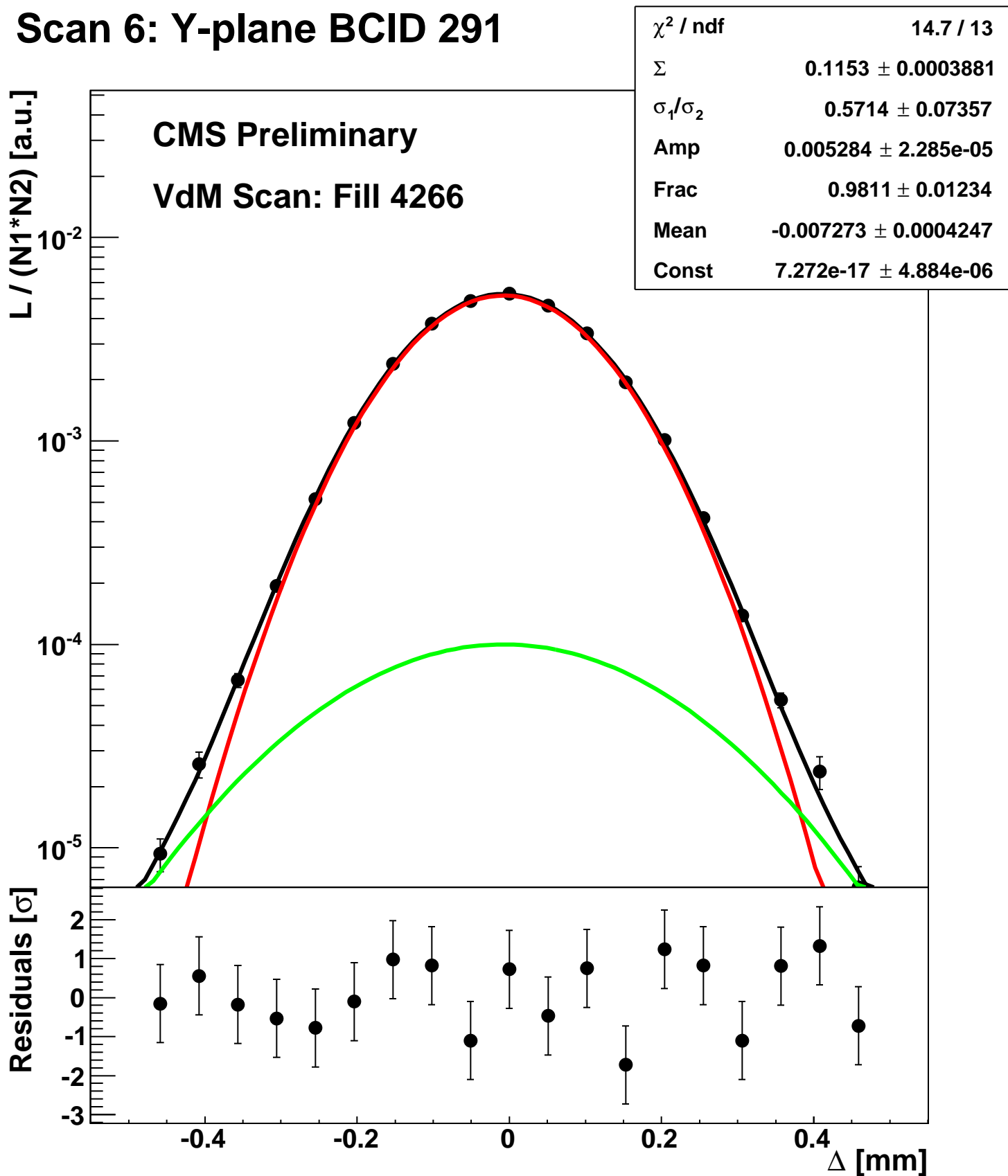
Scan 6: Y-plane BCID 251



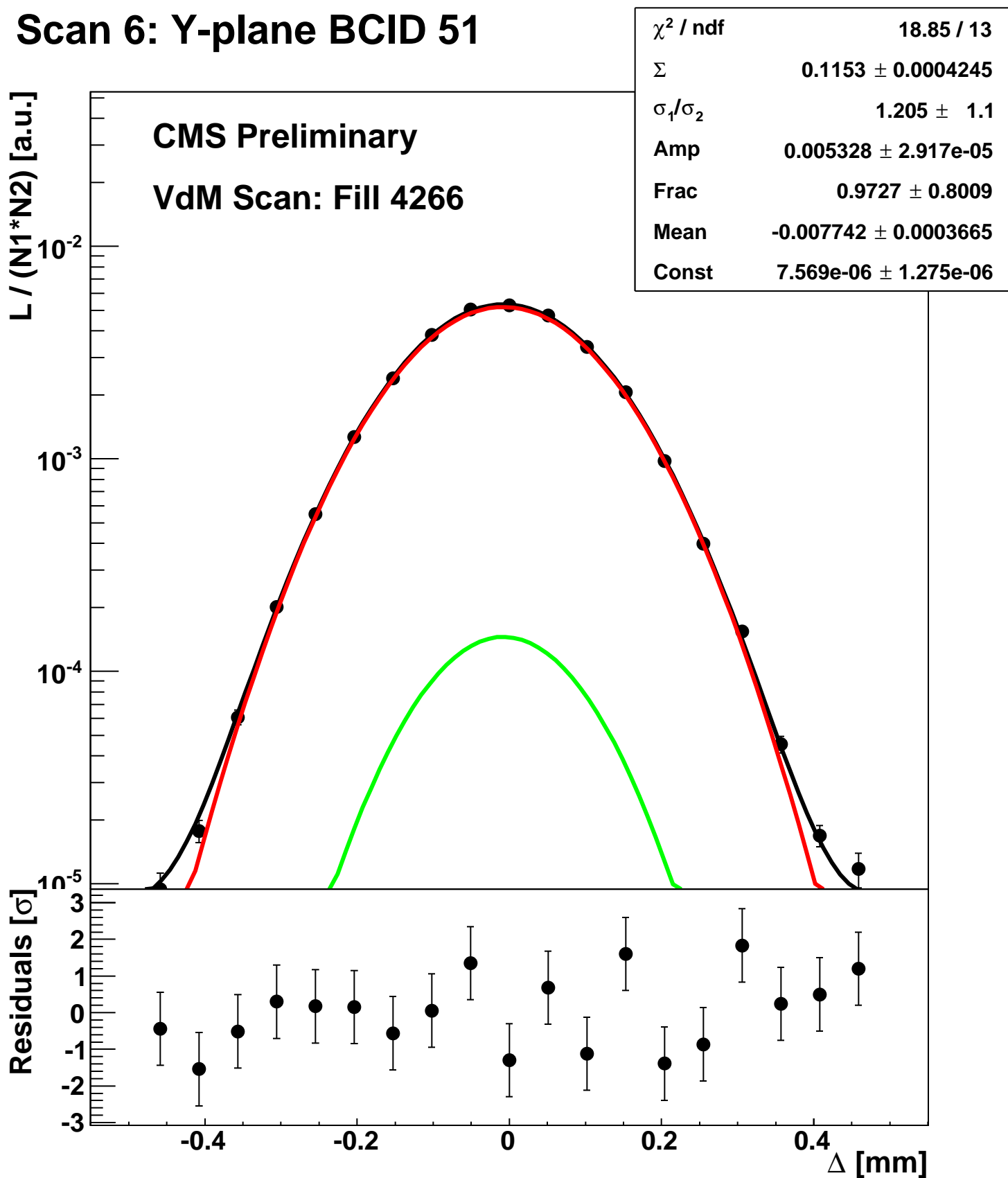
Scan 6: Y-plane BCID 2674



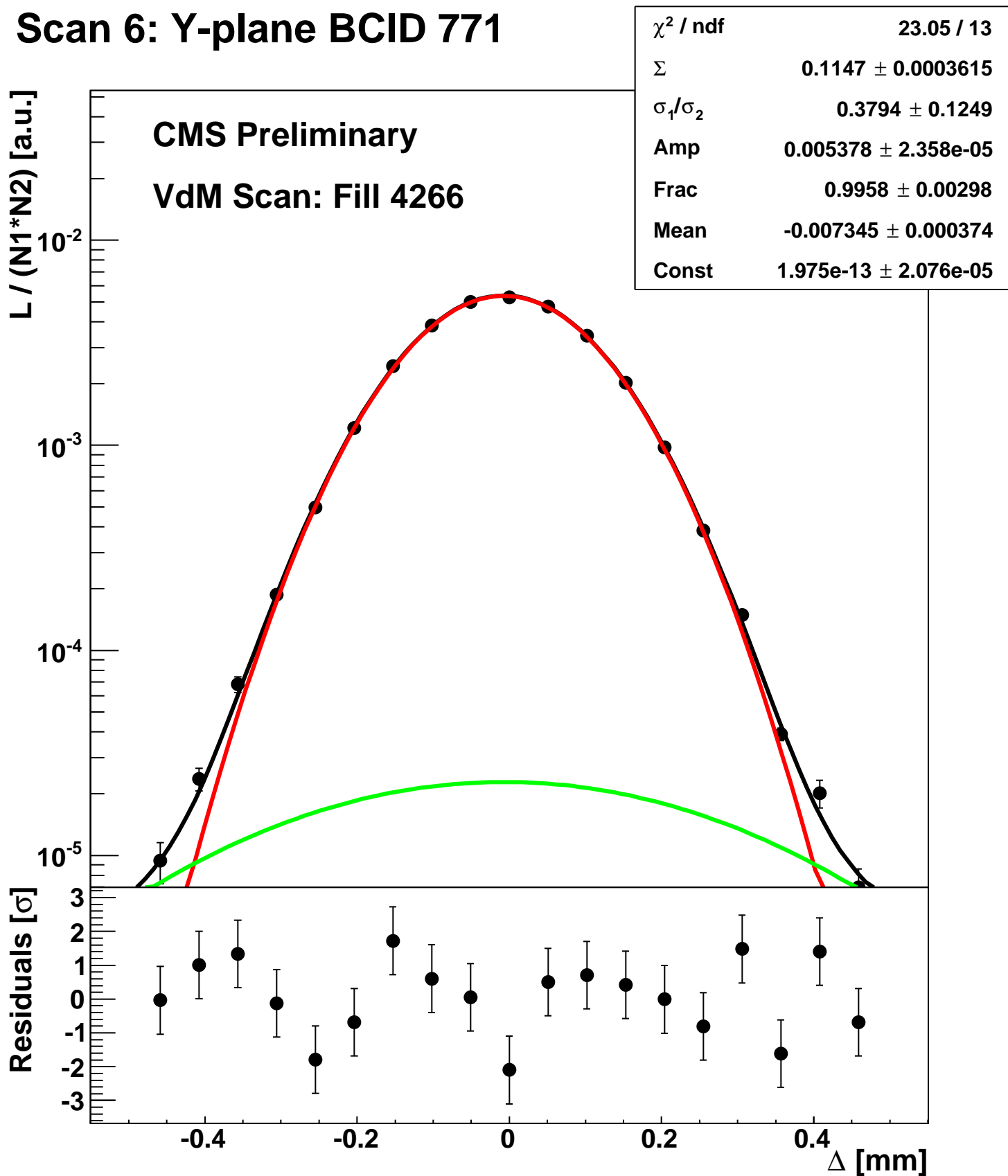
Scan 6: Y-plane BCID 291



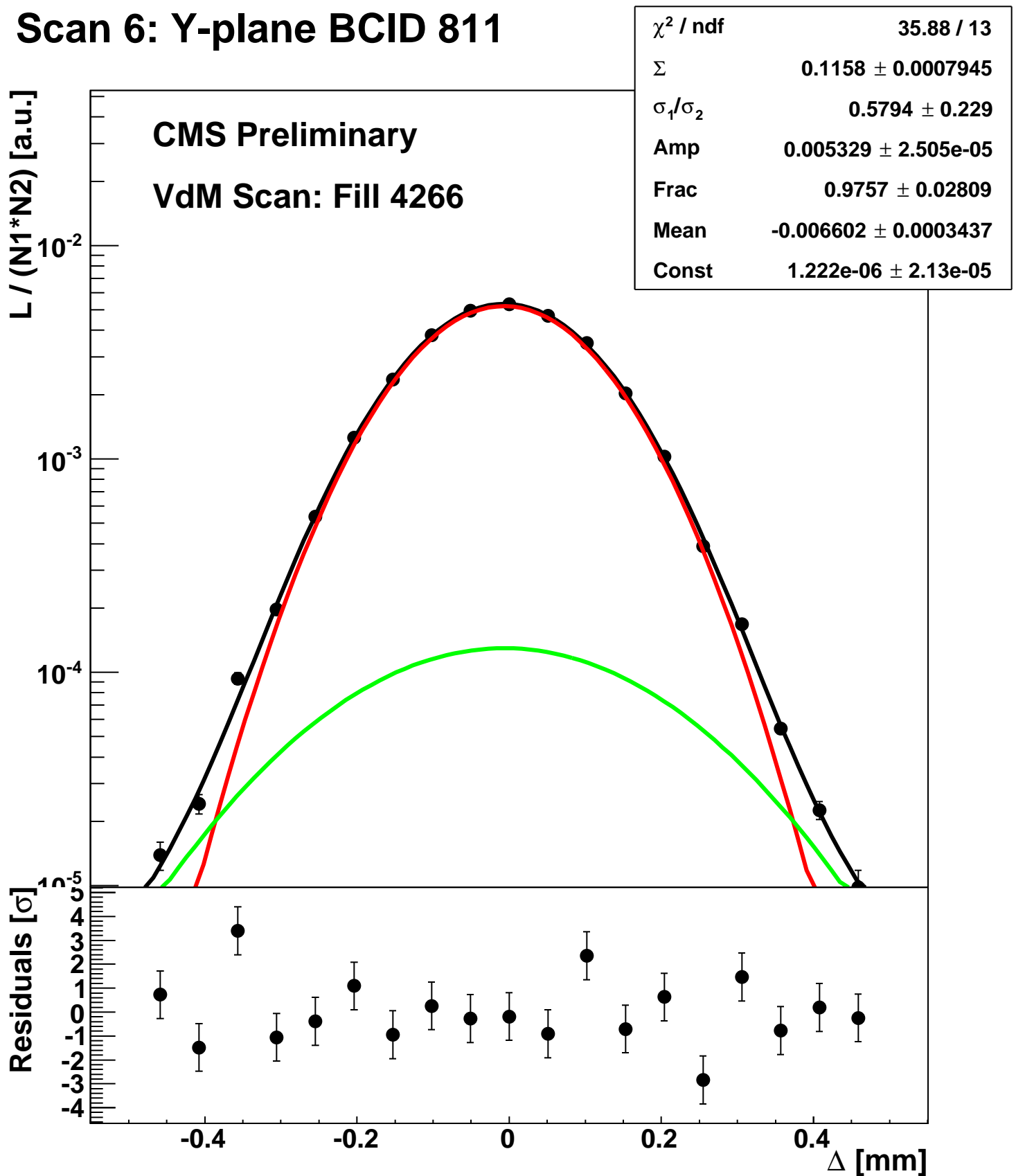
Scan 6: Y-plane BCID 51



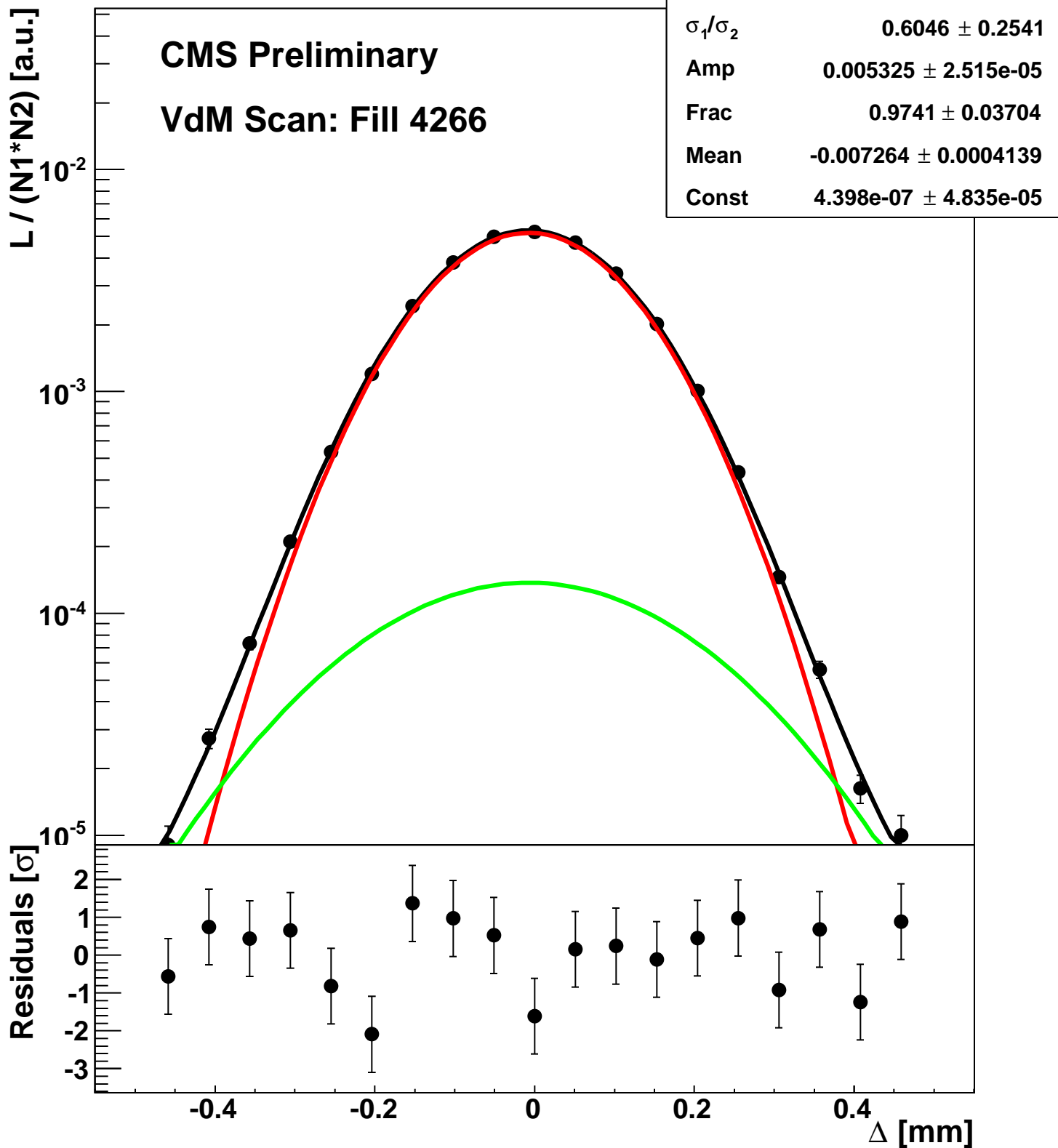
Scan 6: Y-plane BCID 771



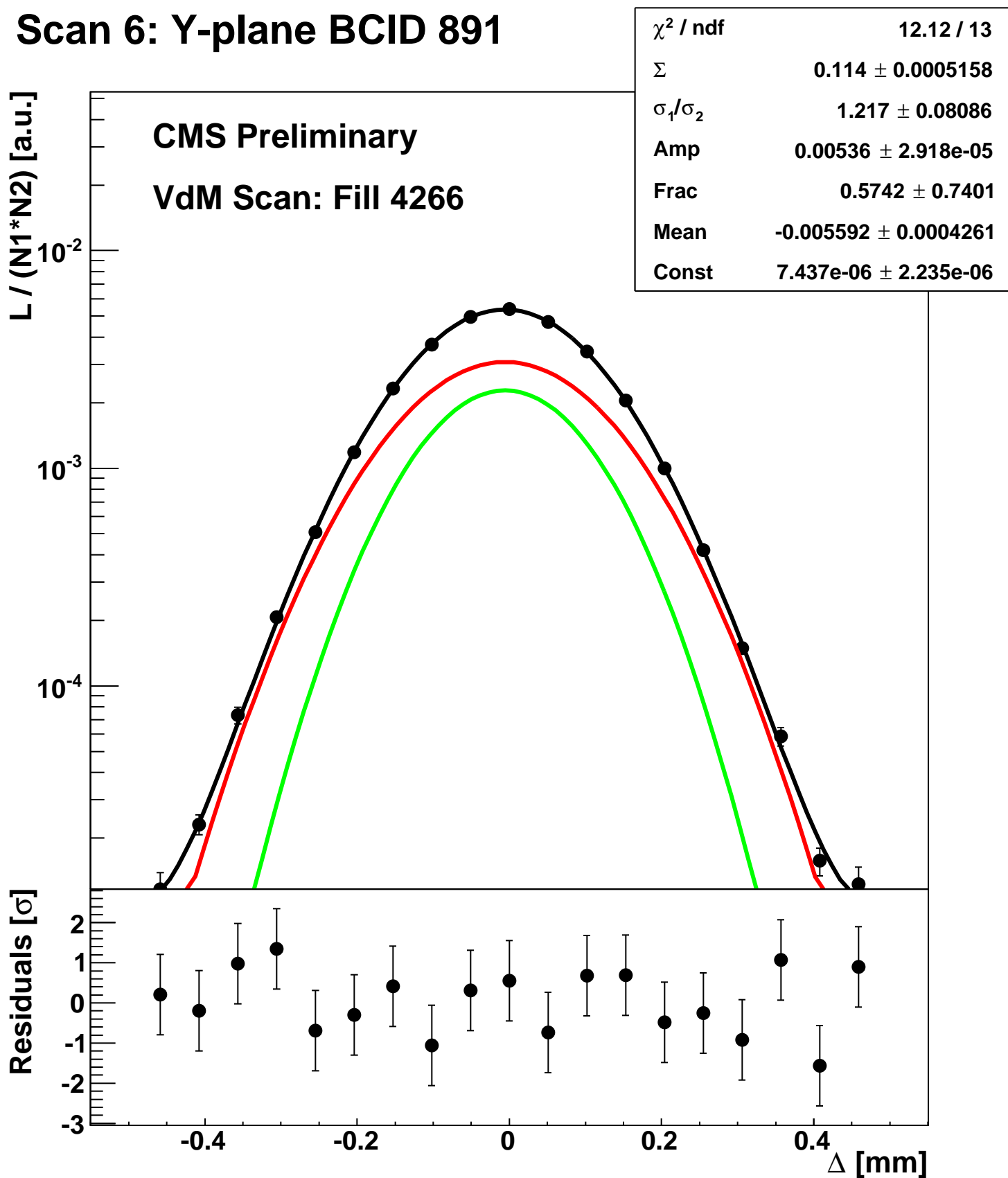
Scan 6: Y-plane BCID 811



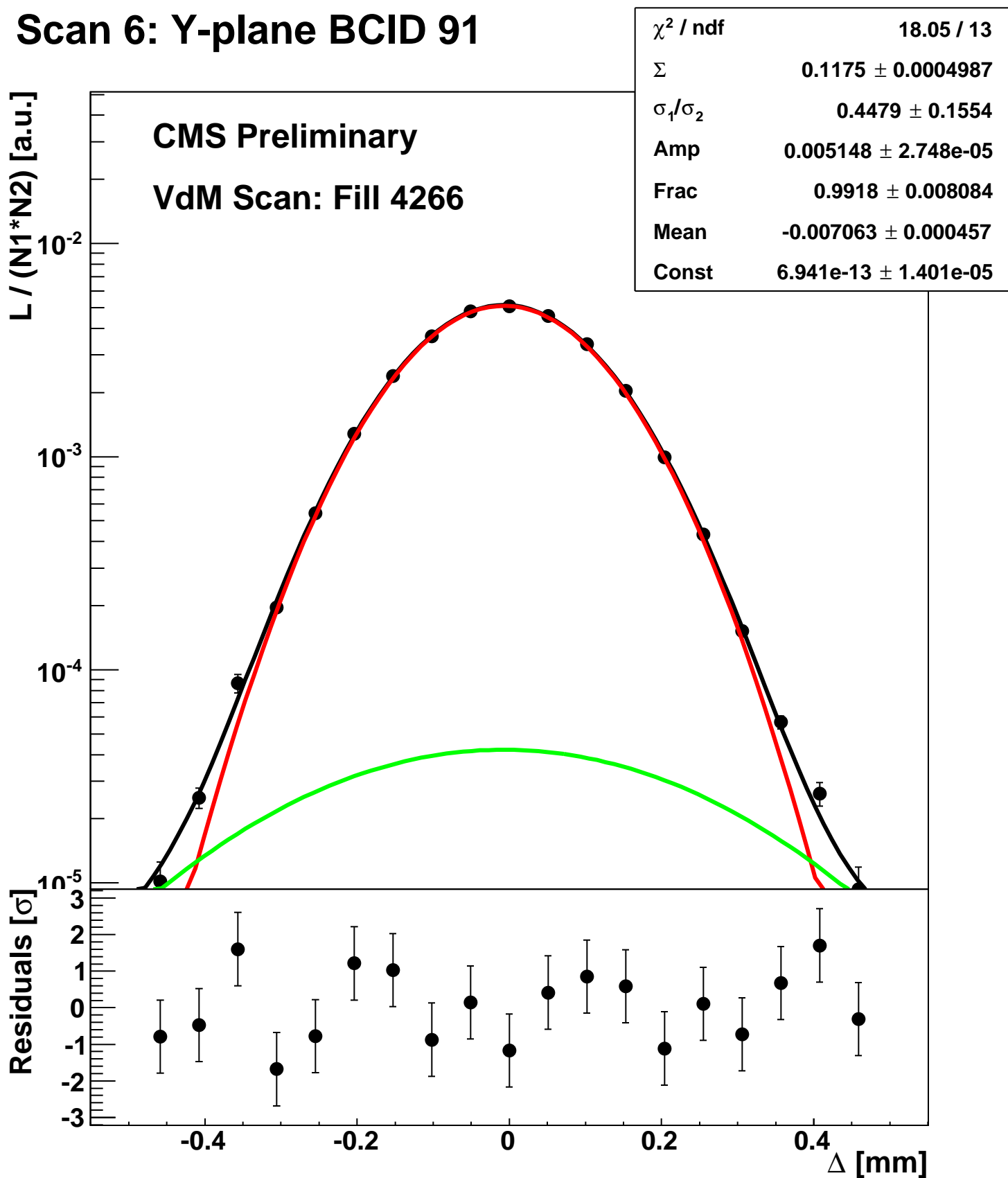
Scan 6: Y-plane BCID 851



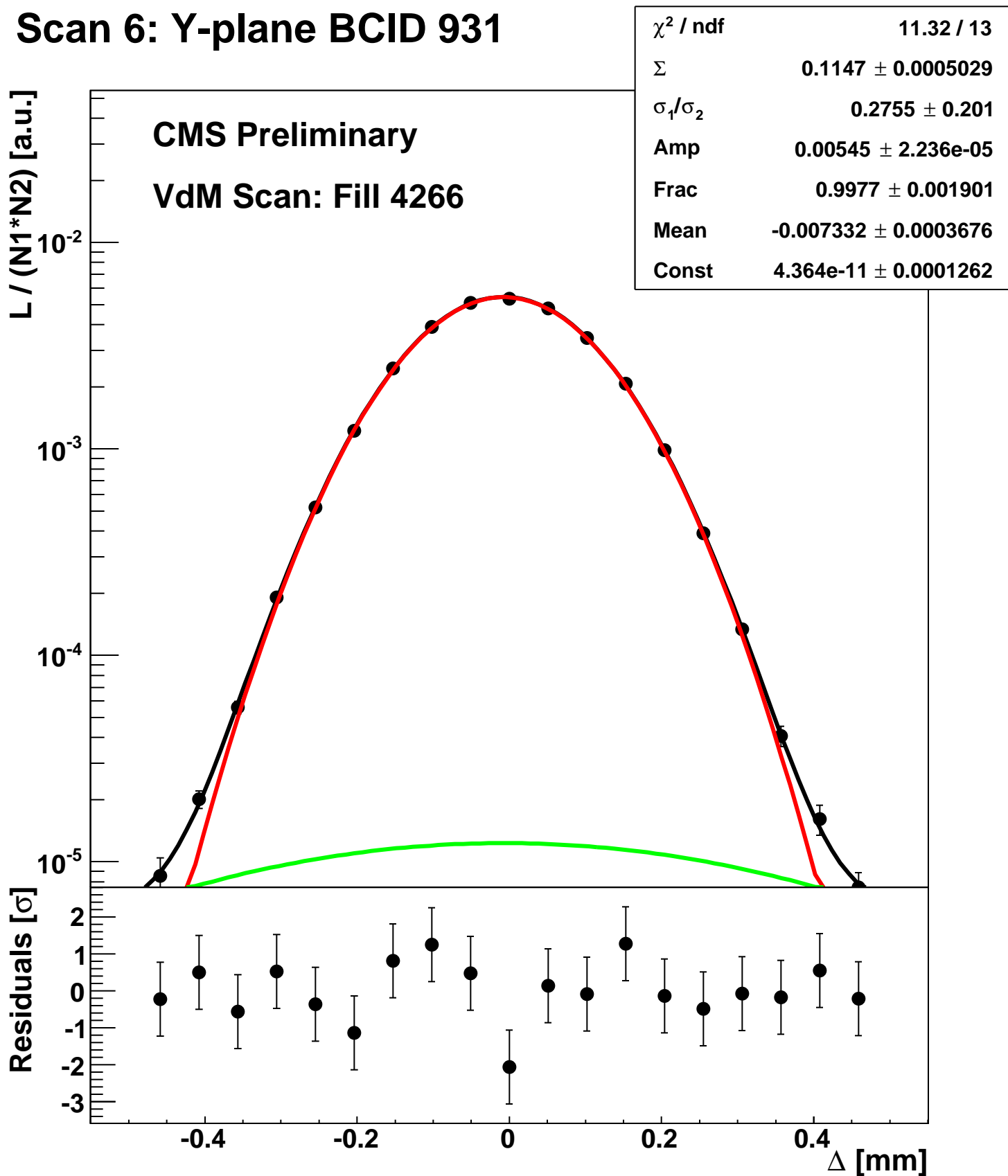
Scan 6: Y-plane BCID 891



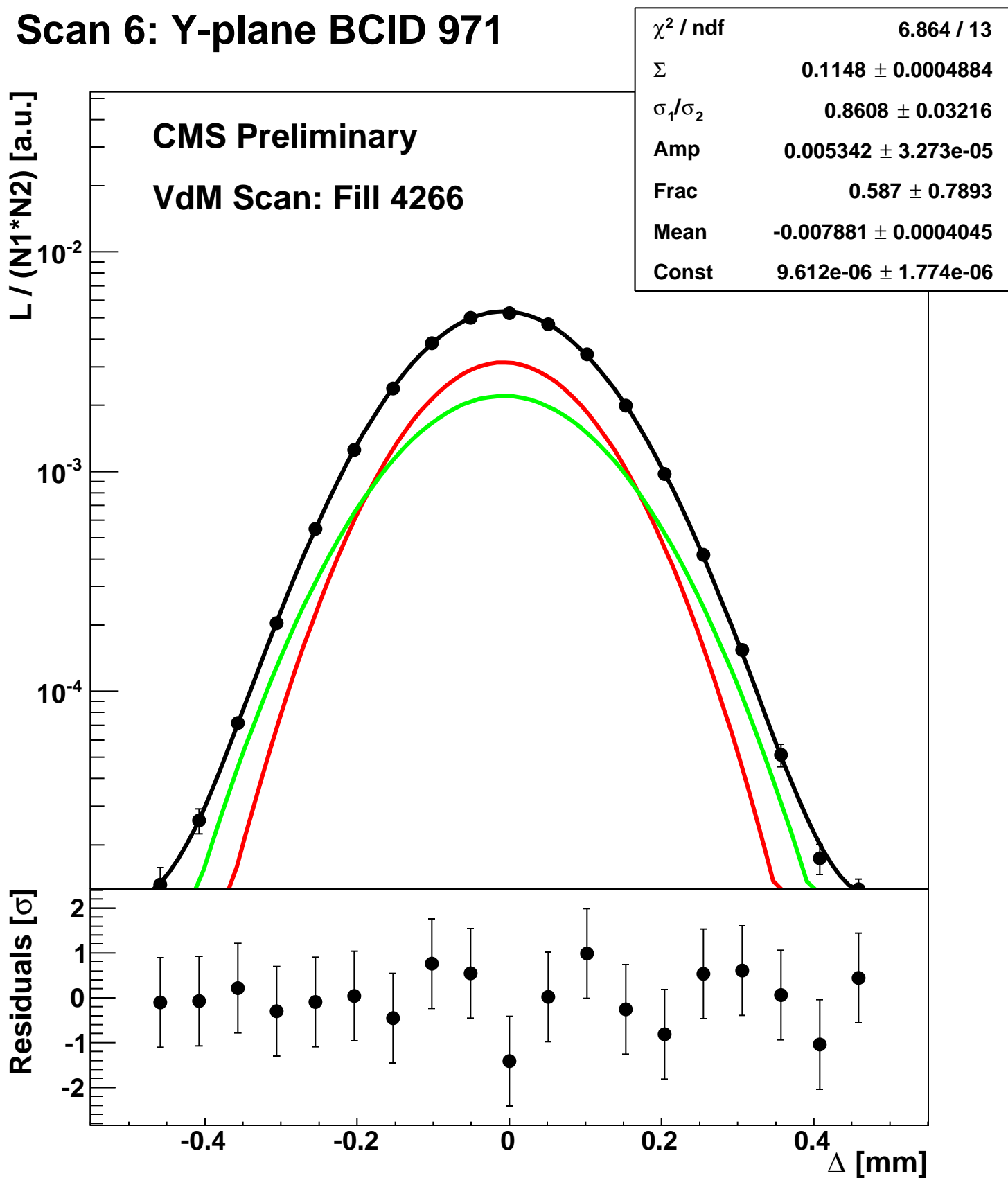
Scan 6: Y-plane BCID 91



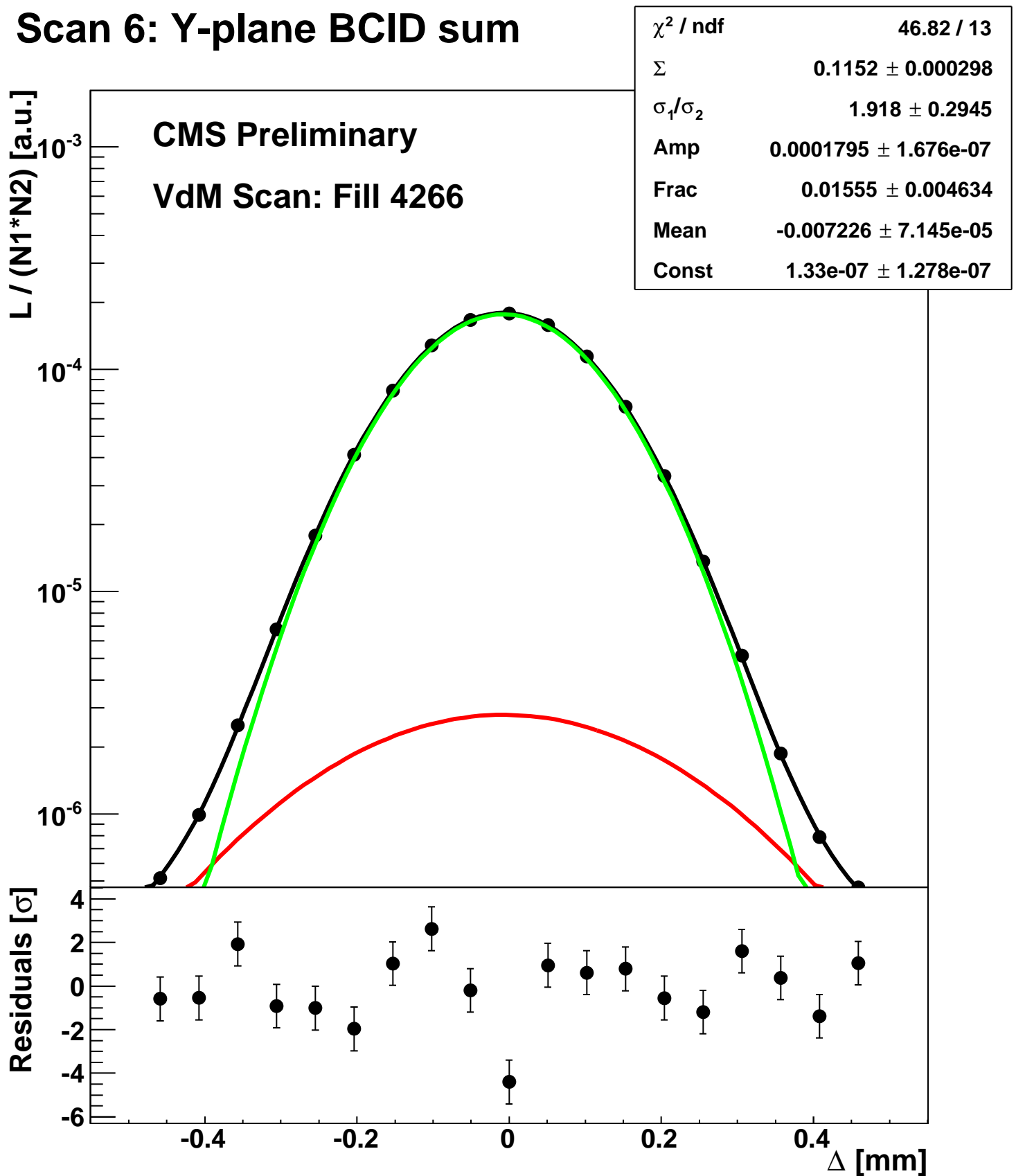
Scan 6: Y-plane BCID 931



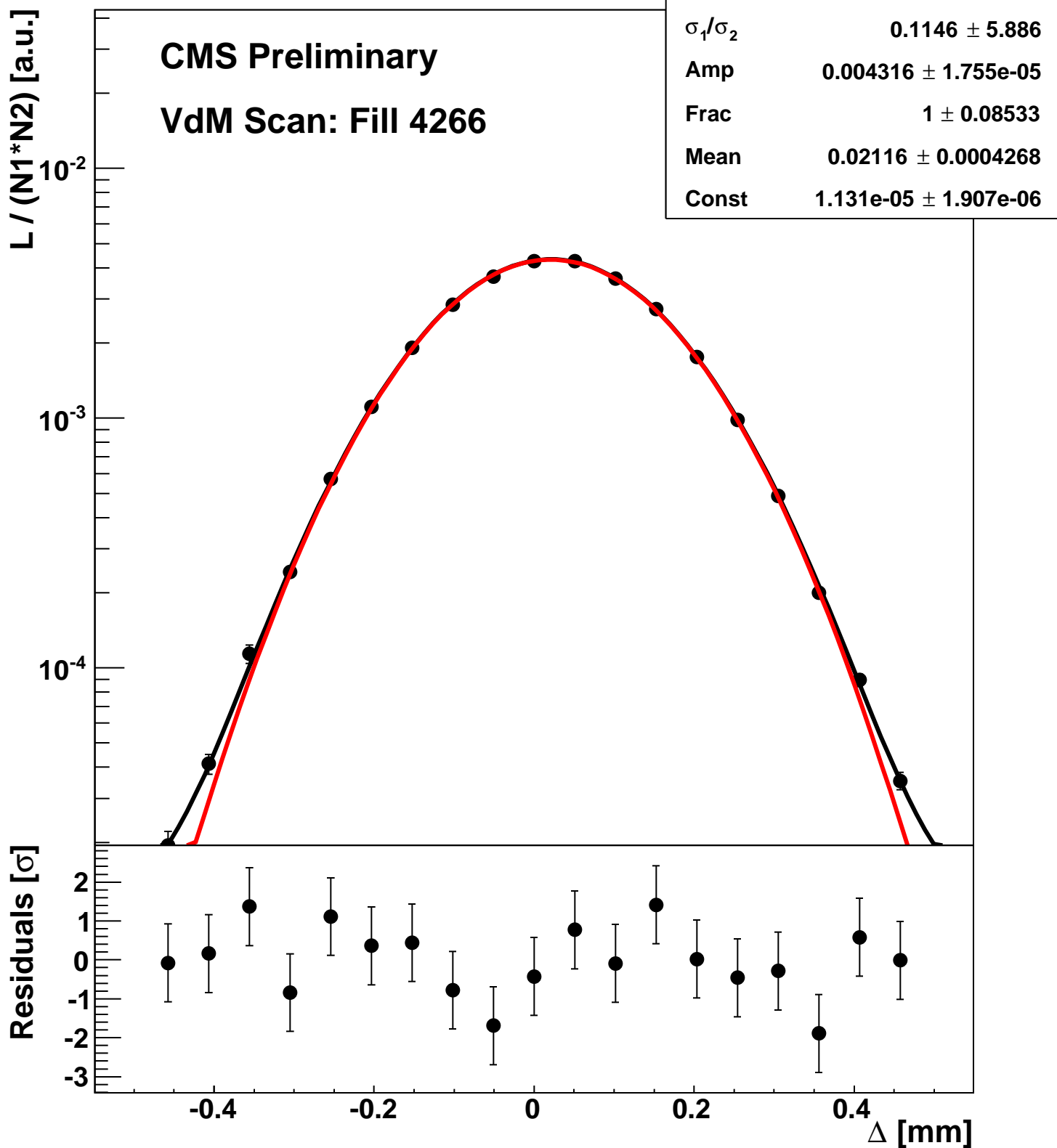
Scan 6: Y-plane BCID 971



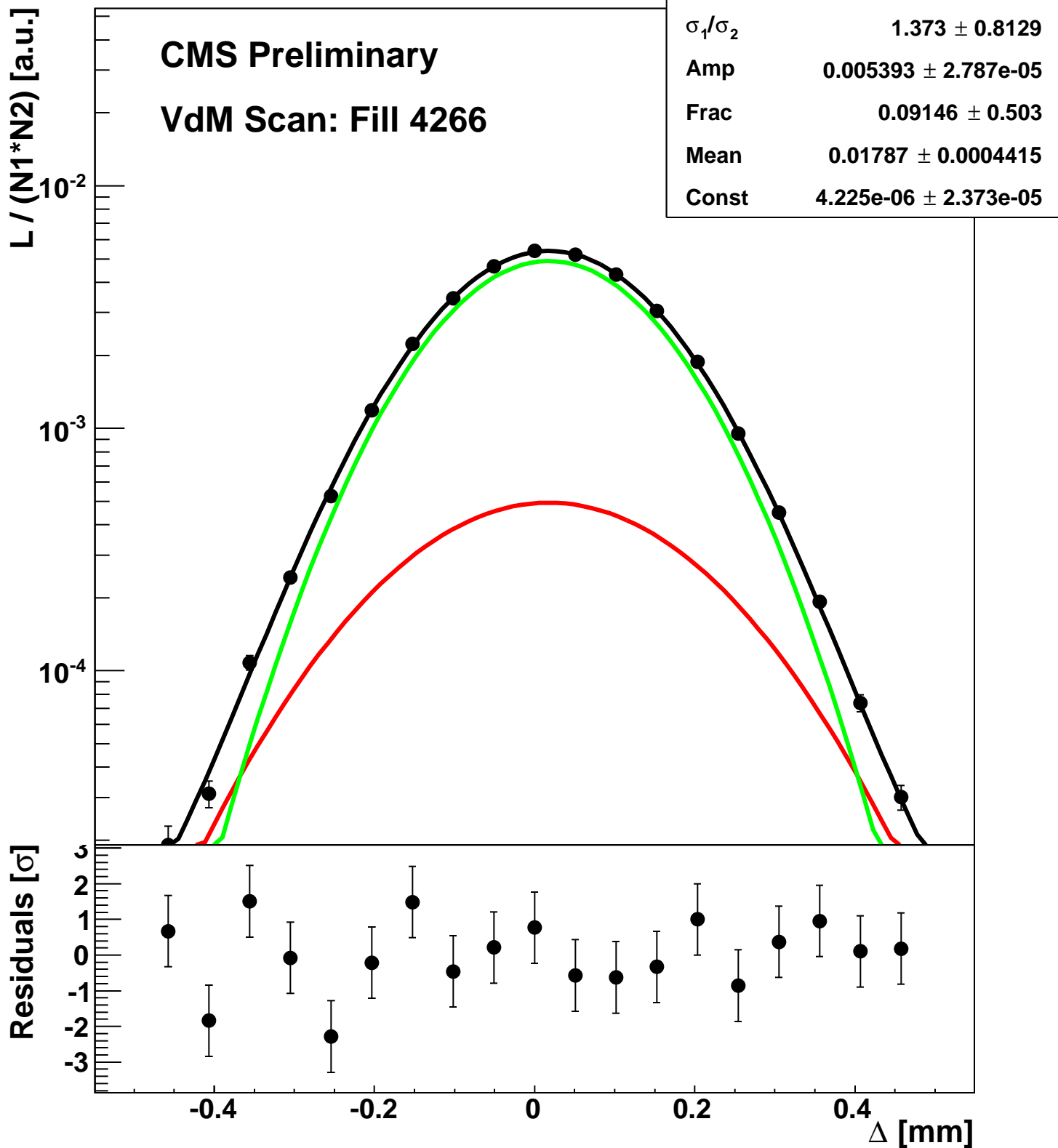
Scan 6: Y-plane BCID sum



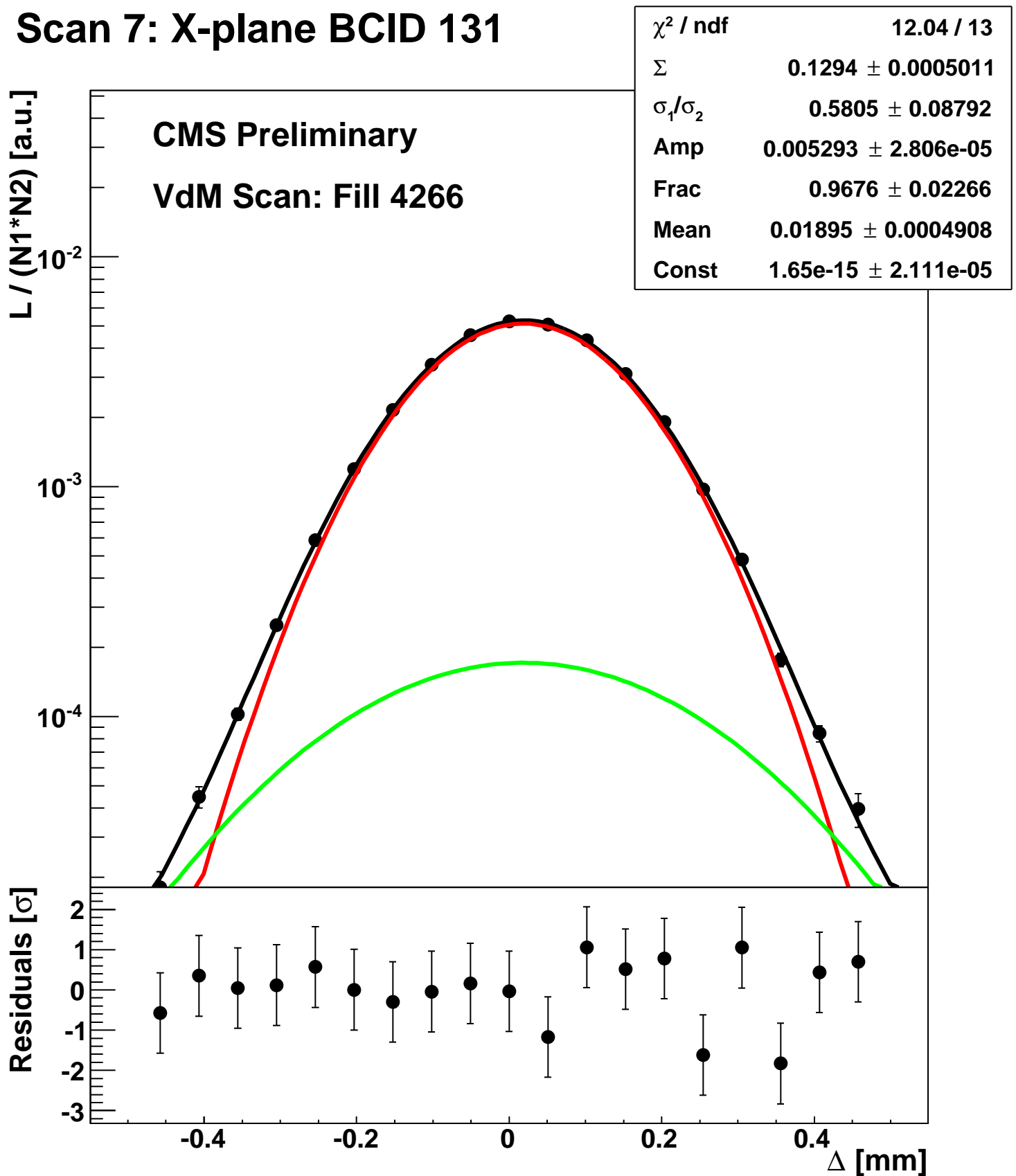
Scan 7: X-plane BCID 1



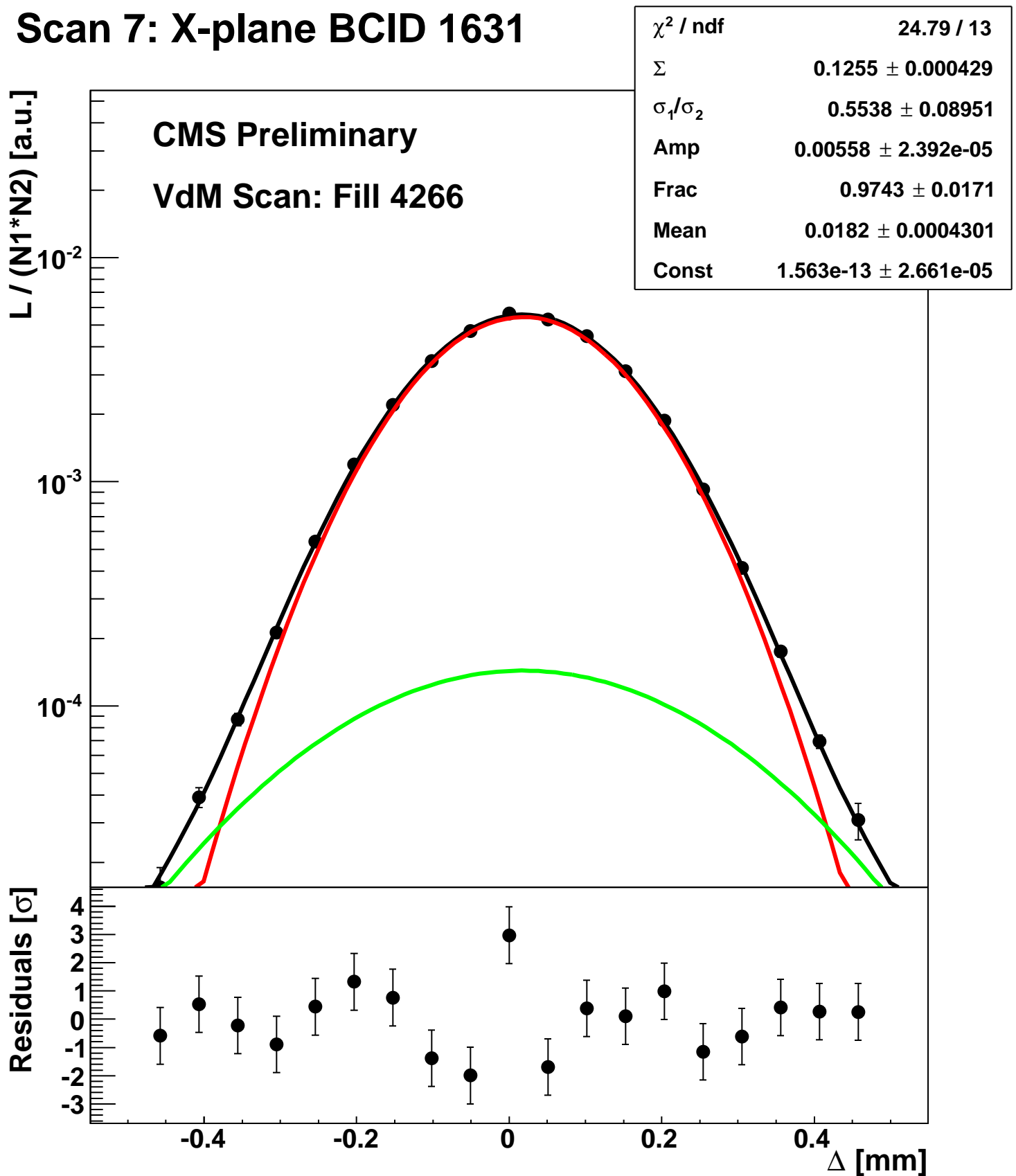
Scan 7: X-plane BCID 1011



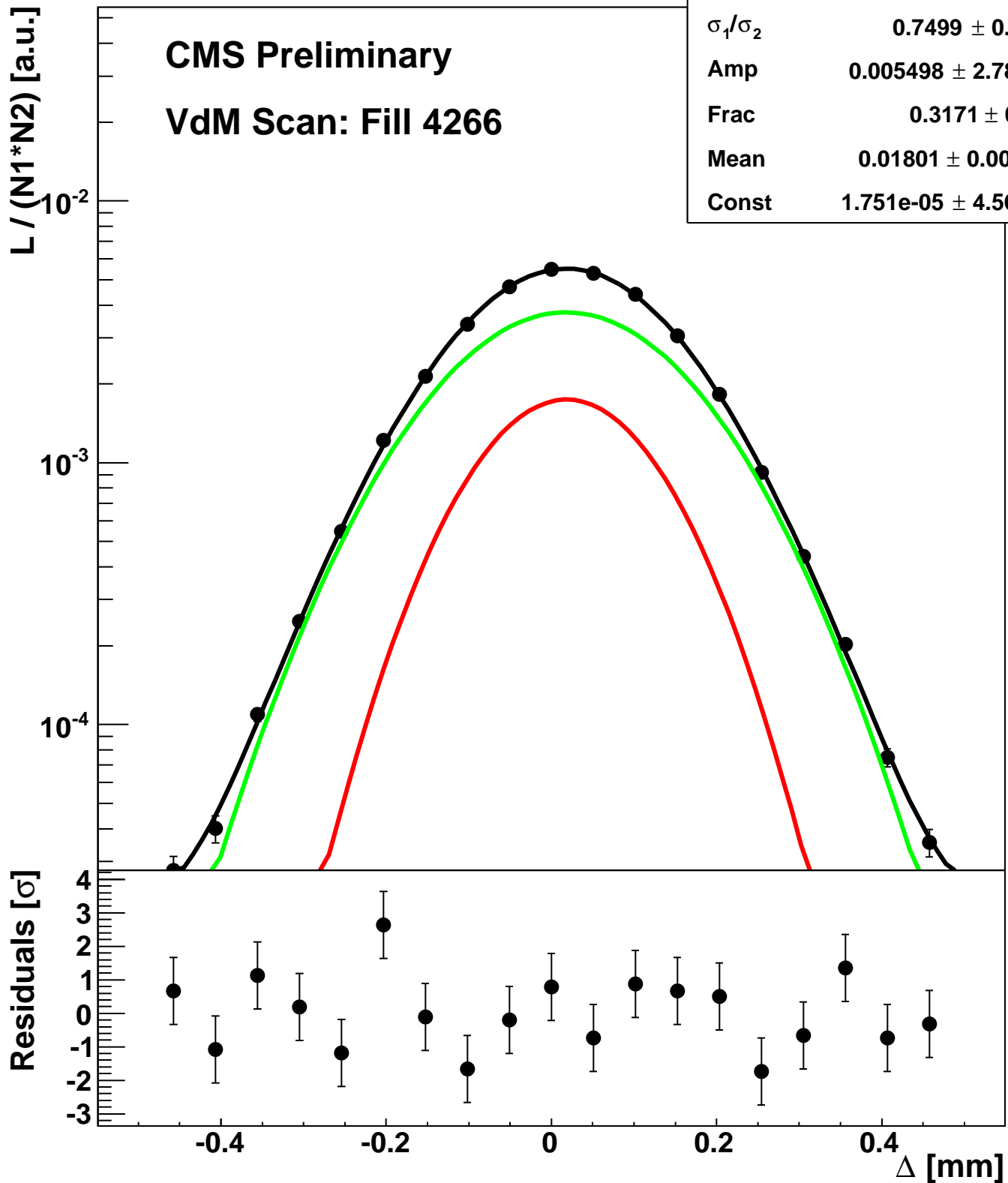
Scan 7: X-plane BCID 131



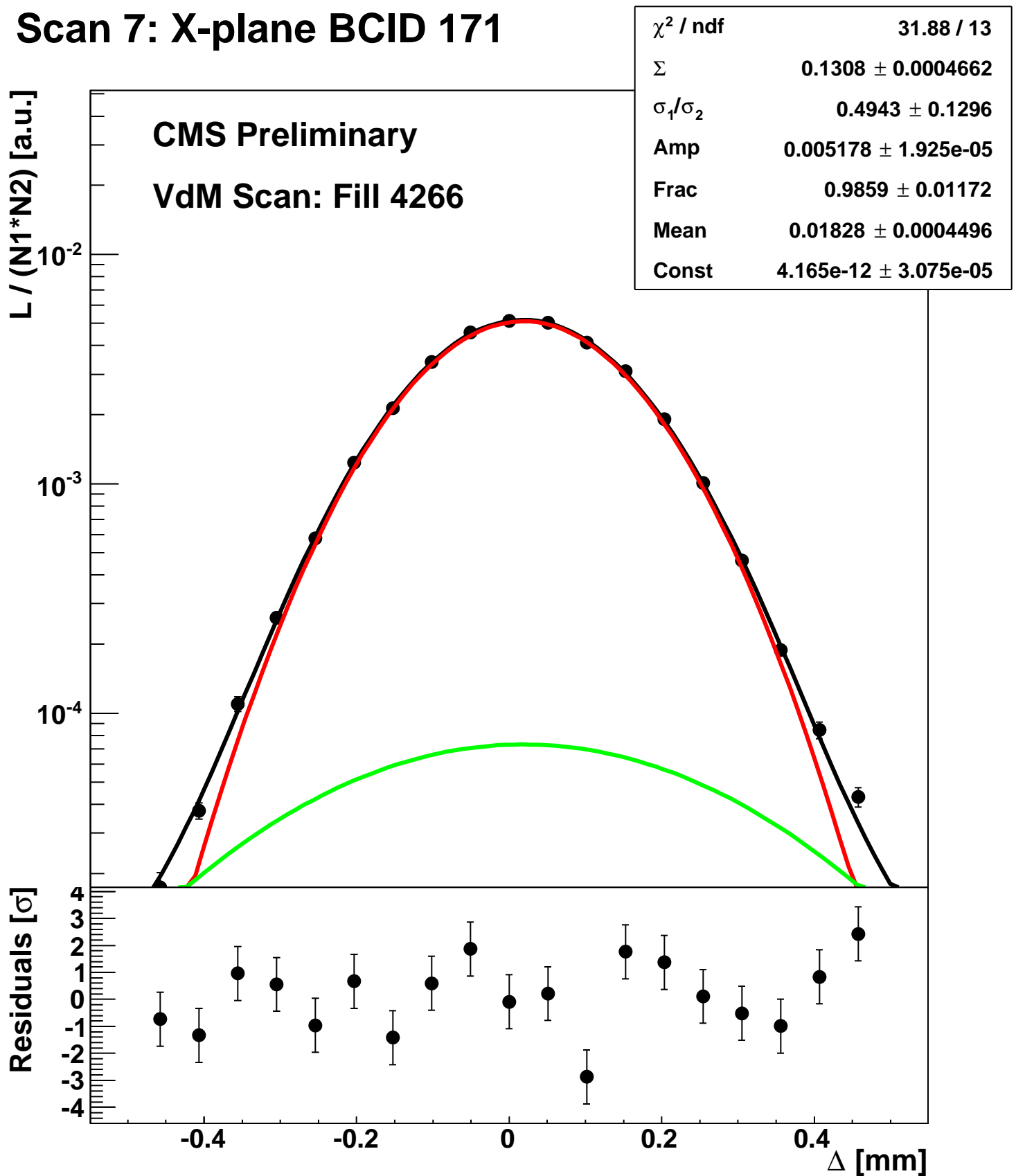
Scan 7: X-plane BCID 1631



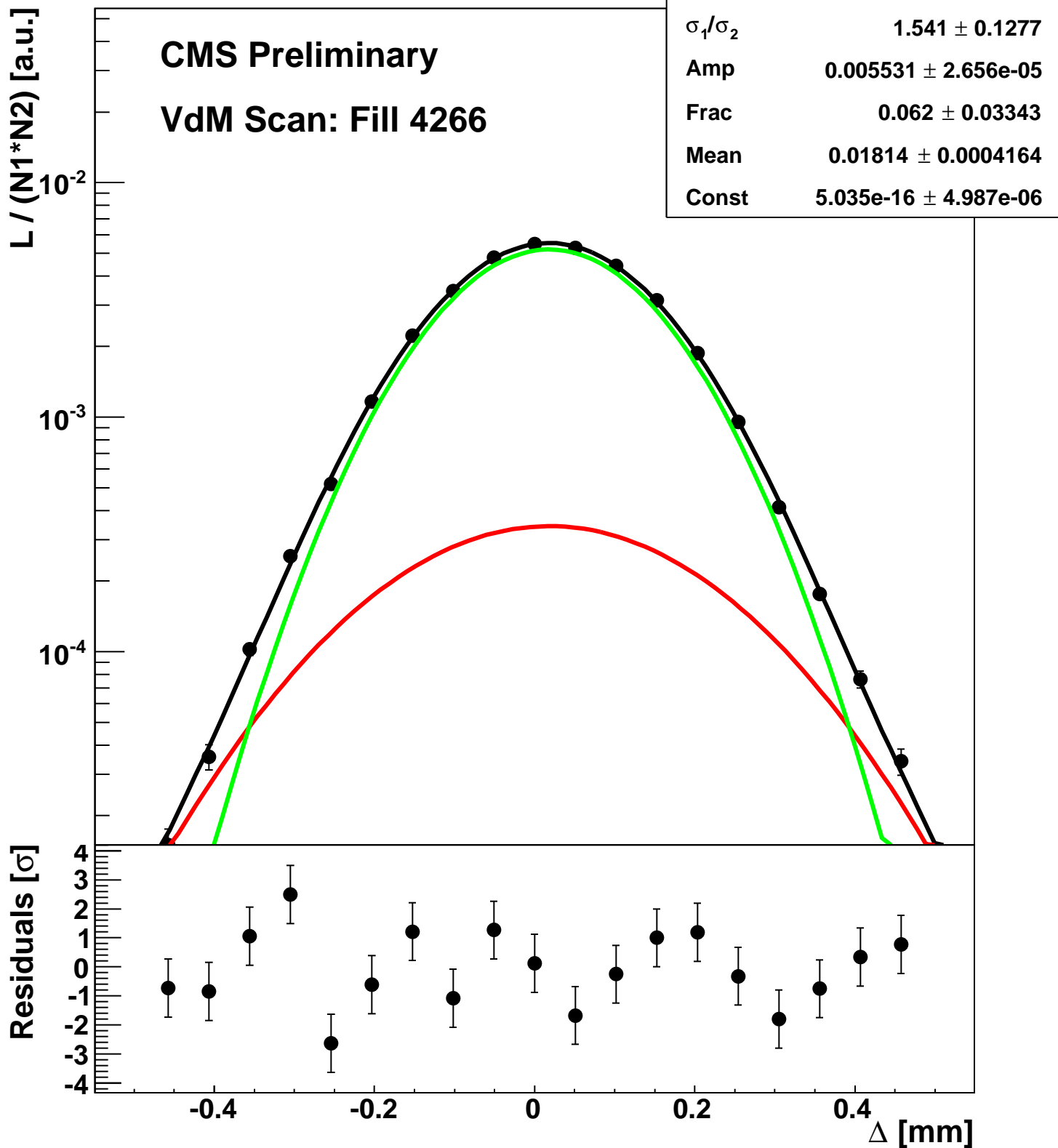
Scan 7: X-plane BCID 1671



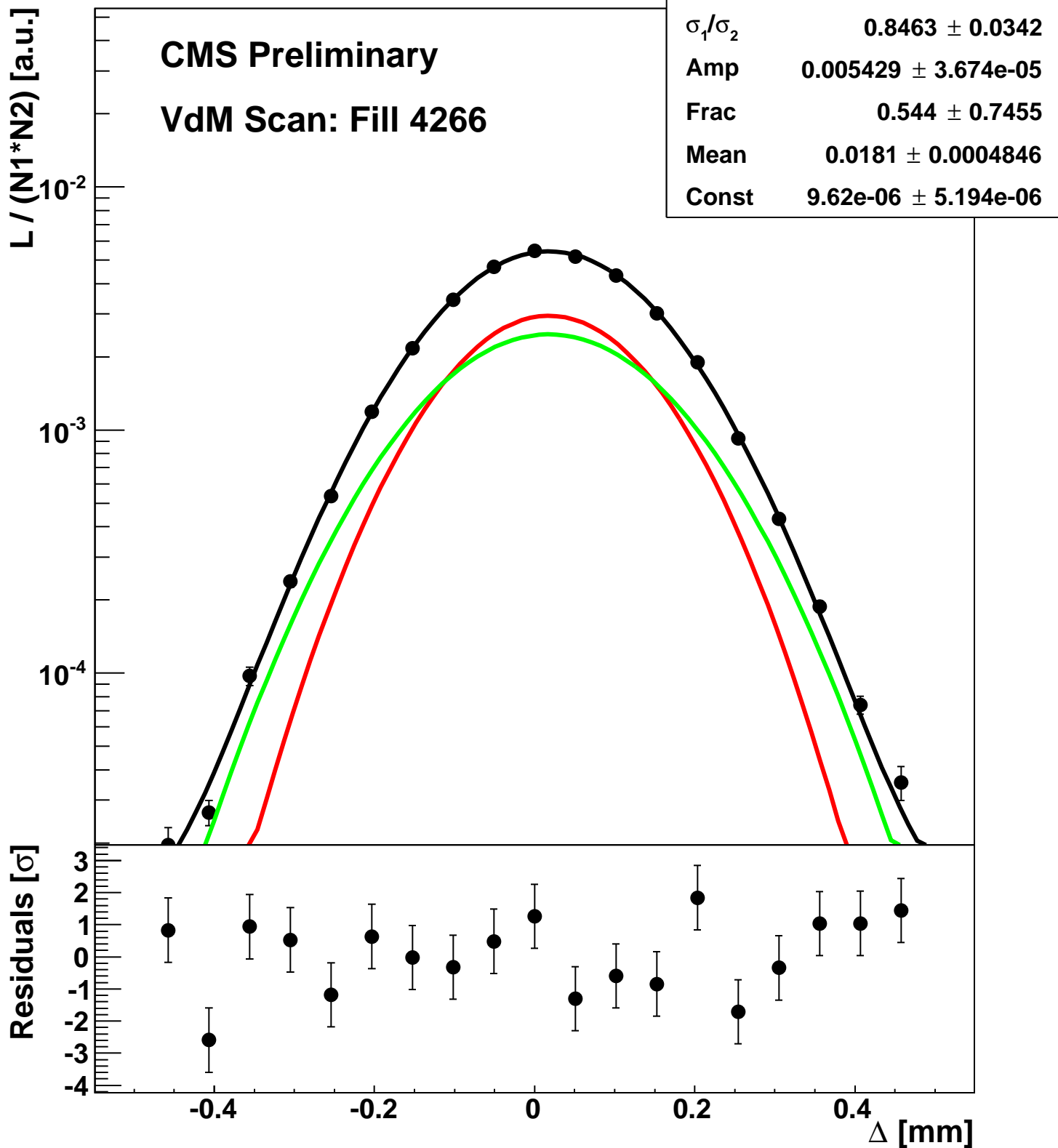
Scan 7: X-plane BCID 171



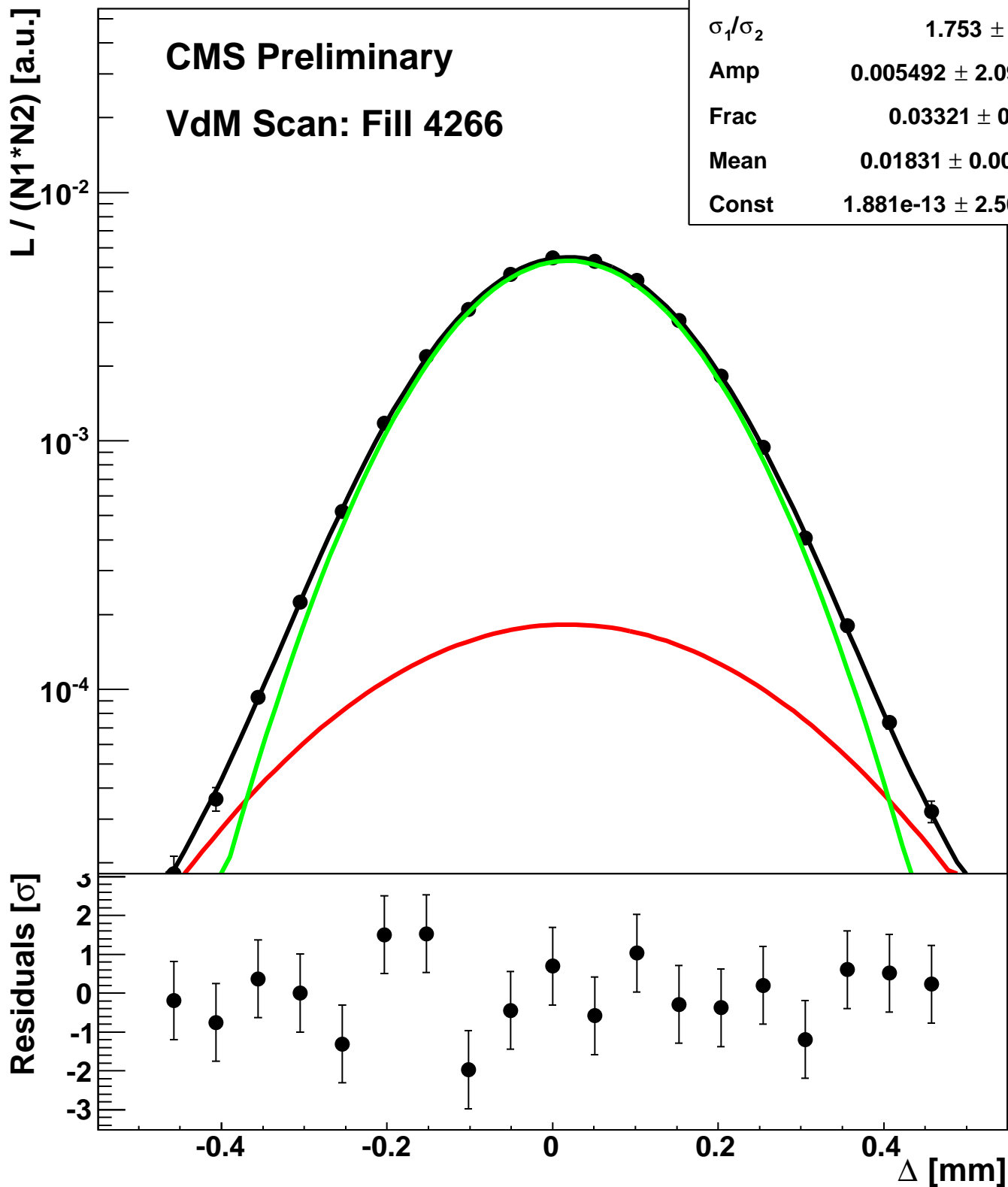
Scan 7: X-plane BCID 1711



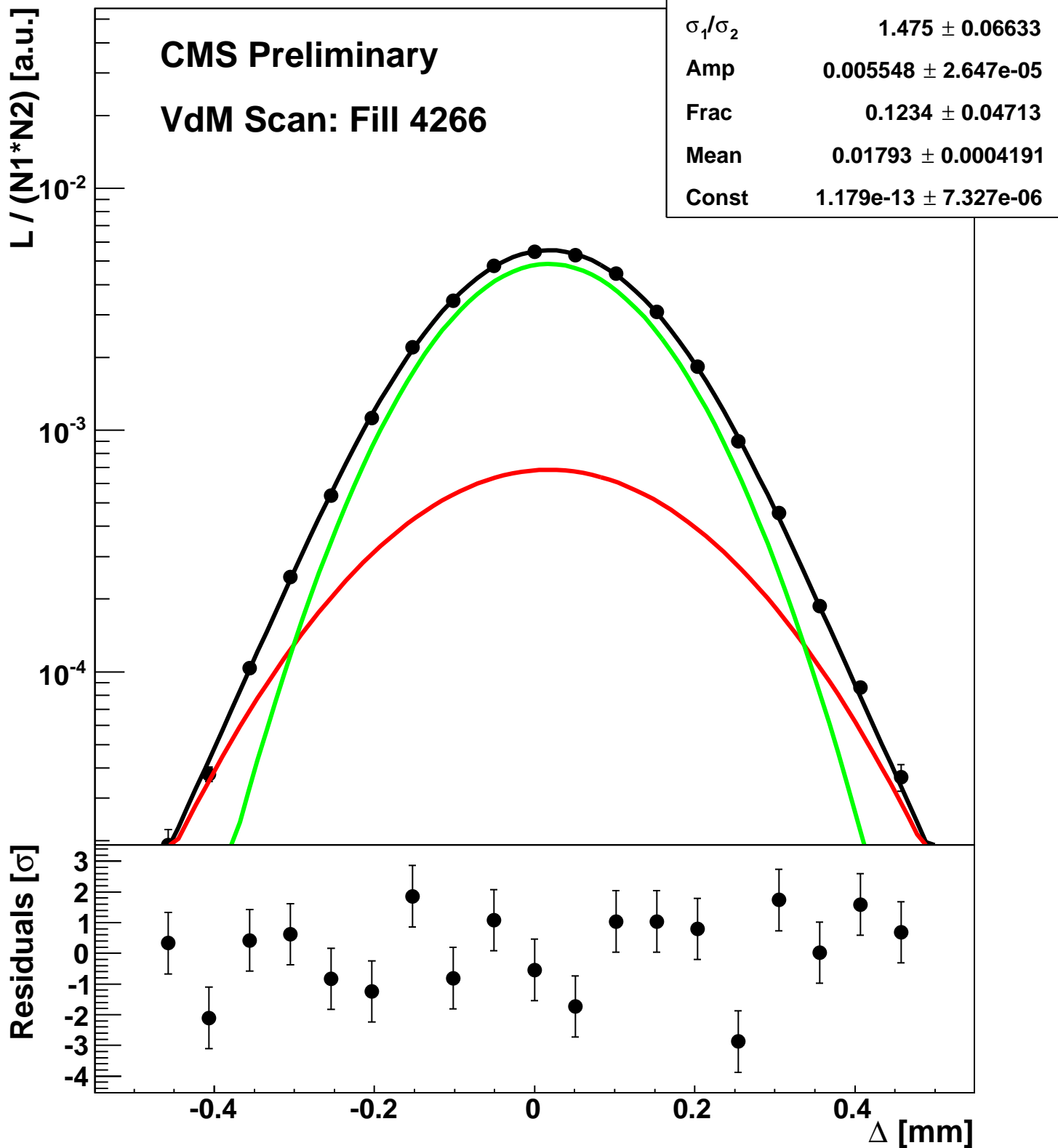
Scan 7: X-plane BCID 1751



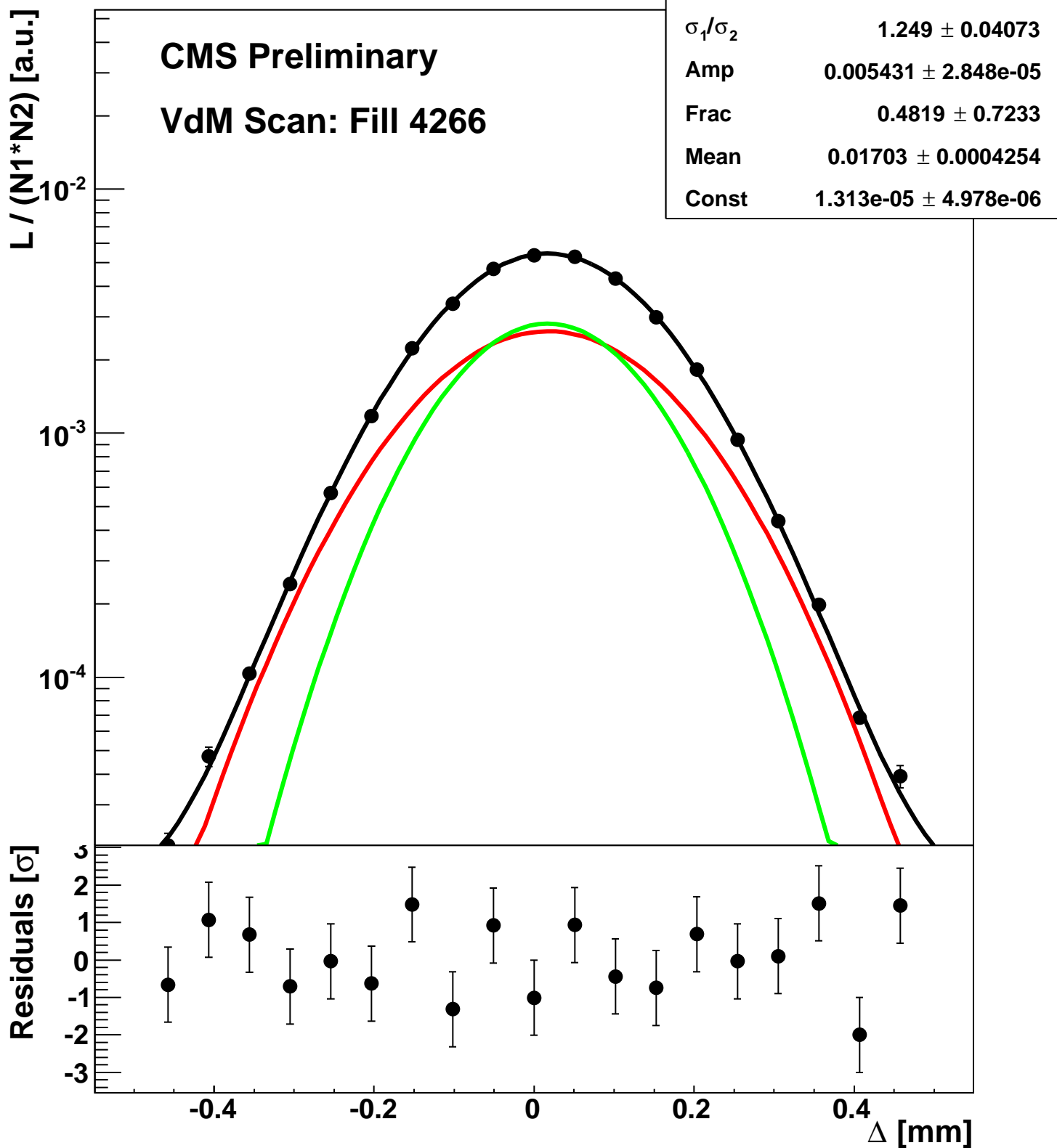
Scan 7: X-plane BCID 1791



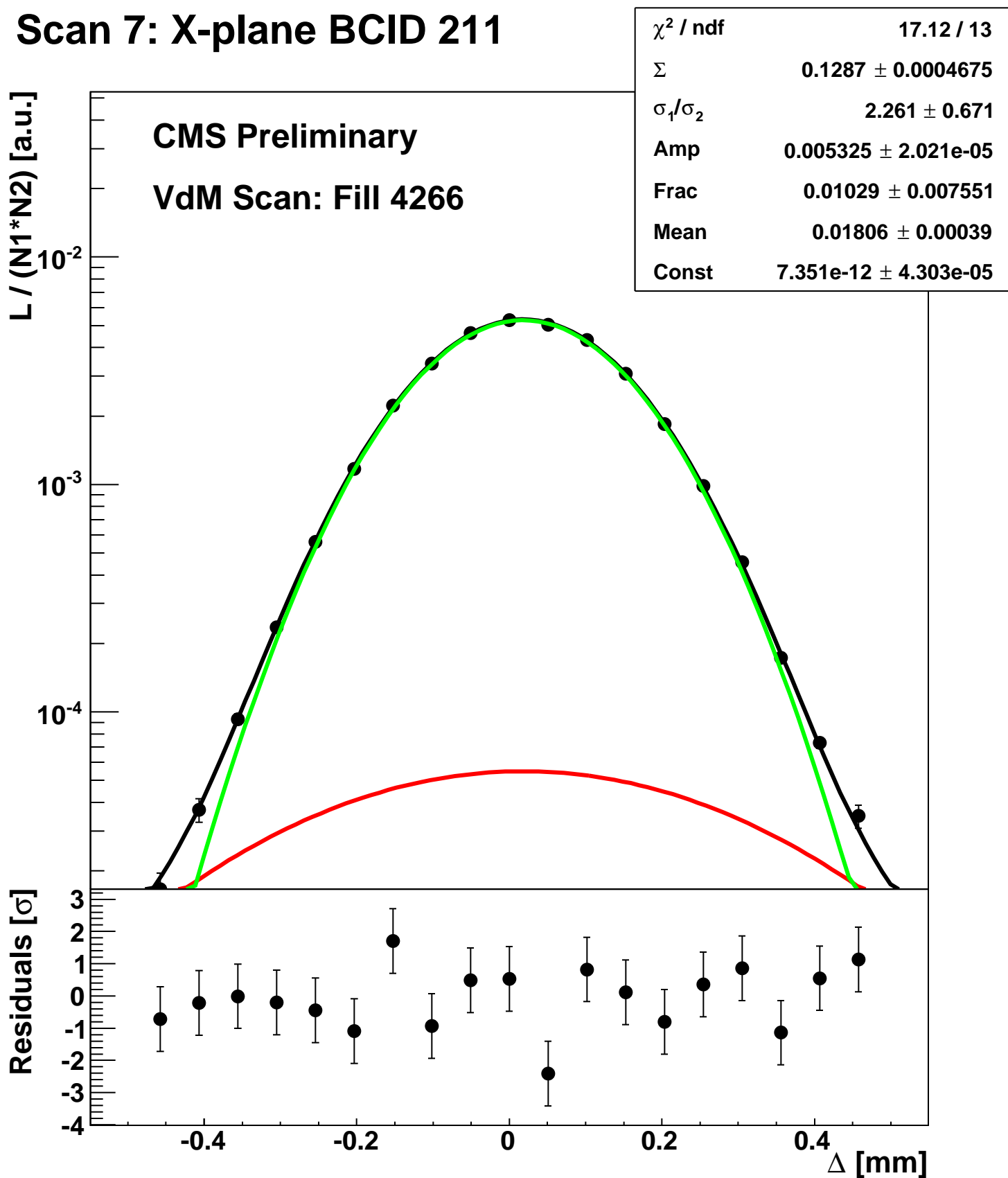
Scan 7: X-plane BCID 1831



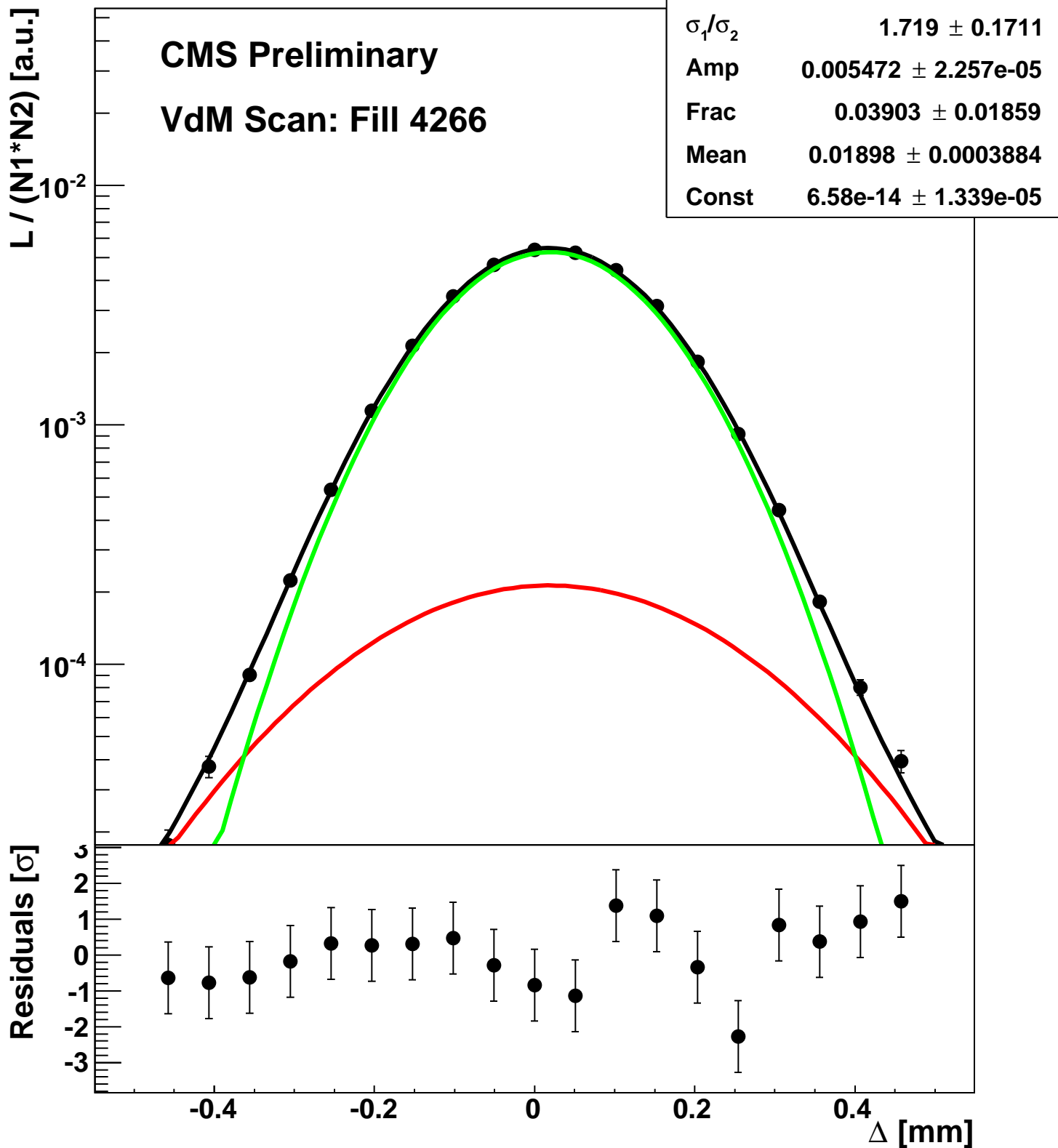
Scan 7: X-plane BCID 1871



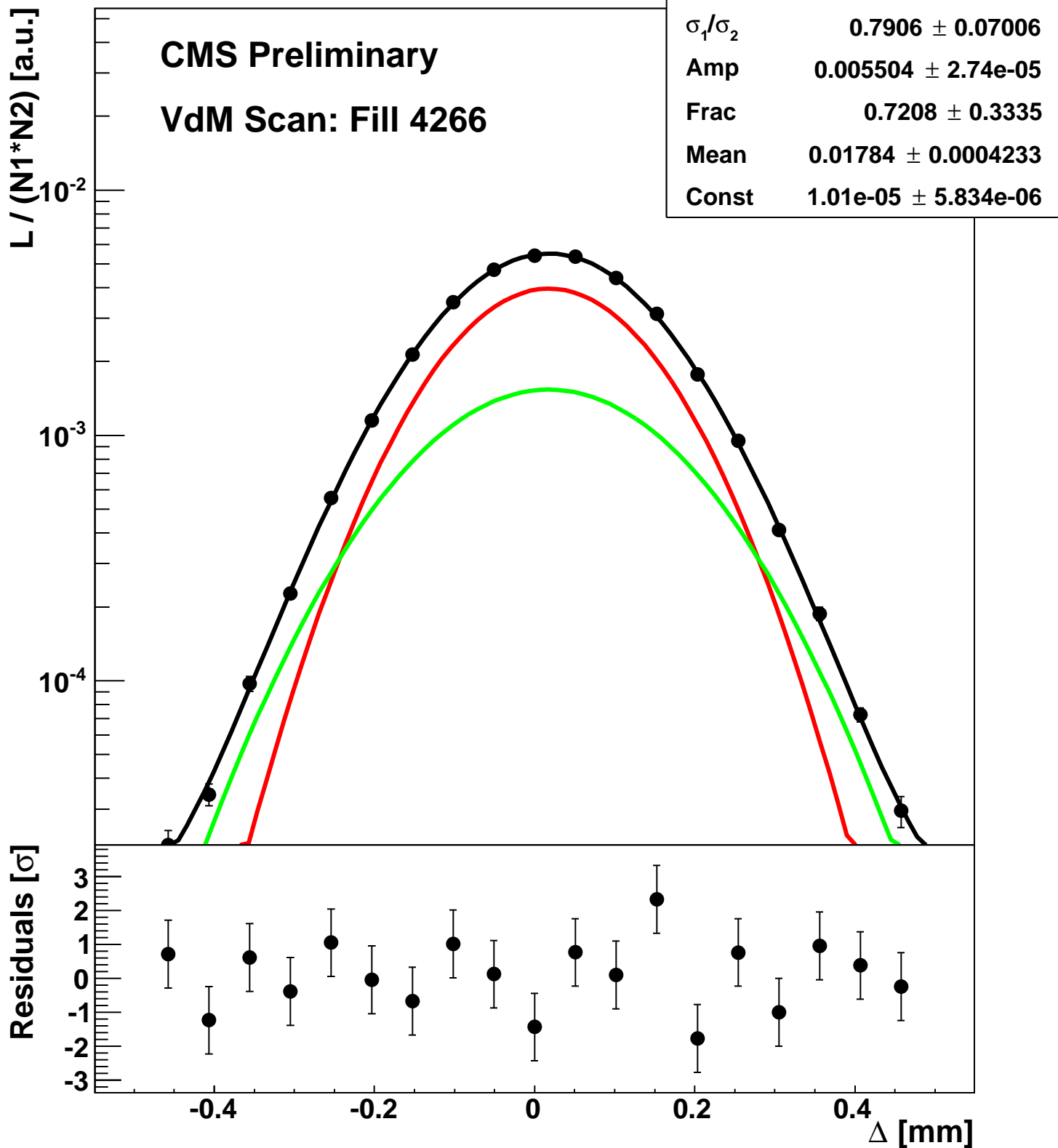
Scan 7: X-plane BCID 211



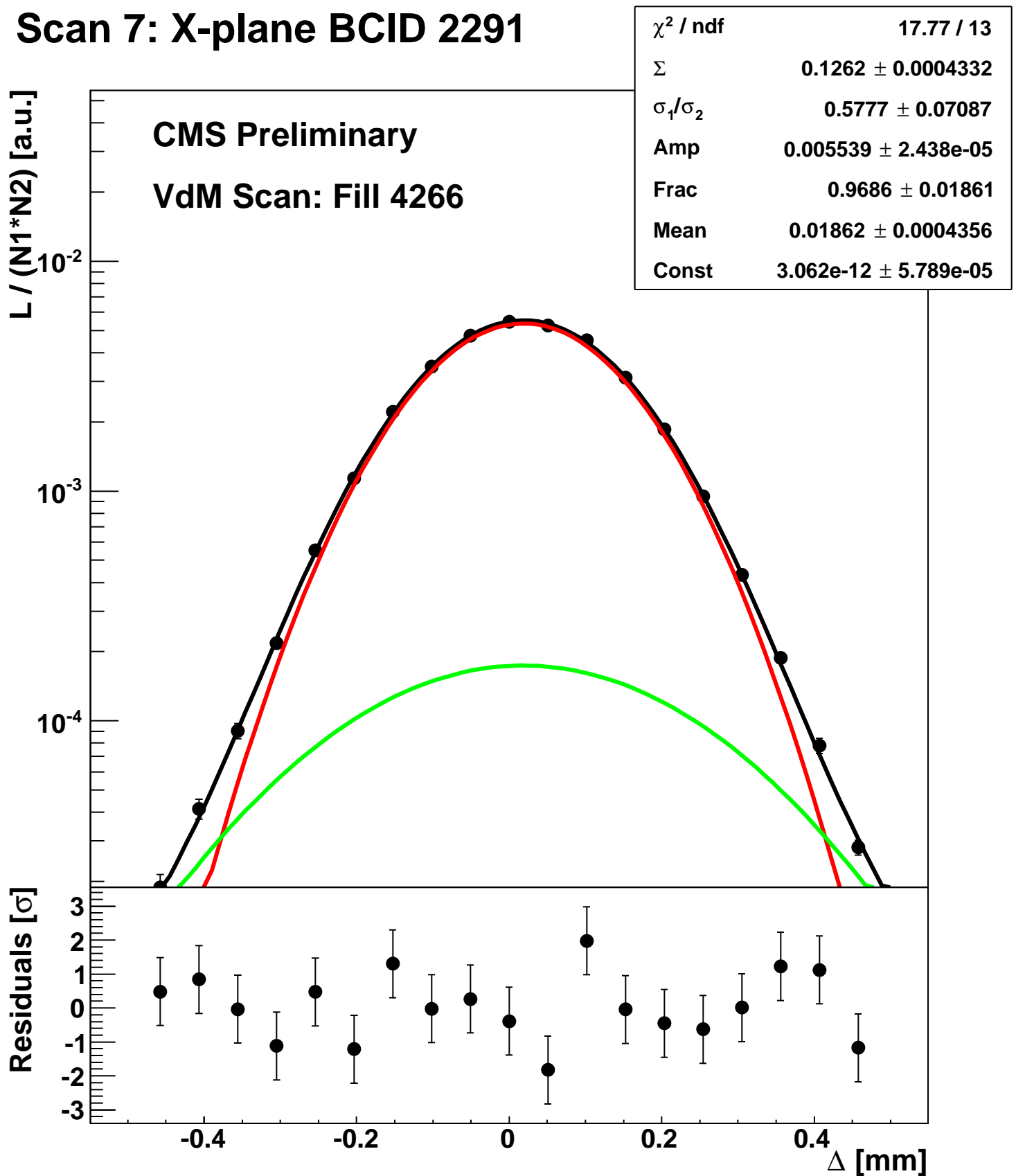
Scan 7: X-plane BCID 2211



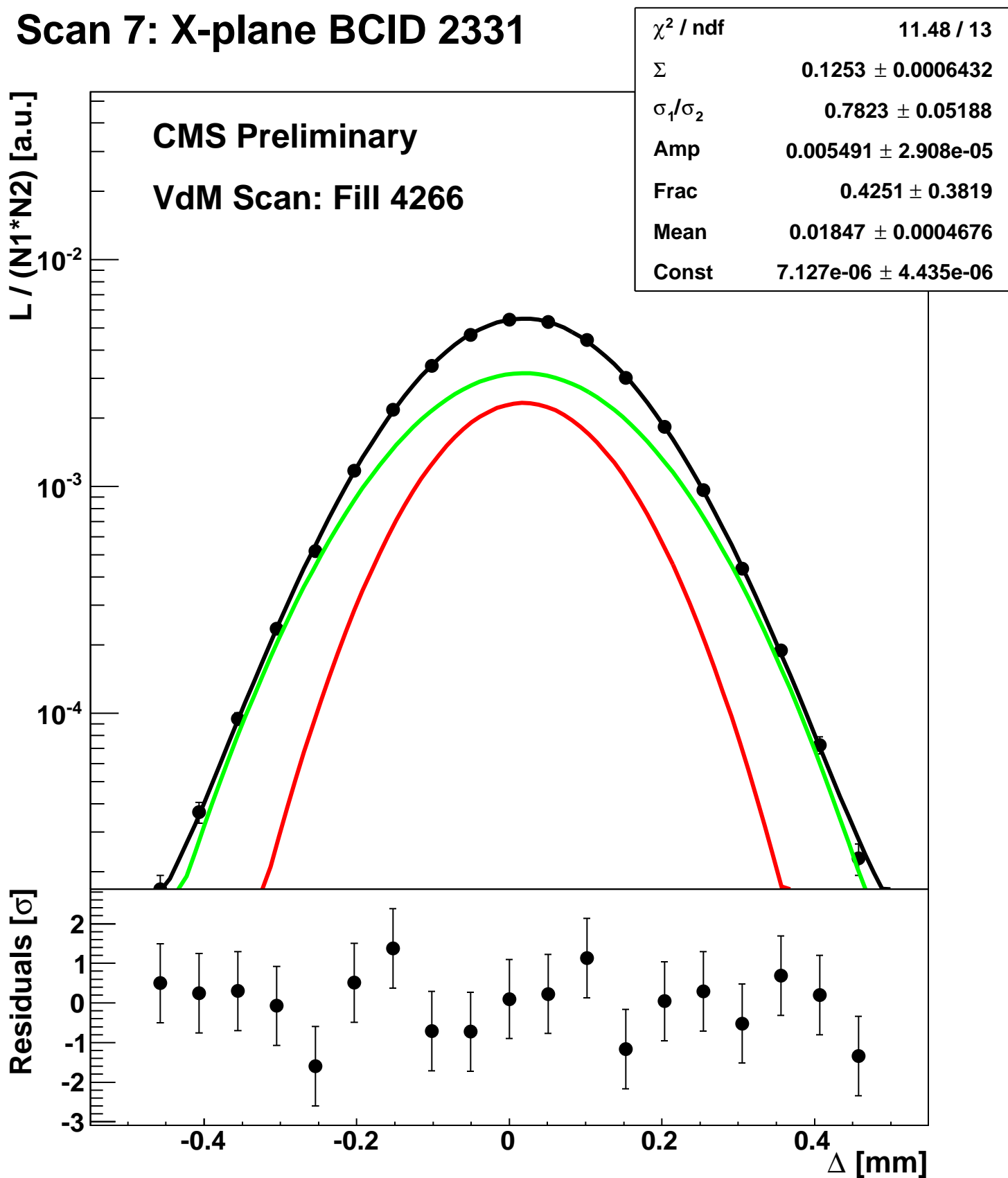
Scan 7: X-plane BCID 2251



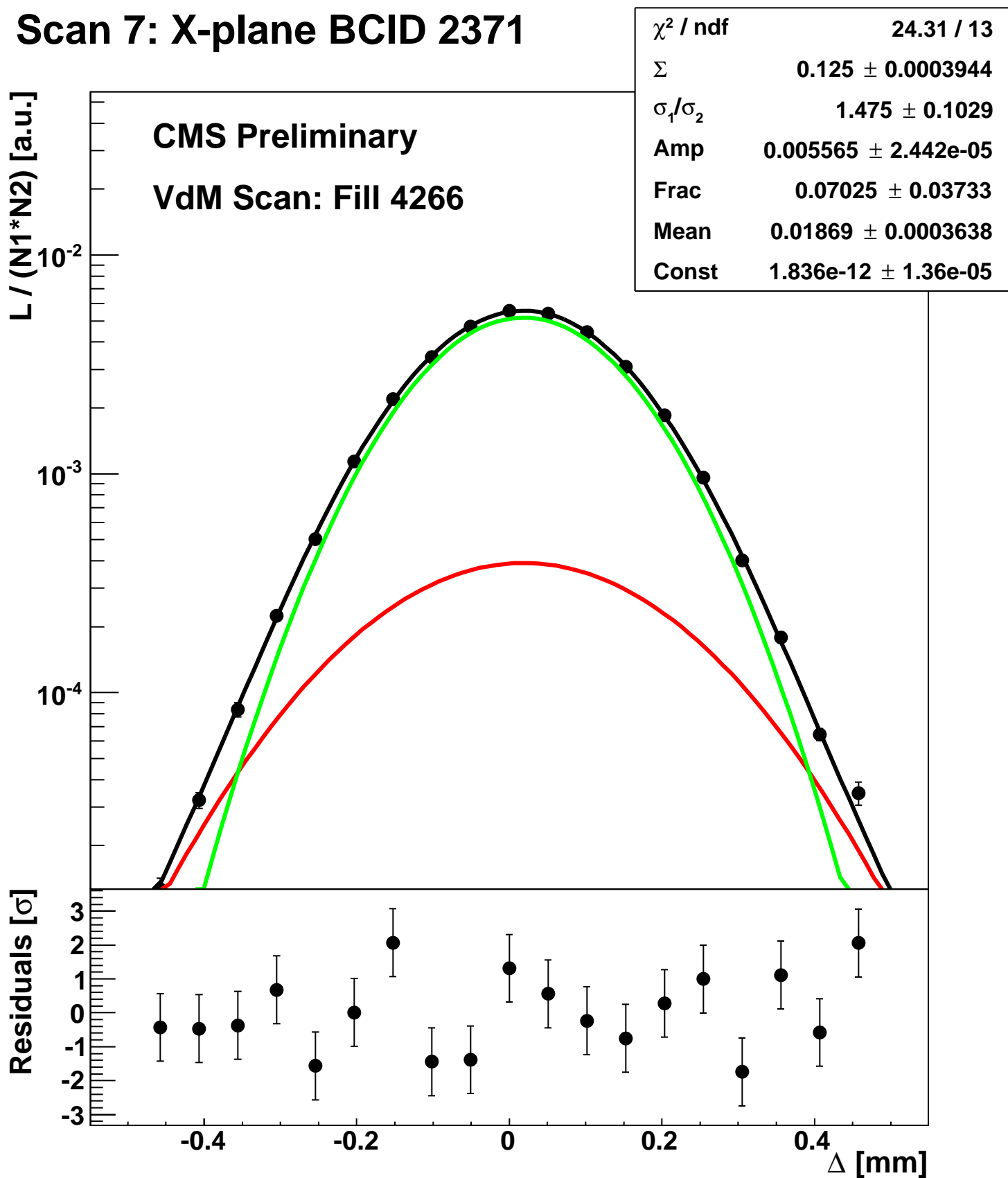
Scan 7: X-plane BCID 2291



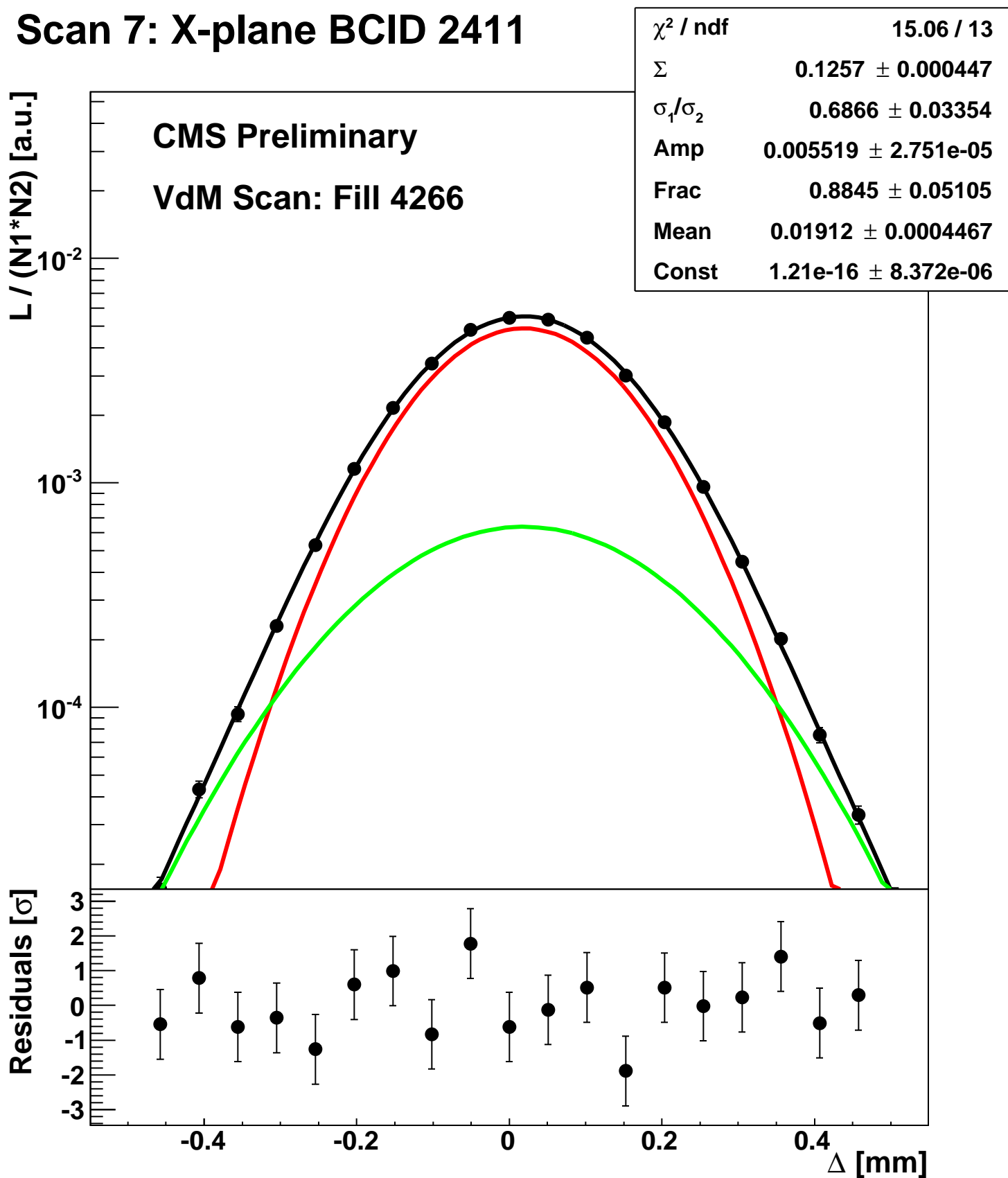
Scan 7: X-plane BCID 2331



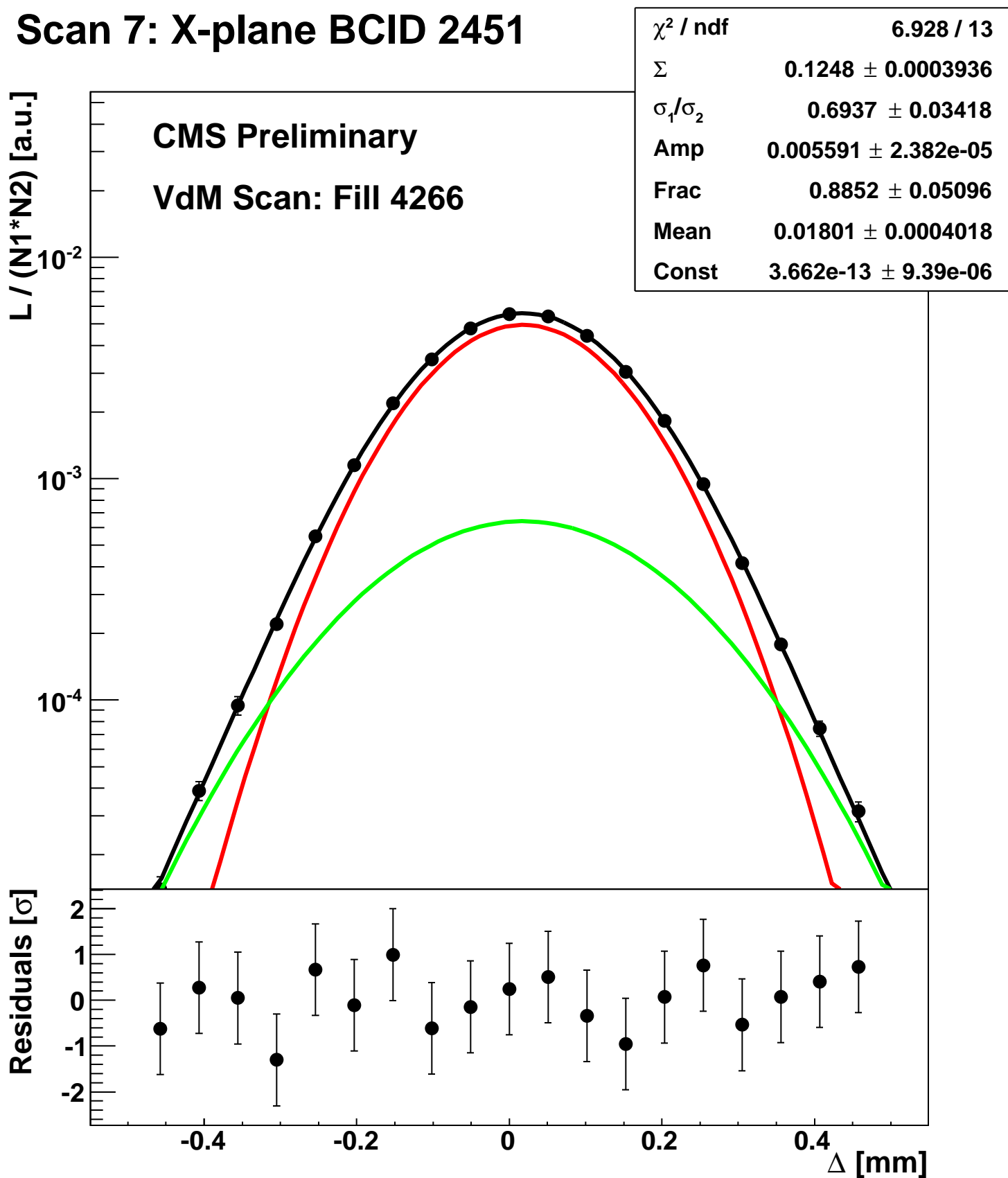
Scan 7: X-plane BCID 2371



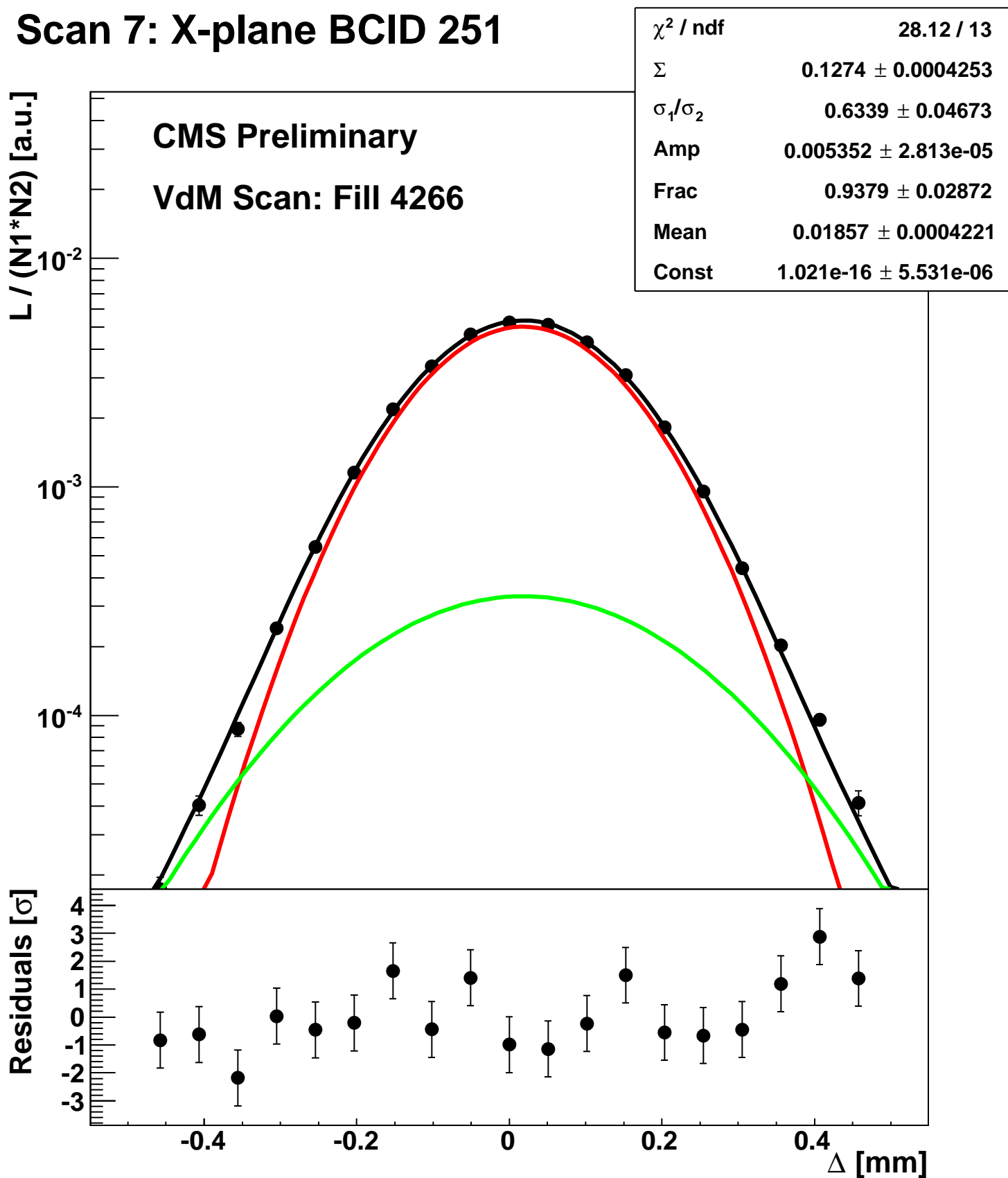
Scan 7: X-plane BCID 2411



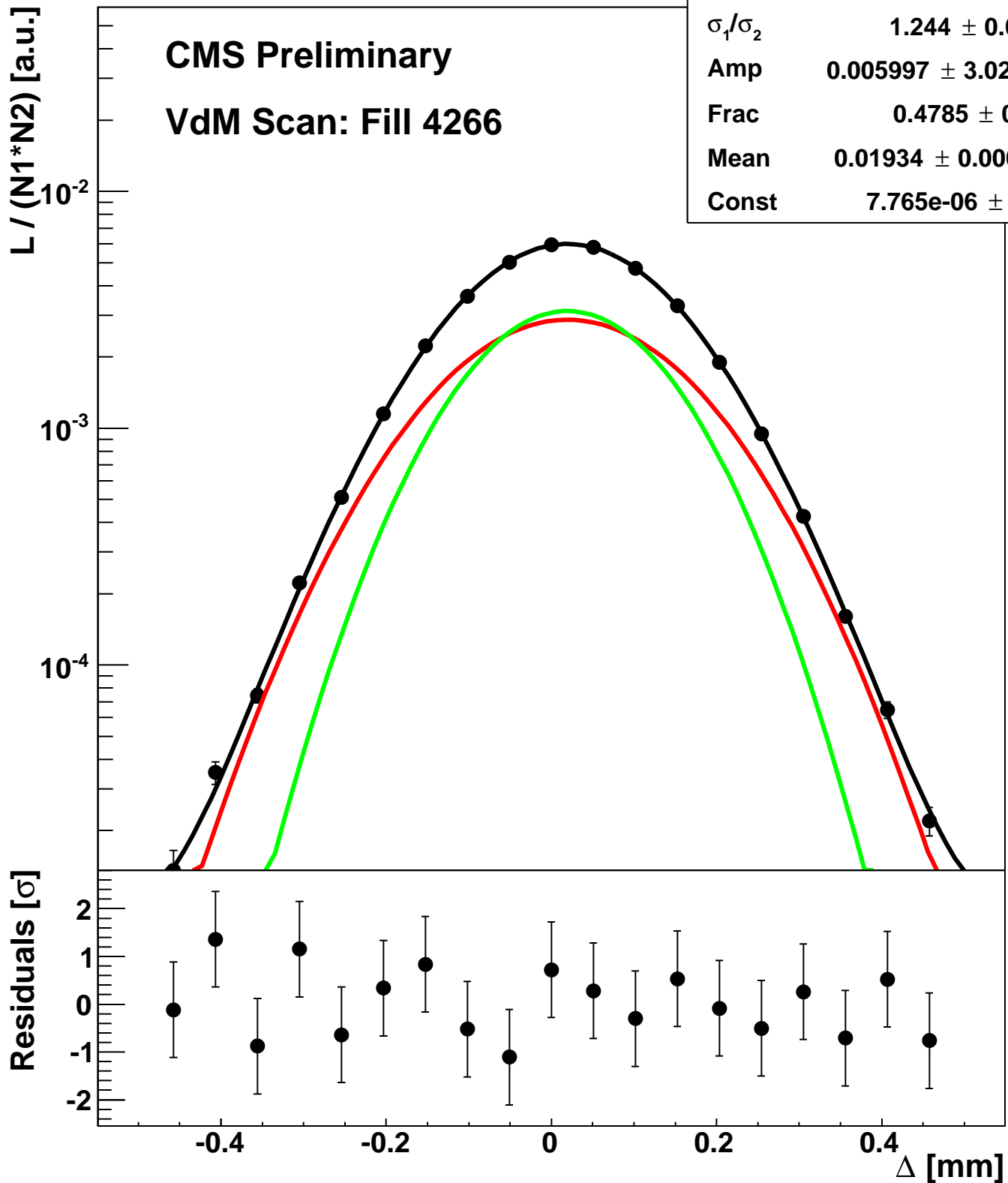
Scan 7: X-plane BCID 2451



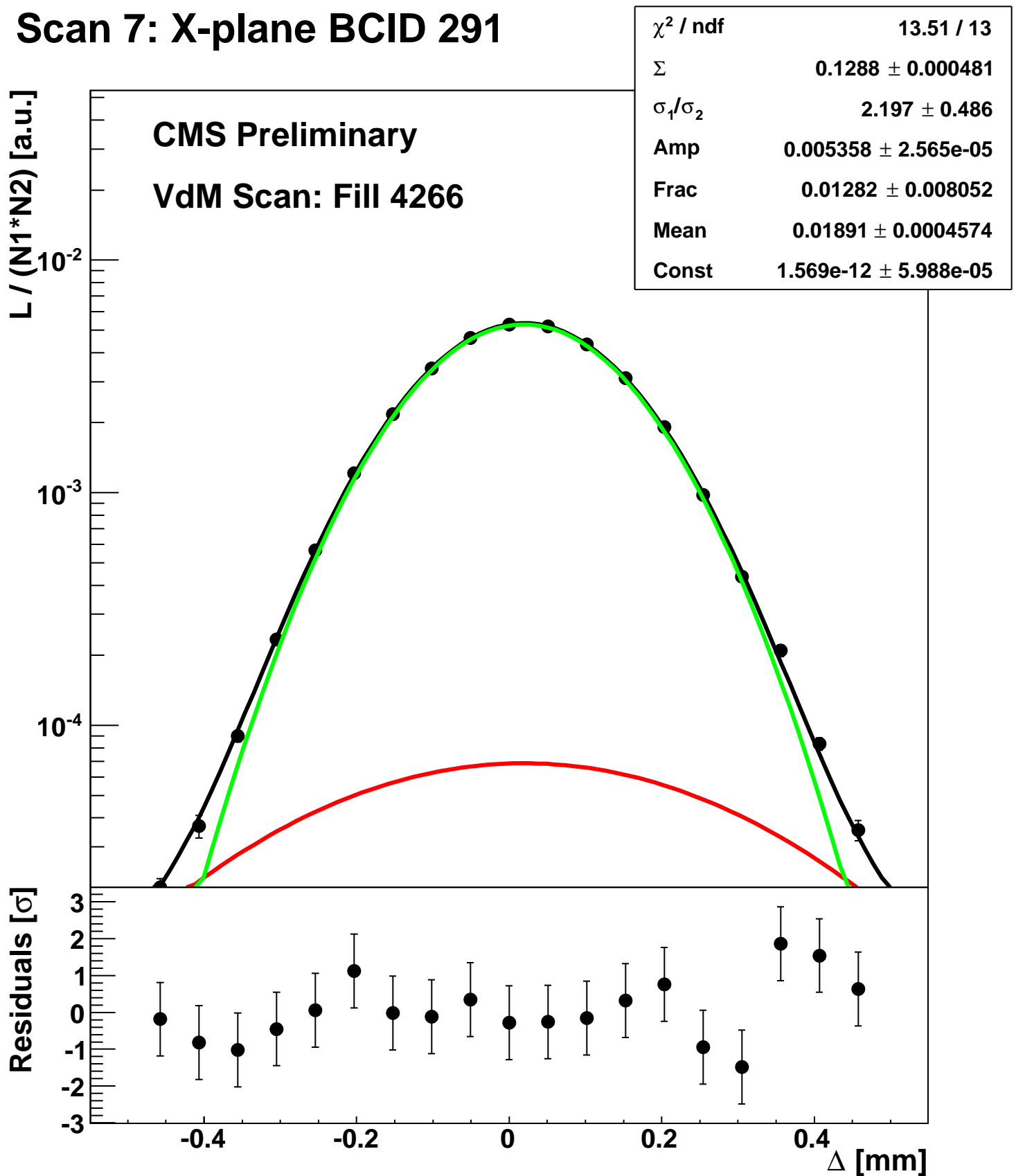
Scan 7: X-plane BCID 251



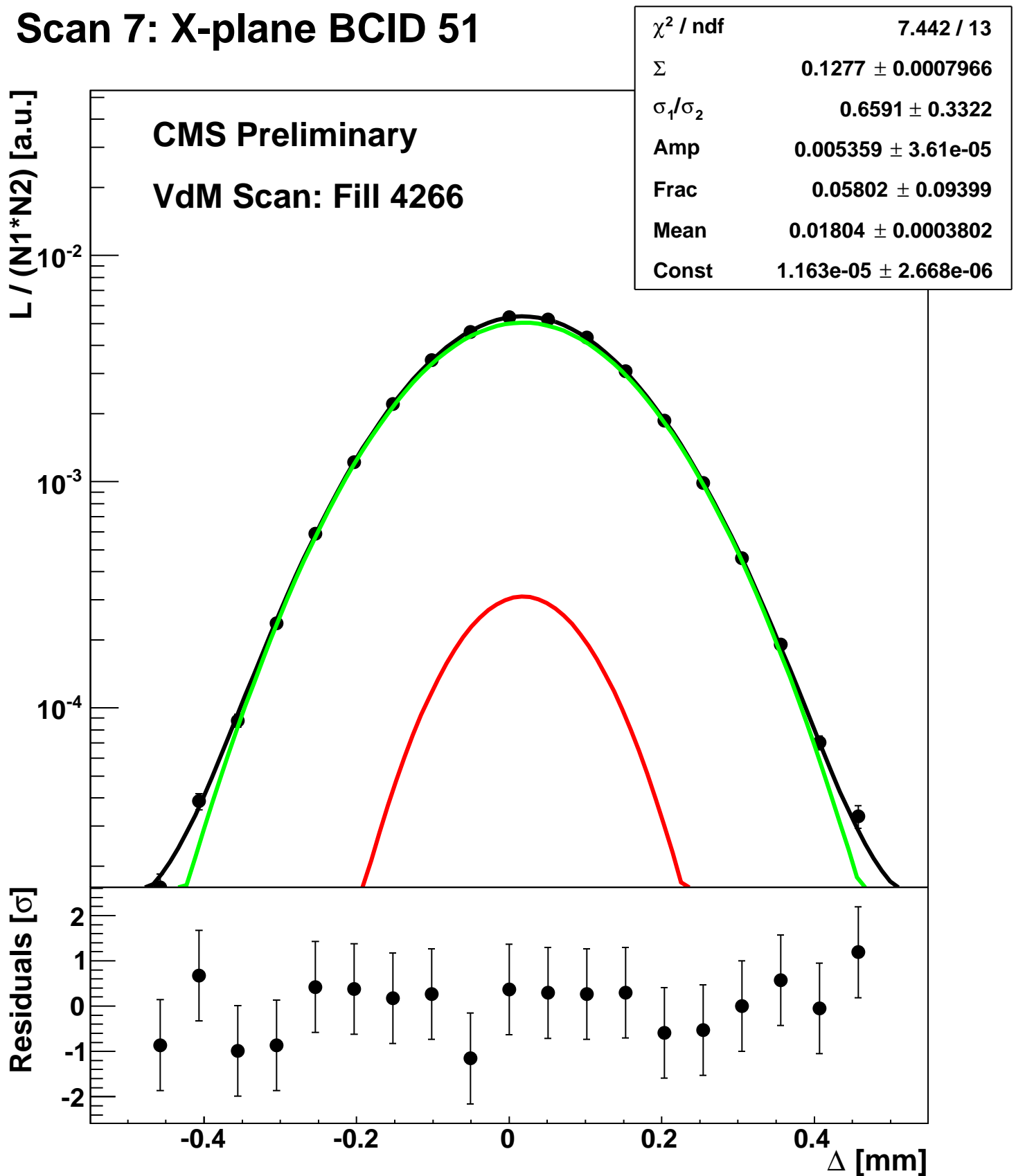
Scan 7: X-plane BCID 2674



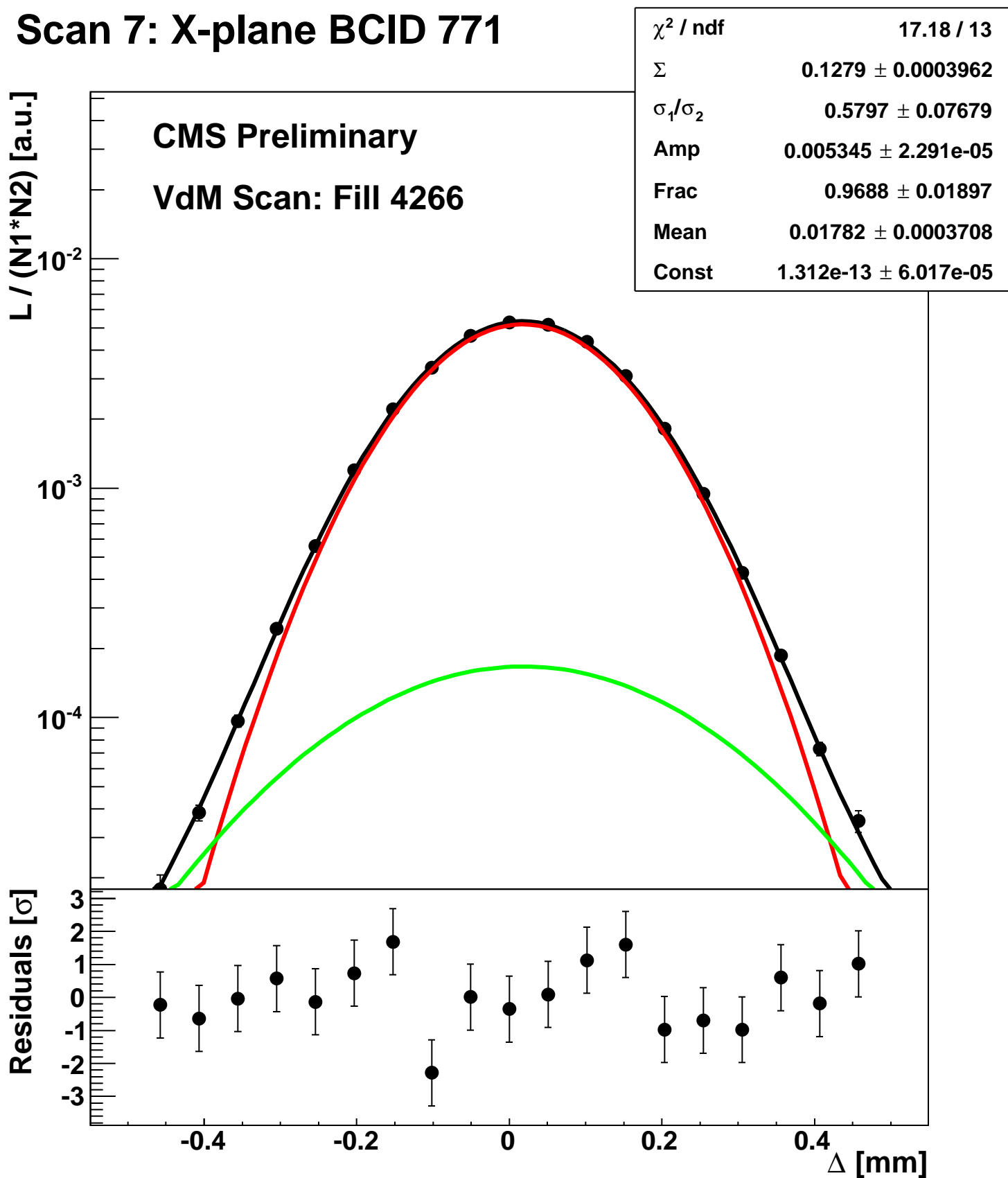
Scan 7: X-plane BCID 291



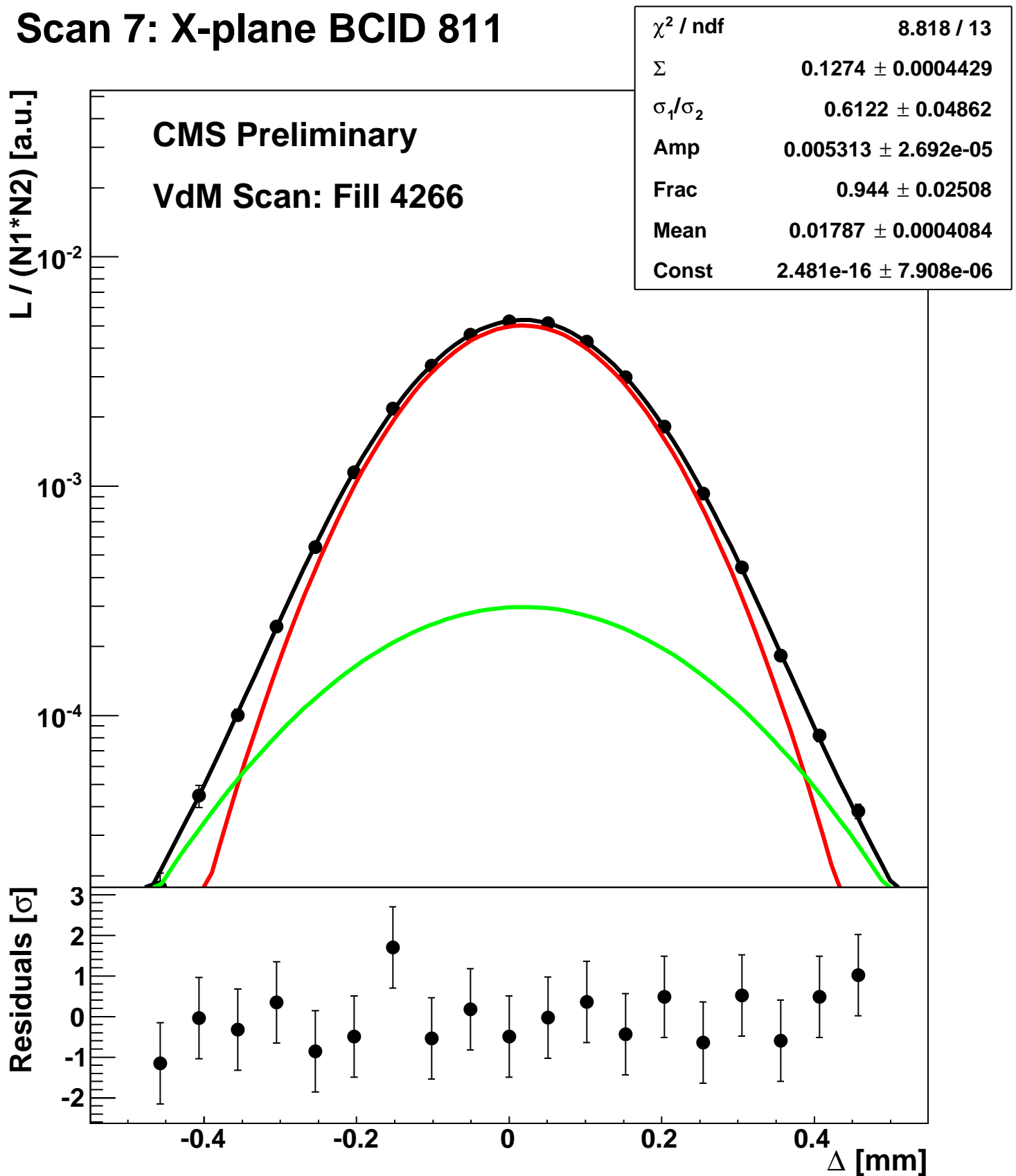
Scan 7: X-plane BCID 51



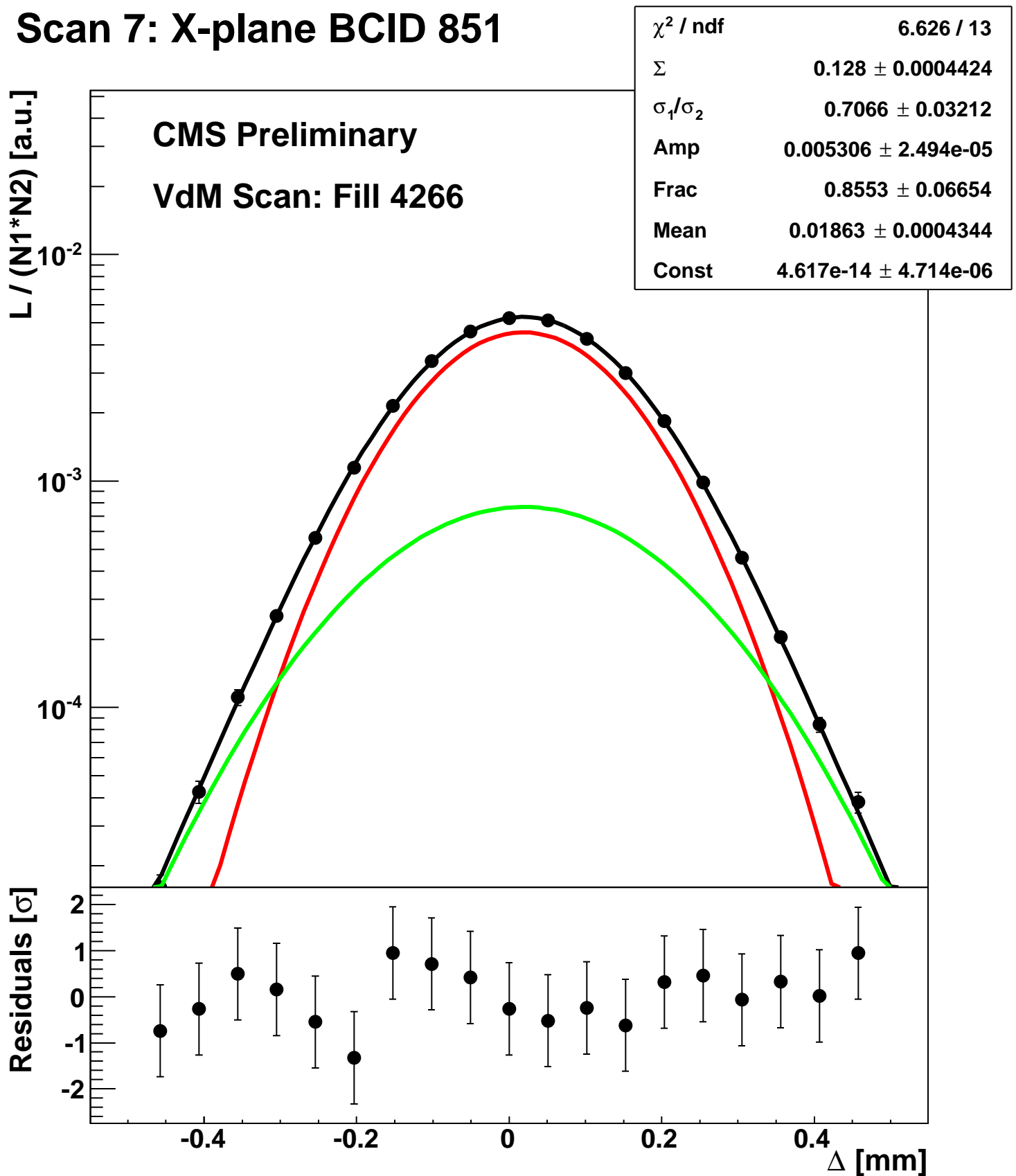
Scan 7: X-plane BCID 771



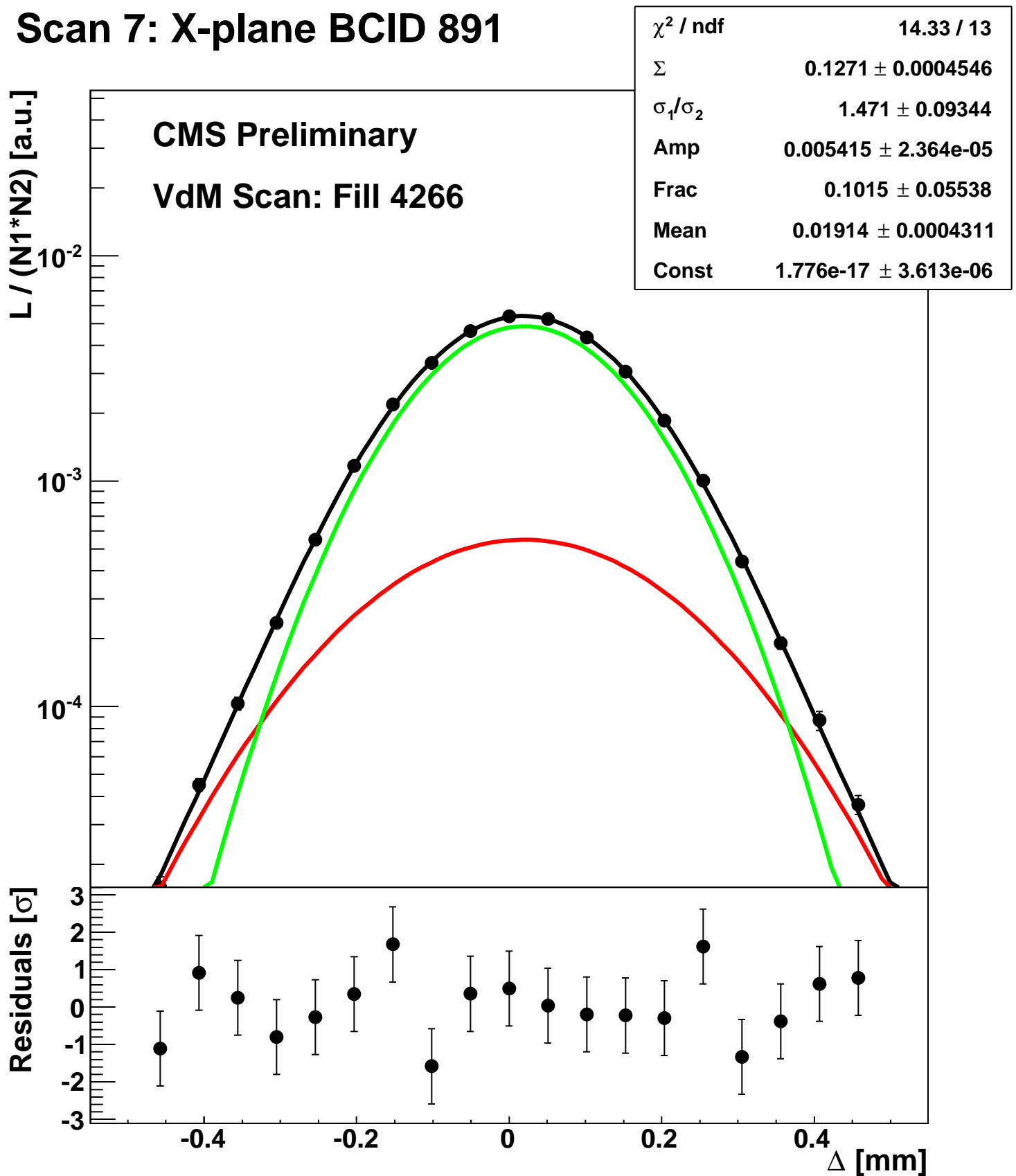
Scan 7: X-plane BCID 811



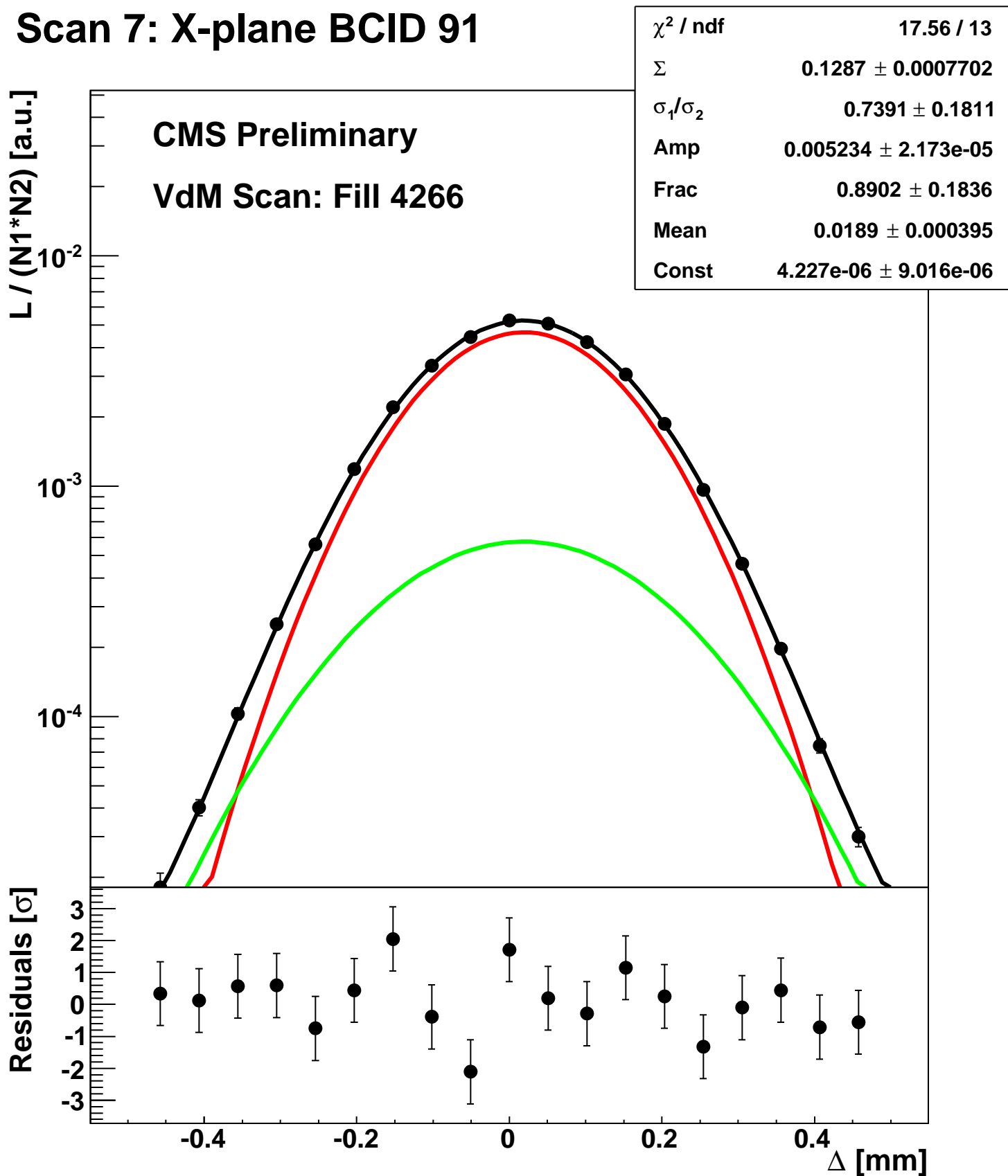
Scan 7: X-plane BCID 851



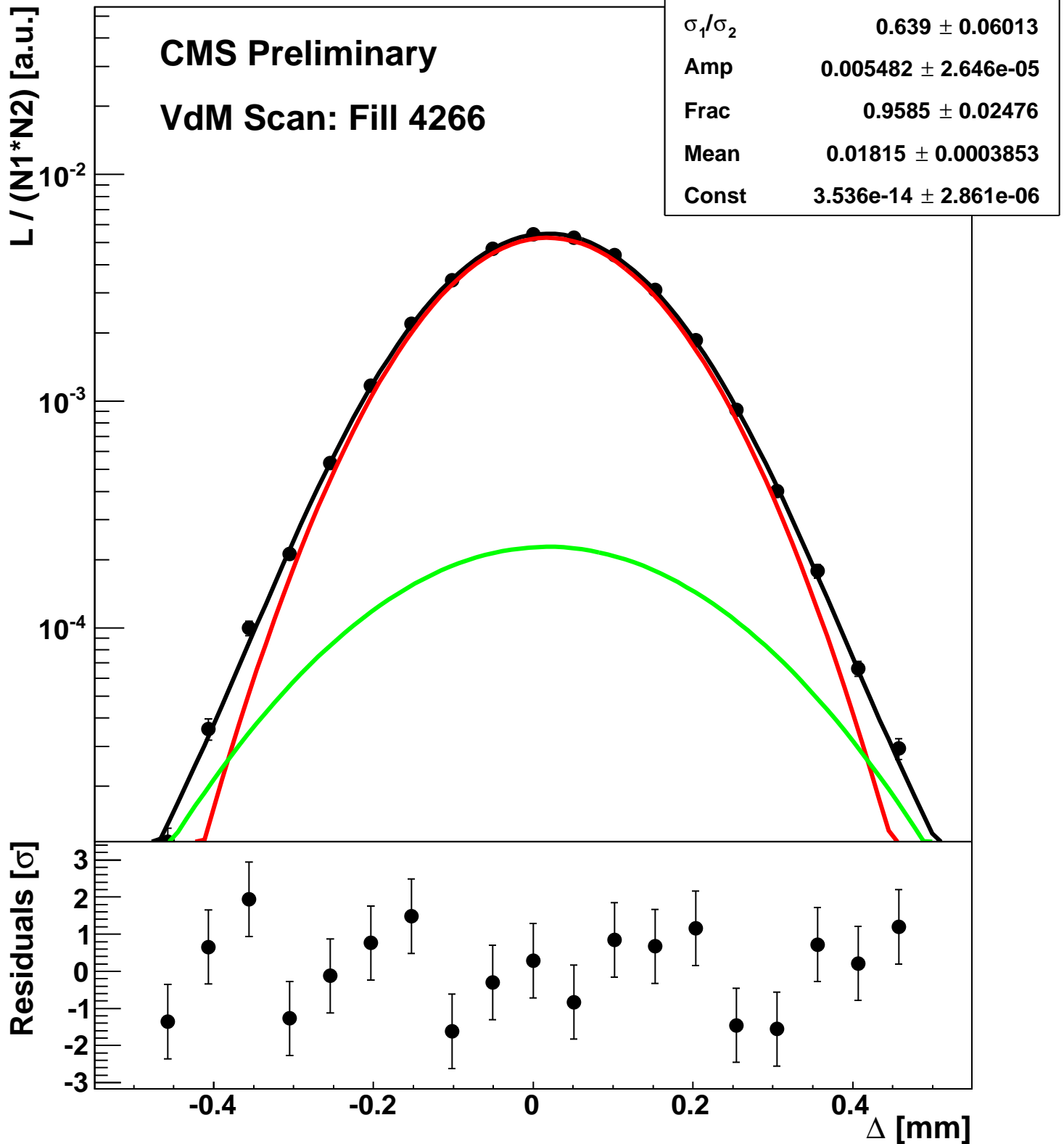
Scan 7: X-plane BCID 891



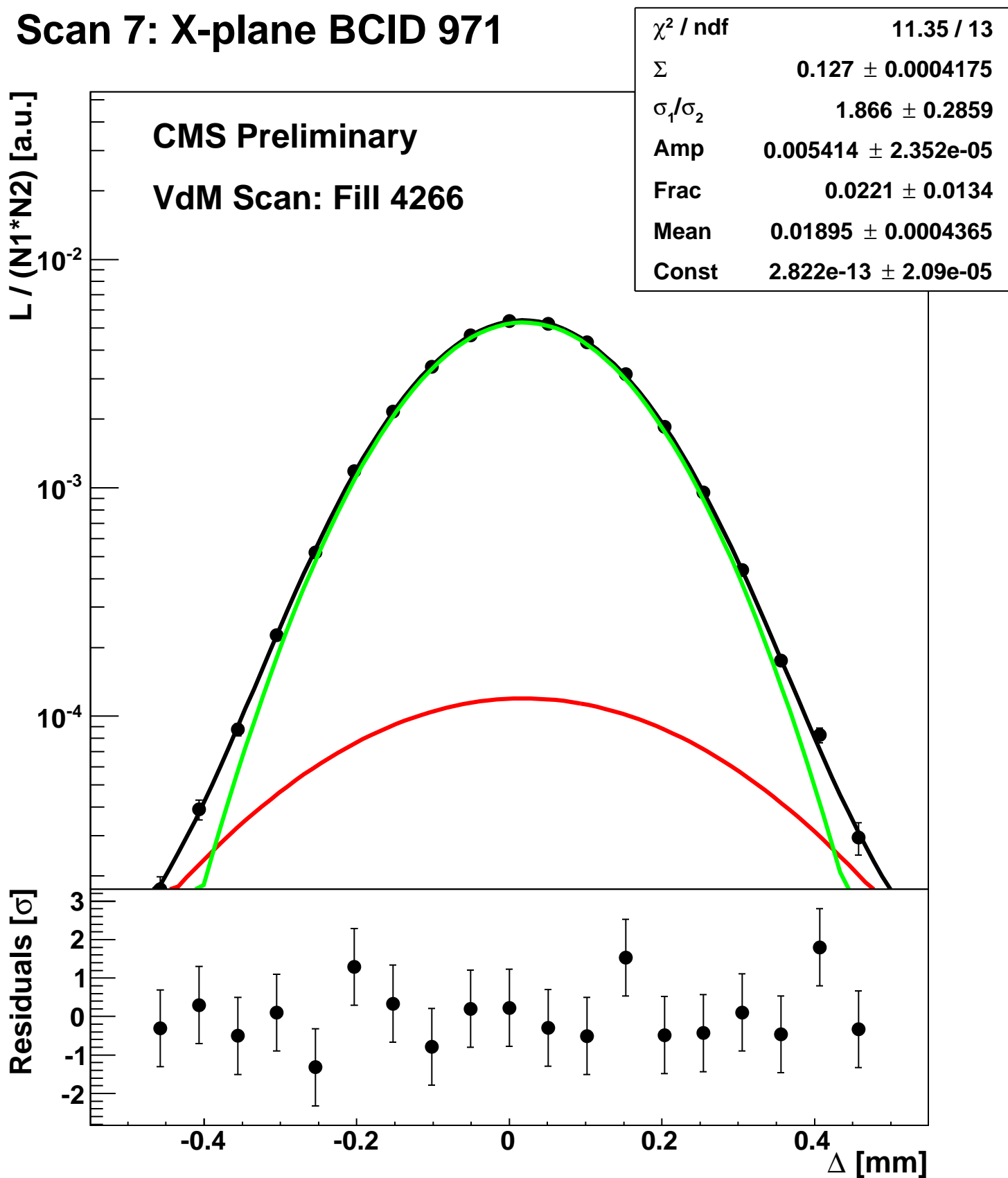
Scan 7: X-plane BCID 91



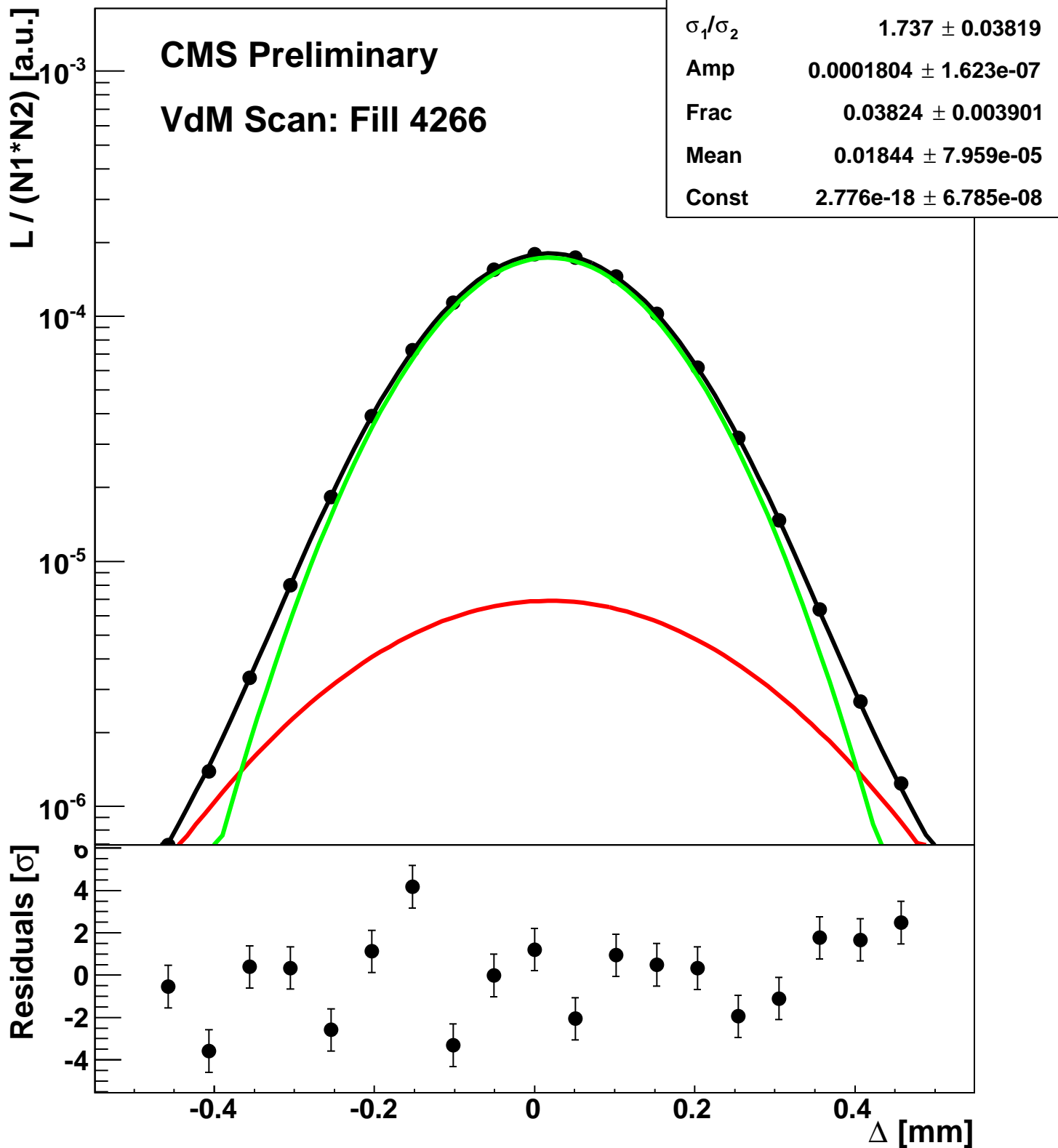
Scan 7: X-plane BCID 931



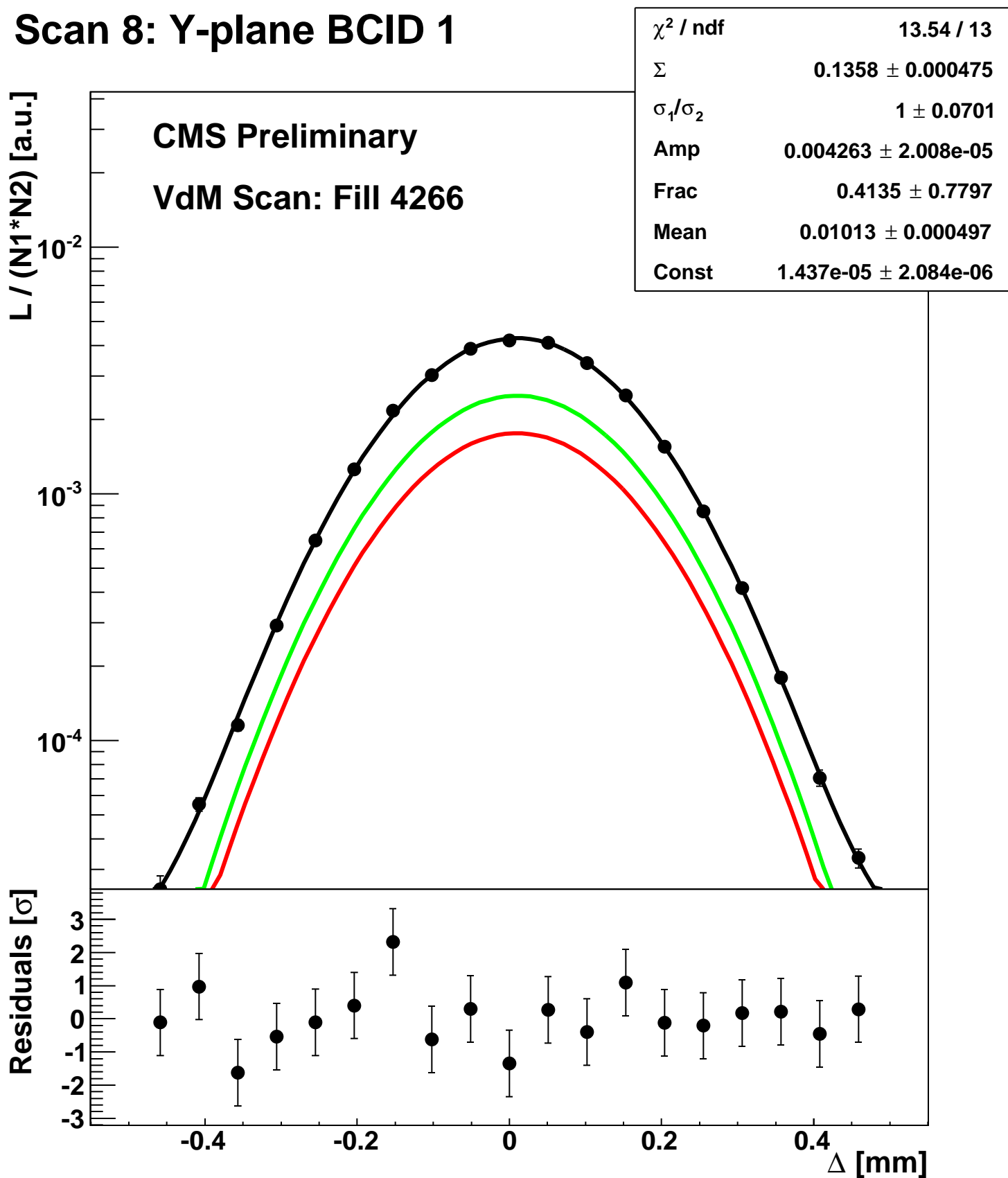
Scan 7: X-plane BCID 971



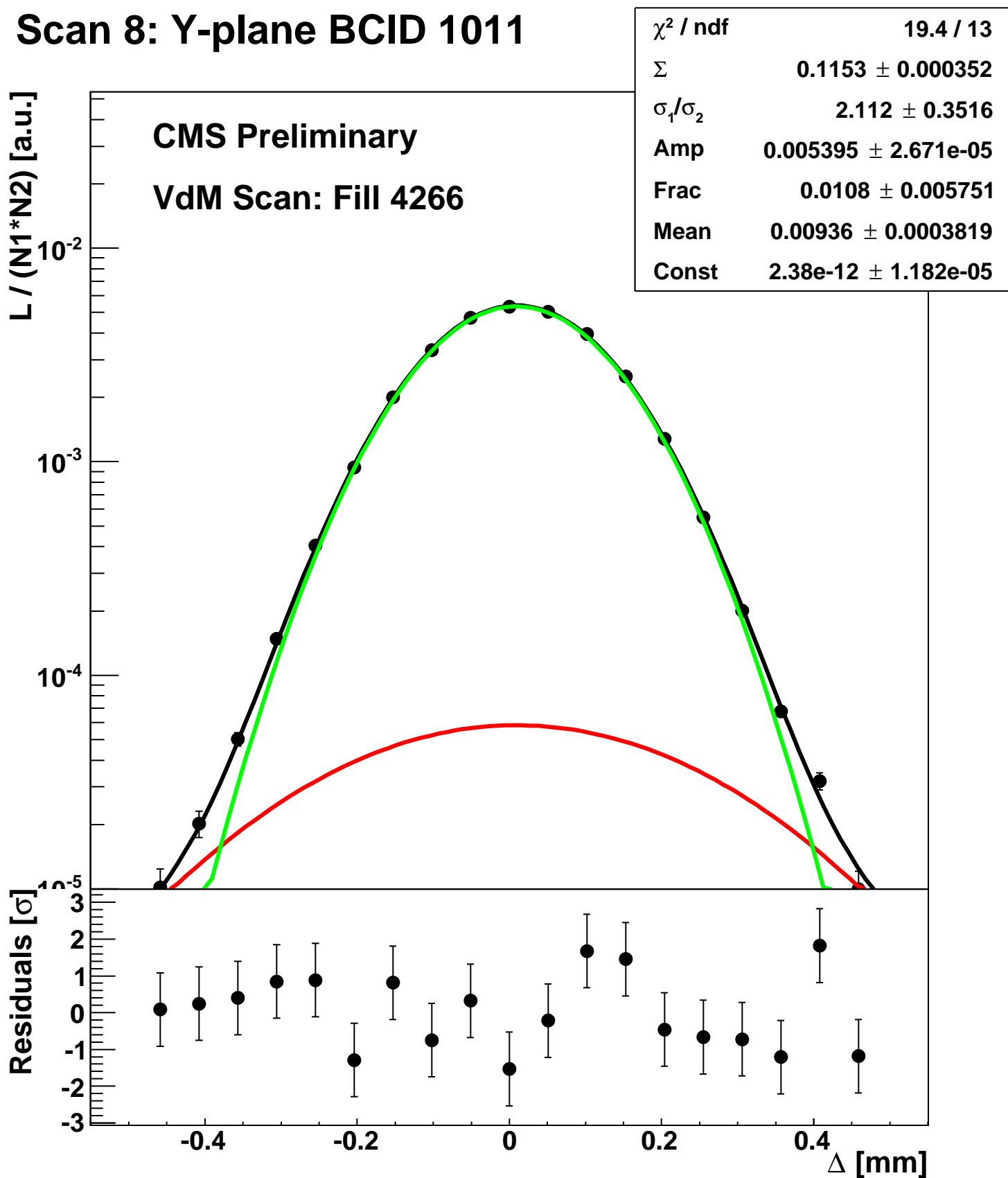
Scan 7: X-plane BCID sum



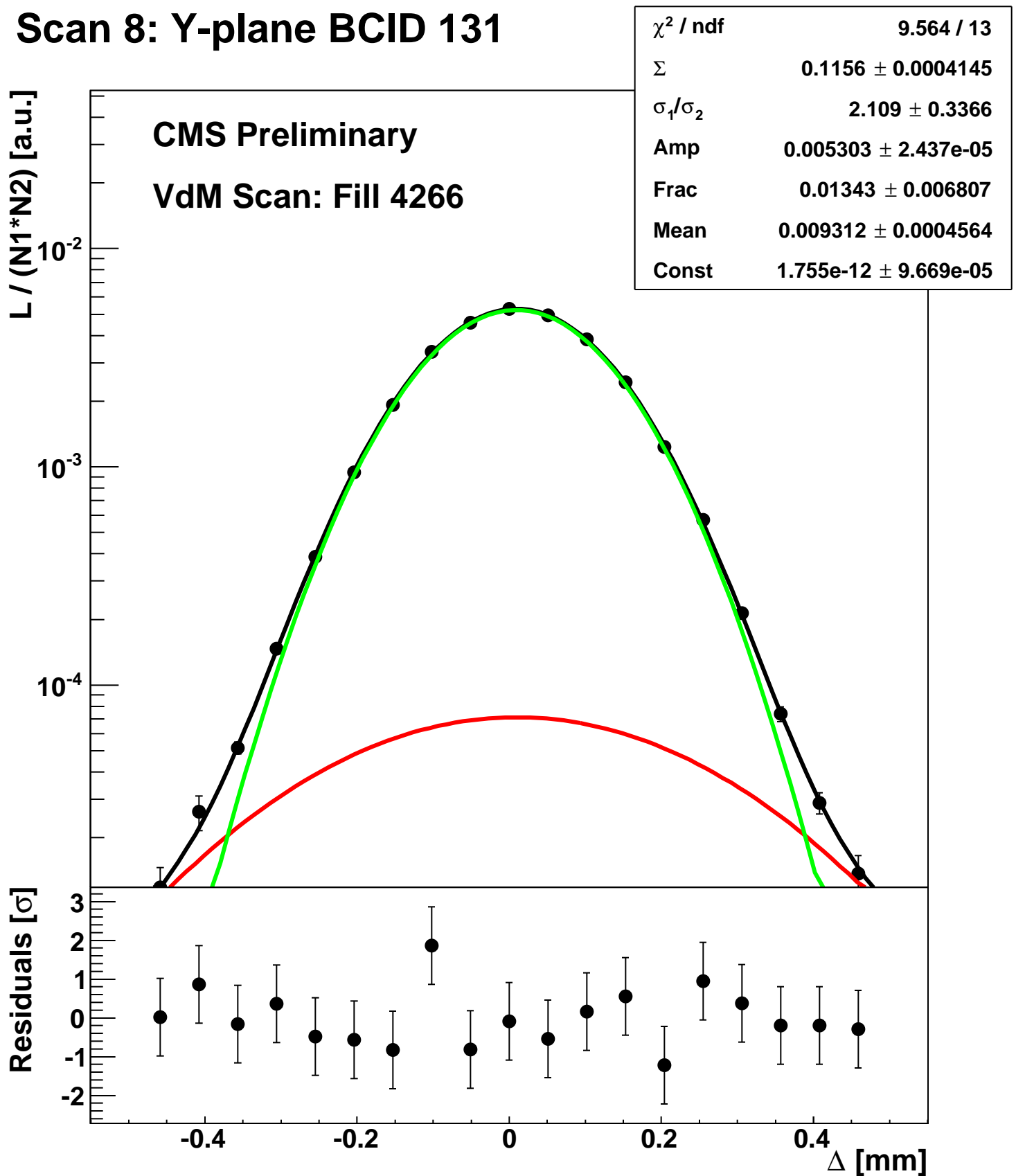
Scan 8: Y-plane BCID 1



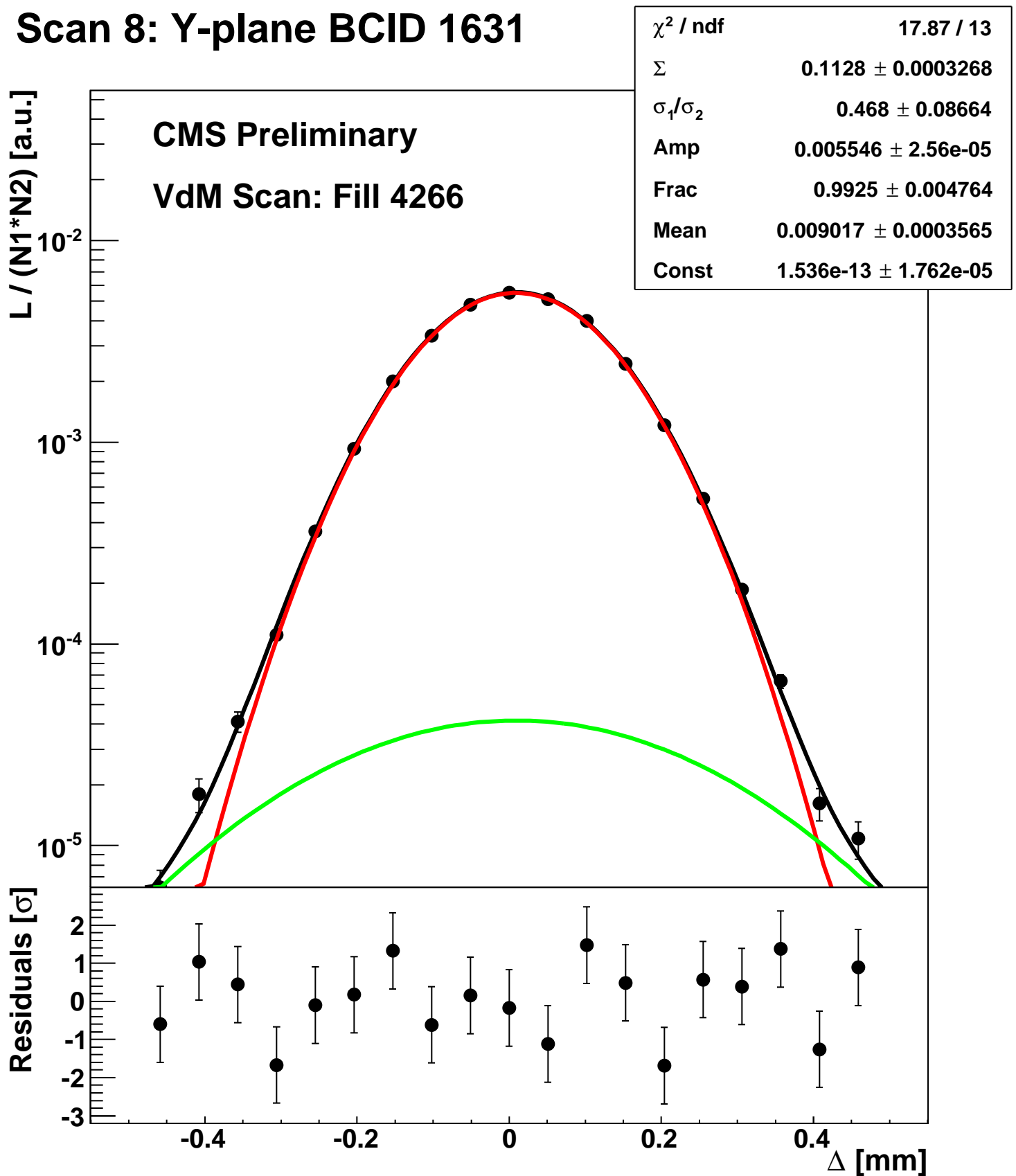
Scan 8: Y-plane BCID 1011



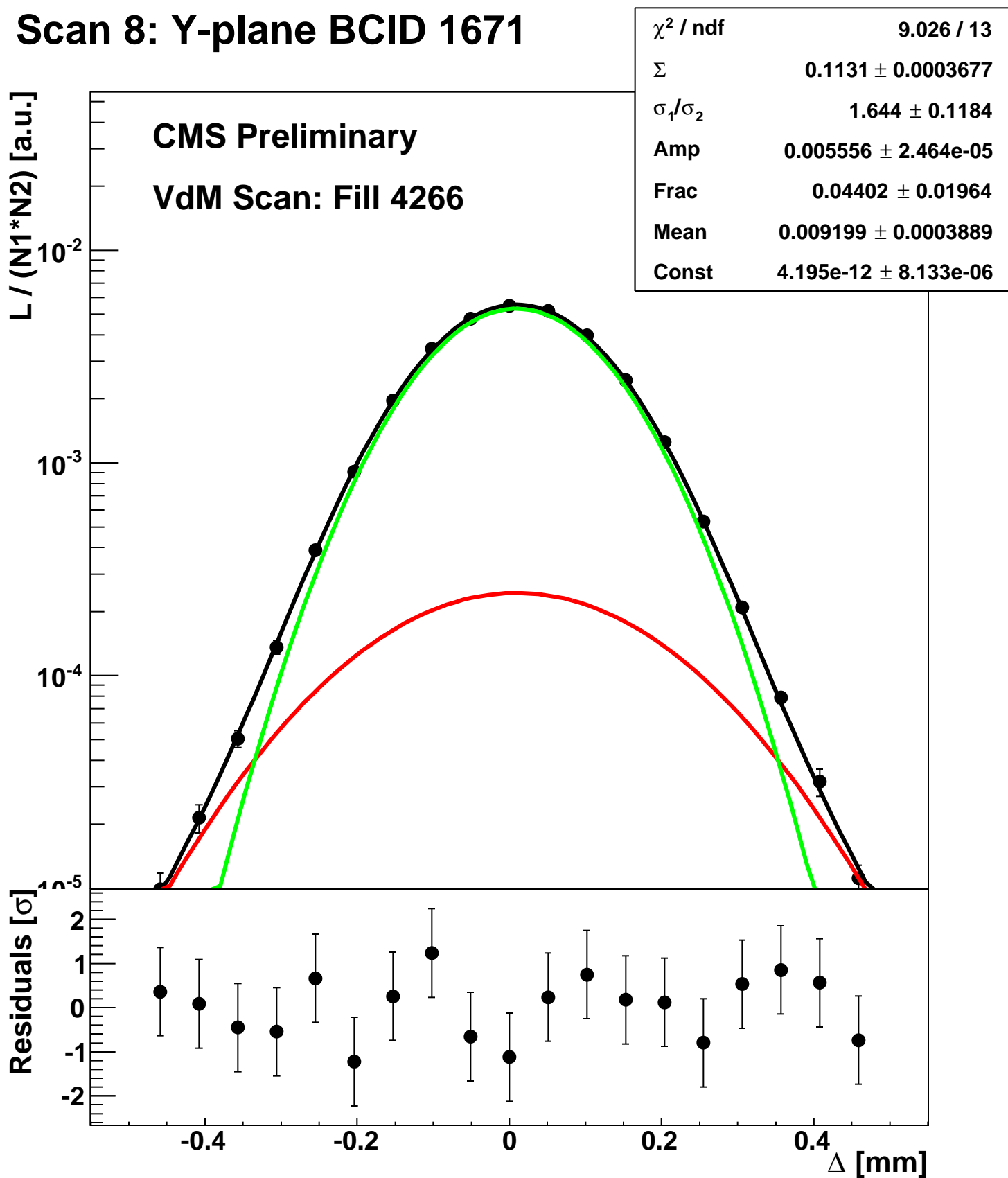
Scan 8: Y-plane BCID 131



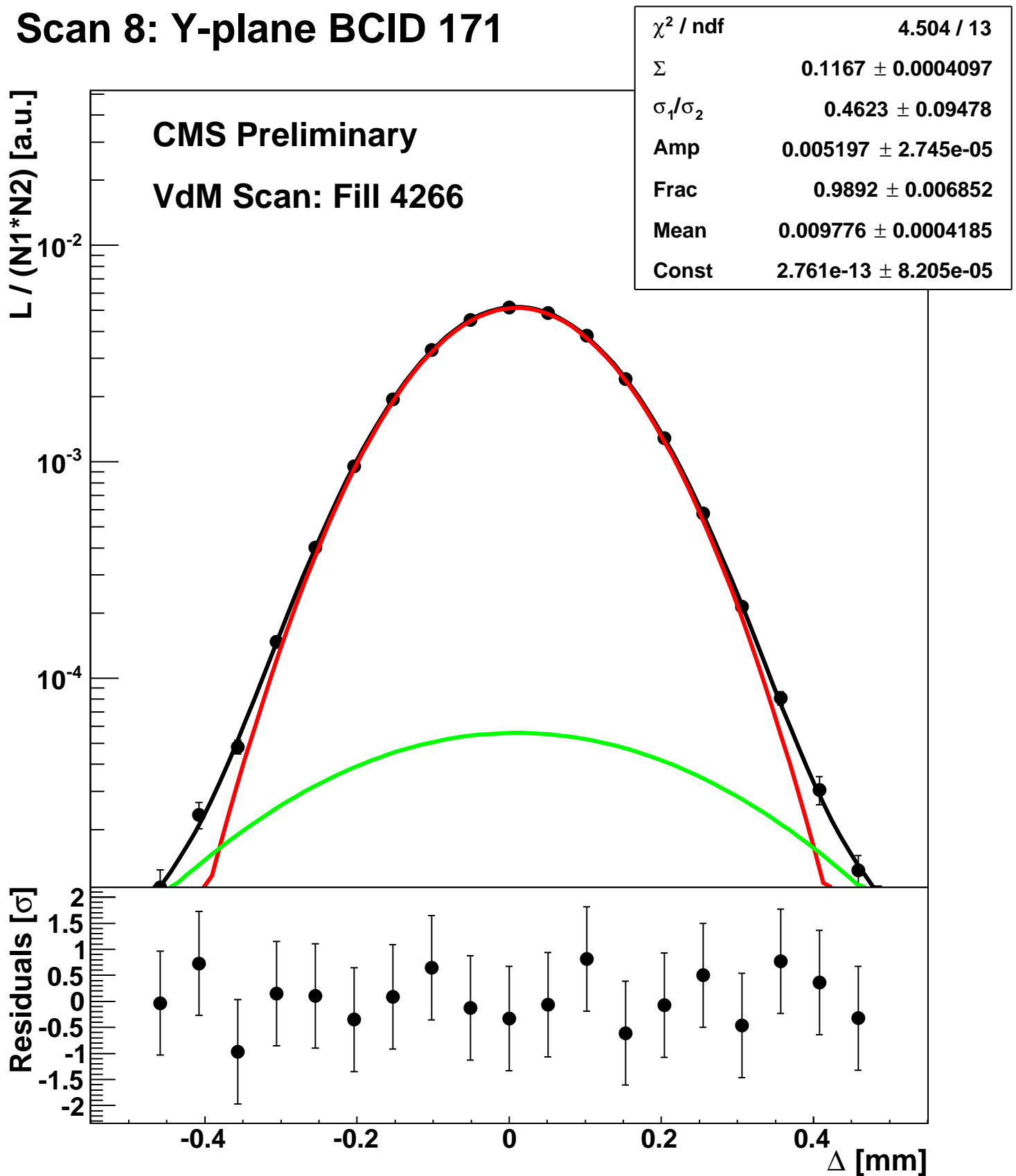
Scan 8: Y-plane BCID 1631



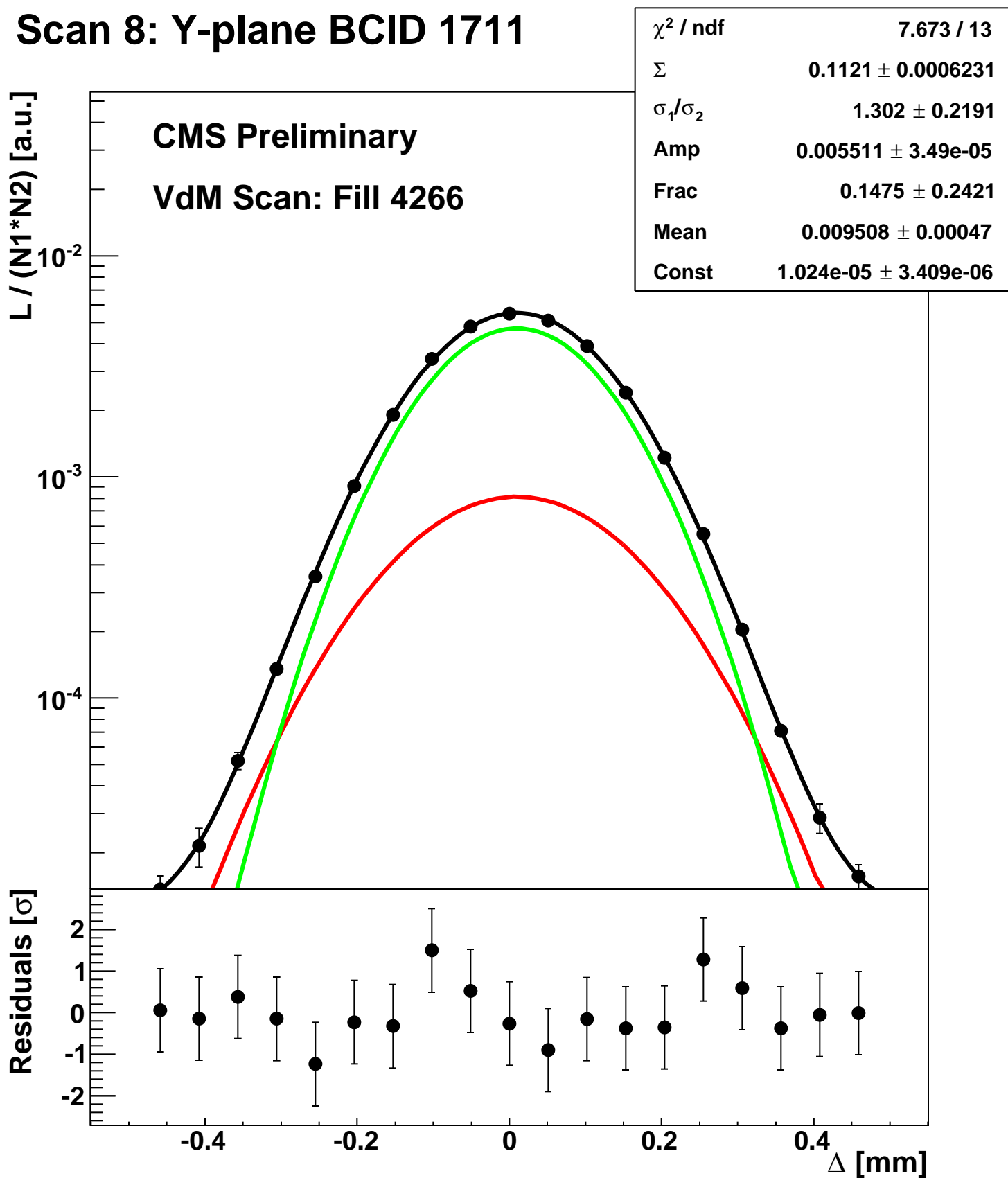
Scan 8: Y-plane BCID 1671



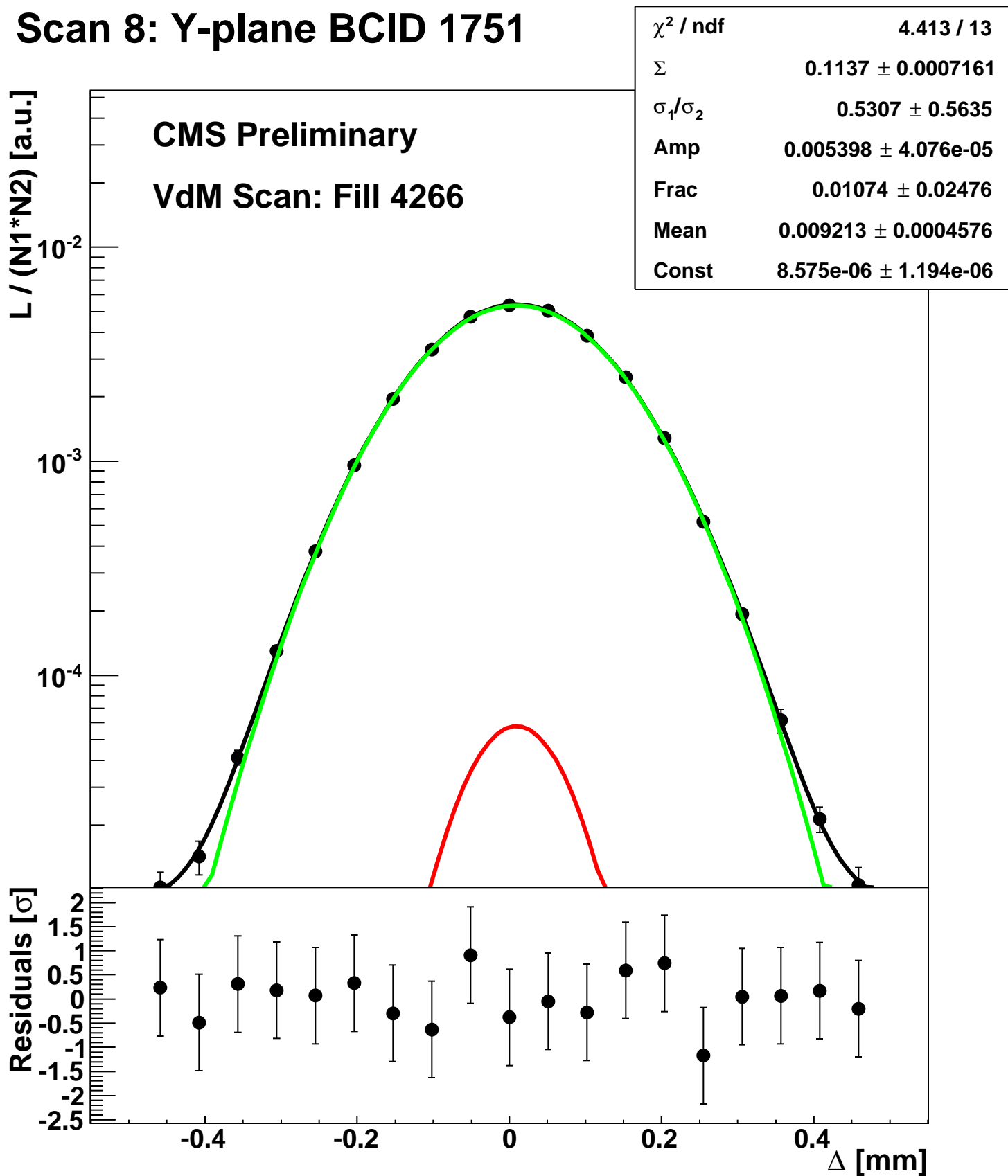
Scan 8: Y-plane BCID 171



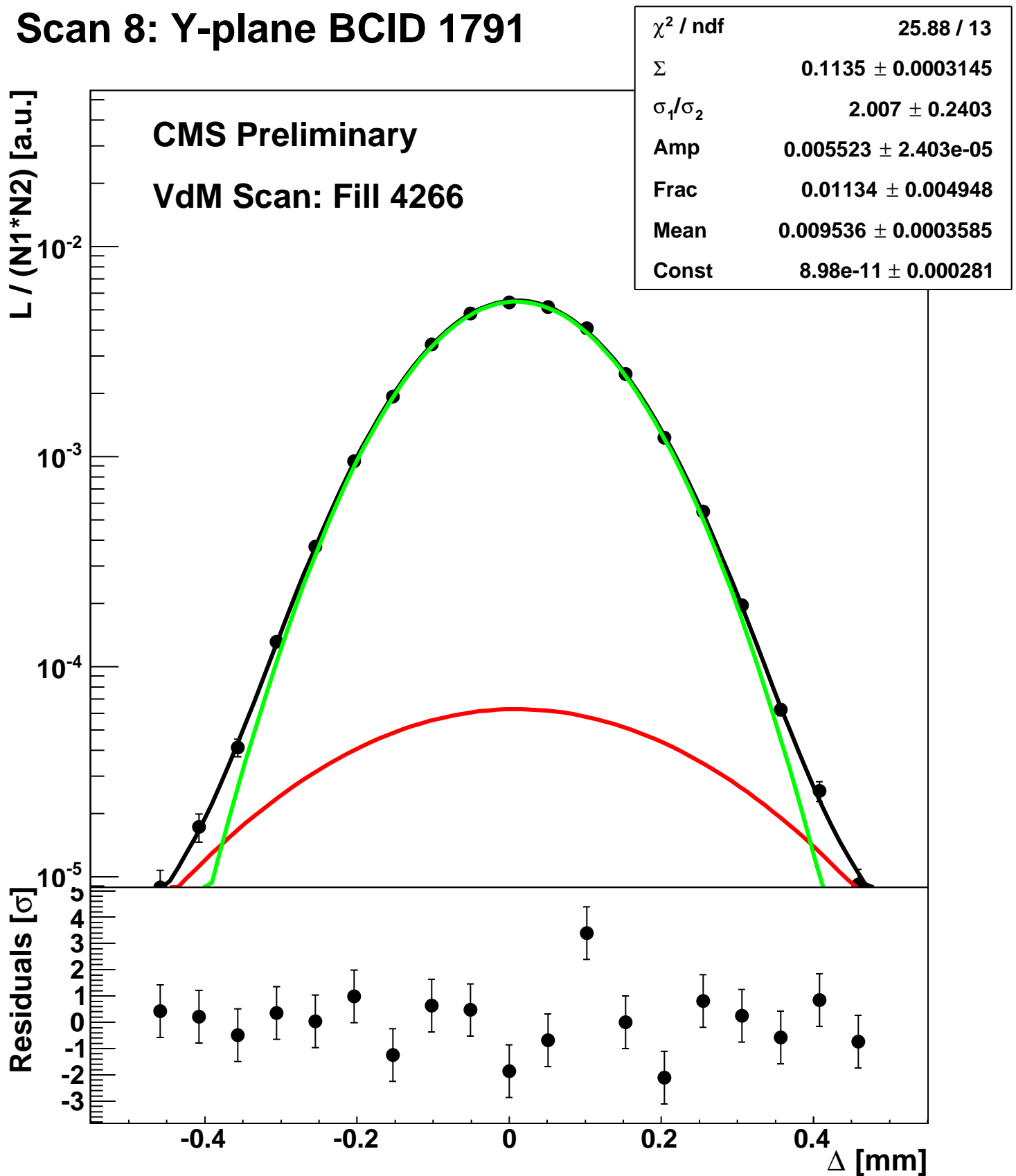
Scan 8: Y-plane BCID 1711



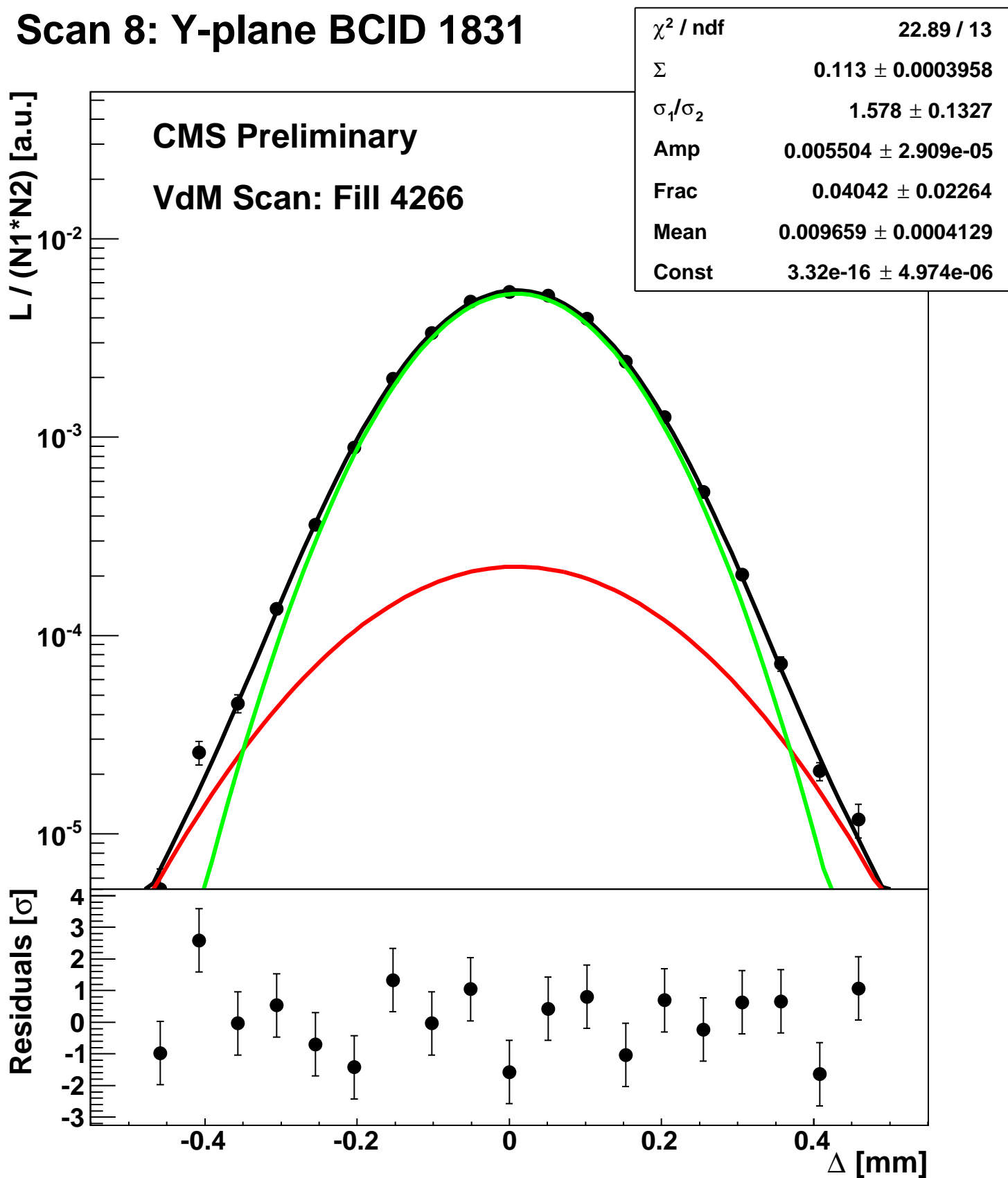
Scan 8: Y-plane BCID 1751



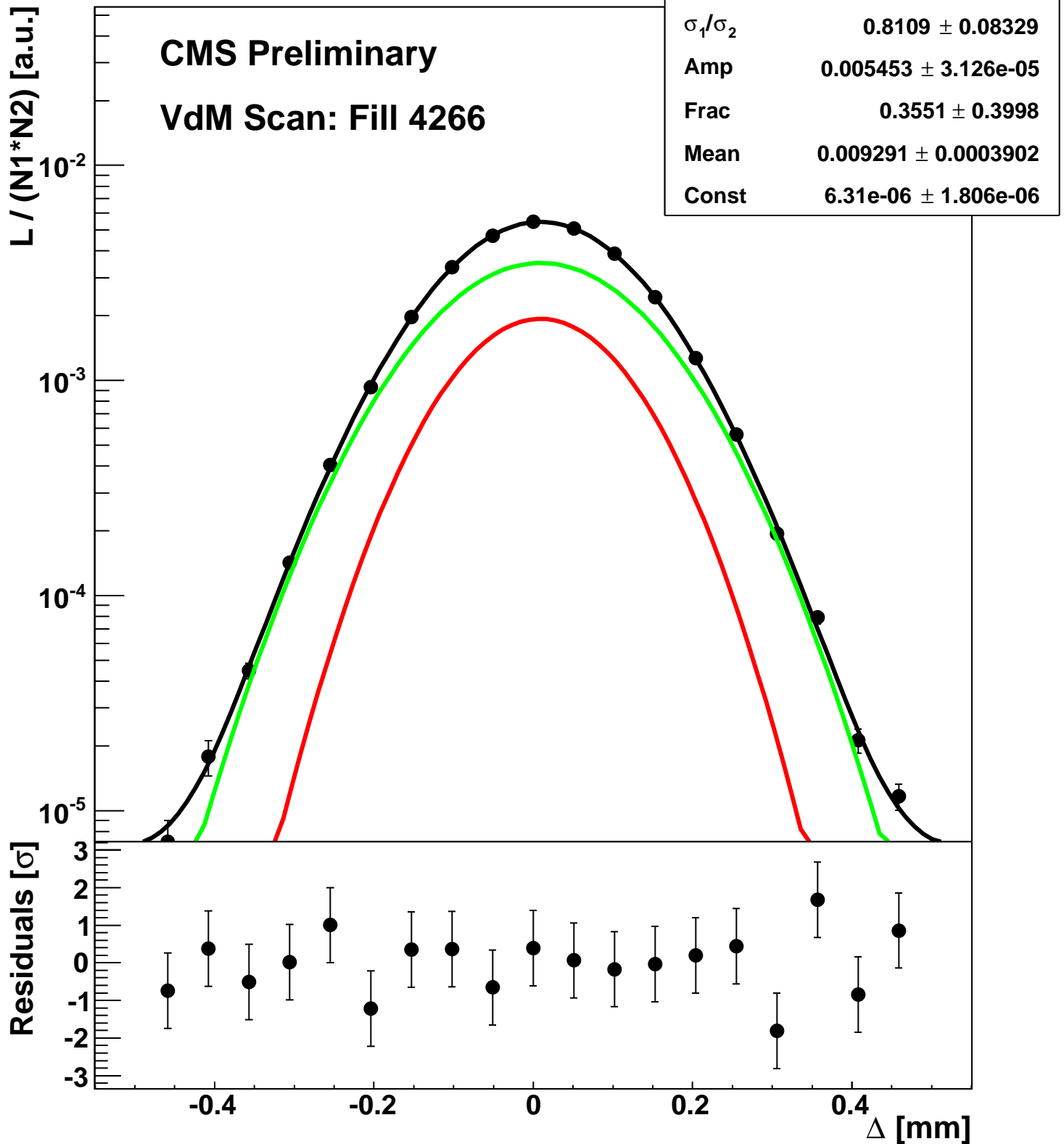
Scan 8: Y-plane BCID 1791



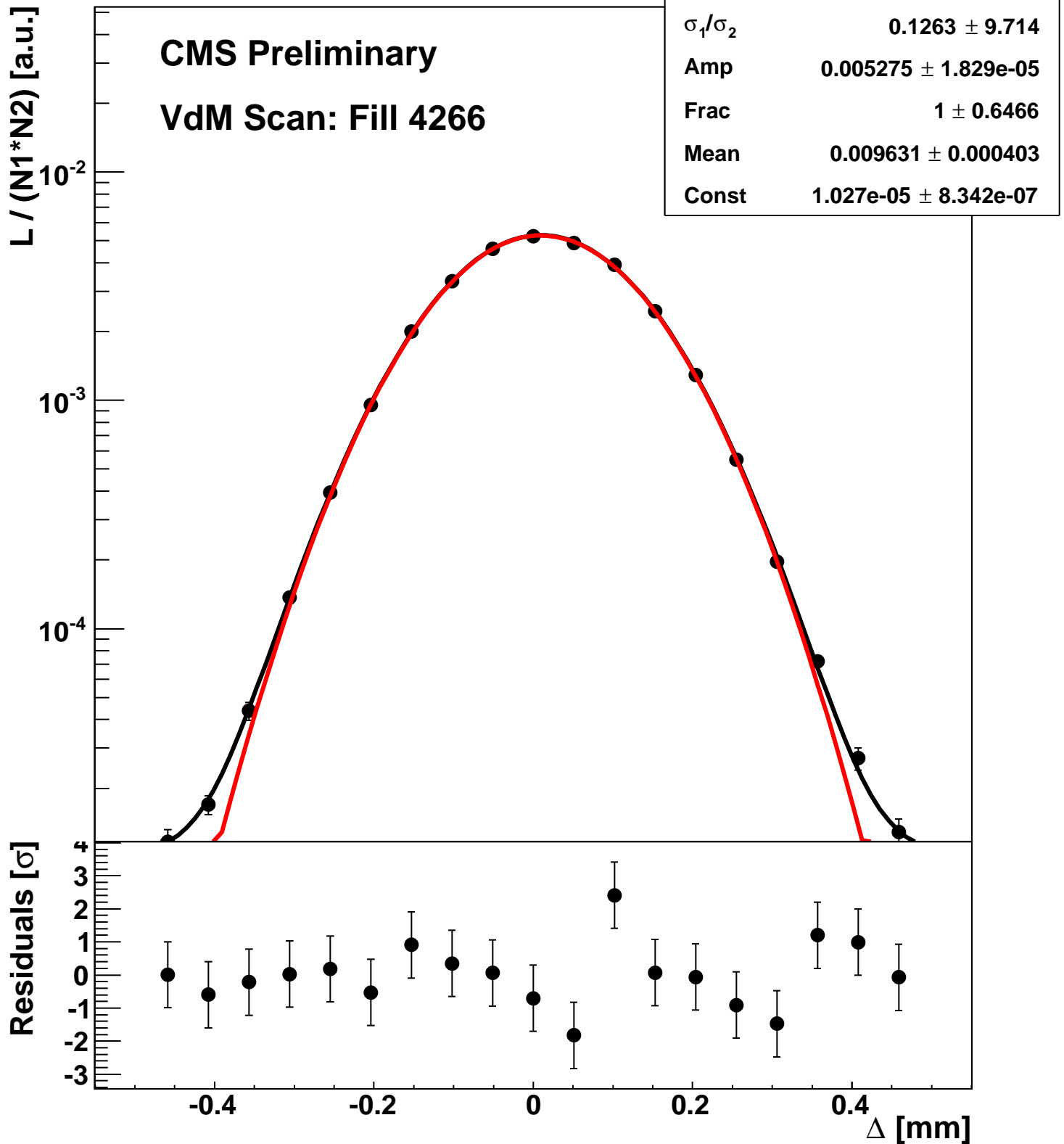
Scan 8: Y-plane BCID 1831



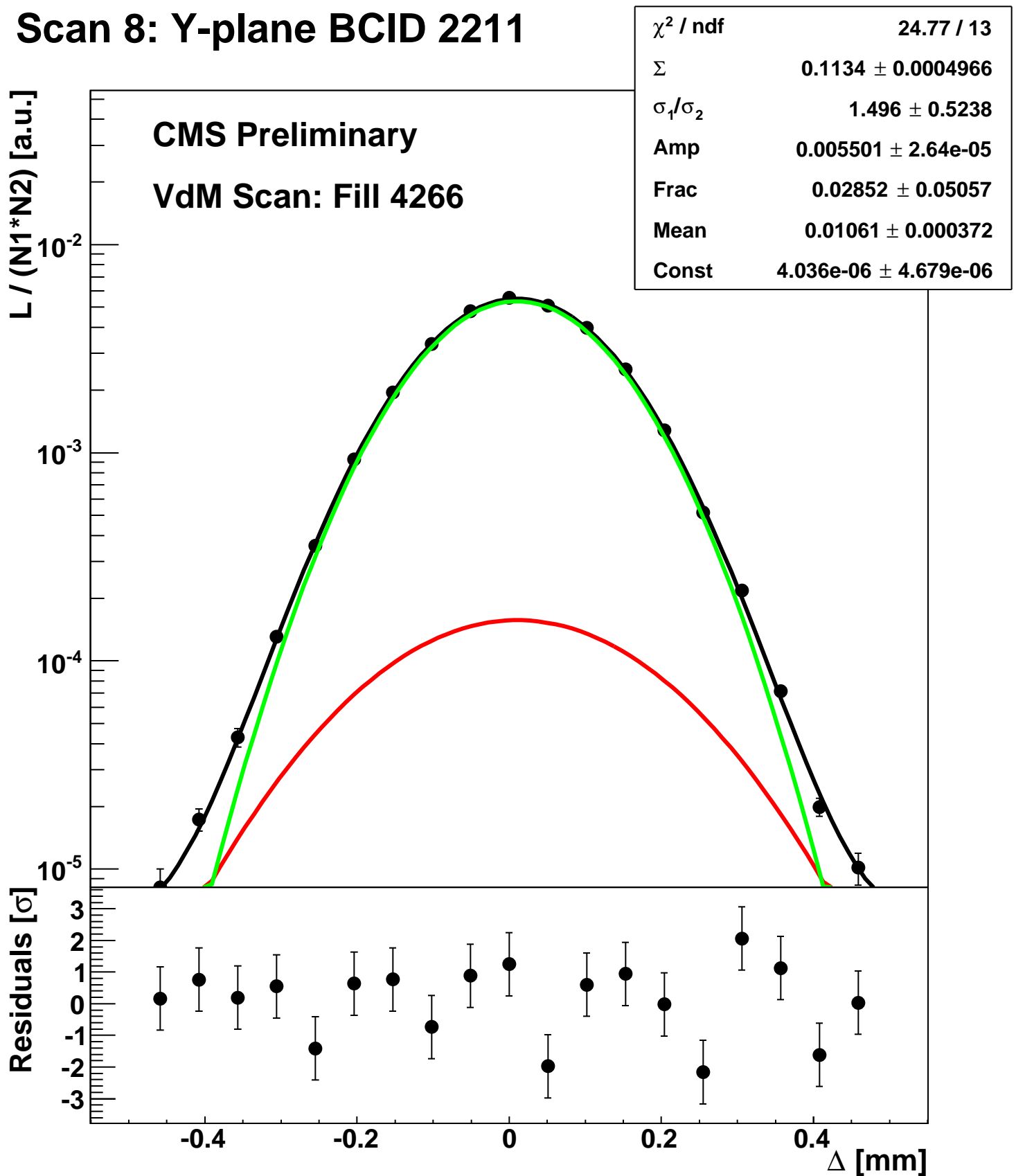
Scan 8: Y-plane BCID 1871



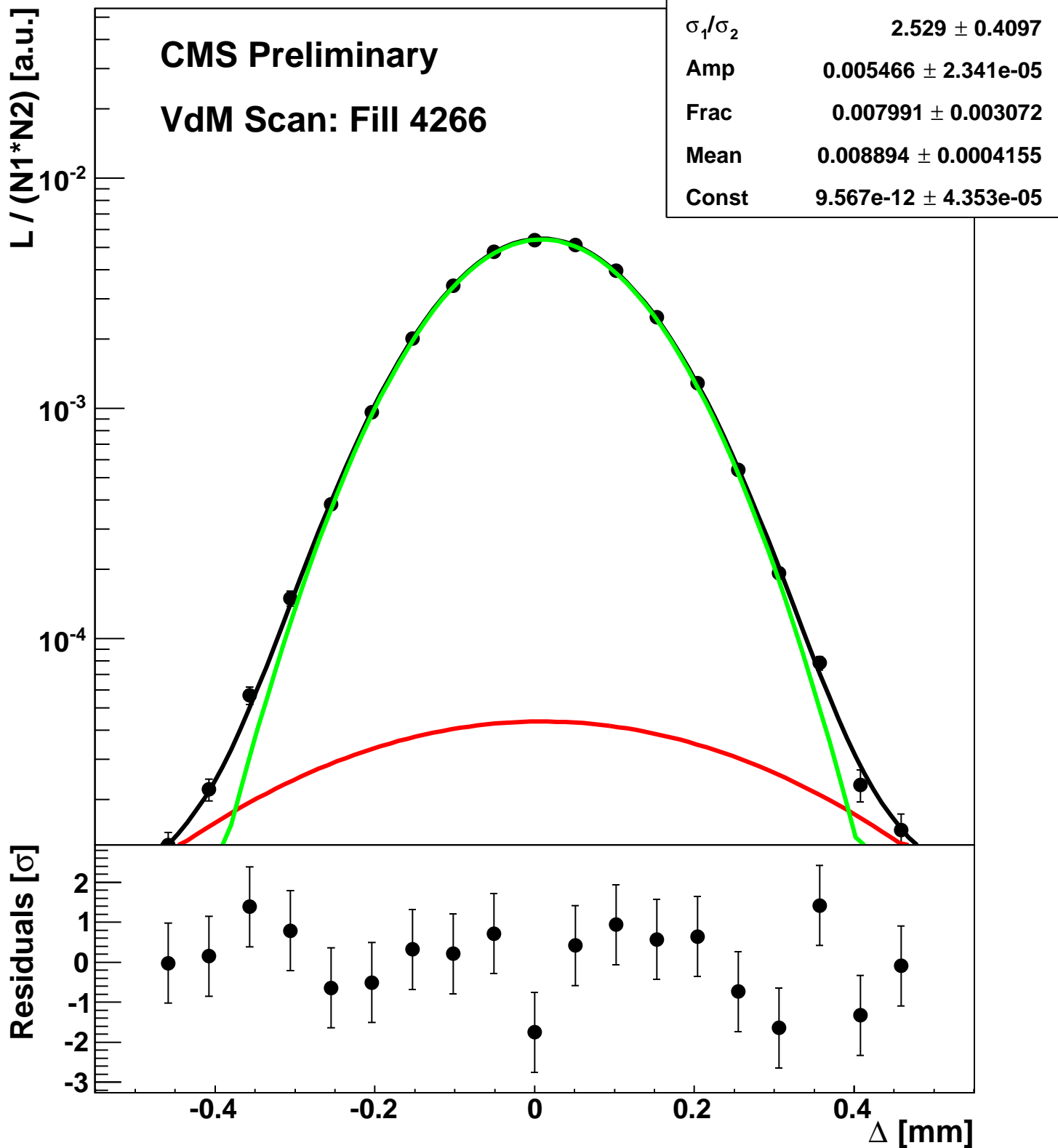
Scan 8: Y-plane BCID 211



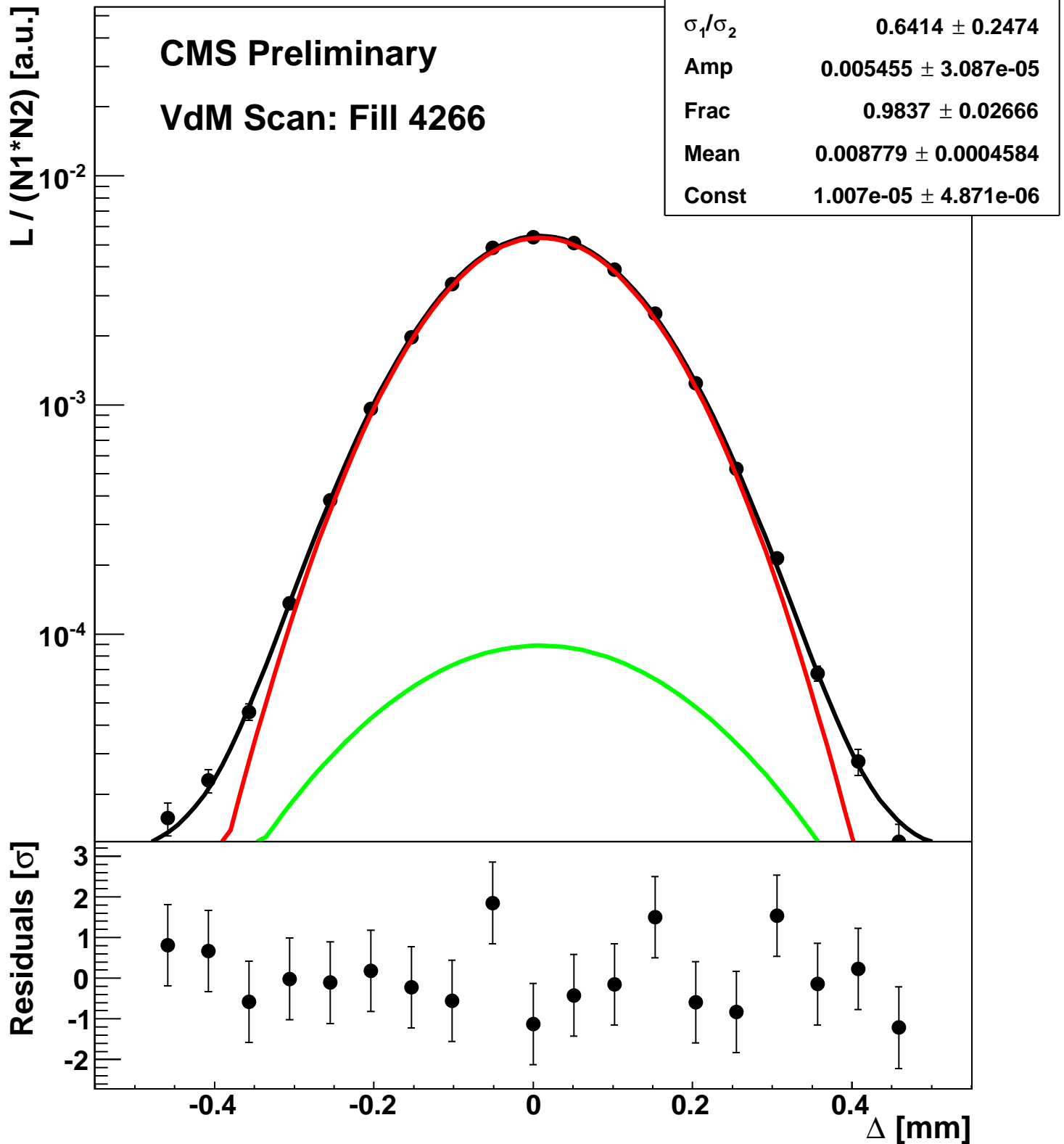
Scan 8: Y-plane BCID 2211



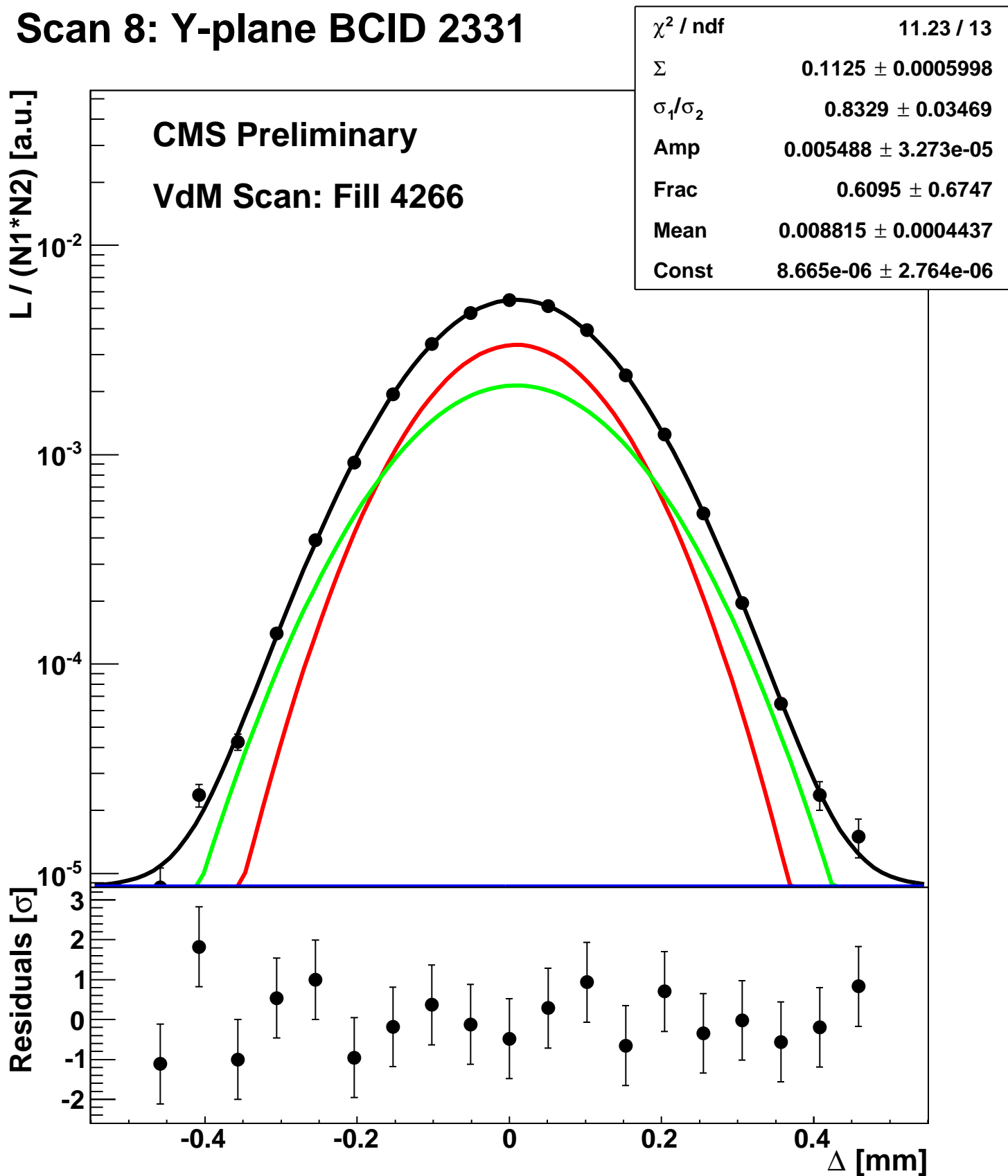
Scan 8: Y-plane BCID 2251



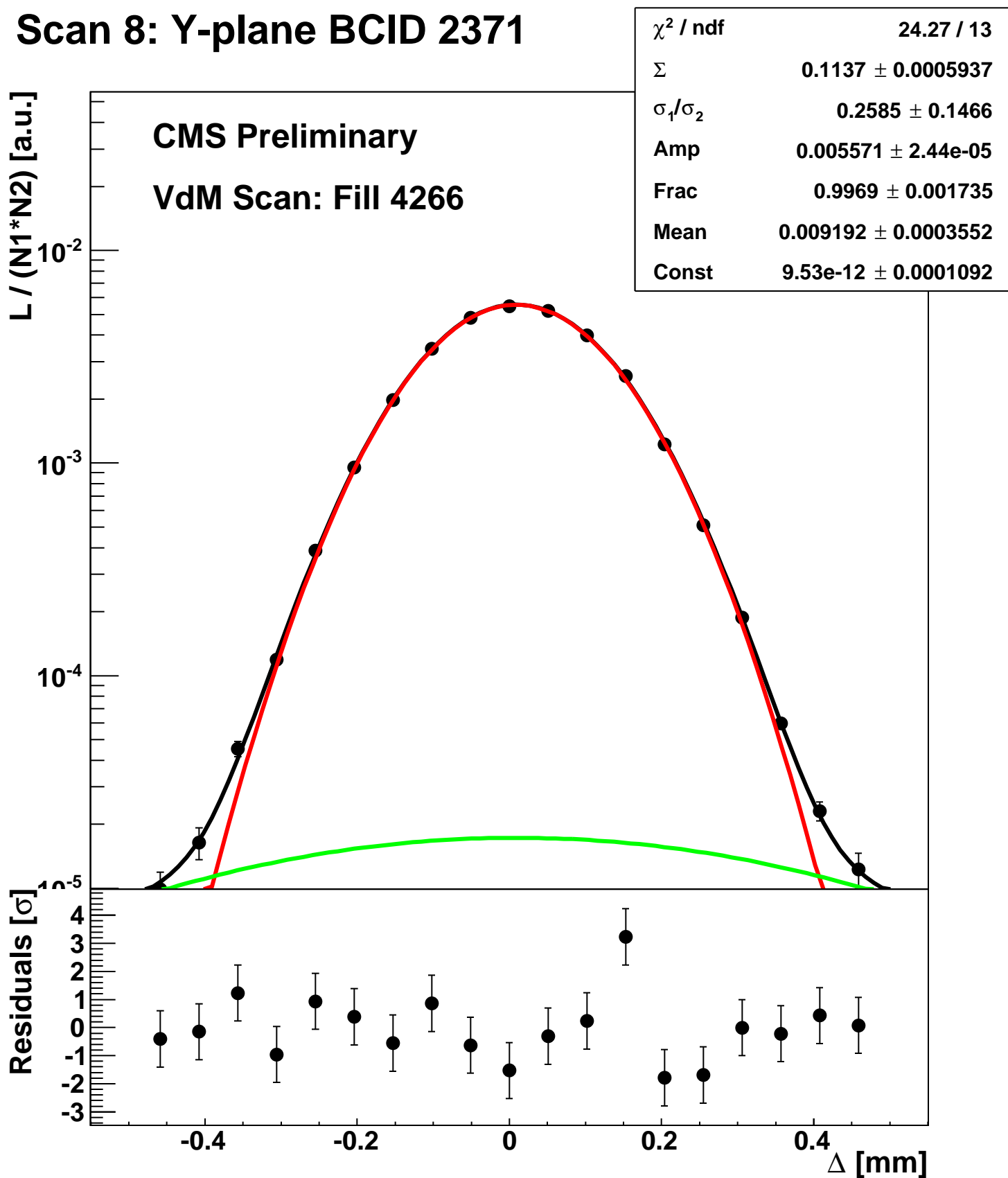
Scan 8: Y-plane BCID 2291



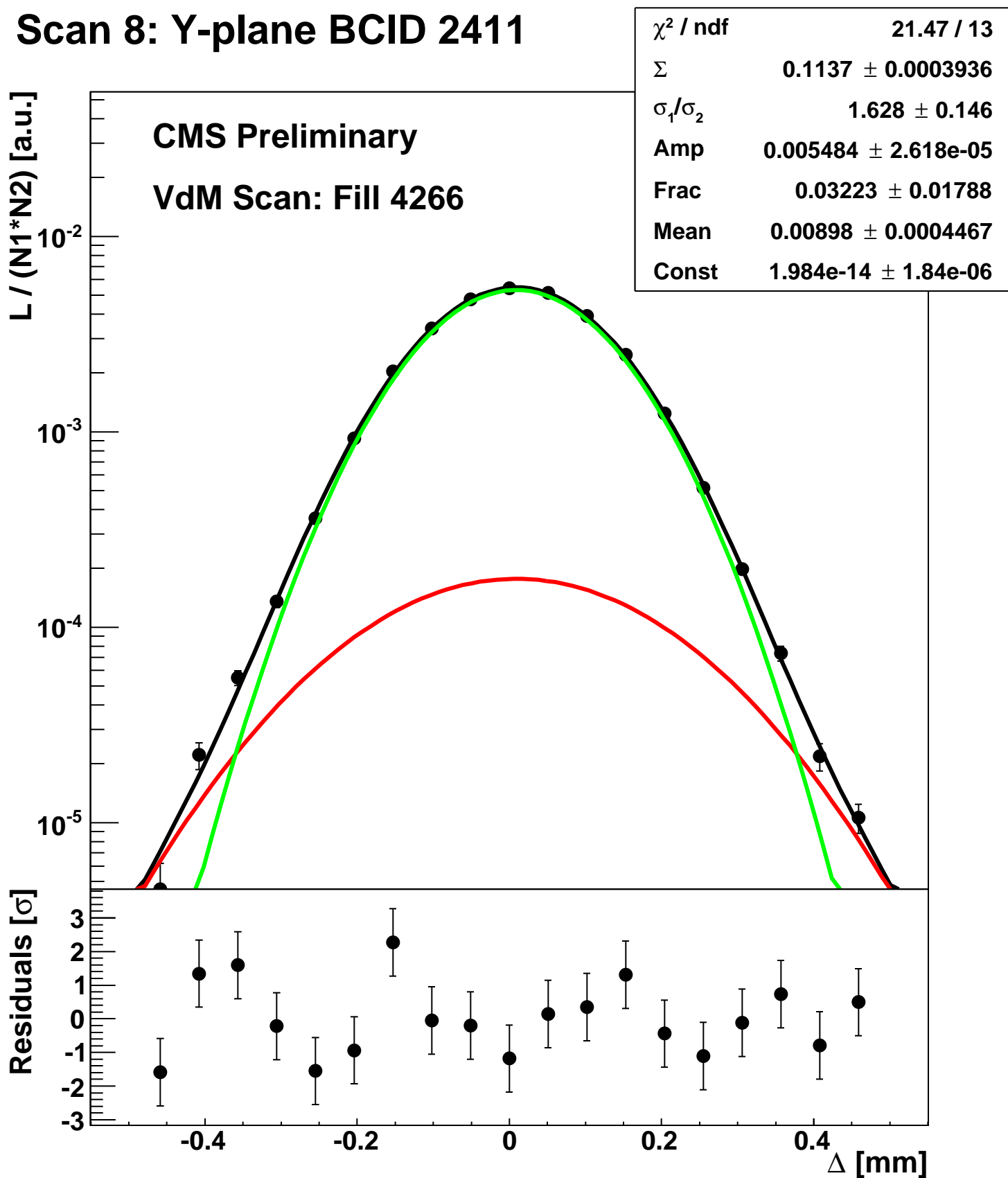
Scan 8: Y-plane BCID 2331



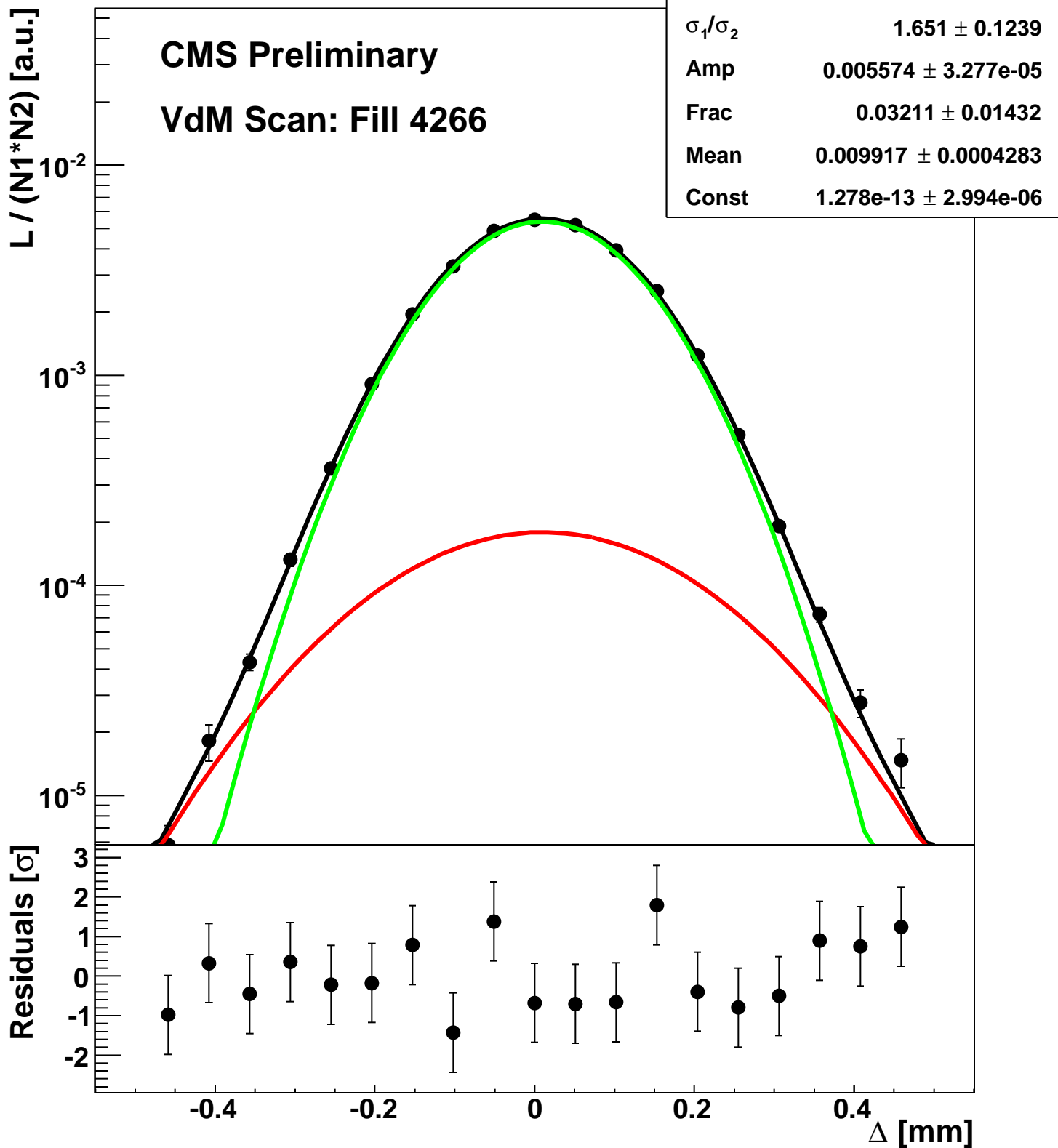
Scan 8: Y-plane BCID 2371



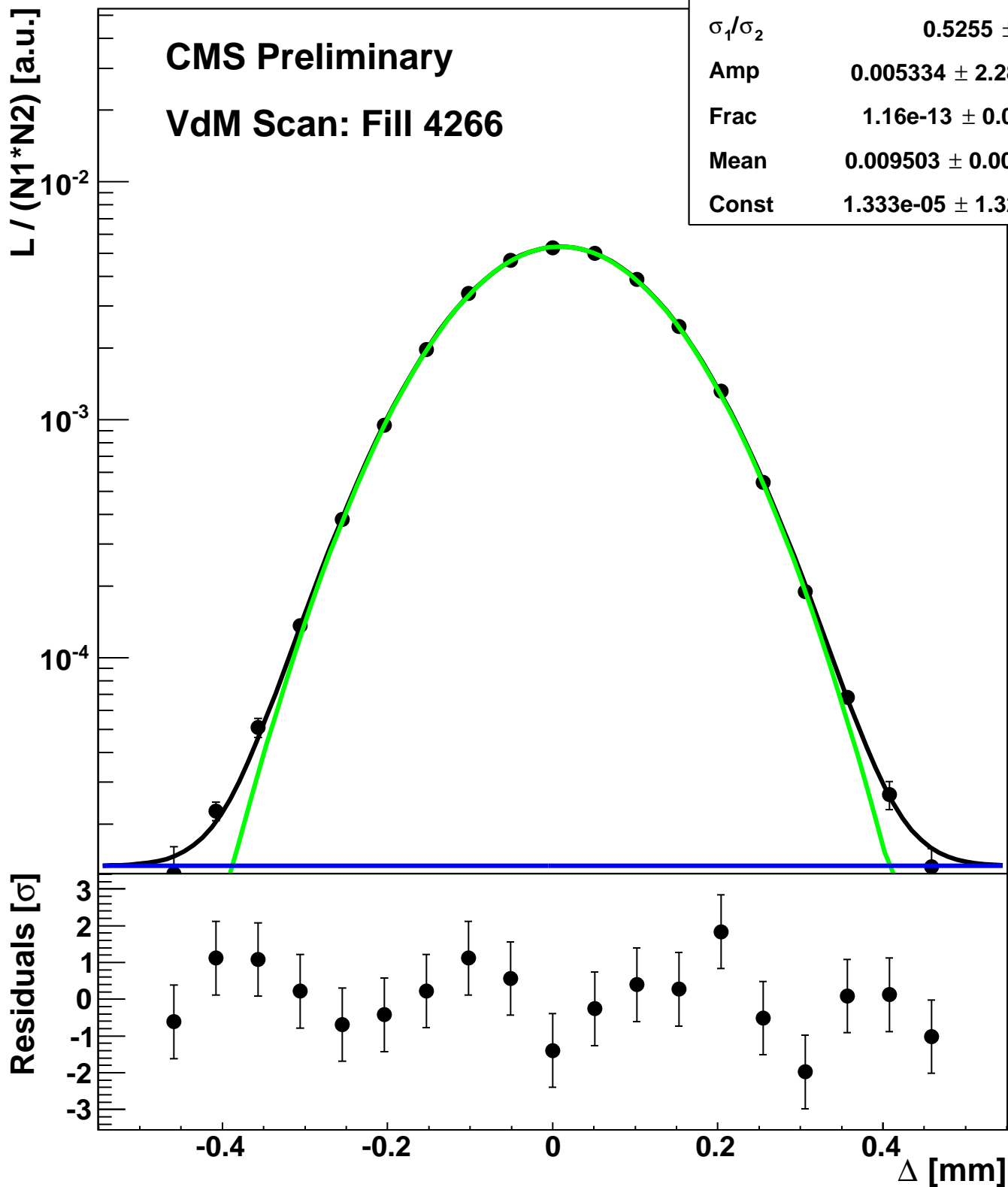
Scan 8: Y-plane BCID 2411



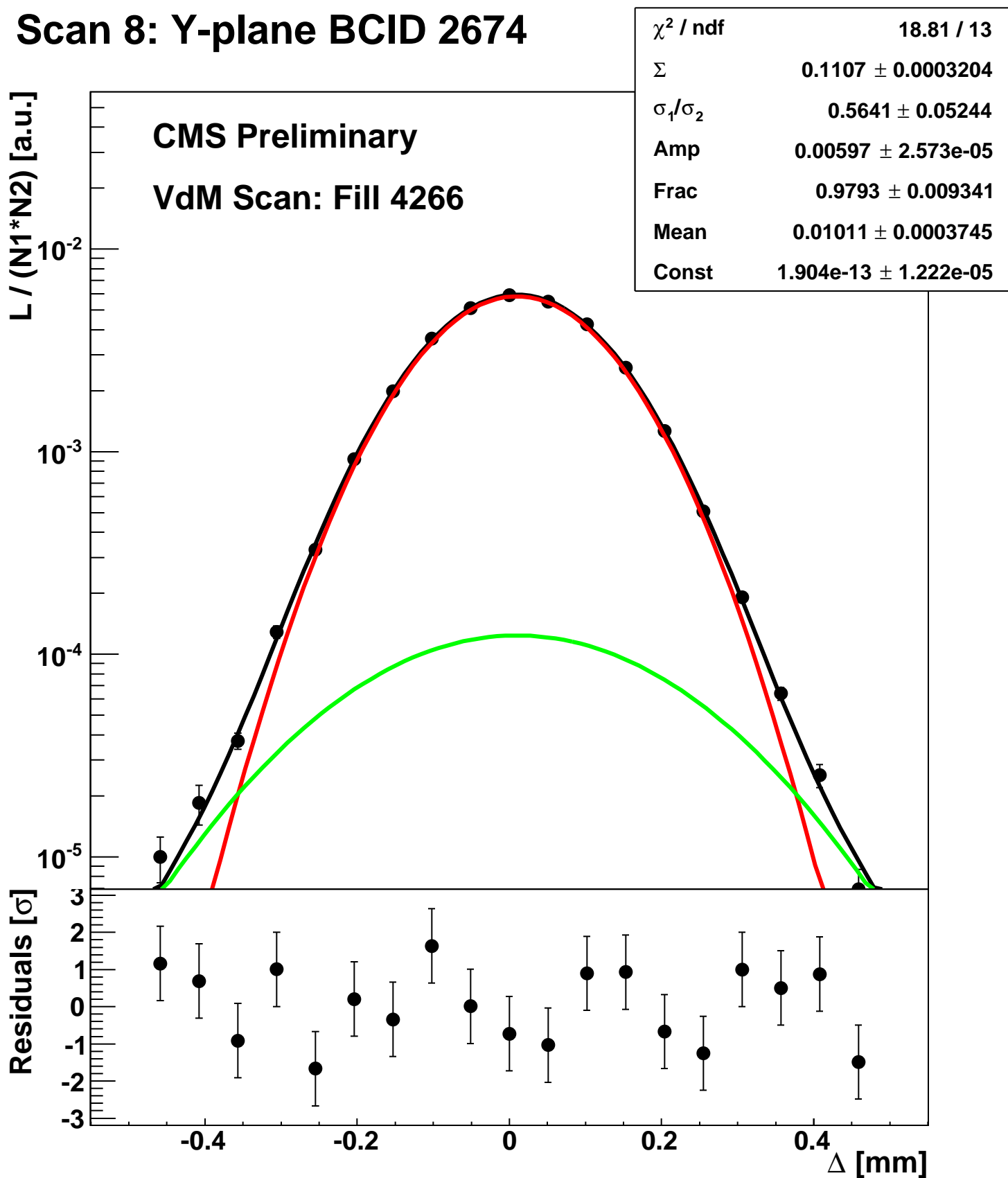
Scan 8: Y-plane BCID 2451



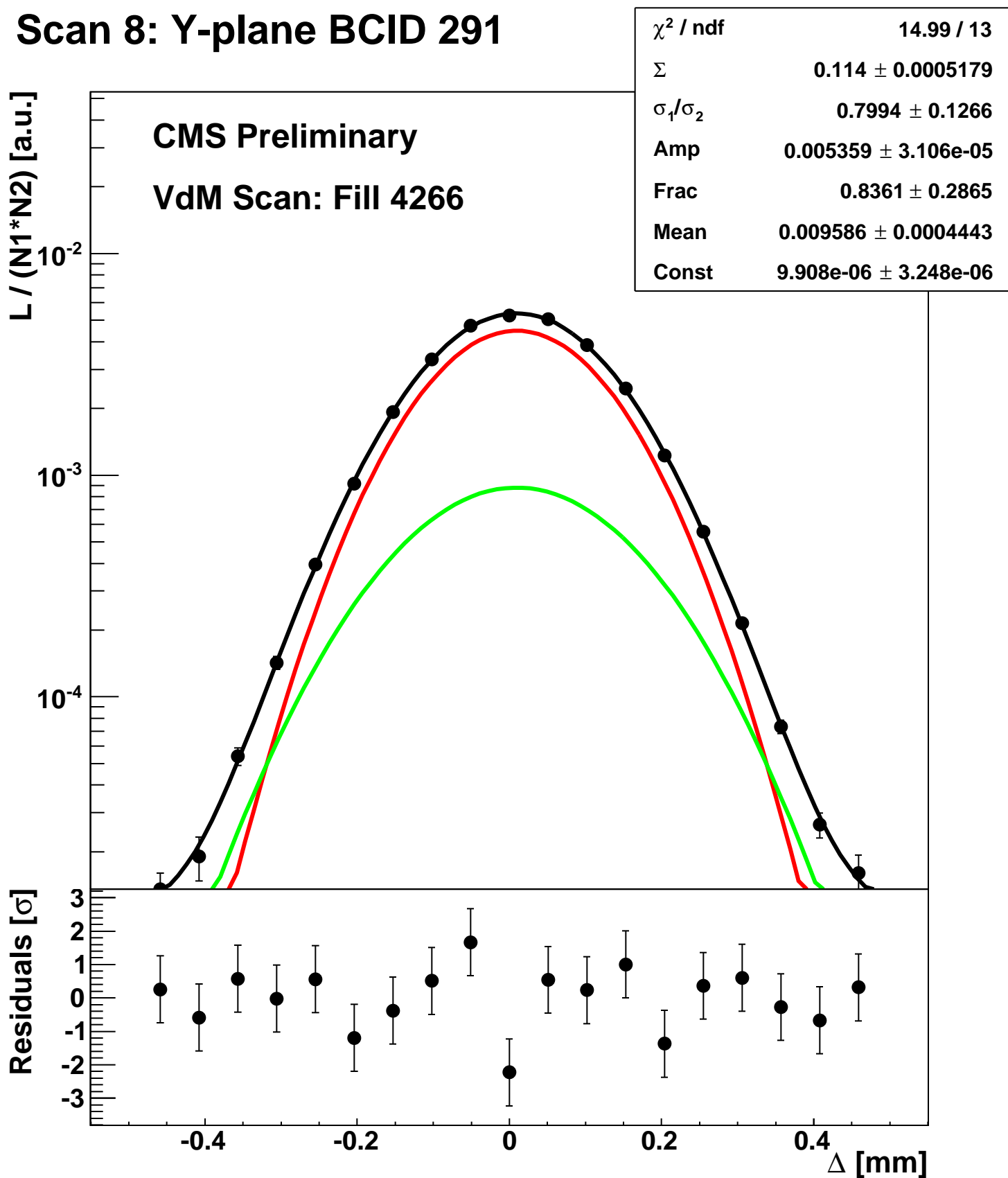
Scan 8: Y-plane BCID 251



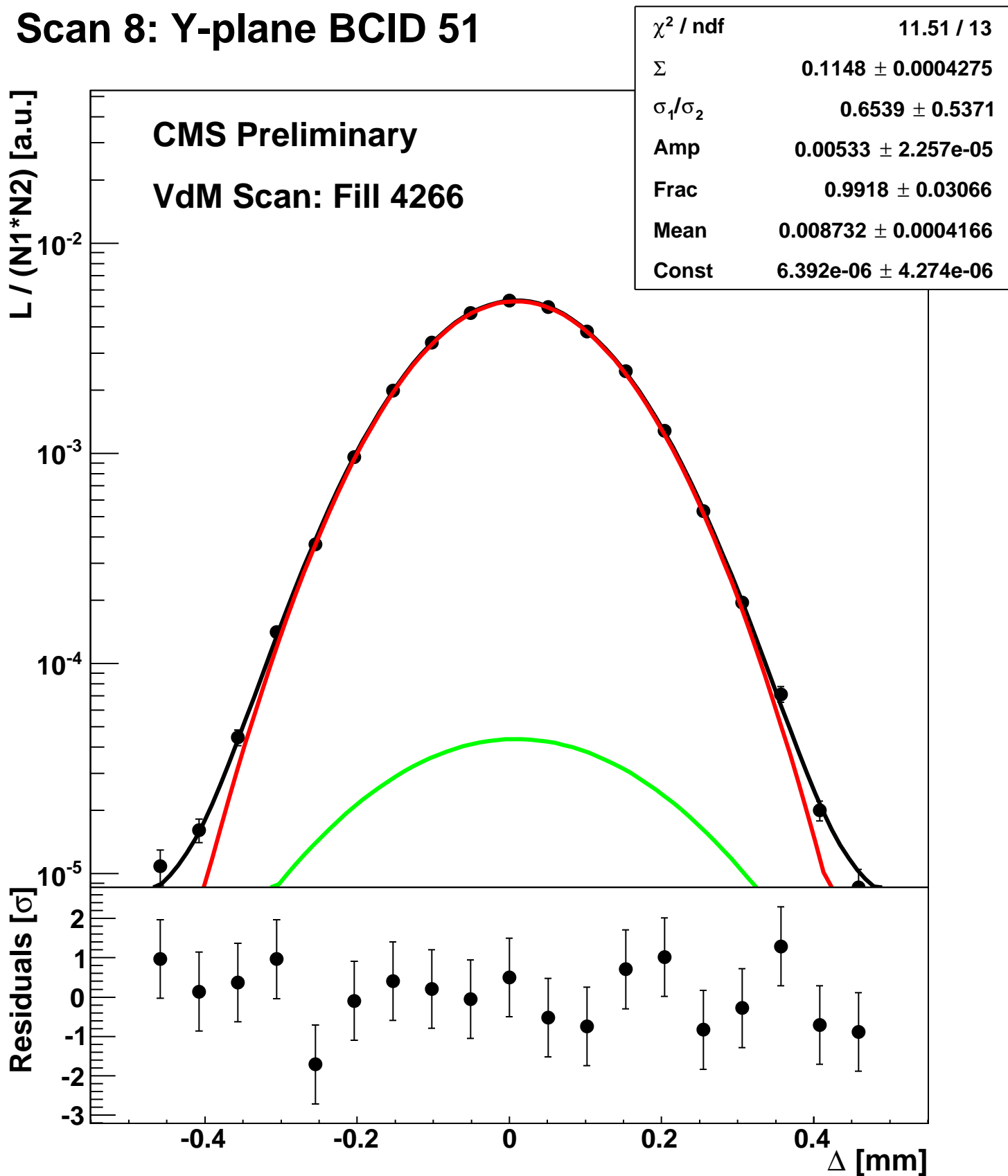
Scan 8: Y-plane BCID 2674



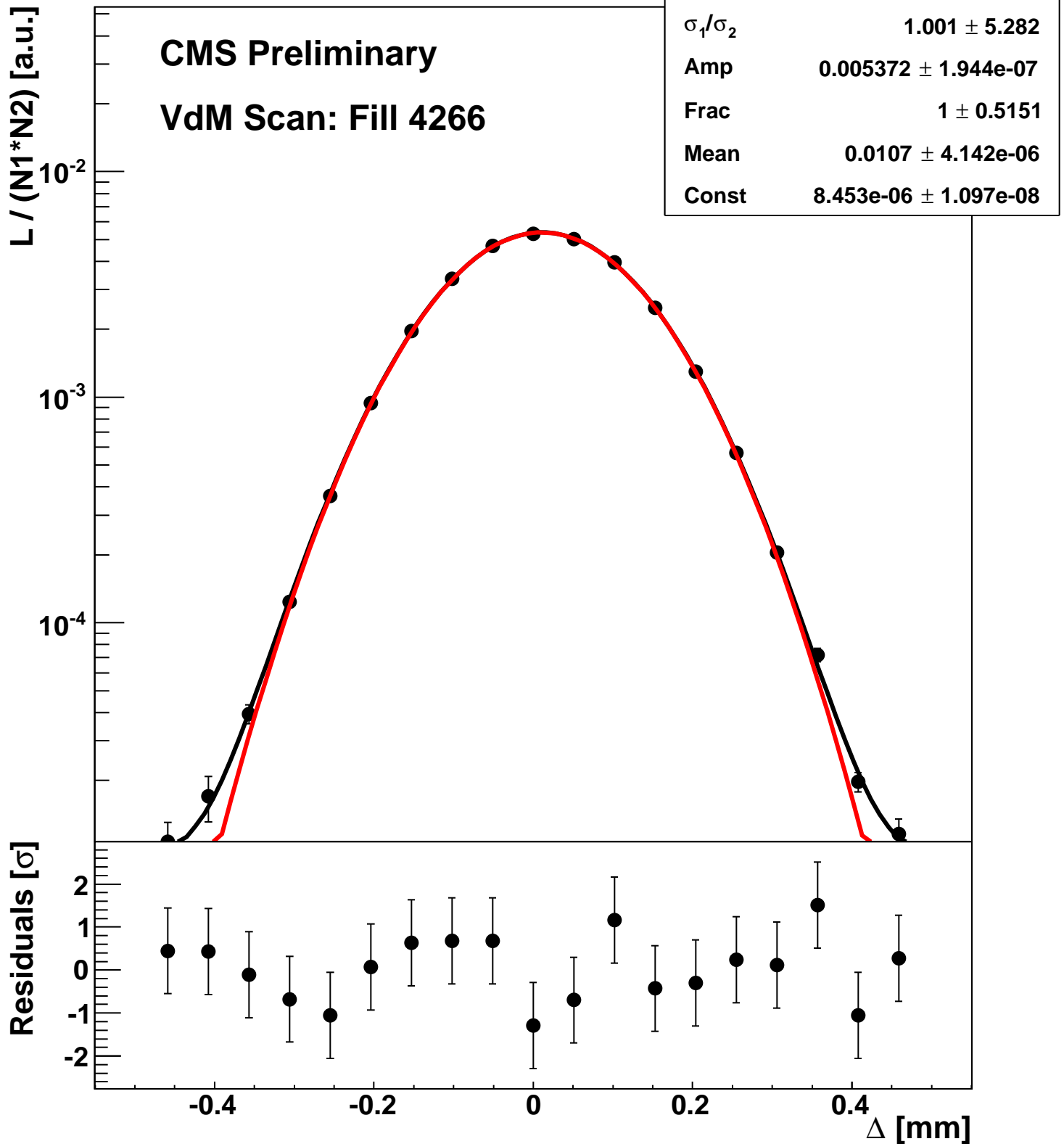
Scan 8: Y-plane BCID 291



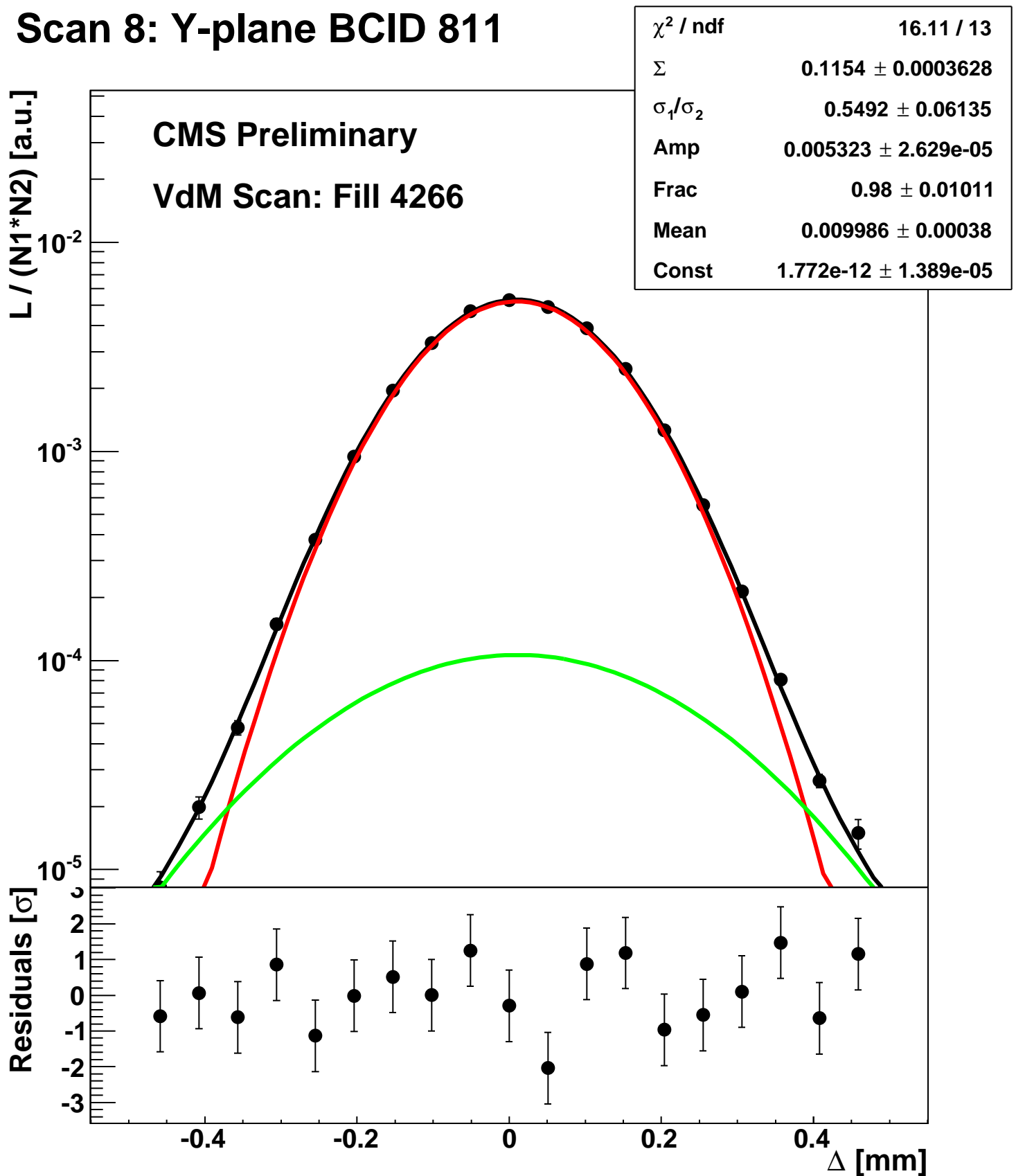
Scan 8: Y-plane BCID 51



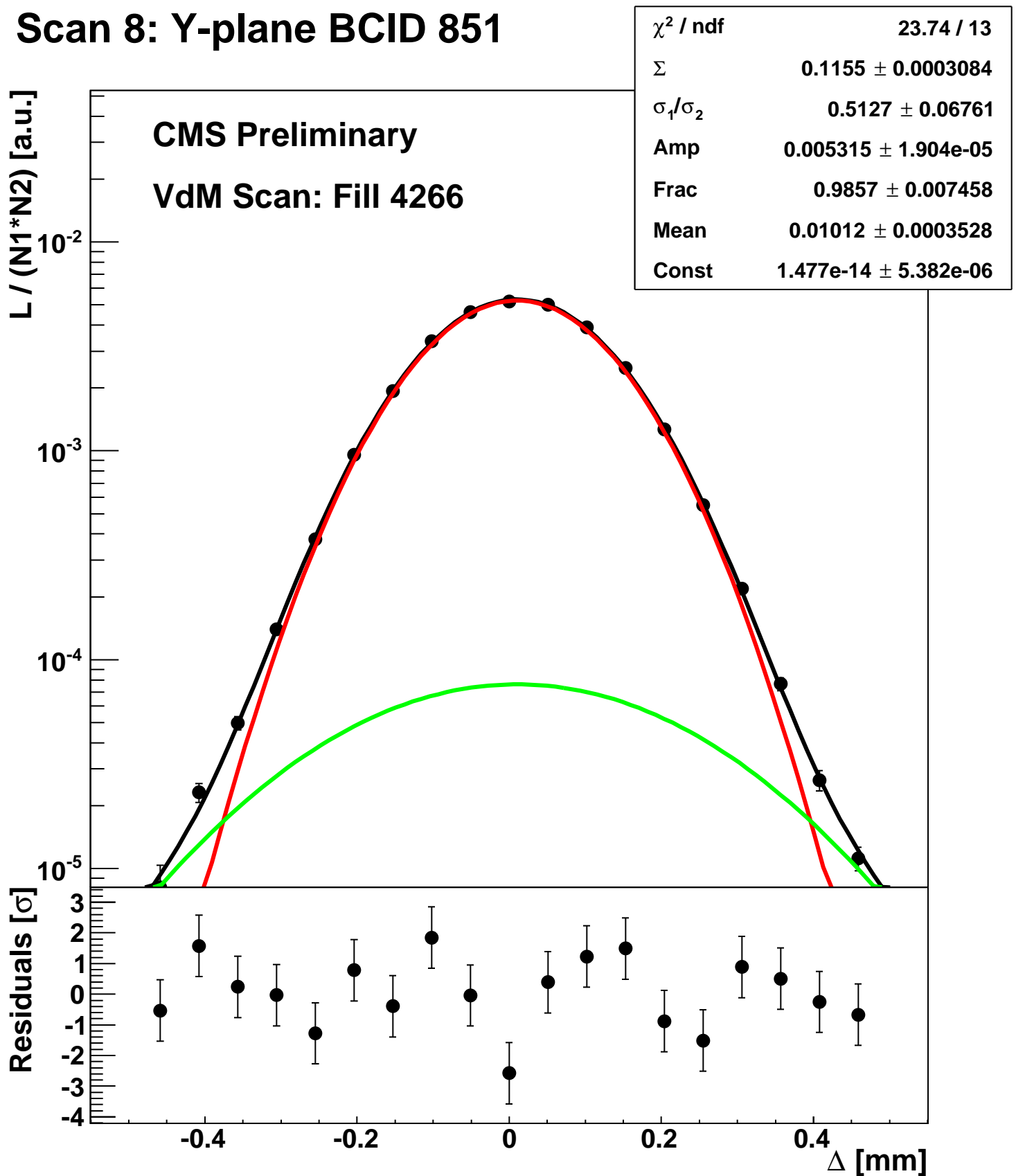
Scan 8: Y-plane BCID 771



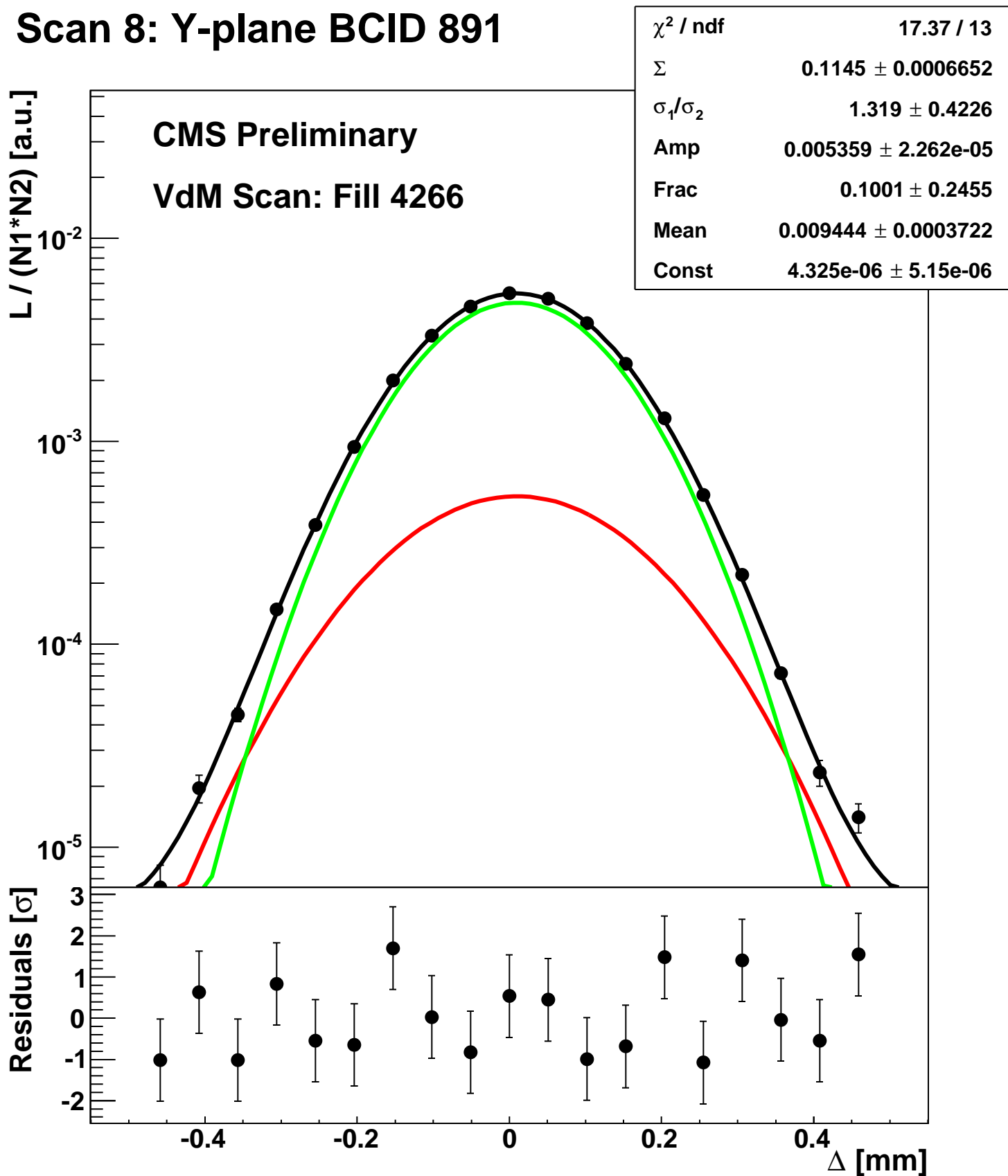
Scan 8: Y-plane BCID 811



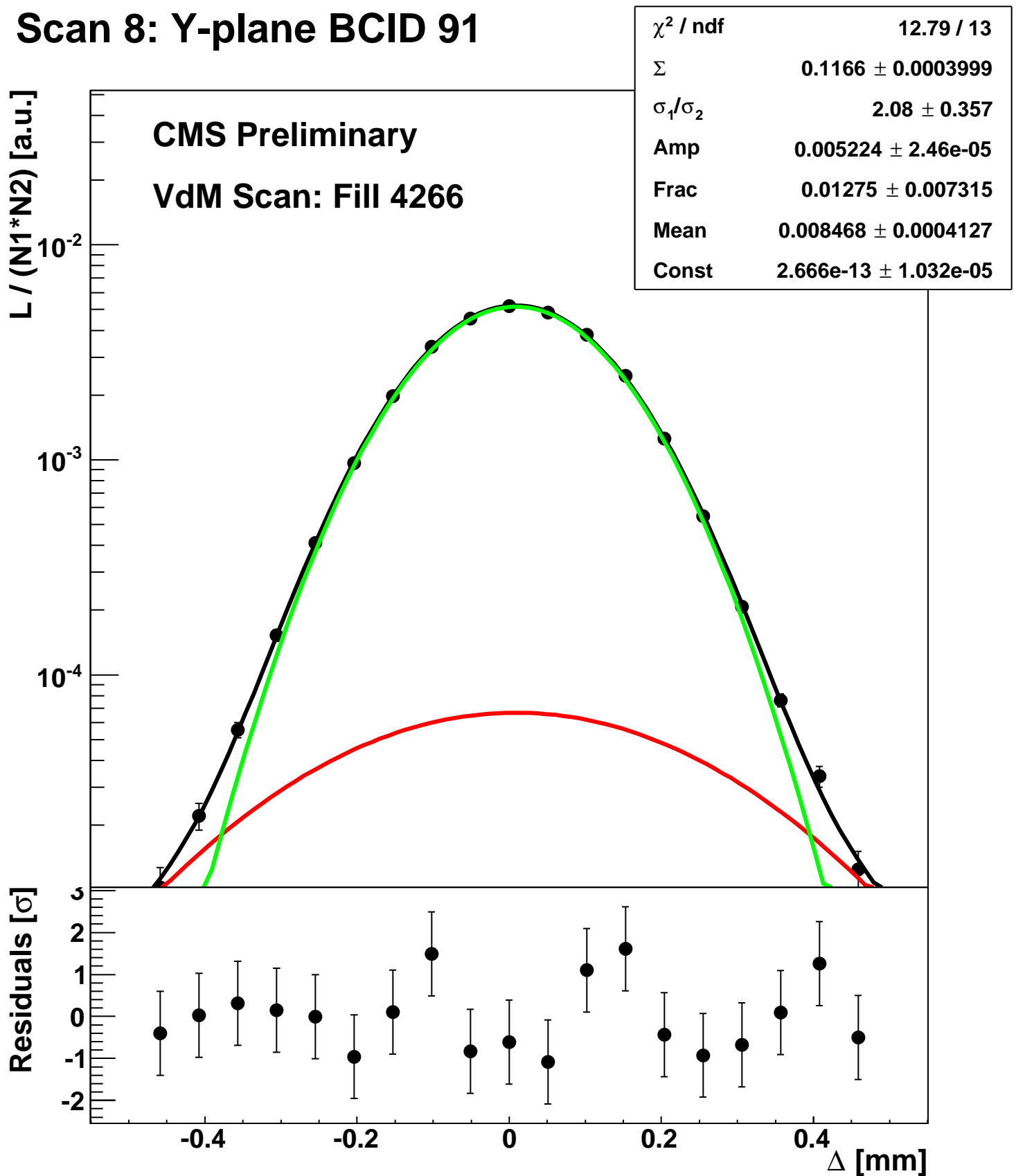
Scan 8: Y-plane BCID 851



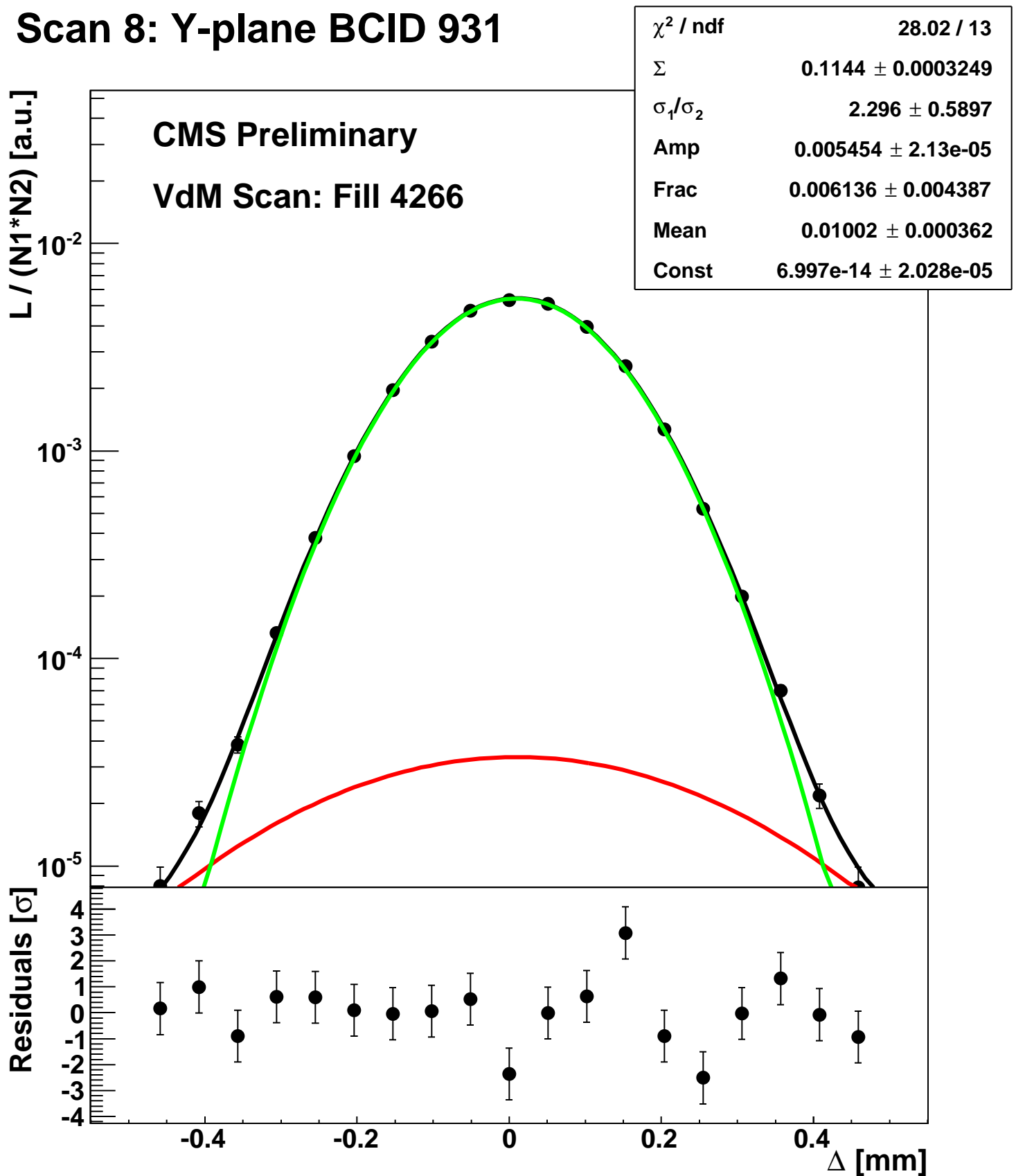
Scan 8: Y-plane BCID 891



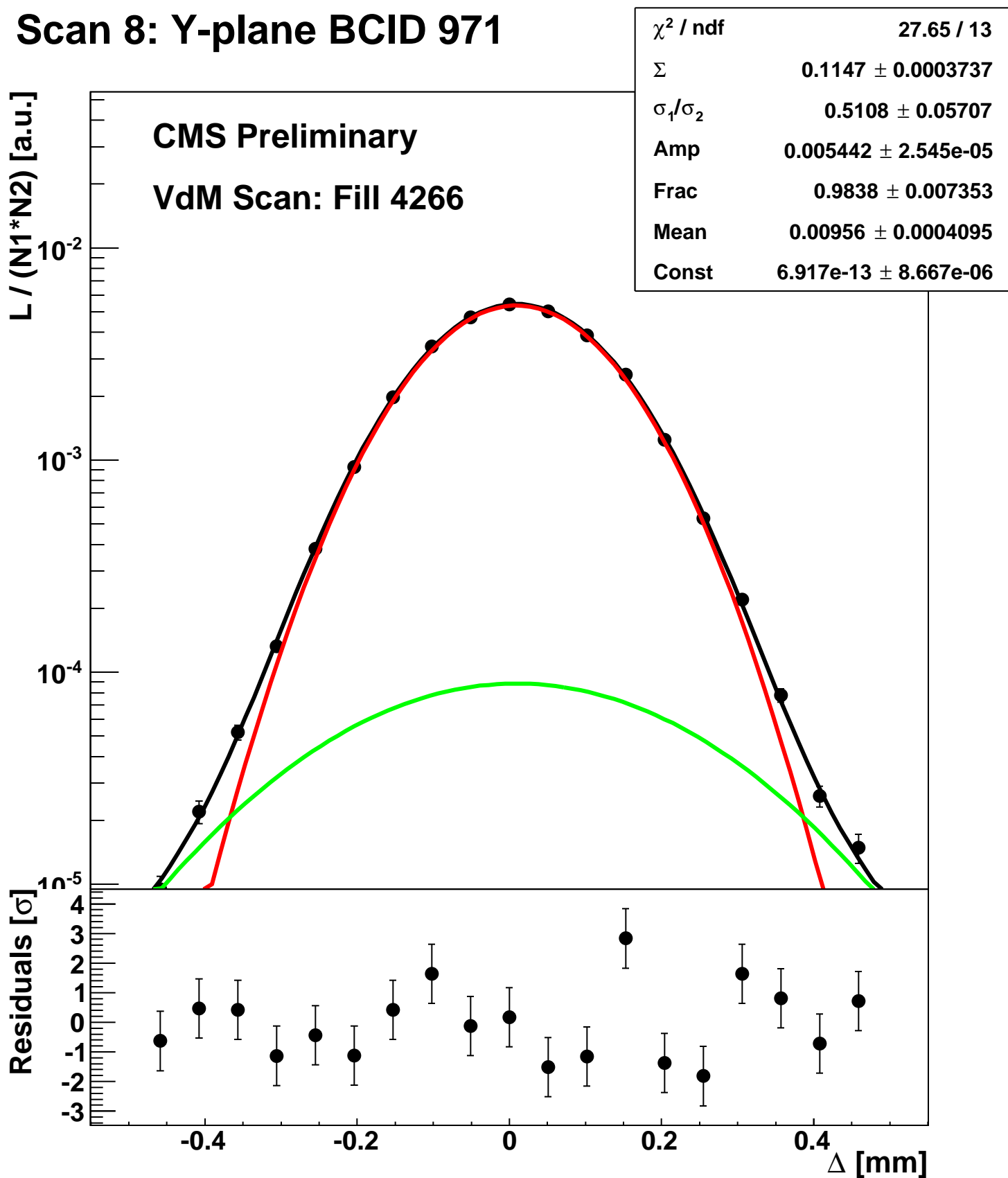
Scan 8: Y-plane BCID 91



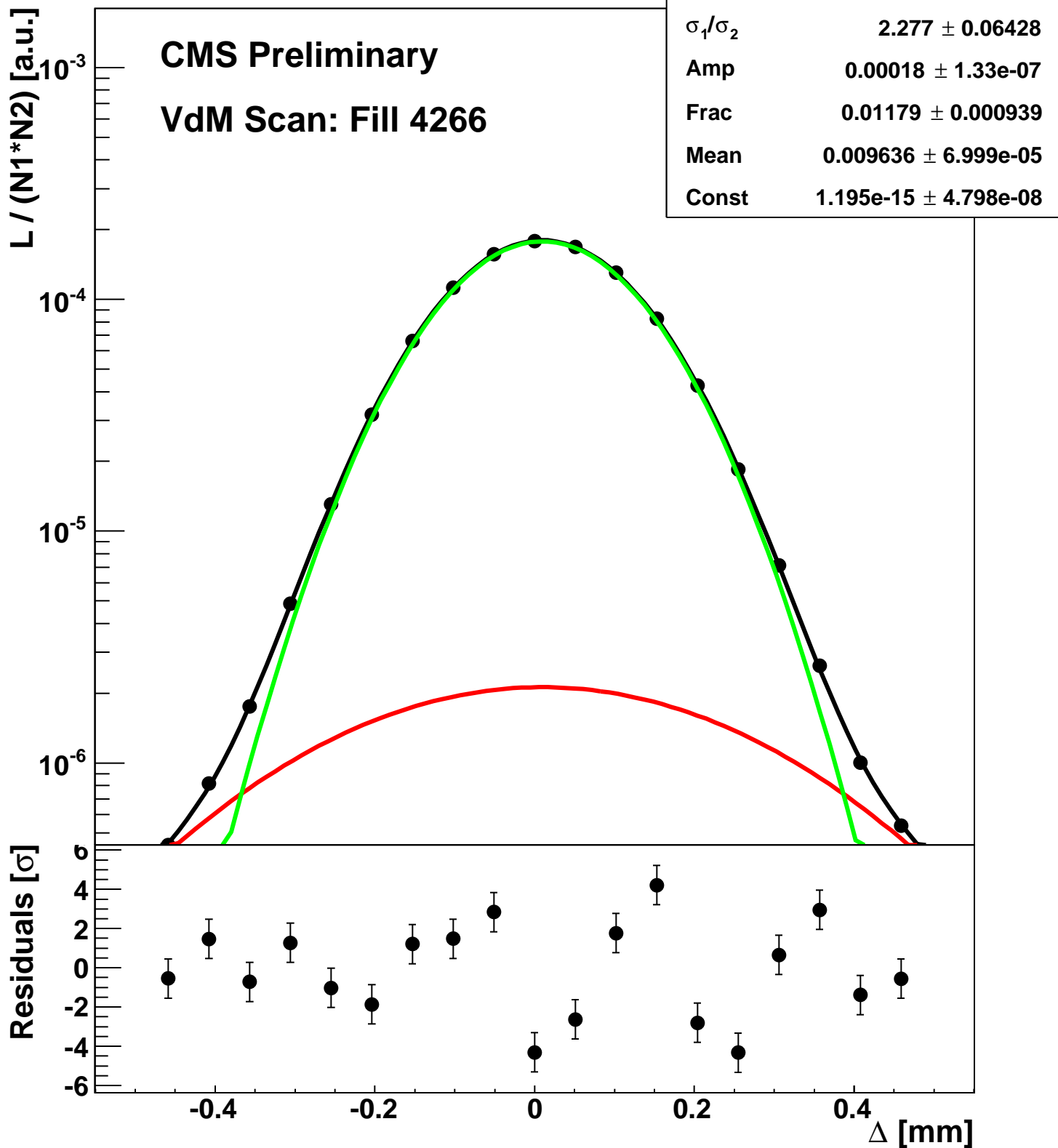
Scan 8: Y-plane BCID 931



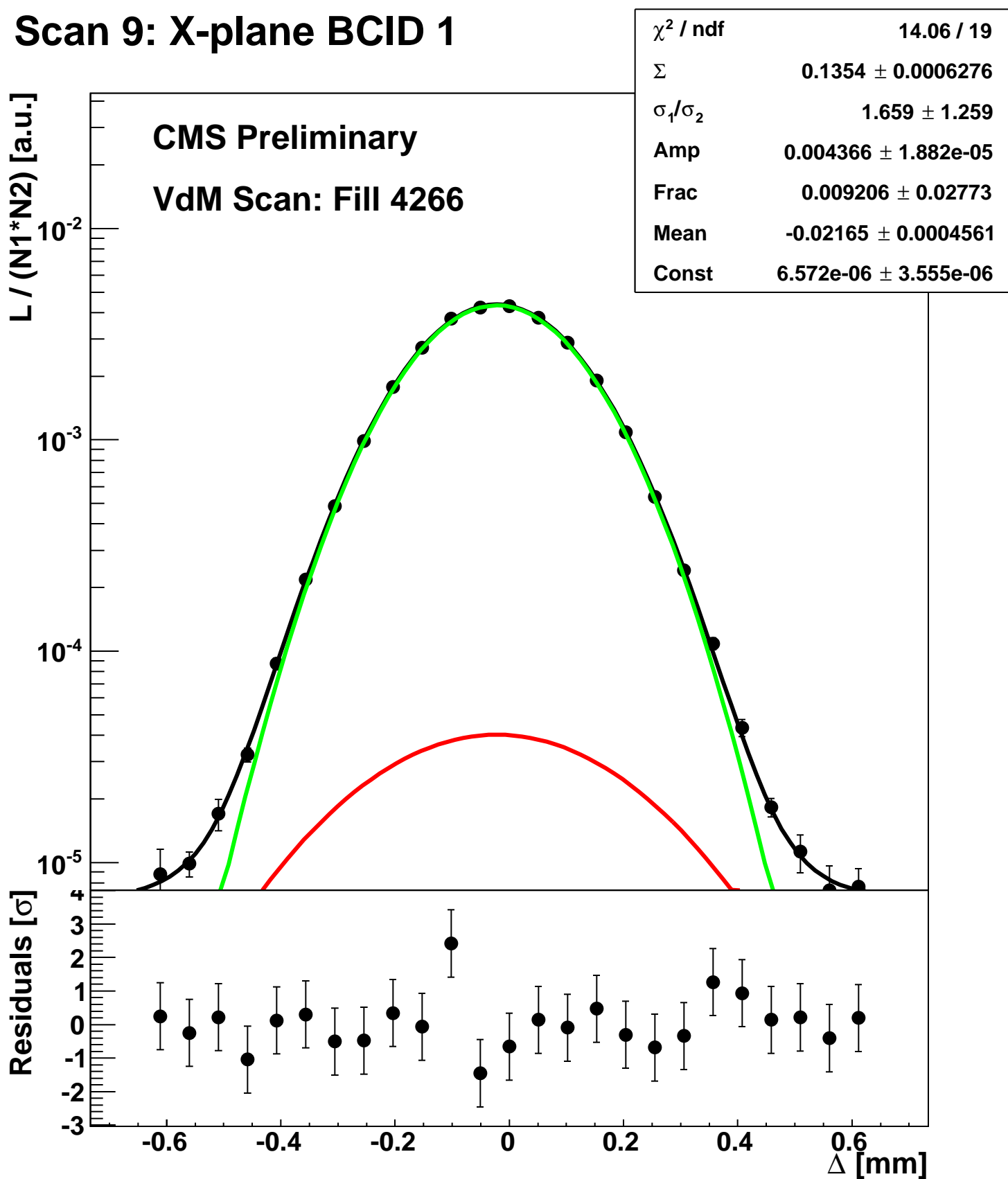
Scan 8: Y-plane BCID 971



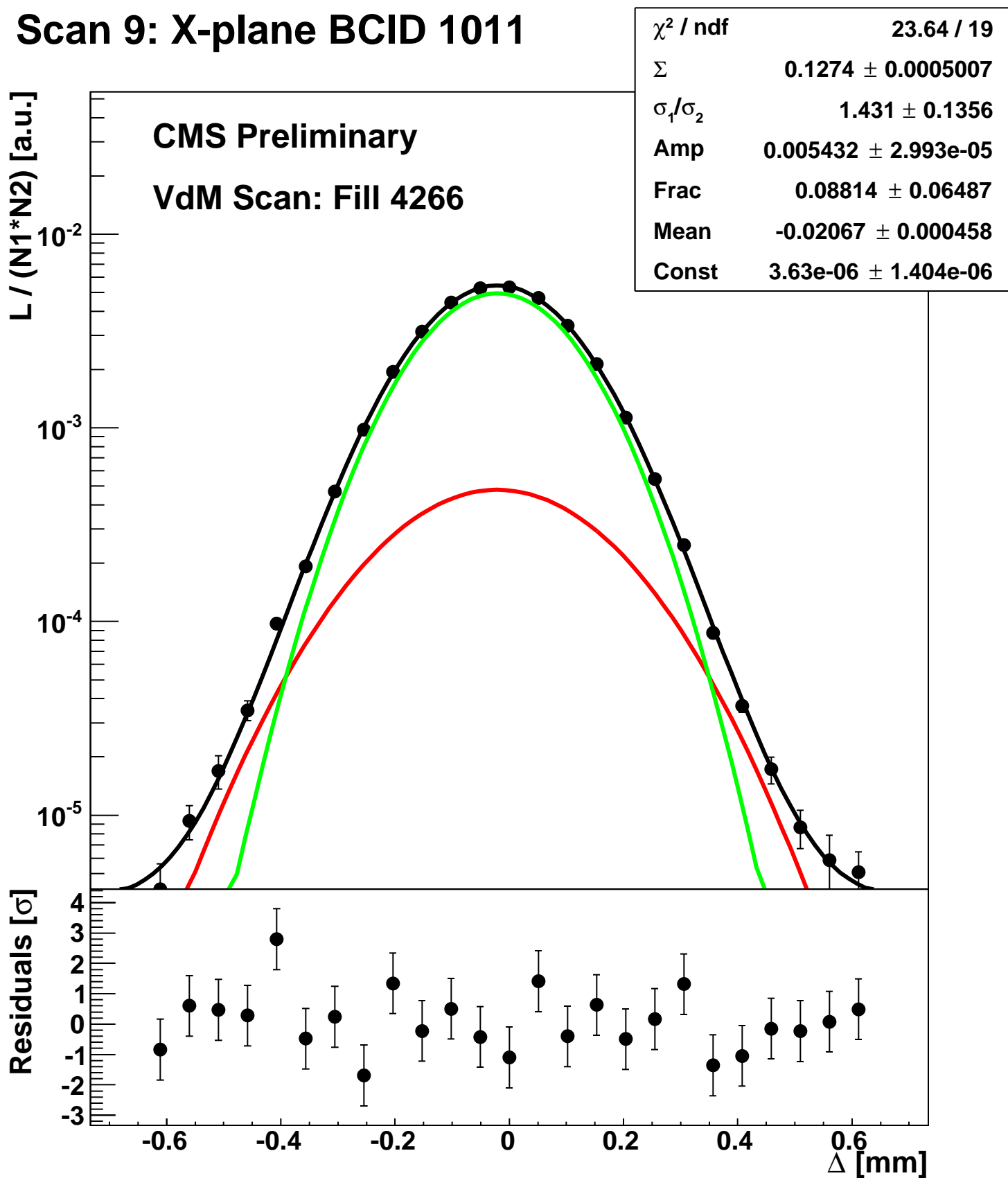
Scan 8: Y-plane BCID sum



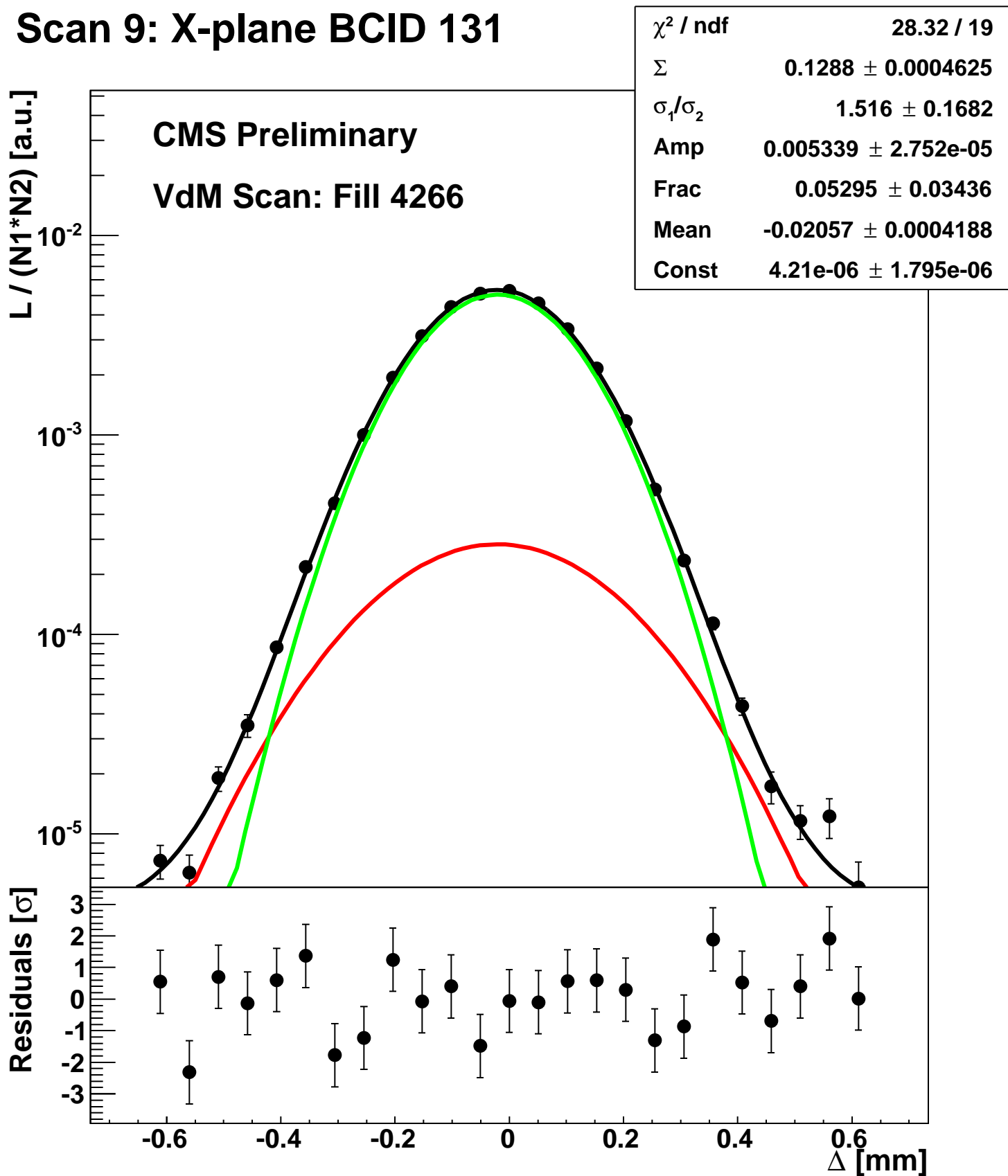
Scan 9: X-plane BCID 1



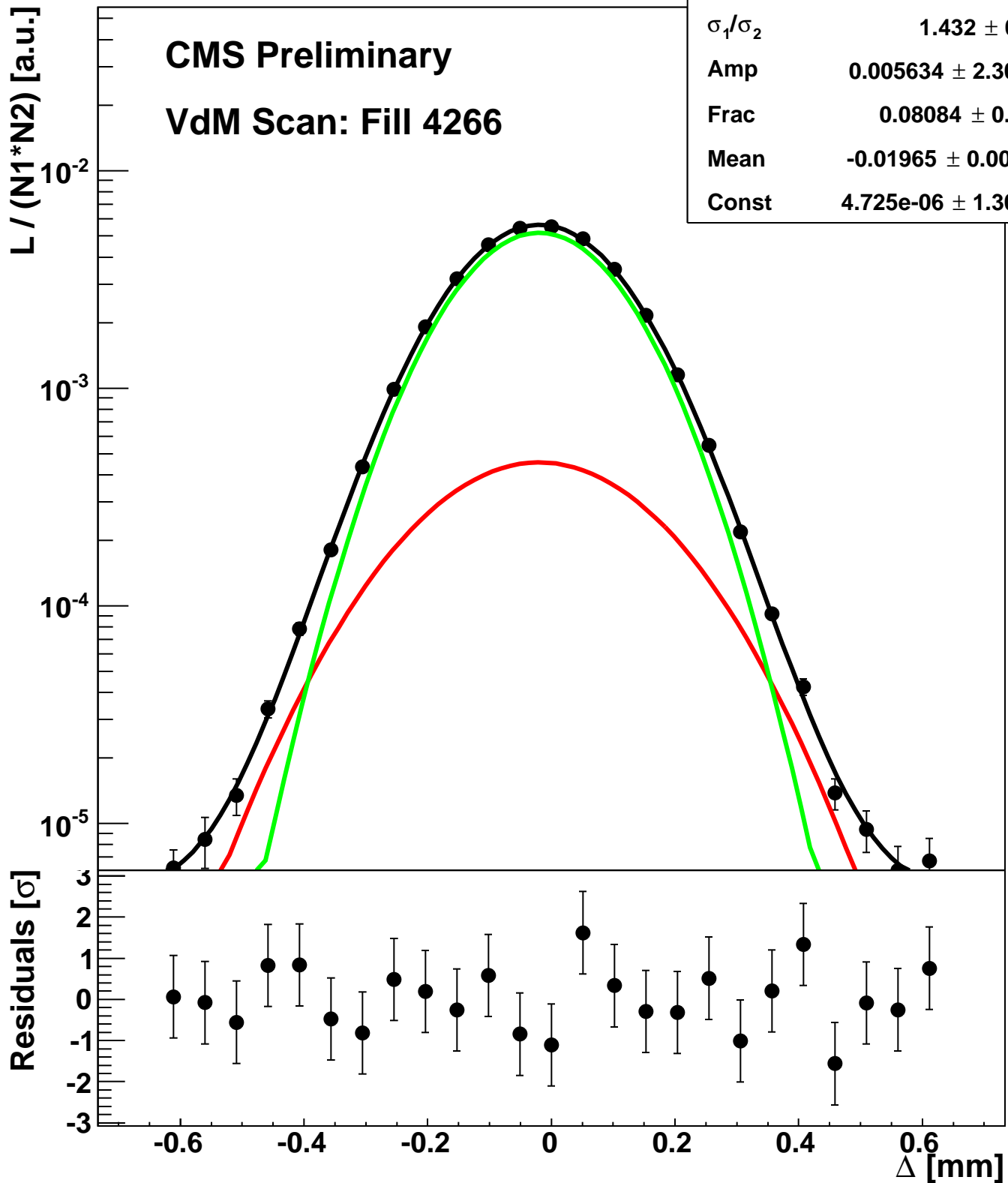
Scan 9: X-plane BCID 1011



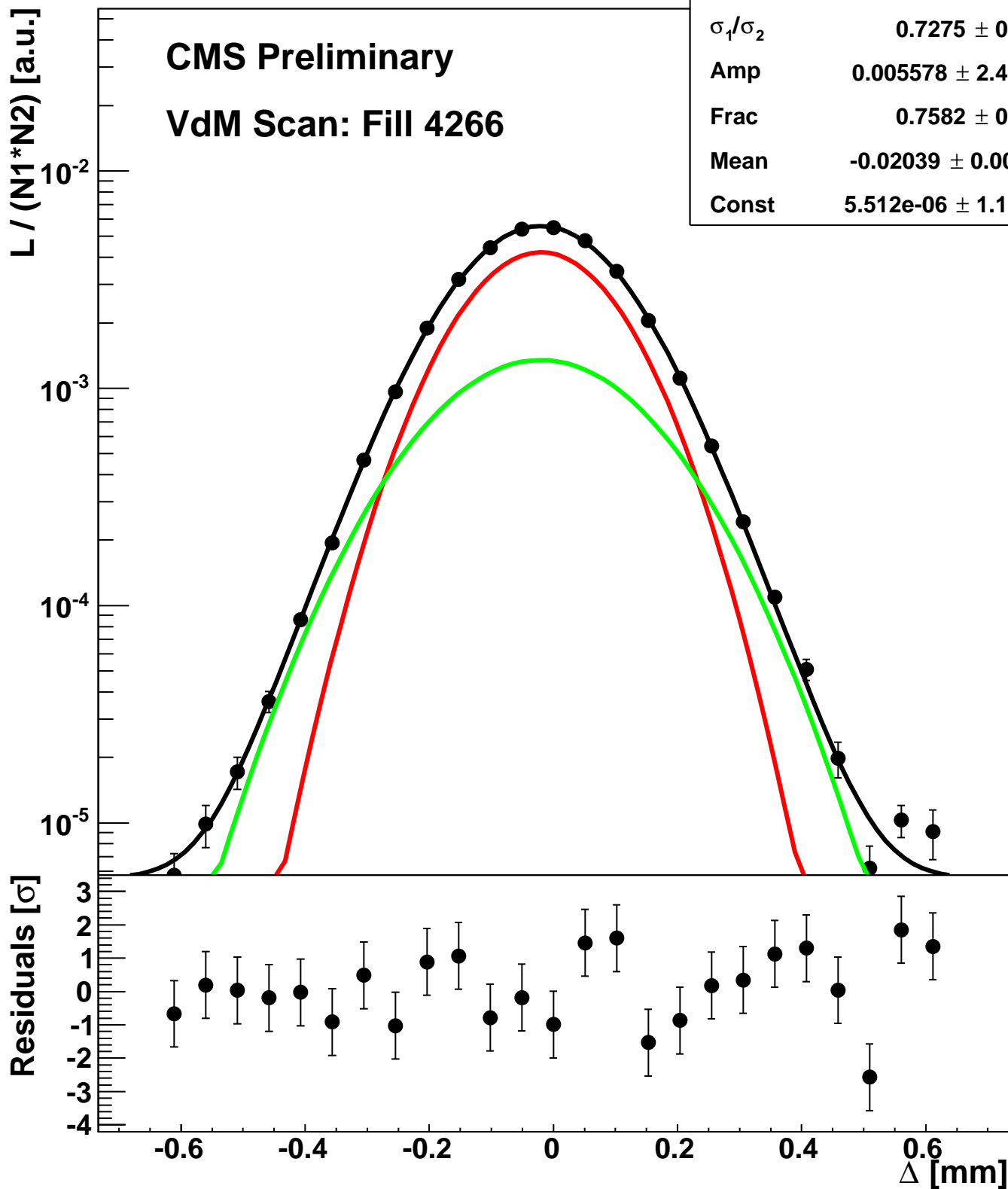
Scan 9: X-plane BCID 131



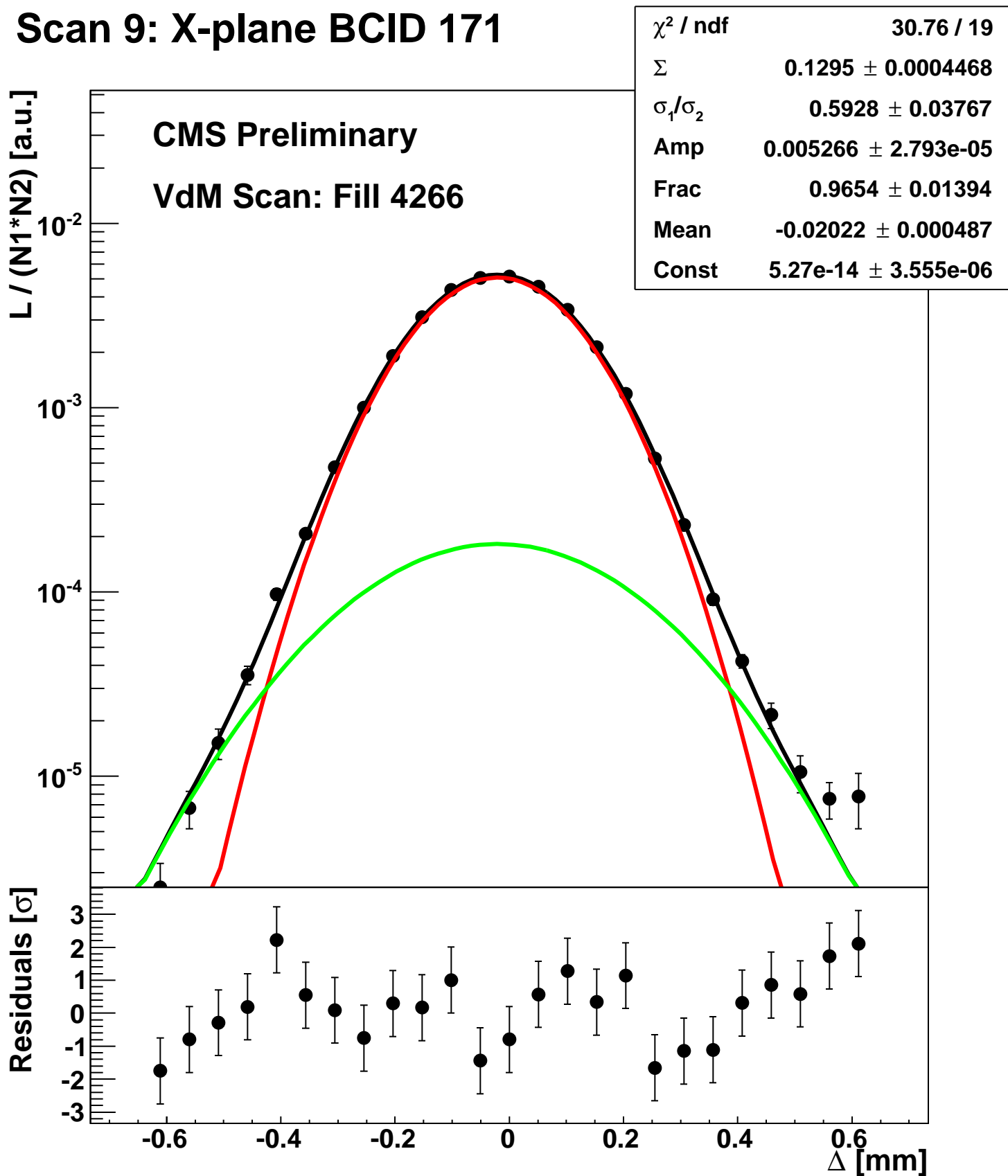
Scan 9: X-plane BCID 1631



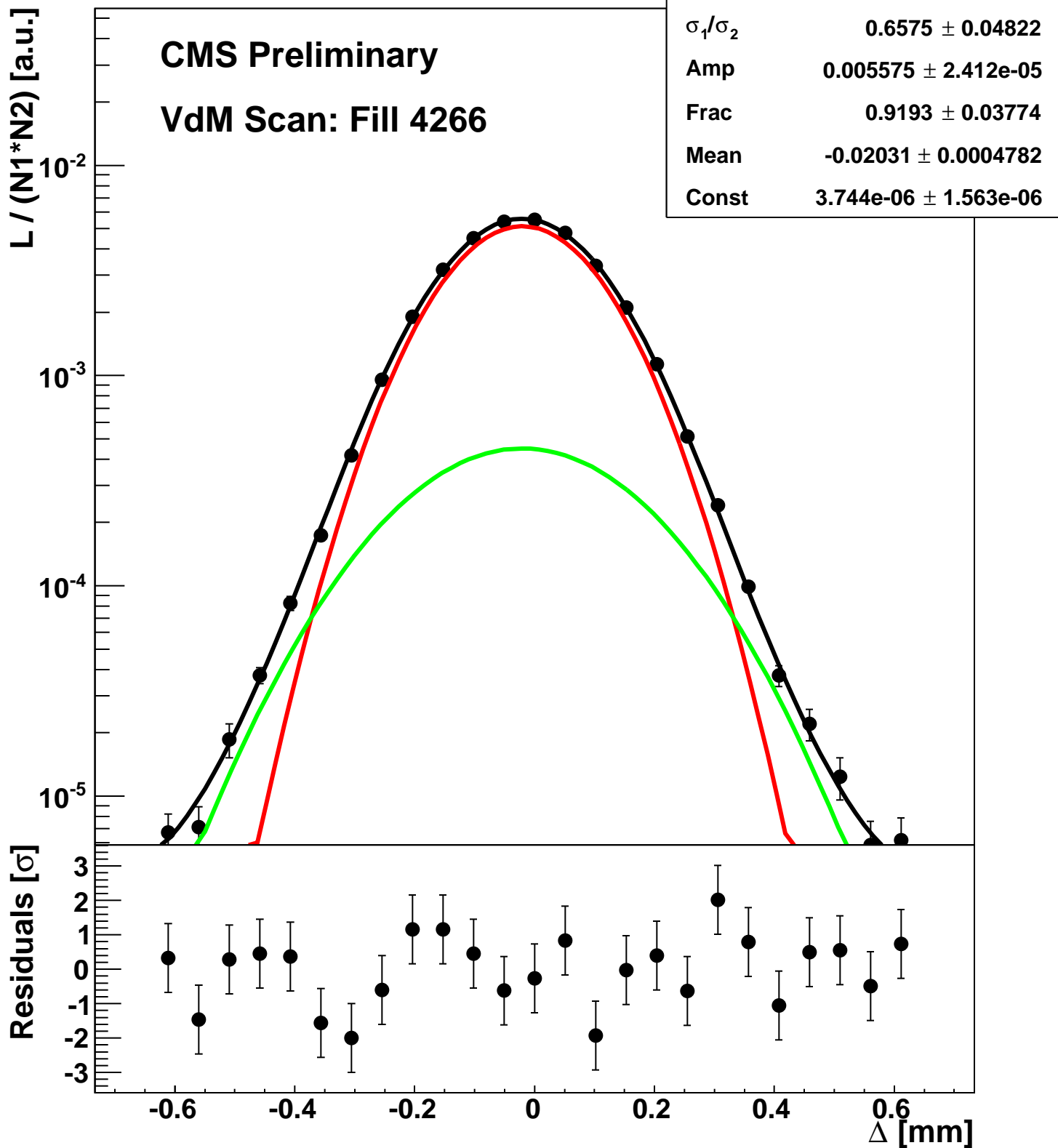
Scan 9: X-plane BCID 1671



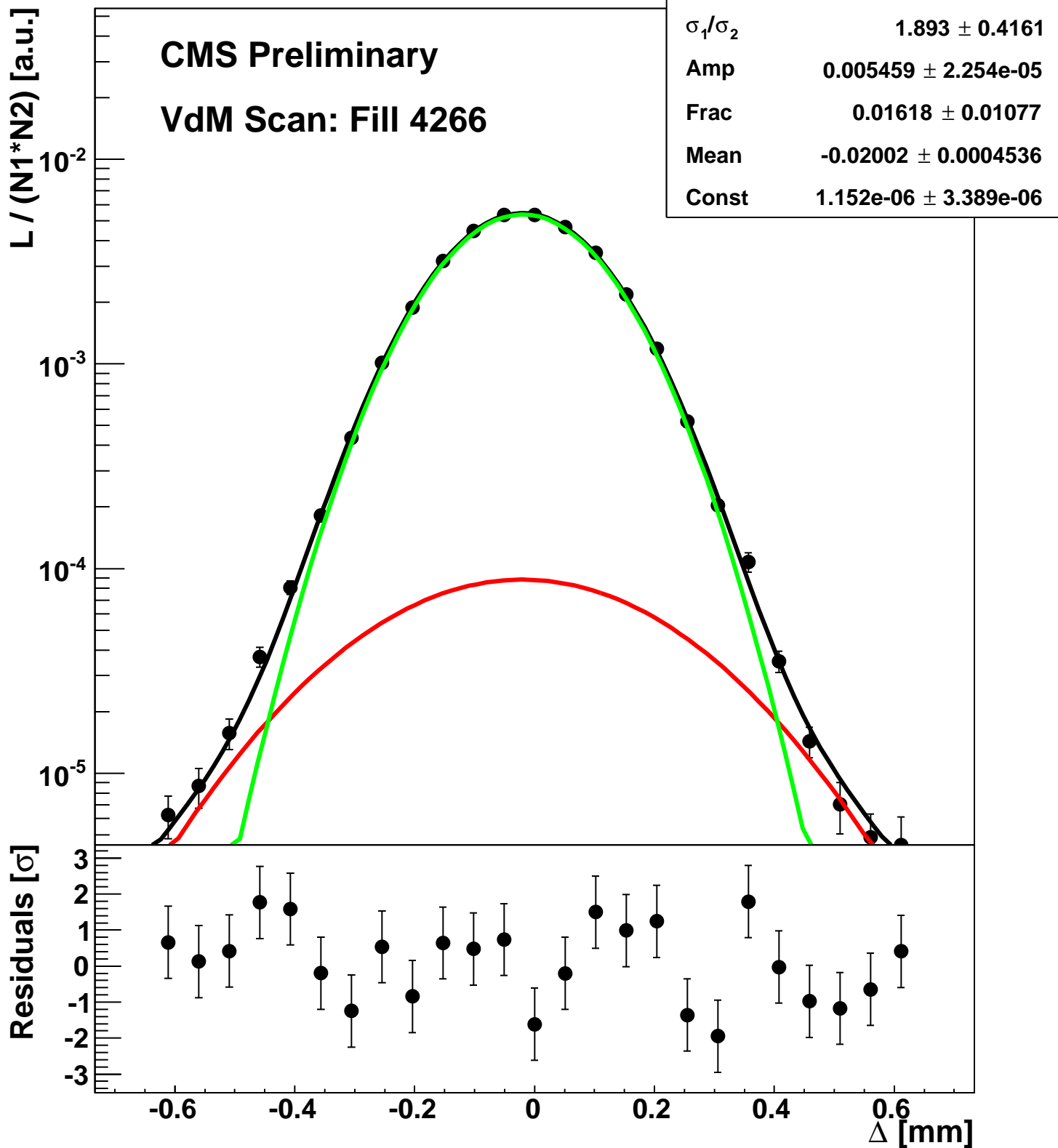
Scan 9: X-plane BCID 171



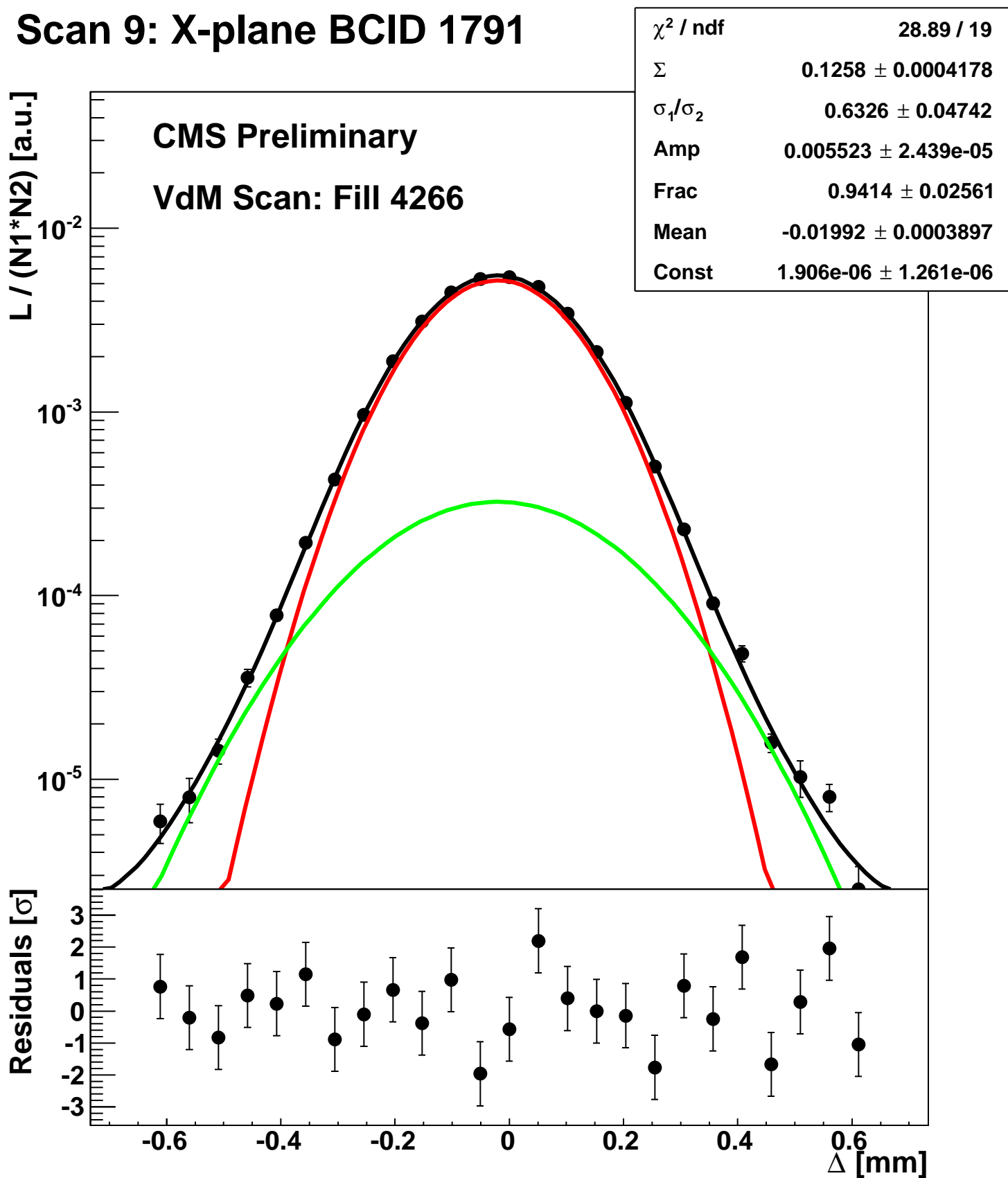
Scan 9: X-plane BCID 1711



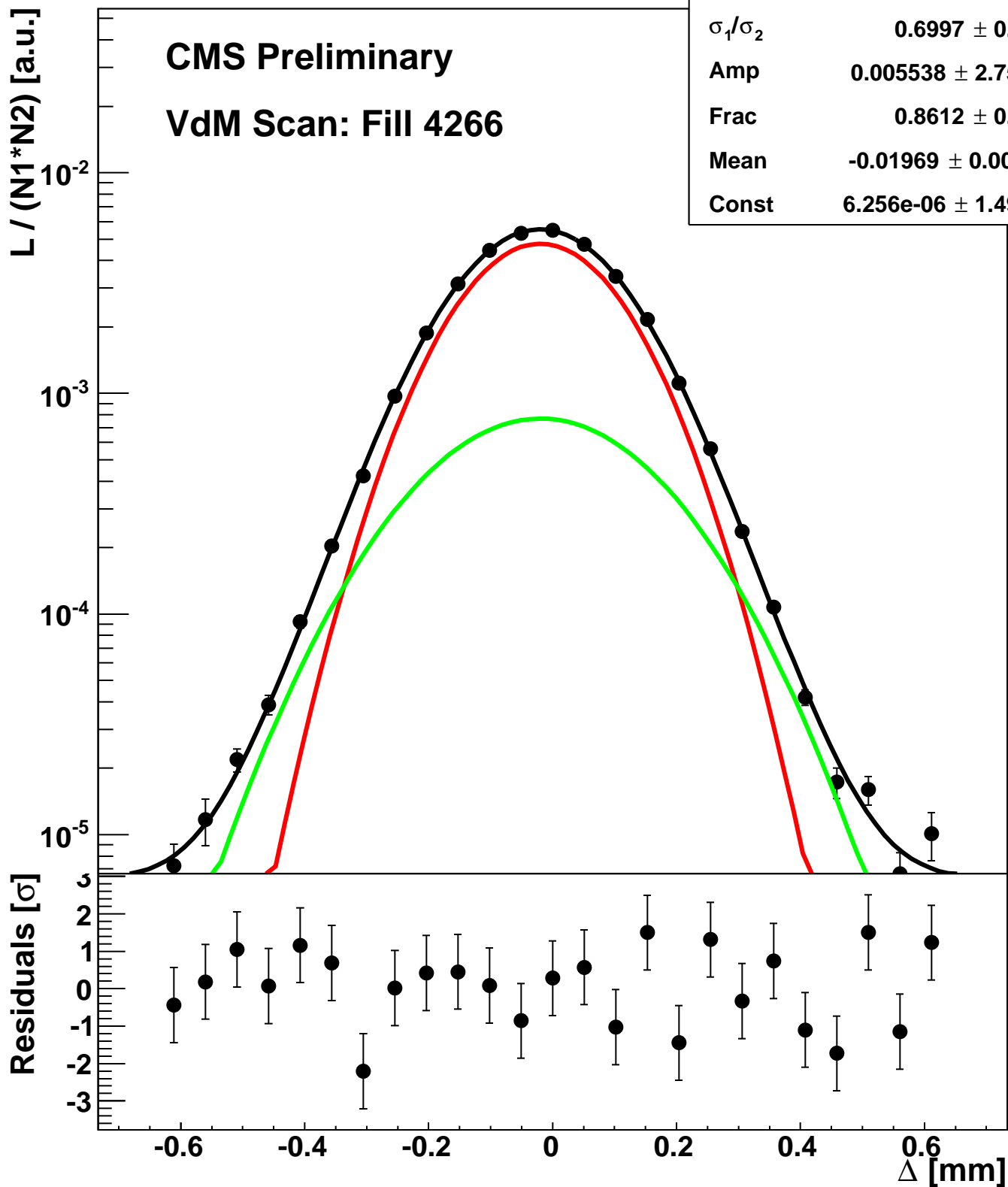
Scan 9: X-plane BCID 1751



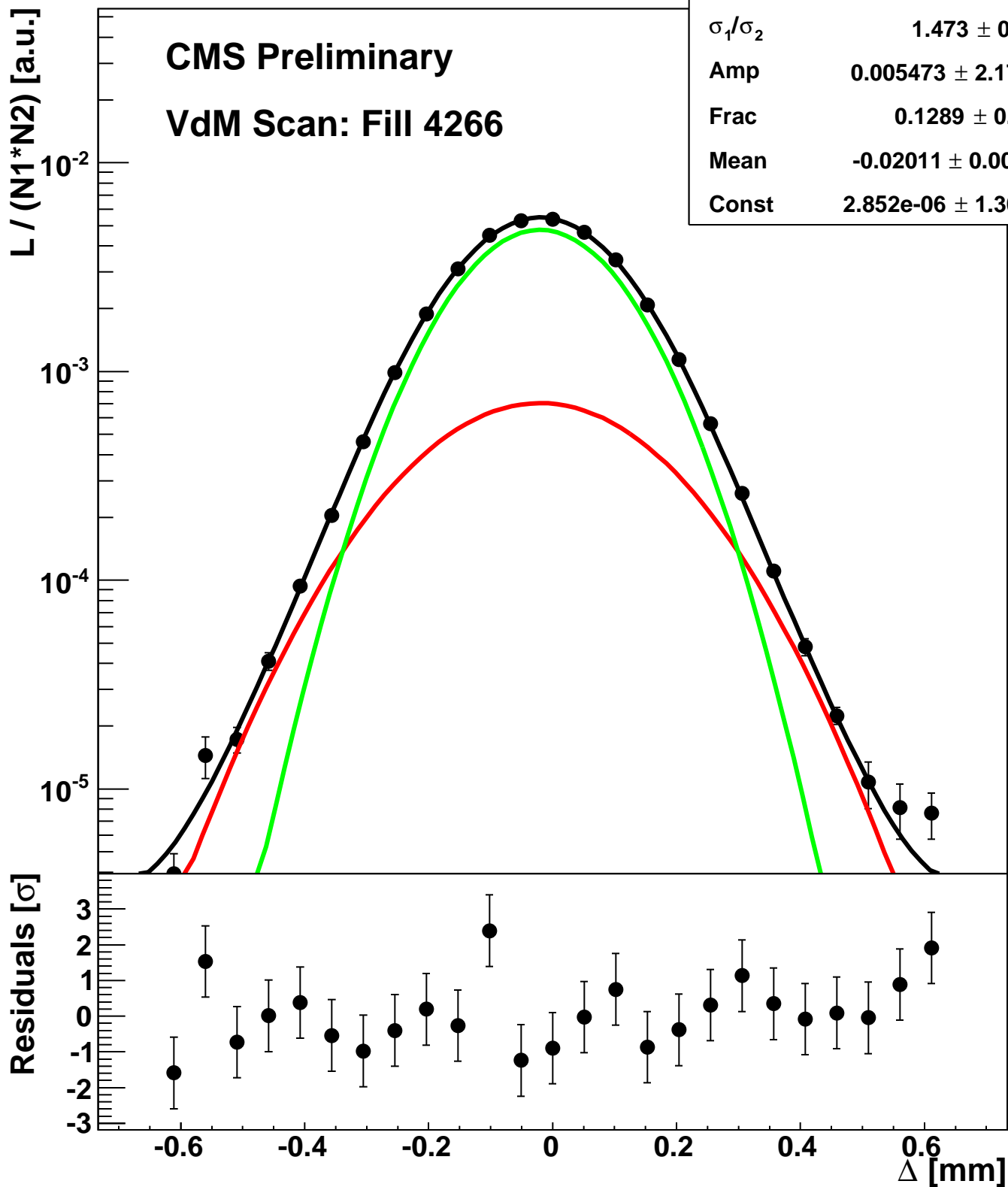
Scan 9: X-plane BCID 1791



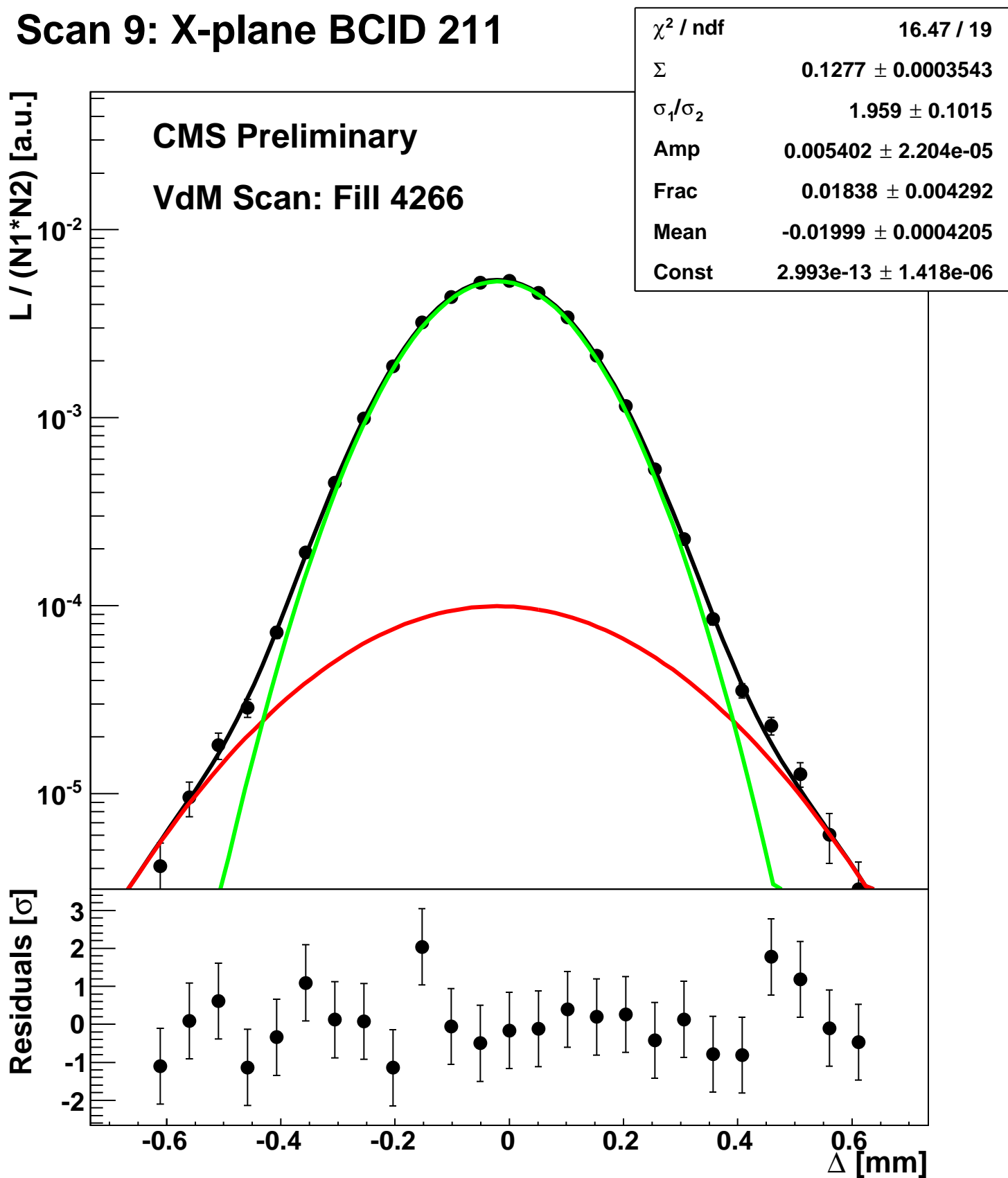
Scan 9: X-plane BCID 1831



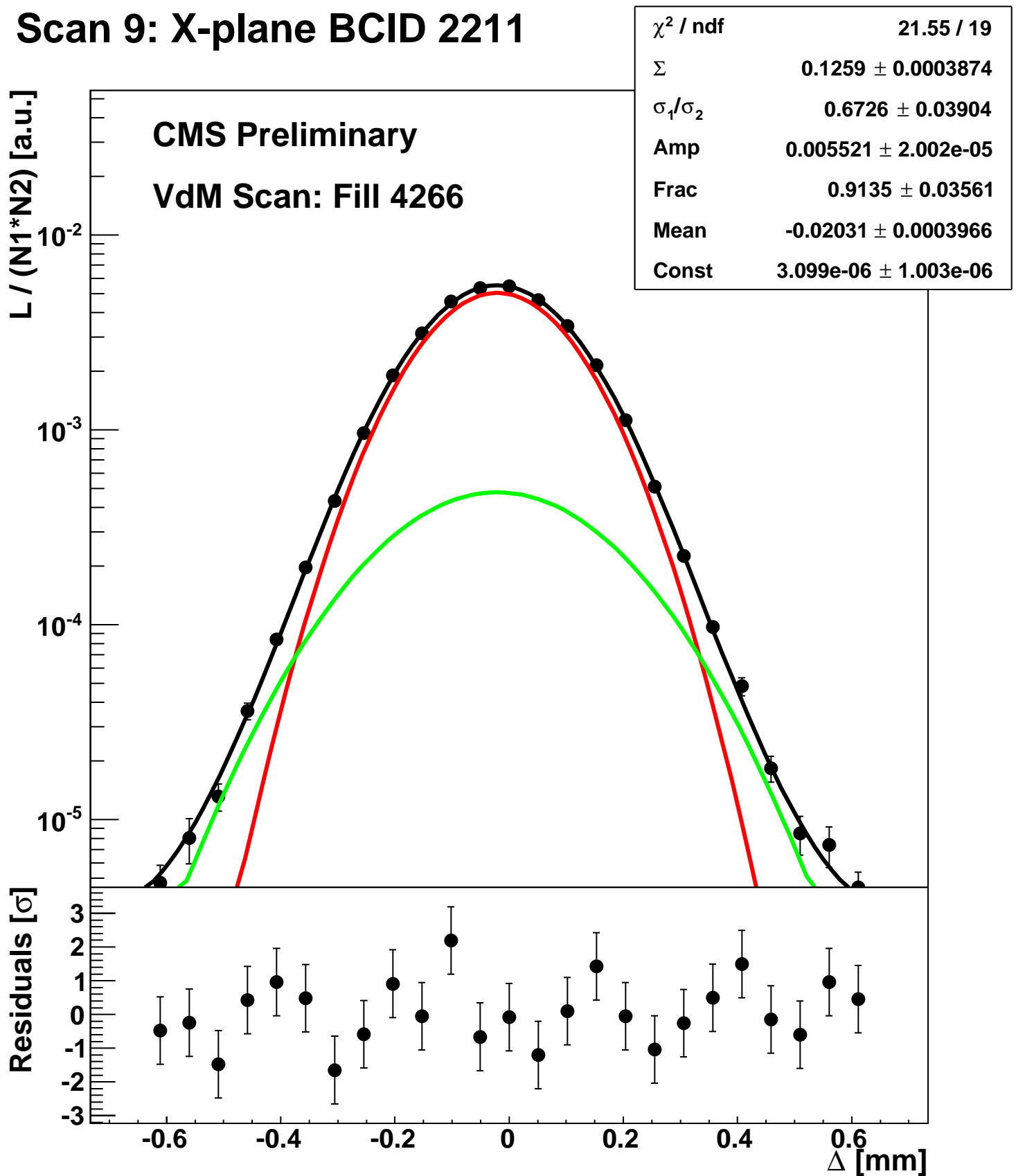
Scan 9: X-plane BCID 1871



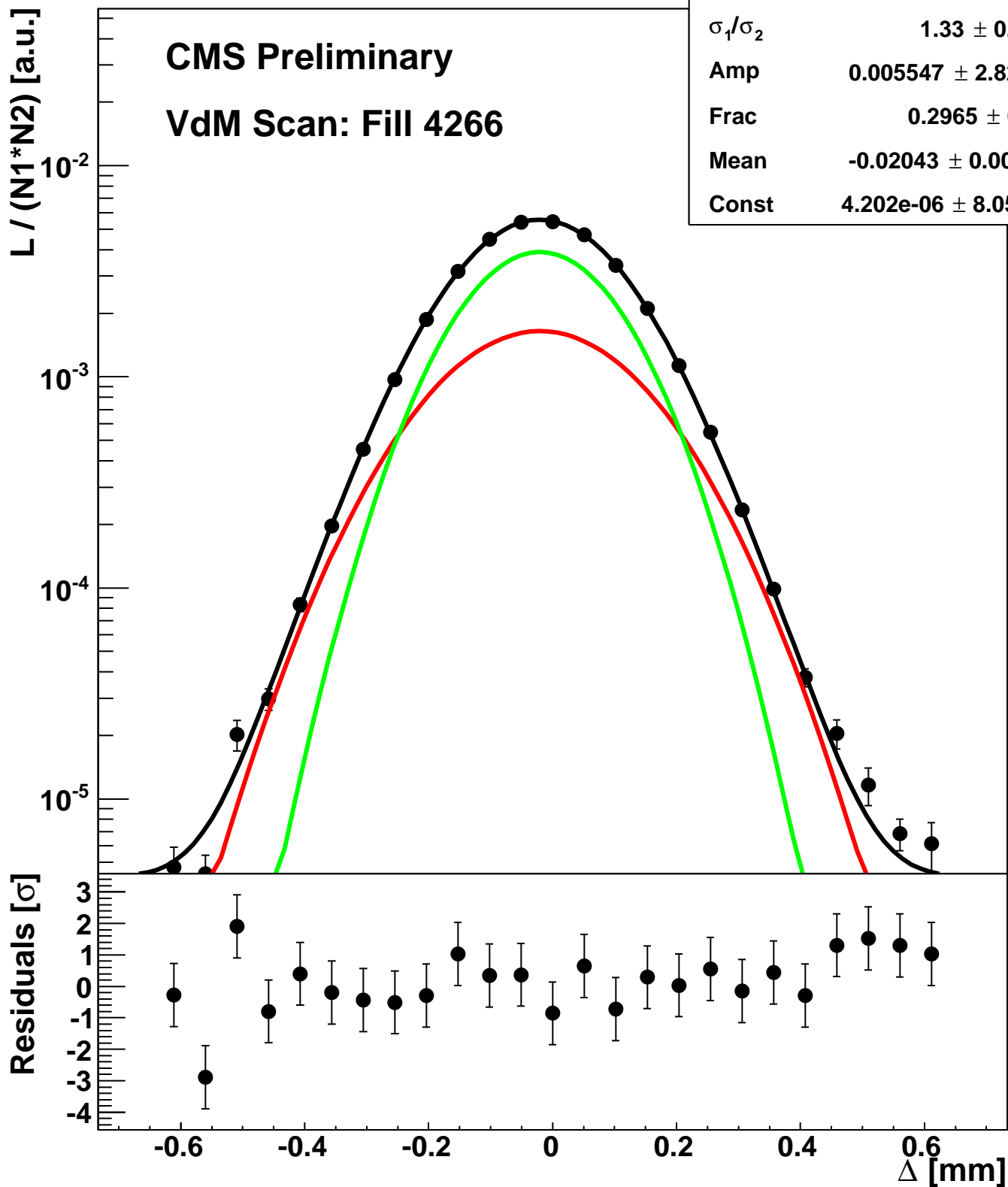
Scan 9: X-plane BCID 211



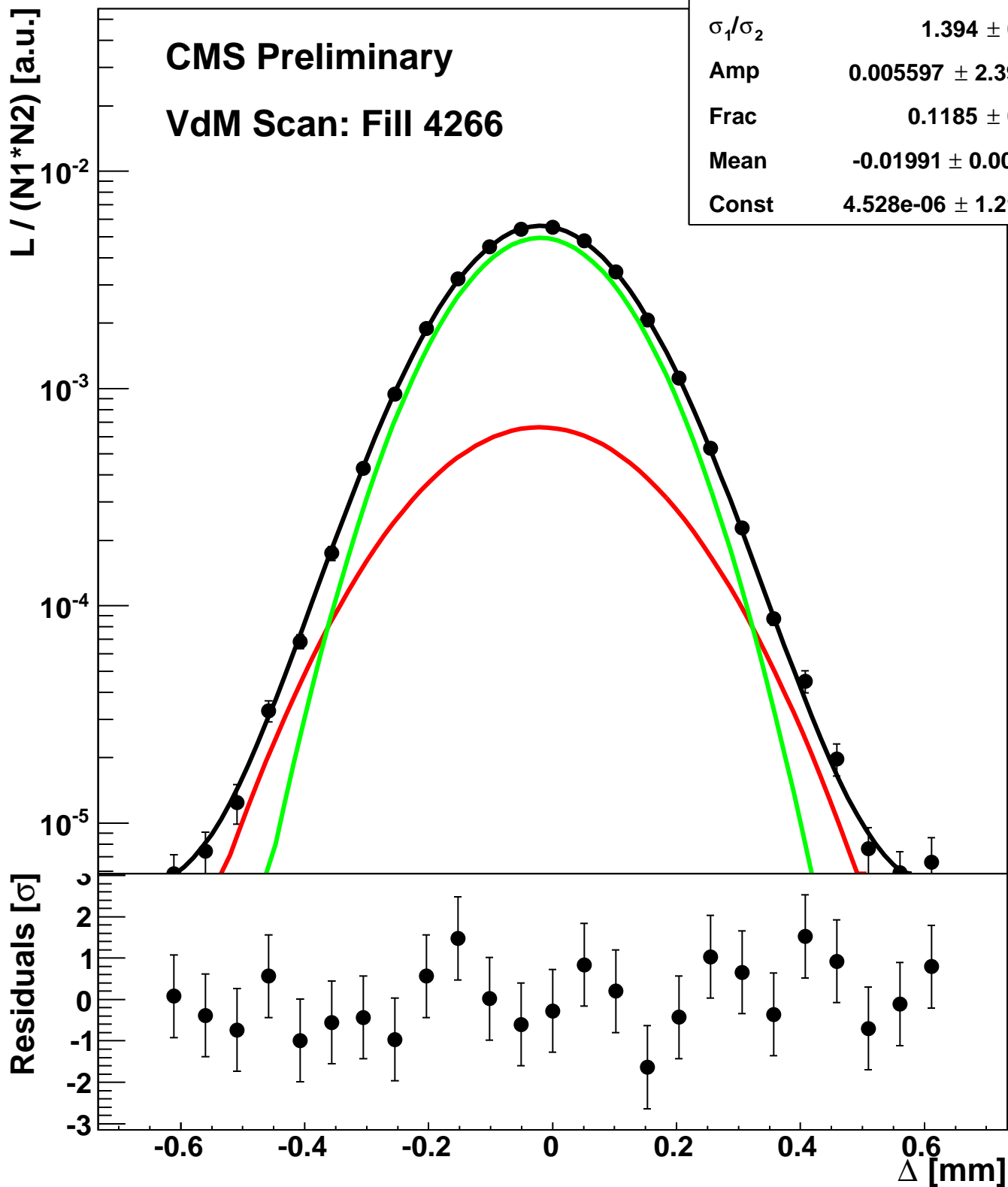
Scan 9: X-plane BCID 2211



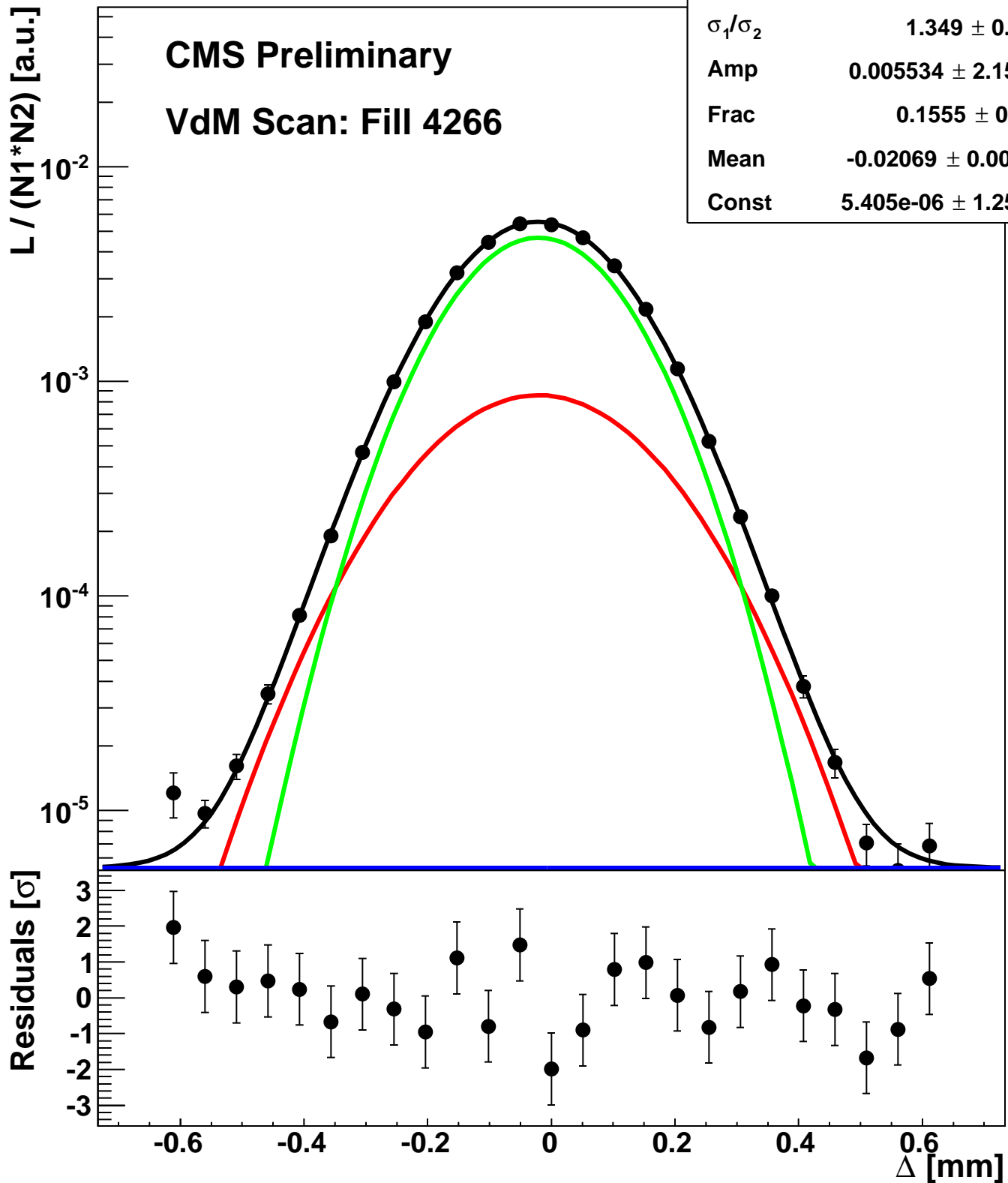
Scan 9: X-plane BCID 2251



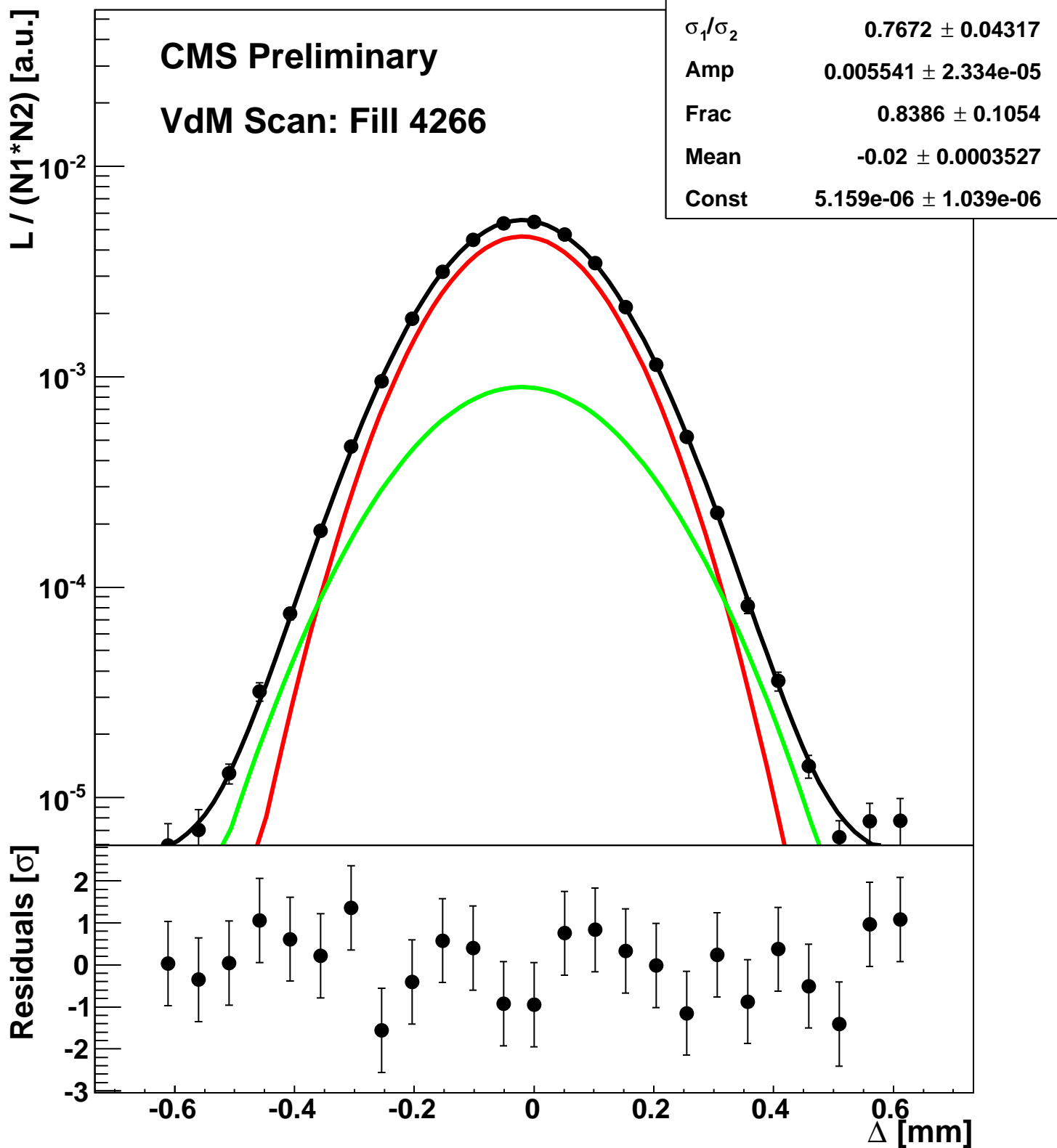
Scan 9: X-plane BCID 2291



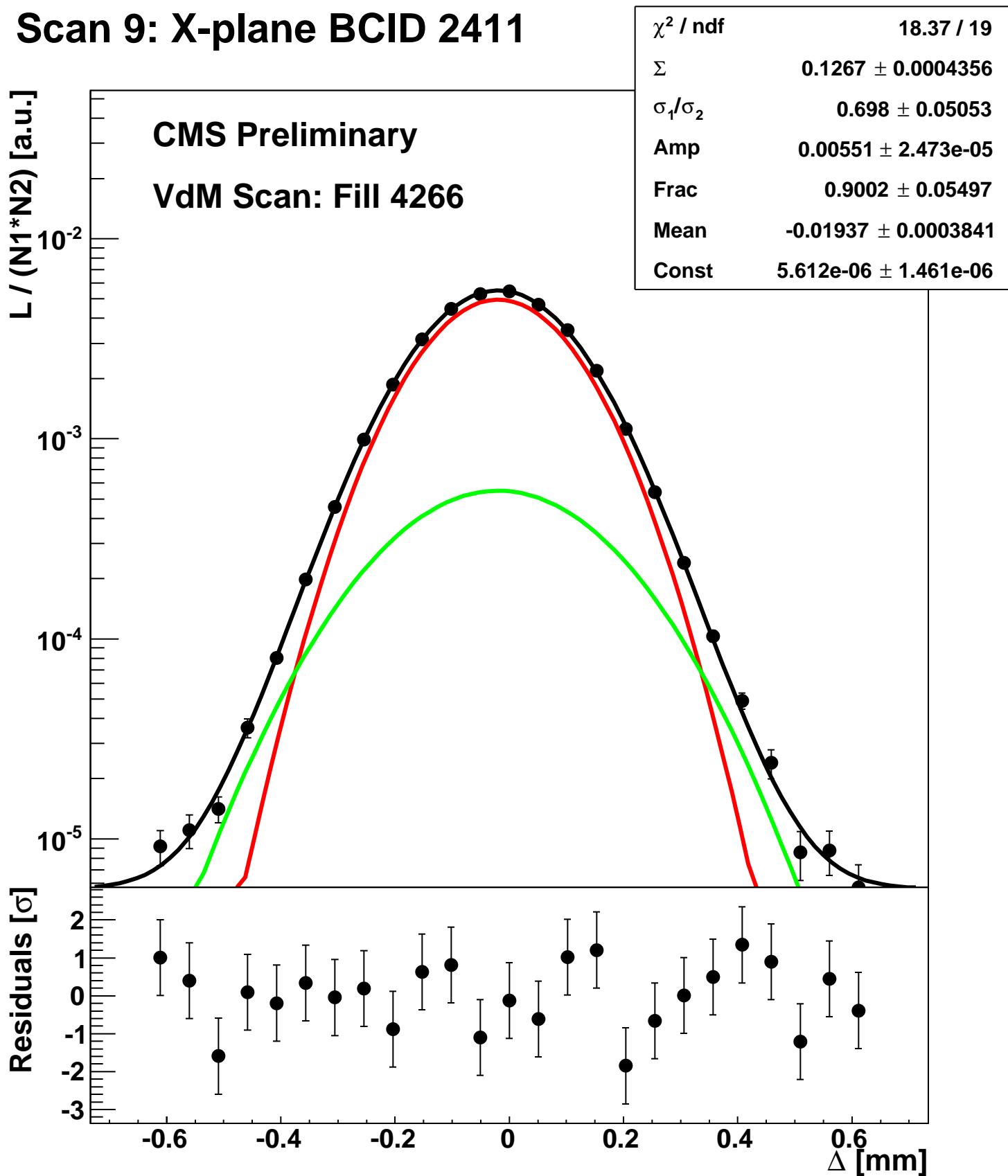
Scan 9: X-plane BCID 2331



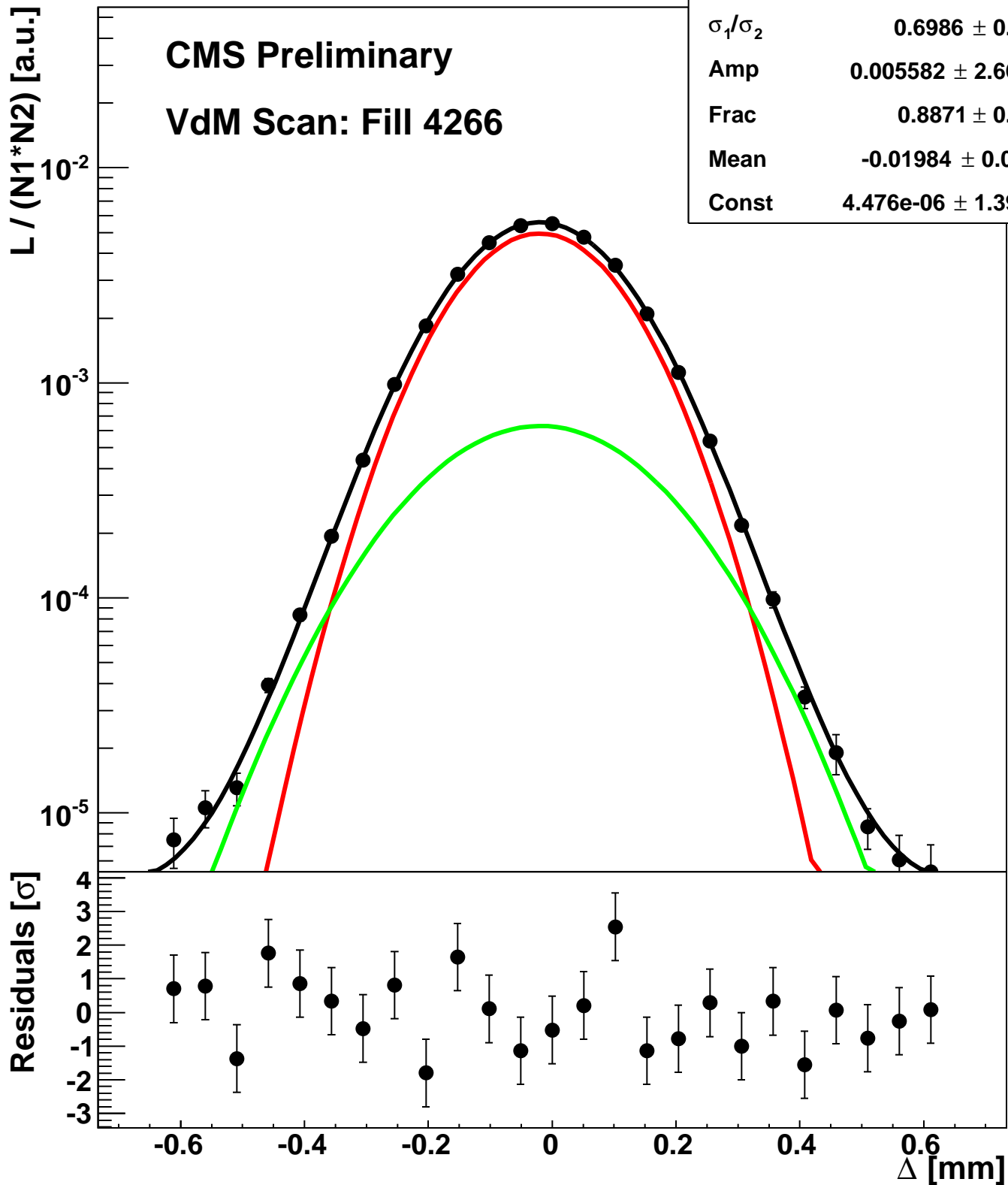
Scan 9: X-plane BCID 2371



Scan 9: X-plane BCID 2411

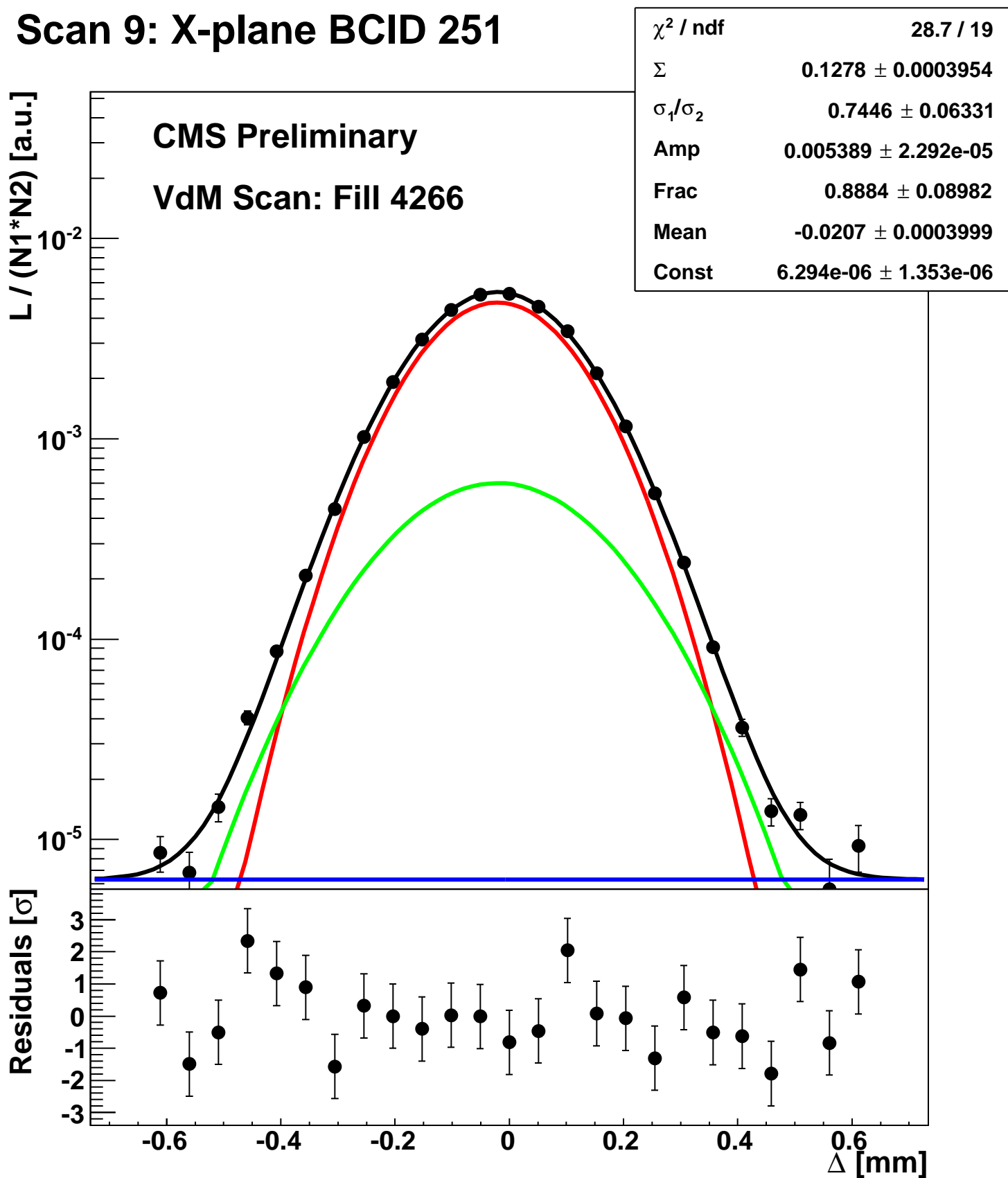


Scan 9: X-plane BCID 2451

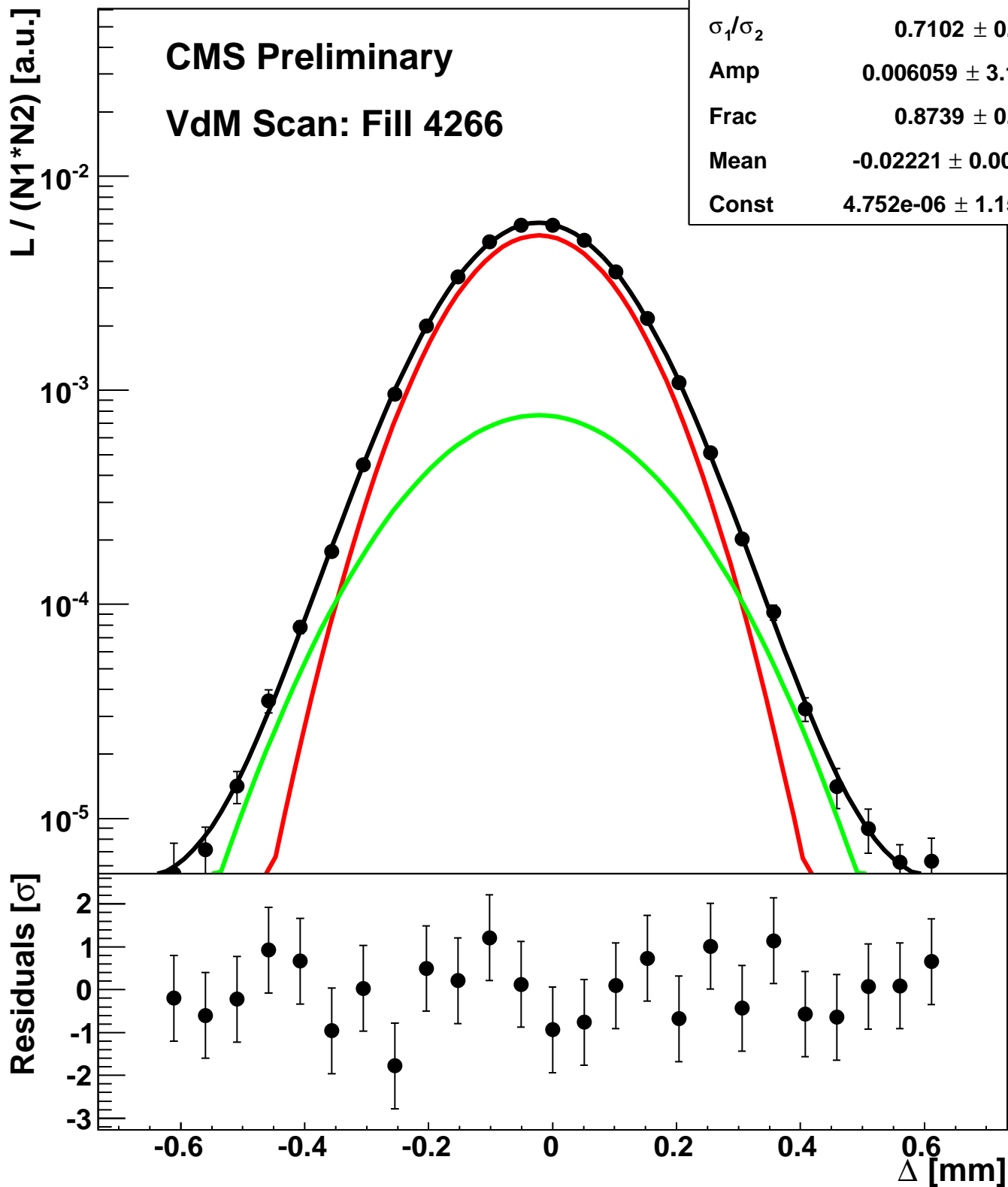


χ^2 / ndf	28.02 / 19
Σ	0.1254 ± 0.000431
σ_1 / σ_2	0.6986 ± 0.04472
Amp	$0.005582 \pm 2.665\text{e-}05$
Frac	0.8871 ± 0.05943
Mean	-0.01984 ± 0.000416
Const	$4.476\text{e-}06 \pm 1.399\text{e-}06$

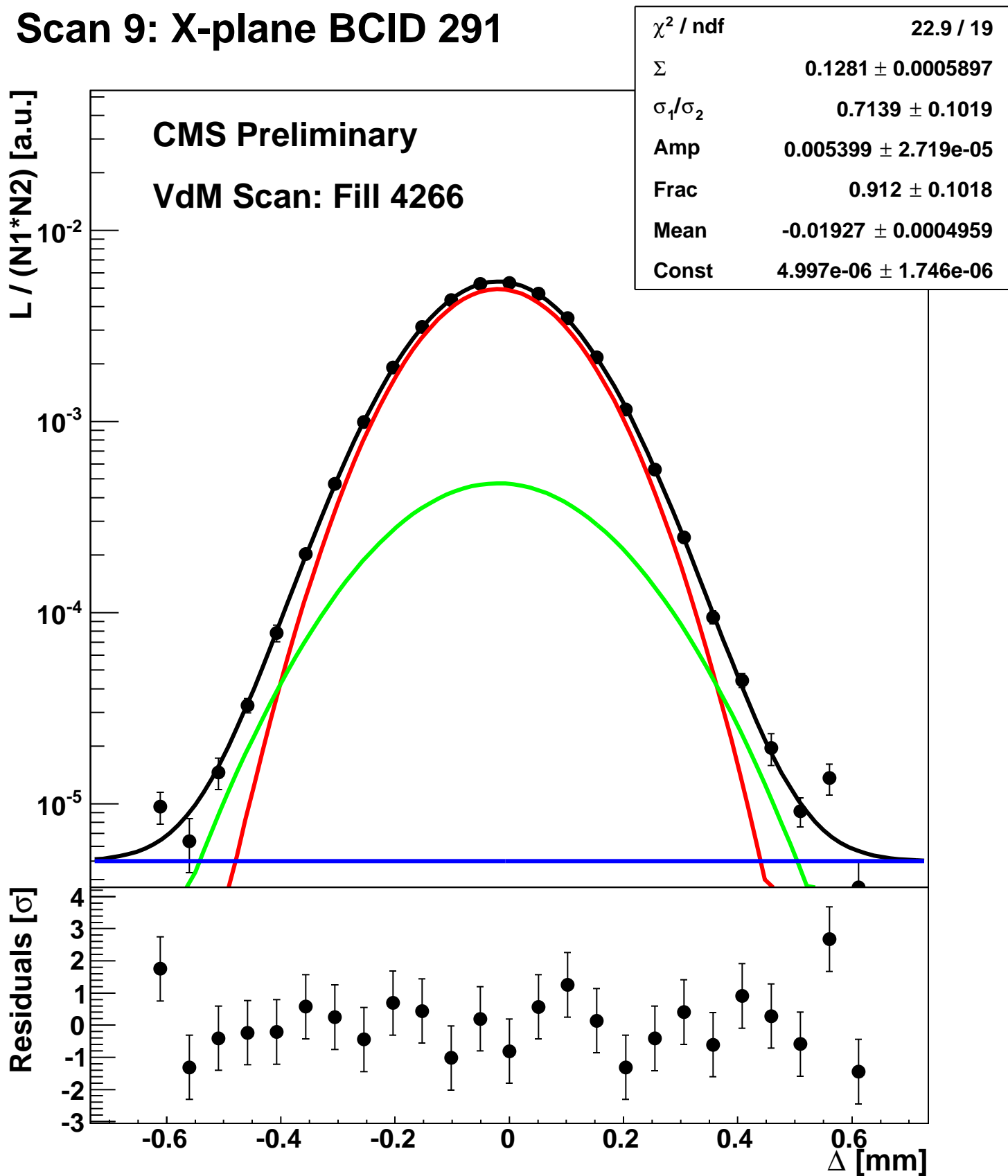
Scan 9: X-plane BCID 251



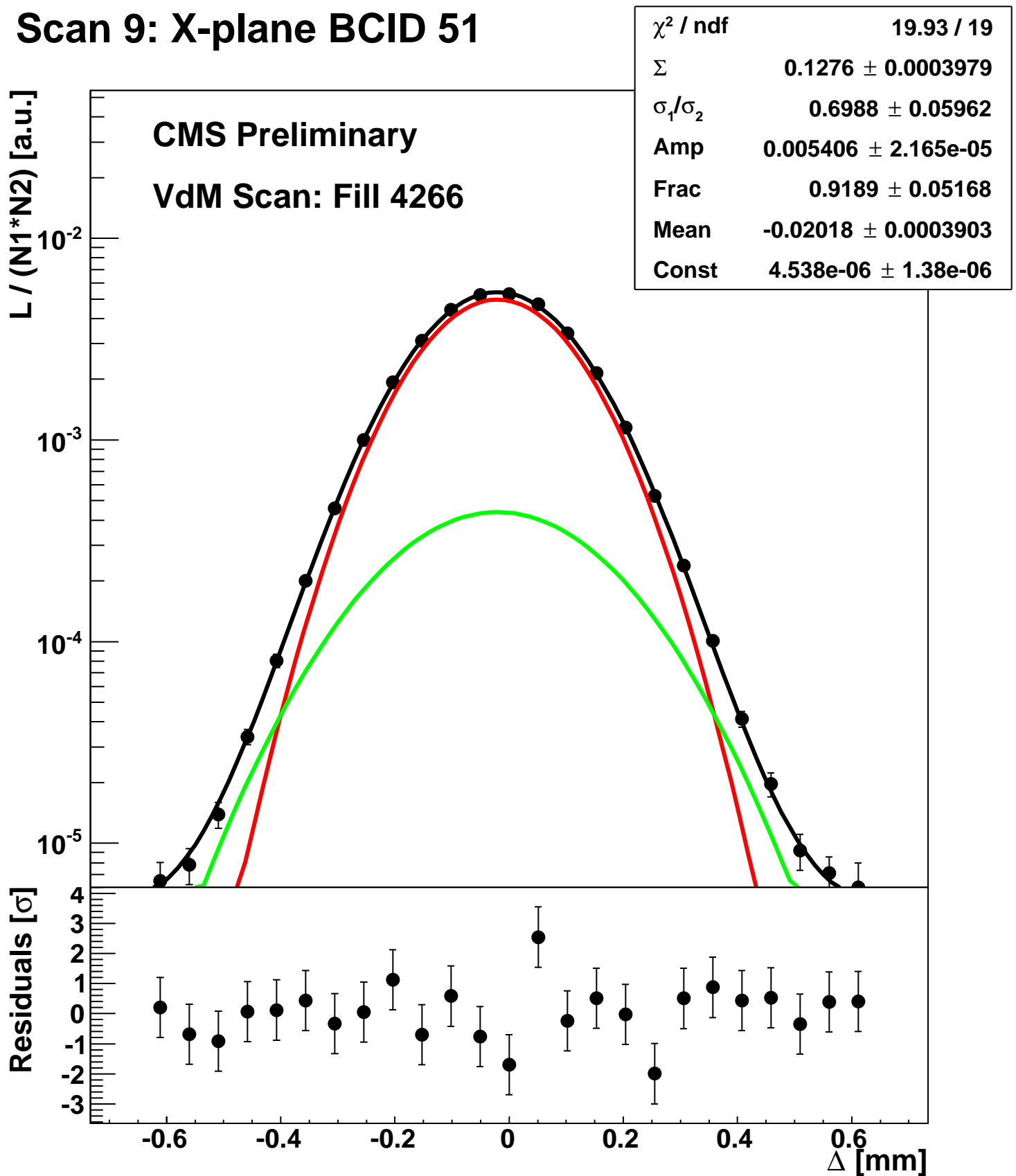
Scan 9: X-plane BCID 2674



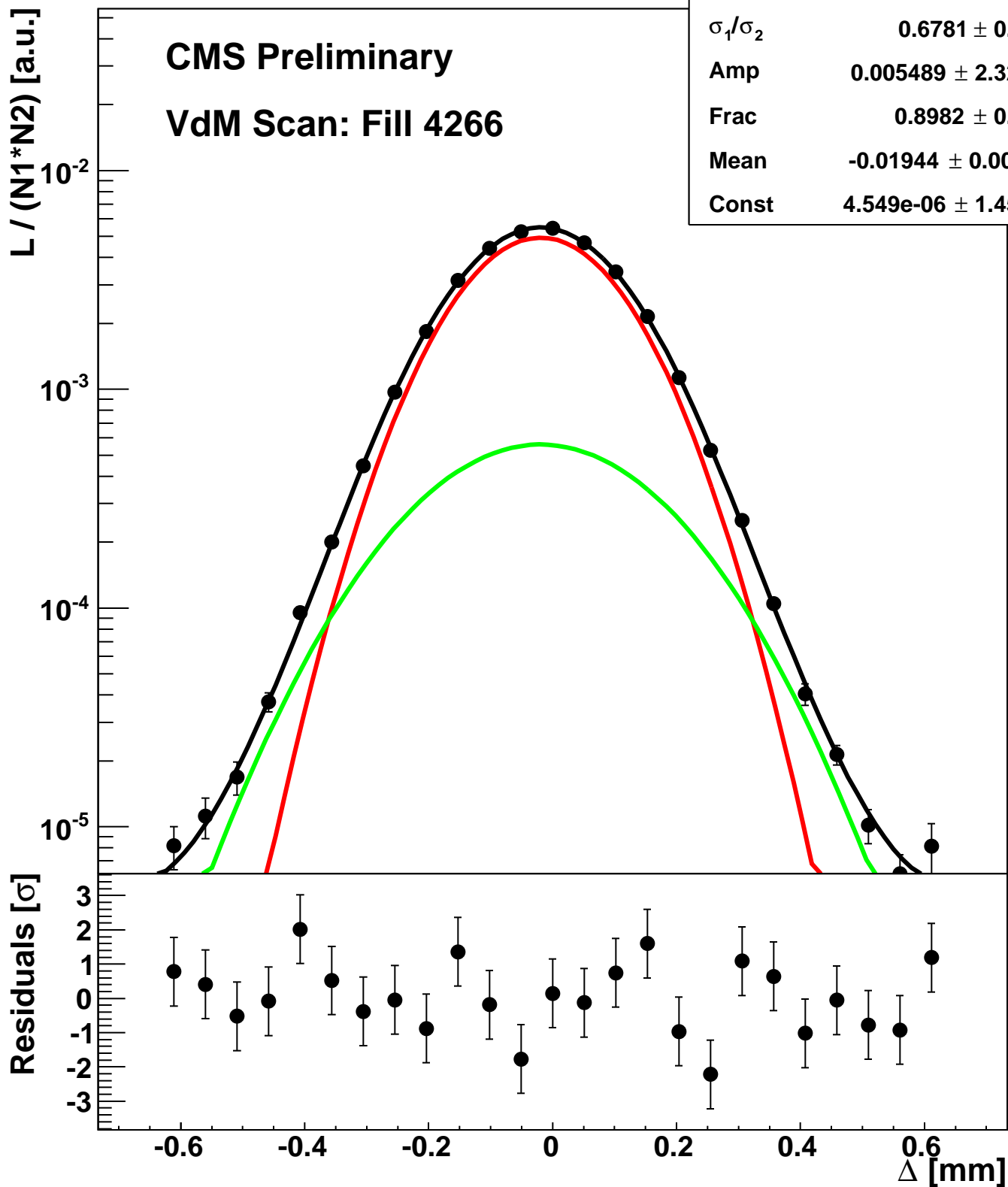
Scan 9: X-plane BCID 291



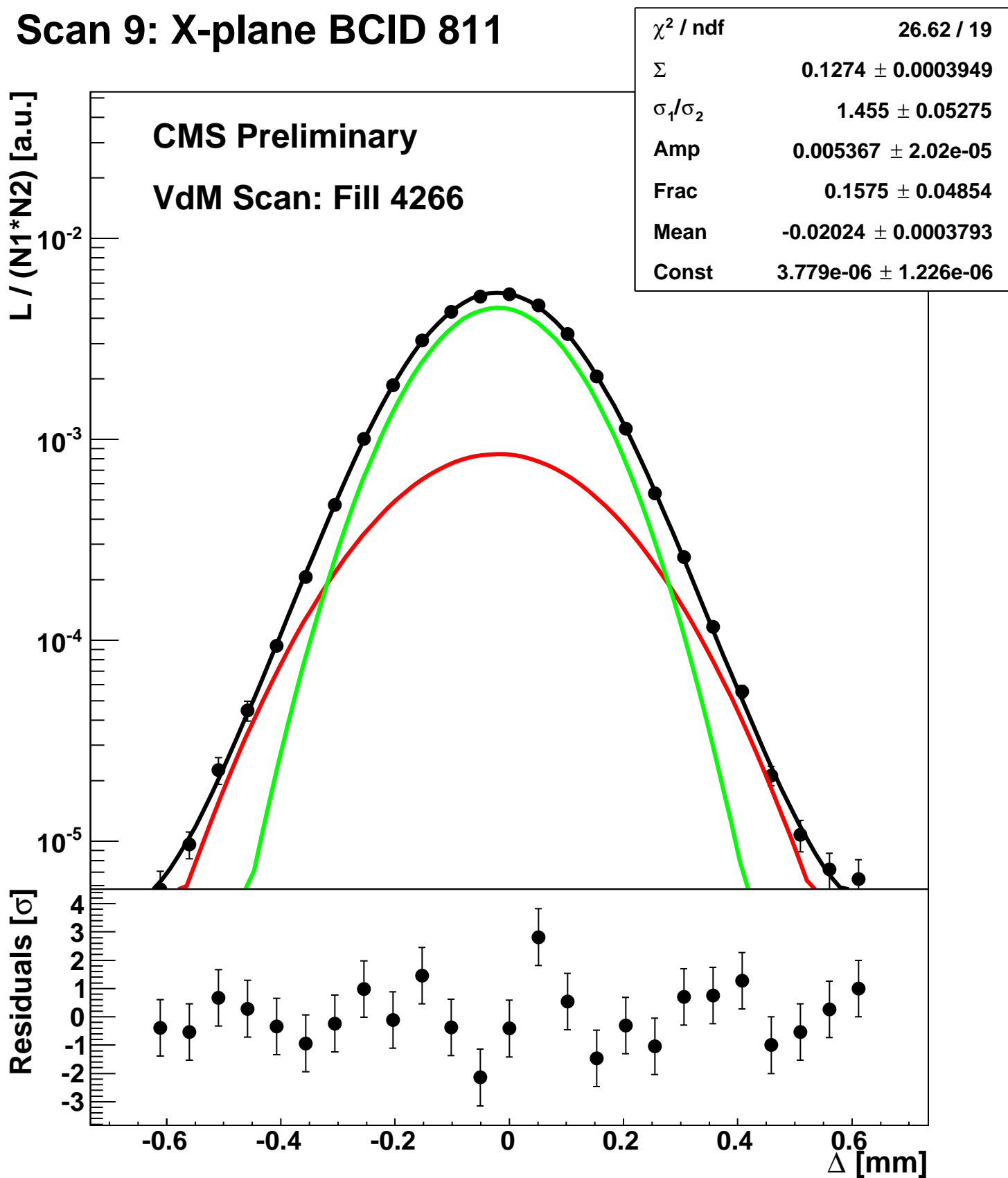
Scan 9: X-plane BCID 51



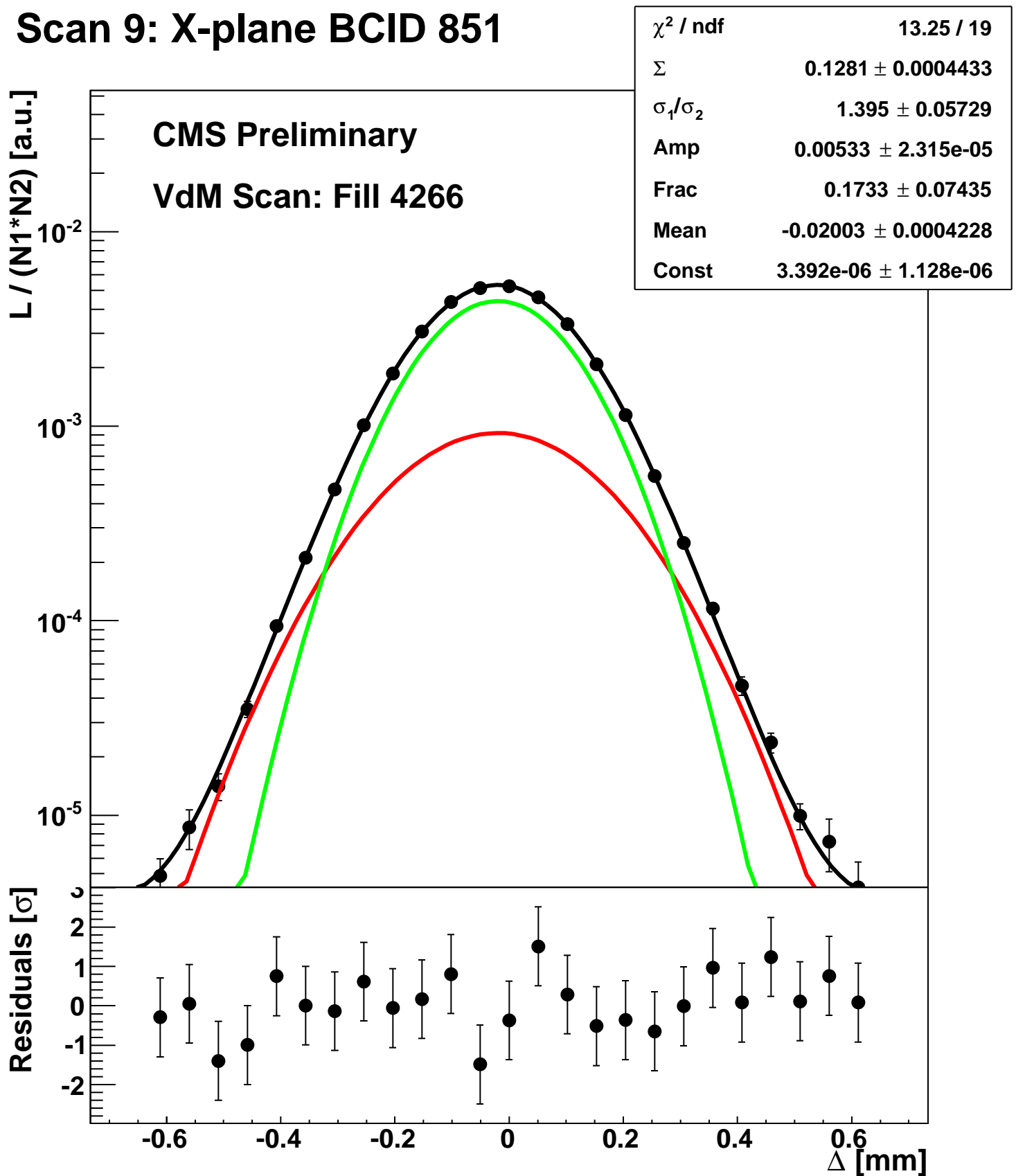
Scan 9: X-plane BCID 771



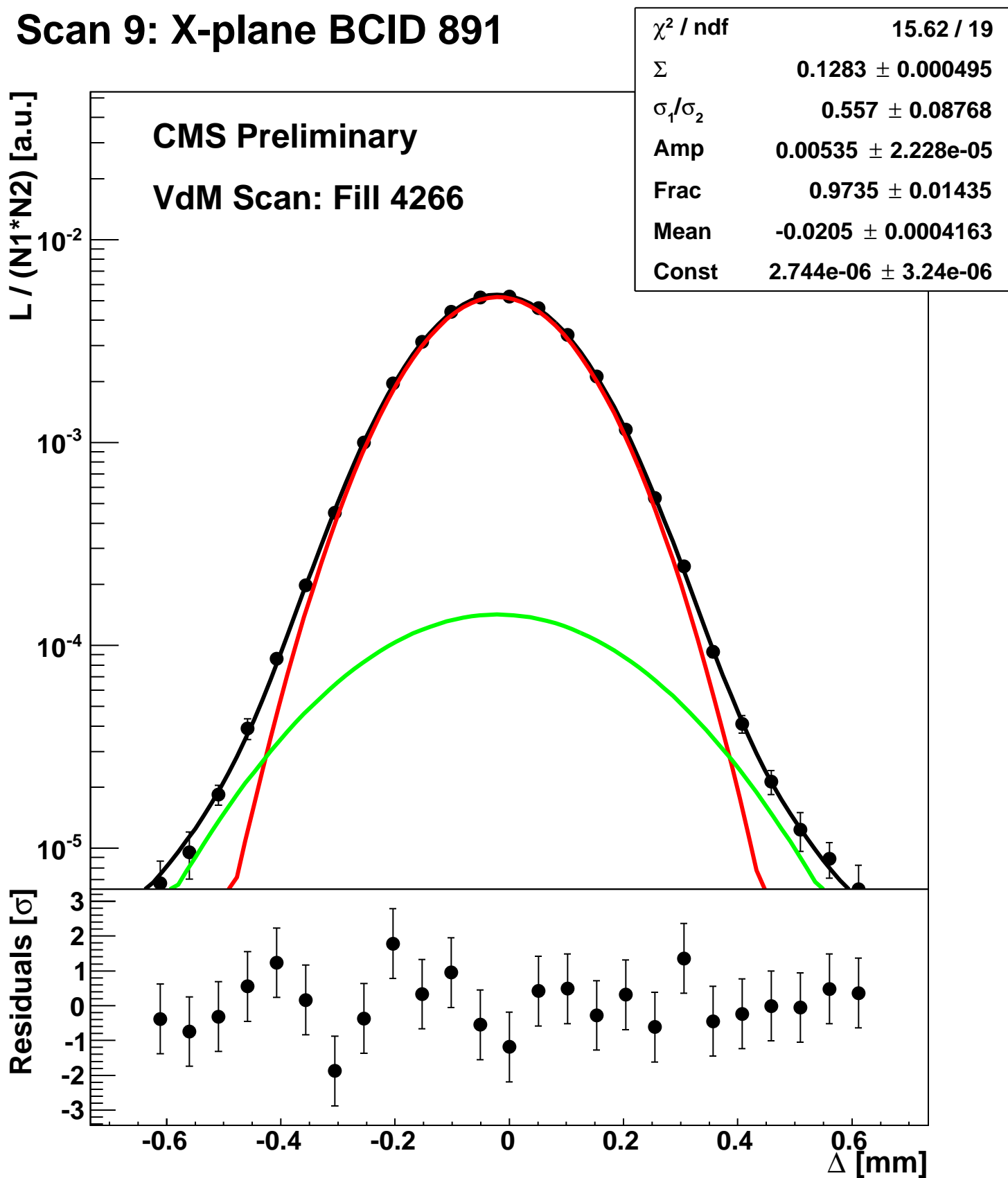
Scan 9: X-plane BCID 811



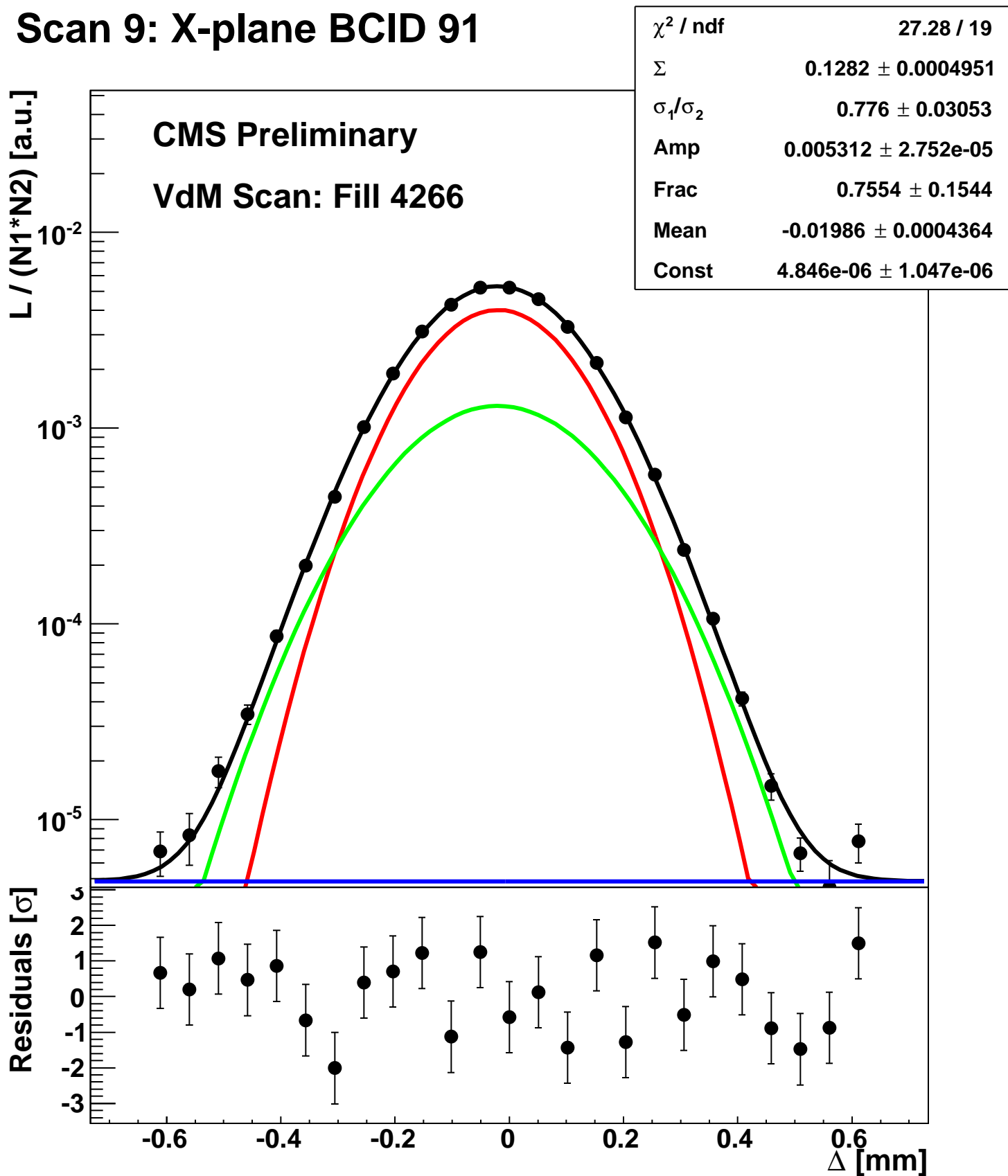
Scan 9: X-plane BCID 851



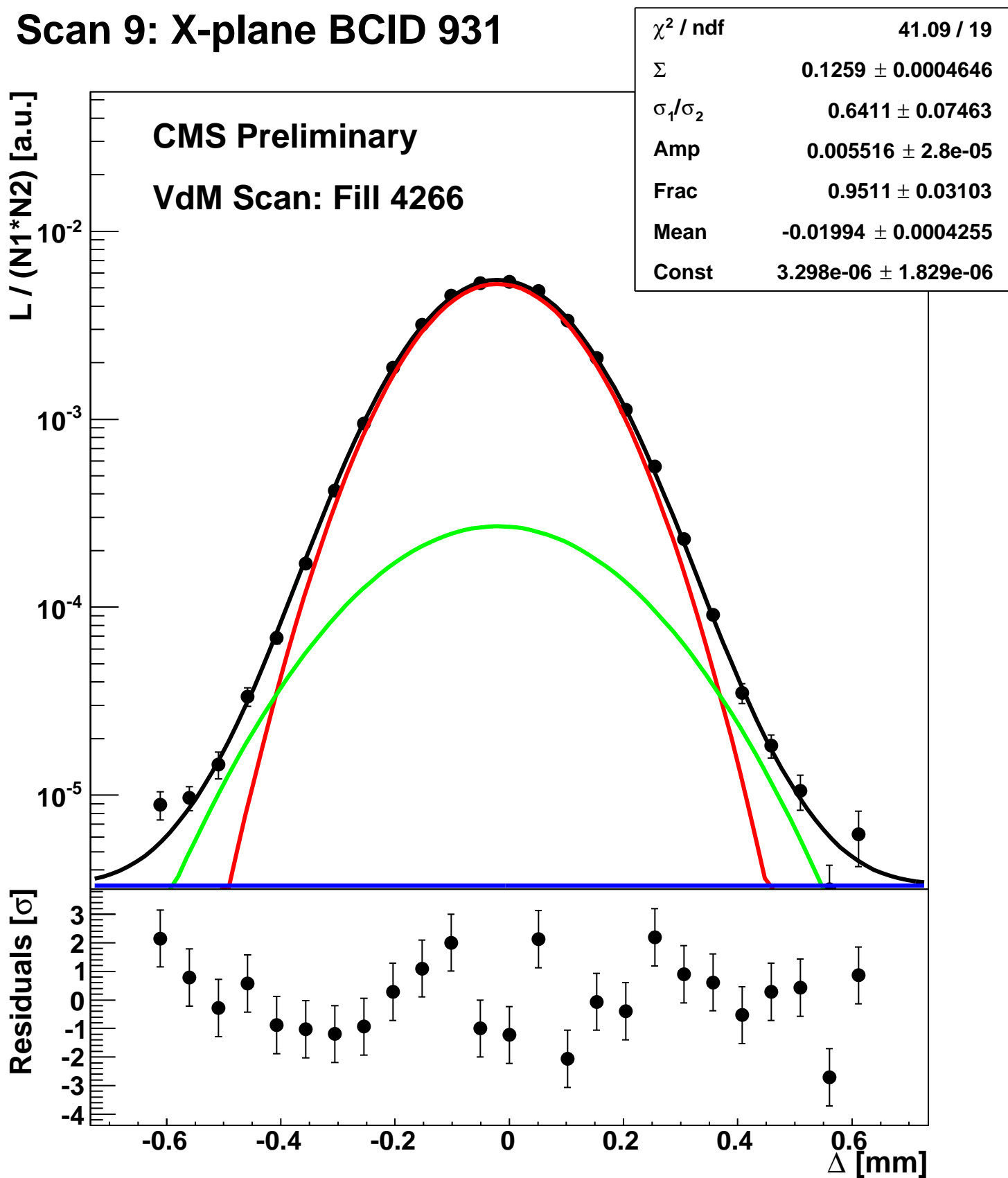
Scan 9: X-plane BCID 891



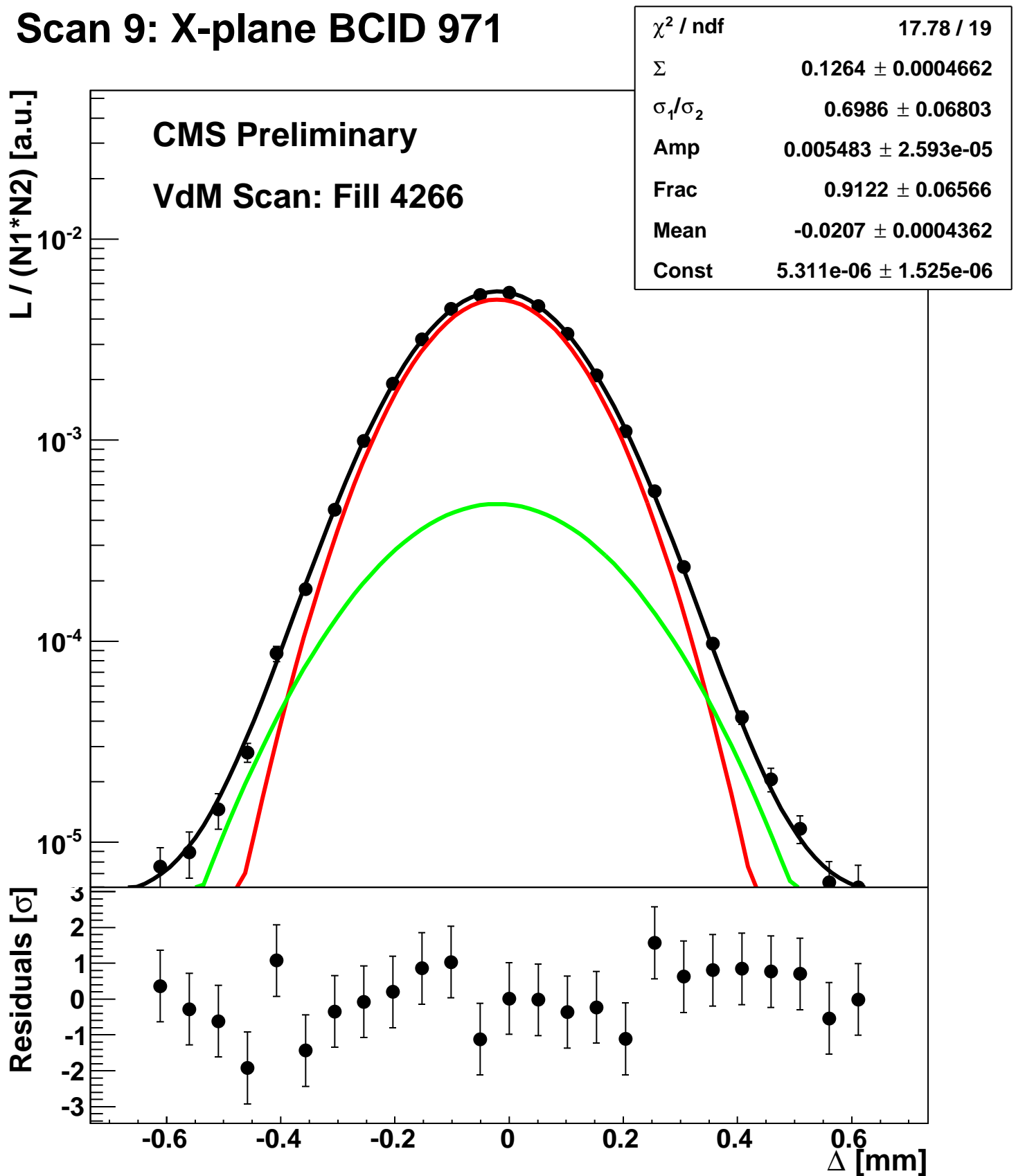
Scan 9: X-plane BCID 91



Scan 9: X-plane BCID 931



Scan 9: X-plane BCID 971



Scan 9: X-plane BCID sum

